

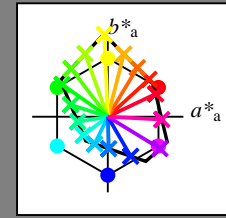
Ein und Ausgabe:
 Farbmimetrisches Drucker-Reflektiv-System FRS09_92aM

Daten für jede Farbe:
 u^*_e und Nummer $Nr. = 00 \dots 15$

Elementar-Bunttextext:
 $u^*_e = 16$ Bunttoene $r00j, r25j, \dots, b75r$

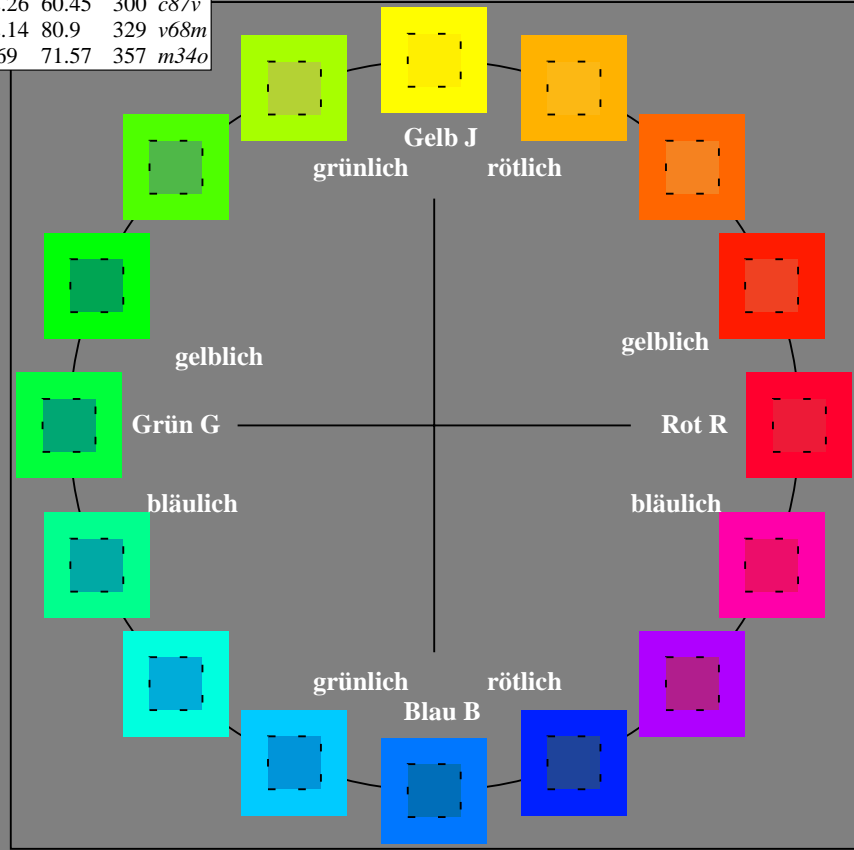
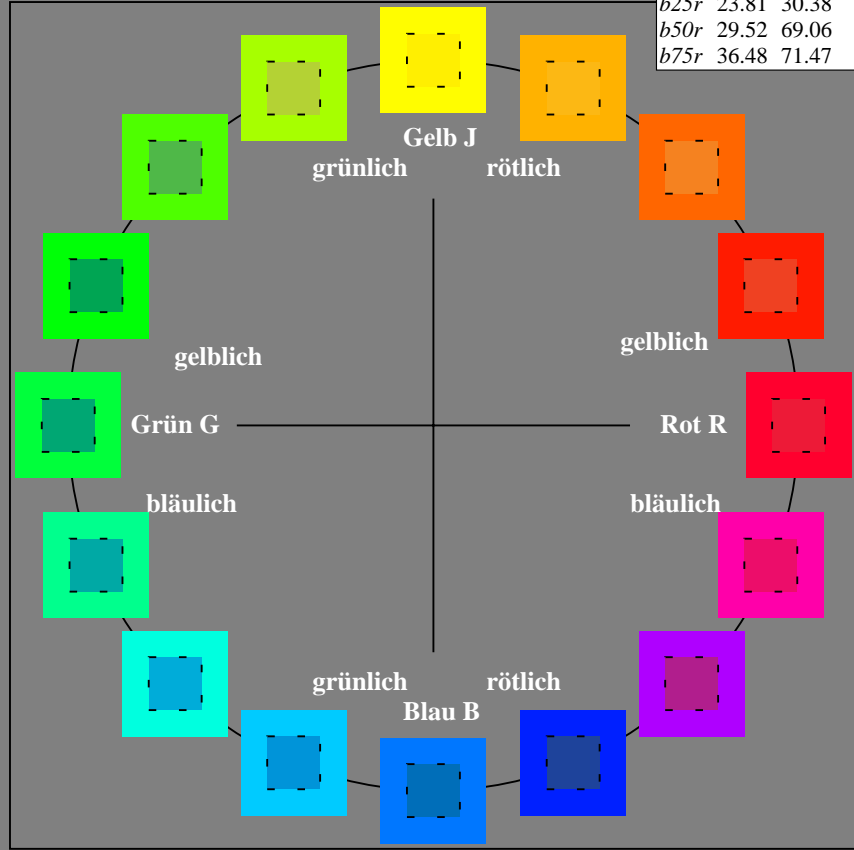
Kontrastreduzierungsfaktor:
 $c_R = 1.0$

FRS09_92aM; adaptierte CIELAB-Daten						
u^*_e	$L^*=L^*_a$	a^*_a	b^*_a	$C^*_{ab,a}$	$h^*_{ab,a}$	u^*_d
<i>r00j</i>	35.47	63.32	30.17	70.15	25	<i>m81o</i>
<i>r25j</i>	39.12	54.56	49.45	73.64	42	<i>o10y</i>
<i>r50j</i>	50.64	39.15	64.89	75.79	59	<i>o40y</i>
<i>r75j</i>	64.01	21.26	82.83	85.52	76	<i>o69y</i>
<i>j00g</i>	83.18	-4.38	108.53	108.62	92	<i>o98y</i>
<i>j25g</i>	66.73	-29.89	83.06	88.28	110	<i>y34l</i>
<i>j50g</i>	54.03	-48.31	63.49	79.78	127	<i>y69l</i>
<i>j75g</i>	44.73	-60.33	42.64	73.88	145	<i>l03c</i>
<i>g00b</i>	47.59	-49.08	15.74	51.54	162	<i>l23c</i>
<i>g25b</i>	49.97	-39.7	-6.72	40.27	190	<i>l55c</i>
<i>g50b</i>	51.85	-32.33	-24.35	40.48	217	<i>l87c</i>
<i>g75b</i>	46.92	-17.29	-36.02	39.96	244	<i>c20v</i>
<i>b00r</i>	37.91	1.28	-42.35	42.37	272	<i>c53v</i>
<i>b25r</i>	23.81	30.38	-52.26	60.45	300	<i>c87v</i>
<i>b50r</i>	29.52	69.06	-42.14	80.9	329	<i>v68m</i>
<i>b75r</i>	36.48	71.47	-3.69	71.57	357	<i>m34o</i>



%Umfang
 $u^*_{rel} = 109$
 %Regularität
 $g^*_{H,rel} = 31$
 $g^*_{C,rel} = 40$

FRS09_92aM; adaptierte CIELAB-Daten					
Name	$L^*=L^*_a$	a^*_a	b^*_a	$C^*_{ab,a}$	$h^*_{ab,a}$
O _{Ma}	35.06	60.0	44.0	74.4	36
Y _{Ma}	83.77	-5.17	109.32	109.44	93
L _{Ma}	44.13	-62.67	48.24	79.09	142
C _{Ma}	52.66	-29.14	-31.99	43.27	228
V _{Ma}	14.15	50.3	-59.04	77.57	310
M _{Ma}	37.37	78.64	-33.5	85.48	337
N _{Ma}	8.58	0.0	0.0	0.0	0
W _{Ma}	92.02	0.0	0.0	0.0	0
R _{CIE}	39.92	58.74	27.99	65.07	25
J _{CIE}	81.26	-2.89	71.56	71.62	92
G _{CIE}	52.23	-42.42	13.6	44.55	162
B _{CIE}	30.57	1.41	-46.47	46.49	272



Ein und Ausgabe: Farbmatisches Drucker-Reflektiv-System FRS09_92aM für relativen CIELAB-Bunton $h^* = lab^*h^* = h_{ab}/360 = 0.071$

$u^*_e = r00j$

Daten für jede Farbe:

lab^*tch^* und lab^*icu^*

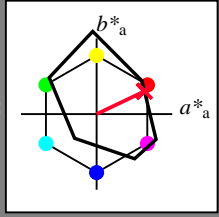
Buntontexte:

$u^*_e = r00j$ $u^*_d = m81o$

Kontrastreduzierungsfaktor:

$c_R = 1.0$

Dreiecks-Helligkeit t^*



FRS09_92aM; adaptierte CIELAB-Daten

u^*_e	$L^*=L^*_a$	a^*_a	b^*_a	$C^*_{ab,a}$	$h^*_{ab,a}$
O _{Ma}	35.06	60.0	44.0	74.4	36
Y _{Ma}	83.77	-5.17	109.32	109.44	93
L _{Ma}	44.13	-62.67	48.24	79.09	142
C _{Ma}	52.66	-29.14	-31.99	43.27	228
V _{Ma}	14.15	50.3	-59.04	77.57	310
M _{Ma}	37.37	78.64	-33.5	85.48	337
N _{Ma}	8.58	0.0	0.0	0.0	0
W _{Ma}	92.02	0.0	0.0	0.0	0
R _{Ma}	39.92	58.74	27.99	65.07	25
J _{Ma}	81.26	-2.89	71.56	71.62	92
G _{Ma}	52.23	-42.42	13.6	44.55	162
B _{Ma}	30.57	1.41	-46.47	46.49	272

Daten für Maximalfarbe (Ma):

$LAB^*LAB^*_{Ma}$: 35 63 30

$LAB^*LCH^*_{Ma}$: 35 70 25

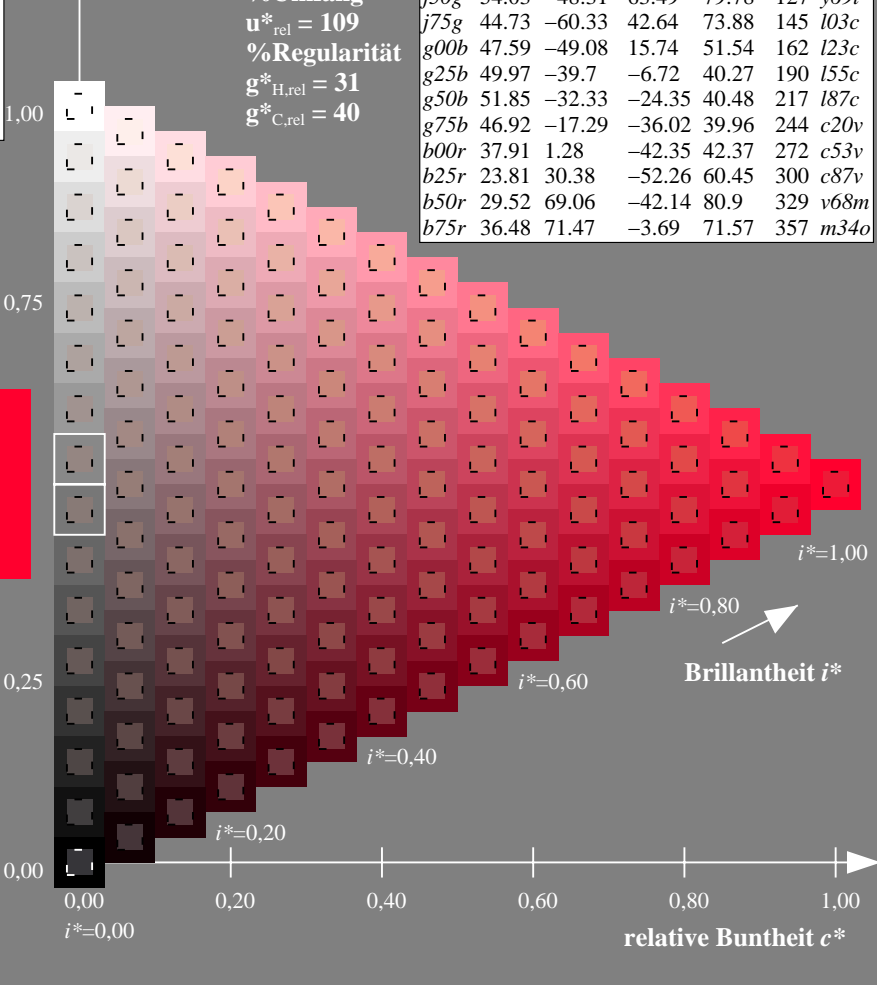
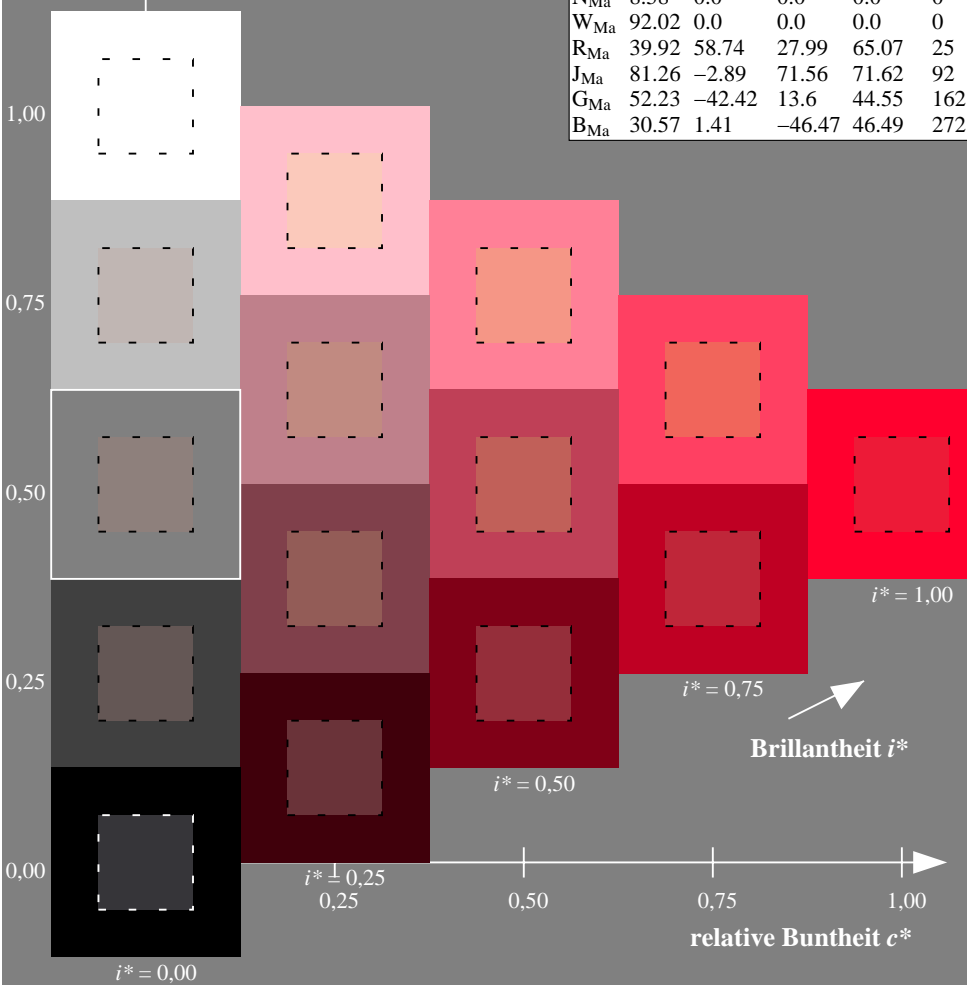
$lab^*rgb^*_{Ma}$: 1.0 0.0 0.0

$lab^*olv^*_{Ma}$: 1.0 0.0 0.18

Dreiecks-Helligkeit t^*

FRS09_92aM; adaptierte CIELAB-Daten

u^*_e	$L^*=L^*_a$	a^*_a	b^*_a	$C^*_{ab,a}$	$h^*_{ab,a}$	u^*_d
r00j	35.47	63.32	30.17	70.15	25	m81o
r25j	39.12	54.56	49.45	73.64	42	o10y
r50j	50.64	39.15	64.89	75.79	59	o40y
r75j	64.01	21.26	82.83	85.52	76	o69y
j00g	83.18	-4.38	108.53	108.62	92	o98y
j25g	66.73	-29.89	83.06	88.28	110	y34l
j50g	54.03	-48.31	63.49	79.78	127	y69l
j75g	44.73	-60.33	42.64	73.88	145	l03c
g00b	47.59	-49.08	15.74	51.54	162	l23c
g25b	49.97	-39.7	-6.72	40.27	190	l55c
g50b	51.85	-32.33	-24.35	40.48	217	l87c
g75b	46.92	-17.29	-36.02	39.96	244	c20v
b00r	37.91	1.28	-42.35	42.37	272	c53v
b25r	23.81	30.38	-52.26	60.45	300	c87v
b50r	29.52	69.06	-42.14	80.9	329	v68m
b75r	36.48	71.47	-3.69	71.57	357	m34o



Daten für jede Farbe:

lab^*tch^* und lab^*icu^*

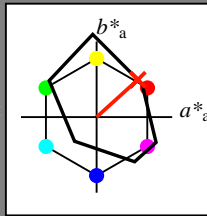
Buntontexte:

$u^*_e = r25j$ $u^*_d = o10y$

Kontrastreduzierungsfaktor:

$c_R = 1.0$

Dreiecks-Helligkeit t^*



FRS09_92aM; adaptierte CIELAB-Daten

u^*_e	$L^*=L^*_a$	a^*_a	b^*_a	$C^*_{ab,a}$	$h^*_{ab,a}$
O _{Ma}	35.06	60.0	44.0	74.4	36
Y _{Ma}	83.77	-5.17	109.32	109.44	93
L _{Ma}	44.13	-62.67	48.24	79.09	142
C _{Ma}	52.66	-29.14	-31.99	43.27	228
V _{Ma}	14.15	50.3	-59.04	77.57	310
M _{Ma}	37.37	78.64	-33.5	85.48	337
N _{Ma}	8.58	0.0	0.0	0.0	0
W _{Ma}	92.02	0.0	0.0	0.0	0
R _{Ma}	39.92	58.74	27.99	65.07	25
J _{Ma}	81.26	-2.89	71.56	71.62	92
G _{Ma}	52.23	-42.42	13.6	44.55	162
B _{Ma}	30.57	1.41	-46.47	46.49	272

Daten für Maximalfarbe (Ma):

$LAB^*LAB^*_{Ma}$: 39 55 49

$LAB^*LCH^*_{Ma}$: 39 74 42

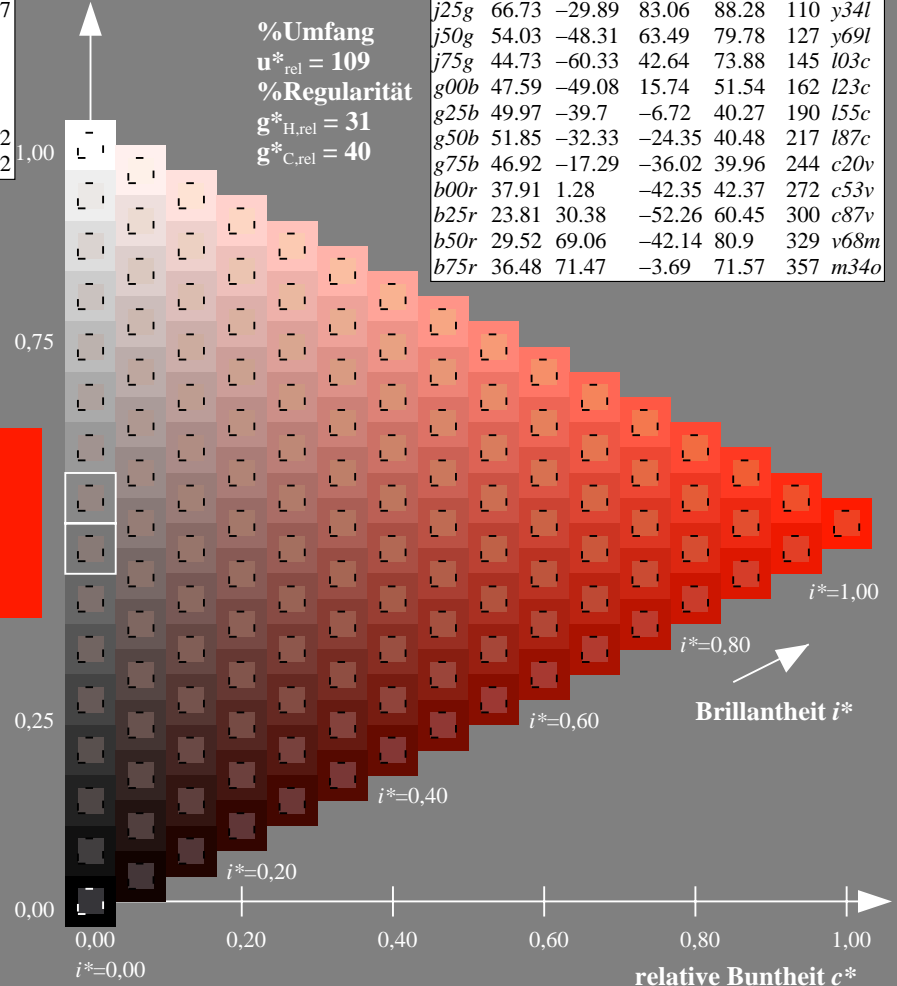
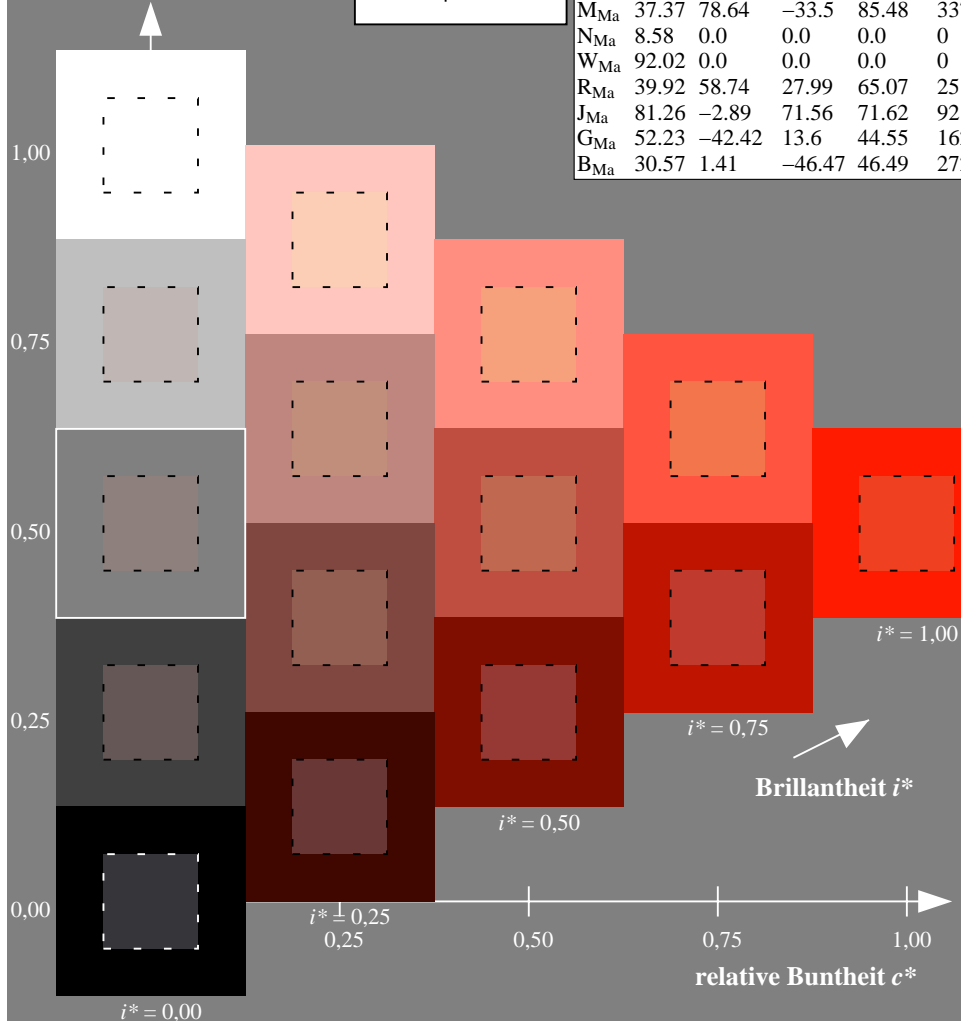
$lab^*rgb^*_{Ma}$: 1.0 0.25 0.0

$lab^*olv^*_{Ma}$: 1.0 0.11 0.0

Dreiecks-Helligkeit t^*

FRS09_92aM; adaptierte CIELAB-Daten

u^*_e	$L^*=L^*_a$	a^*_a	b^*_a	$C^*_{ab,a}$	$h^*_{ab,a}$	u^*_d
r00j	35.47	63.32	30.17	70.15	25	m81o
r25j	39.12	54.56	49.45	73.64	42	o10y
r50j	50.64	39.15	64.89	75.79	59	o40y
r75j	64.01	21.26	82.83	85.52	76	o69y
j00g	83.18	-4.38	108.53	108.62	92	o98y
j25g	66.73	-29.89	83.06	88.28	110	y34l
j50g	54.03	-48.31	63.49	79.78	127	y69l
j75g	44.73	-60.33	42.64	73.88	145	l03c
g00b	47.59	-49.08	15.74	51.54	162	l23c
g25b	49.97	-39.7	-6.72	40.27	190	l55c
g50b	51.85	-32.33	-24.35	40.48	217	l87c
g75b	46.92	-17.29	-36.02	39.96	244	c20v
b00r	37.91	1.28	-42.35	42.37	272	c53v
b25r	23.81	30.38	-52.26	60.45	300	c87v
b50r	29.52	69.06	-42.14	80.9	329	v68m
b75r	36.48	71.47	-3.69	71.57	357	m34o



Ein und Ausgabe: Farbmatisches Drucker-Reflektiv-System FRS09_92aM für relativen CIELAB-Bunton $h^* = lab^*h^* = h_{ab}/360 = 0.164$

$u^*_e = r50j$

Daten für jede Farbe:

lab^*tch^* und lab^*icu^*

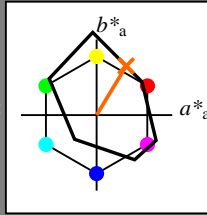
Buntontexte:

$u^*_e = r50j$ $u^*_d = o40y$

Kontrastreduzierungsfaktor:

$c_R = 1.0$

Dreiecks-Helligkeit t^*



FRS09_92aM; adaptierte CIELAB-Daten

u^*_e	$L^*=L^*_a$	a^*_a	b^*_a	$C^*_{ab,a}$	$h^*_{ab,a}$
O _{Ma}	35.06	60.0	44.0	74.4	36
Y _{Ma}	83.77	-5.17	109.32	109.44	93
L _{Ma}	44.13	-62.67	48.24	79.09	142
C _{Ma}	52.66	-29.14	-31.99	43.27	228
V _{Ma}	14.15	50.3	-59.04	77.57	310
M _{Ma}	37.37	78.64	-33.5	85.48	337
N _{Ma}	8.58	0.0	0.0	0.0	0
W _{Ma}	92.02	0.0	0.0	0.0	0
R _{Ma}	39.92	58.74	27.99	65.07	25
J _{Ma}	81.26	-2.89	71.56	71.62	92
G _{Ma}	52.23	-42.42	13.6	44.55	162
B _{Ma}	30.57	1.41	-46.47	46.49	272

Daten für Maximalfarbe (Ma):

$LAB^*LAB^*_{Ma}: 51\ 39\ 65$

$LAB^*LCH^*_{Ma}: 51\ 76\ 58$

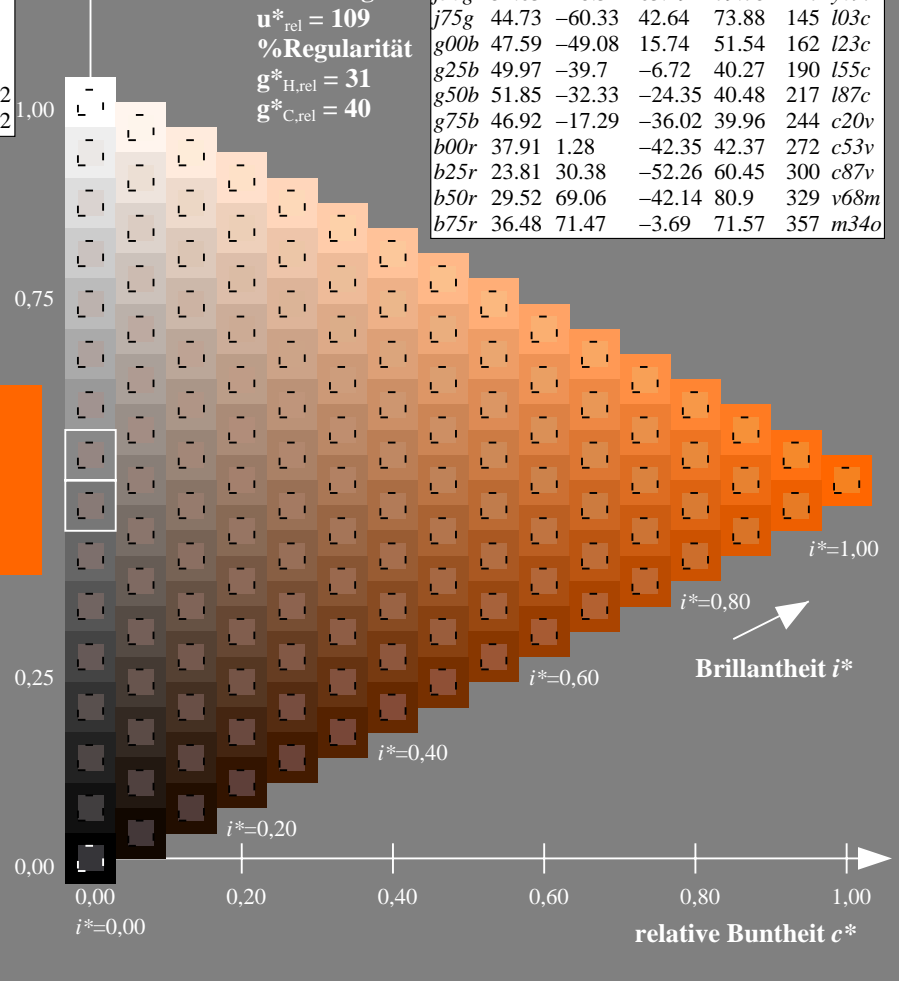
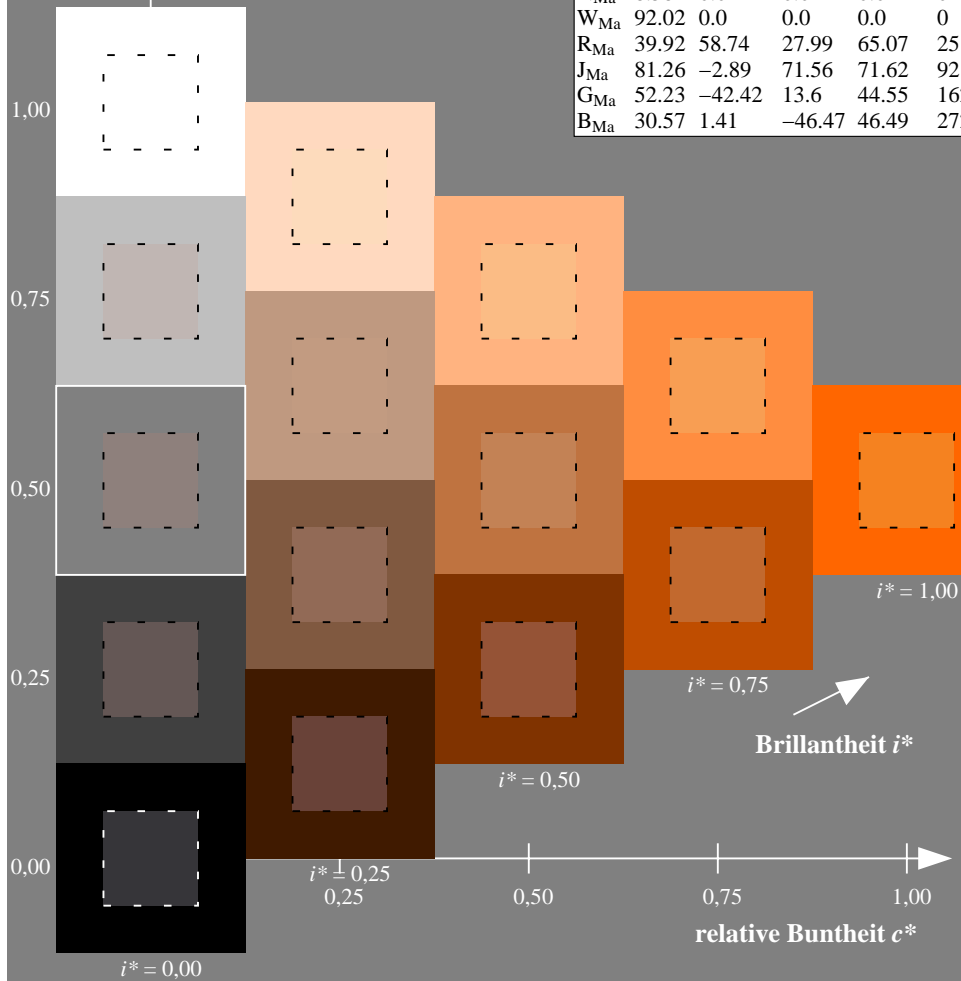
$lab^*rgb^*_{Ma}: 1.0\ 0.5\ 0.0$

$lab^*olv^*_{Ma}: 1.0\ 0.4\ 0.0$

Dreiecks-Helligkeit t^*

FRS09_92aM; adaptierte CIELAB-Daten

u^*_e	$L^*=L^*_a$	a^*_a	b^*_a	$C^*_{ab,a}$	$h^*_{ab,a}$	u^*_d
r00j	35.47	63.32	30.17	70.15	25	m81o
r25j	39.12	54.56	49.45	73.64	42	o10y
r50j	50.64	39.15	64.89	75.79	59	o40y
r75j	64.01	21.26	82.83	85.52	76	o69y
j00g	83.18	-4.38	108.53	108.62	92	o98y
j25g	66.73	-29.89	83.06	88.28	110	y34l
j50g	54.03	-48.31	63.49	79.78	127	y69l
j75g	44.73	-60.33	42.64	73.88	145	l03c
g00b	47.59	-49.08	15.74	51.54	162	l23c
g25b	49.97	-39.7	-6.72	40.27	190	l55c
g50b	51.85	-32.33	-24.35	40.48	217	l87c
g75b	46.92	-17.29	-36.02	39.96	244	c20v
b00r	37.91	1.28	-42.35	42.37	272	c53v
b25r	23.81	30.38	-52.26	60.45	300	c87v
b50r	29.52	69.06	-42.14	80.9	329	v68m
b75r	36.48	71.47	-3.69	71.57	357	m34o



Daten für jede Farbe:

lab^*tch^* und lab^*icu^*

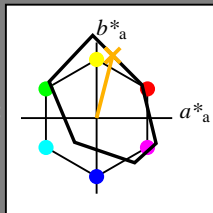
Buntontexte:

$u^*_e = r75j$ $u^*_d = o69y$

Kontrastreduzierungsfaktor:

$c_R = 1.0$

Dreiecks-Helligkeit t^*



FRS09_92aM; adaptierte CIELAB-Daten

u^*_e	$L^*=L^*_a$	a^*_a	b^*_a	$C^*_{ab,a}$	$h^*_{ab,a}$
O _{Ma}	35.06	60.0	44.0	74.4	36
Y _{Ma}	83.77	-5.17	109.32	109.44	93
L _{Ma}	44.13	-62.67	48.24	79.09	142
C _{Ma}	52.66	-29.14	-31.99	43.27	228
V _{Ma}	14.15	50.3	-59.04	77.57	310
M _{Ma}	37.37	78.64	-33.5	85.48	337
N _{Ma}	8.58	0.0	0.0	0.0	0
W _{Ma}	92.02	0.0	0.0	0.0	0
R _{Ma}	39.92	58.74	27.99	65.07	25
J _{Ma}	81.26	-2.89	71.56	71.62	92
G _{Ma}	52.23	-42.42	13.6	44.55	162
B _{Ma}	30.57	1.41	-46.47	46.49	272

Daten für Maximalfarbe (Ma):

$LAB^*LAB^*_{Ma}$: 64 21 83

$LAB^*LCH^*_{Ma}$: 64 86 75

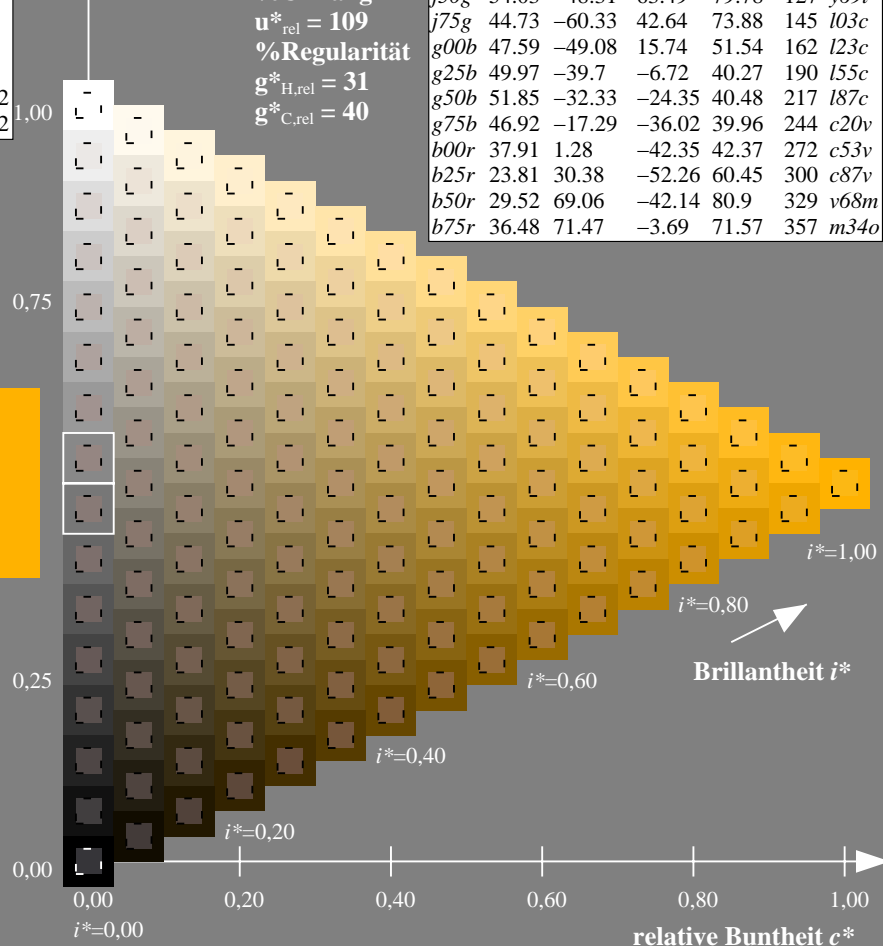
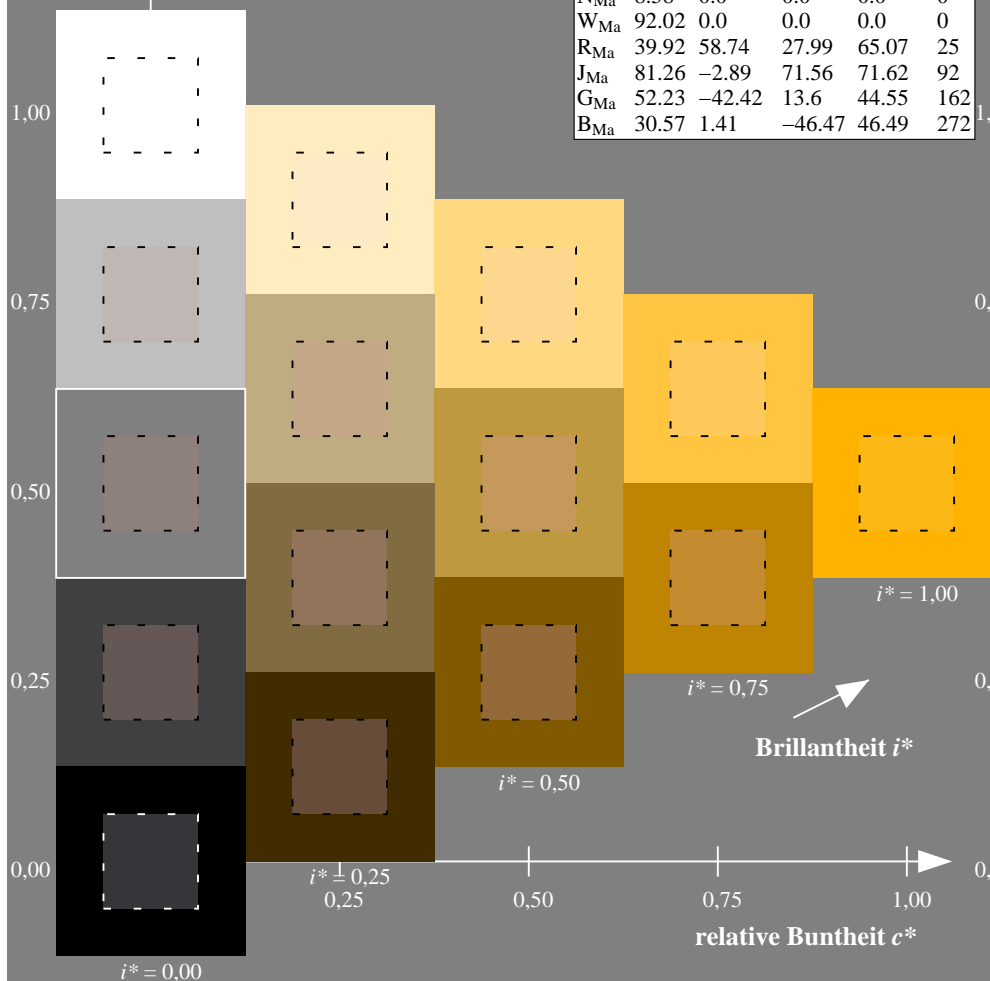
$lab^*rgb^*_{Ma}$: 1.0 0.75 0.0

$lab^*olv^*_{Ma}$: 1.0 0.7 0.0

Dreiecks-Helligkeit t^*

FRS09_92aM; adaptierte CIELAB-Daten

u^*_e	$L^*=L^*_a$	a^*_a	b^*_a	$C^*_{ab,a}$	$h^*_{ab,a}$	u^*_d
r00j	35.47	63.32	30.17	70.15	25	m81o
r25j	39.12	54.56	49.45	73.64	42	o10y
r50j	50.64	39.15	64.89	75.79	59	o40y
r75j	64.01	21.26	82.83	85.52	76	o69y
j00g	83.18	-4.38	108.53	108.62	92	o98y
j25g	66.73	-29.89	83.06	88.28	110	y34l
j50g	54.03	-48.31	63.49	79.78	127	y69l
j75g	44.73	-60.33	42.64	73.88	145	l03c
g00b	47.59	-49.08	15.74	51.54	162	l23c
g25b	49.97	-39.7	-6.72	40.27	190	l55c
g50b	51.85	-32.33	-24.35	40.48	217	l87c
g75b	46.92	-17.29	-36.02	39.96	244	c20v
b00r	37.91	1.28	-42.35	42.37	272	c53v
b25r	23.81	30.38	-52.26	60.45	300	c87v
b50r	29.52	69.06	-42.14	80.9	329	v68m
b75r	36.48	71.47	-3.69	71.57	357	m34o



Ein und Ausgabe: Farbmatisches Drucker-Reflektiv-System FRS09_92aM für relativen CIELAB-Bunton $h^* = lab^*h^* = h_{ab}/360 = 0.256$

$u^*_e = j00g$

Daten für jede Farbe:

lab^*tch^* und lab^*icu^*

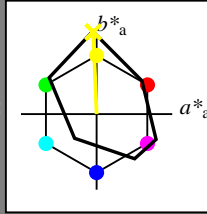
Buntontexte:

$u^*_e = j00g$ $u^*_d = o98y$

Kontrastreduzierungsfaktor:

$c_R = 1.0$

Dreiecks-Helligkeit t^*



FRS09_92aM; adaptierte CIELAB-Daten

u^*_e	$L^*=L^*_a$	a^*_a	b^*_a	$C^*_{ab,a}$	$h^*_{ab,a}$
O _{Ma}	35.06	60.0	44.0	74.4	36
Y _{Ma}	83.77	-5.17	109.32	109.44	93
L _{Ma}	44.13	-62.67	48.24	79.09	142
C _{Ma}	52.66	-29.14	-31.99	43.27	228
V _{Ma}	14.15	50.3	-59.04	77.57	310
M _{Ma}	37.37	78.64	-33.5	85.48	337
N _{Ma}	8.58	0.0	0.0	0.0	0
W _{Ma}	92.02	0.0	0.0	0.0	0
R _{Ma}	39.92	58.74	27.99	65.07	25
J _{Ma}	81.26	-2.89	71.56	71.62	92
G _{Ma}	52.23	-42.42	13.6	44.55	162
B _{Ma}	30.57	1.41	-46.47	46.49	272

Daten für Maximalfarbe (Ma):

$LAB^*LAB^*_{Ma}$: 83 -4 109

$LAB^*LCH^*_{Ma}$: 83 109 92

$lab^*rgb^*_{Ma}$: 1.0 1.0 0.0

$lab^*olv^*_{Ma}$: 1.0 0.99 0.0

Dreiecks-Helligkeit t^*

%Umfang

$u^*_{rel} = 109$

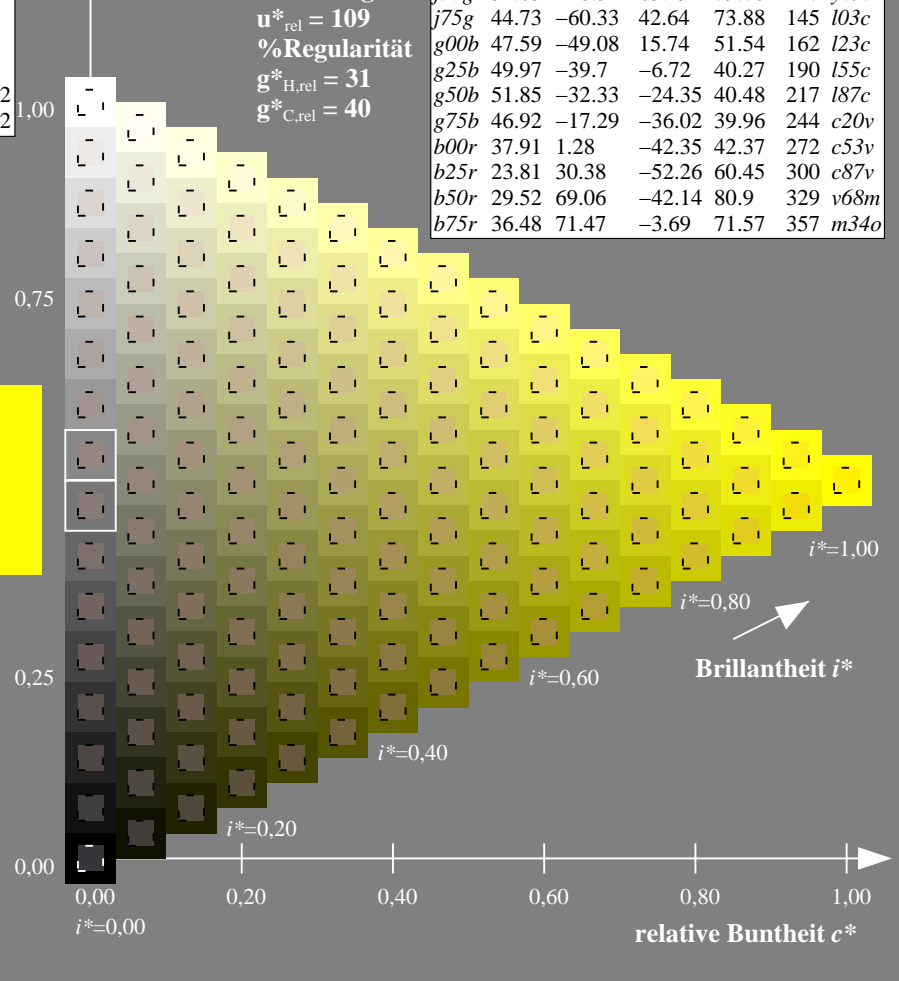
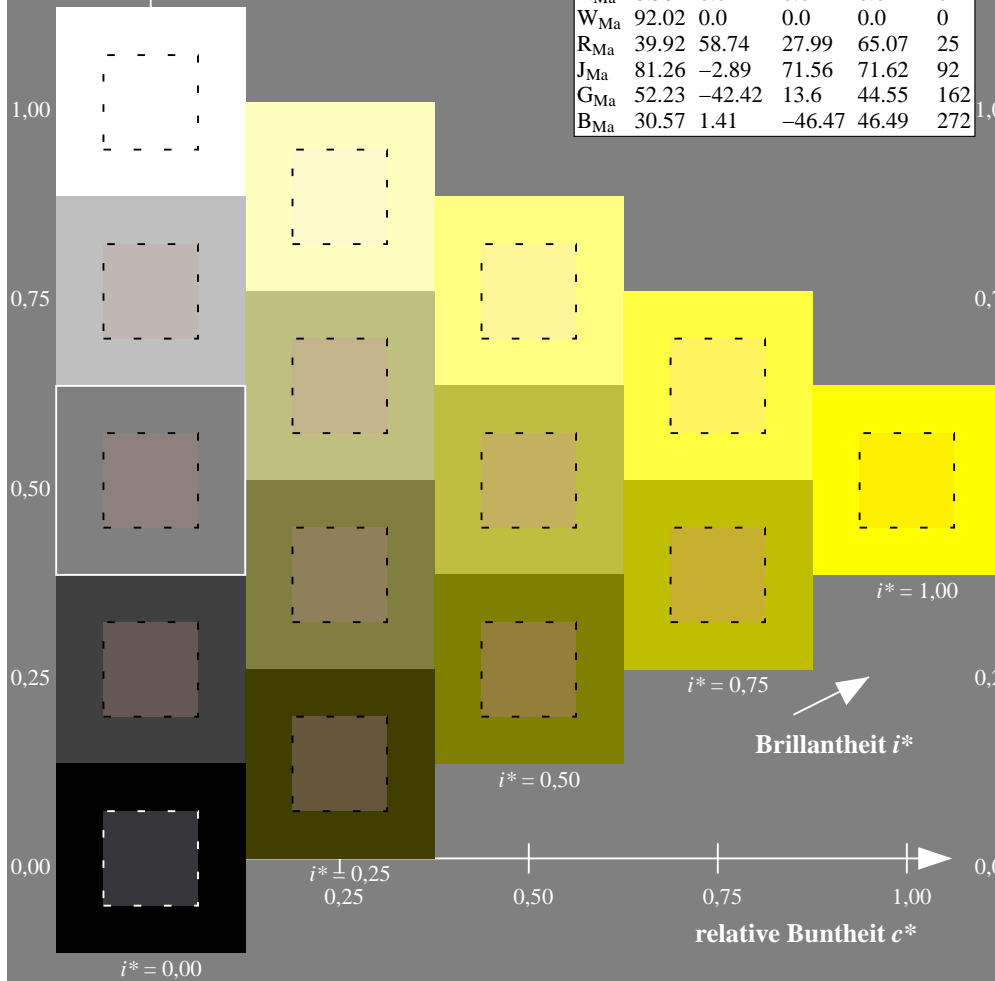
%Regularität

$g^*_{H,rel} = 31$

$g^*_{C,rel} = 40$

FRS09_92aM; adaptierte CIELAB-Daten

u^*_e	$L^*=L^*_a$	a^*_a	b^*_a	$C^*_{ab,a}$	$h^*_{ab,a}$	u^*_d
r00j	35.47	63.32	30.17	70.15	25	m81o
r25j	39.12	54.56	49.45	73.64	42	o10y
r50j	50.64	39.15	64.89	75.79	59	o40y
r75j	64.01	21.26	82.83	85.52	76	o69y
j00g	83.18	-4.38	108.53	108.62	92	o98y
j25g	66.73	-29.89	83.06	88.28	110	y34l
j50g	54.03	-48.31	63.49	79.78	127	y69l
j75g	44.73	-60.33	42.64	73.88	145	l03c
g00b	47.59	-49.08	15.74	51.54	162	l23c
g25b	49.97	-39.7	-6.72	40.27	190	l55c
g50b	51.85	-32.33	-24.35	40.48	217	l87c
g75b	46.92	-17.29	-36.02	39.96	244	c20v
b00r	37.91	1.28	-42.35	42.37	272	c53v
b25r	23.81	30.38	-52.26	60.45	300	c87v
b50r	29.52	69.06	-42.14	80.9	329	v68m
b75r	36.48	71.47	-3.69	71.57	357	m34o



Ein und Ausgabe: Farbmatisches Drucker-Reflektiv-System FRS09_92aM für relativen CIELAB-Bunton $h^* = lab^*h^* = h_{ab}/360 = 0.305$

$u^*_e = j25g$

Daten für jede Farbe:

lab^*tch^* und lab^*icu^*

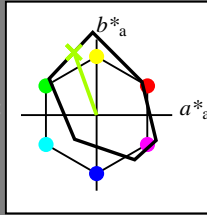
Buntontexte:

$u^*_e = j25g$ $u^*_d = y34l$

Kontrastreduzierungsfaktor:

$c_R = 1.0$

Dreiecks-Helligkeit t^*



FRS09_92aM; adaptierte CIELAB-Daten

u^*_e	$L^*=L^*_a$	a^*_a	b^*_a	$C^*_{ab,a}$	$h^*_{ab,a}$
O _{Ma}	35.06	60.0	44.0	74.4	36
Y _{Ma}	83.77	-5.17	109.32	109.44	93
L _{Ma}	44.13	-62.67	48.24	79.09	142
C _{Ma}	52.66	-29.14	-31.99	43.27	228
V _{Ma}	14.15	50.3	-59.04	77.57	310
M _{Ma}	37.37	78.64	-33.5	85.48	337
N _{Ma}	8.58	0.0	0.0	0.0	0
W _{Ma}	92.02	0.0	0.0	0.0	0
R _{Ma}	39.92	58.74	27.99	65.07	25
J _{Ma}	81.26	-2.89	71.56	71.62	92
G _{Ma}	52.23	-42.42	13.6	44.55	162
B _{Ma}	30.57	1.41	-46.47	46.49	272

Daten für Maximalfarbe (Ma):

$LAB^*LAB^*_{Ma}$: 67 -30 83

$LAB^*LCH^*_{Ma}$: 67 88 109

$lab^*rgb^*_{Ma}$: 0.75 1.0 0.0

$lab^*olv^*_{Ma}$: 0.66 1.0 0.0

Dreiecks-Helligkeit t^*

%Umfang

$u^*_{rel} = 109$

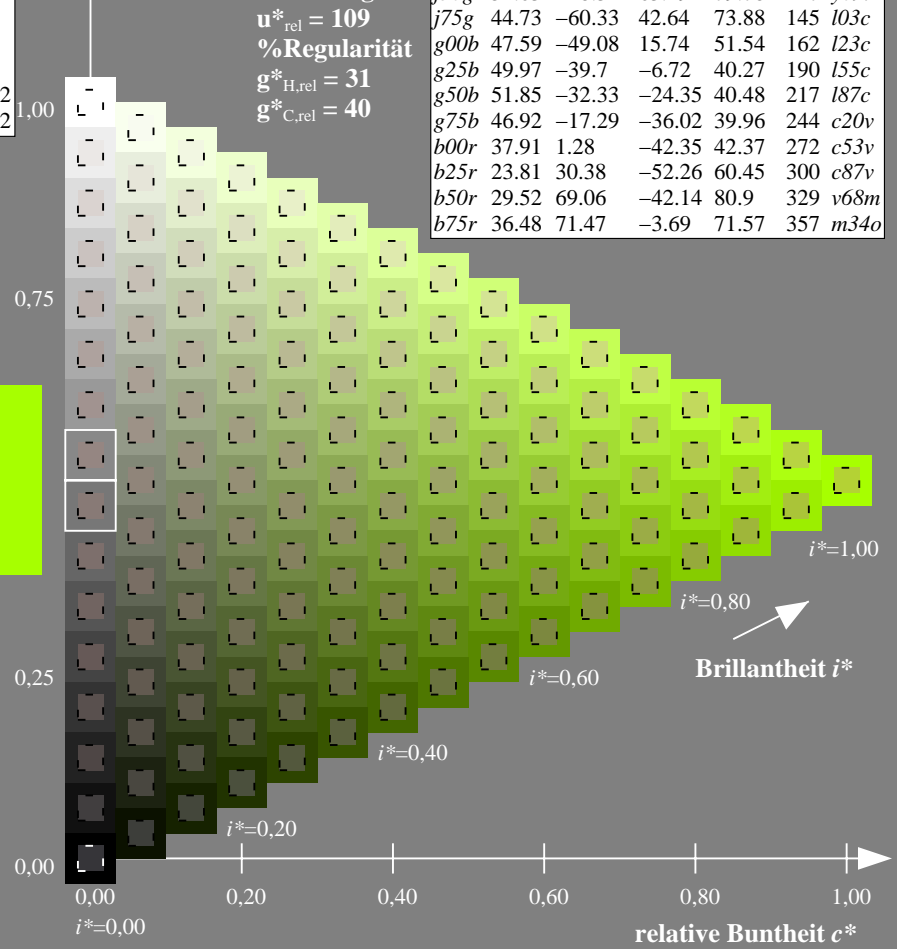
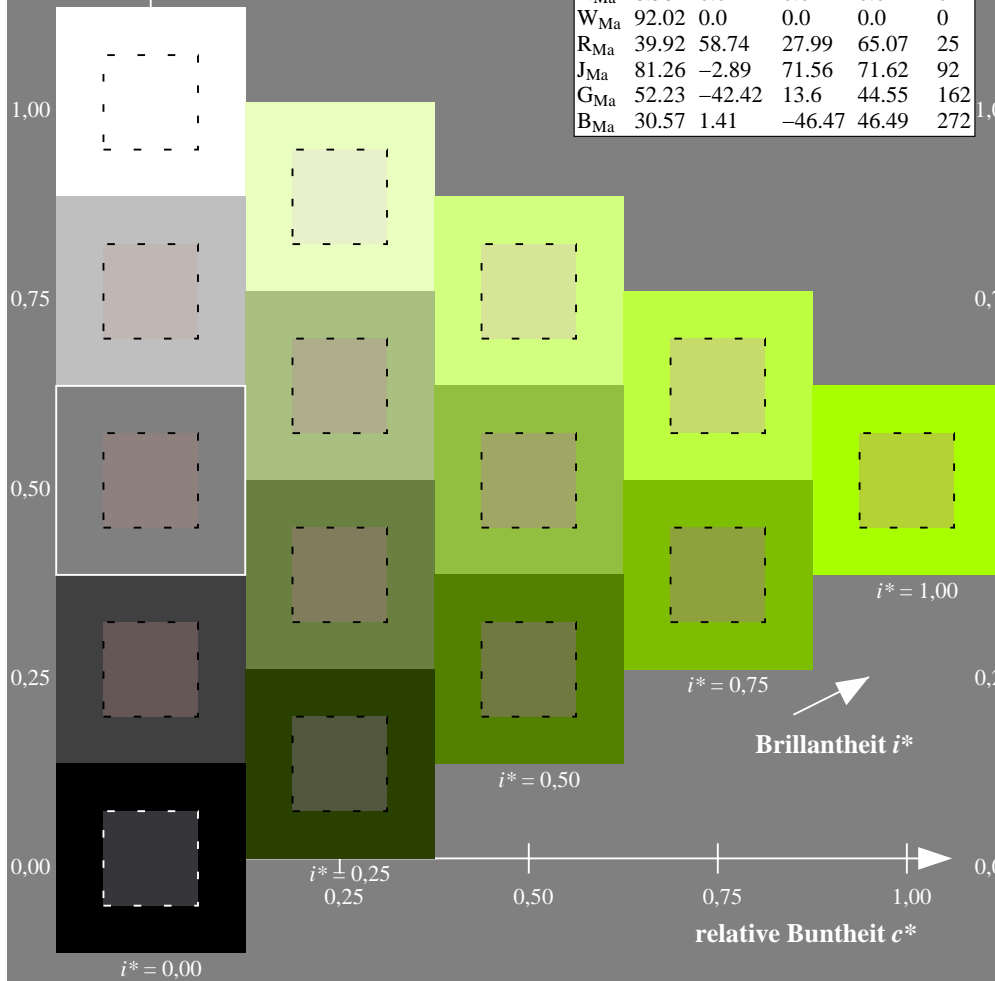
%Regularität

$g^*_{H,rel} = 31$

$g^*_{C,rel} = 40$

FRS09_92aM; adaptierte CIELAB-Daten

u^*_e	$L^*=L^*_a$	a^*_a	b^*_a	$C^*_{ab,a}$	$h^*_{ab,a}$	u^*_d
r00j	35.47	63.32	30.17	70.15	25	m81o
r25j	39.12	54.56	49.45	73.64	42	o10y
r50j	50.64	39.15	64.89	75.79	59	o40y
r75j	64.01	21.26	82.83	85.52	76	o69y
j00g	83.18	-4.38	108.53	108.62	92	o98y
j25g	66.73	-29.89	83.06	88.28	110	y34l
j50g	54.03	-48.31	63.49	79.78	127	y69l
j75g	44.73	-60.33	42.64	73.88	145	l03c
g00b	47.59	-49.08	15.74	51.54	162	l23c
g25b	49.97	-39.7	-6.72	40.27	190	l55c
g50b	51.85	-32.33	-24.35	40.48	217	l87c
g75b	46.92	-17.29	-36.02	39.96	244	c20v
b00r	37.91	1.28	-42.35	42.37	272	c53v
b25r	23.81	30.38	-52.26	60.45	300	c87v
b50r	29.52	69.06	-42.14	80.9	329	v68m
b75r	36.48	71.47	-3.69	71.57	357	m34o



Ein und Ausgabe: Farbmatisches Drucker-Reflektiv-System FRS09_92aM für relativen CIELAB-Bunton $h^* = lab^*h^* = h_{ab}/360 = 0.354$

$u^*_e = j50g$

Daten für jede Farbe:

lab^*tch^* und lab^*icu^*

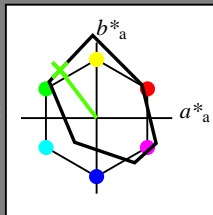
Buntontexte:

$u^*_e = j50g$ $u^*_d = y69l$

Kontrastreduzierungsfaktor:

$c_R = 1.0$

Dreiecks-Helligkeit t^*



FRS09_92aM; adaptierte CIELAB-Daten

u^*_e	$L^*=L^*_a$	a^*_a	b^*_a	$C^*_{ab,a}$	$h^*_{ab,a}$
O _{Ma}	35.06	60.0	44.0	74.4	36
Y _{Ma}	83.77	-5.17	109.32	109.44	93
L _{Ma}	44.13	-62.67	48.24	79.09	142
C _{Ma}	52.66	-29.14	-31.99	43.27	228
V _{Ma}	14.15	50.3	-59.04	77.57	310
M _{Ma}	37.37	78.64	-33.5	85.48	337
N _{Ma}	8.58	0.0	0.0	0.0	0
W _{Ma}	92.02	0.0	0.0	0.0	0
R _{Ma}	39.92	58.74	27.99	65.07	25
J _{Ma}	81.26	-2.89	71.56	71.62	92
G _{Ma}	52.23	-42.42	13.6	44.55	162
B _{Ma}	30.57	1.41	-46.47	46.49	272

Daten für Maximalfarbe (Ma):

$LAB^*LAB^*_{Ma}: 54 -48 63$

$LAB^*LCH^*_{Ma}: 54 80 127$

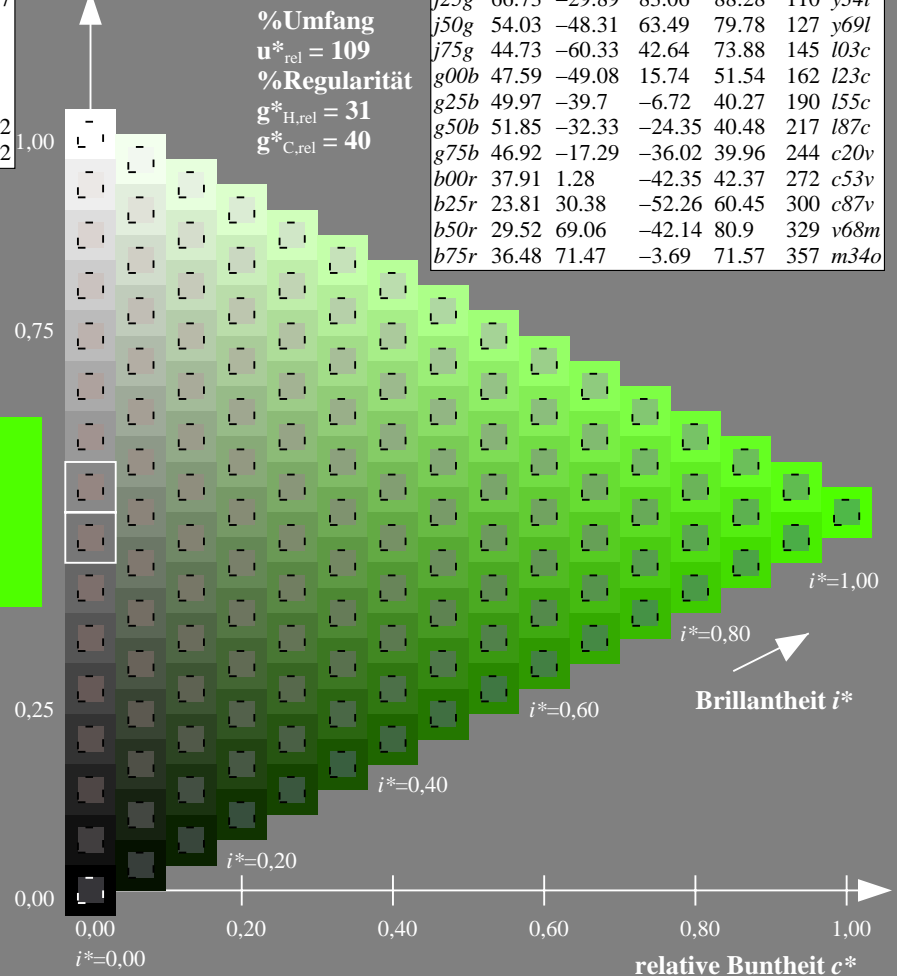
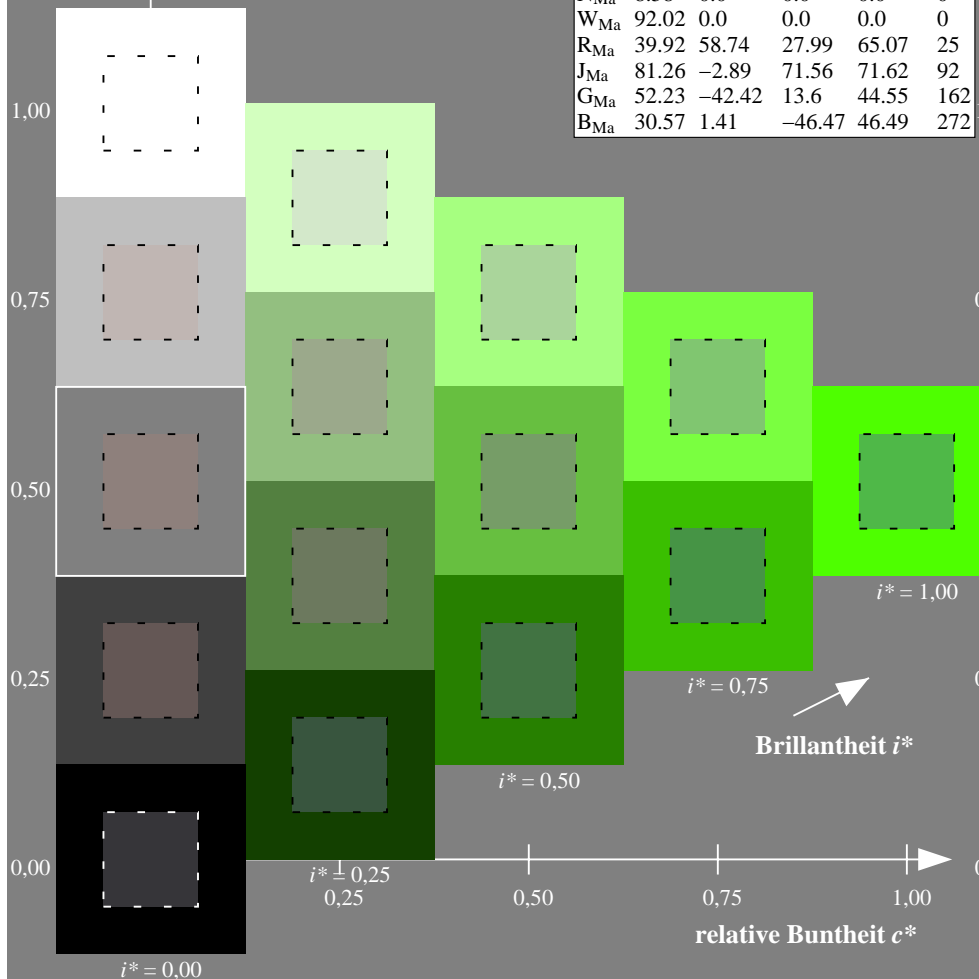
$lab^*rgb^*_{Ma}: 0.5 1.0 0.0$

$lab^*olv^*_{Ma}: 0.3 1.0 0.0$

Dreiecks-Helligkeit t^*

FRS09_92aM; adaptierte CIELAB-Daten

u^*_e	$L^*=L^*_a$	a^*_a	b^*_a	$C^*_{ab,a}$	$h^*_{ab,a}$	u^*_d
r00j	35.47	63.32	30.17	70.15	25	m81o
r25j	39.12	54.56	49.45	73.64	42	o10y
r50j	50.64	39.15	64.89	75.79	59	o40y
r75j	64.01	21.26	82.83	85.52	76	o69y
j00g	83.18	-4.38	108.53	108.62	92	o98y
j25g	66.73	-29.89	83.06	88.28	110	y34l
j50g	54.03	-48.31	63.49	79.78	127	y69l
j75g	44.73	-60.33	42.64	73.88	145	l03c
g00b	47.59	-49.08	15.74	51.54	162	l23c
g25b	49.97	-39.7	-6.72	40.27	190	l55c
g50b	51.85	-32.33	-24.35	40.48	217	l87c
g75b	46.92	-17.29	-36.02	39.96	244	c20v
b00r	37.91	1.28	-42.35	42.37	272	c53v
b25r	23.81	30.38	-52.26	60.45	300	c87v
b50r	29.52	69.06	-42.14	80.9	329	v68m
b75r	36.48	71.47	-3.69	71.57	357	m34o



Ein und Ausgabe: Farbmatisches Drucker-Reflektiv-System FRS09_92aM für relativen CIELAB-Bunton $h^* = lab^*h^* = h_{ab}/360 = 0.402$

$u^*_e = j75g$

Daten für jede Farbe:

lab^*tch^* und lab^*icu^*

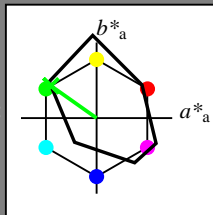
Buntontexte:

$u^*_e = j75g$ $u^*_d = l03c$

Kontrastreduzierungsfaktor:

$c_R = 1.0$

Dreiecks-Helligkeit t^*



FRS09_92aM; adaptierte CIELAB-Daten

u^*_e	$L^*=L^*_a$	a^*_a	b^*_a	$C^*_{ab,a}$	$h^*_{ab,a}$
O _{Ma}	35.06	60.0	44.0	74.4	36
Y _{Ma}	83.77	-5.17	109.32	109.44	93
L _{Ma}	44.13	-62.67	48.24	79.09	142
C _{Ma}	52.66	-29.14	-31.99	43.27	228
V _{Ma}	14.15	50.3	-59.04	77.57	310
M _{Ma}	37.37	78.64	-33.5	85.48	337
N _{Ma}	8.58	0.0	0.0	0.0	0
W _{Ma}	92.02	0.0	0.0	0.0	0
R _{Ma}	39.92	58.74	27.99	65.07	25
J _{Ma}	81.26	-2.89	71.56	71.62	92
G _{Ma}	52.23	-42.42	13.6	44.55	162
B _{Ma}	30.57	1.41	-46.47	46.49	272

Daten für Maximalfarbe (Ma):

$LAB^*LAB^*_{Ma}: 45 -60 43$

$LAB^*LCH^*_{Ma}: 45 74 144$

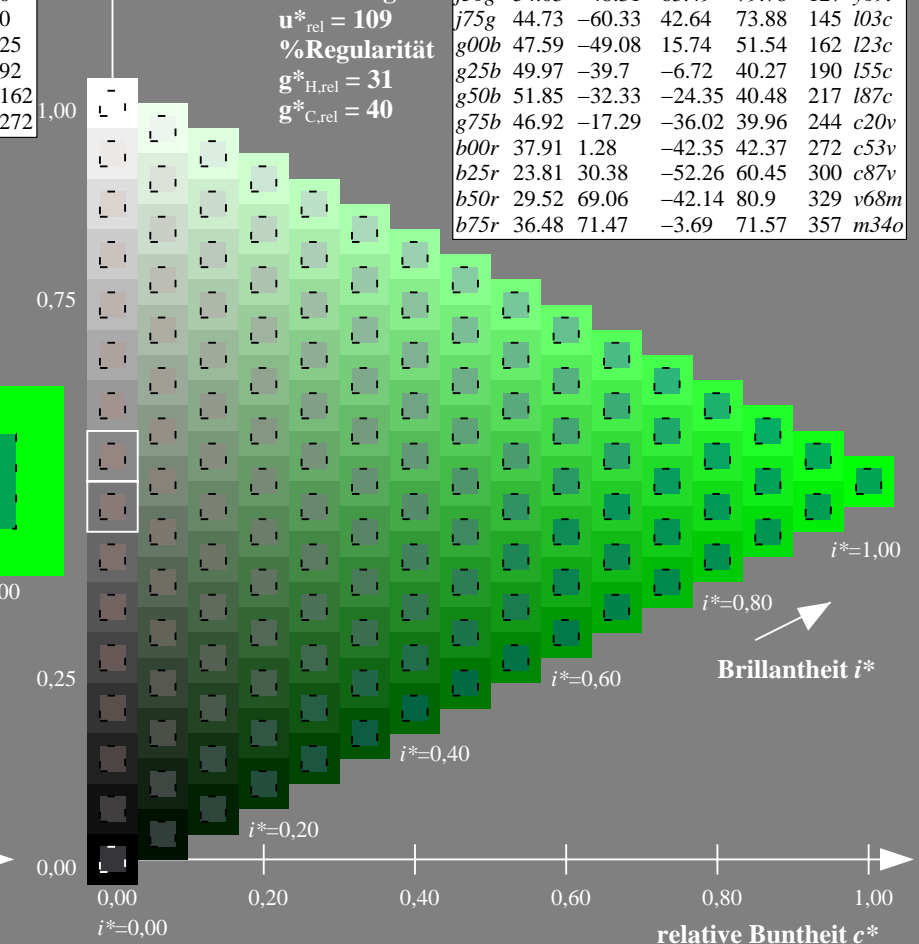
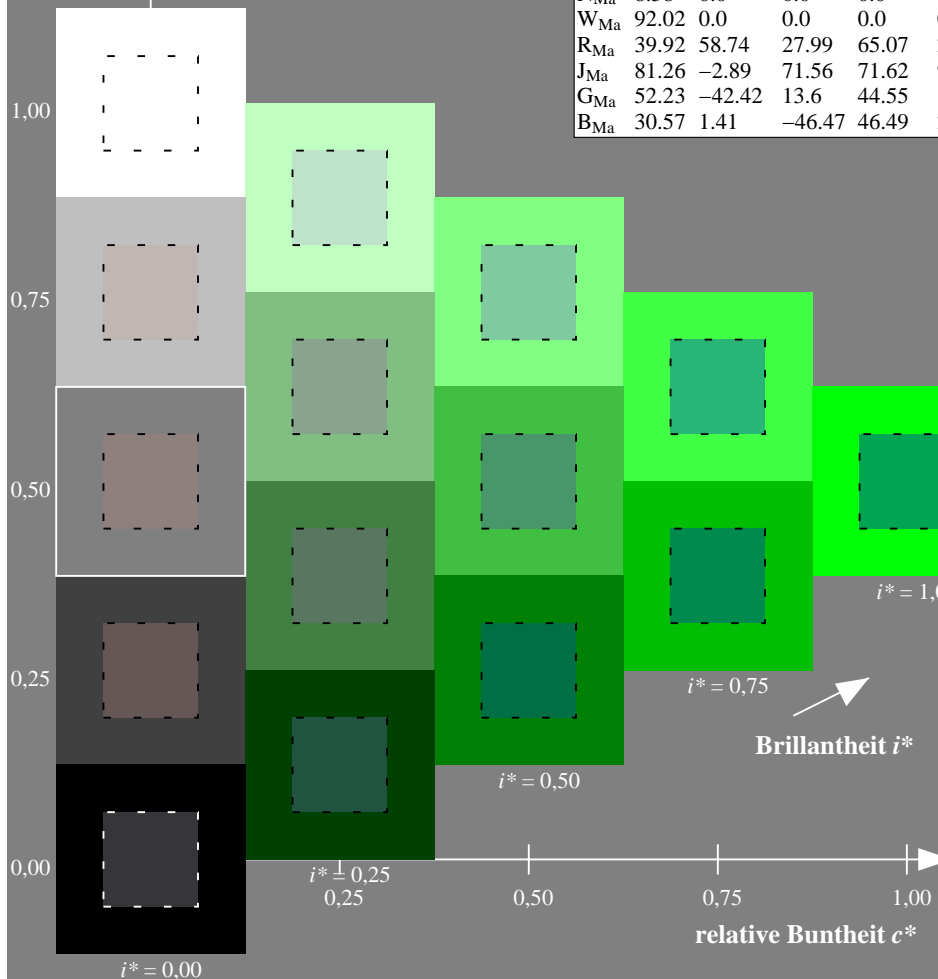
$lab^*rgb^*_{Ma}: 0.25 1.0 0.0$

$lab^*olv^*_{Ma}: 0.0 1.0 0.03$

Dreiecks-Helligkeit t^*

FRS09_92aM; adaptierte CIELAB-Daten

u^*_e	$L^*=L^*_a$	a^*_a	b^*_a	$C^*_{ab,a}$	$h^*_{ab,a}$	u^*_d
r00j	35.47	63.32	30.17	70.15	25	m81o
r25j	39.12	54.56	49.45	73.64	42	o10y
r50j	50.64	39.15	64.89	75.79	59	o40y
r75j	64.01	21.26	82.83	85.52	76	o69y
j00g	83.18	-4.38	108.53	108.62	92	o98y
j25g	66.73	-29.89	83.06	88.28	110	y34l
j50g	54.03	-48.31	63.49	79.78	127	y69l
j75g	44.73	-60.33	42.64	73.88	145	l03c
g00b	47.59	-49.08	15.74	51.54	162	l23c
g25b	49.97	-39.7	-6.72	40.27	190	l55c
g50b	51.85	-32.33	-24.35	40.48	217	l87c
g75b	46.92	-17.29	-36.02	39.96	244	c20v
b00r	37.91	1.28	-42.35	42.37	272	c53v
b25r	23.81	30.38	-52.26	60.45	300	c87v
b50r	29.52	69.06	-42.14	80.9	329	v68m
b75r	36.48	71.47	-3.69	71.57	357	m34o



%Umfang
 $u^*_{rel} = 109$
 %Regularität
 $g^*_{H,rel} = 31$
 $g^*_{C,rel} = 40$

Ein und Ausgabe: Farbmatisches Drucker-Reflektiv-System FRS09_92aM für relativen CIELAB-Bunton $h^* = lab^*h^* = h_{ab}/360 = 0.451$

$u^*_e = g00b$

Daten für jede Farbe:

lab^*tch^* und lab^*icu^*

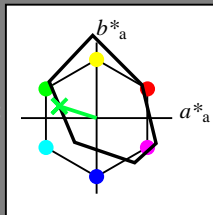
Buntontexte:

$u^*_e = g00b$ $u^*_d = l23c$

Kontrastreduzierungsfaktor:

$c_R = 1.0$

Dreiecks-Helligkeit t^*



FRS09_92aM; adaptierte CIELAB-Daten

u^*_e	$L^*=L^*_a$	a^*_a	b^*_a	$C^*_{ab,a}$	$h^*_{ab,a}$
O _{Ma}	35.06	60.0	44.0	74.4	36
Y _{Ma}	83.77	-5.17	109.32	109.44	93
L _{Ma}	44.13	-62.67	48.24	79.09	142
C _{Ma}	52.66	-29.14	-31.99	43.27	228
V _{Ma}	14.15	50.3	-59.04	77.57	310
M _{Ma}	37.37	78.64	-33.5	85.48	337
N _{Ma}	8.58	0.0	0.0	0.0	0
W _{Ma}	92.02	0.0	0.0	0.0	0
R _{Ma}	39.92	58.74	27.99	65.07	25
J _{Ma}	81.26	-2.89	71.56	71.62	92
G _{Ma}	52.23	-42.42	13.6	44.55	162
B _{Ma}	30.57	1.41	-46.47	46.49	272

Daten für Maximalfarbe (Ma):

$LAB^*LAB^*_{Ma}$: 48 -49 16

$LAB^*LCH^*_{Ma}$: 48 52 162

$lab^*rgb^*_{Ma}$: 0.0 1.0 0.0

$lab^*olv^*_{Ma}$: 0.0 1.0 0.23

Dreiecks-Helligkeit t^*

%Umfang

$u^*_{rel} = 109$

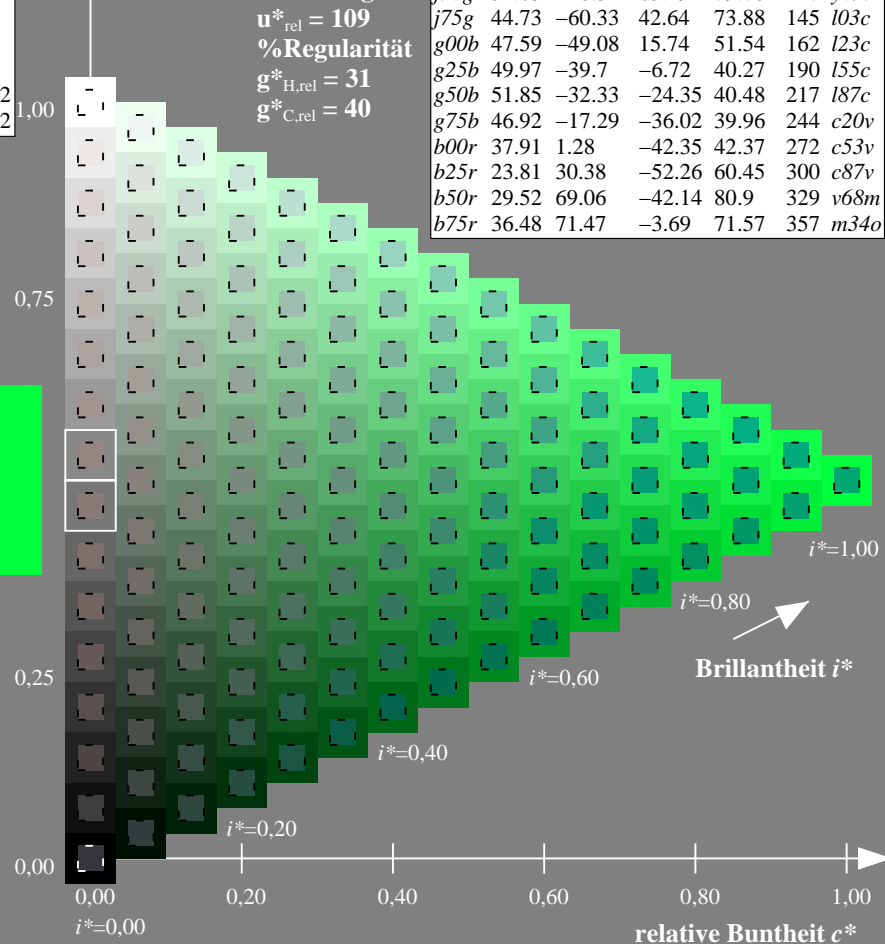
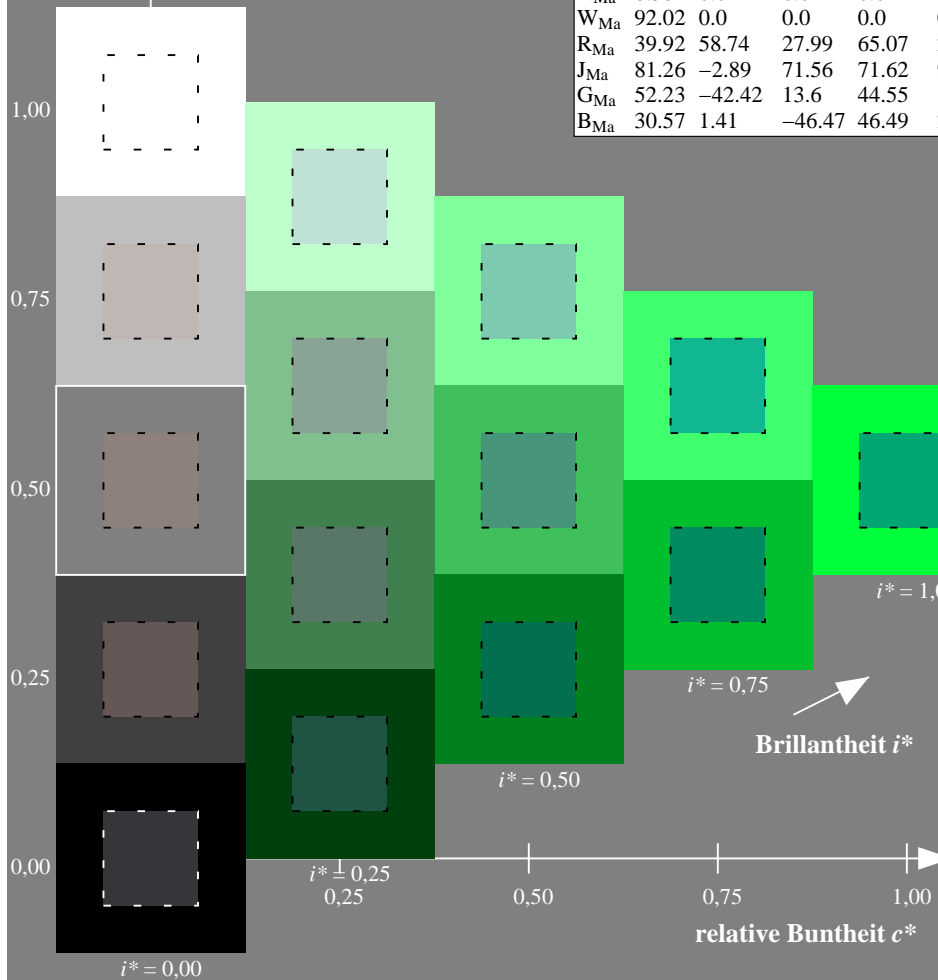
%Regularität

$g^*_{H,rel} = 31$

$g^*_{C,rel} = 40$

FRS09_92aM; adaptierte CIELAB-Daten

u^*_e	$L^*=L^*_a$	a^*_a	b^*_a	$C^*_{ab,a}$	$h^*_{ab,a}$	u^*_d
r00j	35.47	63.32	30.17	70.15	25	m81o
r25j	39.12	54.56	49.45	73.64	42	o10y
r50j	50.64	39.15	64.89	75.79	59	o40y
r75j	64.01	21.26	82.83	85.52	76	o69y
j00g	83.18	-4.38	108.53	108.62	92	o98y
j25g	66.73	-29.89	83.06	88.28	110	y34l
j50g	54.03	-48.31	63.49	79.78	127	y69l
j75g	44.73	-60.33	42.64	73.88	145	l03c
g00b	47.59	-49.08	15.74	51.54	162	l23c
g25b	49.97	-39.7	-6.72	40.27	190	l55c
g50b	51.85	-32.33	-24.35	40.48	217	l87c
g75b	46.92	-17.29	-36.02	39.96	244	c20v
b00r	37.91	1.28	-42.35	42.37	272	c53v
b25r	23.81	30.38	-52.26	60.45	300	c87v
b50r	29.52	69.06	-42.14	80.9	329	v68m
b75r	36.48	71.47	-3.69	71.57	357	m34o



Ein und Ausgabe: Farbmatisches Drucker-Reflektiv-System FRS09_92aM für relativen CIELAB-Bunton $h^* = lab^*h^* = h_{ab}/360 = 0.527$

$u^*_e = g25b$

Daten für jede Farbe:

lab^*tch^* und lab^*icu^*

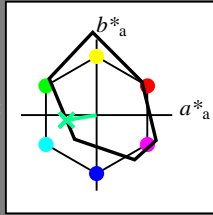
Buntontexte:

$u^*_e = g25b$ $u^*_d = l55c$

Kontrastreduzierungsfaktor:

$c_R = 1.0$

Dreiecks-Helligkeit t^*



FRS09_92aM; adaptierte CIELAB-Daten

u^*_e	$L^*=L^*_a$	a^*_a	b^*_a	$C^*_{ab,a}$	$h^*_{ab,a}$
O _{Ma}	35.06	60.0	44.0	74.4	36
Y _{Ma}	83.77	-5.17	109.32	109.44	93
L _{Ma}	44.13	-62.67	48.24	79.09	142
C _{Ma}	52.66	-29.14	-31.99	43.27	228
V _{Ma}	14.15	50.3	-59.04	77.57	310
M _{Ma}	37.37	78.64	-33.5	85.48	337
N _{Ma}	8.58	0.0	0.0	0.0	0
W _{Ma}	92.02	0.0	0.0	0.0	0
R _{Ma}	39.92	58.74	27.99	65.07	25
J _{Ma}	81.26	-2.89	71.56	71.62	92
G _{Ma}	52.23	-42.42	13.6	44.55	162
B _{Ma}	30.57	1.41	-46.47	46.49	272

Daten für Maximalfarbe (Ma):

$LAB^*LAB^*_{Ma}: 50 -40 -7$

$LAB^*LCH^*_{Ma}: 50 40 189$

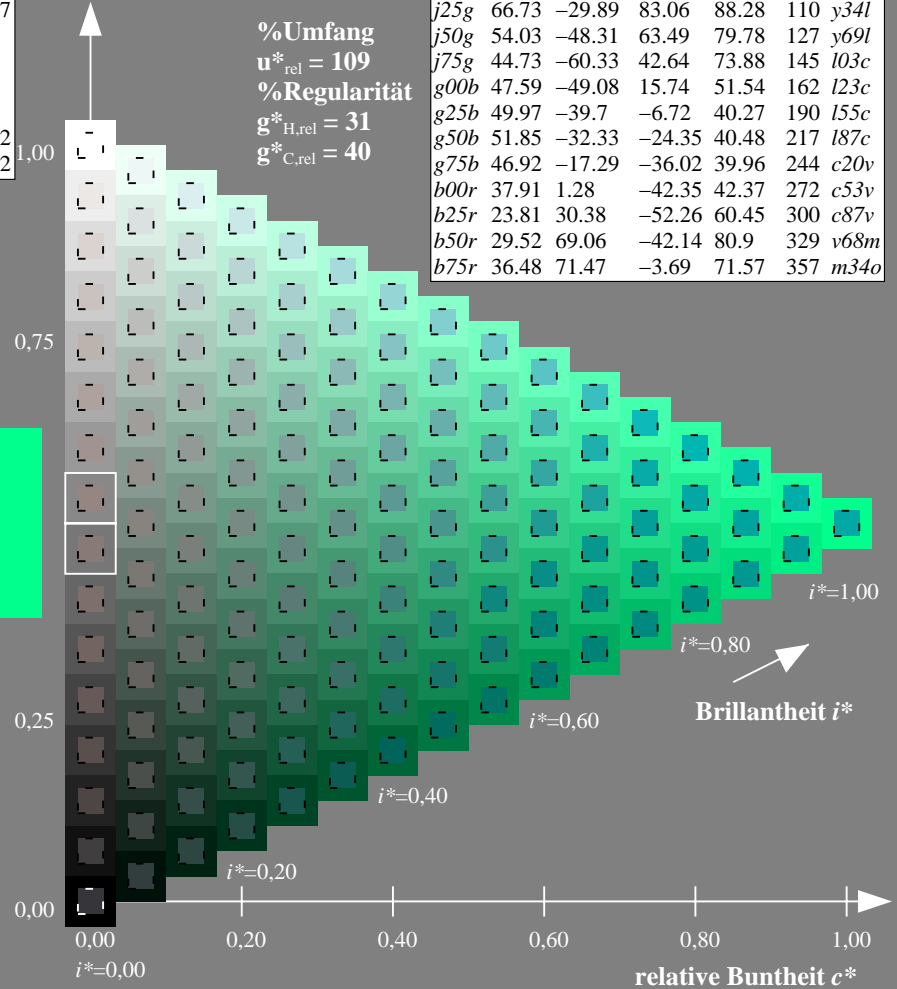
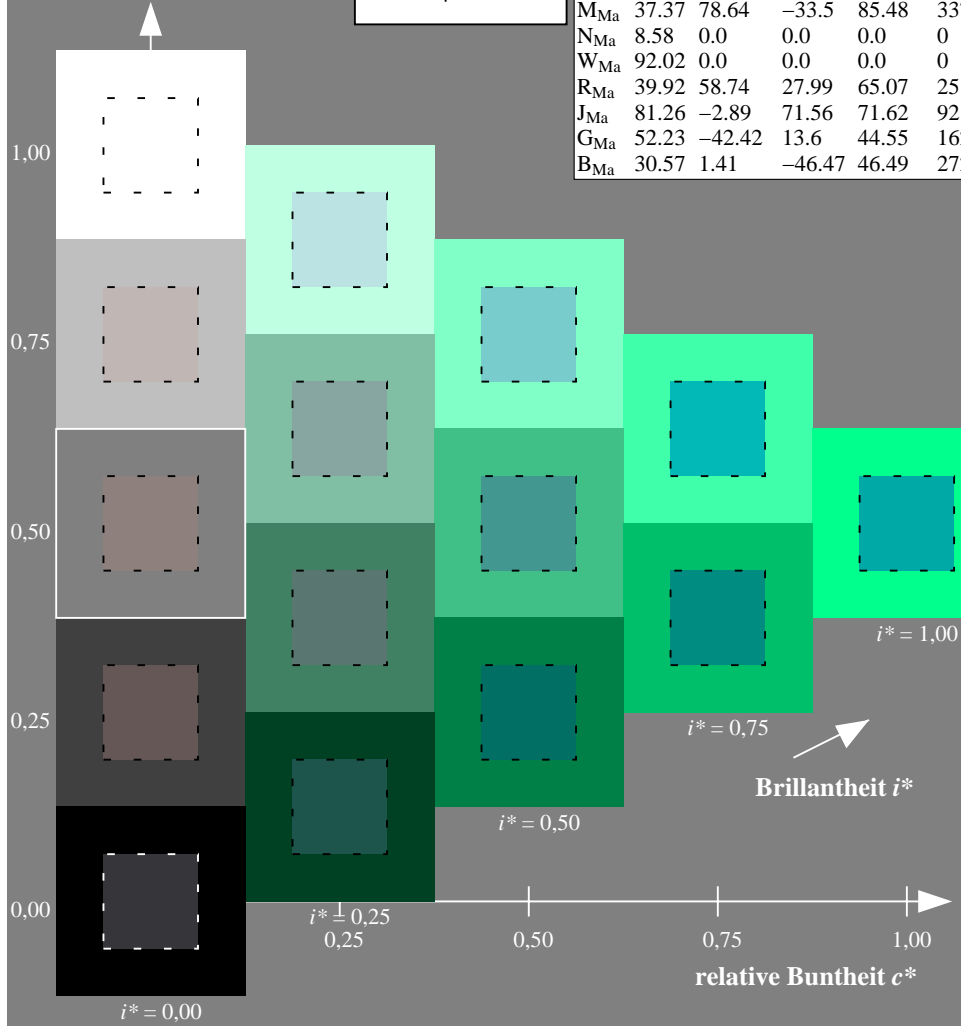
$lab^*rgb^*_{Ma}: 0.0 1.0 0.5$

$lab^*olv^*_{Ma}: 0.0 1.0 0.55$

Dreiecks-Helligkeit t^*

FRS09_92aM; adaptierte CIELAB-Daten

u^*_e	$L^*=L^*_a$	a^*_a	b^*_a	$C^*_{ab,a}$	$h^*_{ab,a}$	u^*_d
r00j	35.47	63.32	30.17	70.15	25	m81o
r25j	39.12	54.56	49.45	73.64	42	o10y
r50j	50.64	39.15	64.89	75.79	59	o40y
r75j	64.01	21.26	82.83	85.52	76	o69y
j00g	83.18	-4.38	108.53	108.62	92	o98y
j25g	66.73	-29.89	83.06	88.28	110	y34l
j50g	54.03	-48.31	63.49	79.78	127	y69l
j75g	44.73	-60.33	42.64	73.88	145	l03c
g00b	47.59	-49.08	15.74	51.54	162	l23c
g25b	49.97	-39.7	-6.72	40.27	190	l55c
g50b	51.85	-32.33	-24.35	40.48	217	l87c
g75b	46.92	-17.29	-36.02	39.96	244	c20v
b00r	37.91	1.28	-42.35	42.37	272	c53v
b25r	23.81	30.38	-52.26	60.45	300	c87v
b50r	29.52	69.06	-42.14	80.9	329	v68m
b75r	36.48	71.47	-3.69	71.57	357	m34o



Ein und Ausgabe: Farbmatisches Drucker-Reflektiv-System FRS09_92aM für relativen CIELAB-Bunton $h^* = lab^*h^* = h_{ab}/360 = 0.603$

$u^*_e = g50b$

Daten für jede Farbe:

lab^*tch^* und lab^*icu^*

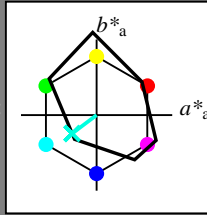
Buntontexte:

$u^*_e = g50b$ $u^*_d = l87c$

Kontrastreduzierungsfaktor:

$c_R = 1.0$

Dreiecks-Helligkeit t^*



FRS09_92aM; adaptierte CIELAB-Daten

u^*_e	$L^*=L^*_a$	a^*_a	b^*_a	$C^*_{ab,a}$	$h^*_{ab,a}$
O_{Ma}	35.06	60.0	44.0	74.4	36
Y_{Ma}	83.77	-5.17	109.32	109.44	93
L_{Ma}	44.13	-62.67	48.24	79.09	142
C_{Ma}	52.66	-29.14	-31.99	43.27	228
V_{Ma}	14.15	50.3	-59.04	77.57	310
M_{Ma}	37.37	78.64	-33.5	85.48	337
N_{Ma}	8.58	0.0	0.0	0.0	0
W_{Ma}	92.02	0.0	0.0	0.0	0
R_{Ma}	39.92	58.74	27.99	65.07	25
J_{Ma}	81.26	-2.89	71.56	71.62	92
G_{Ma}	52.23	-42.42	13.6	44.55	162
B_{Ma}	30.57	1.41	-46.47	46.49	272

Daten für Maximalfarbe (Ma):

$LAB^*LAB^*_{Ma}: 52 -32 -24$

$LAB^*LCH^*_{Ma}: 52 40 216$

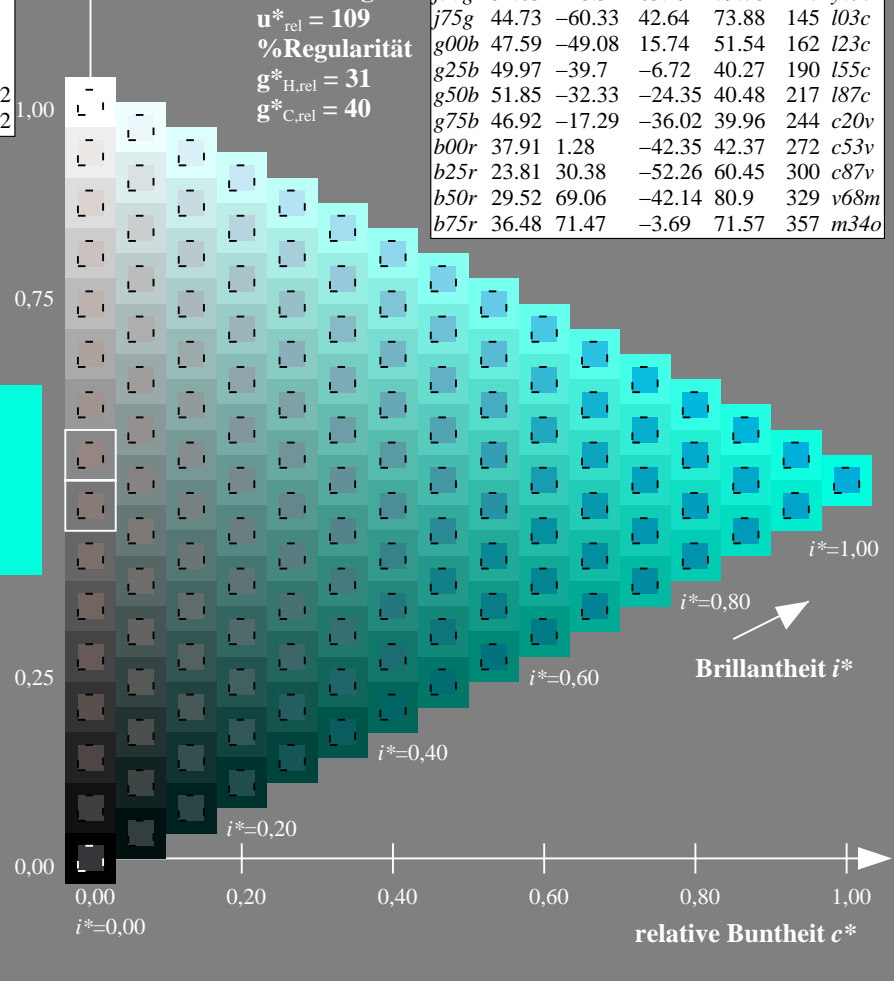
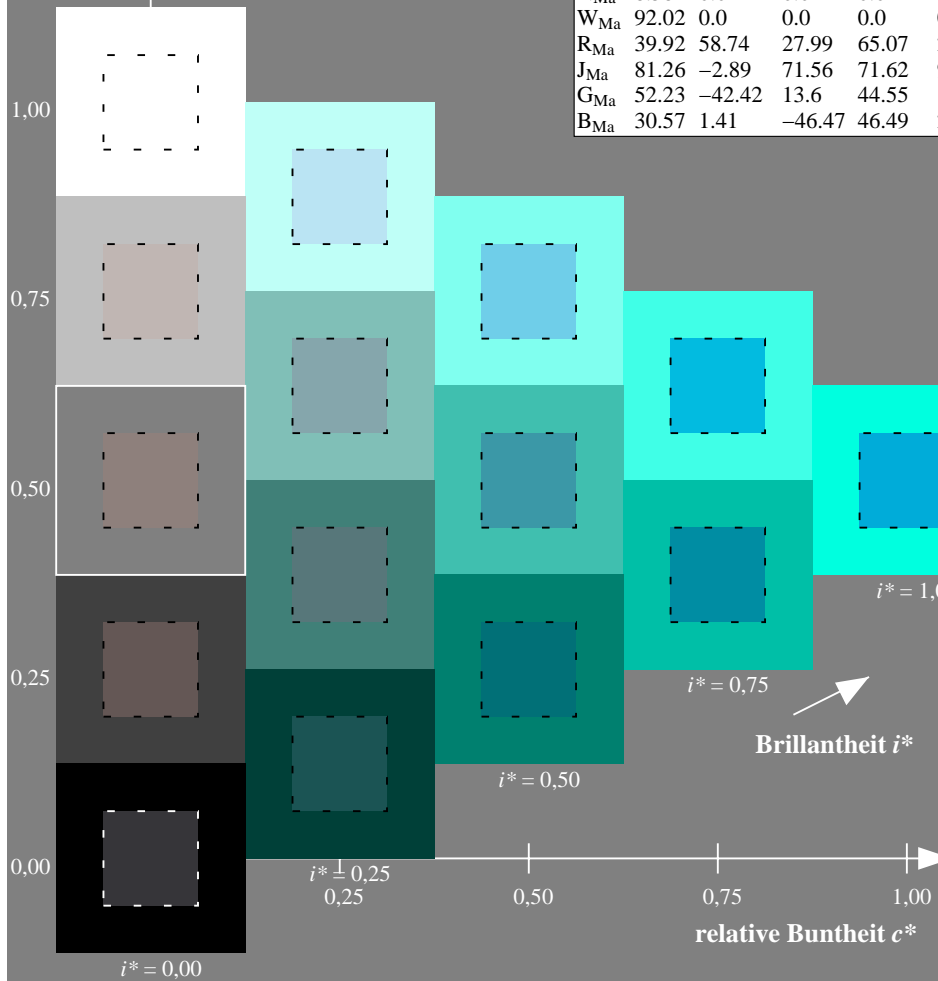
$lab^*rgb^*_{Ma}: 0.0 1.0 1.0$

$lab^*olv^*_{Ma}: 0.0 1.0 0.87$

Dreiecks-Helligkeit t^*

FRS09_92aM; adaptierte CIELAB-Daten

u^*_e	$L^*=L^*_a$	a^*_a	b^*_a	$C^*_{ab,a}$	$h^*_{ab,a}$	u^*_d
$r00j$	35.47	63.32	30.17	70.15	25	$m81o$
$r25j$	39.12	54.56	49.45	73.64	42	$o10y$
$r50j$	50.64	39.15	64.89	75.79	59	$o40y$
$r75j$	64.01	21.26	82.83	85.52	76	$o69y$
$j00g$	83.18	-4.38	108.53	108.62	92	$o98y$
$j25g$	66.73	-29.89	83.06	88.28	110	$y34l$
$j50g$	54.03	-48.31	63.49	79.78	127	$y69l$
$j75g$	44.73	-60.33	42.64	73.88	145	$l03c$
$g00b$	47.59	-49.08	15.74	51.54	162	$l23c$
$g25b$	49.97	-39.7	-6.72	40.27	190	$l55c$
$g50b$	51.85	-32.33	-24.35	40.48	217	$l87c$
$g75b$	46.92	-17.29	-36.02	39.96	244	$c20v$
$b00r$	37.91	1.28	-42.35	42.37	272	$c53v$
$b25r$	23.81	30.38	-52.26	60.45	300	$c87v$
$b50r$	29.52	69.06	-42.14	80.9	329	$v68m$
$b75r$	36.48	71.47	-3.69	71.57	357	$m34o$



Ein und Ausgabe: Farbmatisches Drucker-Reflektiv-System FRS09_92aM für relativen CIELAB-Bunton $h^* = lab^*h^* = h_{ab}/360 = 0.679$

$u^*_e = g75b$

Daten für jede Farbe:

lab^*tch^* und lab^*icu^*

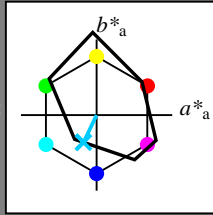
Buntontexte:

$u^*_e = g75b$ $u^*_d = c20v$

Kontrastreduzierungsfaktor:

$c_R = 1.0$

Dreiecks-Helligkeit t^*



FRS09_92aM; adaptierte CIELAB-Daten

u^*_e	$L^*=L^*_a$	a^*_a	b^*_a	$C^*_{ab,a}$	$h^*_{ab,a}$
O _{Ma}	35.06	60.0	44.0	74.4	36
Y _{Ma}	83.77	-5.17	109.32	109.44	93
L _{Ma}	44.13	-62.67	48.24	79.09	142
C _{Ma}	52.66	-29.14	-31.99	43.27	228
V _{Ma}	14.15	50.3	-59.04	77.57	310
M _{Ma}	37.37	78.64	-33.5	85.48	337
N _{Ma}	8.58	0.0	0.0	0.0	0
W _{Ma}	92.02	0.0	0.0	0.0	0
R _{Ma}	39.92	58.74	27.99	65.07	25
J _{Ma}	81.26	-2.89	71.56	71.62	92
G _{Ma}	52.23	-42.42	13.6	44.55	162
B _{Ma}	30.57	1.41	-46.47	46.49	272

Daten für Maximalfarbe (Ma):

$LAB^*LAB^*_{Ma}$: 47 -17 -36

$LAB^*LCH^*_{Ma}$: 47 40 244

$lab^*rgb^*_{Ma}$: 0.0 0.5 1.0

$lab^*olv^*_{Ma}$: 0.0 0.8 1.0

Dreiecks-Helligkeit t^*

%Umfang

$u^*_{rel} = 109$

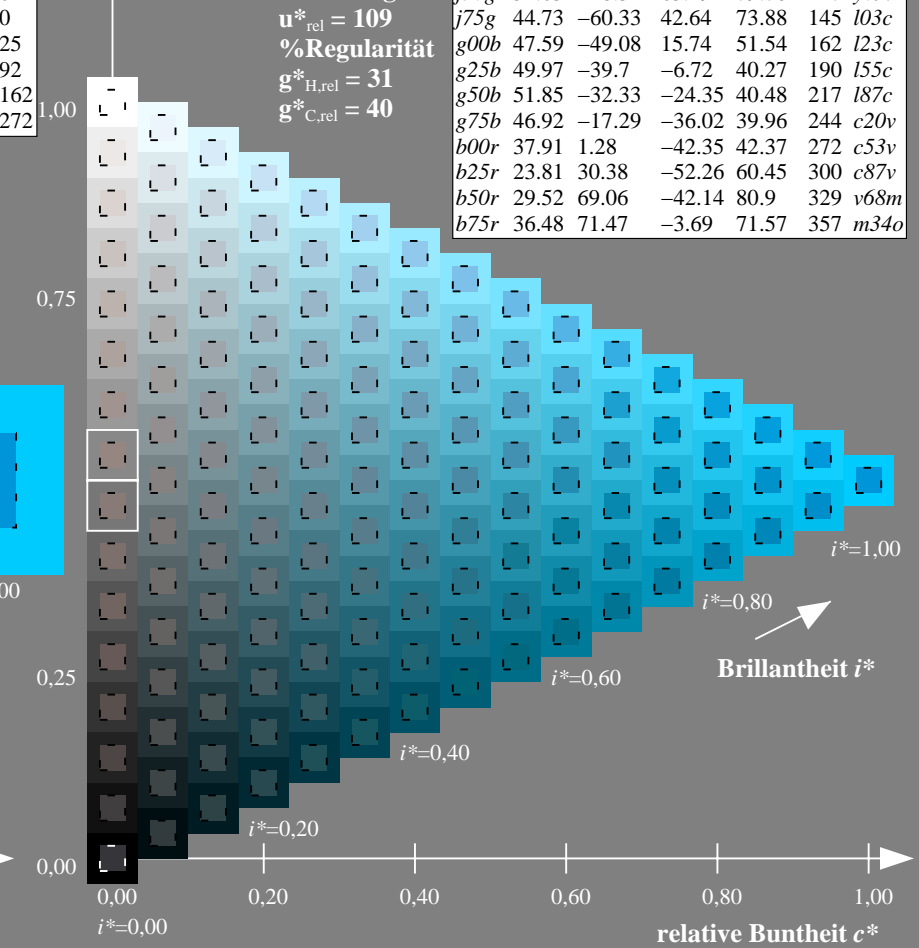
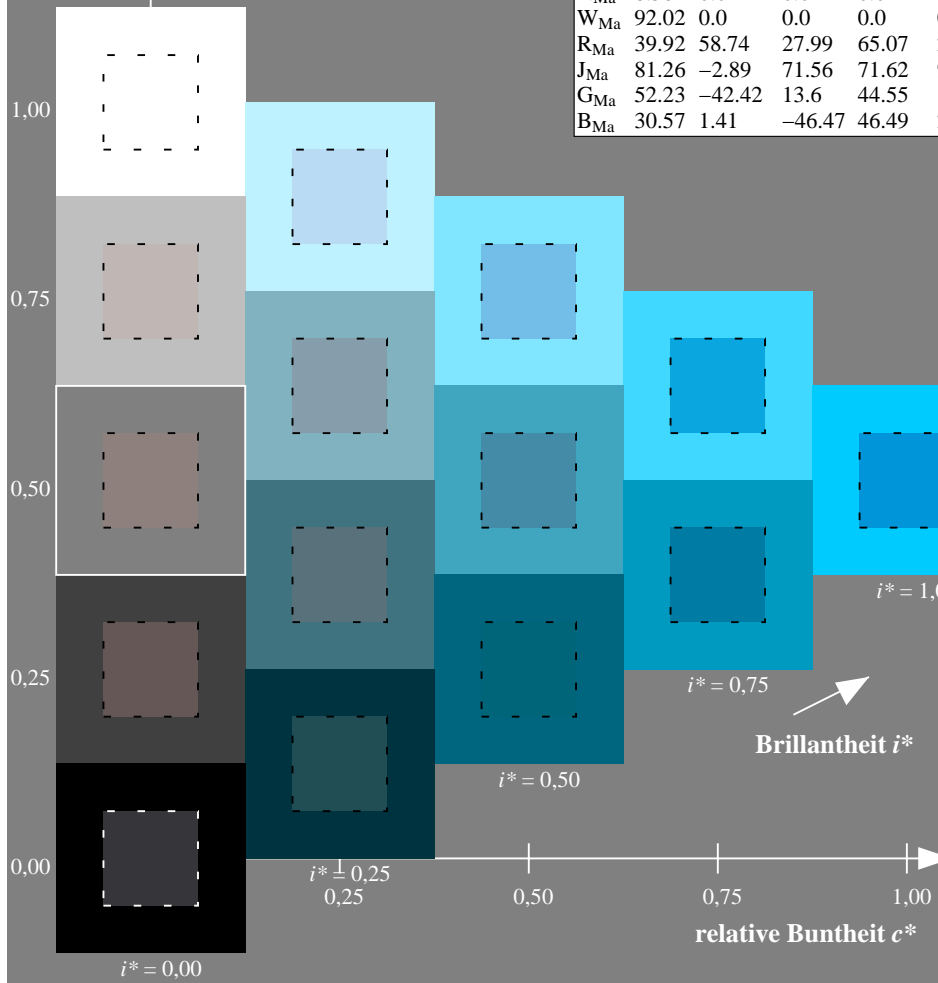
%Regularität

$g^*_{H,rel} = 31$

$g^*_{C,rel} = 40$

FRS09_92aM; adaptierte CIELAB-Daten

u^*_e	$L^*=L^*_a$	a^*_a	b^*_a	$C^*_{ab,a}$	$h^*_{ab,a}$	u^*_d
r00j	35.47	63.32	30.17	70.15	25	m81o
r25j	39.12	54.56	49.45	73.64	42	o10y
r50j	50.64	39.15	64.89	75.79	59	o40y
r75j	64.01	21.26	82.83	85.52	76	o69y
j00g	83.18	-4.38	108.53	108.62	92	o98y
j25g	66.73	-29.89	83.06	88.28	110	y34l
j50g	54.03	-48.31	63.49	79.78	127	y69l
j75g	44.73	-60.33	42.64	73.88	145	l03c
g00b	47.59	-49.08	15.74	51.54	162	l23c
g25b	49.97	-39.7	-6.72	40.27	190	l55c
g50b	51.85	-32.33	-24.35	40.48	217	l87c
g75b	46.92	-17.29	-36.02	39.96	244	c20v
b00r	37.91	1.28	-42.35	42.37	272	c53v
b25r	23.81	30.38	-52.26	60.45	300	c87v
b50r	29.52	69.06	-42.14	80.9	329	v68m
b75r	36.48	71.47	-3.69	71.57	357	m34o



Ein und Ausgabe: Farbmatisches Drucker-Reflektiv-System FRS09_92aM für relativen CIELAB-Bunton $h^* = lab^*h^* = h_{ab}/360 = 0.755$

$u^*_e = b00r$

Daten für jede Farbe:

lab^*tch^* und lab^*icu^*

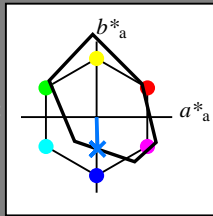
Buntontexte:

$u^*_e = b00r$ $u^*_d = c53v$

Kontrastreduzierungsfaktor:

$c_R = 1.0$

Dreiecks-Helligkeit t^*



FRS09_92aM; adaptierte CIELAB-Daten

u^*_e	$L^*=L^*_a$	a^*_a	b^*_a	$C^*_{ab,a}$	$h^*_{ab,a}$
O _{Ma}	35.06	60.0	44.0	74.4	36
Y _{Ma}	83.77	-5.17	109.32	109.44	93
L _{Ma}	44.13	-62.67	48.24	79.09	142
C _{Ma}	52.66	-29.14	-31.99	43.27	228
V _{Ma}	14.15	50.3	-59.04	77.57	310
M _{Ma}	37.37	78.64	-33.5	85.48	337
N _{Ma}	8.58	0.0	0.0	0.0	0
W _{Ma}	92.02	0.0	0.0	0.0	0
R _{Ma}	39.92	58.74	27.99	65.07	25
J _{Ma}	81.26	-2.89	71.56	71.62	92
G _{Ma}	52.23	-42.42	13.6	44.55	162
B _{Ma}	30.57	1.41	-46.47	46.49	272

Daten für Maximalfarbe (Ma):

$LAB^*LAB^*_{Ma}$: 38 1 -42

$LAB^*LCH^*_{Ma}$: 38 42 271

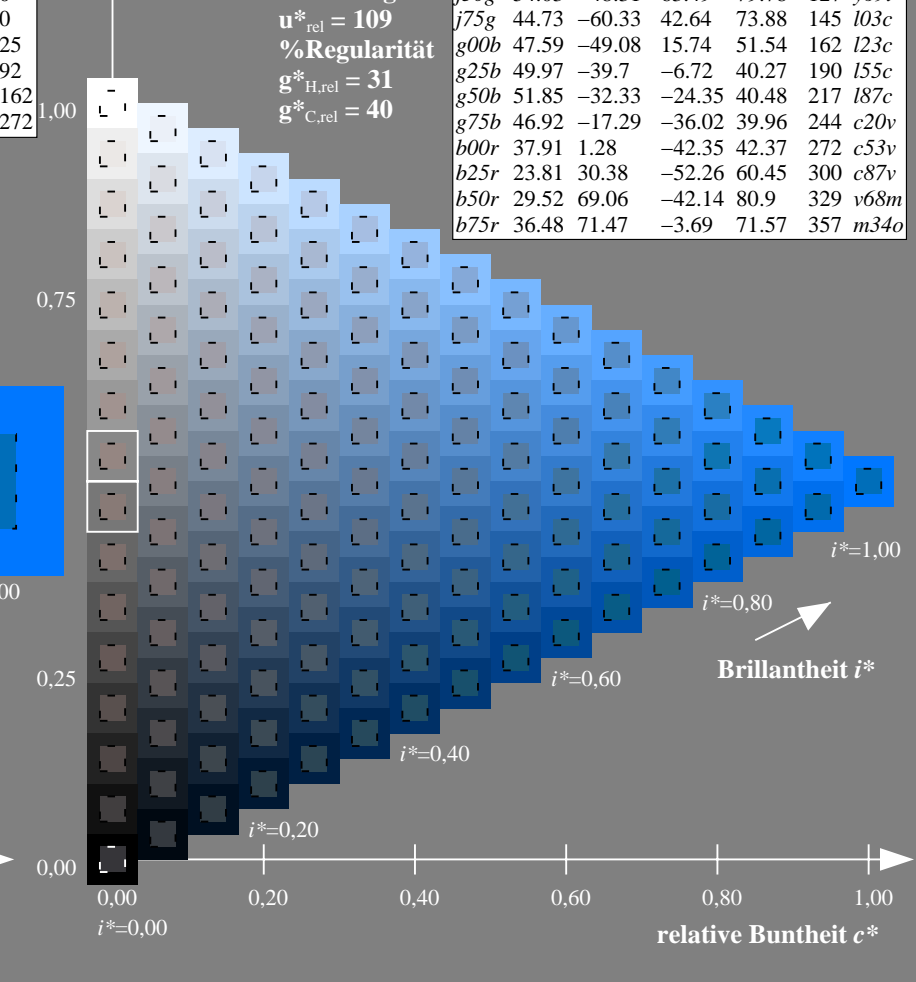
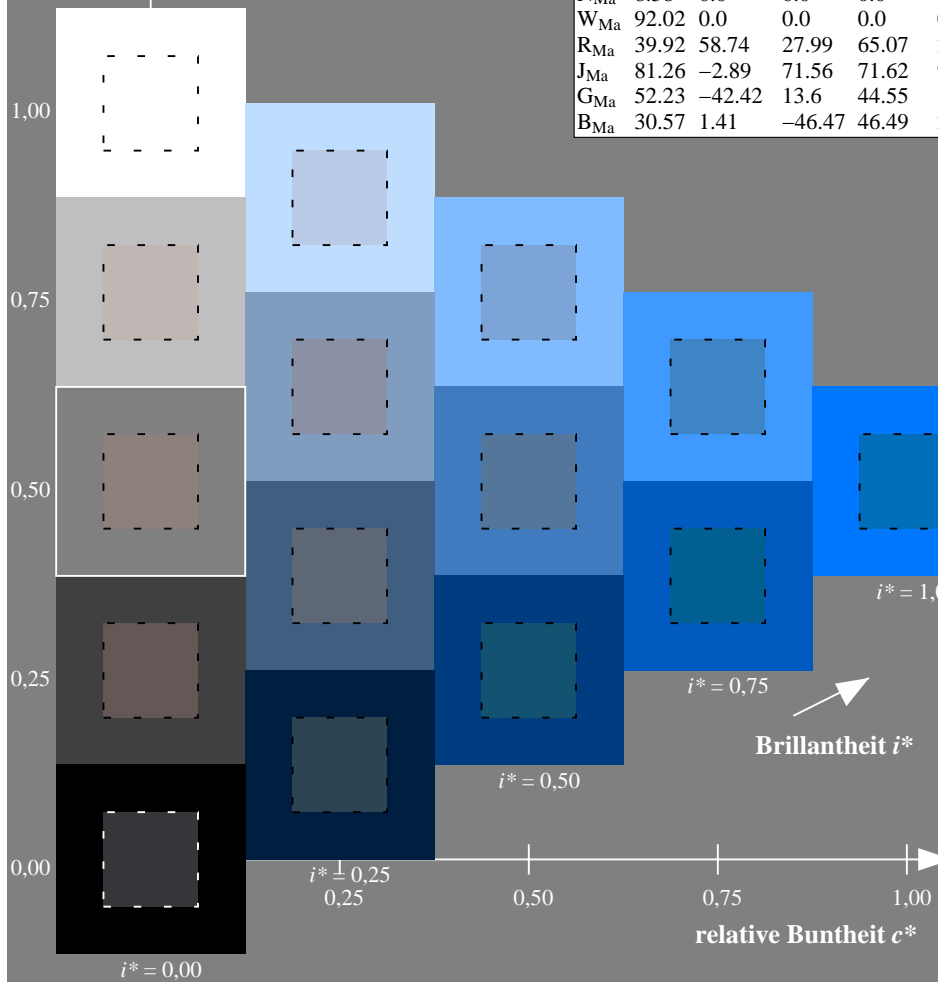
$lab^*rgb^*_{Ma}$: 0.0 0.0 1.0

$lab^*olv^*_{Ma}$: 0.0 0.47 1.0

Dreiecks-Helligkeit t^*

FRS09_92aM; adaptierte CIELAB-Daten

u^*_e	$L^*=L^*_a$	a^*_a	b^*_a	$C^*_{ab,a}$	$h^*_{ab,a}$	u^*_d
r00j	35.47	63.32	30.17	70.15	25	m81o
r25j	39.12	54.56	49.45	73.64	42	o10y
r50j	50.64	39.15	64.89	75.79	59	o40y
r75j	64.01	21.26	82.83	85.52	76	o69y
j00g	83.18	-4.38	108.53	108.62	92	o98y
j25g	66.73	-29.89	83.06	88.28	110	y34l
j50g	54.03	-48.31	63.49	79.78	127	y69l
j75g	44.73	-60.33	42.64	73.88	145	l03c
g00b	47.59	-49.08	15.74	51.54	162	l23c
g25b	49.97	-39.7	-6.72	40.27	190	l55c
g50b	51.85	-32.33	-24.35	40.48	217	l87c
g75b	46.92	-17.29	-36.02	39.96	244	c20v
b00r	37.91	1.28	-42.35	42.37	272	c53v
b25r	23.81	30.38	-52.26	60.45	300	c87v
b50r	29.52	69.06	-42.14	80.9	329	v68m
b75r	36.48	71.47	-3.69	71.57	357	m34o



Ein und Ausgabe: Farbmatisches Drucker-Reflektiv-System FRS09_92aM für relativen CIELAB-Bunton $h^* = lab^*h^* = h_{ab}/360 = 0.834$

$u^*_e = b25r$

Daten für jede Farbe:

lab^*tch^* und lab^*icu^*

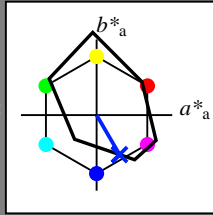
Buntontexte:

$u^*_e = b25r$ $u^*_d = c87v$

Kontrastreduzierungsfaktor:

$c_R = 1.0$

Dreiecks-Helligkeit t^*



FRS09_92aM; adaptierte CIELAB-Daten

u^*_e	$L^*=L^*_a$	a^*_a	b^*_a	$C^*_{ab,a}$	$h^*_{ab,a}$
O _{Ma}	35.06	60.0	44.0	74.4	36
Y _{Ma}	83.77	-5.17	109.32	109.44	93
L _{Ma}	44.13	-62.67	48.24	79.09	142
C _{Ma}	52.66	-29.14	-31.99	43.27	228
V _{Ma}	14.15	50.3	-59.04	77.57	310
M _{Ma}	37.37	78.64	-33.5	85.48	337
N _{Ma}	8.58	0.0	0.0	0.0	0
W _{Ma}	92.02	0.0	0.0	0.0	0
R _{Ma}	39.92	58.74	27.99	65.07	25
J _{Ma}	81.26	-2.89	71.56	71.62	92
G _{Ma}	52.23	-42.42	13.6	44.55	162
B _{Ma}	30.57	1.41	-46.47	46.49	272

Daten für Maximalfarbe (Ma):

$LAB^*LAB^*_{Ma}$: 24 30 -52

$LAB^*LCH^*_{Ma}$: 24 60 300

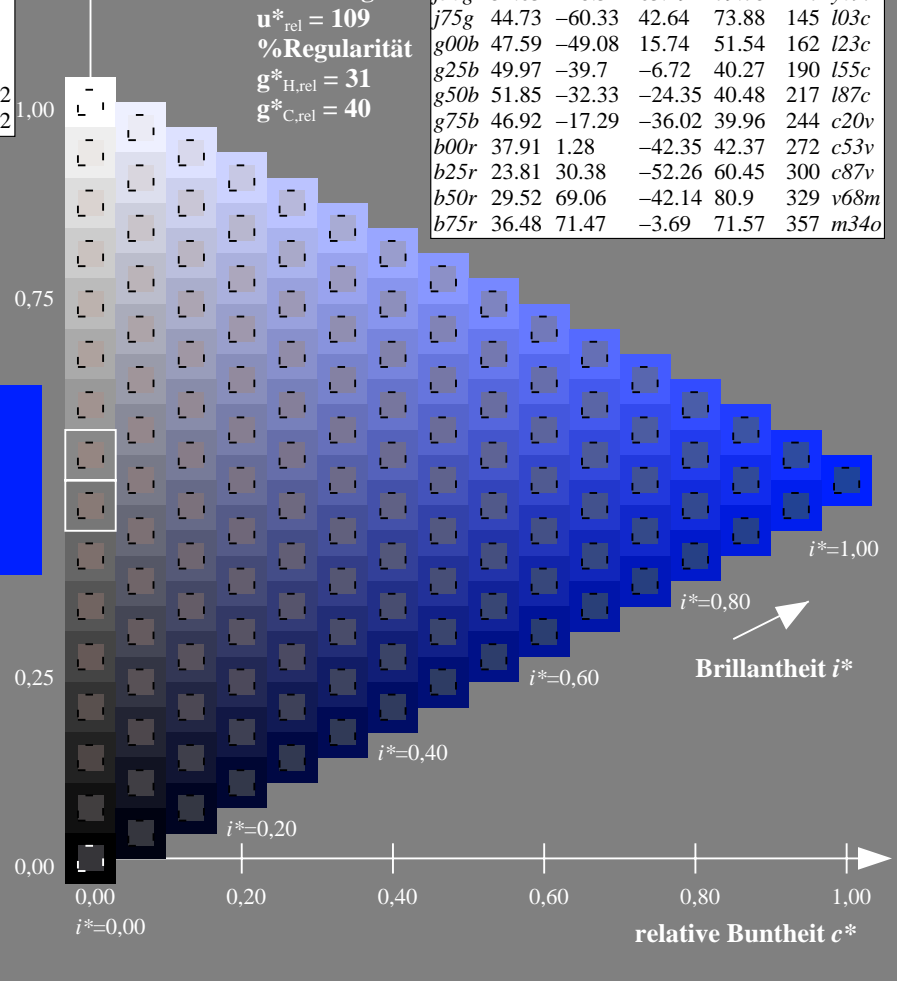
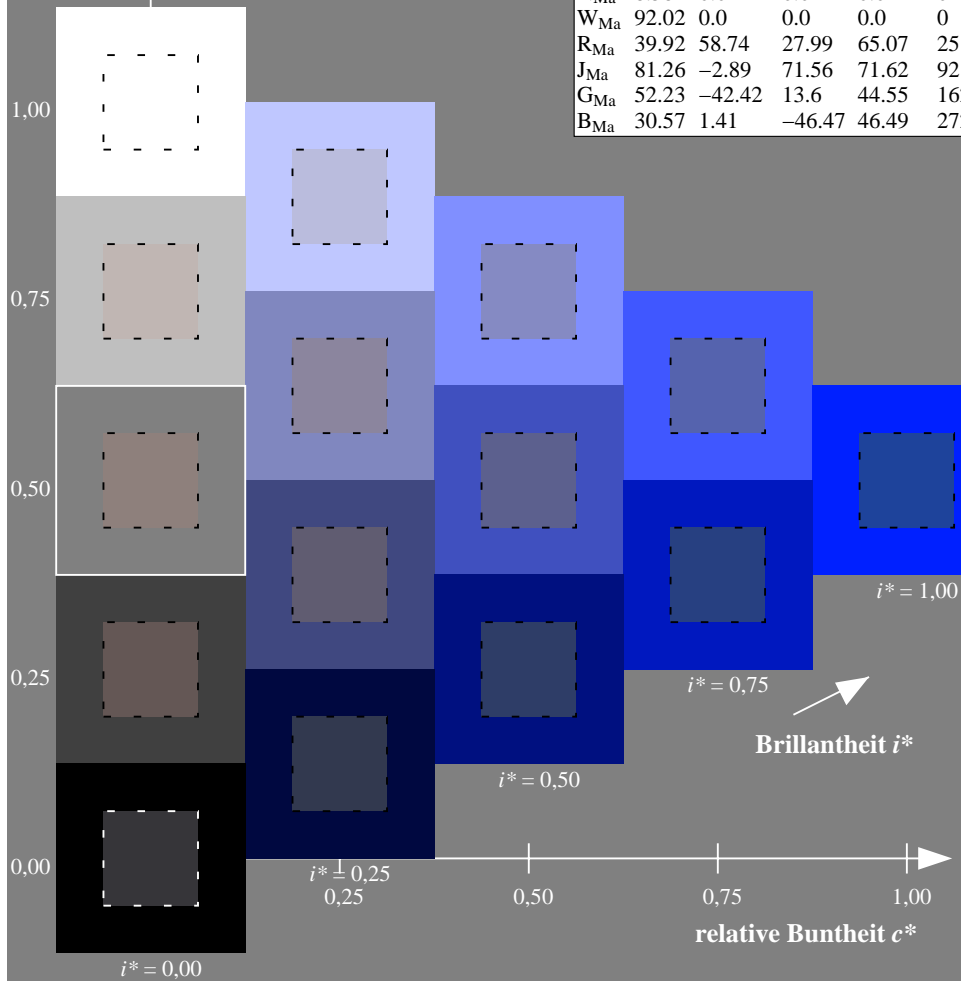
$lab^*rgb^*_{Ma}$: 0.5 0.0 1.0

$lab^*olv^*_{Ma}$: 0.0 0.12 1.0

Dreiecks-Helligkeit t^*

FRS09_92aM; adaptierte CIELAB-Daten

u^*_e	$L^*=L^*_a$	a^*_a	b^*_a	$C^*_{ab,a}$	$h^*_{ab,a}$	u^*_d
r00j	35.47	63.32	30.17	70.15	25	m81o
r25j	39.12	54.56	49.45	73.64	42	o10y
r50j	50.64	39.15	64.89	75.79	59	o40y
r75j	64.01	21.26	82.83	85.52	76	o69y
j00g	83.18	-4.38	108.53	108.62	92	o98y
j25g	66.73	-29.89	83.06	88.28	110	y34l
j50g	54.03	-48.31	63.49	79.78	127	y69l
j75g	44.73	-60.33	42.64	73.88	145	l03c
g00b	47.59	-49.08	15.74	51.54	162	l23c
g25b	49.97	-39.7	-6.72	40.27	190	l55c
g50b	51.85	-32.33	-24.35	40.48	217	l87c
g75b	46.92	-17.29	-36.02	39.96	244	c20v
b00r	37.91	1.28	-42.35	42.37	272	c53v
b25r	23.81	30.38	-52.26	60.45	300	c87v
b50r	29.52	69.06	-42.14	80.9	329	v68m
b75r	36.48	71.47	-3.69	71.57	357	m34o



Ein und Ausgabe: Farbmatisches Drucker-Reflektiv-System FRS09_92aM für relativen CIELAB-Bunton $h^* = lab^*h^* = h_{ab}/360 = 0.913$

$u^*_e = b50r$

Daten für jede Farbe:

lab^*tch^* und lab^*icu^*

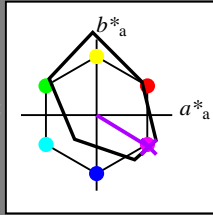
Buntontexte:

$u^*_e = b50r$ $u^*_d = v68m$

Kontrastreduzierungsfaktor:

$c_R = 1.0$

Dreiecks-Helligkeit t^*



FRS09_92aM; adaptierte CIELAB-Daten

u^*_e	$L^*=L^*_a$	a^*_a	b^*_a	$C^*_{ab,a}$	$h^*_{ab,a}$
O _{Ma}	35.06	60.0	44.0	74.4	36
Y _{Ma}	83.77	-5.17	109.32	109.44	93
L _{Ma}	44.13	-62.67	48.24	79.09	142
C _{Ma}	52.66	-29.14	-31.99	43.27	228
V _{Ma}	14.15	50.3	-59.04	77.57	310
M _{Ma}	37.37	78.64	-33.5	85.48	337
N _{Ma}	8.58	0.0	0.0	0.0	0
W _{Ma}	92.02	0.0	0.0	0.0	0
R _{Ma}	39.92	58.74	27.99	65.07	25
J _{Ma}	81.26	-2.89	71.56	71.62	92
G _{Ma}	52.23	-42.42	13.6	44.55	162
B _{Ma}	30.57	1.41	-46.47	46.49	272

Daten für Maximalfarbe (Ma):

$LAB^*LAB^*_{Ma}$: 30 69 -42

$LAB^*LCH^*_{Ma}$: 30 81 328

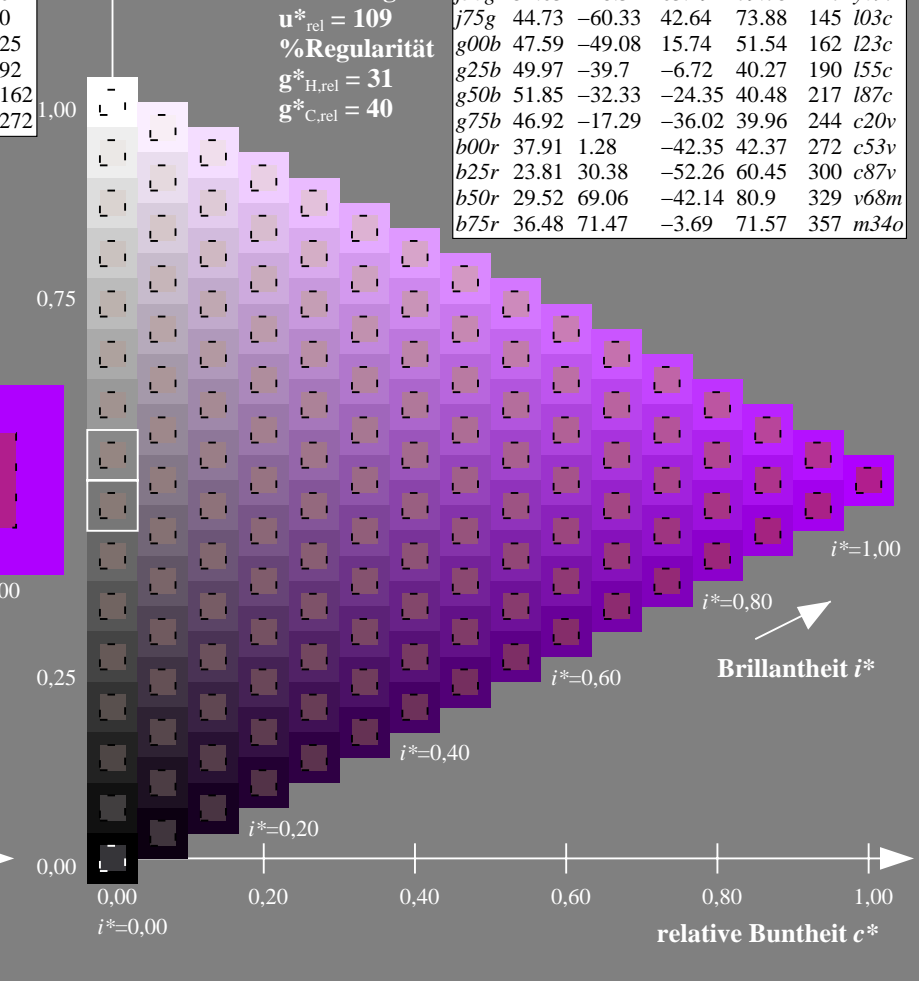
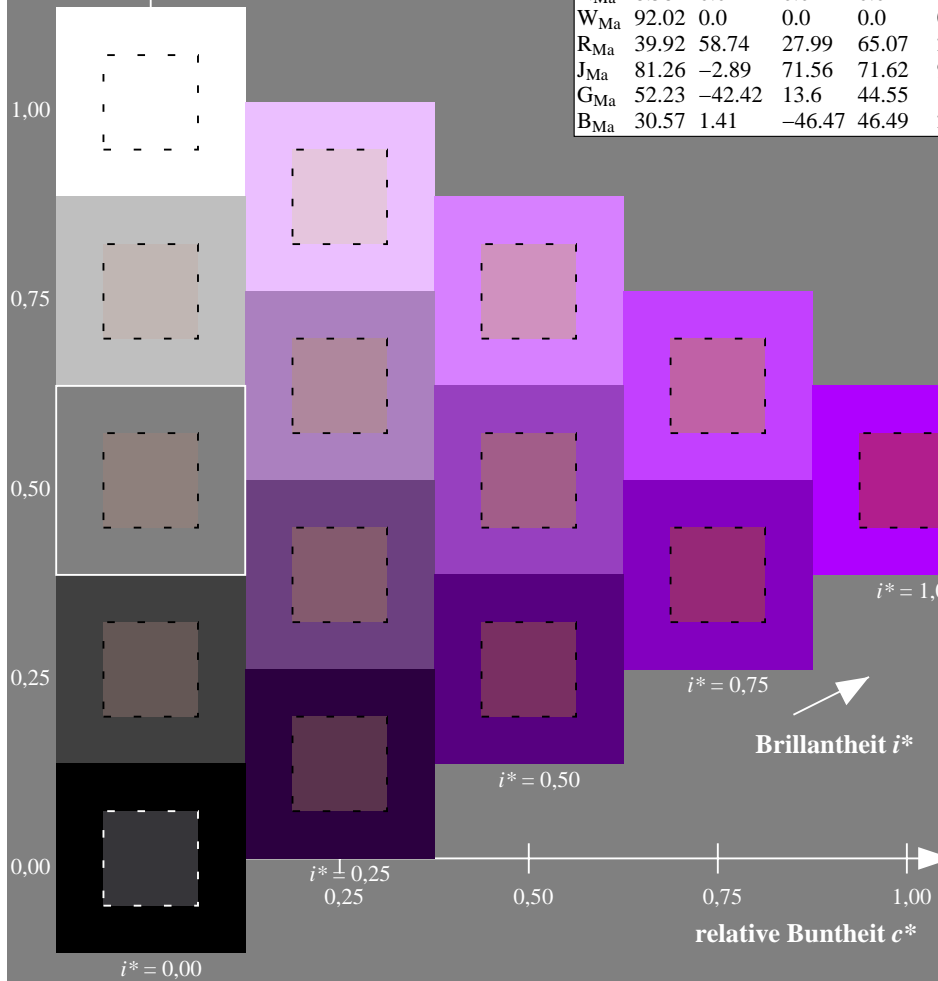
$lab^*rgb^*_{Ma}$: 1.0 0.0 1.0

$lab^*olv^*_{Ma}$: 0.69 0.0 1.0

Dreiecks-Helligkeit t^*

FRS09_92aM; adaptierte CIELAB-Daten

u^*_e	$L^*=L^*_a$	a^*_a	b^*_a	$C^*_{ab,a}$	$h^*_{ab,a}$	u^*_d
r00j	35.47	63.32	30.17	70.15	25	m81o
r25j	39.12	54.56	49.45	73.64	42	o10y
r50j	50.64	39.15	64.89	75.79	59	o40y
r75j	64.01	21.26	82.83	85.52	76	o69y
j00g	83.18	-4.38	108.53	108.62	92	o98y
j25g	66.73	-29.89	83.06	88.28	110	y34l
j50g	54.03	-48.31	63.49	79.78	127	y69l
j75g	44.73	-60.33	42.64	73.88	145	l03c
g00b	47.59	-49.08	15.74	51.54	162	l23c
g25b	49.97	-39.7	-6.72	40.27	190	l55c
g50b	51.85	-32.33	-24.35	40.48	217	l87c
g75b	46.92	-17.29	-36.02	39.96	244	c20v
b00r	37.91	1.28	-42.35	42.37	272	c53v
b25r	23.81	30.38	-52.26	60.45	300	c87v
b50r	29.52	69.06	-42.14	80.9	329	v68m
b75r	36.48	71.47	-3.69	71.57	357	m34o



%Umfang
 $u^*_{rel} = 109$
 %Regularität
 $g^*_{H,rel} = 31$
 $g^*_{C,rel} = 40$

Ein und Ausgabe: Farbmatisches Drucker-Reflektiv-System FRS09_92aM für relativen CIELAB-Bunton $h^* = lab^*h^* = h_{ab}/360 = 0.992$

$u^*_e = b75r$

Daten für jede Farbe:

lab^*tch^* und lab^*icu^*

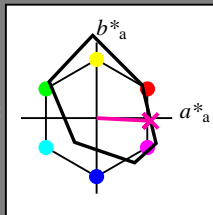
Buntontexte:

$u^*_e = b75r$ $u^*_d = m34o$

Kontrastreduzierungsfaktor:

$c_R = 1.0$

Dreiecks-Helligkeit t^*



FRS09_92aM; adaptierte CIELAB-Daten

u^*_e	$L^*=L^*_a$	a^*_a	b^*_a	$C^*_{ab,a}$	$h^*_{ab,a}$
O _{Ma}	35.06	60.0	44.0	74.4	36
Y _{Ma}	83.77	-5.17	109.32	109.44	93
L _{Ma}	44.13	-62.67	48.24	79.09	142
C _{Ma}	52.66	-29.14	-31.99	43.27	228
V _{Ma}	14.15	50.3	-59.04	77.57	310
M _{Ma}	37.37	78.64	-33.5	85.48	337
N _{Ma}	8.58	0.0	0.0	0.0	0
W _{Ma}	92.02	0.0	0.0	0.0	0
R _{Ma}	39.92	58.74	27.99	65.07	25
J _{Ma}	81.26	-2.89	71.56	71.62	92
G _{Ma}	52.23	-42.42	13.6	44.55	162
B _{Ma}	30.57	1.41	-46.47	46.49	272

Daten für Maximalfarbe (Ma):

$LAB^*LAB^*_{Ma}: 36\ 71\ -4$

$LAB^*LCH^*_{Ma}: 36\ 72\ 357$

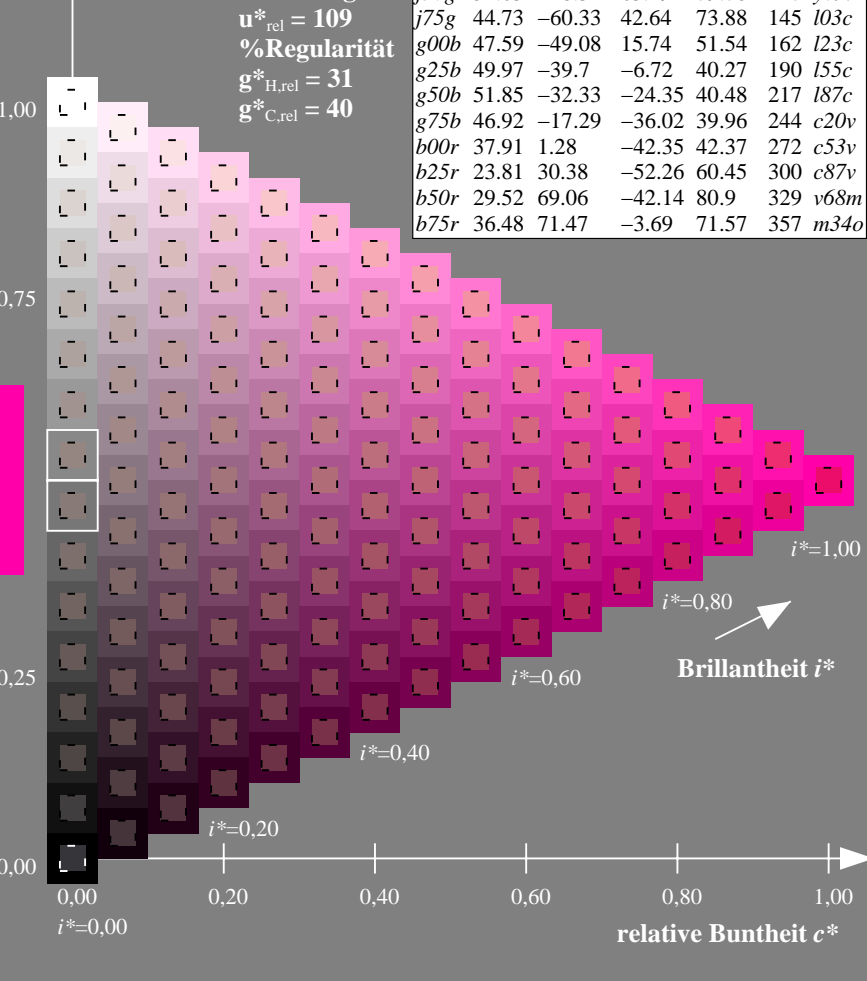
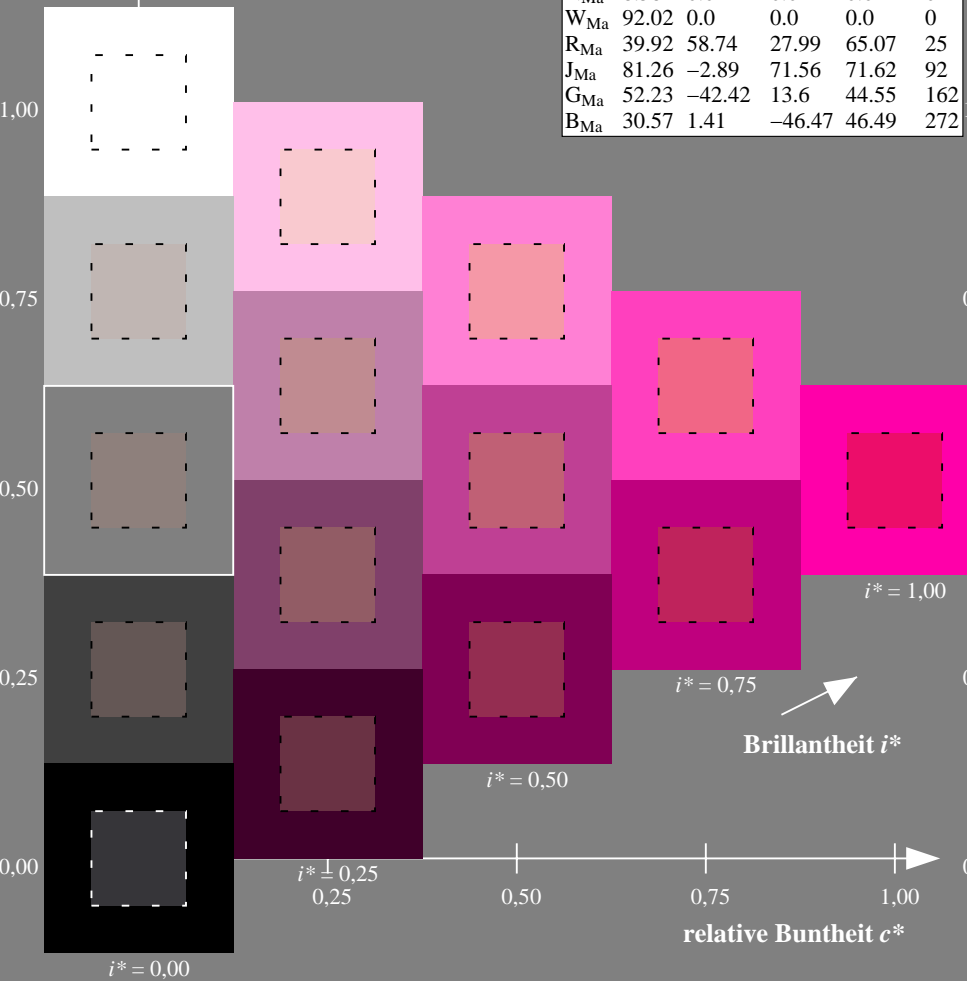
$lab^*rgb^*_{Ma}: 1.0\ 0.0\ 0.5$

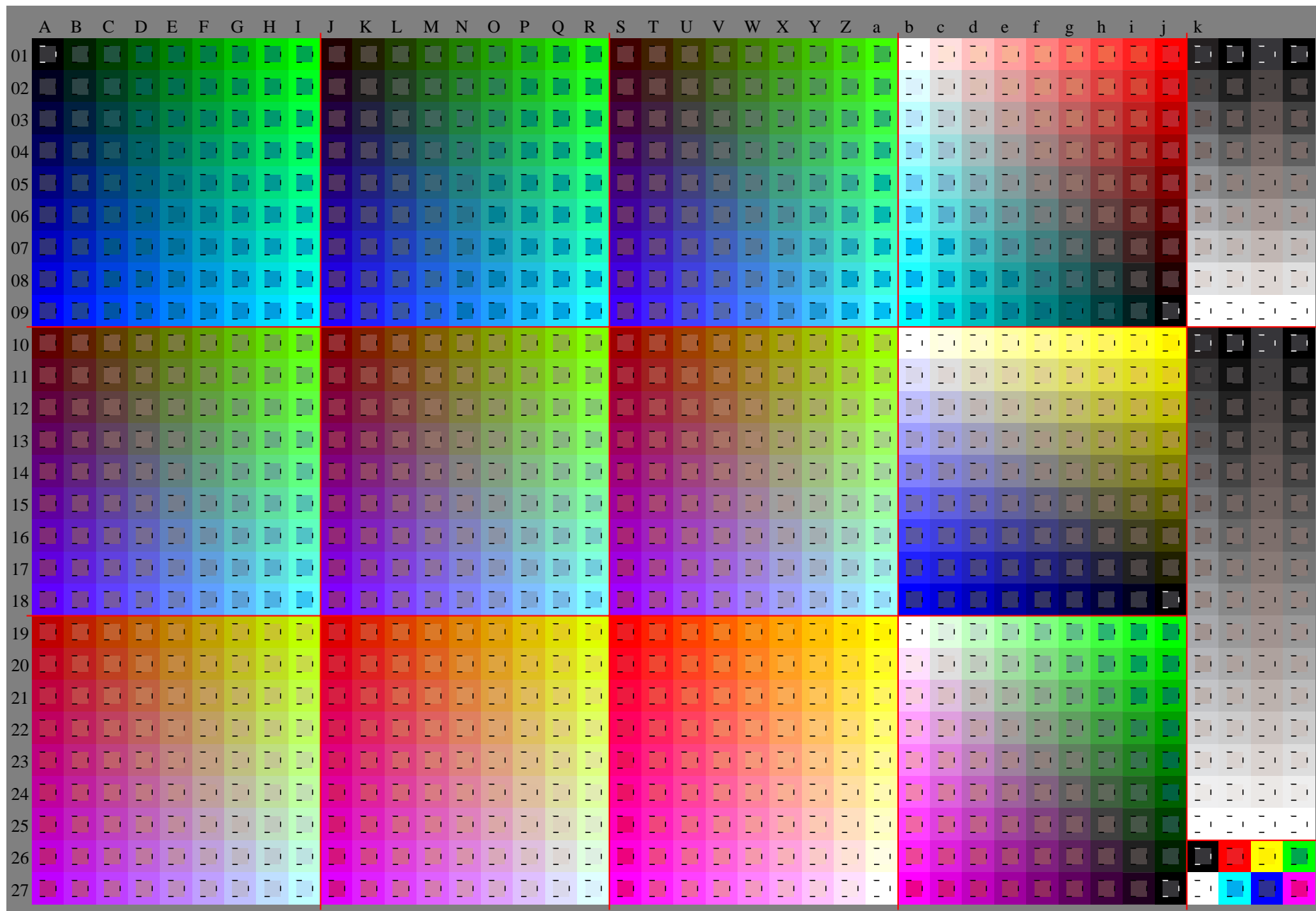
$lab^*olv^*_{Ma}: 1.0\ 0.0\ 0.66$

Dreiecks-Helligkeit t^*

FRS09_92aM; adaptierte CIELAB-Daten

u^*_e	$L^*=L^*_a$	a^*_a	b^*_a	$C^*_{ab,a}$	$h^*_{ab,a}$	u^*_d
r00j	35.47	63.32	30.17	70.15	25	m81o
r25j	39.12	54.56	49.45	73.64	42	o10y
r50j	50.64	39.15	64.89	75.79	59	o40y
r75j	64.01	21.26	82.83	85.52	76	o69y
j00g	83.18	-4.38	108.53	108.62	92	o98y
j25g	66.73	-29.89	83.06	88.28	110	y34l
j50g	54.03	-48.31	63.49	79.78	127	y69l
j75g	44.73	-60.33	42.64	73.88	145	l03c
g00b	47.59	-49.08	15.74	51.54	162	l23c
g25b	49.97	-39.7	-6.72	40.27	190	l55c
g50b	51.85	-32.33	-24.35	40.48	217	l87c
g75b	46.92	-17.29	-36.02	39.96	244	c20v
b00r	37.91	1.28	-42.35	42.37	272	c53v
b25r	23.81	30.38	-52.26	60.45	300	c87v
b50r	29.52	69.06	-42.14	80.9	329	v68m
b75r	36.48	71.47	-3.69	71.57	357	m34o





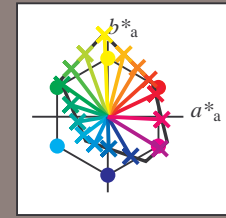
Ein und Ausgabe:
 Farbmimetrisches Drucker-Reflektiv-System FRS09_92aM

Daten für jede Farbe:
 u^*_e und Nummer *Nr.* = 00 .. 15

Elementar-Bunttextext:
 $u^*_e = 16$ Bunttoene *r00j, r25j, ..., b75r*

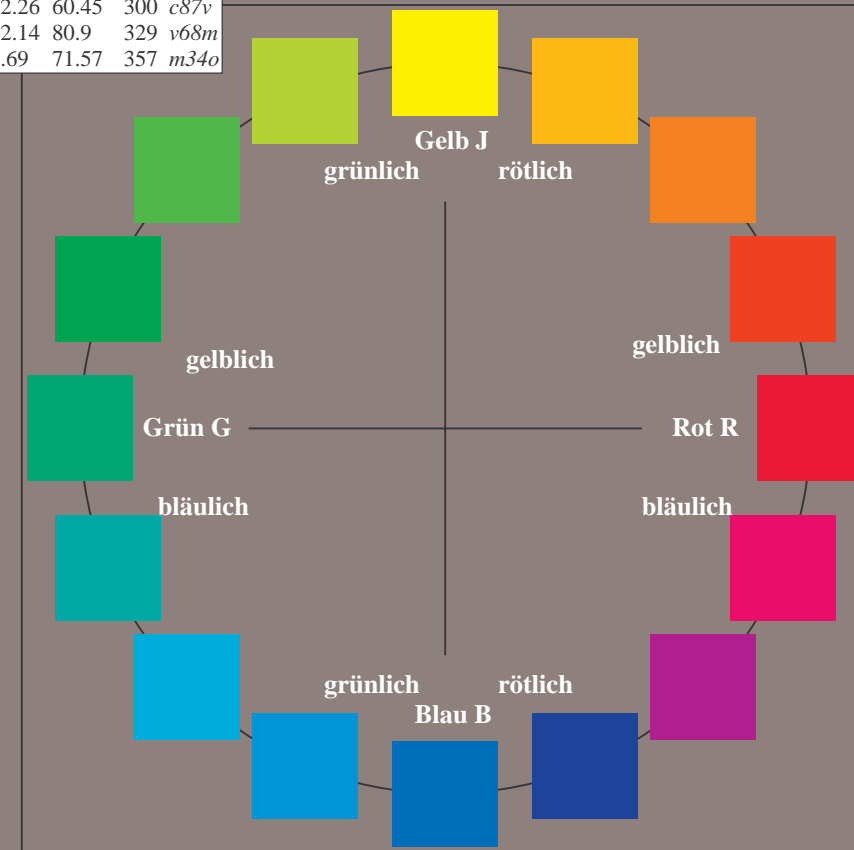
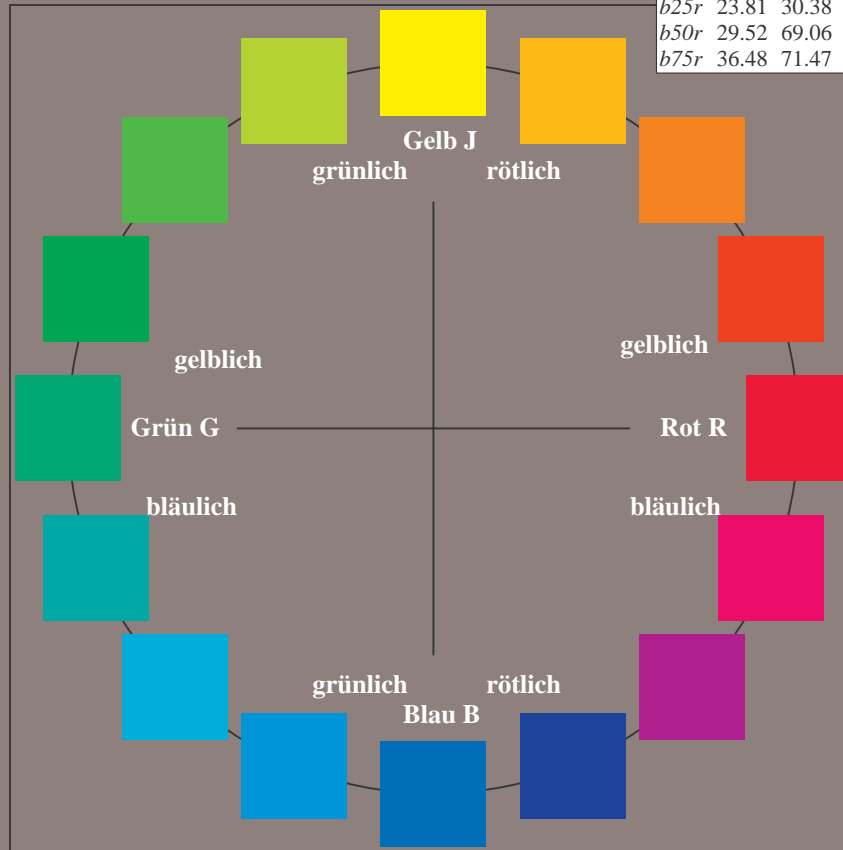
Kontrastreduzierungsfaktor:
 $c_R = 1.0$

FRS09_92aM; adaptierte CIELAB-Daten						
u^*_e	$L^*=L^*_a$	a^*_a	b^*_a	$C^*_{ab,a}$	$h^*_{ab,a}$	u^*_d
<i>r00j</i>	35.47	63.32	30.17	70.15	25	<i>m8lo</i>
<i>r25j</i>	39.12	54.56	49.45	73.64	42	<i>o10y</i>
<i>r50j</i>	50.64	39.15	64.89	75.79	59	<i>o40y</i>
<i>r75j</i>	64.01	21.26	82.83	85.52	76	<i>o69y</i>
<i>j00g</i>	83.18	-4.38	108.53	108.62	92	<i>o98y</i>
<i>j25g</i>	66.73	-29.89	83.06	88.28	110	<i>y34l</i>
<i>j50g</i>	54.03	-48.31	63.49	79.78	127	<i>y69l</i>
<i>j75g</i>	44.73	-60.33	42.64	73.88	145	<i>l03c</i>
<i>g00b</i>	47.59	-49.08	15.74	51.54	162	<i>l23c</i>
<i>g25b</i>	49.97	-39.7	-6.72	40.27	190	<i>l55c</i>
<i>g50b</i>	51.85	-32.33	-24.35	40.48	217	<i>l87c</i>
<i>g75b</i>	46.92	-17.29	-36.02	39.96	244	<i>c20v</i>
<i>b00r</i>	37.91	1.28	-42.35	42.37	272	<i>c53v</i>
<i>b25r</i>	23.81	30.38	-52.26	60.45	300	<i>c87v</i>
<i>b50r</i>	29.52	69.06	-42.14	80.9	329	<i>v68m</i>
<i>b75r</i>	36.48	71.47	-3.69	71.57	357	<i>m34o</i>



%Umfang
 $u^*_{rel} = 109$
 %Regularität
 $g^*_{H,rel} = 31$
 $g^*_{C,rel} = 40$

FRS09_92aM; adaptierte CIELAB-Daten					
Name	$L^*=L^*_a$	a^*_a	b^*_a	$C^*_{ab,a}$	$h^*_{ab,a}$
O _{Ma}	35.06	60.0	44.0	74.4	36
Y _{Ma}	83.77	-5.17	109.32	109.44	93
L _{Ma}	44.13	-62.67	48.24	79.09	142
C _{Ma}	52.66	-29.14	-31.99	43.27	228
V _{Ma}	14.15	50.3	-59.04	77.57	310
M _{Ma}	37.37	78.64	-33.5	85.48	337
N _{Ma}	8.58	0.0	0.0	0.0	0
W _{Ma}	92.02	0.0	0.0	0.0	0
R _{CIE}	39.92	58.74	27.99	65.07	25
J _{CIE}	81.26	-2.89	71.56	71.62	92
G _{CIE}	52.23	-42.42	13.6	44.55	162
B _{CIE}	30.57	1.41	-46.47	46.49	272



Ein und Ausgabe: Farbmatisches Drucker-Reflektiv-System FRS09_92aM für relativen CIELAB-Bunton $h^* = lab^*h^* = h_{ab}/360 = 0.071$

$u^*_e = r00j$

Daten für jede Farbe:

lab^*tch^* und lab^*icu^*

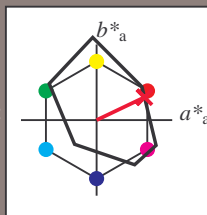
Buntontexte:

$u^*_e = r00j$ $u^*_d = m81o$

Kontrastreduzierungsfaktor:

$c_R = 1.0$

Dreiecks-Helligkeit t^*



FRS09_92aM; adaptierte CIELAB-Daten

u^*_e	$L^*=L^*_a$	a^*_a	b^*_a	$C^*_{ab,a}$	$h^*_{ab,a}$
O _{Ma}	35.06	60.0	44.0	74.4	36
Y _{Ma}	83.77	-5.17	109.32	109.44	93
L _{Ma}	44.13	-62.67	48.24	79.09	142
C _{Ma}	52.66	-29.14	-31.99	43.27	228
V _{Ma}	14.15	50.3	-59.04	77.57	310
M _{Ma}	37.37	78.64	-33.5	85.48	337
N _{Ma}	8.58	0.0	0.0	0.0	0
W _{Ma}	92.02	0.0	0.0	0.0	0
R _{Ma}	39.92	58.74	27.99	65.07	25
J _{Ma}	81.26	-2.89	71.56	71.62	92
G _{Ma}	52.23	-42.42	13.6	44.55	162
B _{Ma}	30.57	1.41	-46.47	46.49	272

Daten für Maximalfarbe (Ma):

$LAB^*LAB^*_{Ma}$: 35 63 30

$LAB^*LCH^*_{Ma}$: 35 70 25

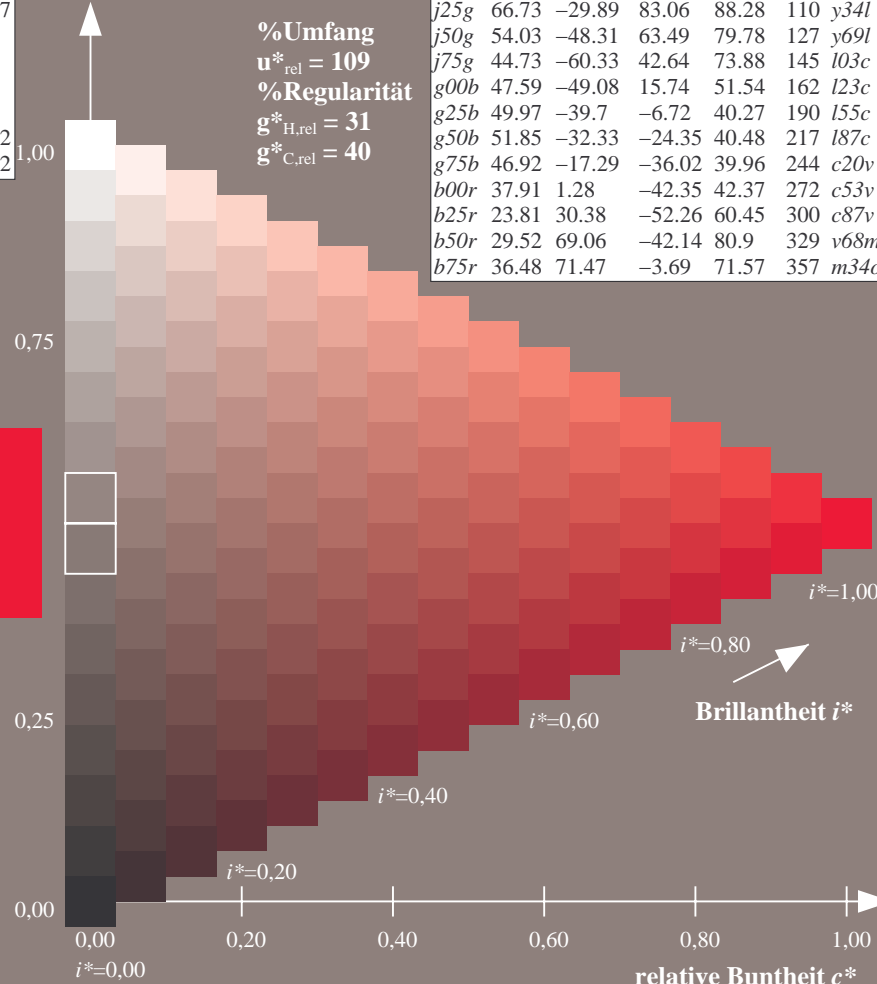
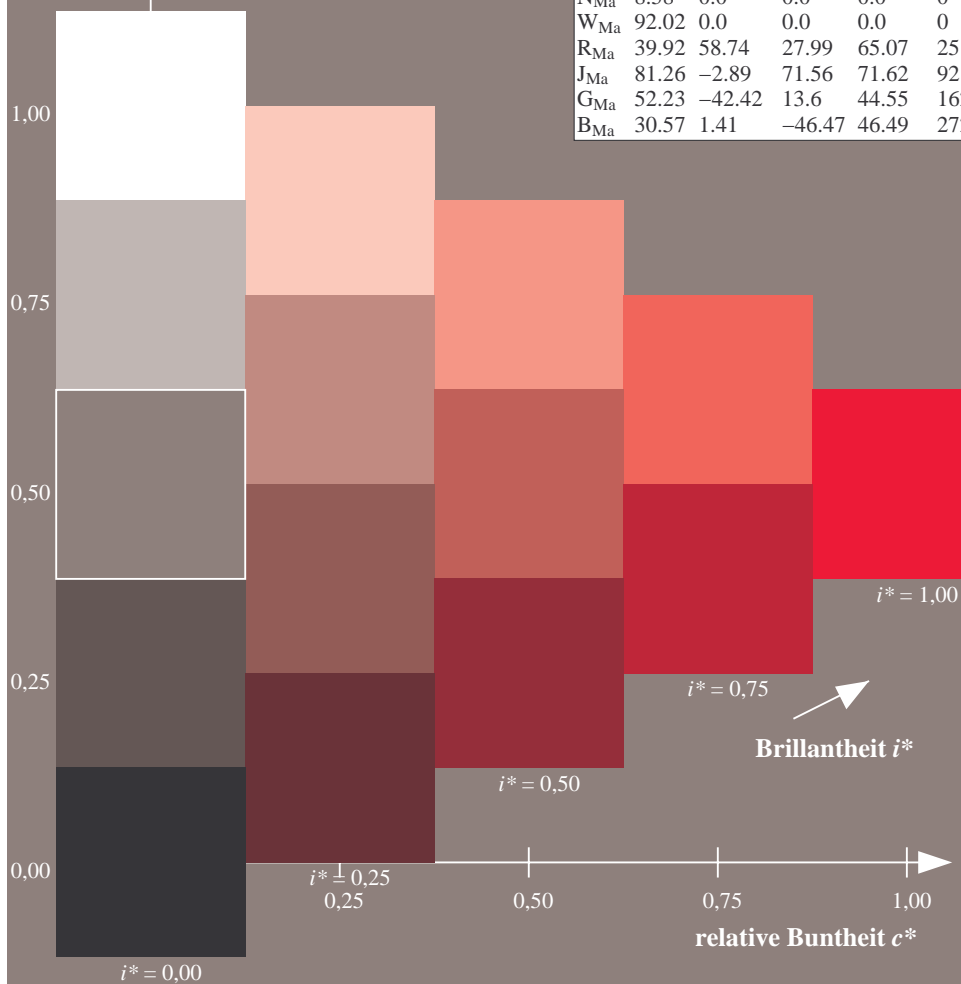
$lab^*rgb^*_{Ma}$: 1.0 0.0 0.0

$lab^*olv^*_{Ma}$: 1.0 0.0 0.18

Dreiecks-Helligkeit t^*

FRS09_92aM; adaptierte CIELAB-Daten

u^*_e	$L^*=L^*_a$	a^*_a	b^*_a	$C^*_{ab,a}$	$h^*_{ab,a}$	u^*_d
r00j	35.47	63.32	30.17	70.15	25	m81o
r25j	39.12	54.56	49.45	73.64	42	o10y
r50j	50.64	39.15	64.89	75.79	59	o40y
r75j	64.01	21.26	82.83	85.52	76	o69y
j00g	83.18	-4.38	108.53	108.62	92	o98y
j25g	66.73	-29.89	83.06	88.28	110	y34l
j50g	54.03	-48.31	63.49	79.78	127	y69l
j75g	44.73	-60.33	42.64	73.88	145	l03c
g00b	47.59	-49.08	15.74	51.54	162	l23c
g25b	49.97	-39.7	-6.72	40.27	190	l55c
g50b	51.85	-32.33	-24.35	40.48	217	l87c
g75b	46.92	-17.29	-36.02	39.96	244	c20v
b00r	37.91	1.28	-42.35	42.37	272	c53v
b25r	23.81	30.38	-52.26	60.45	300	c87v
b50r	29.52	69.06	-42.14	80.9	329	v68m
b75r	36.48	71.47	-3.69	71.57	357	m34o



%Umfang
 $u^*_{rel} = 109$
%Regularität
 $g^*_{H,rel} = 31$
 $g^*_{C,rel} = 40$

Daten für jede Farbe:

lab^*tch^* und lab^*icu^*

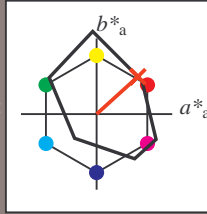
Buntontexte:

$u^*_e = r25j$ $u^*_d = o10y$

Kontrastreduzierungsfaktor:

$c_R = 1.0$

Dreiecks-Helligkeit t^*



FRS09_92aM; adaptierte CIELAB-Daten

u^*_e	$L^*=L^*_a$	a^*_a	b^*_a	$C^*_{ab,a}$	$h^*_{ab,a}$
O _{Ma}	35.06	60.0	44.0	74.4	36
Y _{Ma}	83.77	-5.17	109.32	109.44	93
L _{Ma}	44.13	-62.67	48.24	79.09	142
C _{Ma}	52.66	-29.14	-31.99	43.27	228
V _{Ma}	14.15	50.3	-59.04	77.57	310
M _{Ma}	37.37	78.64	-33.5	85.48	337
N _{Ma}	8.58	0.0	0.0	0.0	0
W _{Ma}	92.02	0.0	0.0	0.0	0
R _{Ma}	39.92	58.74	27.99	65.07	25
J _{Ma}	81.26	-2.89	71.56	71.62	92
G _{Ma}	52.23	-42.42	13.6	44.55	162
B _{Ma}	30.57	1.41	-46.47	46.49	272

Daten für Maximalfarbe (Ma):

$LAB^*LAB^*_{Ma}$: 39 55 49

$LAB^*LCH^*_{Ma}$: 39 74 42

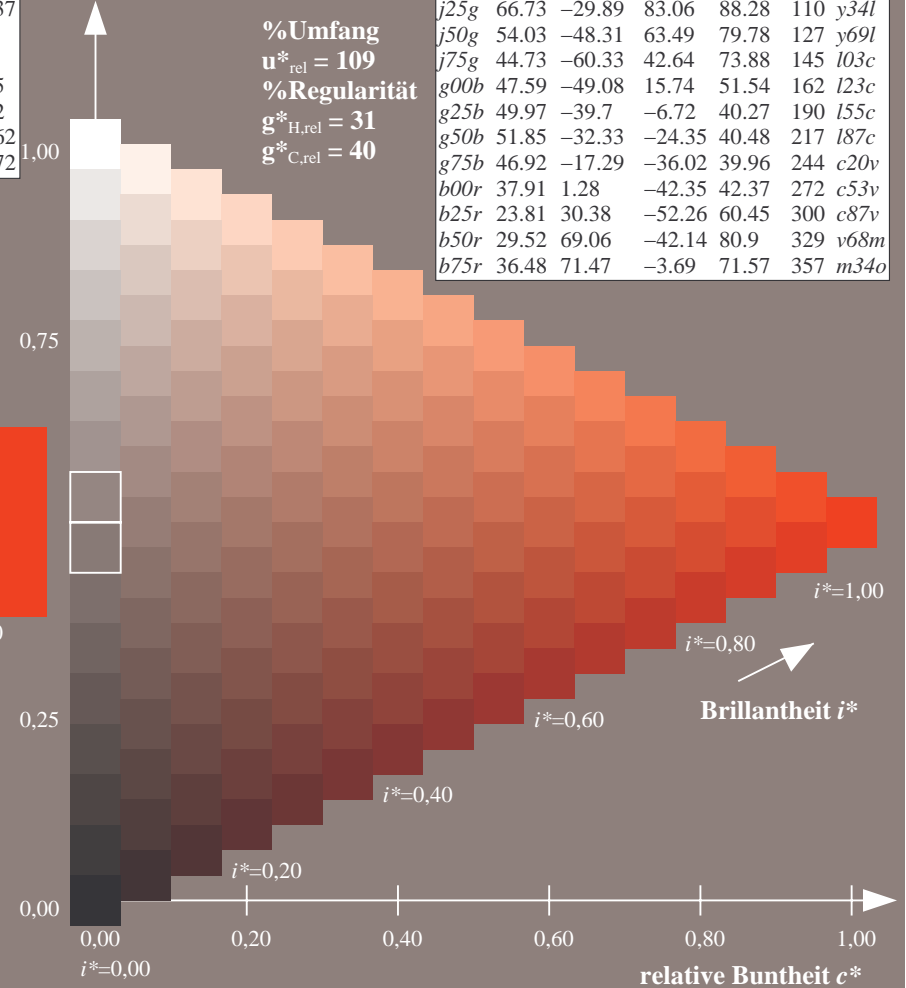
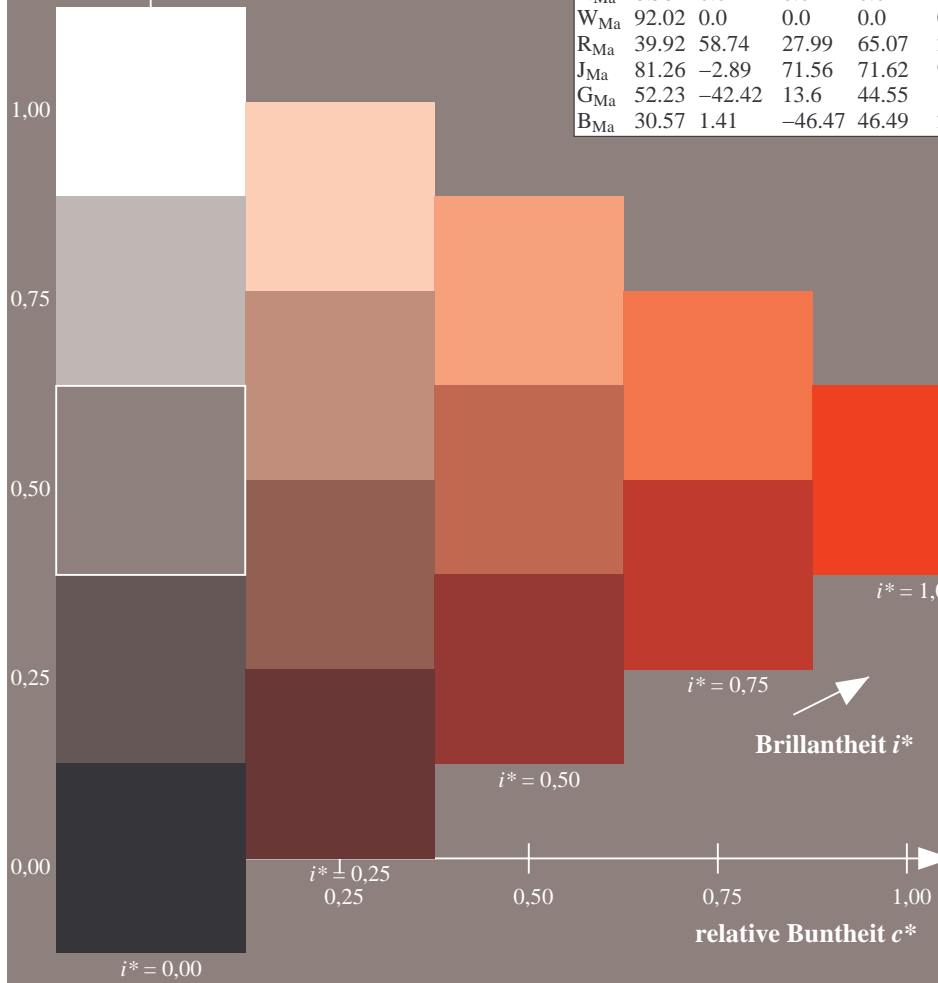
$lab^*rgb^*_{Ma}$: 1.0 0.25 0.0

$lab^*olv^*_{Ma}$: 1.0 0.11 0.0

Dreiecks-Helligkeit t^*

FRS09_92aM; adaptierte CIELAB-Daten

u^*_e	$L^*=L^*_a$	a^*_a	b^*_a	$C^*_{ab,a}$	$h^*_{ab,a}$	u^*_d
r00j	35.47	63.32	30.17	70.15	25	m81o
r25j	39.12	54.56	49.45	73.64	42	o10y
r50j	50.64	39.15	64.89	75.79	59	o40y
r75j	64.01	21.26	82.83	85.52	76	o69y
j00g	83.18	-4.38	108.53	108.62	92	o98y
j25g	66.73	-29.89	83.06	88.28	110	y34l
j50g	54.03	-48.31	63.49	79.78	127	y69l
j75g	44.73	-60.33	42.64	73.88	145	l03c
g00b	47.59	-49.08	15.74	51.54	162	l23c
g25b	49.97	-39.7	-6.72	40.27	190	l55c
g50b	51.85	-32.33	-24.35	40.48	217	l87c
g75b	46.92	-17.29	-36.02	39.96	244	c20v
b00r	37.91	1.28	-42.35	42.37	272	c53v
b25r	23.81	30.38	-52.26	60.45	300	c87v
b50r	29.52	69.06	-42.14	80.9	329	v68m
b75r	36.48	71.47	-3.69	71.57	357	m34o



Ein und Ausgabe: Farbmatisches Drucker-Reflektiv-System FRS09_92aM für relativen CIELAB-Bunton $h^* = lab^*h^* = h_{ab}/360 = 0.164$

$u^*_e = r50j$

Daten für jede Farbe:

lab^*tch^* und lab^*icu^*

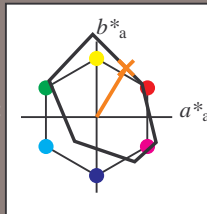
Buntontexte:

$u^*_e = r50j$ $u^*_d = o40y$

Kontrastreduzierungsfaktor:

$c_R = 1.0$

Dreiecks-Helligkeit t^*



FRS09_92aM; adaptierte CIELAB-Daten

u^*_e	$L^*=L^*_a$	a^*_a	b^*_a	$C^*_{ab,a}$	$h^*_{ab,a}$
O _{Ma}	35.06	60.0	44.0	74.4	36
Y _{Ma}	83.77	-5.17	109.32	109.44	93
L _{Ma}	44.13	-62.67	48.24	79.09	142
C _{Ma}	52.66	-29.14	-31.99	43.27	228
V _{Ma}	14.15	50.3	-59.04	77.57	310
M _{Ma}	37.37	78.64	-33.5	85.48	337
N _{Ma}	8.58	0.0	0.0	0.0	0
W _{Ma}	92.02	0.0	0.0	0.0	0
R _{Ma}	39.92	58.74	27.99	65.07	25
J _{Ma}	81.26	-2.89	71.56	71.62	92
G _{Ma}	52.23	-42.42	13.6	44.55	162
B _{Ma}	30.57	1.41	-46.47	46.49	272

Daten für Maximalfarbe (Ma):

$LAB^*LAB^*_{Ma}: 51\ 39\ 65$

$LAB^*LCH^*_{Ma}: 51\ 76\ 58$

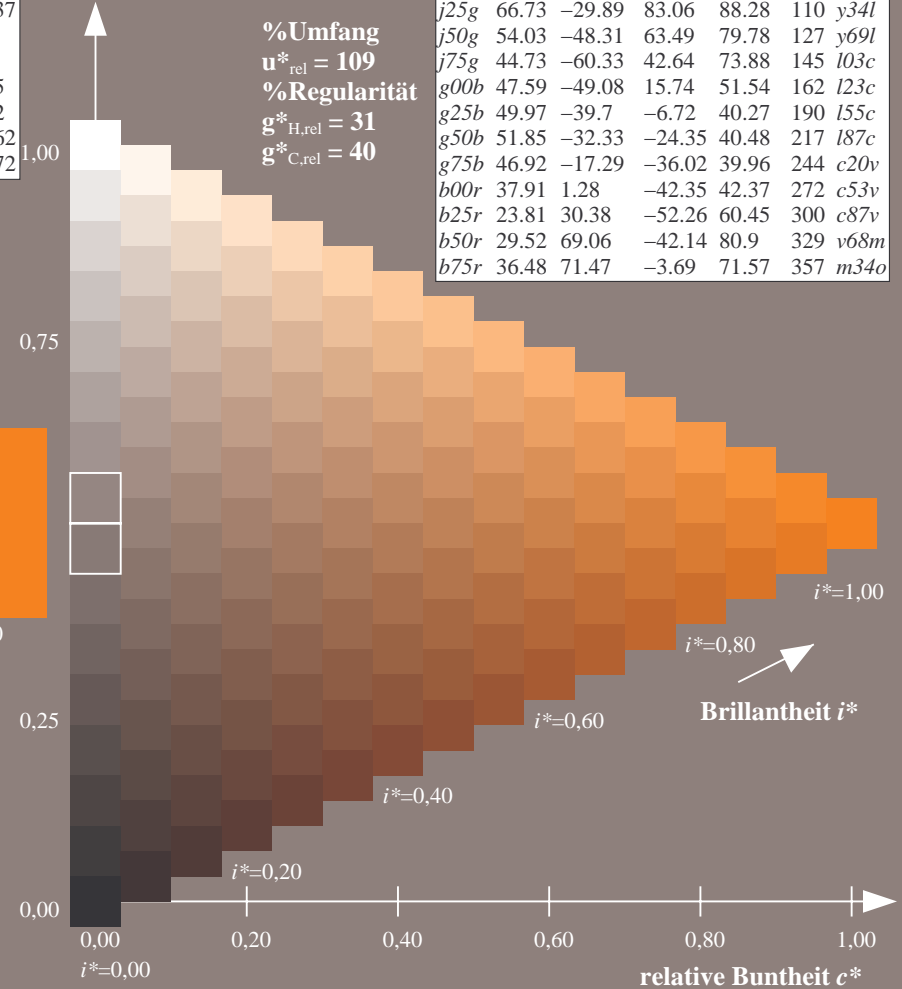
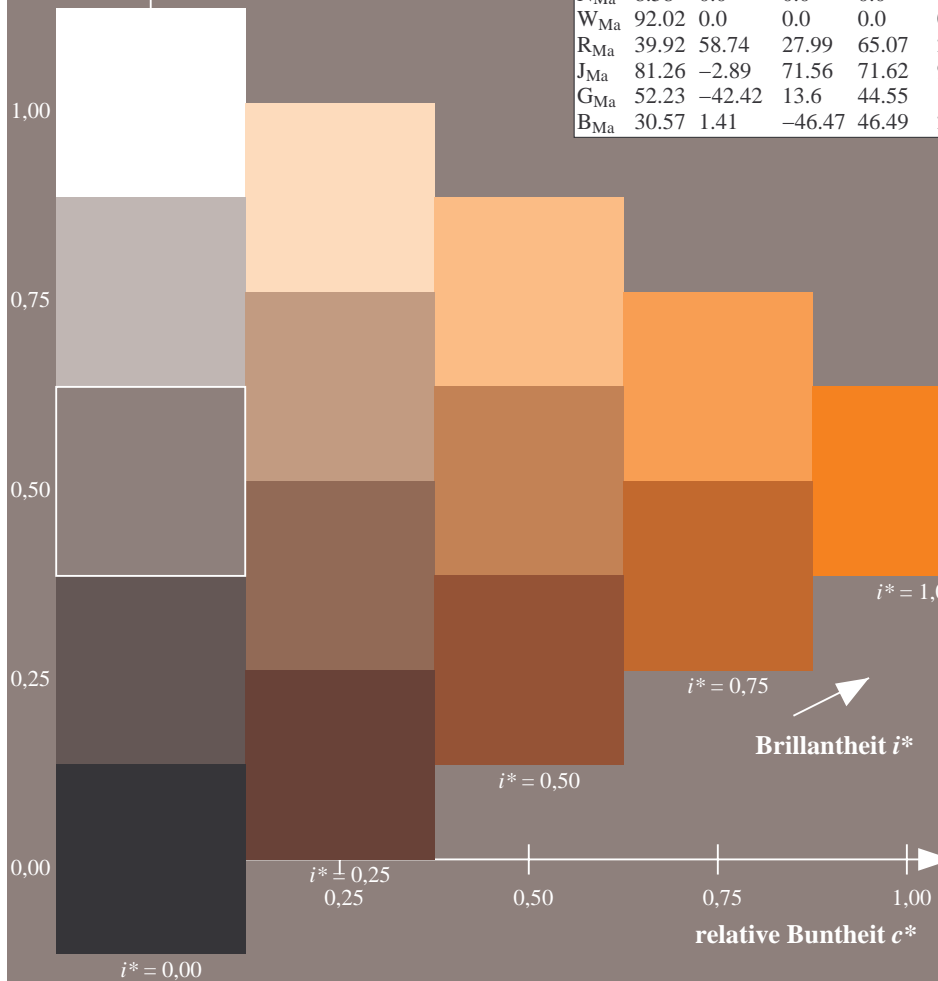
$lab^*rgb^*_{Ma}: 1.0\ 0.5\ 0.0$

$lab^*olv^*_{Ma}: 1.0\ 0.4\ 0.0$

Dreiecks-Helligkeit t^*

FRS09_92aM; adaptierte CIELAB-Daten

u^*_e	$L^*=L^*_a$	a^*_a	b^*_a	$C^*_{ab,a}$	$h^*_{ab,a}$	u^*_d
r00j	35.47	63.32	30.17	70.15	25	m81o
r25j	39.12	54.56	49.45	73.64	42	o10y
r50j	50.64	39.15	64.89	75.79	59	o40y
r75j	64.01	21.26	82.83	85.52	76	o69y
j00g	83.18	-4.38	108.53	108.62	92	o98y
j25g	66.73	-29.89	83.06	88.28	110	y34l
j50g	54.03	-48.31	63.49	79.78	127	y69l
j75g	44.73	-60.33	42.64	73.88	145	l03c
g00b	47.59	-49.08	15.74	51.54	162	l23c
g25b	49.97	-39.7	-6.72	40.27	190	l55c
g50b	51.85	-32.33	-24.35	40.48	217	l87c
g75b	46.92	-17.29	-36.02	39.96	244	c20v
b00r	37.91	1.28	-42.35	42.37	272	c53v
b25r	23.81	30.38	-52.26	60.45	300	c87v
b50r	29.52	69.06	-42.14	80.9	329	v68m
b75r	36.48	71.47	-3.69	71.57	357	m34o



%Umfang

$u^*_{rel} = 109$

%Regularität

$g^*_{H,rel} = 31$

$g^*_{C,rel} = 40$

Daten für jede Farbe:

lab^*tch^* und lab^*icu^*

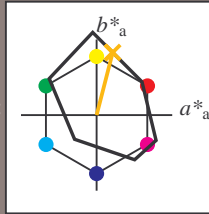
Buntontexte:

$u^*_e = r75j$ $u^*_d = o69y$

Kontrastreduzierungsfaktor:

$c_R = 1.0$

Dreiecks-Helligkeit t^*



FRS09_92aM; adaptierte CIELAB-Daten

u^*_e	$L^*=L^*_a$	a^*_a	b^*_a	$C^*_{ab,a}$	$h^*_{ab,a}$
O _{Ma}	35.06	60.0	44.0	74.4	36
Y _{Ma}	83.77	-5.17	109.32	109.44	93
L _{Ma}	44.13	-62.67	48.24	79.09	142
C _{Ma}	52.66	-29.14	-31.99	43.27	228
V _{Ma}	14.15	50.3	-59.04	77.57	310
M _{Ma}	37.37	78.64	-33.5	85.48	337
N _{Ma}	8.58	0.0	0.0	0.0	0
W _{Ma}	92.02	0.0	0.0	0.0	0
R _{Ma}	39.92	58.74	27.99	65.07	25
J _{Ma}	81.26	-2.89	71.56	71.62	92
G _{Ma}	52.23	-42.42	13.6	44.55	162
B _{Ma}	30.57	1.41	-46.47	46.49	272

Daten für Maximalfarbe (Ma):

$LAB^*LAB^*_{Ma}$: 64 21 83

$LAB^*LCH^*_{Ma}$: 64 86 75

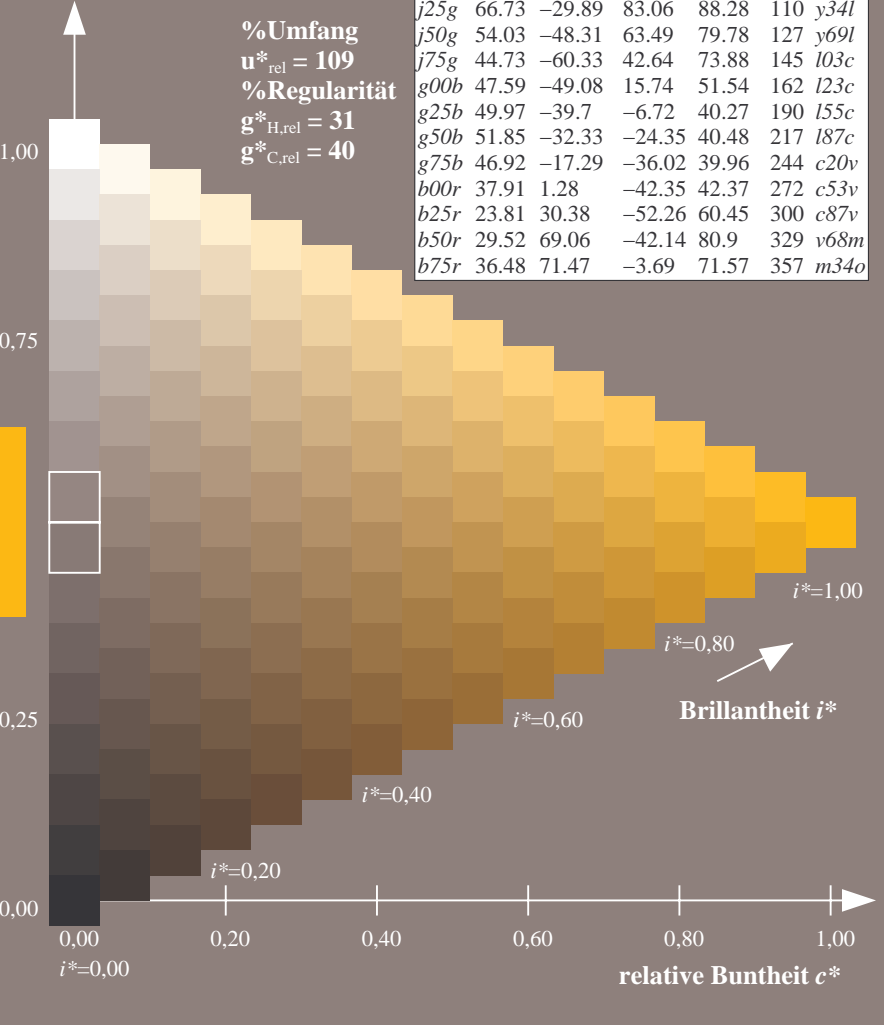
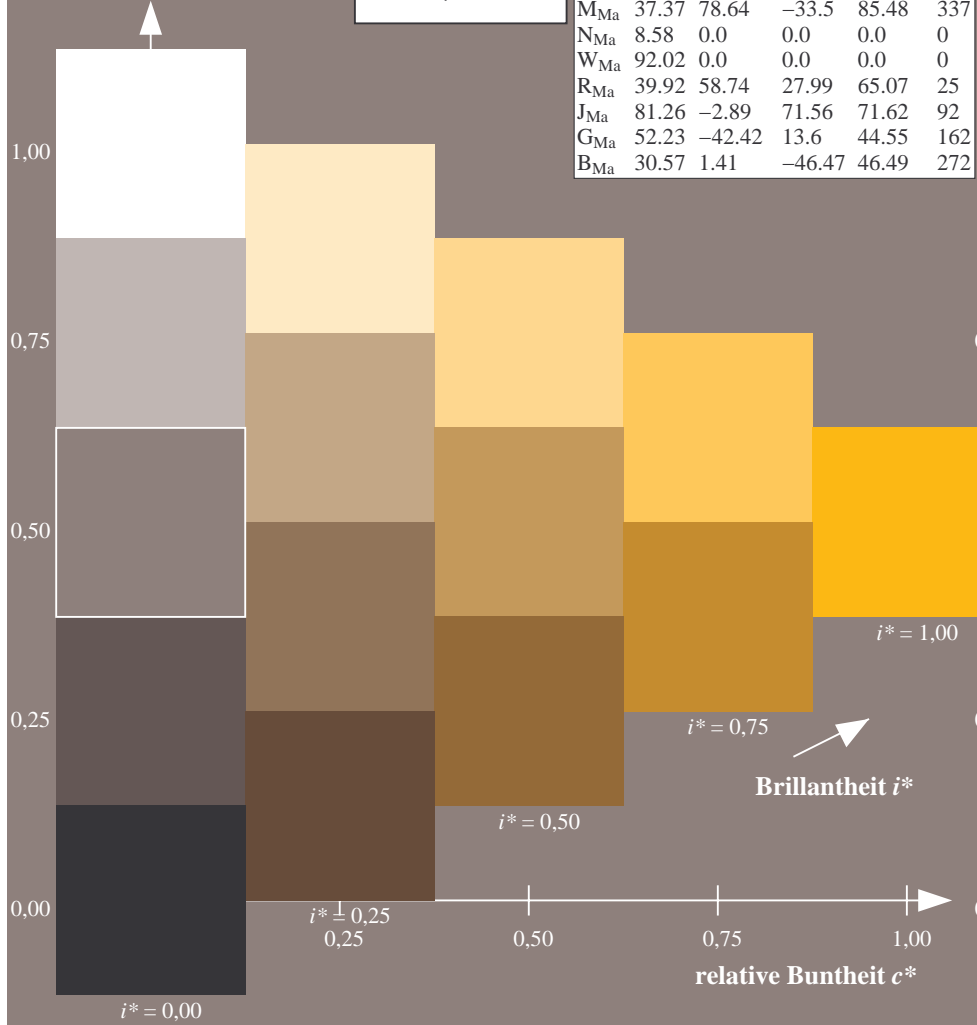
$lab^*rgb^*_{Ma}$: 1.0 0.75 0.0

$lab^*olv^*_{Ma}$: 1.0 0.7 0.0

Dreiecks-Helligkeit t^*

FRS09_92aM; adaptierte CIELAB-Daten

u^*_e	$L^*=L^*_a$	a^*_a	b^*_a	$C^*_{ab,a}$	$h^*_{ab,a}$	u^*_d
r00j	35.47	63.32	30.17	70.15	25	m81o
r25j	39.12	54.56	49.45	73.64	42	o10y
r50j	50.64	39.15	64.89	75.79	59	o40y
r75j	64.01	21.26	82.83	85.52	76	o69y
j00g	83.18	-4.38	108.53	108.62	92	o98y
j25g	66.73	-29.89	83.06	88.28	110	y34l
j50g	54.03	-48.31	63.49	79.78	127	y69l
j75g	44.73	-60.33	42.64	73.88	145	i03c
g00b	47.59	-49.08	15.74	51.54	162	i23c
g25b	49.97	-39.7	-6.72	40.27	190	i55c
g50b	51.85	-32.33	-24.35	40.48	217	i87c
g75b	46.92	-17.29	-36.02	39.96	244	c20v
b00r	37.91	1.28	-42.35	42.37	272	c53v
b25r	23.81	30.38	-52.26	60.45	300	c87v
b50r	29.52	69.06	-42.14	80.9	329	v68m
b75r	36.48	71.47	-3.69	71.57	357	m34o



%Umfang

$u^*_{rel} = 109$

%Regularität

$g^*_{H,rel} = 31$

$g^*_{C,rel} = 40$

Brillantheit i^*

Brillantheit i^*

Ein und Ausgabe: Farbmatisches Drucker-Reflektiv-System FRS09_92aM für relativen CIELAB-Bunton $h^* = lab^*h^* = h_{ab}/360 = 0.256$

$u^*_e = j00g$

Daten für jede Farbe:

lab^*tch^* und lab^*icu^*

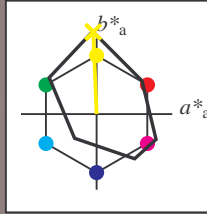
Buntontexte:

$u^*_e = j00g$ $u^*_d = o98y$

Kontrastreduzierungsfaktor:

$c_R = 1.0$

Dreiecks-Helligkeit t^*



FRS09_92aM; adaptierte CIELAB-Daten

u^*_e	$L^*=L^*_a$	a^*_a	b^*_a	$C^*_{ab,a}$	$h^*_{ab,a}$
O _{Ma}	35.06	60.0	44.0	74.4	36
Y _{Ma}	83.77	-5.17	109.32	109.44	93
L _{Ma}	44.13	-62.67	48.24	79.09	142
C _{Ma}	52.66	-29.14	-31.99	43.27	228
V _{Ma}	14.15	50.3	-59.04	77.57	310
M _{Ma}	37.37	78.64	-33.5	85.48	337
N _{Ma}	8.58	0.0	0.0	0.0	0
W _{Ma}	92.02	0.0	0.0	0.0	0
R _{Ma}	39.92	58.74	27.99	65.07	25
J _{Ma}	81.26	-2.89	71.56	71.62	92
G _{Ma}	52.23	-42.42	13.6	44.55	162
B _{Ma}	30.57	1.41	-46.47	46.49	272

Daten für Maximalfarbe (Ma):

$LAB^*LAB^*_{Ma}: 83 -4 109$

$LAB^*LCH^*_{Ma}: 83 109 92$

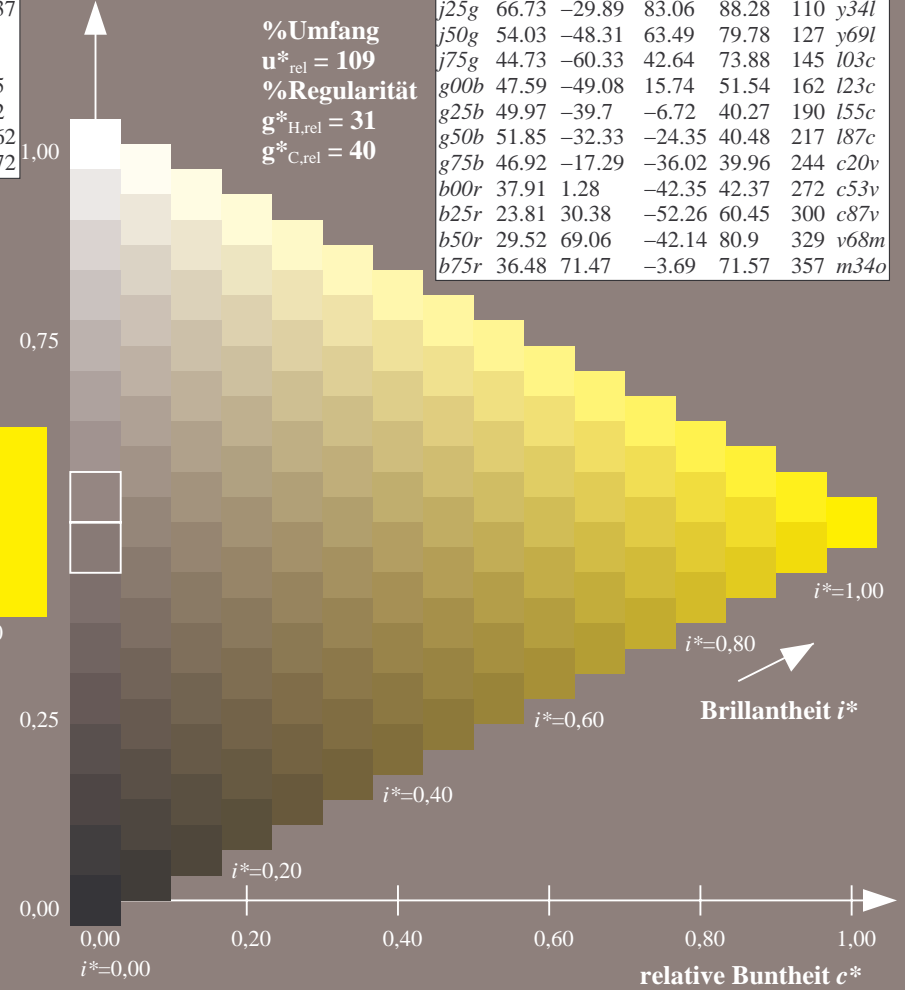
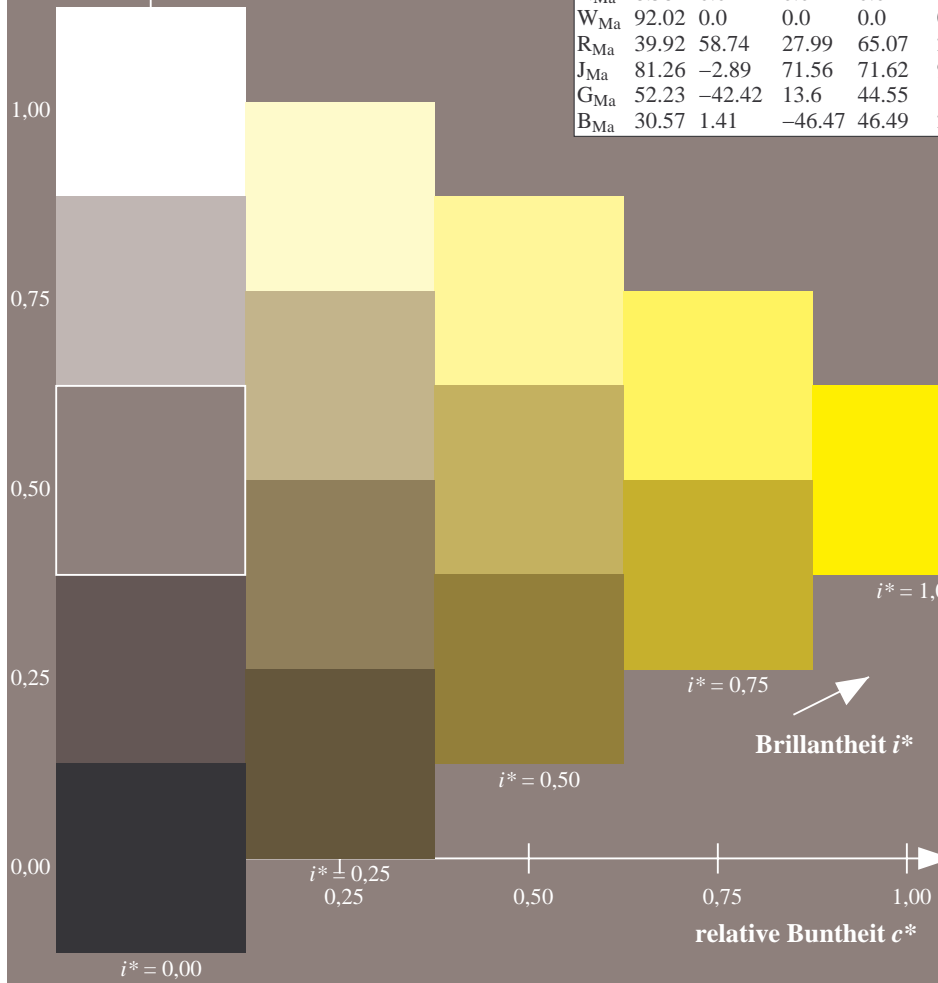
$lab^*rgb^*_{Ma}: 1.0 1.0 0.0$

$lab^*olv^*_{Ma}: 1.0 0.99 0.0$

Dreiecks-Helligkeit t^*

FRS09_92aM; adaptierte CIELAB-Daten

u^*_e	$L^*=L^*_a$	a^*_a	b^*_a	$C^*_{ab,a}$	$h^*_{ab,a}$	u^*_d
r00j	35.47	63.32	30.17	70.15	25	m81o
r25j	39.12	54.56	49.45	73.64	42	o10y
r50j	50.64	39.15	64.89	75.79	59	o40y
r75j	64.01	21.26	82.83	85.52	76	o69y
j00g	83.18	-4.38	108.53	108.62	92	o98y
j25g	66.73	-29.89	83.06	88.28	110	y34l
j50g	54.03	-48.31	63.49	79.78	127	y69l
j75g	44.73	-60.33	42.64	73.88	145	l03c
g00b	47.59	-49.08	15.74	51.54	162	l23c
g25b	49.97	-39.7	-6.72	40.27	190	l55c
g50b	51.85	-32.33	-24.35	40.48	217	l87c
g75b	46.92	-17.29	-36.02	39.96	244	c20v
b00r	37.91	1.28	-42.35	42.37	272	c53v
b25r	23.81	30.38	-52.26	60.45	300	c87v
b50r	29.52	69.06	-42.14	80.9	329	v68m
b75r	36.48	71.47	-3.69	71.57	357	m34o



%Umfang

$u^*_{rel} = 109$

%Regularität

$g^*_{H,rel} = 31$

$g^*_{C,rel} = 40$

Brillantheit i^*

Brillantheit i^*

Ein und Ausgabe: Farbmetrisches Drucker-Reflektiv-System FRS09_92aM für relativen CIELAB-Bunton $h^* = lab^*h^* = h_{ab}/360 = 0.305$

$u^*_e = j25g$

Daten für jede Farbe:

lab^*tch^* und lab^*icu^*

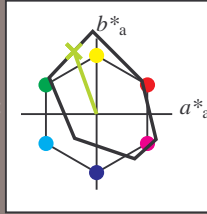
Buntontexte:

$u^*_e = j25g$ $u^*_d = y34l$

Kontrastreduzierungsfaktor:

$c_R = 1.0$

Dreiecks-Helligkeit t^*



FRS09_92aM; adaptierte CIELAB-Daten

u^*_e	$L^*=L^*_a$	a^*_a	b^*_a	$C^*_{ab,a}$	$h^*_{ab,a}$
O _{Ma}	35.06	60.0	44.0	74.4	36
Y _{Ma}	83.77	-5.17	109.32	109.44	93
L _{Ma}	44.13	-62.67	48.24	79.09	142
C _{Ma}	52.66	-29.14	-31.99	43.27	228
V _{Ma}	14.15	50.3	-59.04	77.57	310
M _{Ma}	37.37	78.64	-33.5	85.48	337
N _{Ma}	8.58	0.0	0.0	0.0	0
W _{Ma}	92.02	0.0	0.0	0.0	0
R _{Ma}	39.92	58.74	27.99	65.07	25
J _{Ma}	81.26	-2.89	71.56	71.62	92
G _{Ma}	52.23	-42.42	13.6	44.55	162
B _{Ma}	30.57	1.41	-46.47	46.49	272

Daten für Maximalfarbe (Ma):

$LAB^*LAB^*_{Ma}$: 67 -30 83

$LAB^*LCH^*_{Ma}$: 67 88 109

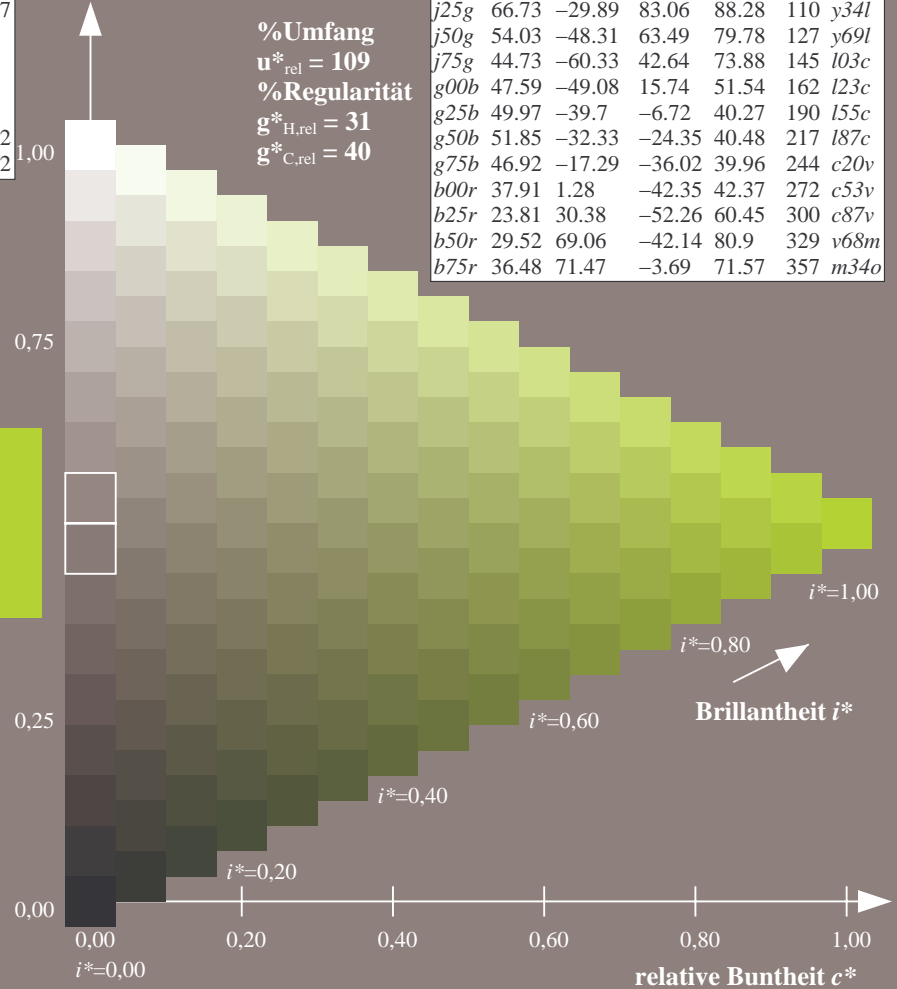
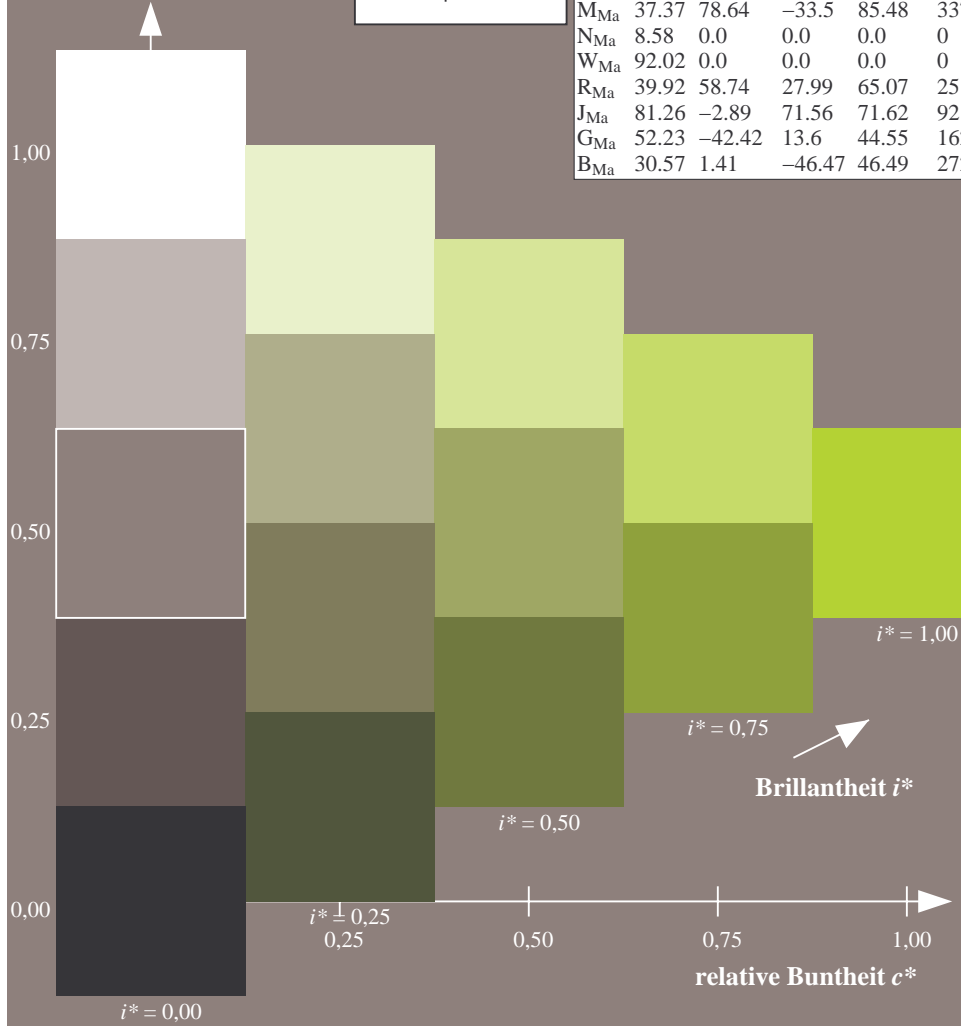
$lab^*rgb^*_{Ma}$: 0.75 1.0 0.0

$lab^*olv^*_{Ma}$: 0.66 1.0 0.0

Dreiecks-Helligkeit t^*

FRS09_92aM; adaptierte CIELAB-Daten

u^*_e	$L^*=L^*_a$	a^*_a	b^*_a	$C^*_{ab,a}$	$h^*_{ab,a}$	u^*_d
r00j	35.47	63.32	30.17	70.15	25	m81o
r25j	39.12	54.56	49.45	73.64	42	o10y
r50j	50.64	39.15	64.89	75.79	59	o40y
r75j	64.01	21.26	82.83	85.52	76	o69y
j00g	83.18	-4.38	108.53	108.62	92	o98y
j25g	66.73	-29.89	83.06	88.28	110	y34l
j50g	54.03	-48.31	63.49	79.78	127	y69l
j75g	44.73	-60.33	42.64	73.88	145	l03c
g00b	47.59	-49.08	15.74	51.54	162	l23c
g25b	49.97	-39.7	-6.72	40.27	190	l55c
g50b	51.85	-32.33	-24.35	40.48	217	l87c
g75b	46.92	-17.29	-36.02	39.96	244	c20v
b00r	37.91	1.28	-42.35	42.37	272	c53v
b25r	23.81	30.38	-52.26	60.45	300	c87v
b50r	29.52	69.06	-42.14	80.9	329	v68m
b75r	36.48	71.47	-3.69	71.57	357	m34o



%Umfang
 $u^*_{rel} = 109$
 %Regularität
 $g^*_{H,rel} = 31$
 $g^*_{C,rel} = 40$

Ein und Ausgabe: Farbmatisches Drucker-Reflektiv-System FRS09_92aM für relativen CIELAB-Bunton $h^* = lab^*h^* = h_{ab}/360 = 0.354$

$u^*_e = j50g$

Daten für jede Farbe:

lab^*tch^* und lab^*icu^*

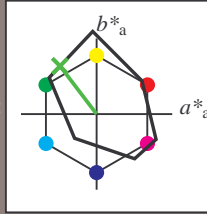
Buntontexte:

$u^*_e = j50g$ $u^*_d = y69l$

Kontrastreduzierungsfaktor:

$c_R = 1.0$

Dreiecks-Helligkeit t^*



FRS09_92aM; adaptierte CIELAB-Daten

u^*_e	$L^*=L^*_a$	a^*_a	b^*_a	$C^*_{ab,a}$	$h^*_{ab,a}$
O _{Ma}	35.06	60.0	44.0	74.4	36
Y _{Ma}	83.77	-5.17	109.32	109.44	93
L _{Ma}	44.13	-62.67	48.24	79.09	142
C _{Ma}	52.66	-29.14	-31.99	43.27	228
V _{Ma}	14.15	50.3	-59.04	77.57	310
M _{Ma}	37.37	78.64	-33.5	85.48	337
N _{Ma}	8.58	0.0	0.0	0.0	0
W _{Ma}	92.02	0.0	0.0	0.0	0
R _{Ma}	39.92	58.74	27.99	65.07	25
J _{Ma}	81.26	-2.89	71.56	71.62	92
G _{Ma}	52.23	-42.42	13.6	44.55	162
B _{Ma}	30.57	1.41	-46.47	46.49	272

Daten für Maximalfarbe (Ma):

$LAB^*LAB^*_{Ma}$: 54 -48 63

$LAB^*LCH^*_{Ma}$: 54 80 127

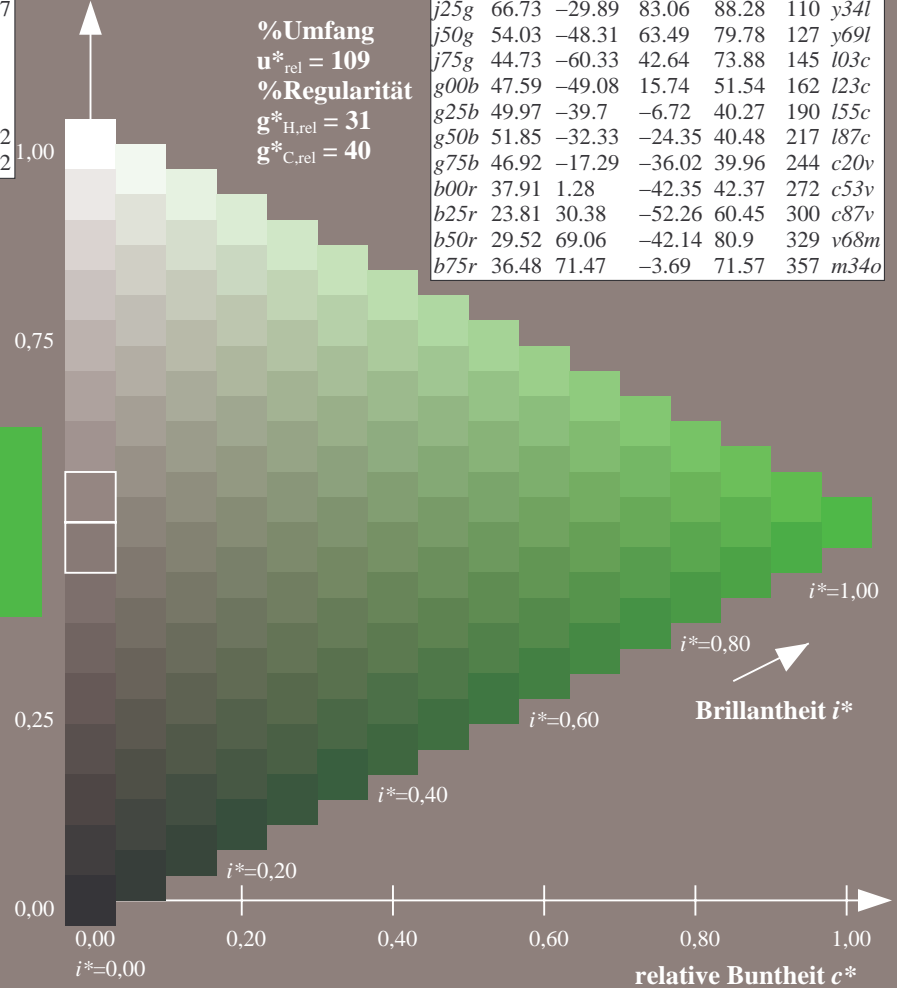
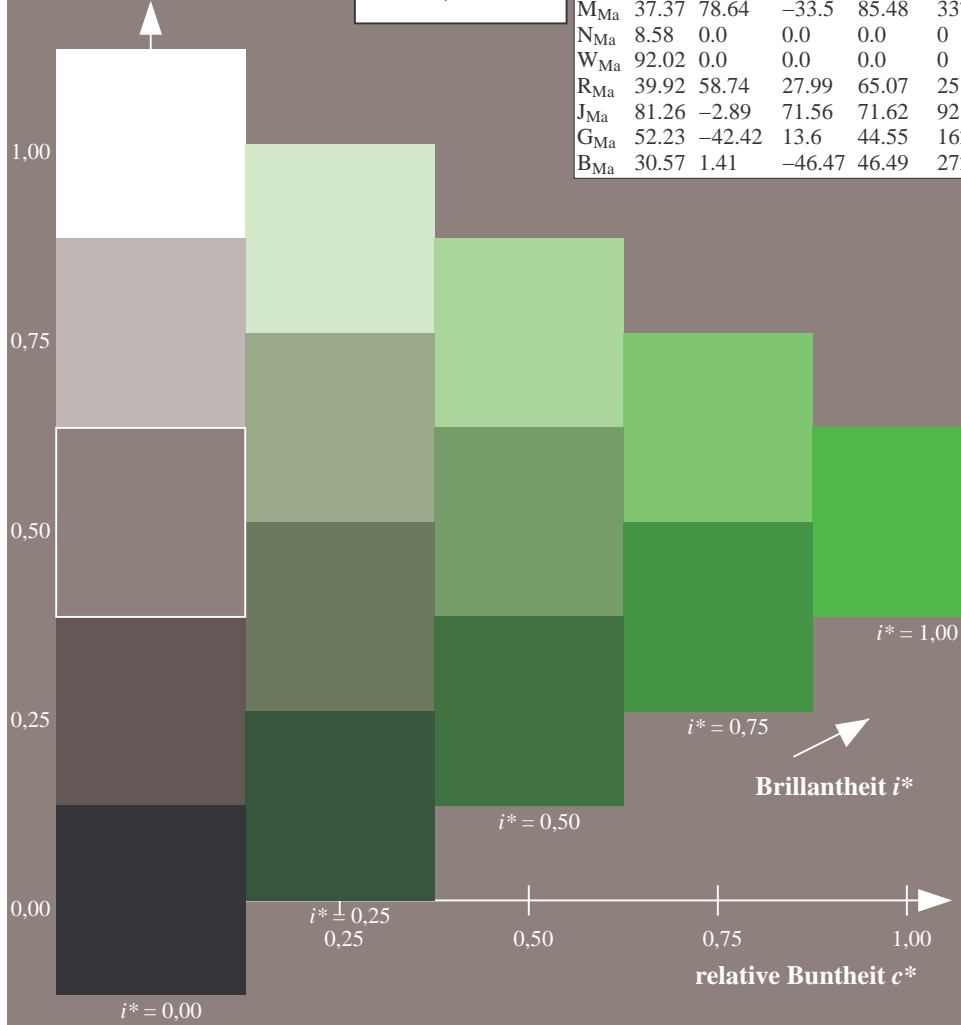
$lab^*rgb^*_{Ma}$: 0.5 1.0 0.0

$lab^*olv^*_{Ma}$: 0.3 1.0 0.0

Dreiecks-Helligkeit t^*

FRS09_92aM; adaptierte CIELAB-Daten

u^*_e	$L^*=L^*_a$	a^*_a	b^*_a	$C^*_{ab,a}$	$h^*_{ab,a}$	u^*_d
r00j	35.47	63.32	30.17	70.15	25	m81o
r25j	39.12	54.56	49.45	73.64	42	o10y
r50j	50.64	39.15	64.89	75.79	59	o40y
r75j	64.01	21.26	82.83	85.52	76	o69y
j00g	83.18	-4.38	108.53	108.62	92	o98y
j25g	66.73	-29.89	83.06	88.28	110	y34l
j50g	54.03	-48.31	63.49	79.78	127	y69l
j75g	44.73	-60.33	42.64	73.88	145	l03c
g00b	47.59	-49.08	15.74	51.54	162	l23c
g25b	49.97	-39.7	-6.72	40.27	190	l55c
g50b	51.85	-32.33	-24.35	40.48	217	l87c
g75b	46.92	-17.29	-36.02	39.96	244	c20v
b00r	37.91	1.28	-42.35	42.37	272	c53v
b25r	23.81	30.38	-52.26	60.45	300	c87v
b50r	29.52	69.06	-42.14	80.9	329	v68m
b75r	36.48	71.47	-3.69	71.57	357	m34o



Daten für jede Farbe:

lab^*tch^* und lab^*icu^*

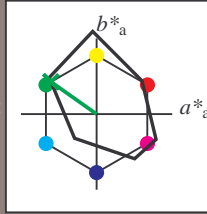
Buntontexte:

$u^*_e = j75g$ $u^*_d = l03c$

Kontrastreduzierungsfaktor:

$c_R = 1.0$

Dreiecks-Helligkeit t^*



FRS09_92aM; adaptierte CIELAB-Daten

u^*_e	$L^*=L^*_a$	a^*_a	b^*_a	$C^*_{ab,a}$	$h^*_{ab,a}$
O _{Ma}	35.06	60.0	44.0	74.4	36
Y _{Ma}	83.77	-5.17	109.32	109.44	93
L _{Ma}	44.13	-62.67	48.24	79.09	142
C _{Ma}	52.66	-29.14	-31.99	43.27	228
V _{Ma}	14.15	50.3	-59.04	77.57	310
M _{Ma}	37.37	78.64	-33.5	85.48	337
N _{Ma}	8.58	0.0	0.0	0.0	0
W _{Ma}	92.02	0.0	0.0	0.0	0
R _{Ma}	39.92	58.74	27.99	65.07	25
J _{Ma}	81.26	-2.89	71.56	71.62	92
G _{Ma}	52.23	-42.42	13.6	44.55	162
B _{Ma}	30.57	1.41	-46.47	46.49	272

Daten für Maximalfarbe (Ma):

$LAB^*LAB^*_{Ma}$: 45 -60 43

$LAB^*LCH^*_{Ma}$: 45 74 144

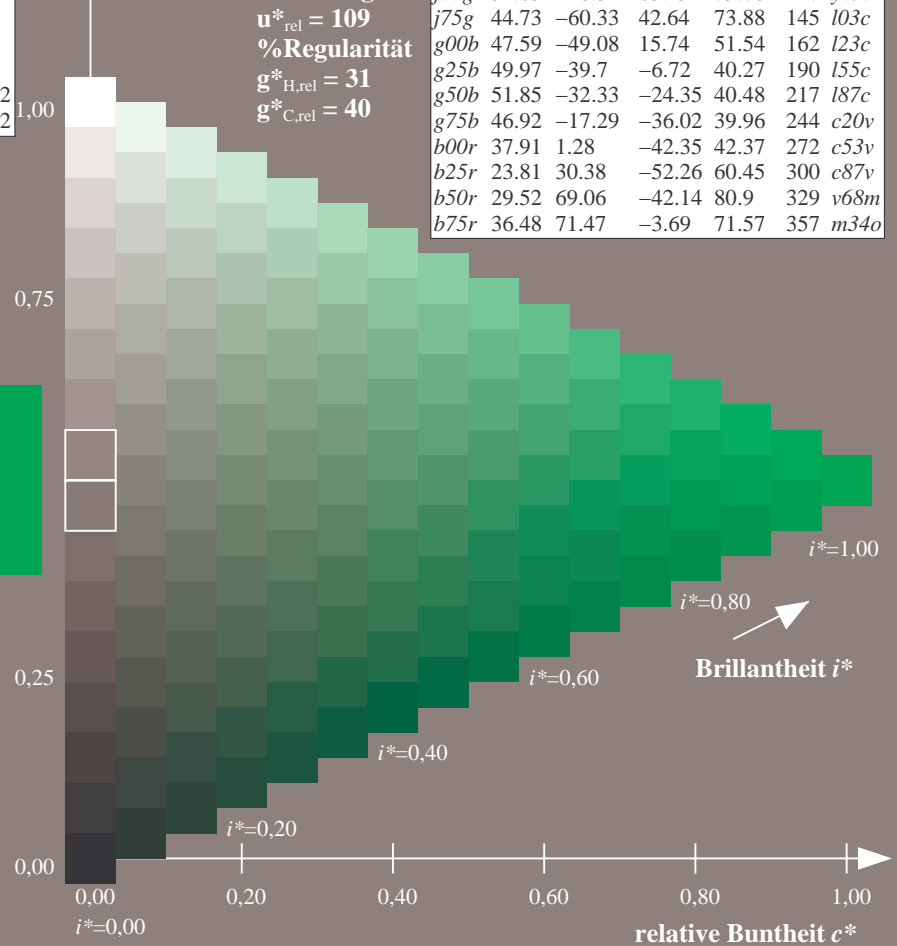
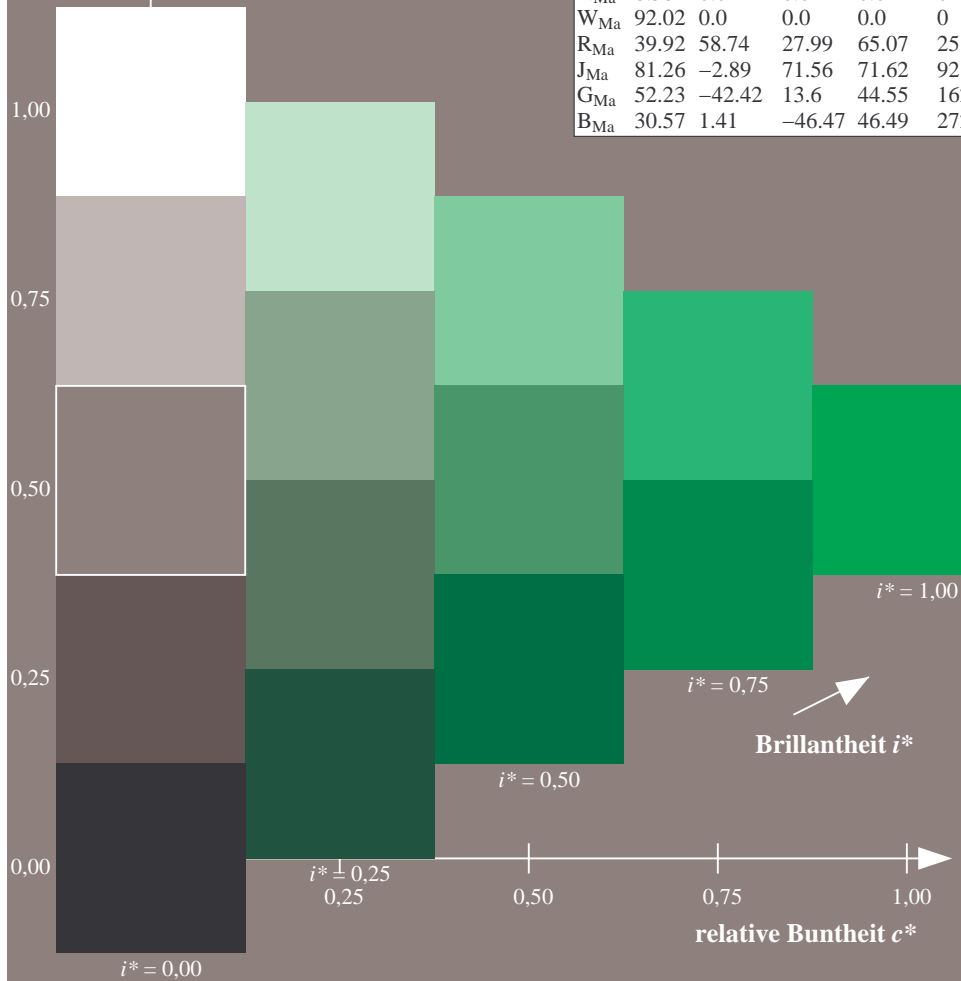
$lab^*rgb^*_{Ma}$: 0.25 1.0 0.0

$lab^*olv^*_{Ma}$: 0.0 1.0 0.03

Dreiecks-Helligkeit t^*

FRS09_92aM; adaptierte CIELAB-Daten

u^*_e	$L^*=L^*_a$	a^*_a	b^*_a	$C^*_{ab,a}$	$h^*_{ab,a}$	u^*_d
r00j	35.47	63.32	30.17	70.15	25	m81o
r25j	39.12	54.56	49.45	73.64	42	o10y
r50j	50.64	39.15	64.89	75.79	59	o40y
r75j	64.01	21.26	82.83	85.52	76	o69y
j00g	83.18	-4.38	108.53	108.62	92	o98y
j25g	66.73	-29.89	83.06	88.28	110	y34l
j50g	54.03	-48.31	63.49	79.78	127	y69l
j75g	44.73	-60.33	42.64	73.88	145	l03c
g00b	47.59	-49.08	15.74	51.54	162	l23c
g25b	49.97	-39.7	-6.72	40.27	190	l55c
g50b	51.85	-32.33	-24.35	40.48	217	l87c
g75b	46.92	-17.29	-36.02	39.96	244	c20v
b00r	37.91	1.28	-42.35	42.37	272	c53v
b25r	23.81	30.38	-52.26	60.45	300	c87v
b50r	29.52	69.06	-42.14	80.9	329	v68m
b75r	36.48	71.47	-3.69	71.57	357	m34o



%Umfang
 $u^*_{rel} = 109$
 %Regularität
 $g^*_{H,rel} = 31$
 $g^*_{C,rel} = 40$

Daten für jede Farbe:

lab^*tch^* und lab^*icu^*

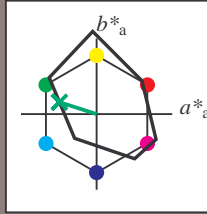
Buntontexte:

$u^*_e = g00b$ $u^*_d = l23c$

Kontrastreduzierungsfaktor:

$c_R = 1.0$

Dreiecks-Helligkeit t^*



FRS09_92aM; adaptierte CIELAB-Daten

u^*_e	$L^*=L^*_a$	a^*_a	b^*_a	$C^*_{ab,a}$	$h^*_{ab,a}$
O _{Ma}	35.06	60.0	44.0	74.4	36
Y _{Ma}	83.77	-5.17	109.32	109.44	93
L _{Ma}	44.13	-62.67	48.24	79.09	142
C _{Ma}	52.66	-29.14	-31.99	43.27	228
V _{Ma}	14.15	50.3	-59.04	77.57	310
M _{Ma}	37.37	78.64	-33.5	85.48	337
N _{Ma}	8.58	0.0	0.0	0.0	0
W _{Ma}	92.02	0.0	0.0	0.0	0
R _{Ma}	39.92	58.74	27.99	65.07	25
J _{Ma}	81.26	-2.89	71.56	71.62	92
G _{Ma}	52.23	-42.42	13.6	44.55	162
B _{Ma}	30.57	1.41	-46.47	46.49	272

Daten für Maximalfarbe (Ma):

$LAB^*LAB^*_{Ma}$: 48 -49 16

$LAB^*LCH^*_{Ma}$: 48 52 162

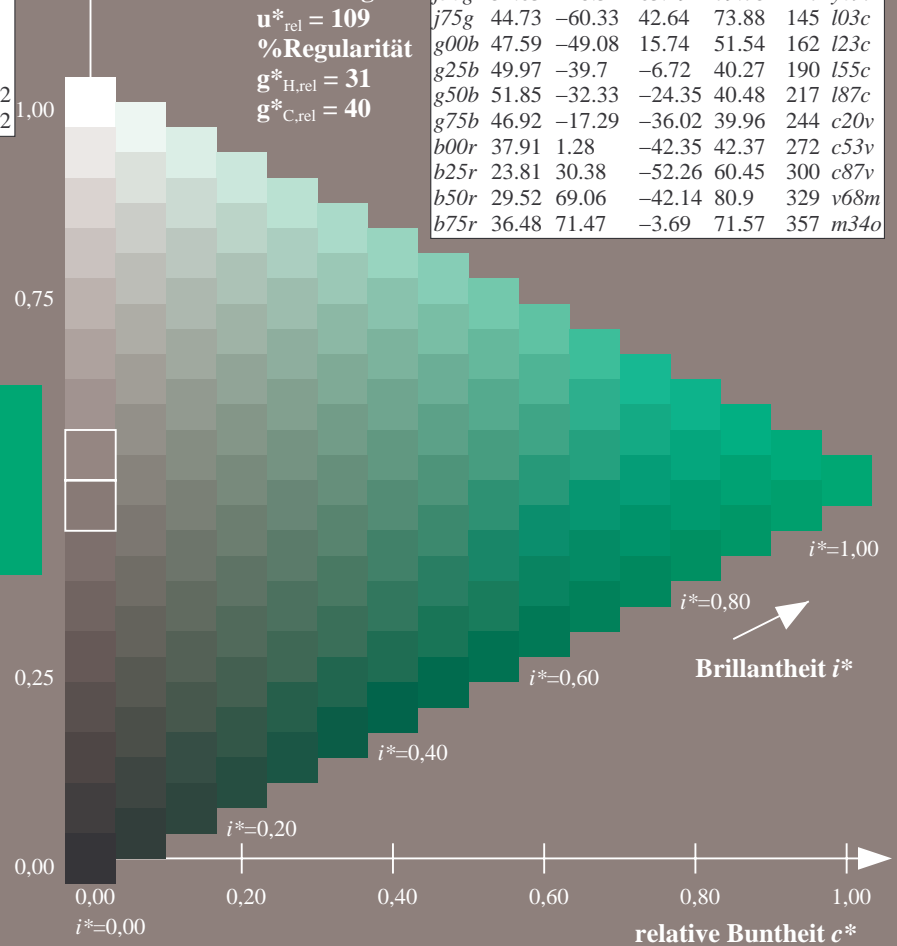
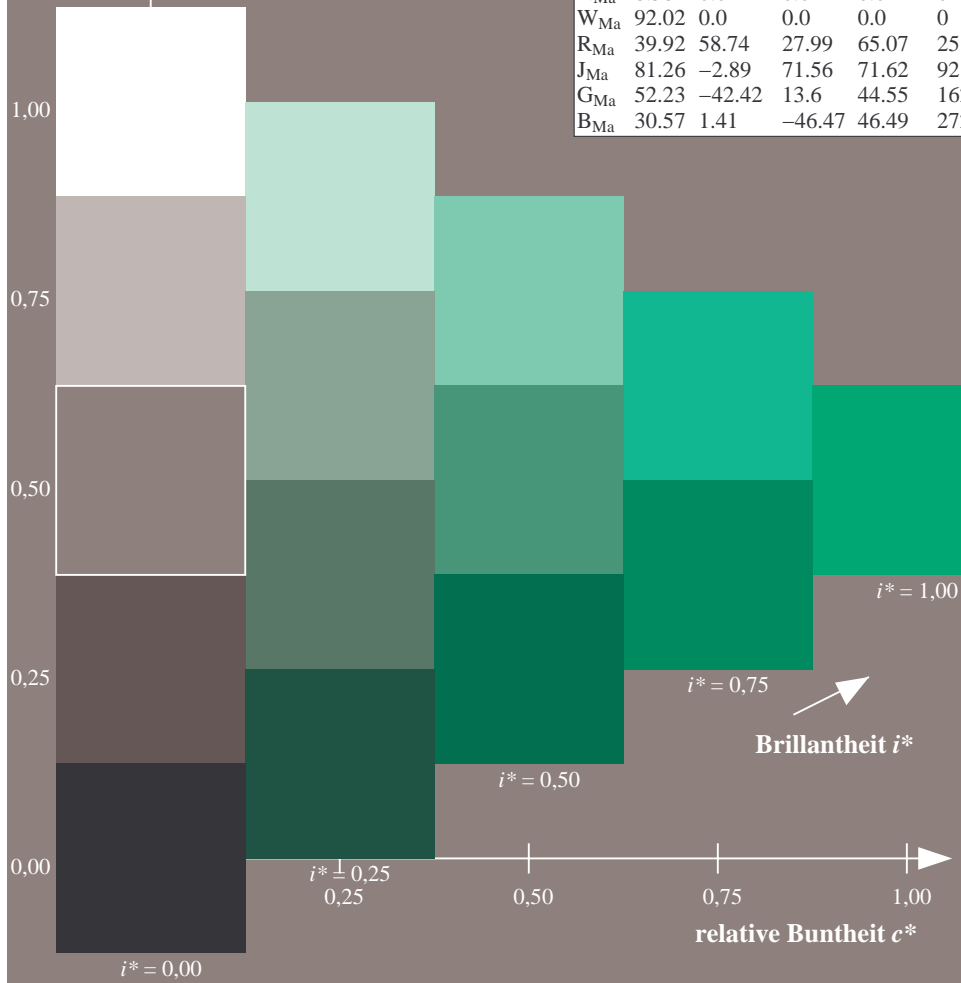
$lab^*rgb^*_{Ma}$: 0.0 1.0 0.0

$lab^*olv^*_{Ma}$: 0.0 1.0 0.23

Dreiecks-Helligkeit t^*

FRS09_92aM; adaptierte CIELAB-Daten

u^*_e	$L^*=L^*_a$	a^*_a	b^*_a	$C^*_{ab,a}$	$h^*_{ab,a}$	u^*_d
r00j	35.47	63.32	30.17	70.15	25	m81o
r25j	39.12	54.56	49.45	73.64	42	o10y
r50j	50.64	39.15	64.89	75.79	59	o40y
r75j	64.01	21.26	82.83	85.52	76	o69y
j00g	83.18	-4.38	108.53	108.62	92	o98y
j25g	66.73	-29.89	83.06	88.28	110	y34l
j50g	54.03	-48.31	63.49	79.78	127	y69l
j75g	44.73	-60.33	42.64	73.88	145	l03c
g00b	47.59	-49.08	15.74	51.54	162	l23c
g25b	49.97	-39.7	-6.72	40.27	190	l55c
g50b	51.85	-32.33	-24.35	40.48	217	l87c
g75b	46.92	-17.29	-36.02	39.96	244	c20v
b00r	37.91	1.28	-42.35	42.37	272	c53v
b25r	23.81	30.38	-52.26	60.45	300	c87v
b50r	29.52	69.06	-42.14	80.9	329	v68m
b75r	36.48	71.47	-3.69	71.57	357	m34o



Ein und Ausgabe: Farbmatisches Drucker-Reflektiv-System FRS09_92aM für relativen CIELAB-Bunton $h^* = lab^*h^* = h_{ab}/360 = 0.527$

$u^*_e = g25b$

Daten für jede Farbe:

lab^*tch^* und lab^*icu^*

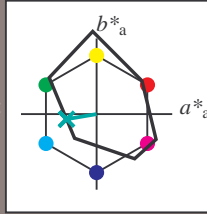
Buntontexte:

$u^*_e = g25b$ $u^*_d = l55c$

Kontrastreduzierungsfaktor:

$c_R = 1.0$

Dreiecks-Helligkeit t^*



FRS09_92aM; adaptierte CIELAB-Daten

u^*_e	$L^*=L^*_a$	a^*_a	b^*_a	$C^*_{ab,a}$	$h^*_{ab,a}$
O _{Ma}	35.06	60.0	44.0	74.4	36
Y _{Ma}	83.77	-5.17	109.32	109.44	93
L _{Ma}	44.13	-62.67	48.24	79.09	142
C _{Ma}	52.66	-29.14	-31.99	43.27	228
V _{Ma}	14.15	50.3	-59.04	77.57	310
M _{Ma}	37.37	78.64	-33.5	85.48	337
N _{Ma}	8.58	0.0	0.0	0.0	0
W _{Ma}	92.02	0.0	0.0	0.0	0
R _{Ma}	39.92	58.74	27.99	65.07	25
J _{Ma}	81.26	-2.89	71.56	71.62	92
G _{Ma}	52.23	-42.42	13.6	44.55	162
B _{Ma}	30.57	1.41	-46.47	46.49	272

Daten für Maximalfarbe (Ma):

$LAB^*LAB^*_{Ma}: 50 -40 -7$

$LAB^*LCH^*_{Ma}: 50 40 189$

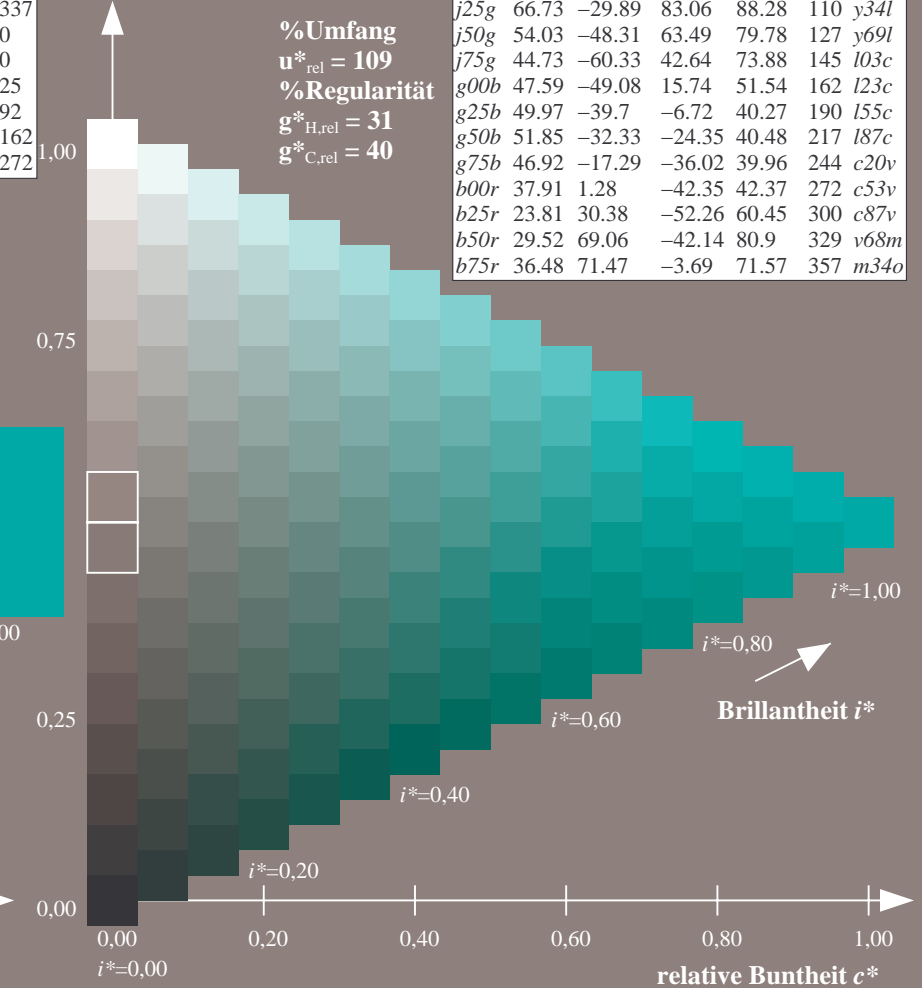
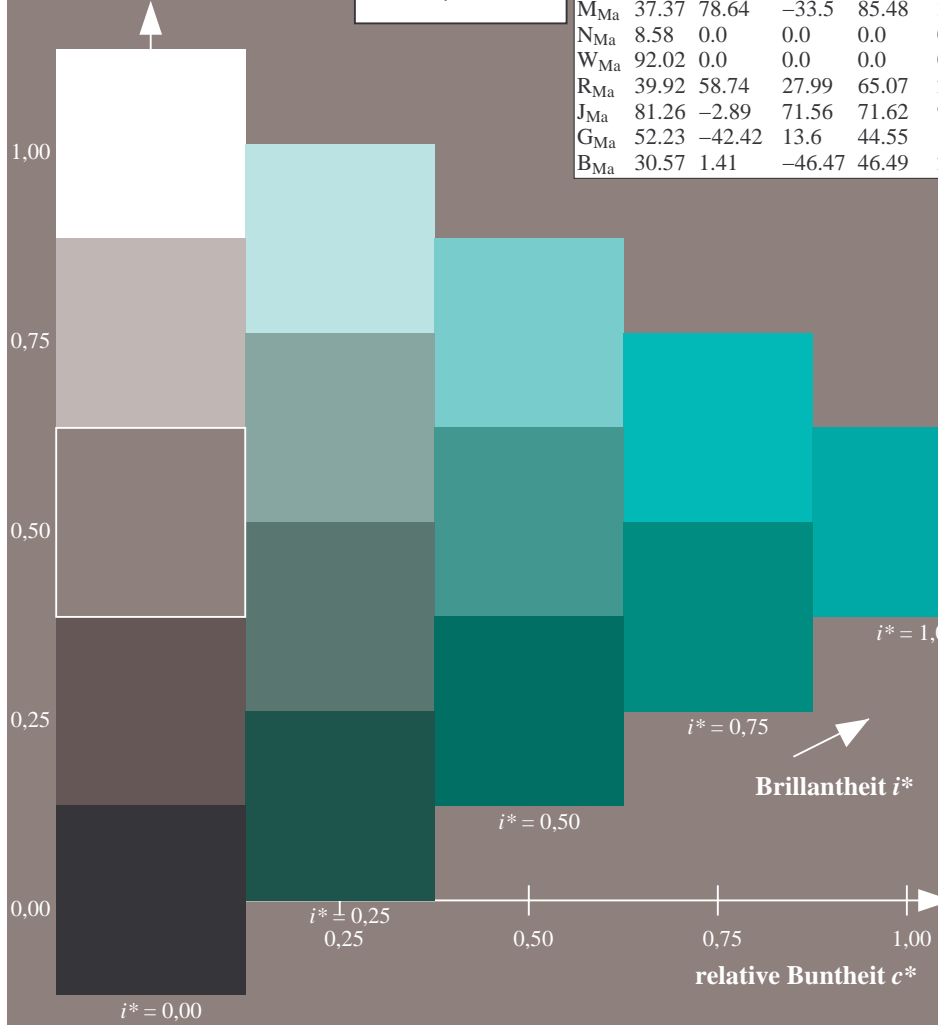
$lab^*rgb^*_{Ma}: 0.0 1.0 0.5$

$lab^*olv^*_{Ma}: 0.0 1.0 0.55$

Dreiecks-Helligkeit t^*

FRS09_92aM; adaptierte CIELAB-Daten

u^*_e	$L^*=L^*_a$	a^*_a	b^*_a	$C^*_{ab,a}$	$h^*_{ab,a}$	u^*_d
r00j	35.47	63.32	30.17	70.15	25	m81o
r25j	39.12	54.56	49.45	73.64	42	o10y
r50j	50.64	39.15	64.89	75.79	59	o40y
r75j	64.01	21.26	82.83	85.52	76	o69y
j00g	83.18	-4.38	108.53	108.62	92	o98y
j25g	66.73	-29.89	83.06	88.28	110	y34l
j50g	54.03	-48.31	63.49	79.78	127	y69l
j75g	44.73	-60.33	42.64	73.88	145	l03c
g00b	47.59	-49.08	15.74	51.54	162	l23c
g25b	49.97	-39.7	-6.72	40.27	190	l55c
g50b	51.85	-32.33	-24.35	40.48	217	l87c
g75b	46.92	-17.29	-36.02	39.96	244	c20v
b00r	37.91	1.28	-42.35	42.37	272	c53v
b25r	23.81	30.38	-52.26	60.45	300	c87v
b50r	29.52	69.06	-42.14	80.9	329	v68m
b75r	36.48	71.47	-3.69	71.57	357	m34o



Ein und Ausgabe: Farbmatisches Drucker-Reflektiv-System FRS09_92aM für relativen CIELAB-Bunton $h^* = lab^*h^* = h_{ab}/360 = 0.603$

$u^*_e = g50b$

Daten für jede Farbe:

lab^*tch^* und lab^*icu^*

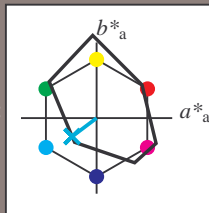
Buntontexte:

$u^*_e = g50b$ $u^*_d = l87c$

Kontrastreduzierungsfaktor:

$c_R = 1.0$

Dreiecks-Helligkeit t^*



FRS09_92aM; adaptierte CIELAB-Daten

u^*_e	$L^*=L^*_a$	a^*_a	b^*_a	$C^*_{ab,a}$	$h^*_{ab,a}$
O _{Ma}	35.06	60.0	44.0	74.4	36
Y _{Ma}	83.77	-5.17	109.32	109.44	93
L _{Ma}	44.13	-62.67	48.24	79.09	142
C _{Ma}	52.66	-29.14	-31.99	43.27	228
V _{Ma}	14.15	50.3	-59.04	77.57	310
M _{Ma}	37.37	78.64	-33.5	85.48	337
N _{Ma}	8.58	0.0	0.0	0.0	0
W _{Ma}	92.02	0.0	0.0	0.0	0
R _{Ma}	39.92	58.74	27.99	65.07	25
J _{Ma}	81.26	-2.89	71.56	71.62	92
G _{Ma}	52.23	-42.42	13.6	44.55	162
B _{Ma}	30.57	1.41	-46.47	46.49	272

Daten für Maximalfarbe (Ma):

$LAB^*LAB^*_{Ma}$: 52 -32 -24

$LAB^*LCH^*_{Ma}$: 52 40 216

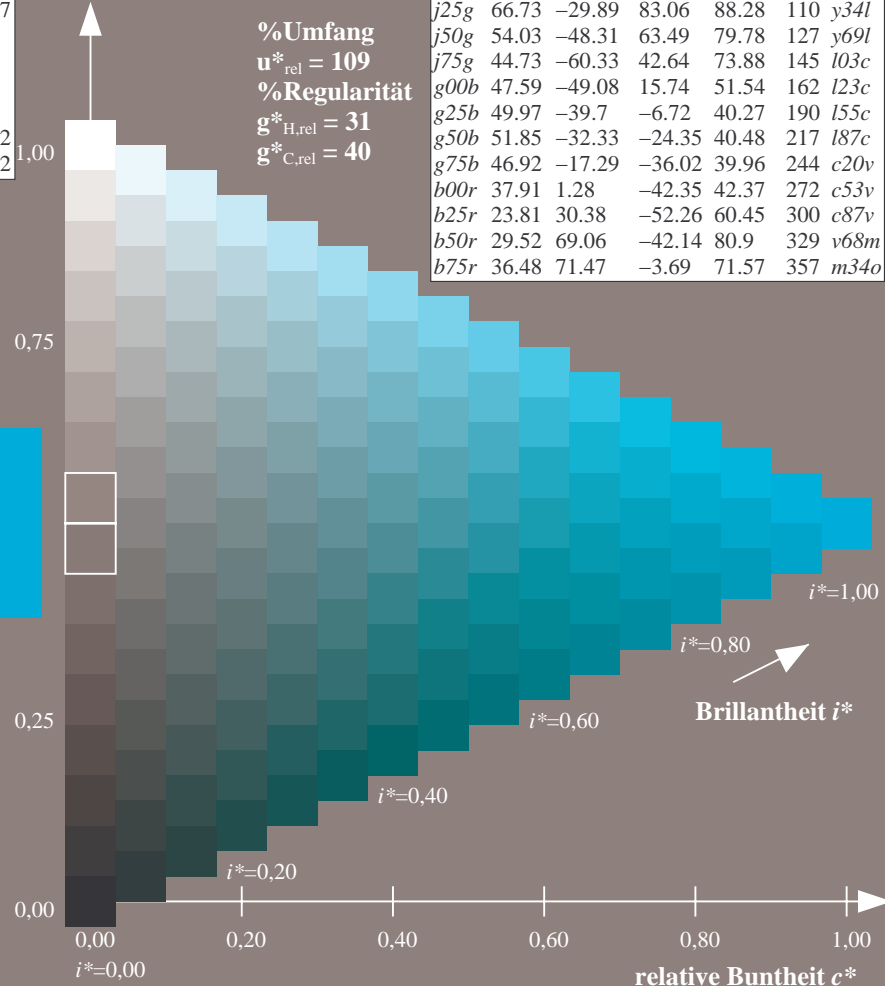
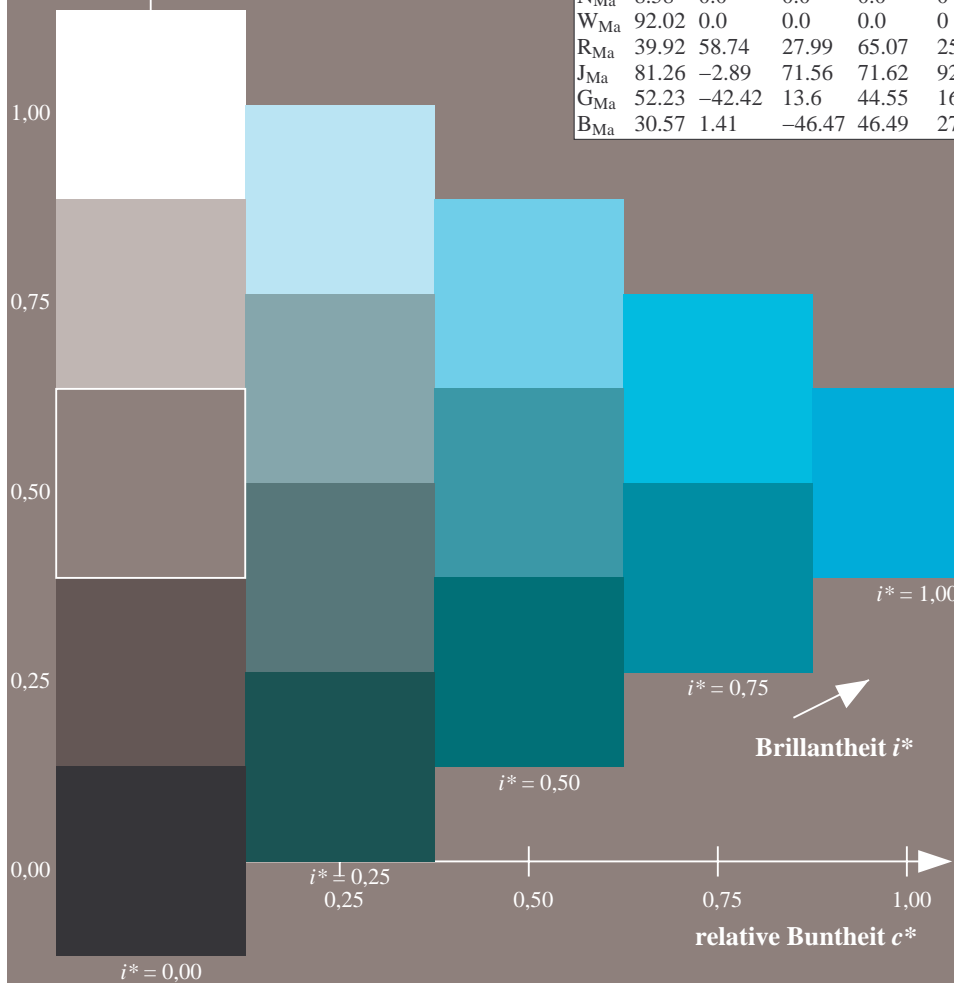
$lab^*rgb^*_{Ma}$: 0.0 1.0 1.0

$lab^*olv^*_{Ma}$: 0.0 1.0 0.87

Dreiecks-Helligkeit t^*

FRS09_92aM; adaptierte CIELAB-Daten

u^*_e	$L^*=L^*_a$	a^*_a	b^*_a	$C^*_{ab,a}$	$h^*_{ab,a}$	u^*_d
r00j	35.47	63.32	30.17	70.15	25	m81o
r25j	39.12	54.56	49.45	73.64	42	o10y
r50j	50.64	39.15	64.89	75.79	59	o40y
r75j	64.01	21.26	82.83	85.52	76	o69y
j00g	83.18	-4.38	108.53	108.62	92	o98y
j25g	66.73	-29.89	83.06	88.28	110	y34l
j50g	54.03	-48.31	63.49	79.78	127	y69l
j75g	44.73	-60.33	42.64	73.88	145	l03c
g00b	47.59	-49.08	15.74	51.54	162	l23c
g25b	49.97	-39.7	-6.72	40.27	190	l55c
g50b	51.85	-32.33	-24.35	40.48	217	l87c
g75b	46.92	-17.29	-36.02	39.96	244	c20v
b00r	37.91	1.28	-42.35	42.37	272	c53v
b25r	23.81	30.38	-52.26	60.45	300	c87v
b50r	29.52	69.06	-42.14	80.9	329	v68m
b75r	36.48	71.47	-3.69	71.57	357	m34o



Daten für jede Farbe:

lab^*tch^* und lab^*icu^*

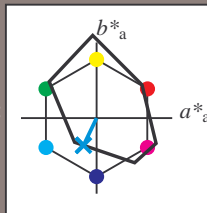
Buntontexte:

$u^*_e = g75b$ $u^*_d = c20v$

Kontrastreduzierungsfaktor:

$c_R = 1.0$

Dreiecks-Helligkeit t^*



FRS09_92aM; adaptierte CIELAB-Daten

u^*_e	$L^*=L^*_a$	a^*_a	b^*_a	$C^*_{ab,a}$	$h^*_{ab,a}$
O _{Ma}	35.06	60.0	44.0	74.4	36
Y _{Ma}	83.77	-5.17	109.32	109.44	93
L _{Ma}	44.13	-62.67	48.24	79.09	142
C _{Ma}	52.66	-29.14	-31.99	43.27	228
V _{Ma}	14.15	50.3	-59.04	77.57	310
M _{Ma}	37.37	78.64	-33.5	85.48	337
N _{Ma}	8.58	0.0	0.0	0.0	0
W _{Ma}	92.02	0.0	0.0	0.0	0
R _{Ma}	39.92	58.74	27.99	65.07	25
J _{Ma}	81.26	-2.89	71.56	71.62	92
G _{Ma}	52.23	-42.42	13.6	44.55	162
B _{Ma}	30.57	1.41	-46.47	46.49	272

Daten für Maximalfarbe (Ma):

$LAB^*LAB^*_{Ma}: 47 -17 -36$

$LAB^*LCH^*_{Ma}: 47 40 244$

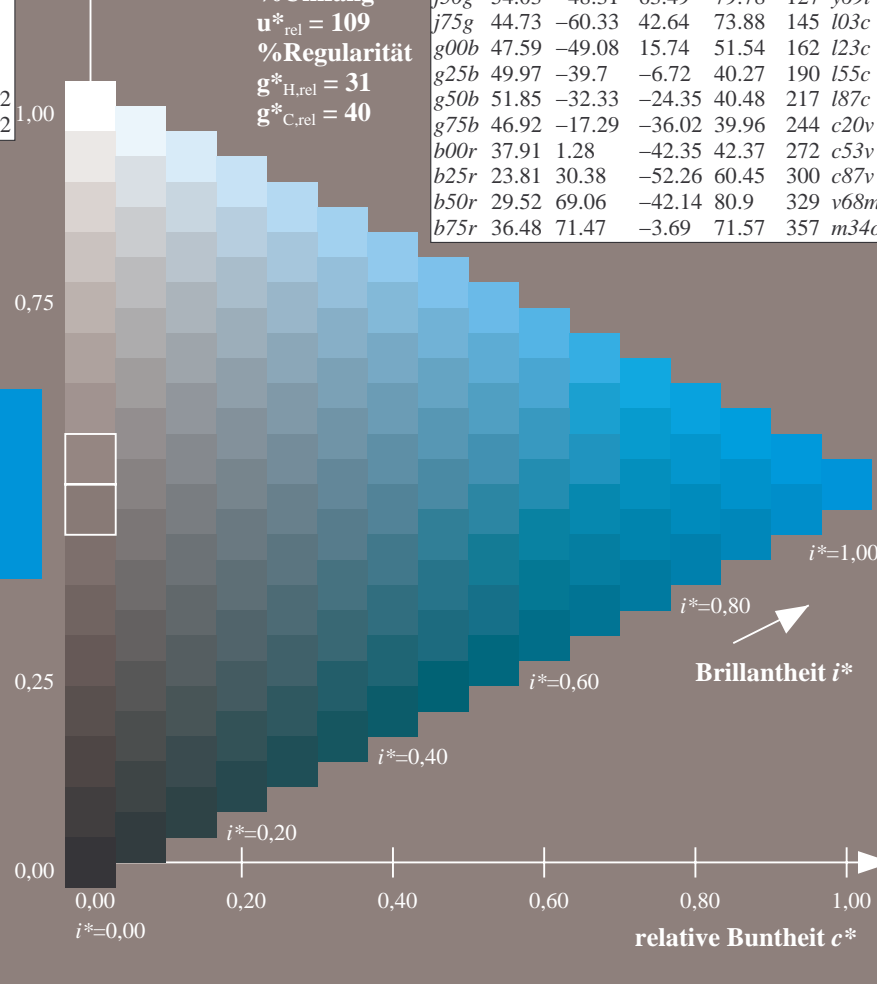
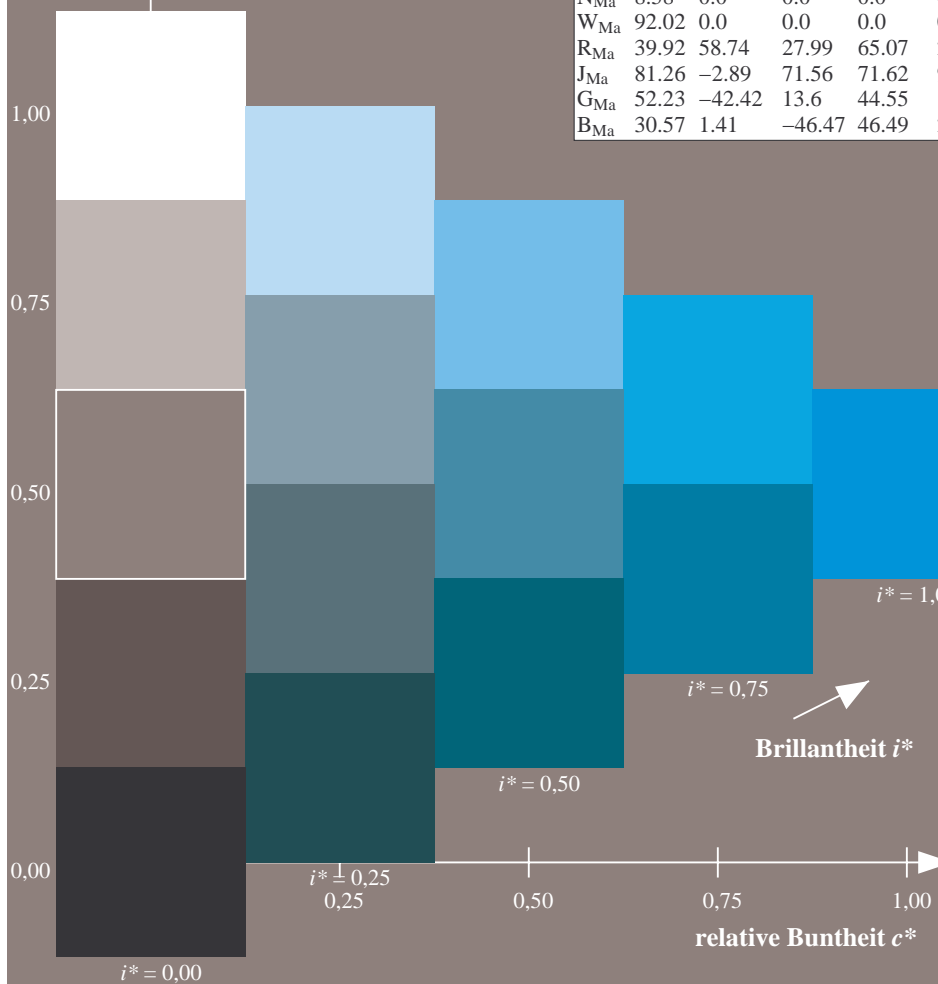
$lab^*rgb^*_{Ma}: 0.0 0.5 1.0$

$lab^*olv^*_{Ma}: 0.0 0.8 1.0$

Dreiecks-Helligkeit t^*

FRS09_92aM; adaptierte CIELAB-Daten

u^*_e	$L^*=L^*_a$	a^*_a	b^*_a	$C^*_{ab,a}$	$h^*_{ab,a}$	u^*_d
r00j	35.47	63.32	30.17	70.15	25	m81o
r25j	39.12	54.56	49.45	73.64	42	o10y
r50j	50.64	39.15	64.89	75.79	59	o40y
r75j	64.01	21.26	82.83	85.52	76	o69y
j00g	83.18	-4.38	108.53	108.62	92	o98y
j25g	66.73	-29.89	83.06	88.28	110	y34l
j50g	54.03	-48.31	63.49	79.78	127	y69l
j75g	44.73	-60.33	42.64	73.88	145	l03c
g00b	47.59	-49.08	15.74	51.54	162	l23c
g25b	49.97	-39.7	-6.72	40.27	190	l55c
g50b	51.85	-32.33	-24.35	40.48	217	l87c
g75b	46.92	-17.29	-36.02	39.96	244	c20v
b00r	37.91	1.28	-42.35	42.37	272	c53v
b25r	23.81	30.38	-52.26	60.45	300	c87v
b50r	29.52	69.06	-42.14	80.9	329	v68m
b75r	36.48	71.47	-3.69	71.57	357	m34o



%Umfang
 $u^*_{rel} = 109$
 %Regularität
 $g^*_{H,rel} = 31$
 $g^*_{C,rel} = 40$

Daten für jede Farbe:

lab^*tch^* und lab^*icu^*

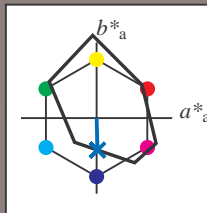
Buntontexte:

$u^*_e = b00r$ $u^*_d = c53v$

Kontrastreduzierungsfaktor:

$c_R = 1.0$

Dreiecks-Helligkeit t^*



FRS09_92aM; adaptierte CIELAB-Daten

u^*_e	$L^*=L^*_a$	a^*_a	b^*_a	$C^*_{ab,a}$	$h^*_{ab,a}$
O _{Ma}	35.06	60.0	44.0	74.4	36
Y _{Ma}	83.77	-5.17	109.32	109.44	93
L _{Ma}	44.13	-62.67	48.24	79.09	142
C _{Ma}	52.66	-29.14	-31.99	43.27	228
V _{Ma}	14.15	50.3	-59.04	77.57	310
M _{Ma}	37.37	78.64	-33.5	85.48	337
N _{Ma}	8.58	0.0	0.0	0.0	0
W _{Ma}	92.02	0.0	0.0	0.0	0
R _{Ma}	39.92	58.74	27.99	65.07	25
J _{Ma}	81.26	-2.89	71.56	71.62	92
G _{Ma}	52.23	-42.42	13.6	44.55	162
B _{Ma}	30.57	1.41	-46.47	46.49	272

Daten für Maximalfarbe (Ma):

$LAB^*LAB^*_{Ma}$: 38 1 -42

$LAB^*LCH^*_{Ma}$: 38 42 271

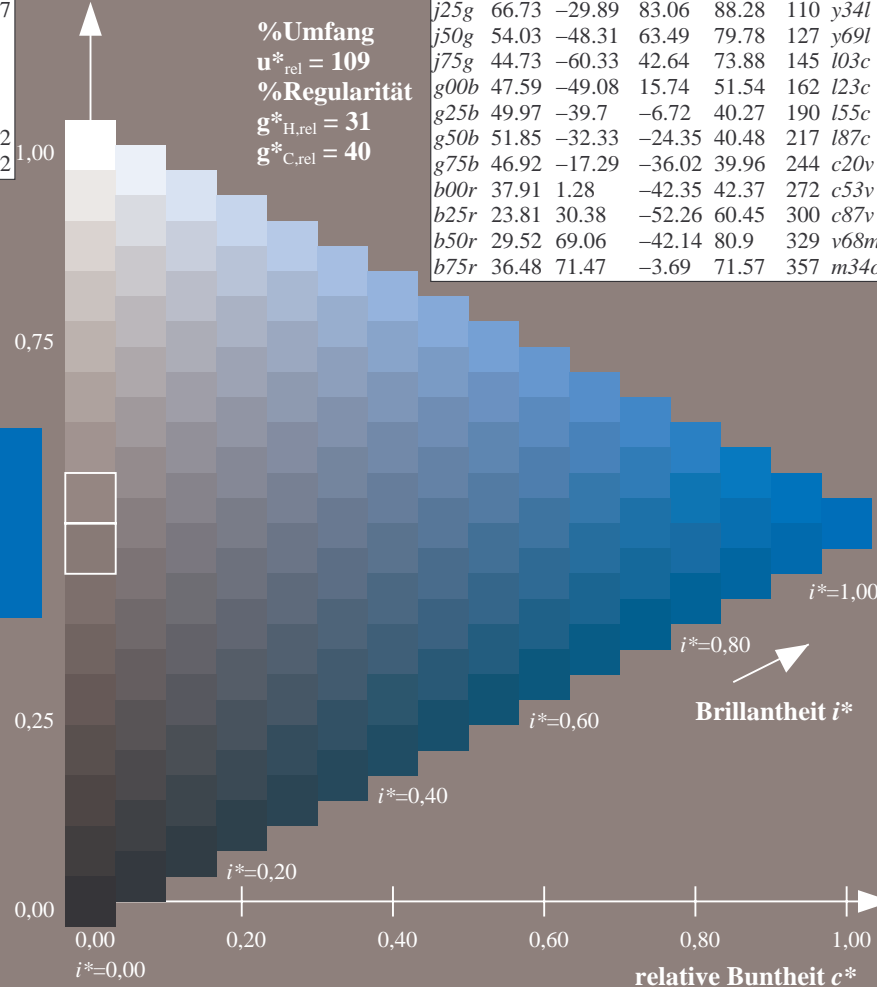
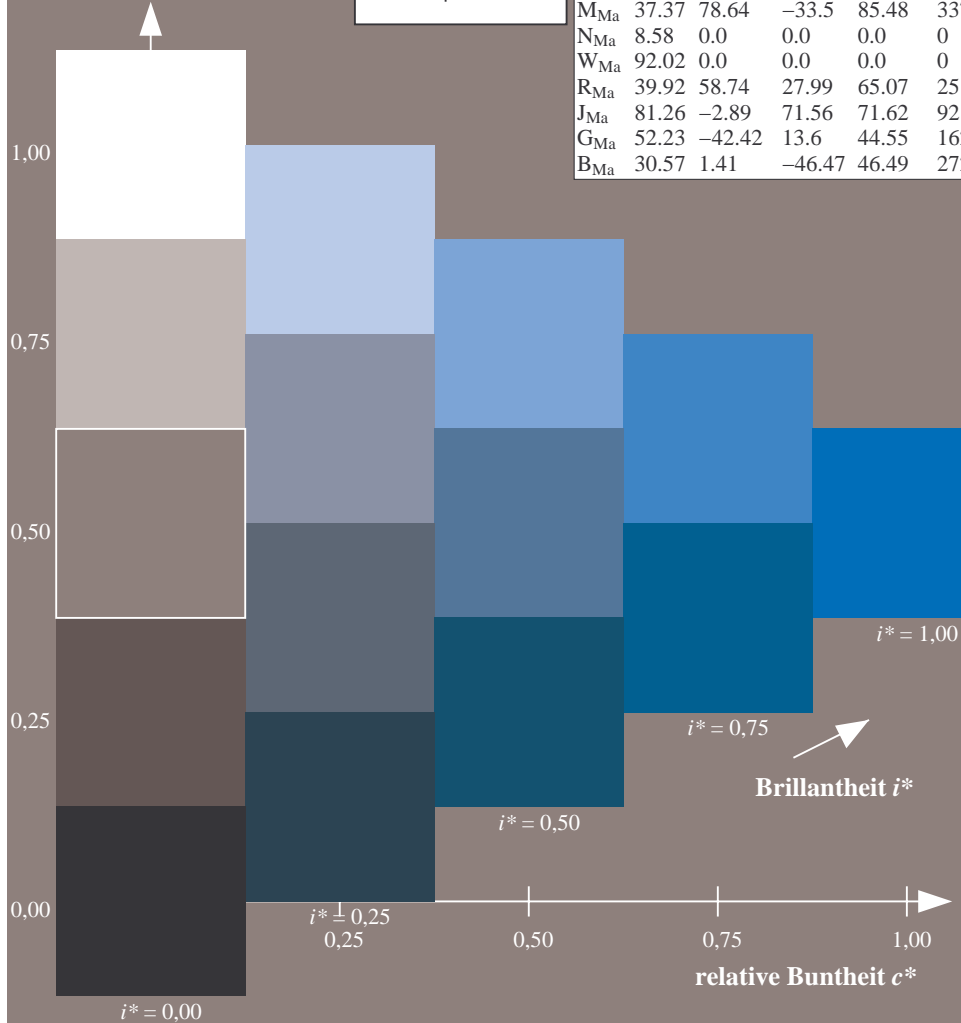
$lab^*rgb^*_{Ma}$: 0.0 0.0 1.0

$lab^*olv^*_{Ma}$: 0.0 0.47 1.0

Dreiecks-Helligkeit t^*

FRS09_92aM; adaptierte CIELAB-Daten

u^*_e	$L^*=L^*_a$	a^*_a	b^*_a	$C^*_{ab,a}$	$h^*_{ab,a}$	u^*_d
r00j	35.47	63.32	30.17	70.15	25	m81o
r25j	39.12	54.56	49.45	73.64	42	o10y
r50j	50.64	39.15	64.89	75.79	59	o40y
r75j	64.01	21.26	82.83	85.52	76	o69y
j00g	83.18	-4.38	108.53	108.62	92	o98y
j25g	66.73	-29.89	83.06	88.28	110	y34l
j50g	54.03	-48.31	63.49	79.78	127	y69l
j75g	44.73	-60.33	42.64	73.88	145	l03c
g00b	47.59	-49.08	15.74	51.54	162	l23c
g25b	49.97	-39.7	-6.72	40.27	190	l55c
g50b	51.85	-32.33	-24.35	40.48	217	l87c
g75b	46.92	-17.29	-36.02	39.96	244	c20v
b00r	37.91	1.28	-42.35	42.37	272	c53v
b25r	23.81	30.38	-52.26	60.45	300	c87v
b50r	29.52	69.06	-42.14	80.9	329	v68m
b75r	36.48	71.47	-3.69	71.57	357	m34o



%Umfang
 $u^*_{rel} = 109$
 %Regularität
 $g^*_{H,rel} = 31$
 $g^*_{C,rel} = 40$

Ein und Ausgabe: Farbmatisches Drucker-Reflektiv-System FRS09_92aM für relativen CIELAB-Bunton $h^* = lab^*h^* = h_{ab}/360 = 0.834$

$u^*_e = b25r$

Daten für jede Farbe:

lab^*tch^* und lab^*icu^*

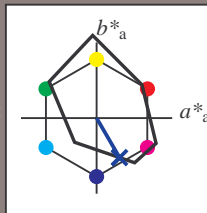
Buntontexte:

$u^*_e = b25r$ $u^*_d = c87v$

Kontrastreduzierungsfaktor:

$c_R = 1.0$

Dreiecks-Helligkeit t^*



FRS09_92aM; adaptierte CIELAB-Daten

u^*_e	$L^*=L^*_a$	a^*_a	b^*_a	$C^*_{ab,a}$	$h^*_{ab,a}$
O _{Ma}	35.06	60.0	44.0	74.4	36
Y _{Ma}	83.77	-5.17	109.32	109.44	93
L _{Ma}	44.13	-62.67	48.24	79.09	142
C _{Ma}	52.66	-29.14	-31.99	43.27	228
V _{Ma}	14.15	50.3	-59.04	77.57	310
M _{Ma}	37.37	78.64	-33.5	85.48	337
N _{Ma}	8.58	0.0	0.0	0.0	0
W _{Ma}	92.02	0.0	0.0	0.0	0
R _{Ma}	39.92	58.74	27.99	65.07	25
J _{Ma}	81.26	-2.89	71.56	71.62	92
G _{Ma}	52.23	-42.42	13.6	44.55	162
B _{Ma}	30.57	1.41	-46.47	46.49	272

Daten für Maximalfarbe (Ma):

$LAB^*LAB^*_{Ma}: 24 \ 30 \ -52$

$LAB^*LCH^*_{Ma}: 24 \ 60 \ 300$

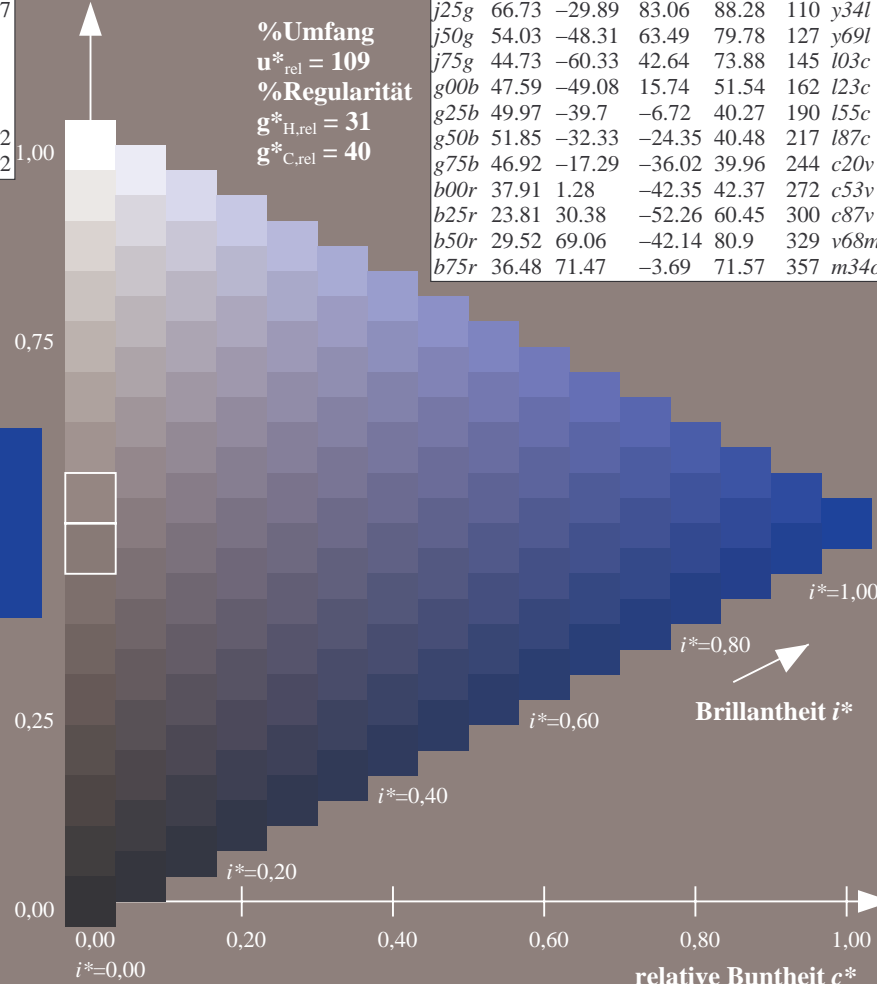
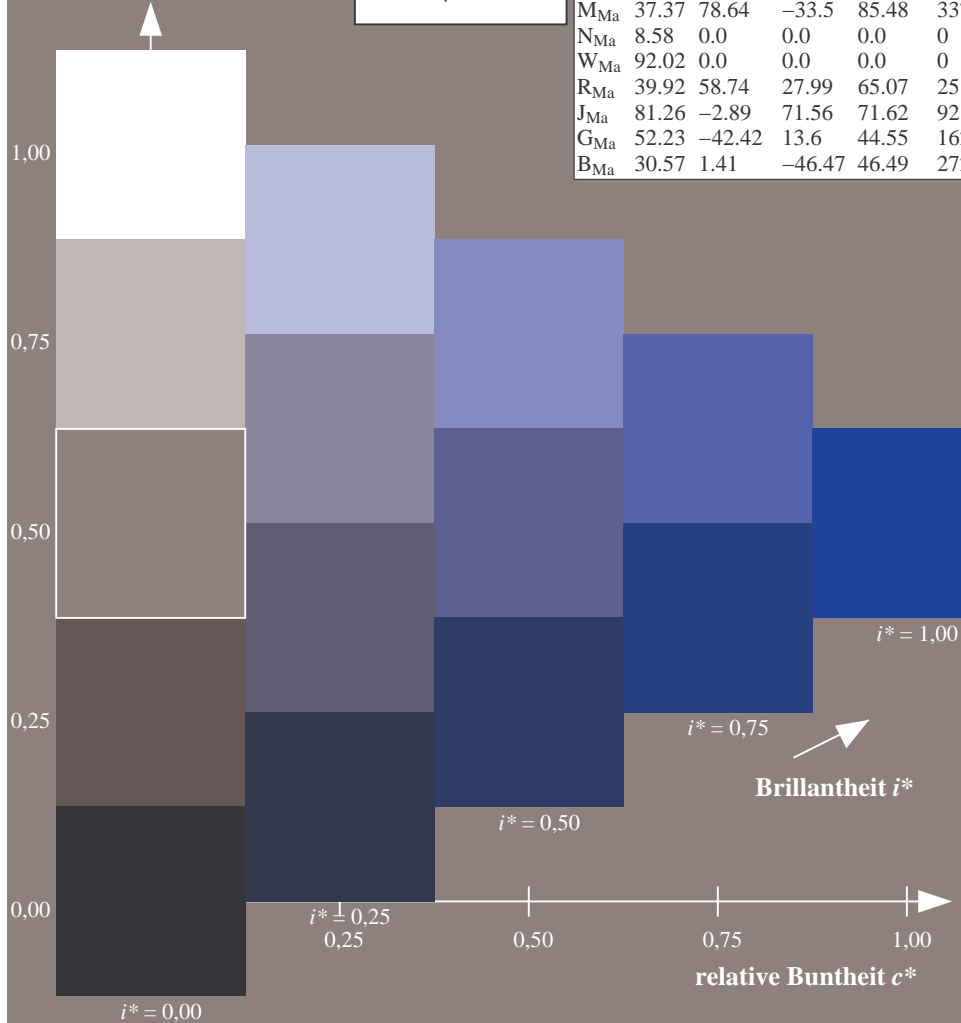
$lab^*rgb^*_{Ma}: 0.5 \ 0.0 \ 1.0$

$lab^*olv^*_{Ma}: 0.0 \ 0.12 \ 1.0$

Dreiecks-Helligkeit t^*

FRS09_92aM; adaptierte CIELAB-Daten

u^*_e	$L^*=L^*_a$	a^*_a	b^*_a	$C^*_{ab,a}$	$h^*_{ab,a}$	u^*_d
r00j	35.47	63.32	30.17	70.15	25	m81o
r25j	39.12	54.56	49.45	73.64	42	o10y
r50j	50.64	39.15	64.89	75.79	59	o40y
r75j	64.01	21.26	82.83	85.52	76	o69y
j00g	83.18	-4.38	108.53	108.62	92	o98y
j25g	66.73	-29.89	83.06	88.28	110	y34l
j50g	54.03	-48.31	63.49	79.78	127	y69l
j75g	44.73	-60.33	42.64	73.88	145	l03c
g00b	47.59	-49.08	15.74	51.54	162	l23c
g25b	49.97	-39.7	-6.72	40.27	190	l55c
g50b	51.85	-32.33	-24.35	40.48	217	l87c
g75b	46.92	-17.29	-36.02	39.96	244	c20v
b00r	37.91	1.28	-42.35	42.37	272	c53v
b25r	23.81	30.38	-52.26	60.45	300	c87v
b50r	29.52	69.06	-42.14	80.9	329	v68m
b75r	36.48	71.47	-3.69	71.57	357	m34o



Daten für jede Farbe:

lab^*tch^* und lab^*icu^*

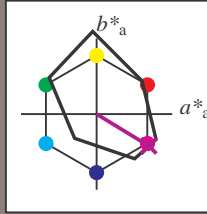
Buntontexte:

$u^*_e = b50r$ $u^*_d = v68m$

Kontrastreduzierungsfaktor:

$c_R = 1.0$

Dreiecks-Helligkeit t^*



FRS09_92aM; adaptierte CIELAB-Daten

u^*_e	$L^*=L^*_a$	a^*_a	b^*_a	$C^*_{ab,a}$	$h^*_{ab,a}$
O _{Ma}	35.06	60.0	44.0	74.4	36
Y _{Ma}	83.77	-5.17	109.32	109.44	93
L _{Ma}	44.13	-62.67	48.24	79.09	142
C _{Ma}	52.66	-29.14	-31.99	43.27	228
V _{Ma}	14.15	50.3	-59.04	77.57	310
M _{Ma}	37.37	78.64	-33.5	85.48	337
N _{Ma}	8.58	0.0	0.0	0.0	0
W _{Ma}	92.02	0.0	0.0	0.0	0
R _{Ma}	39.92	58.74	27.99	65.07	25
J _{Ma}	81.26	-2.89	71.56	71.62	92
G _{Ma}	52.23	-42.42	13.6	44.55	162
B _{Ma}	30.57	1.41	-46.47	46.49	272

Daten für Maximalfarbe (Ma):

$LAB^*LAB^*_{Ma}$: 30 69 -42

$LAB^*LCH^*_{Ma}$: 30 81 328

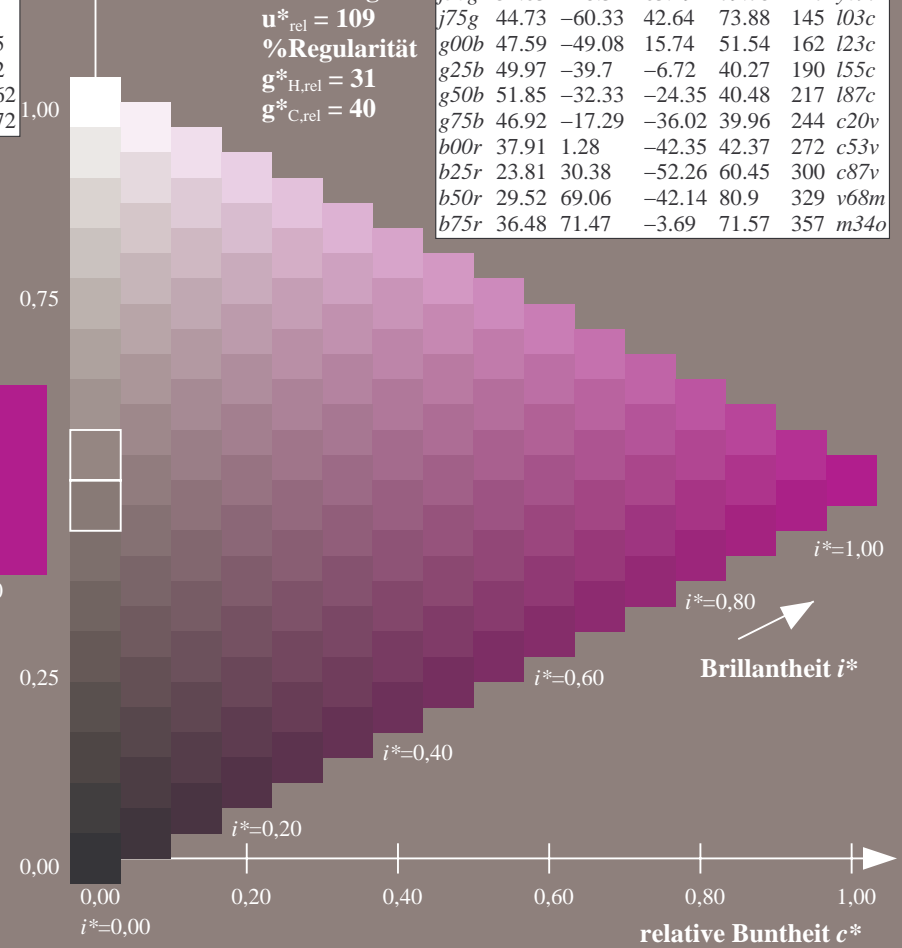
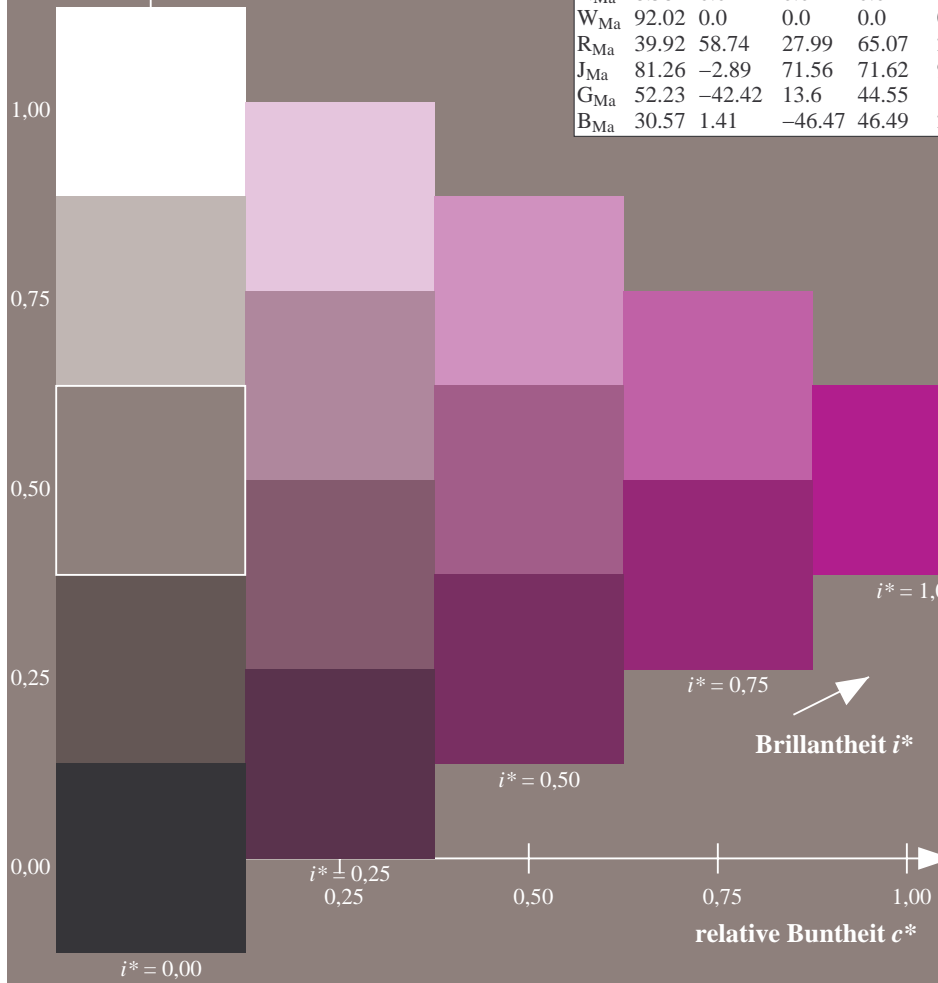
$lab^*rgb^*_{Ma}$: 1.0 0.0 1.0

$lab^*olv^*_{Ma}$: 0.69 0.0 1.0

Dreiecks-Helligkeit t^*

FRS09_92aM; adaptierte CIELAB-Daten

u^*_e	$L^*=L^*_a$	a^*_a	b^*_a	$C^*_{ab,a}$	$h^*_{ab,a}$	u^*_d
r00j	35.47	63.32	30.17	70.15	25	m81o
r25j	39.12	54.56	49.45	73.64	42	o10y
r50j	50.64	39.15	64.89	75.79	59	o40y
r75j	64.01	21.26	82.83	85.52	76	o69y
j00g	83.18	-4.38	108.53	108.62	92	o98y
j25g	66.73	-29.89	83.06	88.28	110	y34l
j50g	54.03	-48.31	63.49	79.78	127	y69l
j75g	44.73	-60.33	42.64	73.88	145	l03c
g00b	47.59	-49.08	15.74	51.54	162	l23c
g25b	49.97	-39.7	-6.72	40.27	190	l55c
g50b	51.85	-32.33	-24.35	40.48	217	l87c
g75b	46.92	-17.29	-36.02	39.96	244	c20v
b00r	37.91	1.28	-42.35	42.37	272	c53v
b25r	23.81	30.38	-52.26	60.45	300	c87v
b50r	29.52	69.06	-42.14	80.9	329	v68m
b75r	36.48	71.47	-3.69	71.57	357	m34o



%Umfang
 $u^*_{rel} = 109$
 %Regularität
 $g^*_{H,rel} = 31$
 $g^*_{C,rel} = 40$

Daten für jede Farbe:

lab^*tch^* und lab^*icu^*

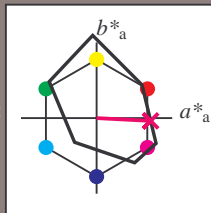
Buntontexte:

$u^*_e = b75r$ $u^*_d = m34o$

Kontrastreduzierungsfaktor:

$c_R = 1.0$

Dreiecks-Helligkeit t^*



FRS09_92aM; adaptierte CIELAB-Daten

u^*_e	$L^*=L^*_a$	a^*_a	b^*_a	$C^*_{ab,a}$	$h^*_{ab,a}$
O _{Ma}	35.06	60.0	44.0	74.4	36
Y _{Ma}	83.77	-5.17	109.32	109.44	93
L _{Ma}	44.13	-62.67	48.24	79.09	142
C _{Ma}	52.66	-29.14	-31.99	43.27	228
V _{Ma}	14.15	50.3	-59.04	77.57	310
M _{Ma}	37.37	78.64	-33.5	85.48	337
N _{Ma}	8.58	0.0	0.0	0.0	0
W _{Ma}	92.02	0.0	0.0	0.0	0
R _{Ma}	39.92	58.74	27.99	65.07	25
J _{Ma}	81.26	-2.89	71.56	71.62	92
G _{Ma}	52.23	-42.42	13.6	44.55	162
B _{Ma}	30.57	1.41	-46.47	46.49	272

Daten für Maximalfarbe (Ma):

$LAB^*LAB^*_{Ma}$: 36 71 -4

$LAB^*LCH^*_{Ma}$: 36 72 357

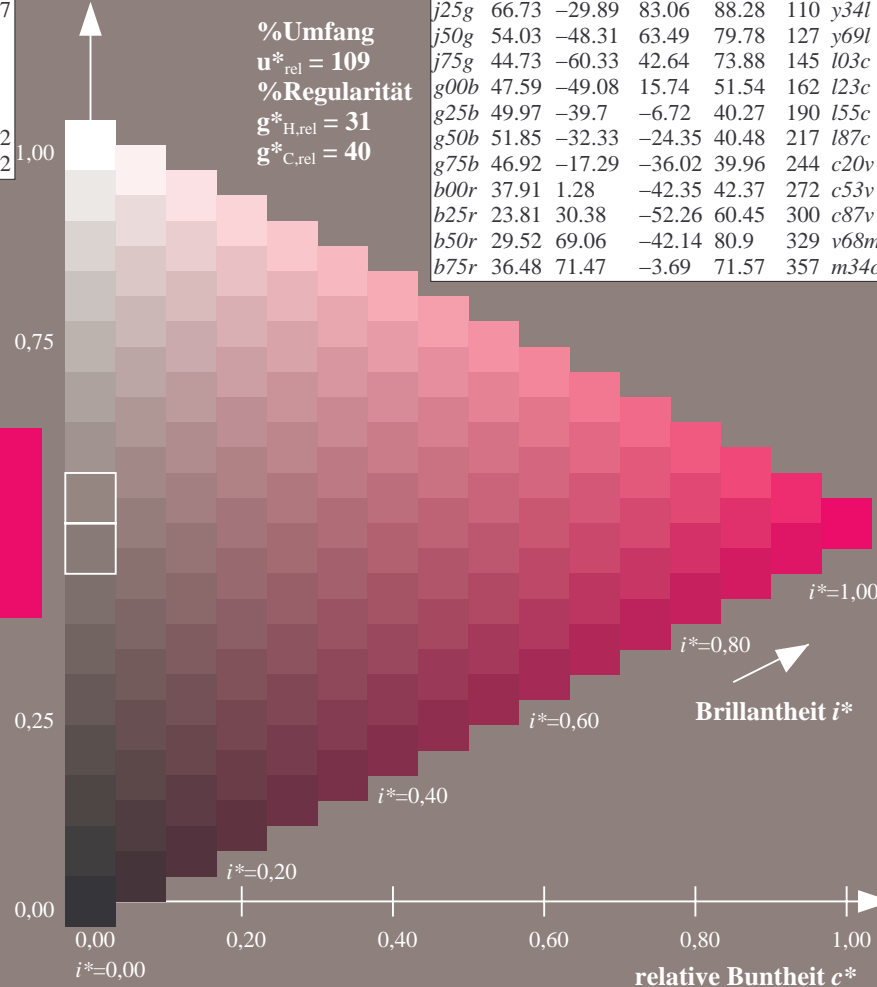
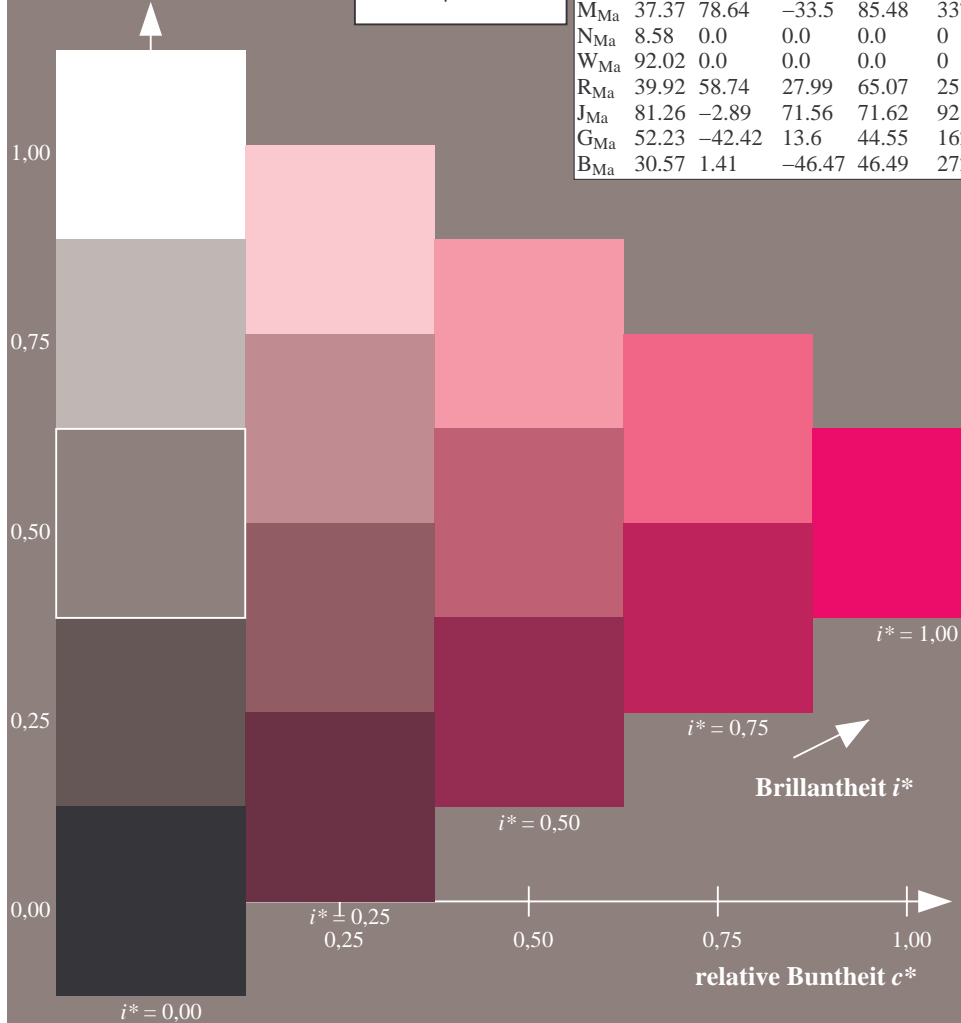
$lab^*rgb^*_{Ma}$: 1.0 0.0 0.5

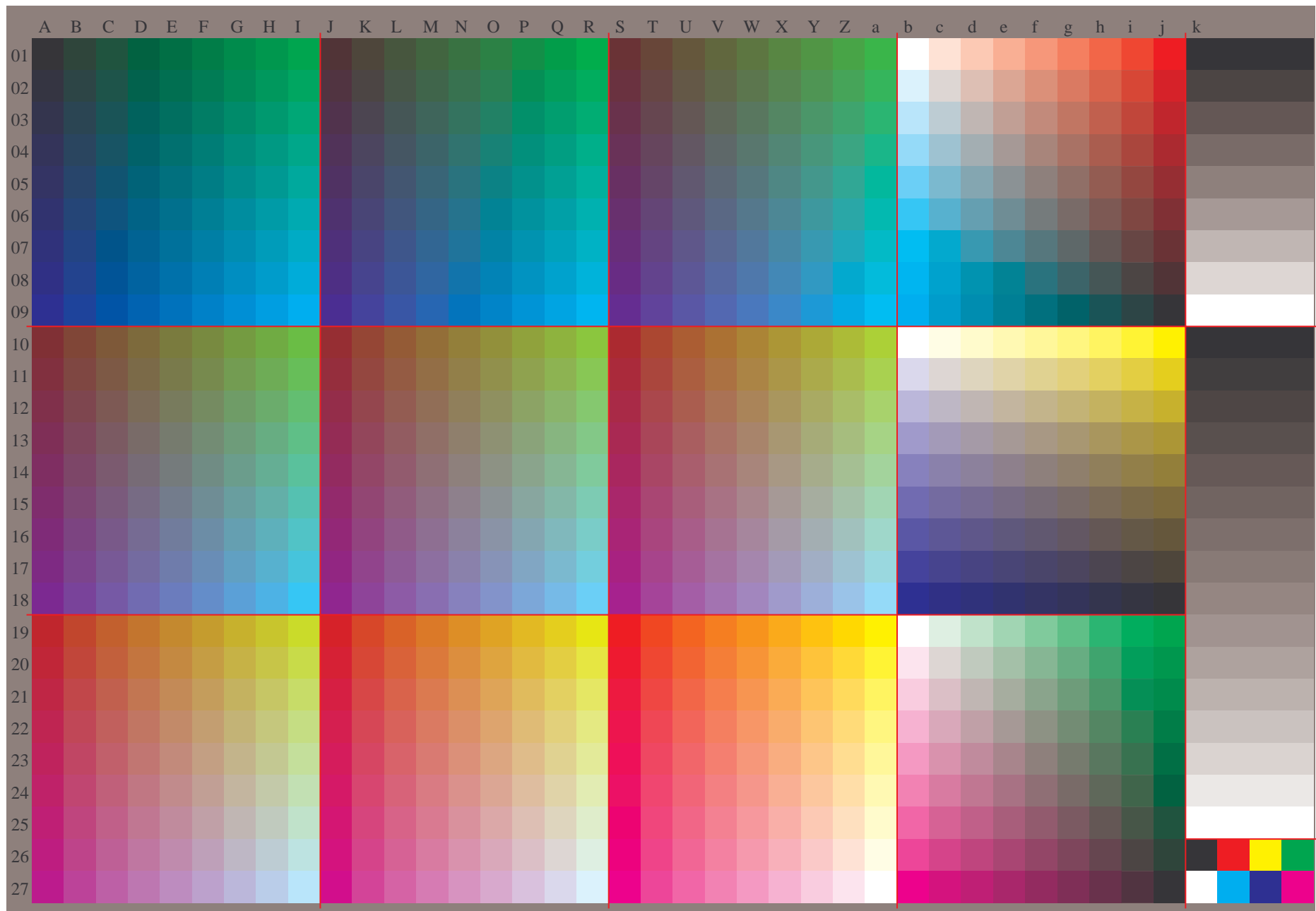
$lab^*olv^*_{Ma}$: 1.0 0.0 0.66

Dreiecks-Helligkeit t^*

FRS09_92aM; adaptierte CIELAB-Daten

u^*_e	$L^*=L^*_a$	a^*_a	b^*_a	$C^*_{ab,a}$	$h^*_{ab,a}$	u^*_d
r00j	35.47	63.32	30.17	70.15	25	m81o
r25j	39.12	54.56	49.45	73.64	42	o10y
r50j	50.64	39.15	64.89	75.79	59	o40y
r75j	64.01	21.26	82.83	85.52	76	o69y
j00g	83.18	-4.38	108.53	108.62	92	o98y
j25g	66.73	-29.89	83.06	88.28	110	y34l
j50g	54.03	-48.31	63.49	79.78	127	y69l
j75g	44.73	-60.33	42.64	73.88	145	l03c
g00b	47.59	-49.08	15.74	51.54	162	l23c
g25b	49.97	-39.7	-6.72	40.27	190	l55c
g50b	51.85	-32.33	-24.35	40.48	217	l87c
g75b	46.92	-17.29	-36.02	39.96	244	c20v
b00r	37.91	1.28	-42.35	42.37	272	c53v
b25r	23.81	30.38	-52.26	60.45	300	c87v
b50r	29.52	69.06	-42.14	80.9	329	v68m
b75r	36.48	71.47	-3.69	71.57	357	m34o





Ein und Ausgabe:
 Farbmetrisches Drucker-Reflektiv-System FRS09_92aM

Daten für jede Farbe:

u^*_e und Nummer $Nr. = 00 \dots 15$

Elementar-Bunttextext:

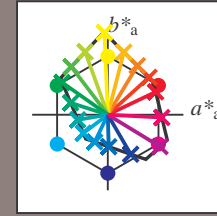
$u^*_e = 16$ Bunttoene $r00j, r25j, \dots, b75r$

Kontrastreduzierungsfaktor:

$c_R = 1.0$

FRS09_92aM; adaptierte CIELAB-Daten

u^*_e	$L^*=L^*_a$	a^*_a	b^*_a	$C^*_{ab,a}$	$h^*_{ab,a}$	u^*_d
r00j	35.47	63.32	30.17	70.15	25	m81o
r25j	39.12	54.56	49.45	73.64	42	o10y
r50j	50.64	39.15	64.89	75.79	59	o40y
r75j	64.01	21.26	82.83	85.52	76	o69y
j00g	83.18	-4.38	108.53	108.62	92	o98y
j25g	66.73	-29.89	83.06	88.28	110	y34l
j50g	54.03	-48.31	63.49	79.78	127	y69l
j75g	44.73	-60.33	42.64	73.88	145	l03c
g00b	47.59	-49.08	15.74	51.54	162	l23c
g25b	49.97	-39.7	-6.72	40.27	190	l55c
g50b	51.85	-32.33	-24.35	40.48	217	l87c
g75b	46.92	-17.29	-36.02	39.96	244	c20v
b00r	37.91	1.28	-42.35	42.37	272	c53v
b25r	23.81	30.38	-52.26	60.45	300	c87v
b50r	29.52	69.06	-42.14	80.9	329	v68m
b75r	36.48	71.47	-3.69	71.57	357	m34o



%Umfang

$u^*_{rel} = 109$

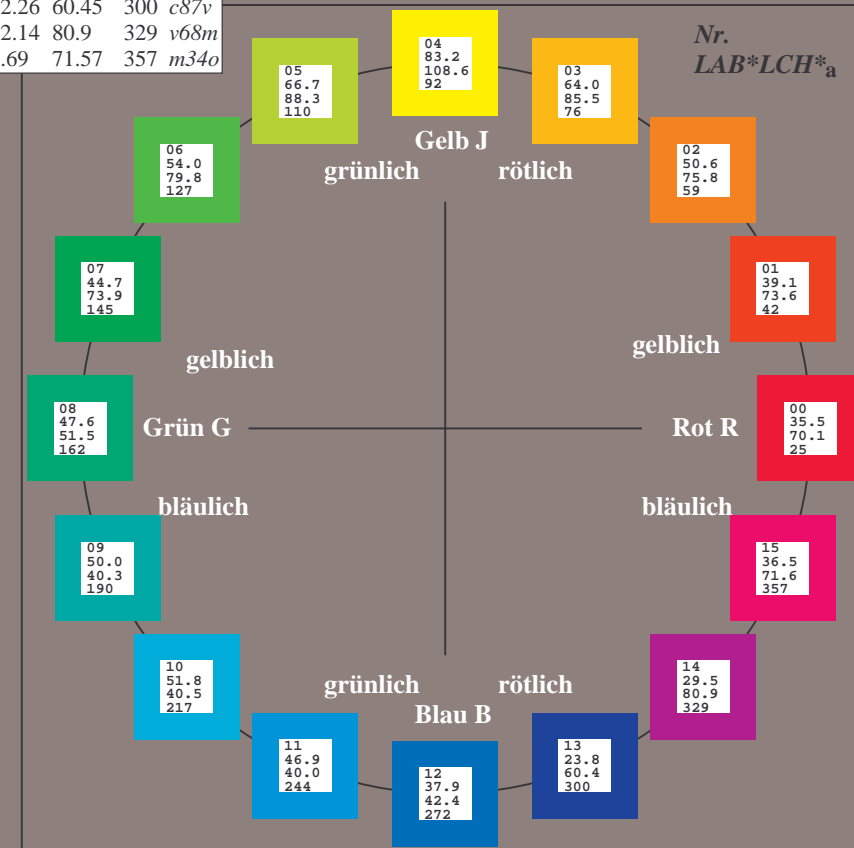
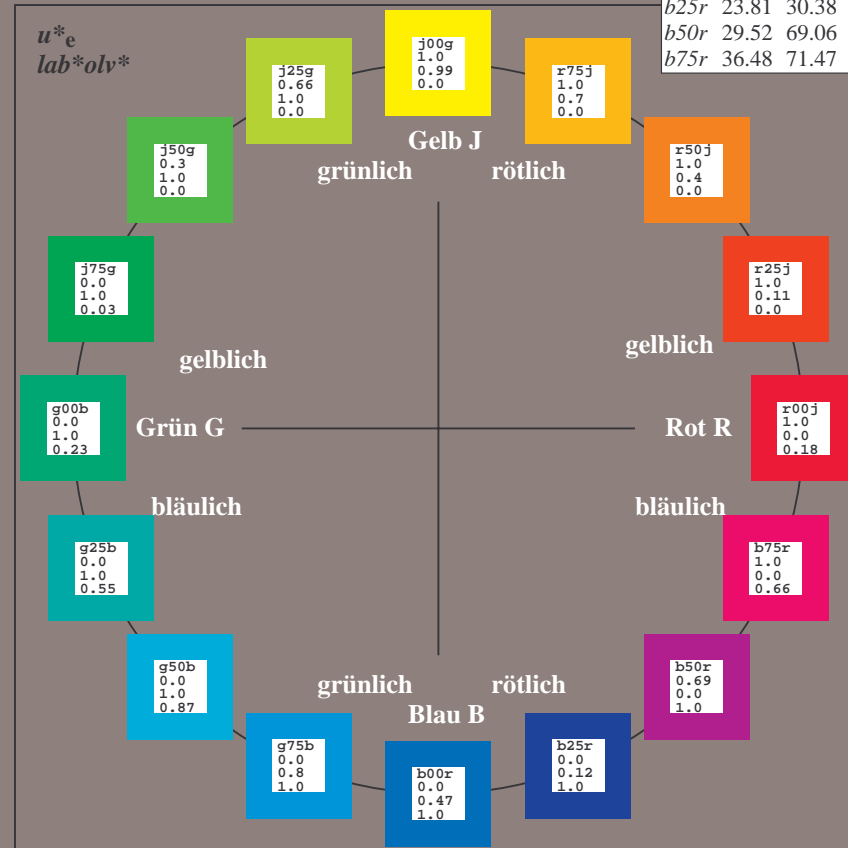
%Regularität

$g^*_{H,rel} = 31$

$g^*_{C,rel} = 40$

FRS09_92aM; adaptierte CIELAB-Daten

Name	$L^*=L^*_a$	a^*_a	b^*_a	$C^*_{ab,a}$	$h^*_{ab,a}$
OMa	35.06	60.0	44.0	74.4	36
YMa	83.77	-5.17	109.32	109.44	93
LMa	44.13	-62.67	48.24	79.09	142
CMa	52.66	-29.14	-31.99	43.27	228
VMa	14.15	50.3	-59.04	77.57	310
MMa	37.37	78.64	-33.5	85.48	337
NMa	8.58	0.0	0.0	0.0	0
WMa	92.02	0.0	0.0	0.0	0
RCIE	39.92	58.74	27.99	65.07	25
JCIE	81.26	-2.89	71.56	71.62	92
GCIE	52.23	-42.42	13.6	44.55	162
BCIE	30.57	1.41	-46.47	46.49	272



Ein und Ausgabe: Farbmatisches Drucker-Reflektiv-System FRS09_92aM für relativen CIELAB-Bunton $h^* = lab^*h^* = h_{ab}/360 = 0.071$

Daten für jede Farbe:

lab^*ch^* und lab^*icu^*

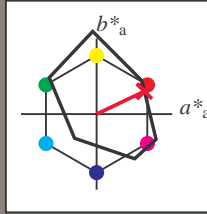
Buntontexte:

$u^*_e = r00j$ $u^*_d = m81o$

Kontrastreduzierungsfaktor:

$c_R = 1.0$

Dreiecks-Helligkeit t^*



FRS09_92aM; adaptierte CIELAB-Daten

u^*_e	$L^*=L^*_a$	a^*_a	b^*_a	$C^*_{ab,a}$	$h^*_{ab,a}$
O _{Ma}	35.06	60.0	44.0	74.4	36
Y _{Ma}	83.77	-5.17	109.32	109.44	93
L _{Ma}	44.13	-62.67	48.24	79.09	142
C _{Ma}	52.66	-29.14	-31.99	43.27	228
V _{Ma}	14.15	50.3	-59.04	77.57	310
M _{Ma}	37.37	78.64	-33.5	85.48	337
N _{Ma}	8.58	0.0	0.0	0.0	0
W _{Ma}	92.02	0.0	0.0	0.0	0
R _{Ma}	39.92	58.74	27.99	65.07	25
J _{Ma}	81.26	-2.89	71.56	71.62	92
G _{Ma}	52.23	-42.42	13.6	44.55	162
B _{Ma}	30.57	1.41	-46.47	46.49	272

Daten für Maximalfarbe (Ma):

$LAB^*LAB^*_{Ma}$: 35 63 30

$LAB^*LCH^*_{Ma}$: 35 70 25

$lab^*rgb^*_{Ma}$: 1.0 0.0 0.0

$lab^*olv^*_{Ma}$: 1.0 0.0 0.18

Dreiecks-Helligkeit t^*

%Umfang

$u^*_{rel} = 109$

%Regularität

$g^*_{H,rel} = 31$

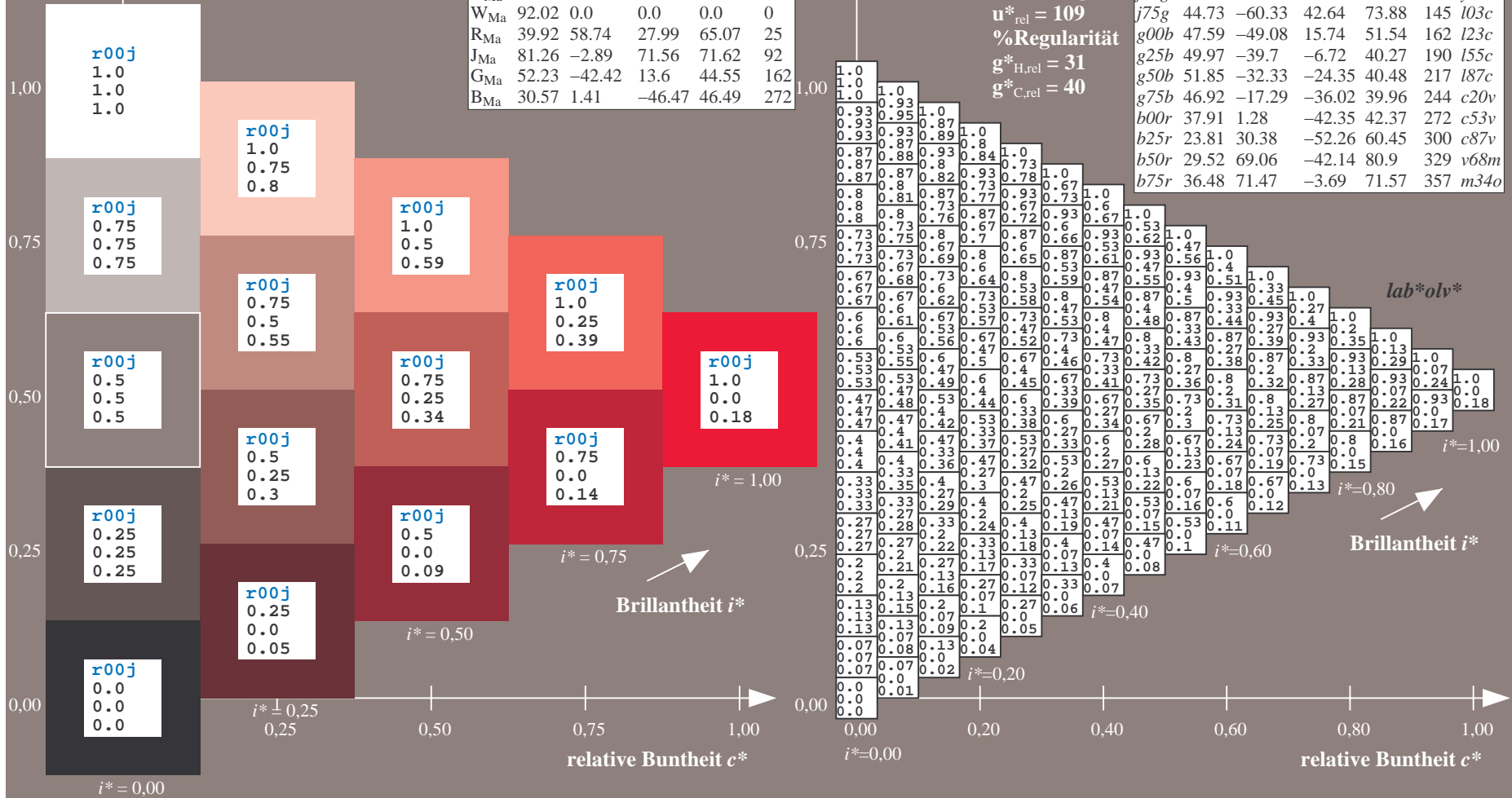
$g^*_{C,rel} = 40$

$u^*_e = r00j$

lab^*olv^*

FRS09_92aM; adaptierte CIELAB-Daten

u^*_e	$L^*=L^*_a$	a^*_a	b^*_a	$C^*_{ab,a}$	$h^*_{ab,a}$	u^*_d
r00j	35.47	63.32	30.17	70.15	25	m81o
r25j	39.12	54.56	49.45	73.64	42	o10y
r50j	50.64	39.15	64.89	75.79	59	o40y
r75j	64.01	21.26	82.83	85.52	76	o69y
j00g	83.18	-4.38	108.53	108.62	92	o98y
j25g	66.73	-29.89	83.06	88.28	110	y34l
j50g	54.03	-48.31	63.49	79.78	127	y69l
j75g	44.73	-60.33	42.64	73.88	145	l03c
g00b	47.59	-49.08	15.74	51.54	162	l23c
g25b	49.97	-39.7	-6.72	40.27	190	l55c
g50b	51.85	-32.33	-24.35	40.48	217	l87c
g75b	46.92	-17.29	-36.02	39.96	244	c20v
b00r	37.91	1.28	-42.35	42.37	272	c53v
b25r	23.81	30.38	-52.26	60.45	300	c87v
b50r	29.52	69.06	-42.14	80.9	329	v68m
b75r	36.48	71.47	-3.69	71.57	357	m34o



Ein und Ausgabe: Farbmatisches Drucker-Reflektiv-System FRS09_92aM für relativen CIELAB-Bunton $h^* = lab^*h^* = h_{ab}/360 = 0.117$

$u^*_e = r25j$
 lab^*olv^*

Daten für jede Farbe:

lab^*tch^* und lab^*icu^*

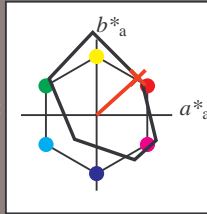
Buntontexte:

$u^*_e = r25j$ $u^*_d = o10y$

Kontrastreduzierungsfaktor:

$c_R = 1.0$

Dreiecks-Helligkeit t^*



FRS09_92aM; adaptierte CIELAB-Daten

u^*_e	$L^*=L^*_a$	a^*_a	b^*_a	$C^*_{ab,a}$	$h^*_{ab,a}$
O _{Ma}	35.06	60.0	44.0	74.4	36
Y _{Ma}	83.77	-5.17	109.32	109.44	93
L _{Ma}	44.13	-62.67	48.24	79.09	142
C _{Ma}	52.66	-29.14	-31.99	43.27	228
V _{Ma}	14.15	50.3	-59.04	77.57	310
M _{Ma}	37.37	78.64	-33.5	85.48	337
N _{Ma}	8.58	0.0	0.0	0.0	0
W _{Ma}	92.02	0.0	0.0	0.0	0
R _{Ma}	39.92	58.74	27.99	65.07	25
J _{Ma}	81.26	-2.89	71.56	71.62	92
G _{Ma}	52.23	-42.42	13.6	44.55	162
B _{Ma}	30.57	1.41	-46.47	46.49	272

Daten für Maximalfarbe (Ma):

$LAB^*LAB^*_{Ma}$: 39 55 49

$LAB^*LCH^*_{Ma}$: 39 74 42

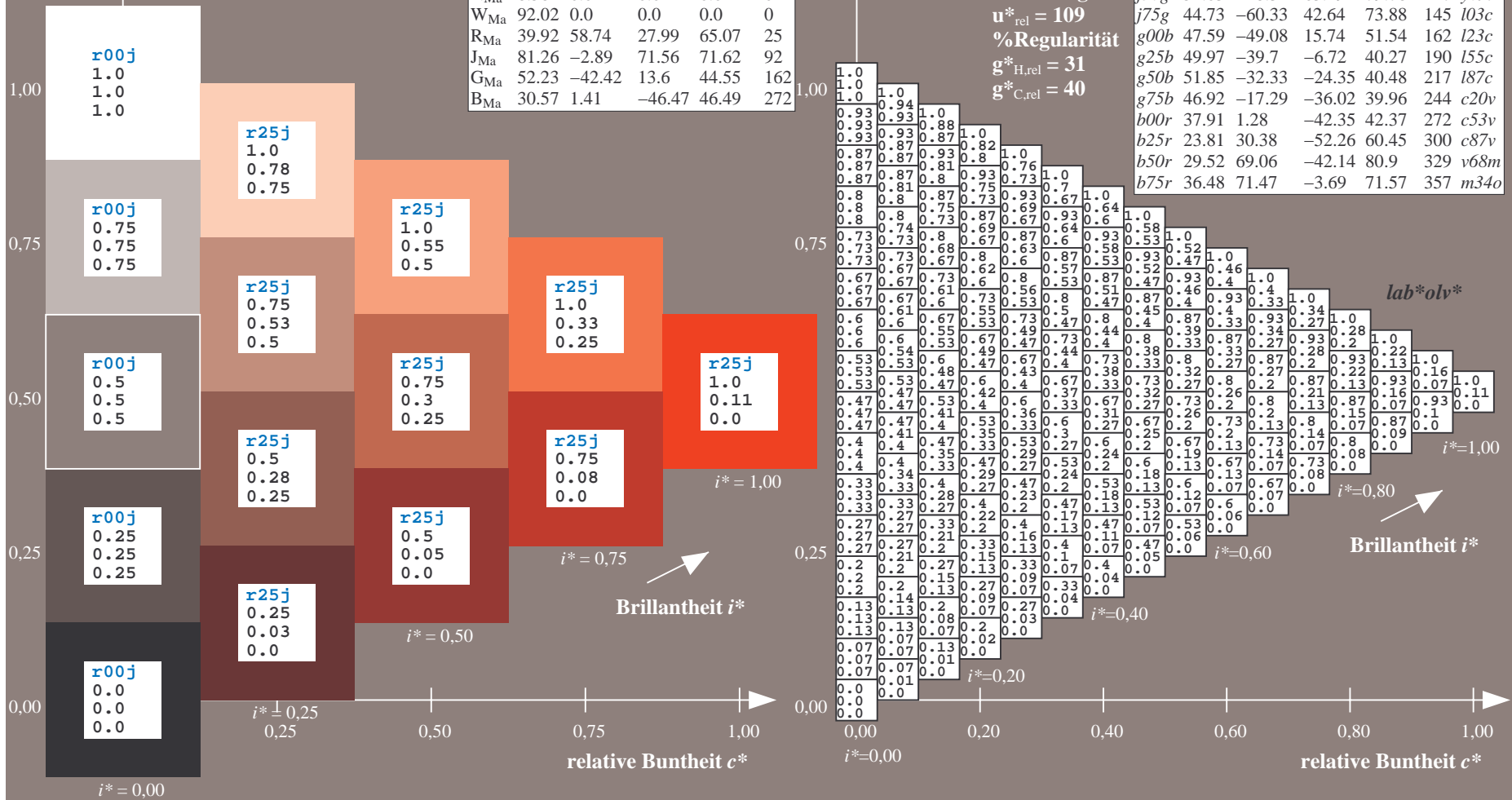
$lab^*rgb^*_{Ma}$: 1.0 0.25 0.0

$lab^*olv^*_{Ma}$: 1.0 0.11 0.0

Dreiecks-Helligkeit t^*

FRS09_92aM; adaptierte CIELAB-Daten

u^*_e	$L^*=L^*_a$	a^*_a	b^*_a	$C^*_{ab,a}$	$h^*_{ab,a}$	u^*_d
r00j	35.47	63.32	30.17	70.15	25	m81o
r25j	39.12	54.56	49.45	73.64	42	o10y
r50j	50.64	39.15	64.89	75.79	59	o40y
r75j	64.01	21.26	82.83	85.52	76	o69y
j00g	83.18	-4.38	108.53	108.62	92	o98y
j25g	66.73	-29.89	83.06	88.28	110	y34l
j50g	54.03	-48.31	63.49	79.78	127	y69l
j75g	44.73	-60.33	42.64	73.88	145	103c
g00b	47.59	-49.08	15.74	51.54	162	l23c
g25b	49.97	-39.7	-6.72	40.27	190	l55c
g50b	51.85	-32.33	-24.35	40.48	217	l87c
g75b	46.92	-17.29	-36.02	39.96	244	c20v
b00r	37.91	1.28	-42.35	42.37	272	c53v
b25r	23.81	30.38	-52.26	60.45	300	c87v
b50r	29.52	69.06	-42.14	80.9	329	v68m
b75r	36.48	71.47	-3.69	71.57	357	m34o



Ein und Ausgabe: Farbmatisches Drucker-Reflektiv-System FRS09_92aM für relativen CIELAB-Bunton $h^* = lab^*h^* = h_{ab}/360 = 0.164$

$u^*_e = r50j$

Daten für jede Farbe:

lab^*ch^* und lab^*icu^*

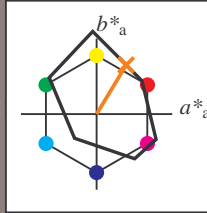
Buntontexte:

$u^*_e = r50j$ $u^*_d = o40y$

Kontrastreduzierungsfaktor:

$c_R = 1.0$

Dreiecks-Helligkeit t^*



FRS09_92aM; adaptierte CIELAB-Daten

u^*_e	$L^*=L^*_a$	a^*_a	b^*_a	$C^*_{ab,a}$	$h^*_{ab,a}$
O _{Ma}	35.06	60.0	44.0	74.4	36
Y _{Ma}	83.77	-5.17	109.32	109.44	93
L _{Ma}	44.13	-62.67	48.24	79.09	142
C _{Ma}	52.66	-29.14	-31.99	43.27	228
V _{Ma}	14.15	50.3	-59.04	77.57	310
M _{Ma}	37.37	78.64	-33.5	85.48	337
N _{Ma}	8.58	0.0	0.0	0.0	0
W _{Ma}	92.02	0.0	0.0	0.0	0
R _{Ma}	39.92	58.74	27.99	65.07	25
J _{Ma}	81.26	-2.89	71.56	71.62	92
G _{Ma}	52.23	-42.42	13.6	44.55	162
B _{Ma}	30.57	1.41	-46.47	46.49	272

Daten für Maximalfarbe (Ma):

$LAB^*LAB^*_{Ma}: 51\ 39\ 65$

$LAB^*LCH^*_{Ma}: 51\ 76\ 58$

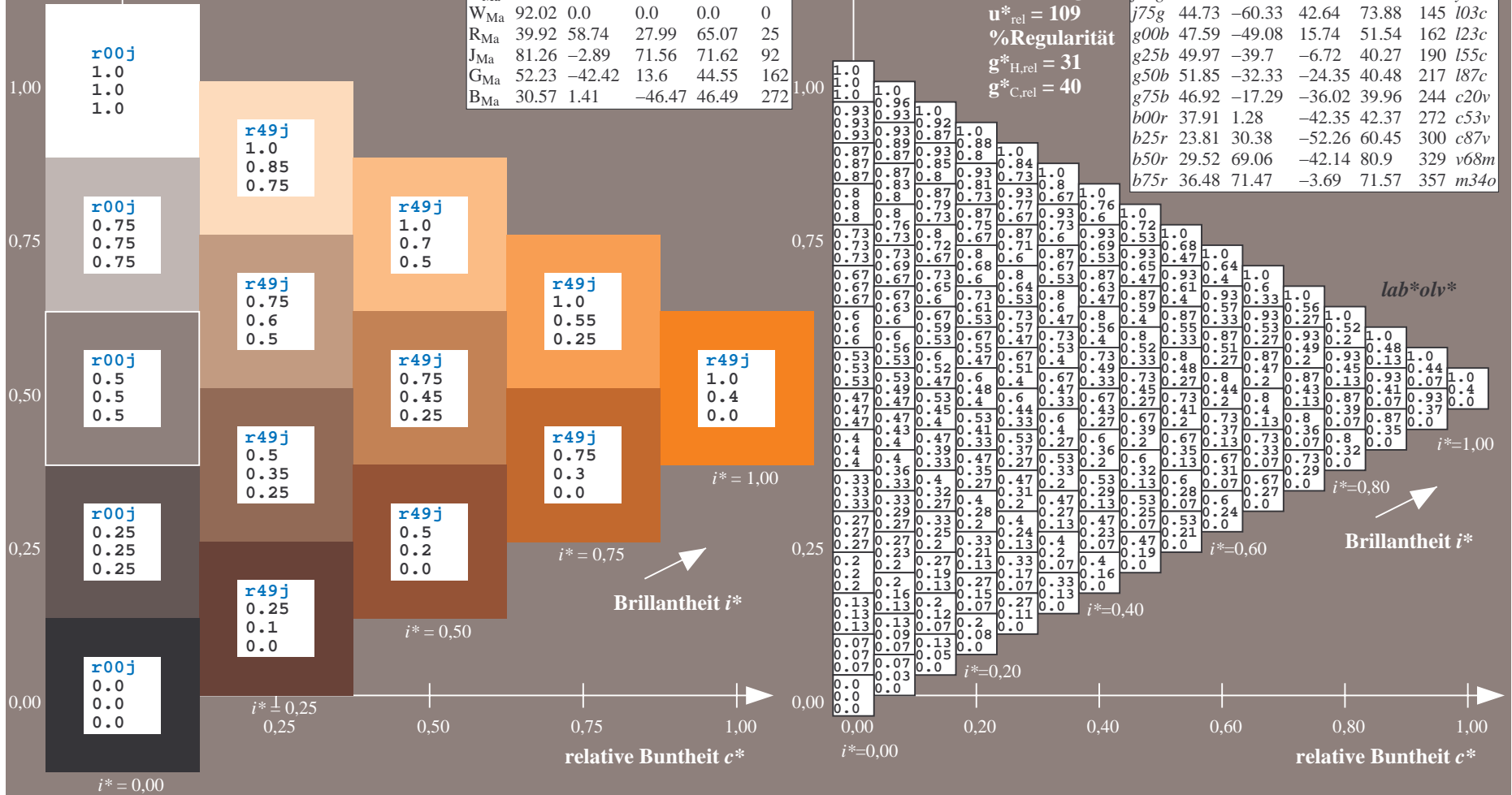
$lab^*rgb^*_{Ma}: 1.0\ 0.5\ 0.0$

$lab^*olv^*_{Ma}: 1.0\ 0.4\ 0.0$

Dreiecks-Helligkeit t^*

FRS09_92aM; adaptierte CIELAB-Daten

u^*_e	$L^*=L^*_a$	a^*_a	b^*_a	$C^*_{ab,a}$	$h^*_{ab,a}$	u^*_d
r00j	35.47	63.32	30.17	70.15	25	m81o
r25j	39.12	54.56	49.45	73.64	42	o10y
r50j	50.64	39.15	64.89	75.79	59	o40y
r75j	64.01	21.26	82.83	85.52	76	o69y
j00g	83.18	-4.38	108.53	108.62	92	o98y
j25g	66.73	-29.89	83.06	88.28	110	y34l
j50g	54.03	-48.31	63.49	79.78	127	y69l
j75g	44.73	-60.33	42.64	73.88	145	103c
g00b	47.59	-49.08	15.74	51.54	162	i23c
g25b	49.97	-39.7	-6.72	40.27	190	i55c
g50b	51.85	-32.33	-24.35	40.48	217	i87c
g75b	46.92	-17.29	-36.02	39.96	244	c20v
b00r	37.91	1.28	-42.35	42.37	272	c53v
b25r	23.81	30.38	-52.26	60.45	300	c87v
b50r	29.52	69.06	-42.14	80.9	329	v68m
b75r	36.48	71.47	-3.69	71.57	357	m34o



%Umfang
 $u^*_{rel} = 109$
%Regularität
 $g^*_{H,rel} = 31$
 $g^*_{C,rel} = 40$

Ein und Ausgabe: Farbmetrisches Drucker-Reflektiv-System FRS09_92aM für relativen CIELAB-Bunnton $h^* = lab^*h^* = h_{ab}/360 = 0.21$

$u^*_e = r75j$
 lab^*olv^*

Daten für jede Farbe:

lab^*tch^* und lab^*icu^*

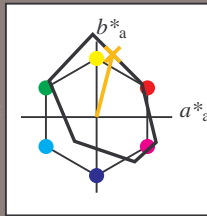
Bunntexte:

$u^*_e = r75j$ $u^*_d = o69y$

Kontrastreduzierungsfaktor:

$c_R = 1.0$

Dreiecks-Helligkeit t^*



FRS09_92aM; adaptierte CIELAB-Daten

u^*_e	$L^*=L^*_a$	a^*_a	b^*_a	$C^*_{ab,a}$	$h^*_{ab,a}$
O _{Ma}	35.06	60.0	44.0	74.4	36
Y _{Ma}	83.77	-5.17	109.32	109.44	93
L _{Ma}	44.13	-62.67	48.24	79.09	142
C _{Ma}	52.66	-29.14	-31.99	43.27	228
V _{Ma}	14.15	50.3	-59.04	77.57	310
M _{Ma}	37.37	78.64	-33.5	85.48	337
N _{Ma}	8.58	0.0	0.0	0.0	0
W _{Ma}	92.02	0.0	0.0	0.0	0
R _{Ma}	39.92	58.74	27.99	65.07	25
J _{Ma}	81.26	-2.89	71.56	71.62	92
G _{Ma}	52.23	-42.42	13.6	44.55	162
B _{Ma}	30.57	1.41	-46.47	46.49	272

Daten für Maximalfarbe (Ma):

$LAB^*LAB^*_{Ma}$: 64 21 83

$LAB^*LCH^*_{Ma}$: 64 86 75

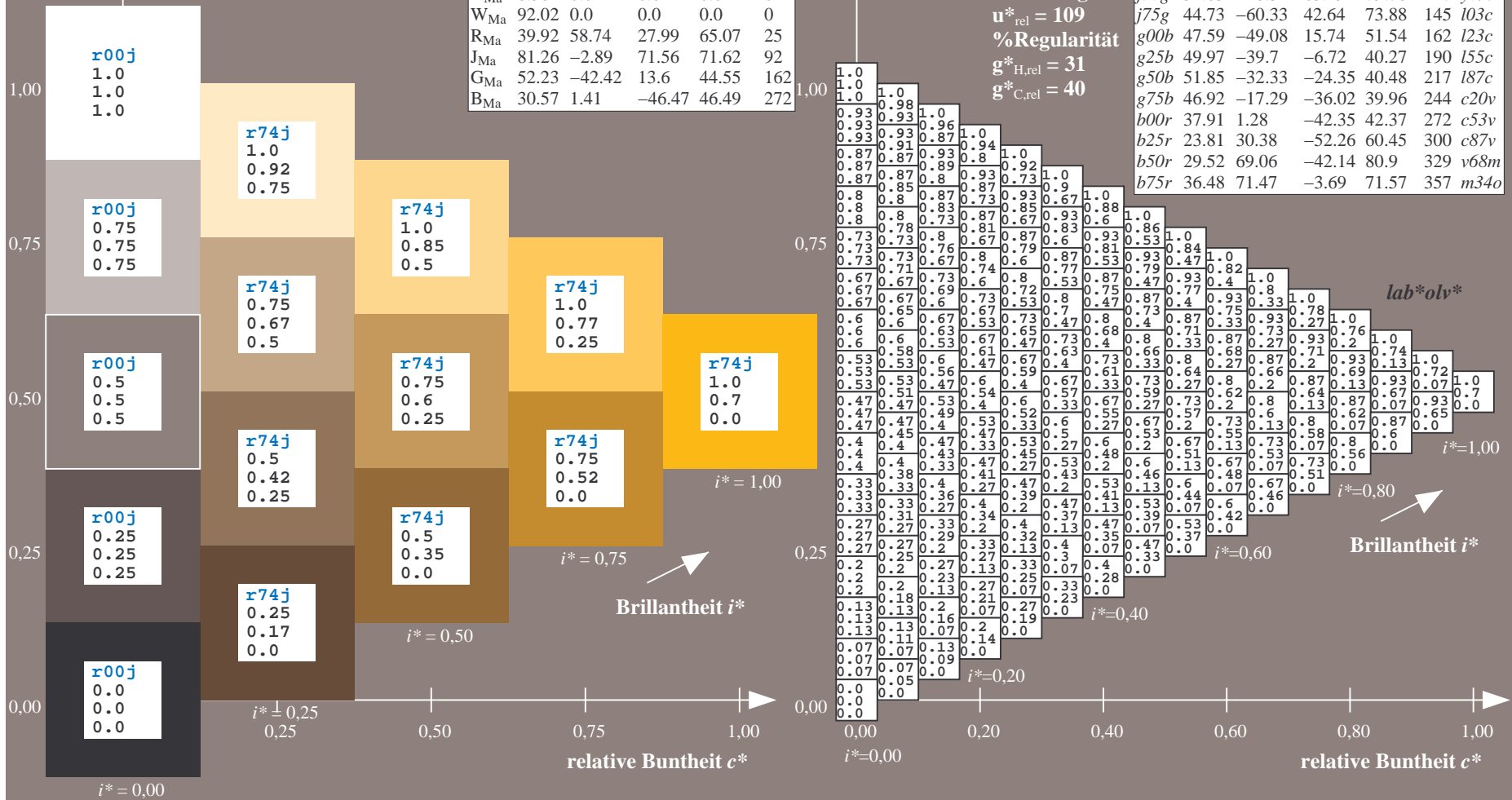
$lab^*rgb^*_{Ma}$: 1.0 0.75 0.0

$lab^*olv^*_{Ma}$: 1.0 0.7 0.0

Dreiecks-Helligkeit t^*

FRS09_92aM; adaptierte CIELAB-Daten

u^*_e	$L^*=L^*_a$	a^*_a	b^*_a	$C^*_{ab,a}$	$h^*_{ab,a}$	u^*_d
r00j	35.47	63.32	30.17	70.15	25	m81o
r25j	39.12	54.56	49.45	73.64	42	o10y
r50j	50.64	39.15	64.89	75.79	59	o40y
r75j	64.01	21.26	82.83	85.52	76	o69y
j00g	83.18	-4.38	108.53	108.62	92	o98y
j25g	66.73	-29.89	83.06	88.28	110	y34l
j50g	54.03	-48.31	63.49	79.78	127	y69l
j75g	44.73	-60.33	42.64	73.88	145	162 i03c
g00b	47.59	-49.08	15.74	51.54	162	i23c
g25b	49.97	-39.7	-6.72	40.27	190	i55c
g50b	51.85	-32.33	-24.35	40.48	217	i87c
g75b	46.92	-17.29	-36.02	39.96	244	c20v
b00r	37.91	1.28	-42.35	42.37	272	c53v
b25r	23.81	30.38	-52.26	60.45	300	c87v
b50r	29.52	69.06	-42.14	80.9	329	v68m
b75r	36.48	71.47	-3.69	71.57	357	m34o



Ein und Ausgabe: Farbmatisches Drucker-Reflektiv-System FRS09_92aM für relativen CIELAB-Bunton $h^* = lab^*h^* = h_{ab}/360 = 0.256$

$u^*_e = j00g$
 lab^*olv^*

Daten für jede Farbe:

lab^*tch^* und lab^*icu^*

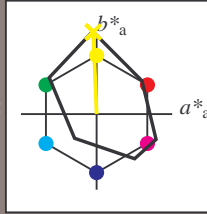
Buntontexte:

$u^*_e = j00g$ $u^*_d = o98y$

Kontrastreduzierungsfaktor:

$c_R = 1.0$

Dreiecks-Helligkeit t^*



FRS09_92aM; adaptierte CIELAB-Daten

u^*_e	$L^*=L^*_a$	a^*_a	b^*_a	$C^*_{ab,a}$	$h^*_{ab,a}$
O _{Ma}	35.06	60.0	44.0	74.4	36
Y _{Ma}	83.77	-5.17	109.32	109.44	93
L _{Ma}	44.13	-62.67	48.24	79.09	142
C _{Ma}	52.66	-29.14	-31.99	43.27	228
V _{Ma}	14.15	50.3	-59.04	77.57	310
M _{Ma}	37.37	78.64	-33.5	85.48	337
N _{Ma}	8.58	0.0	0.0	0.0	0
W _{Ma}	92.02	0.0	0.0	0.0	0
R _{Ma}	39.92	58.74	27.99	65.07	25
J _{Ma}	81.26	-2.89	71.56	71.62	92
G _{Ma}	52.23	-42.42	13.6	44.55	162
B _{Ma}	30.57	1.41	-46.47	46.49	272

Daten für Maximalfarbe (Ma):

$LAB^*LAB^*_{Ma}$: 83 -4 109

$LAB^*LCH^*_{Ma}$: 83 109 92

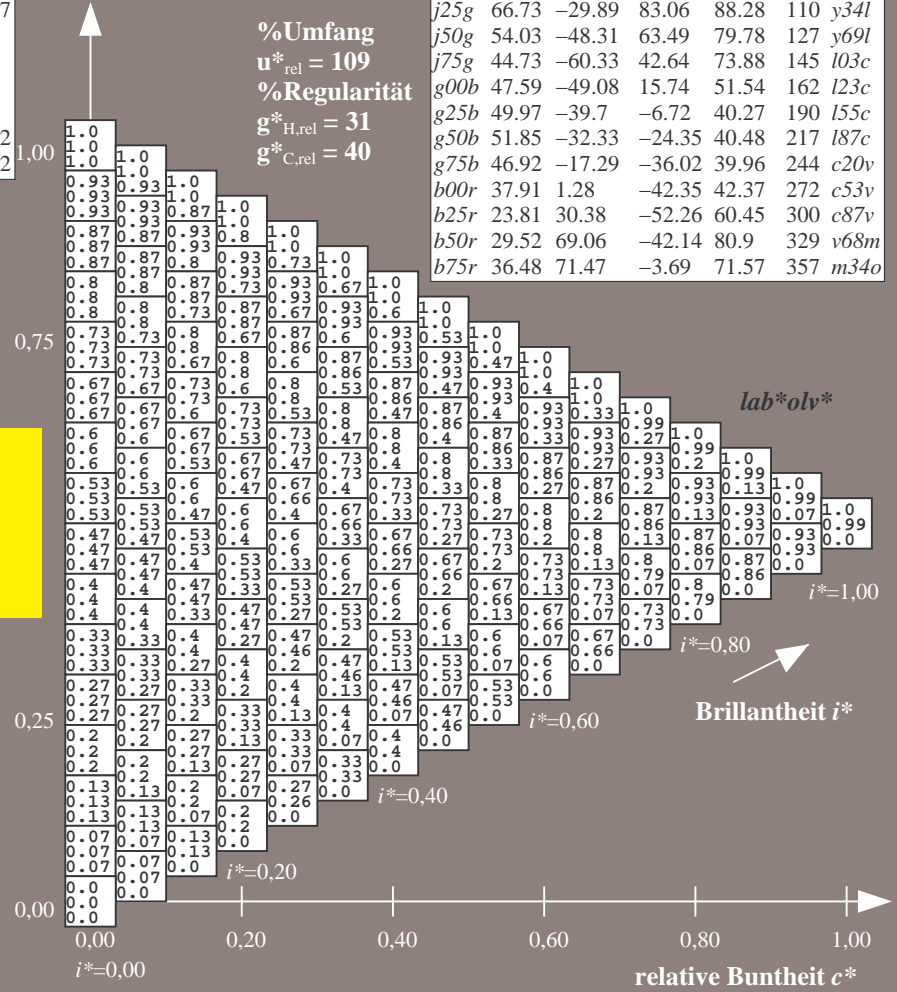
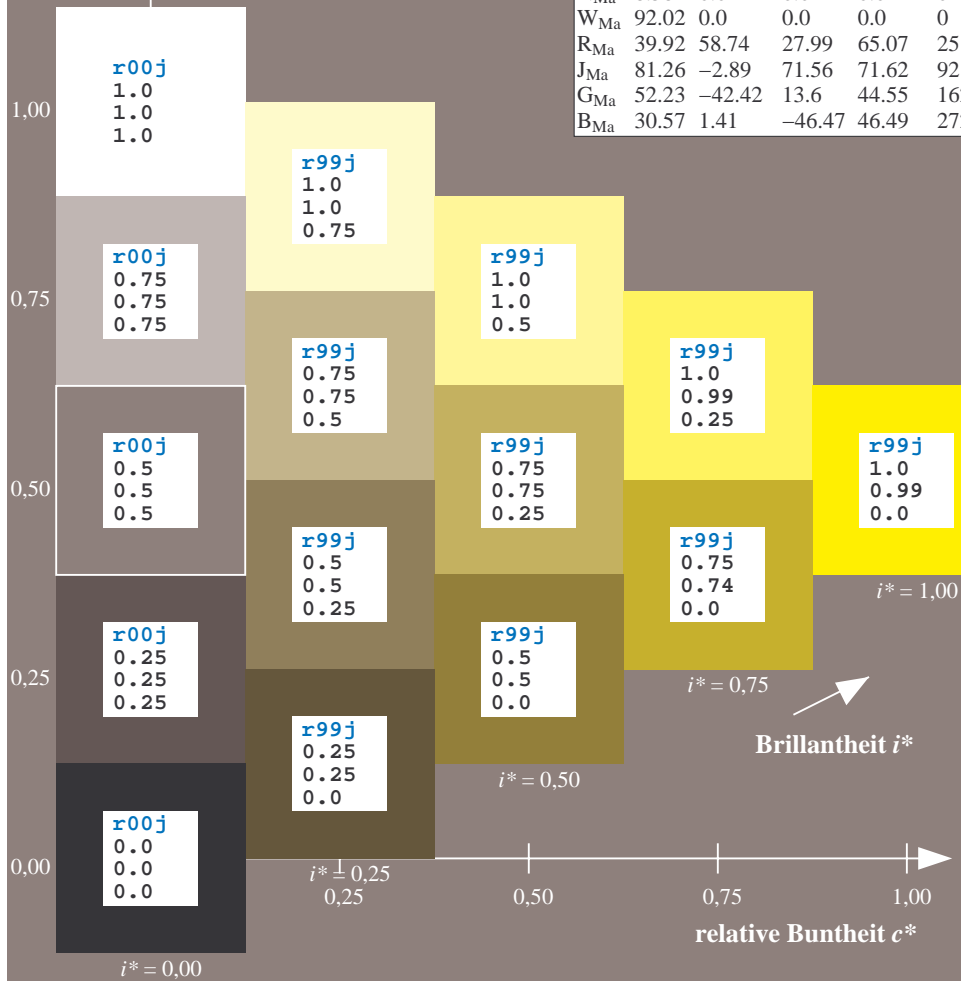
$lab^*rgb^*_{Ma}$: 1.0 1.0 0.0

$lab^*olv^*_{Ma}$: 1.0 0.99 0.0

Dreiecks-Helligkeit t^*

FRS09_92aM; adaptierte CIELAB-Daten

u^*_e	$L^*=L^*_a$	a^*_a	b^*_a	$C^*_{ab,a}$	$h^*_{ab,a}$	u^*_d
r00j	35.47	63.32	30.17	70.15	25	m81o
r25j	39.12	54.56	49.45	73.64	42	o10y
r50j	50.64	39.15	64.89	75.79	59	o40y
r75j	64.01	21.26	82.83	85.52	76	o69y
j00g	83.18	-4.38	108.53	108.62	92	o98y
j25g	66.73	-29.89	83.06	88.28	110	y34l
j50g	54.03	-48.31	63.49	79.78	127	y69l
j75g	44.73	-60.33	42.64	73.88	145	l03c
g00b	47.59	-49.08	15.74	51.54	162	i23c
g25b	49.97	-39.7	-6.72	40.27	190	i55c
g50b	51.85	-32.33	-24.35	40.48	217	i87c
g75b	46.92	-17.29	-36.02	39.96	244	c20v
b00r	37.91	1.28	-42.35	42.37	272	c53v
b25r	23.81	30.38	-52.26	60.45	300	c87v
b50r	29.52	69.06	-42.14	80.9	329	v68m
b75r	36.48	71.47	-3.69	71.57	357	m34o



Ein und Ausgabe: Farbmatisches Drucker-Reflektiv-System FRS09_92aM für relativen CIELAB-Bunton $h^* = lab^*h^* = h_{ab}/360 = 0.305$

$u^*_e = j25g$
 lab^*olv^*

Daten für jede Farbe:

lab^*tch^* und lab^*icu^*

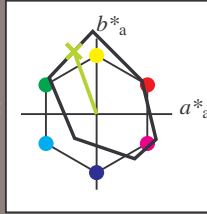
Buntontexte:

$u^*_e = j25g$ $u^*_d = y34l$

Kontrastreduzierungsfaktor:

$c_R = 1.0$

Dreiecks-Helligkeit t^*



FRS09_92aM; adaptierte CIELAB-Daten

u^*_e	$L^*=L^*_a$	a^*_a	b^*_a	$C^*_{ab,a}$	$h^*_{ab,a}$
O _{Ma}	35.06	60.0	44.0	74.4	36
Y _{Ma}	83.77	-5.17	109.32	109.44	93
L _{Ma}	44.13	-62.67	48.24	79.09	142
C _{Ma}	52.66	-29.14	-31.99	43.27	228
V _{Ma}	14.15	50.3	-59.04	77.57	310
M _{Ma}	37.37	78.64	-33.5	85.48	337
N _{Ma}	8.58	0.0	0.0	0.0	0
W _{Ma}	92.02	0.0	0.0	0.0	0
R _{Ma}	39.92	58.74	27.99	65.07	25
J _{Ma}	81.26	-2.89	71.56	71.62	92
G _{Ma}	52.23	-42.42	13.6	44.55	162
B _{Ma}	30.57	1.41	-46.47	46.49	272

Daten für Maximalfarbe (Ma):

$LAB^*LAB^*_{Ma}: 67 -30 83$

$LAB^*LCH^*_{Ma}: 67 88 109$

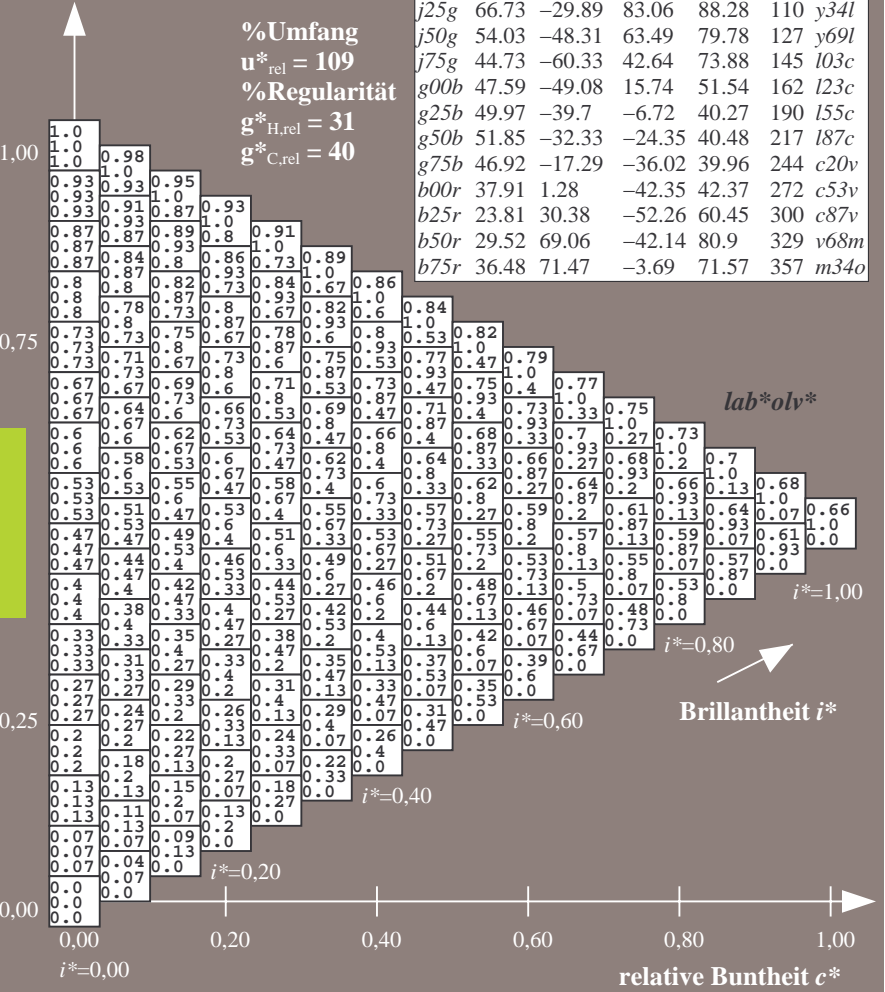
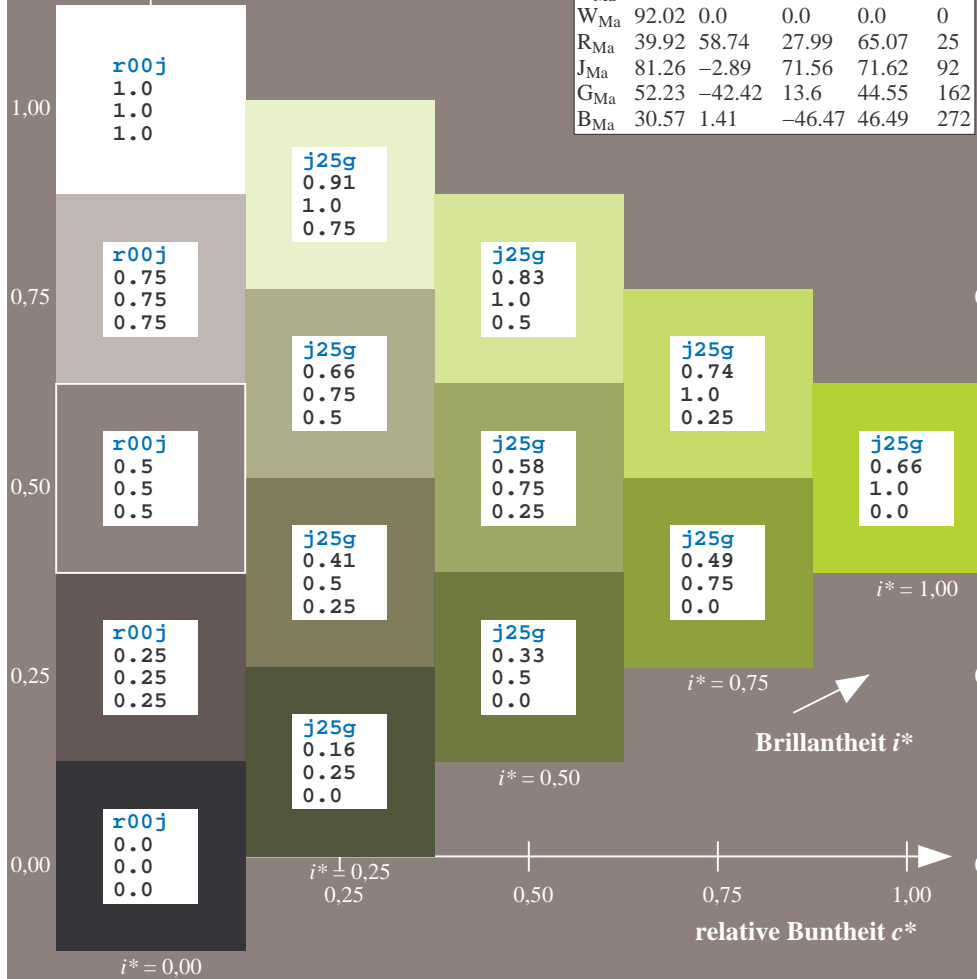
$lab^*rgb^*_{Ma}: 0.75 1.0 0.0$

$lab^*olv^*_{Ma}: 0.66 1.0 0.0$

Dreiecks-Helligkeit t^*

FRS09_92aM; adaptierte CIELAB-Daten

u^*_e	$L^*=L^*_a$	a^*_a	b^*_a	$C^*_{ab,a}$	$h^*_{ab,a}$	u^*_d
r00j	35.47	63.32	30.17	70.15	25	m81o
r25j	39.12	54.56	49.45	73.64	42	o10y
r50j	50.64	39.15	64.89	75.79	59	o40y
r75j	64.01	21.26	82.83	85.52	76	o69y
j00g	83.18	-4.38	108.53	108.62	92	o98y
j25g	66.73	-29.89	83.06	88.28	110	y34l
j50g	54.03	-48.31	63.49	79.78	127	y69l
j75g	44.73	-60.33	42.64	73.88	145	l03c
g00b	47.59	-49.08	15.74	51.54	162	i23c
g25b	49.97	-39.7	-6.72	40.27	190	i55c
g50b	51.85	-32.33	-24.35	40.48	217	i87c
g75b	46.92	-17.29	-36.02	39.96	244	c20v
b00r	37.91	1.28	-42.35	42.37	272	c53v
b25r	23.81	30.38	-52.26	60.45	300	c87v
b50r	29.52	69.06	-42.14	80.9	329	v68m
b75r	36.48	71.47	-3.69	71.57	357	m34o



Ein und Ausgabe: Farbmatisches Drucker-Reflektiv-System FRS09_92aM für relativen CIELAB-Bunton $h^* = lab^*h^* = h_{ab}/360 = 0.354$

$u^*_e = j50g$
 lab^*olv^*

Daten für jede Farbe:

lab^*tch^* und lab^*icu^*

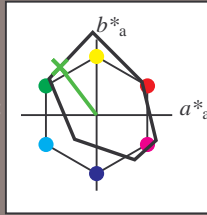
Buntontexte:

$u^*_e = j50g$ $u^*_d = y69l$

Kontrastreduzierungsfaktor:

$c_R = 1.0$

Dreiecks-Helligkeit t^*



FRS09_92aM; adaptierte CIELAB-Daten

u^*_e	$L^*=L^*_a$	a^*_a	b^*_a	$C^*_{ab,a}$	$h^*_{ab,a}$
O _{Ma}	35.06	60.0	44.0	74.4	36
Y _{Ma}	83.77	-5.17	109.32	109.44	93
L _{Ma}	44.13	-62.67	48.24	79.09	142
C _{Ma}	52.66	-29.14	-31.99	43.27	228
V _{Ma}	14.15	50.3	-59.04	77.57	310
M _{Ma}	37.37	78.64	-33.5	85.48	337
N _{Ma}	8.58	0.0	0.0	0.0	0
W _{Ma}	92.02	0.0	0.0	0.0	0
R _{Ma}	39.92	58.74	27.99	65.07	25
J _{Ma}	81.26	-2.89	71.56	71.62	92
G _{Ma}	52.23	-42.42	13.6	44.55	162
B _{Ma}	30.57	1.41	-46.47	46.49	272

Daten für Maximalfarbe (Ma):

$LAB^*LAB^*_{Ma}$: 54 -48 63

$LAB^*LCH^*_{Ma}$: 54 80 127

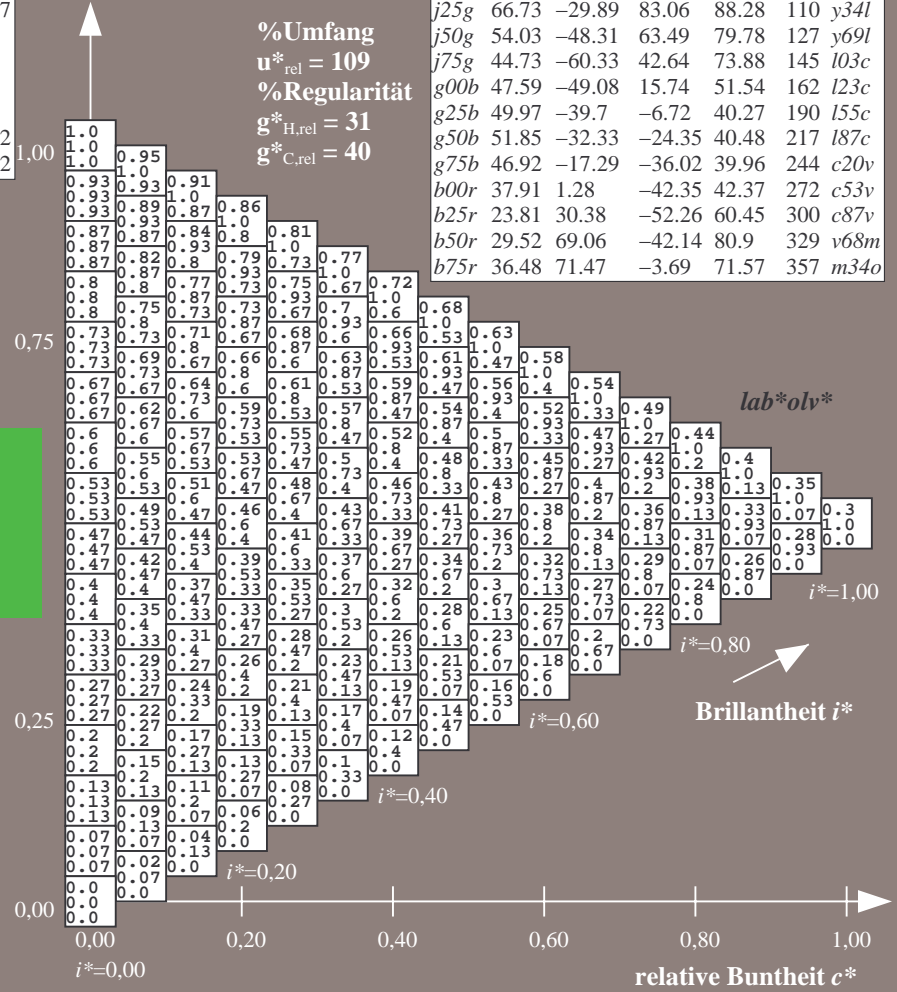
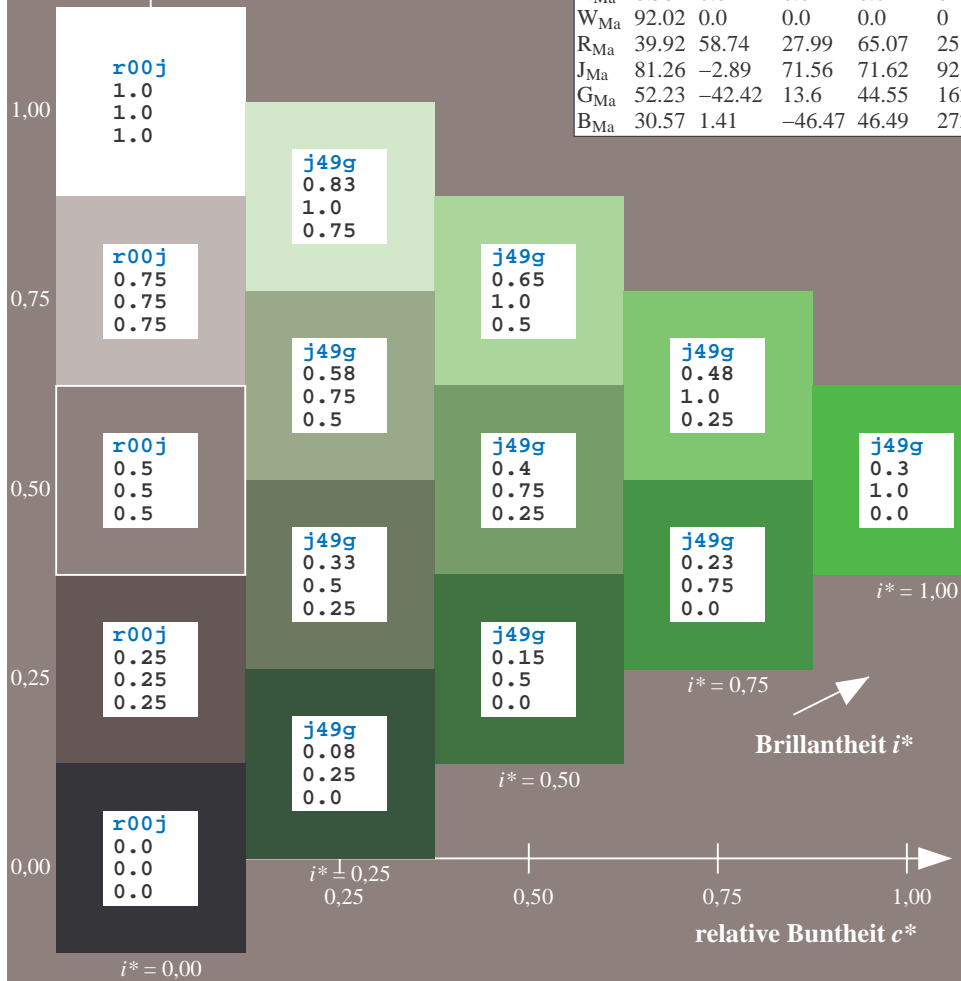
$lab^*rgb^*_{Ma}$: 0.5 1.0 0.0

$lab^*olv^*_{Ma}$: 0.3 1.0 0.0

Dreiecks-Helligkeit t^*

FRS09_92aM; adaptierte CIELAB-Daten

u^*_e	$L^*=L^*_a$	a^*_a	b^*_a	$C^*_{ab,a}$	$h^*_{ab,a}$	u^*_d
r00j	35.47	63.32	30.17	70.15	25	m81o
r25j	39.12	54.56	49.45	73.64	42	o10y
r50j	50.64	39.15	64.89	75.79	59	o40y
r75j	64.01	21.26	82.83	85.52	76	o69y
j00g	83.18	-4.38	108.53	108.62	92	o98y
j25g	66.73	-29.89	83.06	88.28	110	y34l
j50g	54.03	-48.31	63.49	79.78	127	y69l
j75g	44.73	-60.33	42.64	73.88	145	l03c
g00b	47.59	-49.08	15.74	51.54	162	i23c
g25b	49.97	-39.7	-6.72	40.27	190	i55c
g50b	51.85	-32.33	-24.35	40.48	217	i87c
g75b	46.92	-17.29	-36.02	39.96	244	c20v
b00r	37.91	1.28	-42.35	42.37	272	c53v
b25r	23.81	30.38	-52.26	60.45	300	c87v
b50r	29.52	69.06	-42.14	80.9	329	v68m
b75r	36.48	71.47	-3.69	71.57	357	m34o



Ein und Ausgabe: Farbmatisches Drucker-Reflektiv-System FRS09_92aM für relativen CIELAB-Bunton $h^* = lab^*h^* = h_{ab}/360 = 0.402$

$u^*_e = j75g$

Daten für jede Farbe:

lab^*ch^* und lab^*icu^*

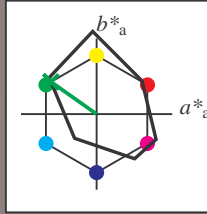
Buntontexte:

$u^*_e = j75g$ $u^*_d = l03c$

Kontrastreduzierungsfaktor:

$c_R = 1.0$

Dreiecks-Helligkeit t^*



FRS09_92aM; adaptierte CIELAB-Daten

u^*_e	$L^*=L^*_a$	a^*_a	b^*_a	$C^*_{ab,a}$	$h^*_{ab,a}$
O _{Ma}	35.06	60.0	44.0	74.4	36
Y _{Ma}	83.77	-5.17	109.32	109.44	93
L _{Ma}	44.13	-62.67	48.24	79.09	142
C _{Ma}	52.66	-29.14	-31.99	43.27	228
V _{Ma}	14.15	50.3	-59.04	77.57	310
M _{Ma}	37.37	78.64	-33.5	85.48	337
N _{Ma}	8.58	0.0	0.0	0.0	0
W _{Ma}	92.02	0.0	0.0	0.0	0
R _{Ma}	39.92	58.74	27.99	65.07	25
J _{Ma}	81.26	-2.89	71.56	71.62	92
G _{Ma}	52.23	-42.42	13.6	44.55	162
B _{Ma}	30.57	1.41	-46.47	46.49	272

Daten für Maximalfarbe (Ma):

$LAB^*LAB^*_{Ma}: 45 -60 43$

$LAB^*LCH^*_{Ma}: 45 74 144$

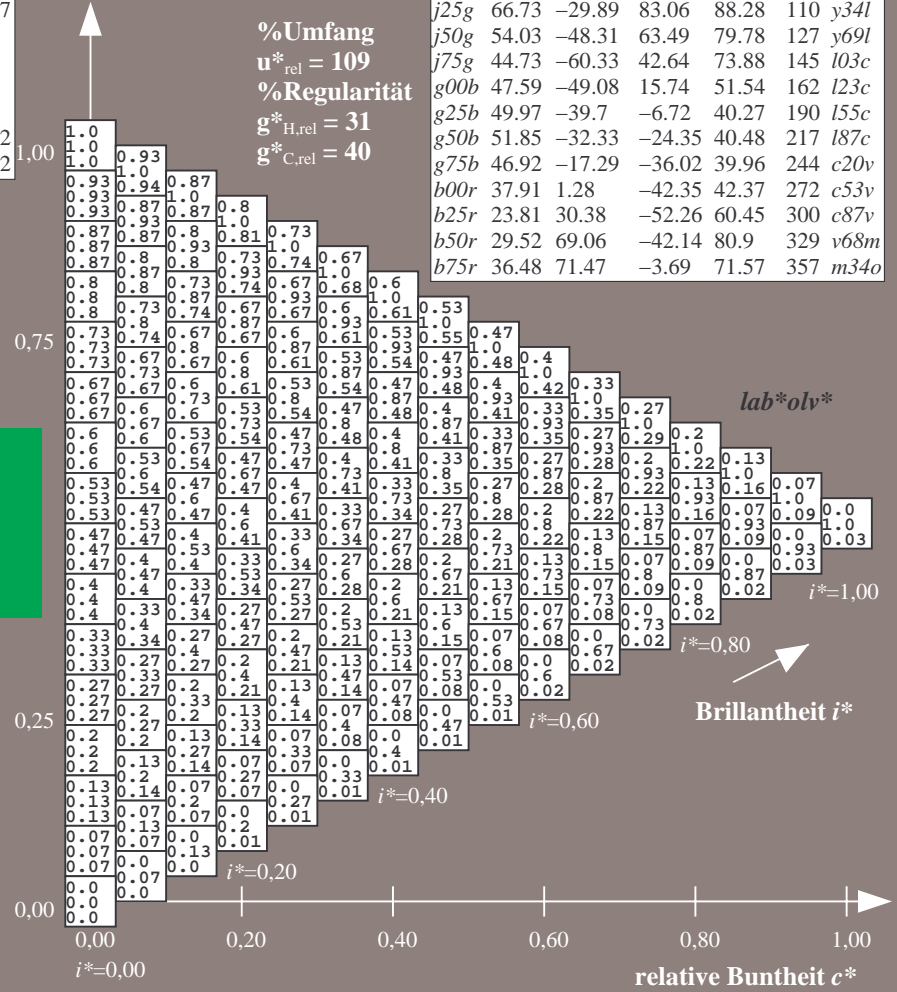
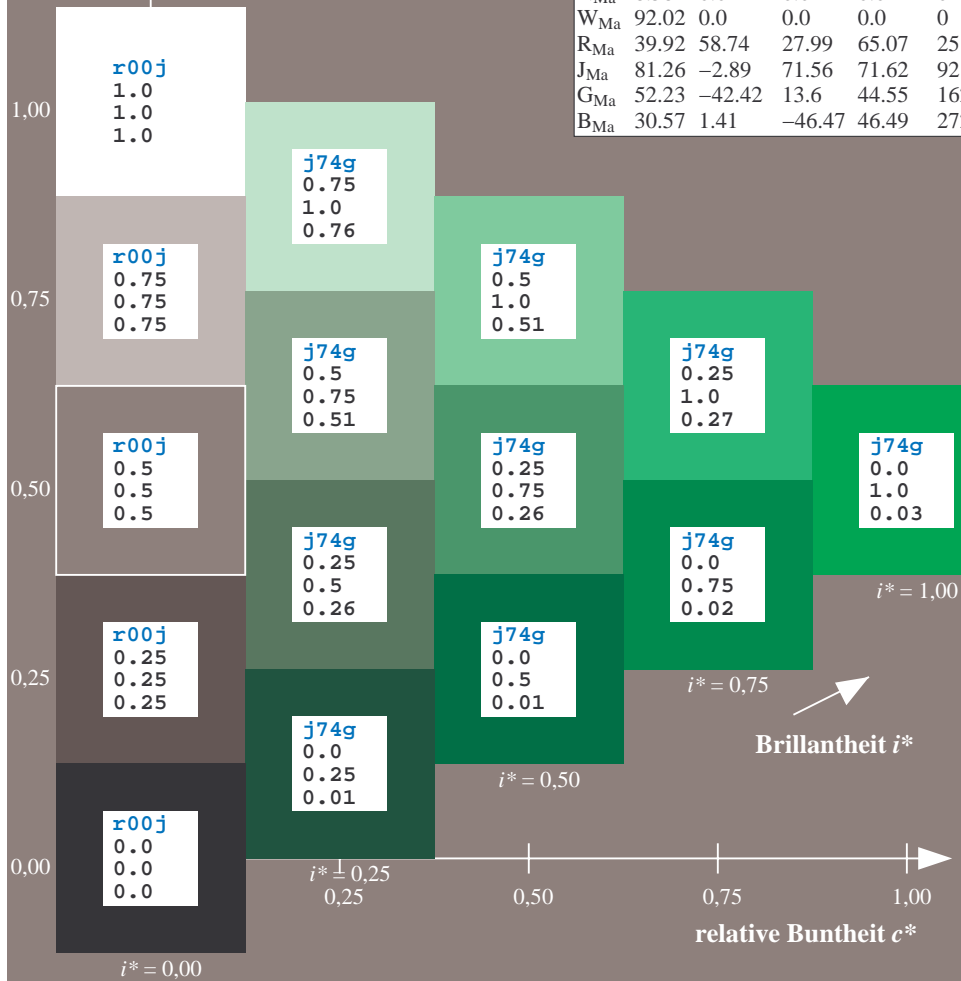
$lab^*rgb^*_{Ma}: 0.25 1.0 0.0$

$lab^*olv^*_{Ma}: 0.0 1.0 0.03$

Dreiecks-Helligkeit t^*

FRS09_92aM; adaptierte CIELAB-Daten

u^*_e	$L^*=L^*_a$	a^*_a	b^*_a	$C^*_{ab,a}$	$h^*_{ab,a}$	u^*_d
r00j	35.47	63.32	30.17	70.15	25	m81o
r25j	39.12	54.56	49.45	73.64	42	o10y
r50j	50.64	39.15	64.89	75.79	59	o40y
r75j	64.01	21.26	82.83	85.52	76	o69y
j00g	83.18	-4.38	108.53	108.62	92	o98y
j25g	66.73	-29.89	83.06	88.28	110	y34l
j50g	54.03	-48.31	63.49	79.78	127	y69l
j75g	44.73	-60.33	42.64	73.88	145	l03c
g00b	47.59	-49.08	15.74	51.54	162	l23c
g25b	49.97	-39.7	-6.72	40.27	190	l55c
g50b	51.85	-32.33	-24.35	40.48	217	l87c
g75b	46.92	-17.29	-36.02	39.96	244	c20v
b00r	37.91	1.28	-42.35	42.37	272	c53v
b25r	23.81	30.38	-52.26	60.45	300	c87v
b50r	29.52	69.06	-42.14	80.9	329	v68m
b75r	36.48	71.47	-3.69	71.57	357	m34o



%Umfang
 $u^*_{rel} = 109$
%Regularität
 $g^*_{H,rel} = 31$
 $g^*_{C,rel} = 40$

Brillanz i^*

Brillanz i^*

Brillanz i^*

Ein und Ausgabe: Farbmatisches Drucker-Reflektiv-System FRS09_92aM für relativen CIELAB-Bunton $h^* = lab^*h^* = h_{ab}/360 = 0.451$

$u^*_e = g00b$

Daten für jede Farbe:

lab^*ch^* und lab^*icu^*

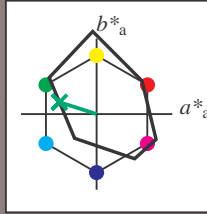
Buntontexte:

$u^*_e = g00b$ $u^*_d = l23c$

Kontrastreduzierungsfaktor:

$c_R = 1.0$

Dreiecks-Helligkeit t^*



FRS09_92aM; adaptierte CIELAB-Daten

u^*_e	$L^*=L^*_a$	a^*_a	b^*_a	$C^*_{ab,a}$	$h^*_{ab,a}$
O _{Ma}	35.06	60.0	44.0	74.4	36
Y _{Ma}	83.77	-5.17	109.32	109.44	93
L _{Ma}	44.13	-62.67	48.24	79.09	142
C _{Ma}	52.66	-29.14	-31.99	43.27	228
V _{Ma}	14.15	50.3	-59.04	77.57	310
M _{Ma}	37.37	78.64	-33.5	85.48	337
N _{Ma}	8.58	0.0	0.0	0.0	0
W _{Ma}	92.02	0.0	0.0	0.0	0
R _{Ma}	39.92	58.74	27.99	65.07	25
J _{Ma}	81.26	-2.89	71.56	71.62	92
G _{Ma}	52.23	-42.42	13.6	44.55	162
B _{Ma}	30.57	1.41	-46.47	46.49	272

Daten für Maximalfarbe (Ma):

$LAB^*LAB^*_{Ma}$: 48 -49 16

$LAB^*LCH^*_{Ma}$: 48 52 162

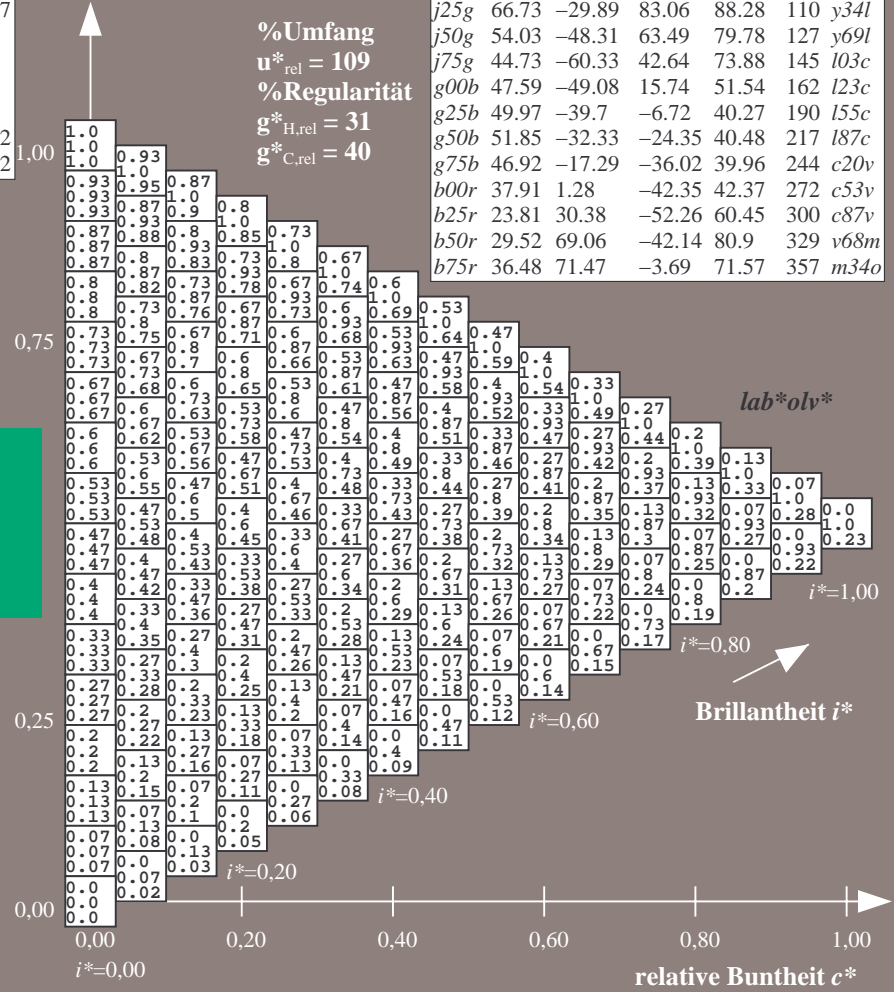
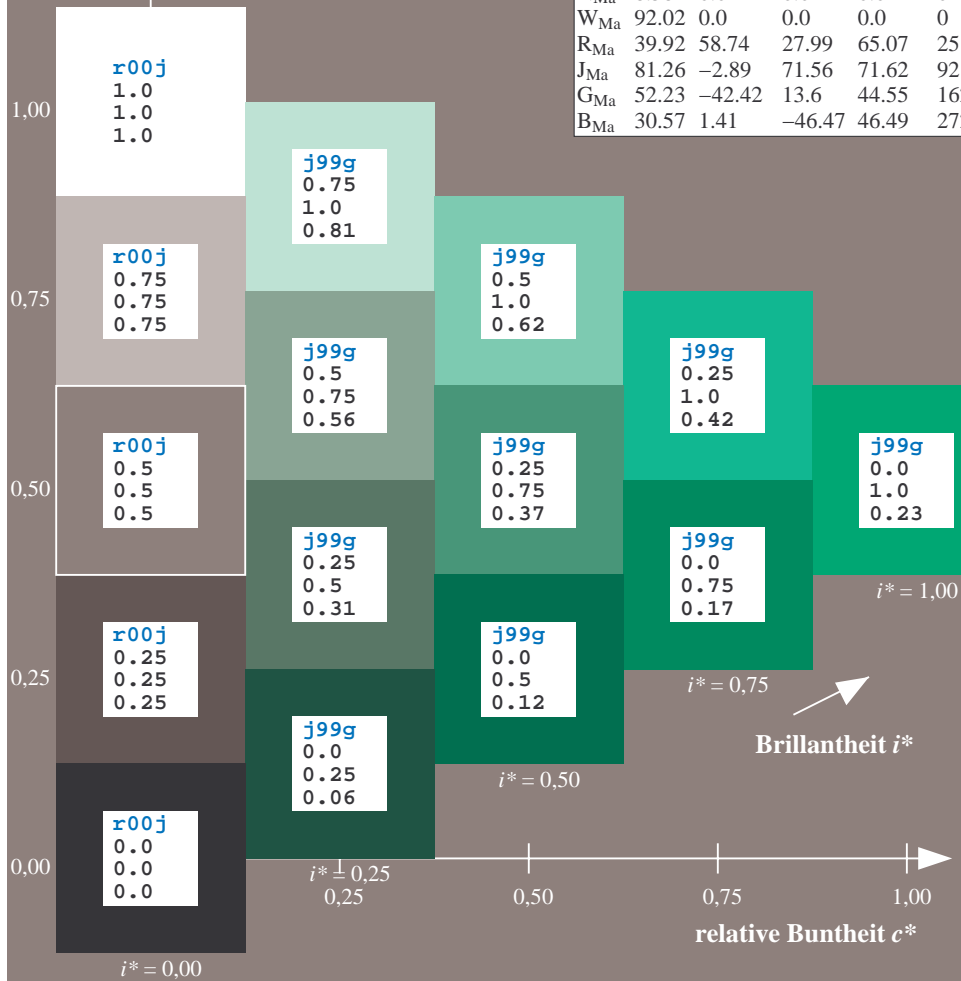
$lab^*rgb^*_{Ma}$: 0.0 1.0 0.0

$lab^*olv^*_{Ma}$: 0.0 1.0 0.23

Dreiecks-Helligkeit t^*

FRS09_92aM; adaptierte CIELAB-Daten

u^*_e	$L^*=L^*_a$	a^*_a	b^*_a	$C^*_{ab,a}$	$h^*_{ab,a}$	u^*_d
r00j	35.47	63.32	30.17	70.15	25	m81o
r25j	39.12	54.56	49.45	73.64	42	o10y
r50j	50.64	39.15	64.89	75.79	59	o40y
r75j	64.01	21.26	82.83	85.52	76	o69y
j00g	83.18	-4.38	108.53	108.62	92	o98y
j25g	66.73	-29.89	83.06	88.28	110	y34l
j50g	54.03	-48.31	63.49	79.78	127	y69l
j75g	44.73	-60.33	42.64	73.88	145	l23c
g00b	47.59	-49.08	15.74	51.54	162	l23c
g25b	49.97	-39.7	-6.72	40.27	190	l55c
g50b	51.85	-32.33	-24.35	40.48	217	l87c
g75b	46.92	-17.29	-36.02	39.96	244	c20v
b00r	37.91	1.28	-42.35	42.37	272	c53v
b25r	23.81	30.38	-52.26	60.45	300	c87v
b50r	29.52	69.06	-42.14	80.9	329	v68m
b75r	36.48	71.47	-3.69	71.57	357	m34o



Ein und Ausgabe: Farbmatisches Drucker-Reflektiv-System FRS09_92aM für relativen CIELAB-Bunton $h^* = lab^*h^* = h_{ab}/360 = 0.527$

$u^*_e = g25b$
 lab^*olv^*

Daten für jede Farbe:

lab^*tch^* und lab^*icu^*

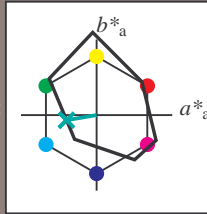
Buntontexte:

$u^*_e = g25b$ $u^*_d = l55c$

Kontrastreduzierungsfaktor:

$c_R = 1.0$

Dreiecks-Helligkeit t^*



FRS09_92aM; adaptierte CIELAB-Daten

u^*_e	$L^*=L^*_a$	a^*_a	b^*_a	$C^*_{ab,a}$	$h^*_{ab,a}$
O _{Ma}	35.06	60.0	44.0	74.4	36
Y _{Ma}	83.77	-5.17	109.32	109.44	93
L _{Ma}	44.13	-62.67	48.24	79.09	142
C _{Ma}	52.66	-29.14	-31.99	43.27	228
V _{Ma}	14.15	50.3	-59.04	77.57	310
M _{Ma}	37.37	78.64	-33.5	85.48	337
N _{Ma}	8.58	0.0	0.0	0.0	0
W _{Ma}	92.02	0.0	0.0	0.0	0
R _{Ma}	39.92	58.74	27.99	65.07	25
J _{Ma}	81.26	-2.89	71.56	71.62	92
G _{Ma}	52.23	-42.42	13.6	44.55	162
B _{Ma}	30.57	1.41	-46.47	46.49	272

Daten für Maximalfarbe (Ma):

$LAB^*LAB^*_{Ma}: 50 -40 -7$

$LAB^*LCH^*_{Ma}: 50 40 189$

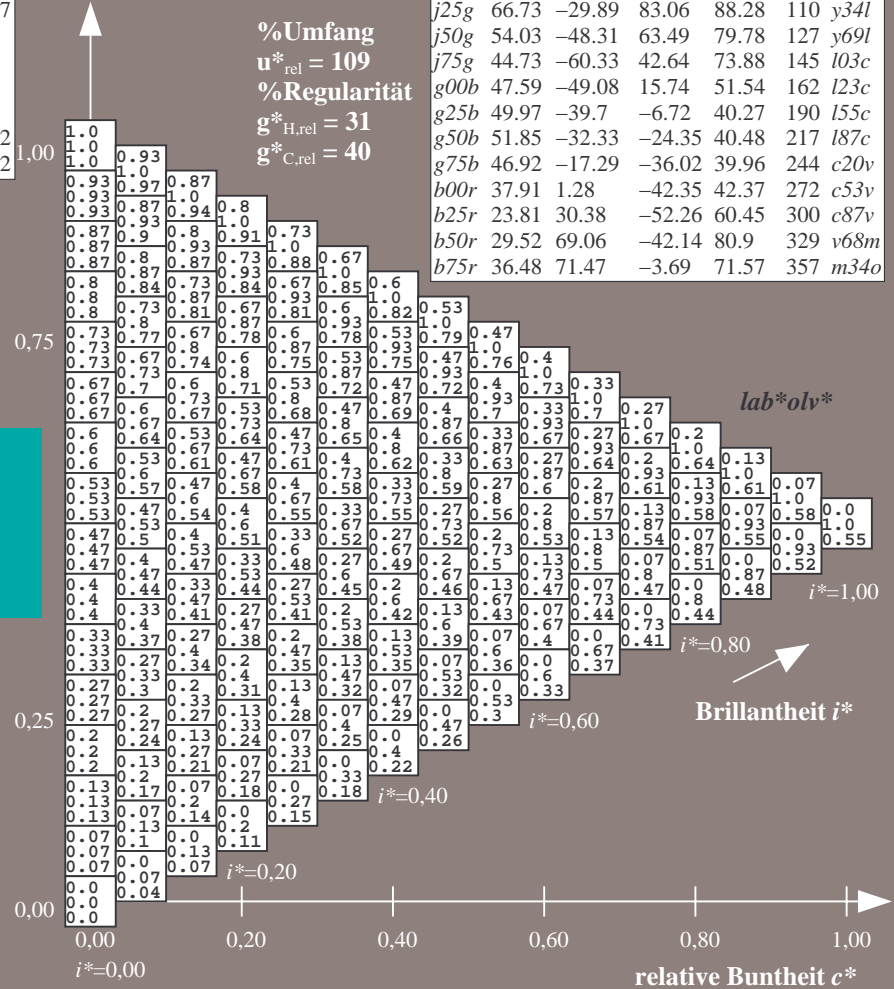
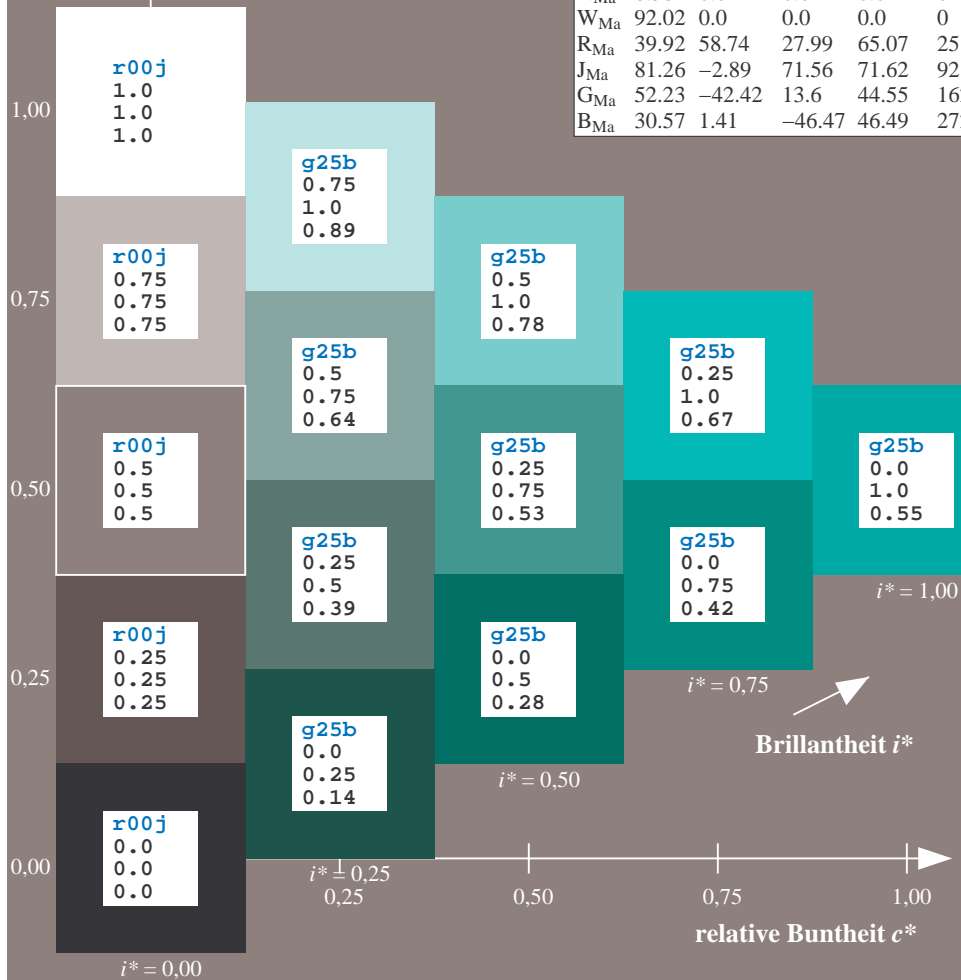
$lab^*rgb^*_{Ma}: 0.0 1.0 0.5$

$lab^*olv^*_{Ma}: 0.0 1.0 0.55$

Dreiecks-Helligkeit t^*

FRS09_92aM; adaptierte CIELAB-Daten

u^*_e	$L^*=L^*_a$	a^*_a	b^*_a	$C^*_{ab,a}$	$h^*_{ab,a}$	u^*_d
r00j	35.47	63.32	30.17	70.15	25	m81o
r25j	39.12	54.56	49.45	73.64	42	o10y
r50j	50.64	39.15	64.89	75.79	59	o40y
r75j	64.01	21.26	82.83	85.52	76	o69y
j00g	83.18	-4.38	108.53	108.62	92	o98y
j25g	66.73	-29.89	83.06	88.28	110	y34l
j50g	54.03	-48.31	63.49	79.78	127	y69l
j75g	44.73	-60.33	42.64	73.88	145	l03c
g00b	47.59	-49.08	15.74	51.54	162	i23c
g25b	49.97	-39.7	-6.72	40.27	190	i55c
g50b	51.85	-32.33	-24.35	40.48	217	i87c
g75b	46.92	-17.29	-36.02	39.96	244	c20v
b00r	37.91	1.28	-42.35	42.37	272	c53v
b25r	23.81	30.38	-52.26	60.45	300	c87v
b50r	29.52	69.06	-42.14	80.9	329	v68m
b75r	36.48	71.47	-3.69	71.57	357	m34o



%Umfang
 $u^*_{rel} = 109$
%Regularität
 $g^*_{H,rel} = 31$
 $g^*_{C,rel} = 40$

lab^*olv^*

Brillantheit i^*

$i^* = 1.00$

$i^* = 0.80$

$i^* = 0.60$

$i^* = 0.40$

$i^* = 0.20$

$i^* = 0.00$

Ein und Ausgabe: Farbmatisches Drucker-Reflektiv-System FRS09_92aM für relativen CIELAB-Bunton $h^* = lab^*h^* = h_{ab}/360 = 0.603$

$u^*_e = g50b$
 lab^*olv^*

Daten für jede Farbe:

lab^*tch^* und lab^*icu^*

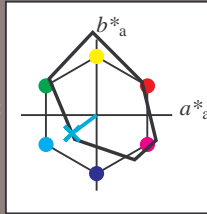
Buntontexte:

$u^*_e = g50b$ $u^*_d = l87c$

Kontrastreduzierungsfaktor:

$c_R = 1.0$

Dreiecks-Helligkeit t^*



FRS09_92aM; adaptierte CIELAB-Daten

u^*_e	$L^*=L^*_a$	a^*_a	b^*_a	$C^*_{ab,a}$	$h^*_{ab,a}$
O _{Ma}	35.06	60.0	44.0	74.4	36
Y _{Ma}	83.77	-5.17	109.32	109.44	93
L _{Ma}	44.13	-62.67	48.24	79.09	142
C _{Ma}	52.66	-29.14	-31.99	43.27	228
V _{Ma}	14.15	50.3	-59.04	77.57	310
M _{Ma}	37.37	78.64	-33.5	85.48	337
N _{Ma}	8.58	0.0	0.0	0.0	0
W _{Ma}	92.02	0.0	0.0	0.0	0
R _{Ma}	39.92	58.74	27.99	65.07	25
J _{Ma}	81.26	-2.89	71.56	71.62	92
G _{Ma}	52.23	-42.42	13.6	44.55	162
B _{Ma}	30.57	1.41	-46.47	46.49	272

Daten für Maximalfarbe (Ma):

$LAB^*LAB^*_{Ma}$: 52 -32 -24

$LAB^*LCH^*_{Ma}$: 52 40 216

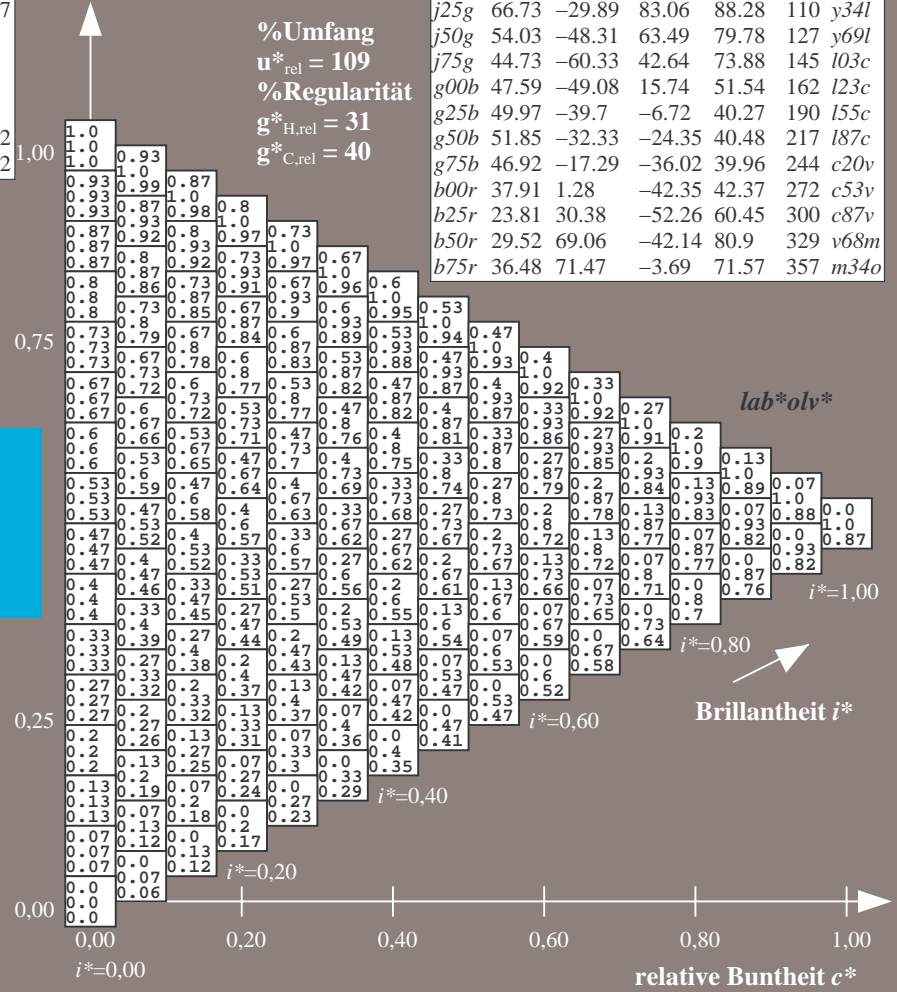
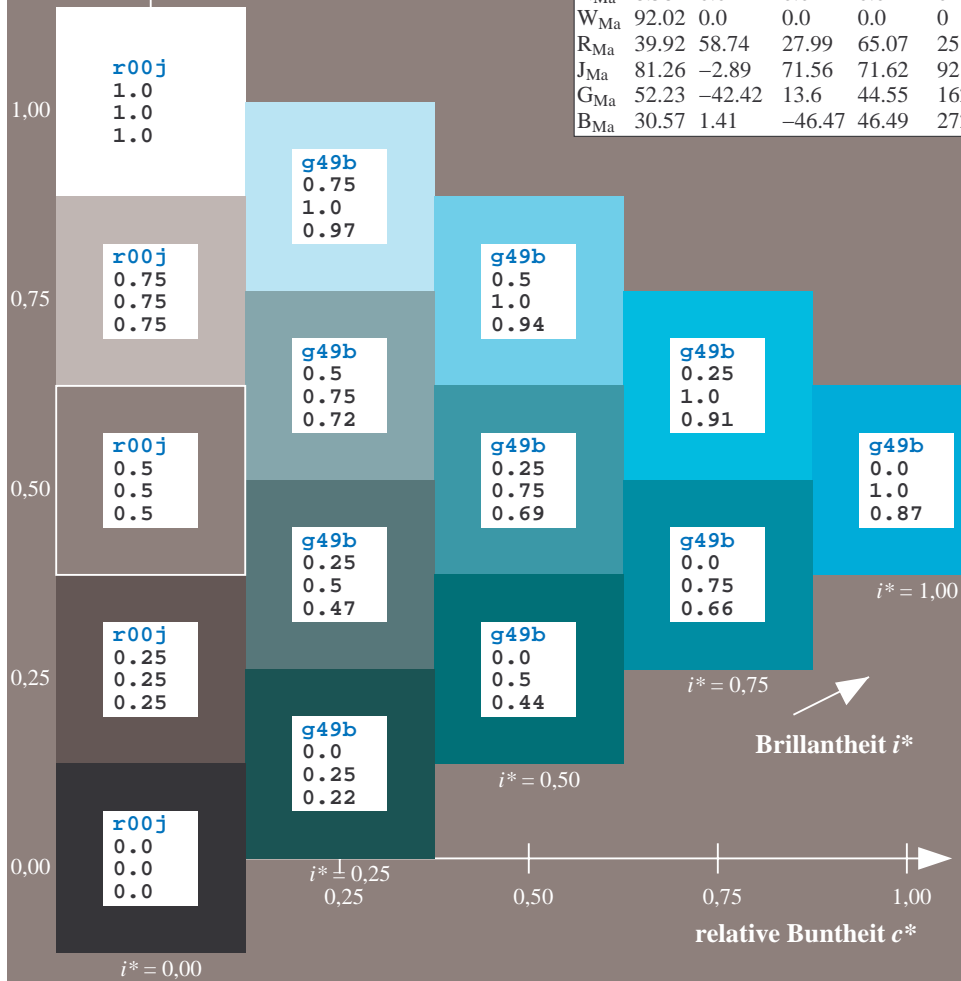
$lab^*rgb^*_{Ma}$: 0.0 1.0 1.0

$lab^*olv^*_{Ma}$: 0.0 1.0 0.87

Dreiecks-Helligkeit t^*

FRS09_92aM; adaptierte CIELAB-Daten

u^*_e	$L^*=L^*_a$	a^*_a	b^*_a	$C^*_{ab,a}$	$h^*_{ab,a}$	u^*_d
r00j	35.47	63.32	30.17	70.15	25	m81o
r25j	39.12	54.56	49.45	73.64	42	o10y
r50j	50.64	39.15	64.89	75.79	59	o40y
r75j	64.01	21.26	82.83	85.52	76	o69y
j00g	83.18	-4.38	108.53	108.62	92	o98y
j25g	66.73	-29.89	83.06	88.28	110	y34l
j50g	54.03	-48.31	63.49	79.78	127	y69l
j75g	44.73	-60.33	42.64	73.88	145	l23c
g00b	47.59	-49.08	15.74	51.54	162	l03c
g25b	49.97	-39.7	-6.72	40.27	190	l55c
g50b	51.85	-32.33	-24.35	40.48	217	l87c
g75b	46.92	-17.29	-36.02	39.96	244	c20v
b00r	37.91	1.28	-42.35	42.37	272	c53v
b25r	23.81	30.38	-52.26	60.45	300	c87v
b50r	29.52	69.06	-42.14	80.9	329	v68m
b75r	36.48	71.47	-3.69	71.57	357	m34o



%Umfang
 $u^*_{rel} = 109$
%Regularität
 $g^*_{H,rel} = 31$
 $g^*_{C,rel} = 40$

Brillantheit i^*

Brillantheit i^*

Ein und Ausgabe: Farbmatisches Drucker-Reflektiv-System FRS09_92aM für relativen CIELAB-Bunton $h^* = lab^*h^* = h_{ab}/360 = 0.679$

$u^*_e = g75b$

Daten für jede Farbe:

lab^*ch^* und lab^*icu^*

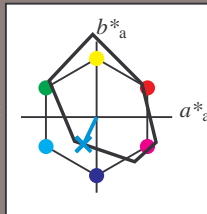
Buntontexte:

$u^*_e = g75b$ $u^*_d = c20v$

Kontrastreduzierungsfaktor:

$c_R = 1.0$

Dreiecks-Helligkeit t^*



FRS09_92aM; adaptierte CIELAB-Daten

u^*_e	$L^*=L^*_a$	a^*_a	b^*_a	$C^*_{ab,a}$	$h^*_{ab,a}$
O _{Ma}	35.06	60.0	44.0	74.4	36
Y _{Ma}	83.77	-5.17	109.32	109.44	93
L _{Ma}	44.13	-62.67	48.24	79.09	142
C _{Ma}	52.66	-29.14	-31.99	43.27	228
V _{Ma}	14.15	50.3	-59.04	77.57	310
M _{Ma}	37.37	78.64	-33.5	85.48	337
N _{Ma}	8.58	0.0	0.0	0.0	0
W _{Ma}	92.02	0.0	0.0	0.0	0
R _{Ma}	39.92	58.74	27.99	65.07	25
J _{Ma}	81.26	-2.89	71.56	71.62	92
G _{Ma}	52.23	-42.42	13.6	44.55	162
B _{Ma}	30.57	1.41	-46.47	46.49	272

Daten für Maximalfarbe (Ma):

$LAB^*LAB^*_{Ma}$: 47 -17 -36

$LAB^*LCH^*_{Ma}$: 47 40 244

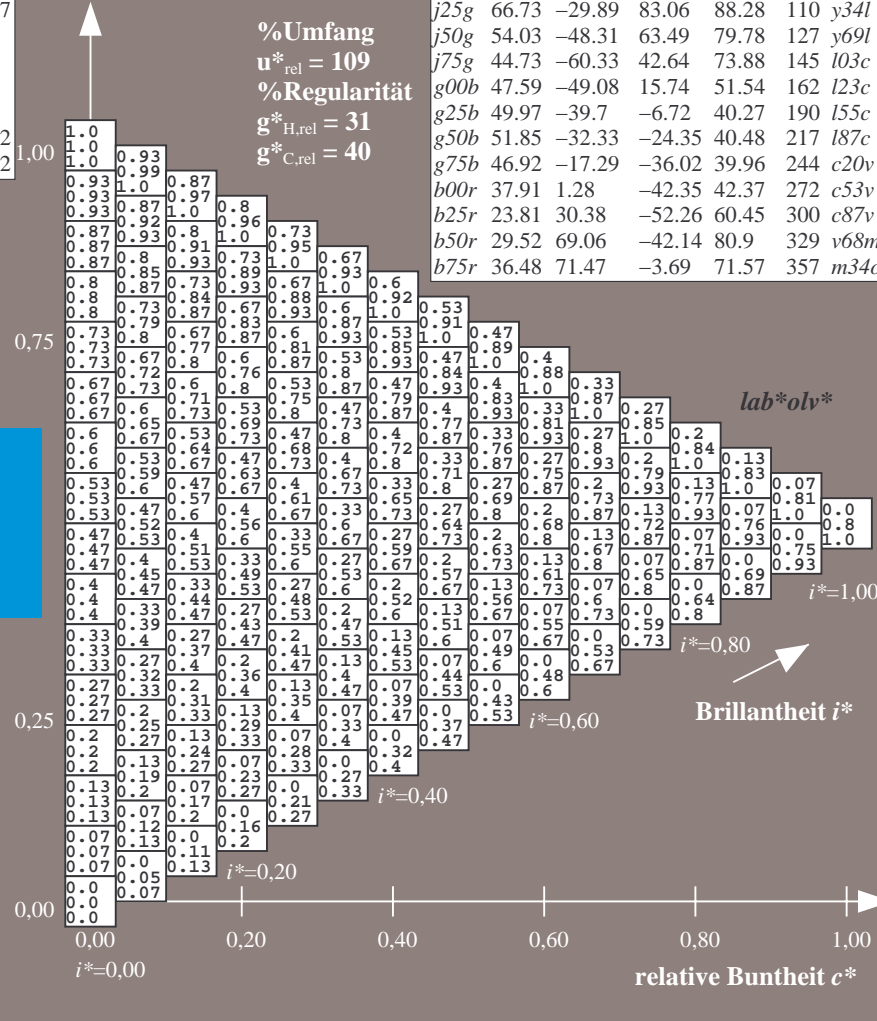
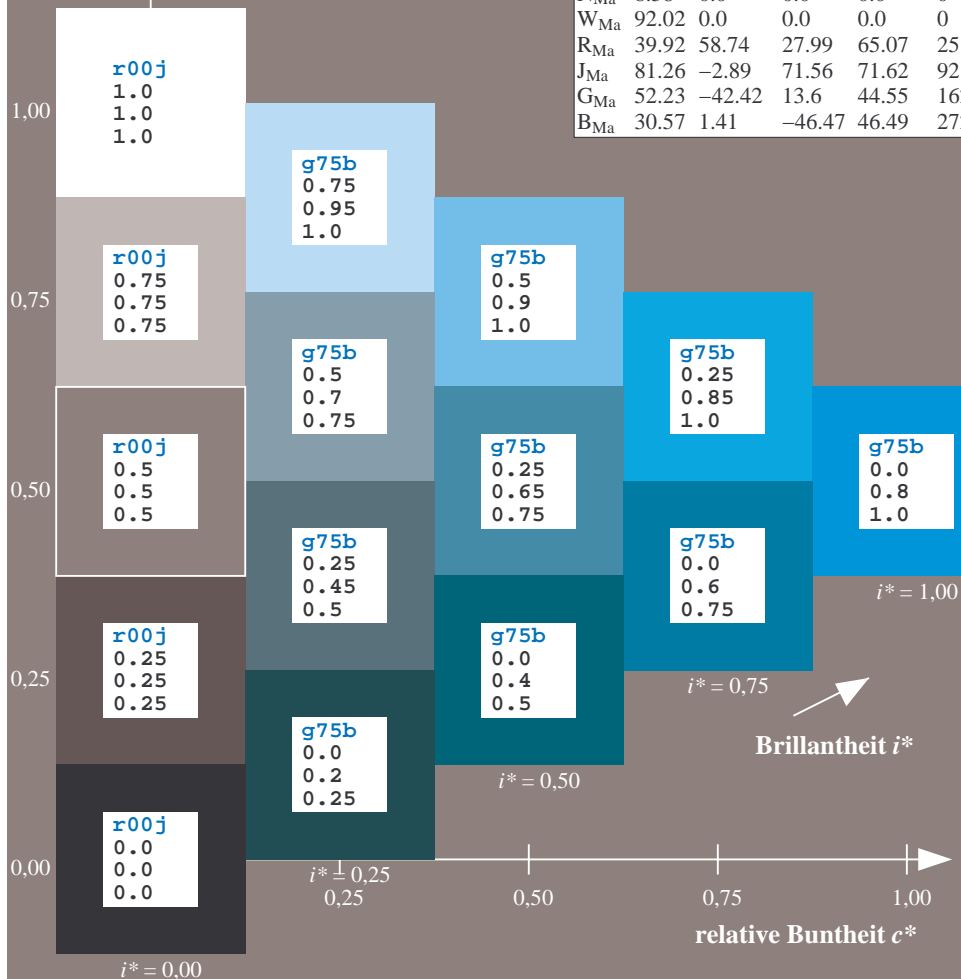
$lab^*rgb^*_{Ma}$: 0.0 0.5 1.0

$lab^*olv^*_{Ma}$: 0.0 0.8 1.0

Dreiecks-Helligkeit t^*

FRS09_92aM; adaptierte CIELAB-Daten

u^*_e	$L^*=L^*_a$	a^*_a	b^*_a	$C^*_{ab,a}$	$h^*_{ab,a}$	u^*_d
r00j	35.47	63.32	30.17	70.15	25	m81o
r25j	39.12	54.56	49.45	73.64	42	o10y
r50j	50.64	39.15	64.89	75.79	59	o40y
r75j	64.01	21.26	82.83	85.52	76	o69y
j00g	83.18	-4.38	108.53	108.62	92	o98y
j25g	66.73	-29.89	83.06	88.28	110	y34l
j50g	54.03	-48.31	63.49	79.78	127	y69l
j75g	44.73	-60.33	42.64	73.88	145	103c
g00b	47.59	-49.08	15.74	51.54	162	l23c
g25b	49.97	-39.7	-6.72	40.27	190	l55c
g50b	51.85	-32.33	-24.35	40.48	217	l87c
g75b	46.92	-17.29	-36.02	39.96	244	c20v
b00r	37.91	1.28	-42.35	42.37	272	c53v
b25r	23.81	30.38	-52.26	60.45	300	c87v
b50r	29.52	69.06	-42.14	80.9	329	v68m
b75r	36.48	71.47	-3.69	71.57	357	m34o



%Umfang
 $u^*_{rel} = 109$
%Regularität
 $g^*_{H,rel} = 31$
 $g^*_{C,rel} = 40$

lab^*olv^*

Brillantheit i^*

$i^* = 1.00$

$i^* = 0.80$

$i^* = 0.60$

$i^* = 0.40$

$i^* = 0.20$

Ein und Ausgabe: Farbmatisches Drucker-Reflektiv-System FRS09_92aM für relativen CIELAB-Bunton $h^* = lab^*h^* = h_{ab}/360 = 0.755$

Daten für jede Farbe:

lab^*ch^* und lab^*icu^*

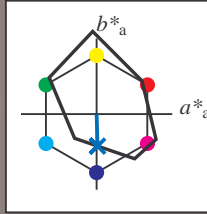
Buntontexte:

$u^*_e = b00r$ $u^*_d = c53v$

Kontrastreduzierungsfaktor:

$c_R = 1.0$

Dreiecks-Helligkeit t^*



FRS09_92aM; adaptierte CIELAB-Daten

u^*_e	$L^*=L^*_a$	a^*_a	b^*_a	$C^*_{ab,a}$	$h^*_{ab,a}$
O _{Ma}	35.06	60.0	44.0	74.4	36
Y _{Ma}	83.77	-5.17	109.32	109.44	93
L _{Ma}	44.13	-62.67	48.24	79.09	142
C _{Ma}	52.66	-29.14	-31.99	43.27	228
V _{Ma}	14.15	50.3	-59.04	77.57	310
M _{Ma}	37.37	78.64	-33.5	85.48	337
N _{Ma}	8.58	0.0	0.0	0.0	0
W _{Ma}	92.02	0.0	0.0	0.0	0
R _{Ma}	39.92	58.74	27.99	65.07	25
J _{Ma}	81.26	-2.89	71.56	71.62	92
G _{Ma}	52.23	-42.42	13.6	44.55	162
B _{Ma}	30.57	1.41	-46.47	46.49	272

Daten für Maximalfarbe (Ma):

$LAB^*LAB^*_{Ma}$: 38 1 -42

$LAB^*LCH^*_{Ma}$: 38 42 271

$lab^*rgb^*_{Ma}$: 0.0 0.0 1.0

$lab^*olv^*_{Ma}$: 0.0 0.47 1.0

Dreiecks-Helligkeit t^*

%Umfang

$u^*_{rel} = 109$

%Regularität

$g^*_{H,rel} = 31$

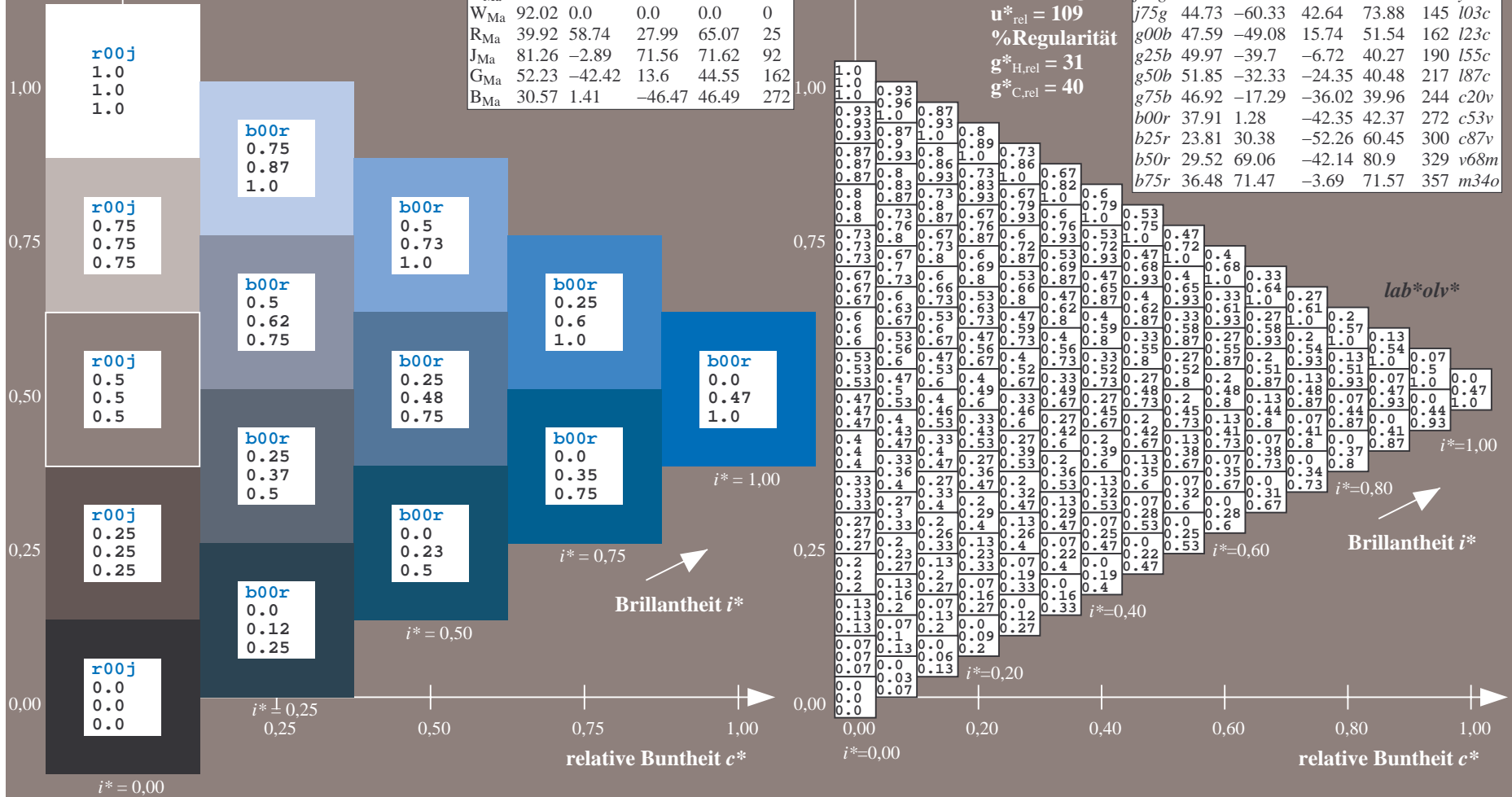
$g^*_{C,rel} = 40$

$u^*_e = b00r$

lab^*olv^*

FRS09_92aM; adaptierte CIELAB-Daten

u^*_e	$L^*=L^*_a$	a^*_a	b^*_a	$C^*_{ab,a}$	$h^*_{ab,a}$	u^*_d
r00j	35.47	63.32	30.17	70.15	25	m81o
r25j	39.12	54.56	49.45	73.64	42	o10y
r50j	50.64	39.15	64.89	75.79	59	o40y
r75j	64.01	21.26	82.83	85.52	76	o69y
j00g	83.18	-4.38	108.53	108.62	92	o98y
j25g	66.73	-29.89	83.06	88.28	110	y34l
j50g	54.03	-48.31	63.49	79.78	127	y69l
j75g	44.73	-60.33	42.64	73.88	145	103c
g00b	47.59	-49.08	15.74	51.54	162	i23c
g25b	49.97	-39.7	-6.72	40.27	190	i55c
g50b	51.85	-32.33	-24.35	40.48	217	i87c
g75b	46.92	-17.29	-36.02	39.96	244	c20v
b00r	37.91	1.28	-42.35	42.37	272	c53v
b25r	23.81	30.38	-52.26	60.45	300	c87v
b50r	29.52	69.06	-42.14	80.9	329	v68m
b75r	36.48	71.47	-3.69	71.57	357	m34o



Ein und Ausgabe: Farbmatisches Drucker-Reflektiv-System FRS09_92aM für relativen CIELAB-Bunton $h^* = lab^*h^* = h_{ab}/360 = 0.834$

$u^*_e = b25r$

Daten für jede Farbe:

lab^*ch^* und lab^*icu^*

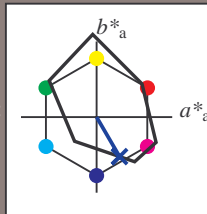
Buntontexte:

$u^*_e = b25r$ $u^*_d = c87v$

Kontrastreduzierungsfaktor:

$c_R = 1.0$

Dreiecks-Helligkeit t^*



FRS09_92aM; adaptierte CIELAB-Daten

u^*_e	$L^*=L^*_a$	a^*_a	b^*_a	$C^*_{ab,a}$	$h^*_{ab,a}$
O _{Ma}	35.06	60.0	44.0	74.4	36
Y _{Ma}	83.77	-5.17	109.32	109.44	93
L _{Ma}	44.13	-62.67	48.24	79.09	142
C _{Ma}	52.66	-29.14	-31.99	43.27	228
V _{Ma}	14.15	50.3	-59.04	77.57	310
M _{Ma}	37.37	78.64	-33.5	85.48	337
N _{Ma}	8.58	0.0	0.0	0.0	0
W _{Ma}	92.02	0.0	0.0	0.0	0
R _{Ma}	39.92	58.74	27.99	65.07	25
J _{Ma}	81.26	-2.89	71.56	71.62	92
G _{Ma}	52.23	-42.42	13.6	44.55	162
B _{Ma}	30.57	1.41	-46.47	46.49	272

Daten für Maximalfarbe (Ma):

$LAB^*LAB^*_{Ma}$: 24 30 -52

$LAB^*LCH^*_{Ma}$: 24 60 300

$lab^*rgb^*_{Ma}$: 0.5 0.0 1.0

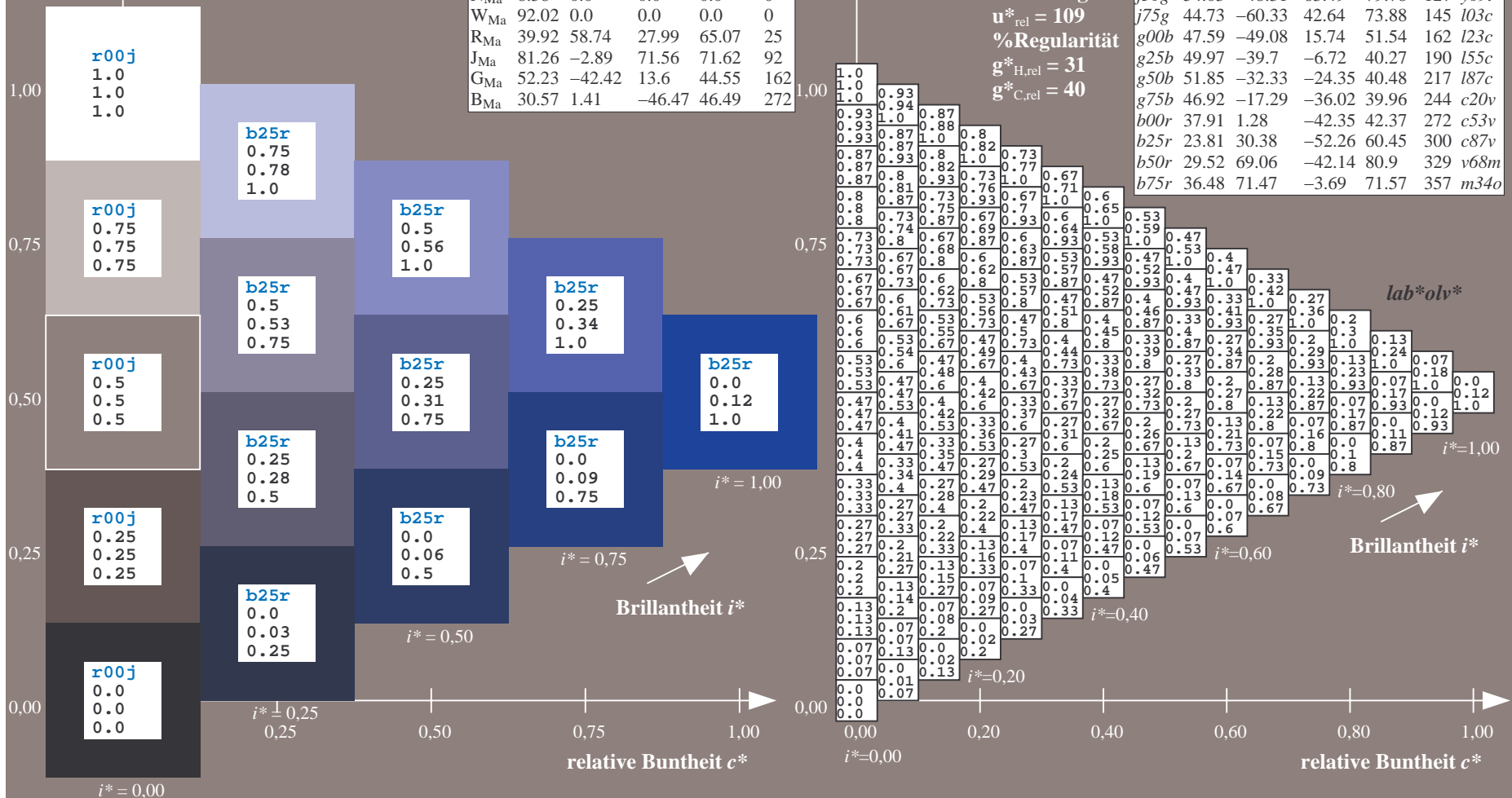
$lab^*olv^*_{Ma}$: 0.0 0.12 1.0

Dreiecks-Helligkeit t^*

FRS09_92aM; adaptierte CIELAB-Daten

u^*_e	$L^*=L^*_a$	a^*_a	b^*_a	$C^*_{ab,a}$	$h^*_{ab,a}$	u^*_d
r00j	35.47	63.32	30.17	70.15	25	m81o
r25j	39.12	54.56	49.45	73.64	42	o10y
r50j	50.64	39.15	64.89	75.79	59	o40y
r75j	64.01	21.26	82.83	85.52	76	o69y
j00g	83.18	-4.38	108.53	108.62	92	o98y
j25g	66.73	-29.89	83.06	88.28	110	y34l
j50g	54.03	-48.31	63.49	79.78	127	y69l
j75g	44.73	-60.33	42.64	73.88	145	103c
g00b	47.59	-49.08	15.74	51.54	162	l23c
g25b	49.97	-39.7	-6.72	40.27	190	l55c
g50b	51.85	-32.33	-24.35	40.48	217	l87c
g75b	46.92	-17.29	-36.02	39.96	244	c20v
b00r	37.91	1.28	-42.35	42.37	272	c53v
b25r	23.81	30.38	-52.26	60.45	300	c87v
b50r	29.52	69.06	-42.14	80.9	329	v68m
b75r	36.48	71.47	-3.69	71.57	357	m34o

lab^*olv^*



Ein und Ausgabe: Farbmatisches Drucker-Reflektiv-System FRS09_92aM für relativen CIELAB-Bunton $h^* = lab^*h^* = h_{ab}/360 = 0.913$

$u^*_e = b50r$

Daten für jede Farbe:

lab^*ch^* und lab^*icu^*

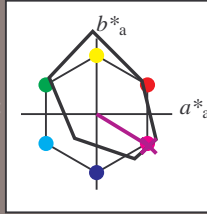
Buntontexte:

$u^*_e = b50r$ $u^*_d = v68m$

Kontrastreduzierungsfaktor:

$c_R = 1.0$

Dreiecks-Helligkeit t^*



FRS09_92aM; adaptierte CIELAB-Daten

u^*_e	$L^*=L^*_a$	a^*_a	b^*_a	$C^*_{ab,a}$	$h^*_{ab,a}$
O _{Ma}	35.06	60.0	44.0	74.4	36
Y _{Ma}	83.77	-5.17	109.32	109.44	93
L _{Ma}	44.13	-62.67	48.24	79.09	142
C _{Ma}	52.66	-29.14	-31.99	43.27	228
V _{Ma}	14.15	50.3	-59.04	77.57	310
M _{Ma}	37.37	78.64	-33.5	85.48	337
N _{Ma}	8.58	0.0	0.0	0.0	0
W _{Ma}	92.02	0.0	0.0	0.0	0
R _{Ma}	39.92	58.74	27.99	65.07	25
J _{Ma}	81.26	-2.89	71.56	71.62	92
G _{Ma}	52.23	-42.42	13.6	44.55	162
B _{Ma}	30.57	1.41	-46.47	46.49	272

Daten für Maximalfarbe (Ma):

$LAB^*LAB^*_{Ma}$: 30 69 -42

$LAB^*LCH^*_{Ma}$: 30 81 328

$lab^*rgb^*_{Ma}$: 1.0 0.0 1.0

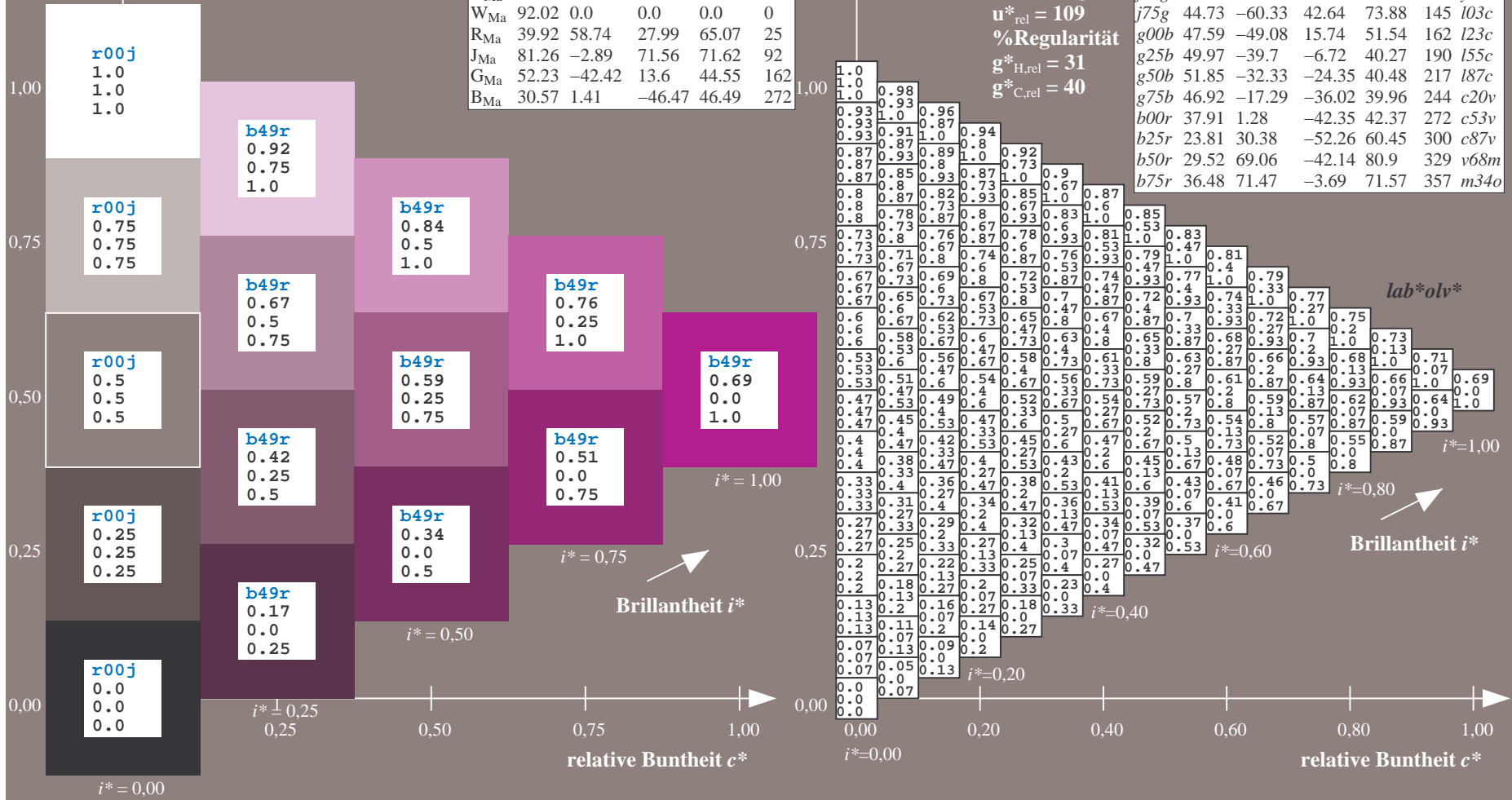
$lab^*olv^*_{Ma}$: 0.69 0.0 1.0

Dreiecks-Helligkeit t^*

FRS09_92aM; adaptierte CIELAB-Daten

u^*_e	$L^*=L^*_a$	a^*_a	b^*_a	$C^*_{ab,a}$	$h^*_{ab,a}$	u^*_d
r00j	35.47	63.32	30.17	70.15	25	m81o
r25j	39.12	54.56	49.45	73.64	42	o10y
r50j	50.64	39.15	64.89	75.79	59	o40y
r75j	64.01	21.26	82.83	85.52	76	o69y
j00g	83.18	-4.38	108.53	108.62	92	o98y
j25g	66.73	-29.89	83.06	88.28	110	y34l
j50g	54.03	-48.31	63.49	79.78	127	y69l
j75g	44.73	-60.33	42.64	73.88	145	l03c
g00b	47.59	-49.08	15.74	51.54	162	l23c
g25b	49.97	-39.7	-6.72	40.27	190	l55c
g50b	51.85	-32.33	-24.35	40.48	217	l87c
g75b	46.92	-17.29	-36.02	39.96	244	c20v
b00r	37.91	1.28	-42.35	42.37	272	c53v
b25r	23.81	30.38	-52.26	60.45	300	c87v
b50r	29.52	69.06	-42.14	80.9	329	v68m
b75r	36.48	71.47	-3.69	71.57	357	m34o

lab^*olv^*



Ein und Ausgabe: Farbmatisches Drucker-Reflektiv-System FRS09_92aM für relativen CIELAB-Bunton $h^* = lab^*h^* = h_{ab}/360 = 0.992$

$u^*_e = b75r$

Daten für jede Farbe:

lab^*ch^* und lab^*icu^*

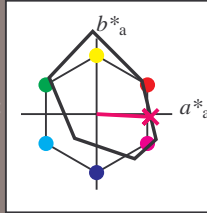
Buntontexte:

$u^*_e = b75r$ $u^*_d = m34o$

Kontrastreduzierungsfaktor:

$c_R = 1.0$

Dreiecks-Helligkeit t^*



FRS09_92aM; adaptierte CIELAB-Daten

u^*_e	$L^*=L^*_a$	a^*_a	b^*_a	$C^*_{ab,a}$	$h^*_{ab,a}$
O _{Ma}	35.06	60.0	44.0	74.4	36
Y _{Ma}	83.77	-5.17	109.32	109.44	93
L _{Ma}	44.13	-62.67	48.24	79.09	142
C _{Ma}	52.66	-29.14	-31.99	43.27	228
V _{Ma}	14.15	50.3	-59.04	77.57	310
M _{Ma}	37.37	78.64	-33.5	85.48	337
N _{Ma}	8.58	0.0	0.0	0.0	0
W _{Ma}	92.02	0.0	0.0	0.0	0
R _{Ma}	39.92	58.74	27.99	65.07	25
J _{Ma}	81.26	-2.89	71.56	71.62	92
G _{Ma}	52.23	-42.42	13.6	44.55	162
B _{Ma}	30.57	1.41	-46.47	46.49	272

Daten für Maximalfarbe (Ma):

$LAB^*LAB^*_{Ma}$: 36 71 -4

$LAB^*LCH^*_{Ma}$: 36 72 357

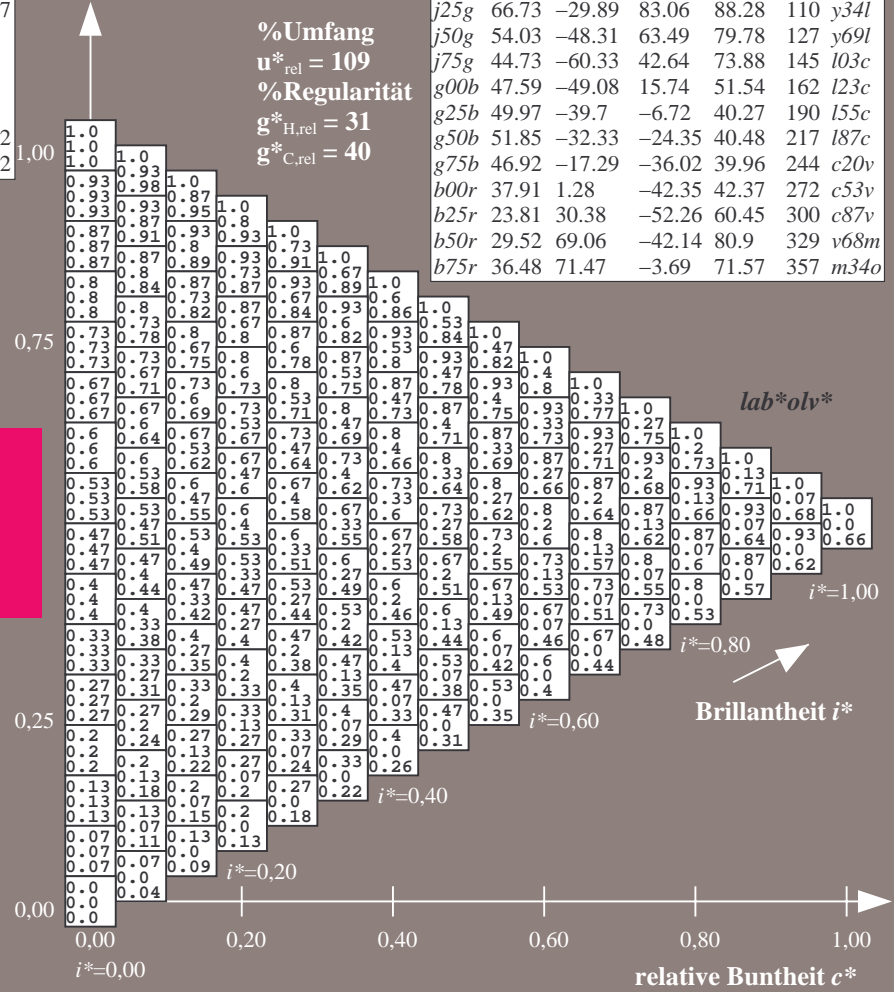
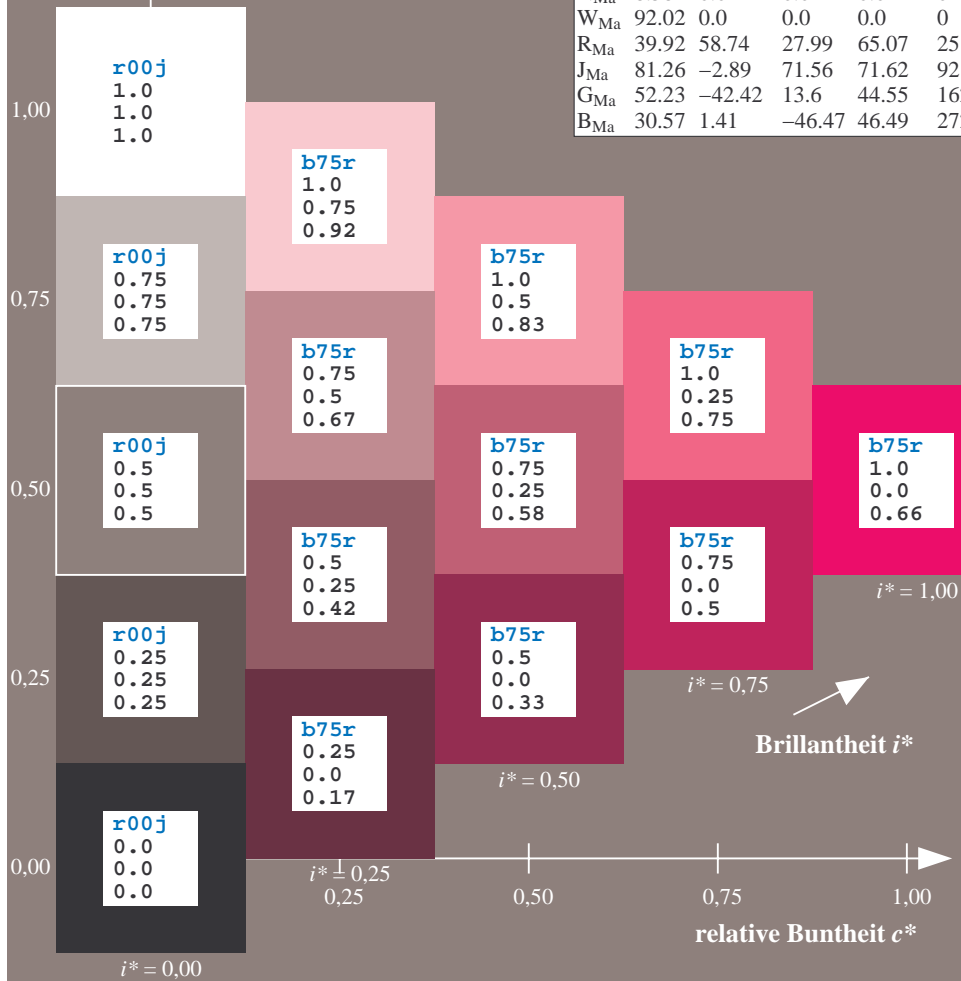
$lab^*rgb^*_{Ma}$: 1.0 0.0 0.5

$lab^*olv^*_{Ma}$: 1.0 0.0 0.66

Dreiecks-Helligkeit t^*

FRS09_92aM; adaptierte CIELAB-Daten

u^*_e	$L^*=L^*_a$	a^*_a	b^*_a	$C^*_{ab,a}$	$h^*_{ab,a}$	u^*_d
r00j	35.47	63.32	30.17	70.15	25	m81o
r25j	39.12	54.56	49.45	73.64	42	o10y
r50j	50.64	39.15	64.89	75.79	59	o40y
r75j	64.01	21.26	82.83	85.52	76	o69y
j00g	83.18	-4.38	108.53	108.62	92	o98y
j25g	66.73	-29.89	83.06	88.28	110	y34l
j50g	54.03	-48.31	63.49	79.78	127	y69l
j75g	44.73	-60.33	42.64	73.88	145	103c
g00b	47.59	-49.08	15.74	51.54	162	l23c
g25b	49.97	-39.7	-6.72	40.27	190	l55c
g50b	51.85	-32.33	-24.35	40.48	217	l87c
g75b	46.92	-17.29	-36.02	39.96	244	c20v
b00r	37.91	1.28	-42.35	42.37	272	c53v
b25r	23.81	30.38	-52.26	60.45	300	c87v
b50r	29.52	69.06	-42.14	80.9	329	v68m
b75r	36.48	71.47	-3.69	71.57	357	m34o



%Umfang
 $u^*_{rel} = 109$
 %Regularität
 $g^*_{H,rel} = 31$
 $g^*_{C,rel} = 40$

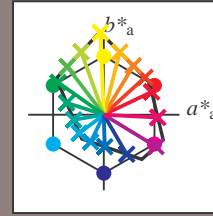
lab^*olv^*

Brillanz i^*

Ein und Ausgabe:
 Farbmetrisches Drucker-Reflektiv-System FRS09_92aM
 Daten für jede Farbe:
 u^*_e und Nummer $Nr. = 00 \dots 15$
 Elementar-Bunttextext:
 $u^*_e = 16$ Bunttoene $r00j, r25j, \dots, b75r$
 Kontrastreduzierungsfaktor:
 $c_R = 1.0$

FRS09_92aM; adaptierte CIELAB-Daten

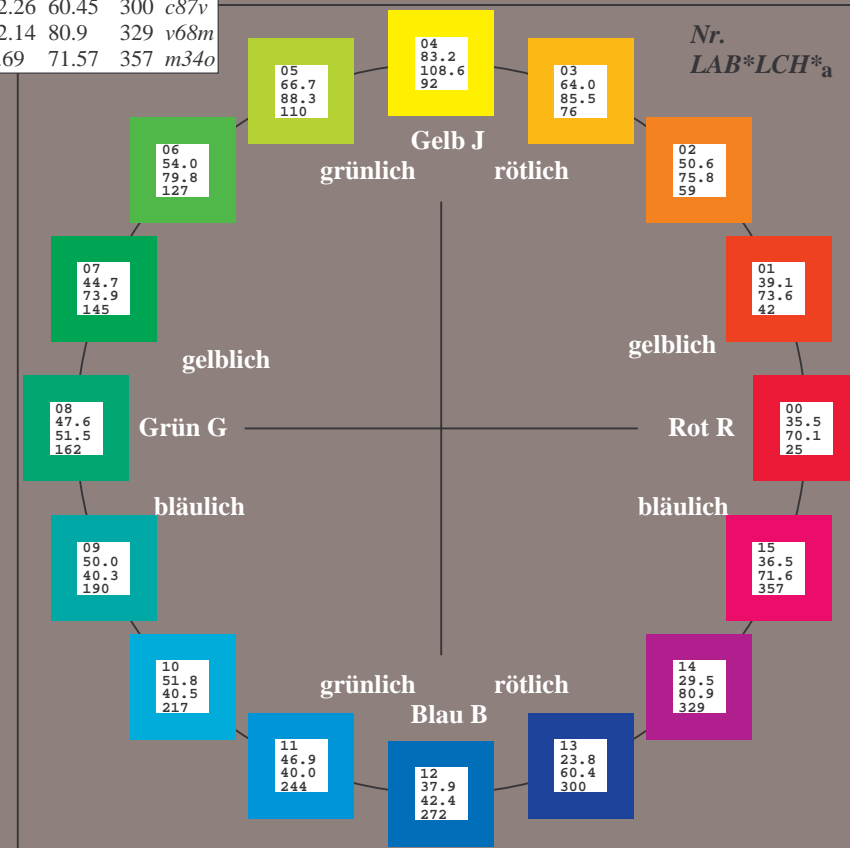
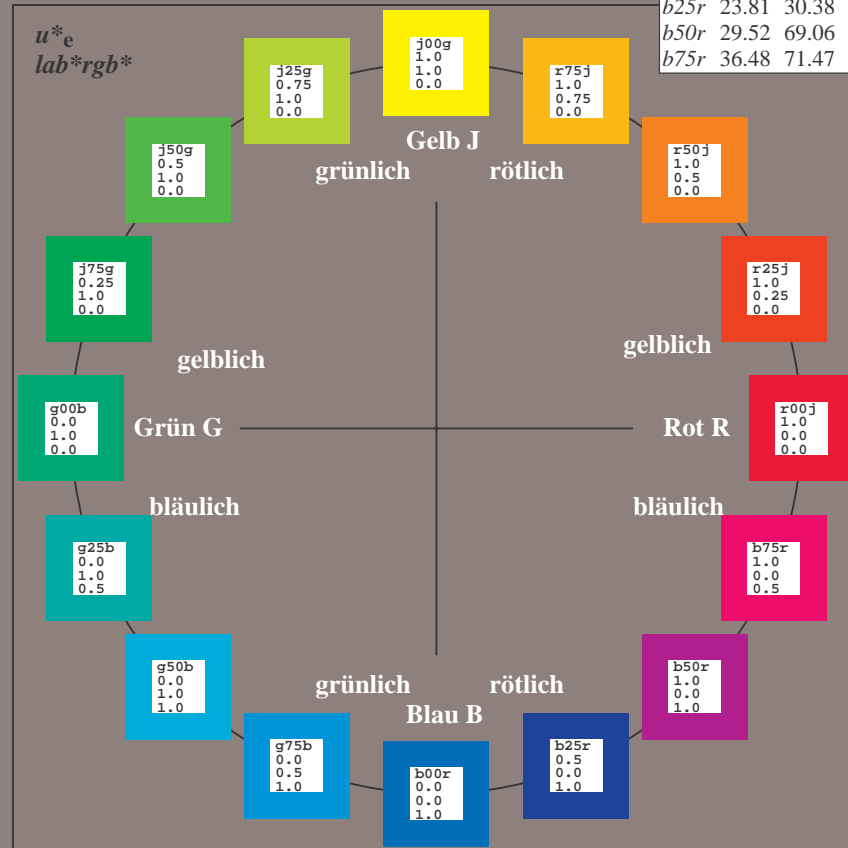
u^*_e	$L^*=L^*_a$	a^*_a	b^*_a	$C^*_{ab,a}$	$h^*_{ab,a}$	u^*_d
r00j	35.47	63.32	30.17	70.15	25	m81o
r25j	39.12	54.56	49.45	73.64	42	o10y
r50j	50.64	39.15	64.89	75.79	59	o40y
r75j	64.01	21.26	82.83	85.52	76	o69y
j00g	83.18	-4.38	108.53	108.62	92	o98y
j25g	66.73	-29.89	83.06	88.28	110	y34l
j50g	54.03	-48.31	63.49	79.78	127	y69l
j75g	44.73	-60.33	42.64	73.88	145	l03c
g00b	47.59	-49.08	15.74	51.54	162	l23c
g25b	49.97	-39.7	-6.72	40.27	190	l55c
g50b	51.85	-32.33	-24.35	40.48	217	l87c
g75b	46.92	-17.29	-36.02	39.96	244	c20v
b00r	37.91	1.28	-42.35	42.37	272	c53v
b25r	23.81	30.38	-52.26	60.45	300	c87v
b50r	29.52	69.06	-42.14	80.9	329	v68m
b75r	36.48	71.47	-3.69	71.57	357	m34o



%Umfang
 $u^*_{rel} = 109$
 %Regularität
 $g^*_{H,rel} = 31$
 $g^*_{C,rel} = 40$

FRS09_92aM; adaptierte CIELAB-Daten

Name	$L^*=L^*_a$	a^*_a	b^*_a	$C^*_{ab,a}$	$h^*_{ab,a}$
O _{Ma}	35.06	60.0	44.0	74.4	36
Y _{Ma}	83.77	-5.17	109.32	109.44	93
L _{Ma}	44.13	-62.67	48.24	79.09	142
C _{Ma}	52.66	-29.14	-31.99	43.27	228
V _{Ma}	14.15	50.3	-59.04	77.57	310
M _{Ma}	37.37	78.64	-33.5	85.48	337
N _{Ma}	8.58	0.0	0.0	0.0	0
W _{Ma}	92.02	0.0	0.0	0.0	0
R _{CIE}	39.92	58.74	27.99	65.07	25
J _{CIE}	81.26	-2.89	71.56	71.62	92
G _{CIE}	52.23	-42.42	13.6	44.55	162
B _{CIE}	30.57	1.41	-46.47	46.49	272



Ein und Ausgabe: Farbmatisches Drucker-Reflektiv-System FRS09_92aM für relativen CIELAB-Bunton $h^* = lab^*h^* = h_{ab}/360 = 0.071$

Daten für jede Farbe:

lab^*ch^* und lab^*icu^*

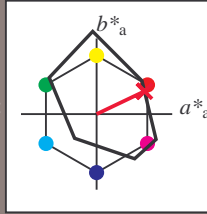
Buntontexte:

$u^*_e = r00j$ $u^*_d = m81o$

Kontrastreduzierungsfaktor:

$c_R = 1.0$

Dreiecks-Helligkeit t^*



FRS09_92aM; adaptierte CIELAB-Daten

u^*_e	$L^*=L^*_a$	a^*_a	b^*_a	$C^*_{ab,a}$	$h^*_{ab,a}$
O _{Ma}	35.06	60.0	44.0	74.4	36
Y _{Ma}	83.77	-5.17	109.32	109.44	93
L _{Ma}	44.13	-62.67	48.24	79.09	142
C _{Ma}	52.66	-29.14	-31.99	43.27	228
V _{Ma}	14.15	50.3	-59.04	77.57	310
M _{Ma}	37.37	78.64	-33.5	85.48	337
N _{Ma}	8.58	0.0	0.0	0.0	0
W _{Ma}	92.02	0.0	0.0	0.0	0
R _{Ma}	39.92	58.74	27.99	65.07	25
J _{Ma}	81.26	-2.89	71.56	71.62	92
G _{Ma}	52.23	-42.42	13.6	44.55	162
B _{Ma}	30.57	1.41	-46.47	46.49	272

Daten für Maximalfarbe (Ma):

$LAB^*LAB^*_{Ma}$: 35 63 30

$LAB^*LCH^*_{Ma}$: 35 70 25

$lab^*rgb^*_{Ma}$: 1.0 0.0 0.0

$lab^*olv^*_{Ma}$: 1.0 0.0 0.18

Dreiecks-Helligkeit t^*

%Umfang

$u^*_{rel} = 109$

%Regularität

$g^*_{H,rel} = 31$

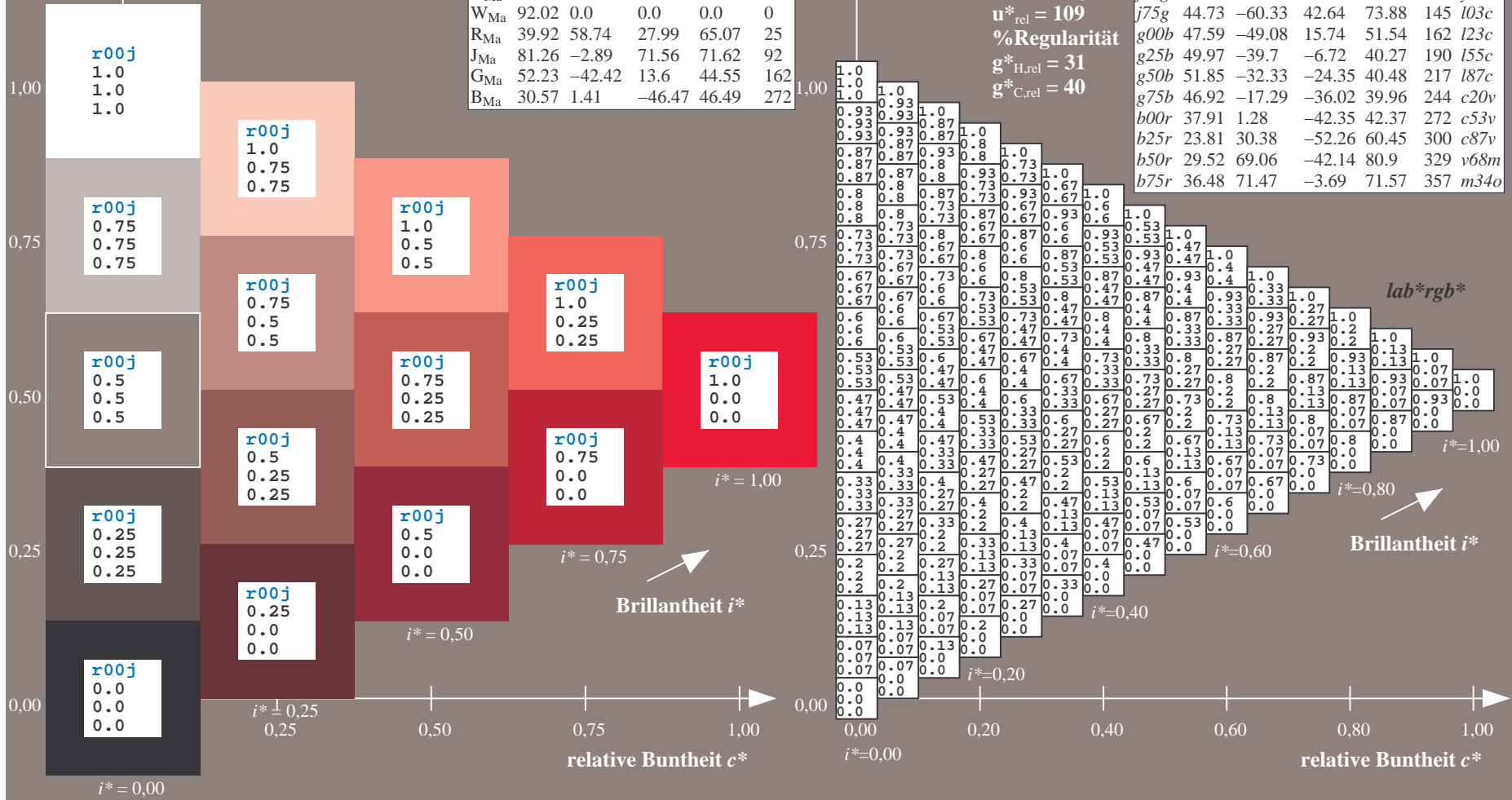
$g^*_{C,rel} = 40$

$u^*_e = r00j$

lab^*rgb^*

FRS09_92aM; adaptierte CIELAB-Daten

u^*_e	$L^*=L^*_a$	a^*_a	b^*_a	$C^*_{ab,a}$	$h^*_{ab,a}$	u^*_d
r00j	35.47	63.32	30.17	70.15	25	m81o
r25j	39.12	54.56	49.45	73.64	42	o10y
r50j	50.64	39.15	64.89	75.79	59	o40y
r75j	64.01	21.26	82.83	85.52	76	o69y
j00g	83.18	-4.38	108.53	108.62	92	o98y
j25g	66.73	-29.89	83.06	88.28	110	y34l
j50g	54.03	-48.31	63.49	79.78	127	y69l
j75g	44.73	-60.33	42.64	73.88	145	103c
g00b	47.59	-49.08	15.74	51.54	162	l23c
g25b	49.97	-39.7	-6.72	40.27	190	l55c
g50b	51.85	-32.33	-24.35	40.48	217	l87c
g75b	46.92	-17.29	-36.02	39.96	244	c20v
b00r	37.91	1.28	-42.35	42.37	272	c53v
b25r	23.81	30.38	-52.26	60.45	300	c87v
b50r	29.52	69.06	-42.14	80.9	329	v68m
b75r	36.48	71.47	-3.69	71.57	357	m34o



Ein und Ausgabe: Farbmatisches Drucker-Reflektiv-System FRS09_92aM für relativen CIELAB-Bunton $h^* = lab^*h^* = h_{ab}/360 = 0.117$

$u^*_e = r25j$

Daten für jede Farbe:

lab^*ch^* und lab^*icu^*

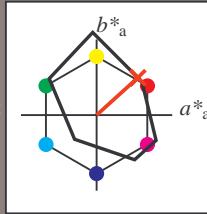
Buntontexte:

$u^*_e = r25j$ $u^*_d = o10y$

Kontrastreduzierungsfaktor:

$c_R = 1.0$

Dreiecks-Helligkeit t^*



FRS09_92aM; adaptierte CIELAB-Daten

u^*_e	$L^*=L^*_a$	a^*_a	b^*_a	$C^*_{ab,a}$	$h^*_{ab,a}$
O _{Ma}	35.06	60.0	44.0	74.4	36
Y _{Ma}	83.77	-5.17	109.32	109.44	93
L _{Ma}	44.13	-62.67	48.24	79.09	142
C _{Ma}	52.66	-29.14	-31.99	43.27	228
V _{Ma}	14.15	50.3	-59.04	77.57	310
M _{Ma}	37.37	78.64	-33.5	85.48	337
N _{Ma}	8.58	0.0	0.0	0.0	0
W _{Ma}	92.02	0.0	0.0	0.0	0
R _{Ma}	39.92	58.74	27.99	65.07	25
J _{Ma}	81.26	-2.89	71.56	71.62	92
G _{Ma}	52.23	-42.42	13.6	44.55	162
B _{Ma}	30.57	1.41	-46.47	46.49	272

Daten für Maximalfarbe (Ma):

$LAB^*LAB^*_{Ma}$: 39 55 49

$LAB^*LCH^*_{Ma}$: 39 74 42

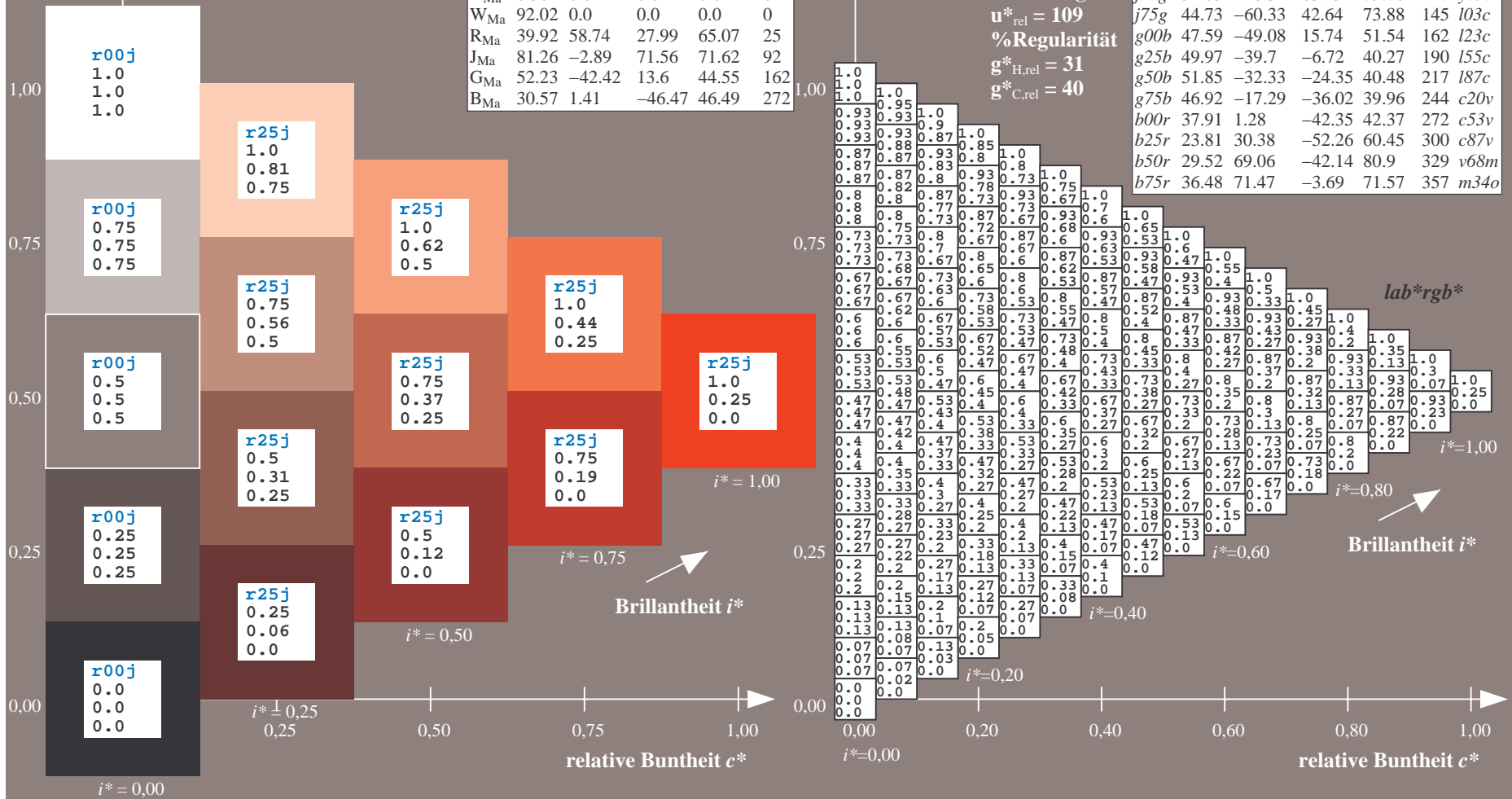
$lab^*rgb^*_{Ma}$: 1.0 0.25 0.0

$lab^*olv^*_{Ma}$: 1.0 0.11 0.0

Dreiecks-Helligkeit t^*

FRS09_92aM; adaptierte CIELAB-Daten

u^*_e	$L^*=L^*_a$	a^*_a	b^*_a	$C^*_{ab,a}$	$h^*_{ab,a}$	u^*_d
r00j	35.47	63.32	30.17	70.15	25	m81o
r25j	39.12	54.56	49.45	73.64	42	o10y
r50j	50.64	39.15	64.89	75.79	59	o40y
r75j	64.01	21.26	82.83	85.52	76	o69y
j00g	83.18	-4.38	108.53	108.62	92	o98y
j25g	66.73	-29.89	83.06	88.28	110	y34l
j50g	54.03	-48.31	63.49	79.78	127	y69l
j75g	44.73	-60.33	42.64	73.88	145	l03c
g00b	47.59	-49.08	15.74	51.54	162	i23c
g25b	49.97	-39.7	-6.72	40.27	190	i55c
g50b	51.85	-32.33	-24.35	40.48	217	i87c
g75b	46.92	-17.29	-36.02	39.96	244	c20v
b00r	37.91	1.28	-42.35	42.37	272	c53v
b25r	23.81	30.38	-52.26	60.45	300	c87v
b50r	29.52	69.06	-42.14	80.9	329	v68m
b75r	36.48	71.47	-3.69	71.57	357	m34o



Ein und Ausgabe: Farbmatisches Drucker-Reflektiv-System FRS09_92aM für relativen CIELAB-Bunton $h^* = lab^*h^* = h_{ab}/360 = 0.164$

$u^*_e = r50j$
 lab^*rgb^*

Daten für jede Farbe:

lab^*ch^* und lab^*icu^*

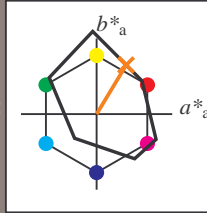
Buntontexte:

$u^*_e = r50j$ $u^*_d = o40y$

Kontrastreduzierungsfaktor:

$c_R = 1.0$

Dreiecks-Helligkeit t^*



FRS09_92aM; adaptierte CIELAB-Daten

u^*_e	$L^*=L^*_a$	a^*_a	b^*_a	$C^*_{ab,a}$	$h^*_{ab,a}$
O _{Ma}	35.06	60.0	44.0	74.4	36
Y _{Ma}	83.77	-5.17	109.32	109.44	93
L _{Ma}	44.13	-62.67	48.24	79.09	142
C _{Ma}	52.66	-29.14	-31.99	43.27	228
V _{Ma}	14.15	50.3	-59.04	77.57	310
M _{Ma}	37.37	78.64	-33.5	85.48	337
N _{Ma}	8.58	0.0	0.0	0.0	0
W _{Ma}	92.02	0.0	0.0	0.0	0
R _{Ma}	39.92	58.74	27.99	65.07	25
J _{Ma}	81.26	-2.89	71.56	71.62	92
G _{Ma}	52.23	-42.42	13.6	44.55	162
B _{Ma}	30.57	1.41	-46.47	46.49	272

Daten für Maximalfarbe (Ma):

$LAB^*LAB^*_{Ma}$: 51 39 65

$LAB^*LCH^*_{Ma}$: 51 76 58

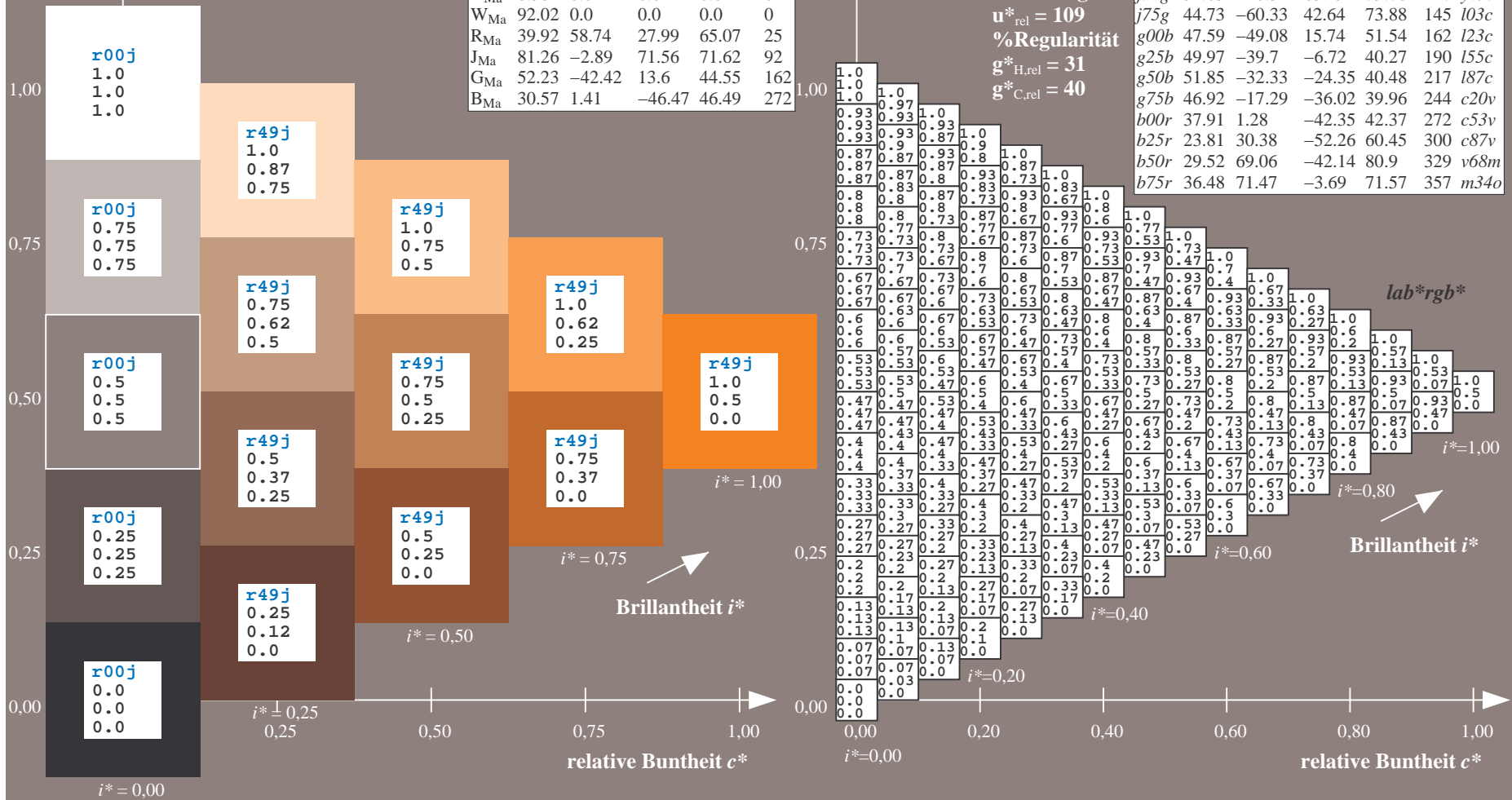
$lab^*rgb^*_{Ma}$: 1.0 0.5 0.0

$lab^*olv^*_{Ma}$: 1.0 0.4 0.0

Dreiecks-Helligkeit t^*

FRS09_92aM; adaptierte CIELAB-Daten

u^*_e	$L^*=L^*_a$	a^*_a	b^*_a	$C^*_{ab,a}$	$h^*_{ab,a}$	u^*_d
r00j	35.47	63.32	30.17	70.15	25	m81o
r25j	39.12	54.56	49.45	73.64	42	o10y
r50j	50.64	39.15	64.89	75.79	59	o40y
r75j	64.01	21.26	82.83	85.52	76	o69y
j00g	83.18	-4.38	108.53	108.62	92	o98y
j25g	66.73	-29.89	83.06	88.28	110	y34l
j50g	54.03	-48.31	63.49	79.78	127	y69l
j75g	44.73	-60.33	42.64	73.88	145	103c
g00b	47.59	-49.08	15.74	51.54	162	i23c
g25b	49.97	-39.7	-6.72	40.27	190	i55c
g50b	51.85	-32.33	-24.35	40.48	217	i87c
g75b	46.92	-17.29	-36.02	39.96	244	c20v
b00r	37.91	1.28	-42.35	42.37	272	c53v
b25r	23.81	30.38	-52.26	60.45	300	c87v
b50r	29.52	69.06	-42.14	80.9	329	v68m
b75r	36.48	71.47	-3.69	71.57	357	m34o



Ein und Ausgabe: Farbmatisches Drucker-Reflektiv-System FRS09_92aM für relativen CIELAB-Bunton $h^* = lab^*h^* = h_{ab}/360 = 0.21$

$$u^*_e = r75j$$

$$lab^*rgb^*$$

Daten für jede Farbe:

lab^*tch^* und lab^*icu^*

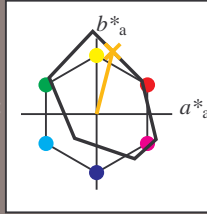
Buntontexte:

$$u^*_e = r75j \quad u^*_d = o69y$$

Kontrastreduzierungsfaktor:

$$c_R = 1.0$$

Dreiecks-Helligkeit t^*



FRS09_92aM; adaptierte CIELAB-Daten

u^*_e	$L^*=L^*_a$	a^*_a	b^*_a	$C^*_{ab,a}$	$h^*_{ab,a}$
O _{Ma}	35.06	60.0	44.0	74.4	36
Y _{Ma}	83.77	-5.17	109.32	109.44	93
L _{Ma}	44.13	-62.67	48.24	79.09	142
C _{Ma}	52.66	-29.14	-31.99	43.27	228
V _{Ma}	14.15	50.3	-59.04	77.57	310
M _{Ma}	37.37	78.64	-33.5	85.48	337
N _{Ma}	8.58	0.0	0.0	0.0	0
W _{Ma}	92.02	0.0	0.0	0.0	0
R _{Ma}	39.92	58.74	27.99	65.07	25
J _{Ma}	81.26	-2.89	71.56	71.62	92
G _{Ma}	52.23	-42.42	13.6	44.55	162
B _{Ma}	30.57	1.41	-46.47	46.49	272

Daten für Maximalfarbe (Ma):

$LAB^*LAB^*_{Ma}$: 64 21 83

$LAB^*LCH^*_{Ma}$: 64 86 75

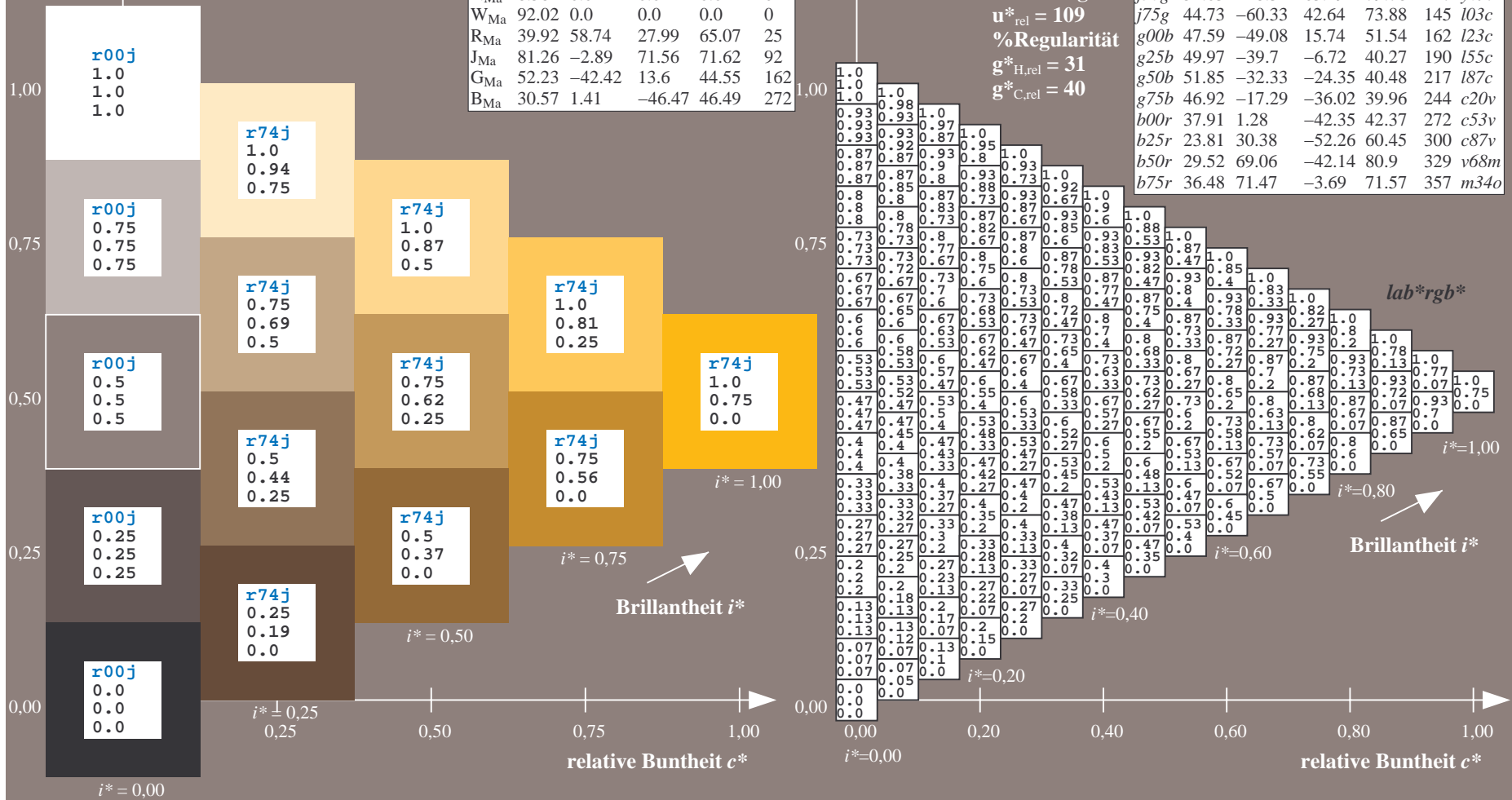
$lab^*rgb^*_{Ma}$: 1.0 0.75 0.0

$lab^*olv^*_{Ma}$: 1.0 0.7 0.0

Dreiecks-Helligkeit t^*

FRS09_92aM; adaptierte CIELAB-Daten

u^*_e	$L^*=L^*_a$	a^*_a	b^*_a	$C^*_{ab,a}$	$h^*_{ab,a}$	u^*_d
r00j	35.47	63.32	30.17	70.15	25	m81o
r25j	39.12	54.56	49.45	73.64	42	o10y
r50j	50.64	39.15	64.89	75.79	59	o40y
r75j	64.01	21.26	82.83	85.52	76	o69y
j00g	83.18	-4.38	108.53	108.62	92	o98y
j25g	66.73	-29.89	83.06	88.28	110	y34l
j50g	54.03	-48.31	63.49	79.78	127	y69l
j75g	44.73	-60.33	42.64	73.88	145	103c
g00b	47.59	-49.08	15.74	51.54	162	i23c
g25b	49.97	-39.7	-6.72	40.27	190	i55c
g50b	51.85	-32.33	-24.35	40.48	217	i87c
g75b	46.92	-17.29	-36.02	39.96	244	c20v
b00r	37.91	1.28	-42.35	42.47	272	c53v
b25r	23.81	30.38	-52.26	60.45	300	c87v
b50r	29.52	69.06	-42.14	80.9	329	v68m
b75r	36.48	71.47	-3.69	71.57	357	m34o



Ein und Ausgabe: Farbmatisches Drucker-Reflektiv-System FRS09_92aM für relativen CIELAB-Bunton $h^* = lab^*h^* = h_{ab}/360 = 0.256$

$u^*_e = j00g$
 lab^*rgb^*

Daten für jede Farbe:

lab^*tch^* und lab^*icu^*

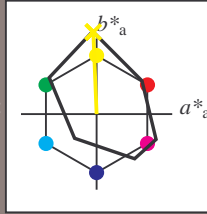
Buntontexte:

$u^*_e = j00g$ $u^*_d = o98y$

Kontrastreduzierungsfaktor:

$c_R = 1.0$

Dreiecks-Helligkeit t^*



FRS09_92aM; adaptierte CIELAB-Daten

u^*_e	$L^*=L^*_a$	a^*_a	b^*_a	$C^*_{ab,a}$	$h^*_{ab,a}$
O _{Ma}	35.06	60.0	44.0	74.4	36
Y _{Ma}	83.77	-5.17	109.32	109.44	93
L _{Ma}	44.13	-62.67	48.24	79.09	142
C _{Ma}	52.66	-29.14	-31.99	43.27	228
V _{Ma}	14.15	50.3	-59.04	77.57	310
M _{Ma}	37.37	78.64	-33.5	85.48	337
N _{Ma}	8.58	0.0	0.0	0.0	0
W _{Ma}	92.02	0.0	0.0	0.0	0
R _{Ma}	39.92	58.74	27.99	65.07	25
J _{Ma}	81.26	-2.89	71.56	71.62	92
G _{Ma}	52.23	-42.42	13.6	44.55	162
B _{Ma}	30.57	1.41	-46.47	46.49	272

Daten für Maximalfarbe (Ma):

$LAB^*LAB^*_{Ma}$: 83 -4 109

$LAB^*LCH^*_{Ma}$: 83 109 92

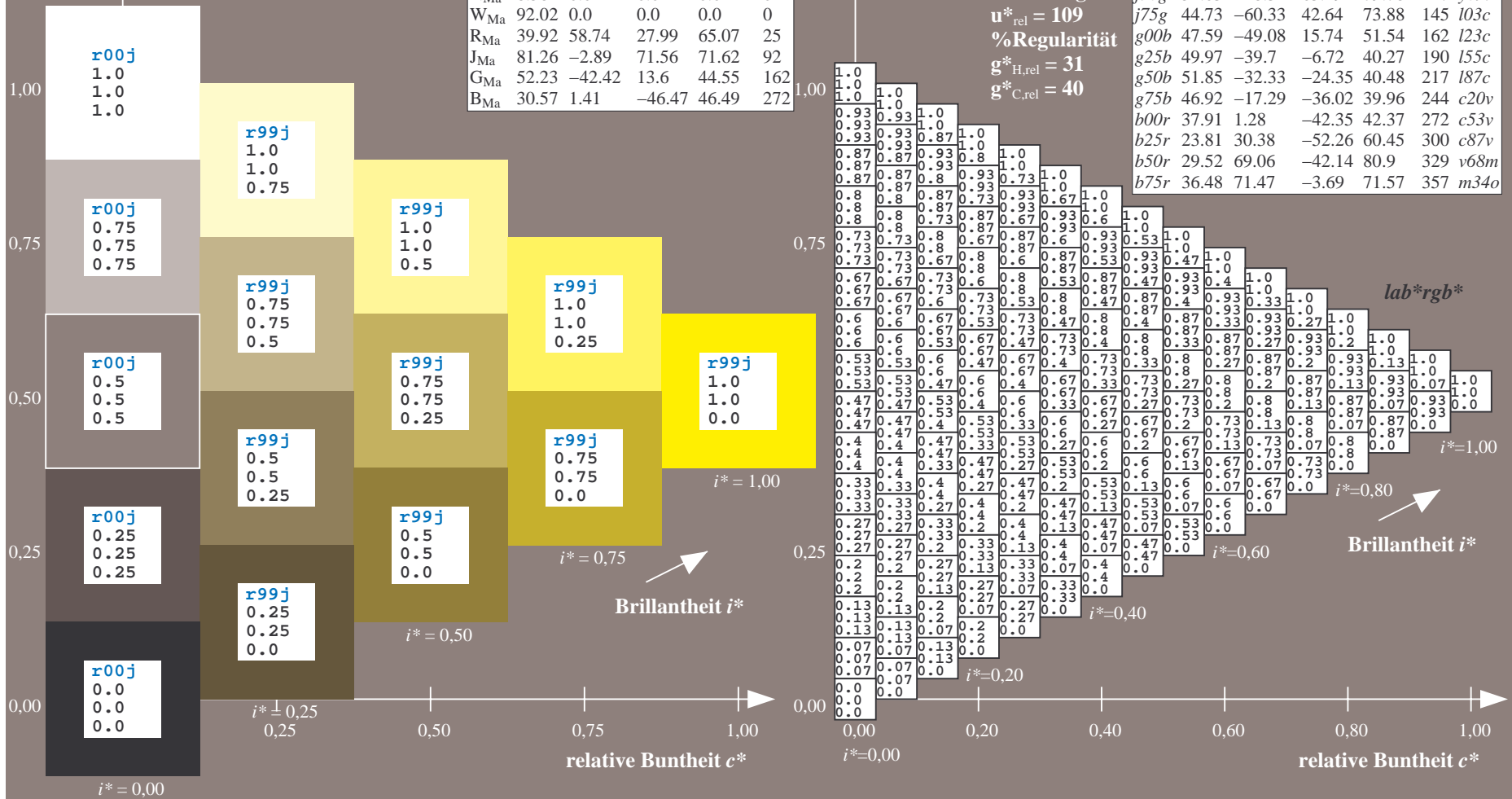
$lab^*rgb^*_{Ma}$: 1.0 1.0 0.0

$lab^*olv^*_{Ma}$: 1.0 0.99 0.0

Dreiecks-Helligkeit t^*

FRS09_92aM; adaptierte CIELAB-Daten

u^*_e	$L^*=L^*_a$	a^*_a	b^*_a	$C^*_{ab,a}$	$h^*_{ab,a}$	u^*_d
r00j	35.47	63.32	30.17	70.15	25	m81o
r25j	39.12	54.56	49.45	73.64	42	o10y
r50j	50.64	39.15	64.89	75.79	59	o40y
r75j	64.01	21.26	82.83	85.52	76	o69y
j00g	83.18	-4.38	108.53	108.62	92	o98y
j25g	66.73	-29.89	83.06	88.28	110	y34l
j50g	54.03	-48.31	63.49	79.78	127	y69l
j75g	44.73	-60.33	42.64	73.88	145	l03c
g00b	47.59	-49.08	15.74	51.54	162	i23c
g25b	49.97	-39.7	-6.72	40.27	190	i55c
g50b	51.85	-32.33	-24.35	40.48	217	i87c
g75b	46.92	-17.29	-36.02	39.96	244	c20v
b00r	37.91	1.28	-42.35	42.37	272	c53v
b25r	23.81	30.38	-52.26	60.45	300	c87v
b50r	29.52	69.06	-42.14	80.9	329	v68m
b75r	36.48	71.47	-3.69	71.57	357	m34o



Ein und Ausgabe: Farbmatisches Drucker-Reflektiv-System FRS09_92aM für relativen CIELAB-Bunton $h^* = lab^*h^* = h_{ab}/360 = 0.305$

$u^*_e = j25g$

Daten für jede Farbe:

lab^*ch^* und lab^*icu^*

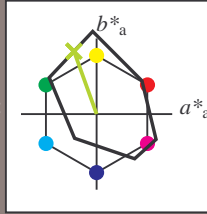
Buntontexte:

$u^*_e = j25g$ $u^*_d = y34l$

Kontrastreduzierungsfaktor:

$c_R = 1.0$

Dreiecks-Helligkeit t^*



FRS09_92aM; adaptierte CIELAB-Daten

u^*_e	$L^*=L^*_a$	a^*_a	b^*_a	$C^*_{ab,a}$	$h^*_{ab,a}$
O _{Ma}	35.06	60.0	44.0	74.4	36
Y _{Ma}	83.77	-5.17	109.32	109.44	93
L _{Ma}	44.13	-62.67	48.24	79.09	142
C _{Ma}	52.66	-29.14	-31.99	43.27	228
V _{Ma}	14.15	50.3	-59.04	77.57	310
M _{Ma}	37.37	78.64	-33.5	85.48	337
N _{Ma}	8.58	0.0	0.0	0.0	0
W _{Ma}	92.02	0.0	0.0	0.0	0
R _{Ma}	39.92	58.74	27.99	65.07	25
J _{Ma}	81.26	-2.89	71.56	71.62	92
G _{Ma}	52.23	-42.42	13.6	44.55	162
B _{Ma}	30.57	1.41	-46.47	46.49	272

Daten für Maximalfarbe (Ma):

$LAB^*LAB^*_{Ma}: 67 -30 83$

$LAB^*LCH^*_{Ma}: 67 88 109$

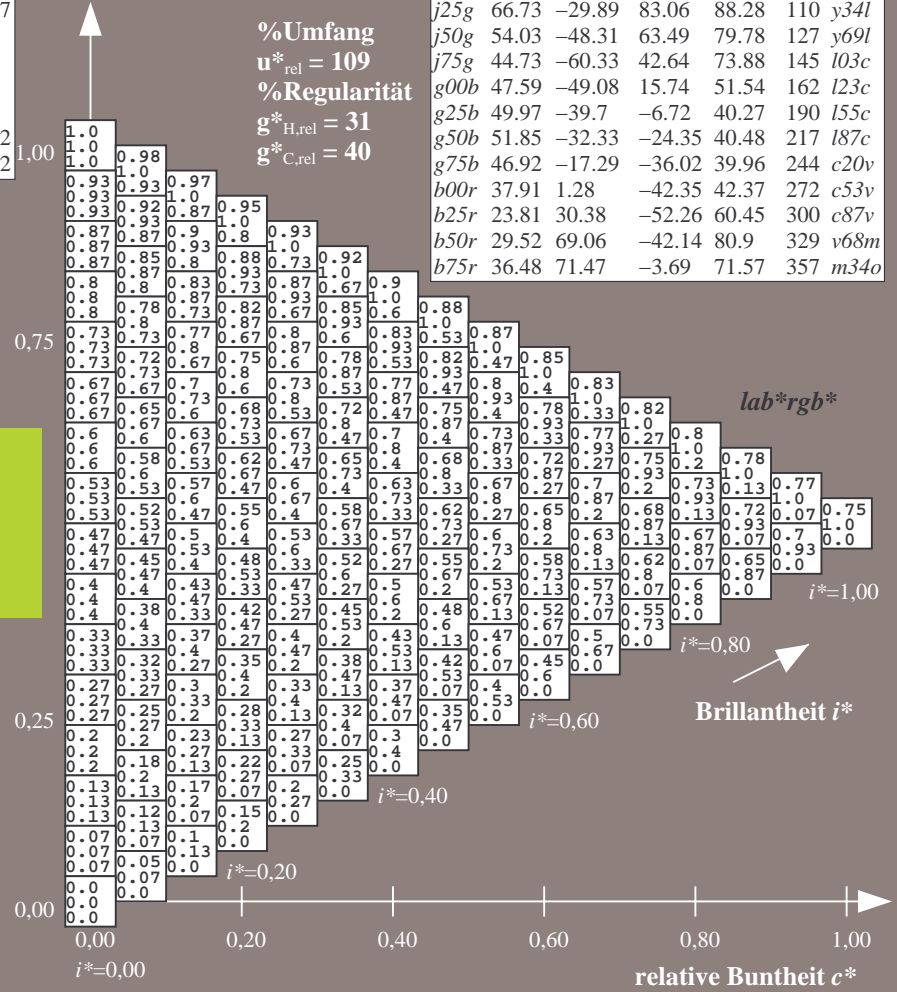
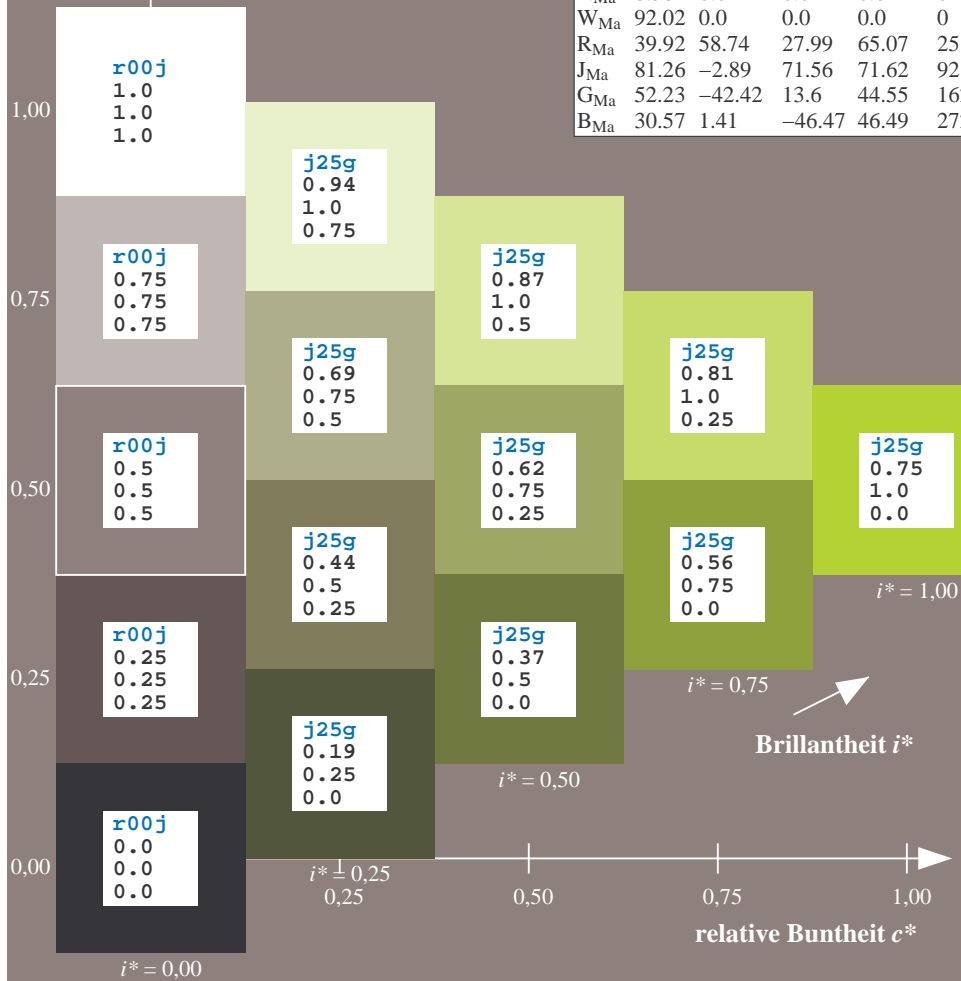
$lab^*rgb^*_{Ma}: 0.75 1.0 0.0$

$lab^*olv^*_{Ma}: 0.66 1.0 0.0$

Dreiecks-Helligkeit t^*

FRS09_92aM; adaptierte CIELAB-Daten

u^*_e	$L^*=L^*_a$	a^*_a	b^*_a	$C^*_{ab,a}$	$h^*_{ab,a}$	u^*_d
r00j	35.47	63.32	30.17	70.15	25	m81o
r25j	39.12	54.56	49.45	73.64	42	o10y
r50j	50.64	39.15	64.89	75.79	59	o40y
r75j	64.01	21.26	82.83	85.52	76	o69y
j00g	83.18	-4.38	108.53	108.62	92	o98y
j25g	66.73	-29.89	83.06	88.28	110	y34l
j50g	54.03	-48.31	63.49	79.78	127	y69l
j75g	44.73	-60.33	42.64	73.88	145	l03c
g00b	47.59	-49.08	15.74	51.54	162	i23c
g25b	49.97	-39.7	-6.72	40.27	190	i55c
g50b	51.85	-32.33	-24.35	40.48	217	i87c
g75b	46.92	-17.29	-36.02	39.96	244	c20v
b00r	37.91	1.28	-42.35	42.37	272	c53v
b25r	23.81	30.38	-52.26	60.45	300	c87v
b50r	29.52	69.06	-42.14	80.9	329	v68m
b75r	36.48	71.47	-3.69	71.57	357	m34o



Ein und Ausgabe: Farbmatisches Drucker-Reflektiv-System FRS09_92aM für relativen CIELAB-Bunton $h^* = lab^*h^* = h_{ab}/360 = 0.354$

$u^*_e = j50g$

Daten für jede Farbe:

lab^*ch^* und lab^*icu^*

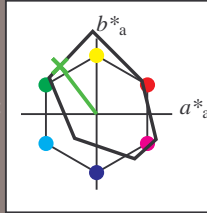
Buntontexte:

$u^*_e = j50g$ $u^*_d = y69l$

Kontrastreduzierungsfaktor:

$c_R = 1.0$

Dreiecks-Helligkeit t^*



FRS09_92aM; adaptierte CIELAB-Daten

u^*_e	$L^*=L^*_a$	a^*_a	b^*_a	$C^*_{ab,a}$	$h^*_{ab,a}$
O _{Ma}	35.06	60.0	44.0	74.4	36
Y _{Ma}	83.77	-5.17	109.32	109.44	93
L _{Ma}	44.13	-62.67	48.24	79.09	142
C _{Ma}	52.66	-29.14	-31.99	43.27	228
V _{Ma}	14.15	50.3	-59.04	77.57	310
M _{Ma}	37.37	78.64	-33.5	85.48	337
N _{Ma}	8.58	0.0	0.0	0.0	0
W _{Ma}	92.02	0.0	0.0	0.0	0
R _{Ma}	39.92	58.74	27.99	65.07	25
J _{Ma}	81.26	-2.89	71.56	71.62	92
G _{Ma}	52.23	-42.42	13.6	44.55	162
B _{Ma}	30.57	1.41	-46.47	46.49	272

Daten für Maximalfarbe (Ma):

$LAB^*LAB^*_{Ma}$: 54 -48 63

$LAB^*LCH^*_{Ma}$: 54 80 127

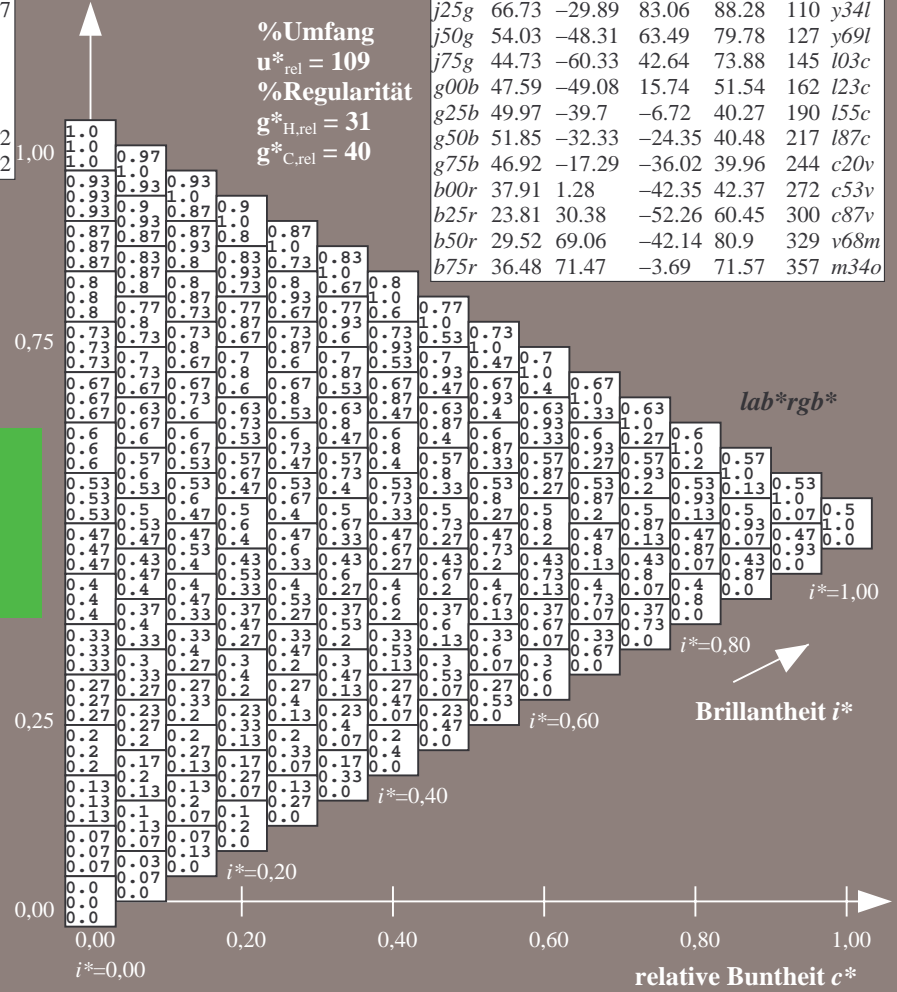
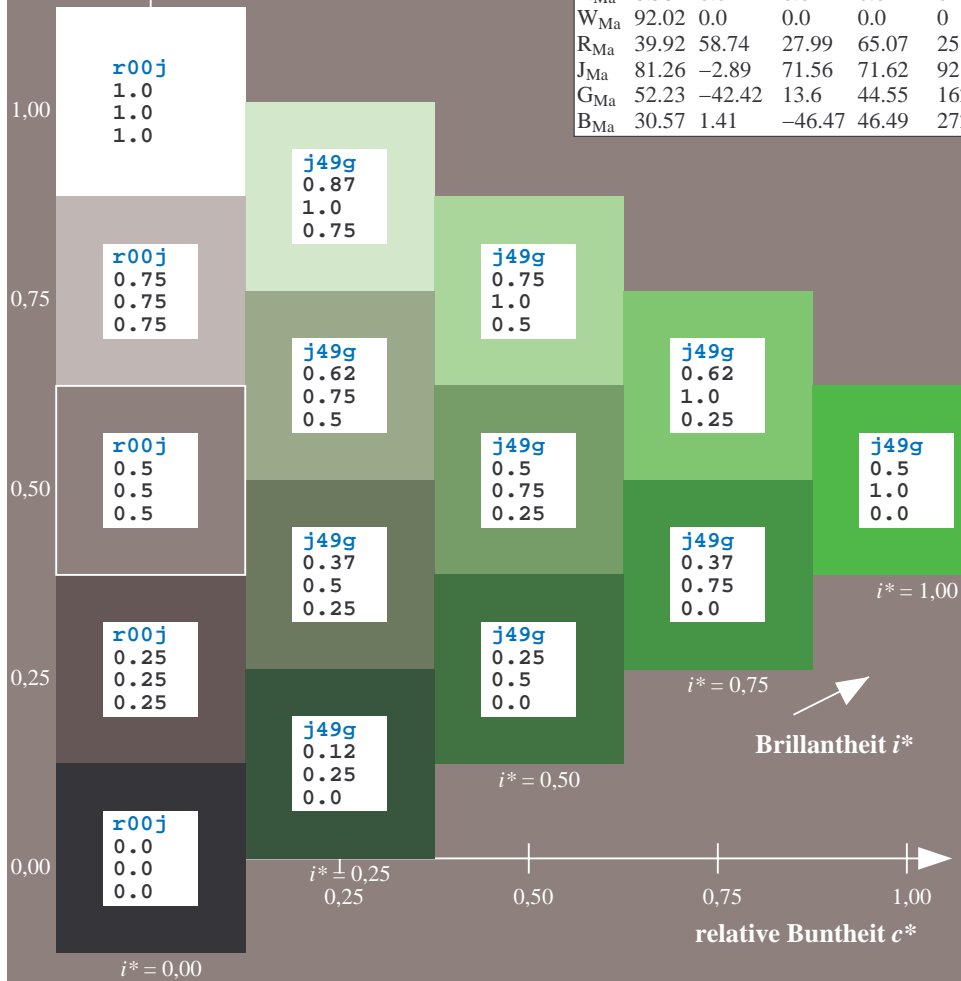
$lab^*rgb^*_{Ma}$: 0.5 1.0 0.0

$lab^*olv^*_{Ma}$: 0.3 1.0 0.0

Dreiecks-Helligkeit t^*

FRS09_92aM; adaptierte CIELAB-Daten

u^*_e	$L^*=L^*_a$	a^*_a	b^*_a	$C^*_{ab,a}$	$h^*_{ab,a}$	u^*_d
r00j	35.47	63.32	30.17	70.15	25	m81o
r25j	39.12	54.56	49.45	73.64	42	o10y
r50j	50.64	39.15	64.89	75.79	59	o40y
r75j	64.01	21.26	82.83	85.52	76	o69y
j00g	83.18	-4.38	108.53	108.62	92	o98y
j25g	66.73	-29.89	83.06	88.28	110	y34l
j50g	54.03	-48.31	63.49	79.78	127	y69l
j75g	44.73	-60.33	42.64	73.88	145	103c
g00b	47.59	-49.08	15.74	51.54	162	i23c
g25b	49.97	-39.7	-6.72	40.27	190	i55c
g50b	51.85	-32.33	-24.35	40.48	217	i87c
g75b	46.92	-17.29	-36.02	39.96	244	c20v
b00r	37.91	1.28	-42.35	42.37	272	c53v
b25r	23.81	30.38	-52.26	60.45	300	c87v
b50r	29.52	69.06	-42.14	80.9	329	v68m
b75r	36.48	71.47	-3.69	71.57	357	m34o



%Umfang
 $u^*_{rel} = 109$
%Regularität
 $g^*_{H,rel} = 31$
 $g^*_{C,rel} = 40$

Ein und Ausgabe: Farbmatisches Drucker-Reflektiv-System FRS09_92aM für relativen CIELAB-Bunton $h^* = lab^*h^* = h_{ab}/360 = 0.402$

$u^*_e = j75g$
 lab^*rgb^*

Daten für jede Farbe:

lab^*tch^* und lab^*icu^*

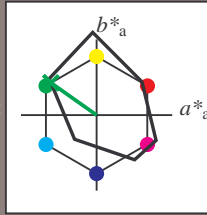
Buntontexte:

$u^*_e = j75g$ $u^*_d = l03c$

Kontrastreduzierungsfaktor:

$c_R = 1.0$

Dreiecks-Helligkeit t^*



FRS09_92aM; adaptierte CIELAB-Daten

u^*_e	$L^*=L^*_a$	a^*_a	b^*_a	$C^*_{ab,a}$	$h^*_{ab,a}$
O _{Ma}	35.06	60.0	44.0	74.4	36
Y _{Ma}	83.77	-5.17	109.32	109.44	93
L _{Ma}	44.13	-62.67	48.24	79.09	142
C _{Ma}	52.66	-29.14	-31.99	43.27	228
V _{Ma}	14.15	50.3	-59.04	77.57	310
M _{Ma}	37.37	78.64	-33.5	85.48	337
N _{Ma}	8.58	0.0	0.0	0.0	0
W _{Ma}	92.02	0.0	0.0	0.0	0
R _{Ma}	39.92	58.74	27.99	65.07	25
J _{Ma}	81.26	-2.89	71.56	71.62	92
G _{Ma}	52.23	-42.42	13.6	44.55	162
B _{Ma}	30.57	1.41	-46.47	46.49	272

Daten für Maximalfarbe (Ma):

$LAB^*LAB^*_{Ma}: 45 -60 43$

$LAB^*LCH^*_{Ma}: 45 74 144$

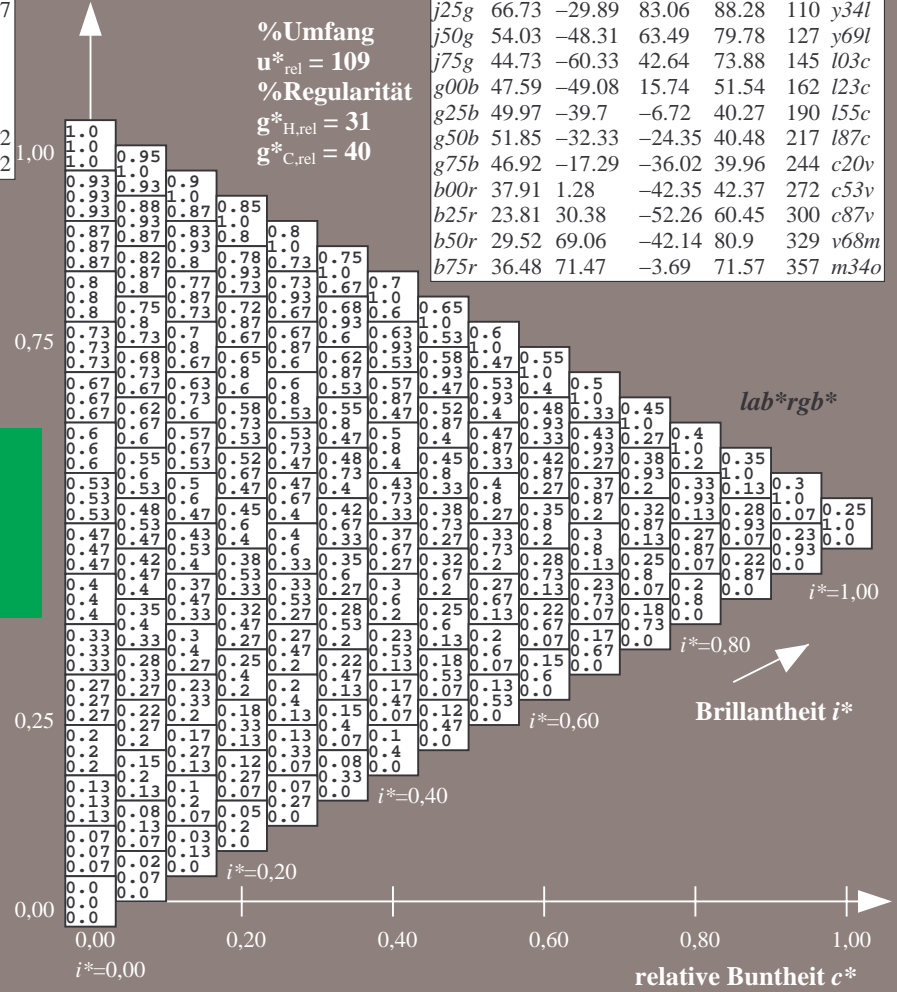
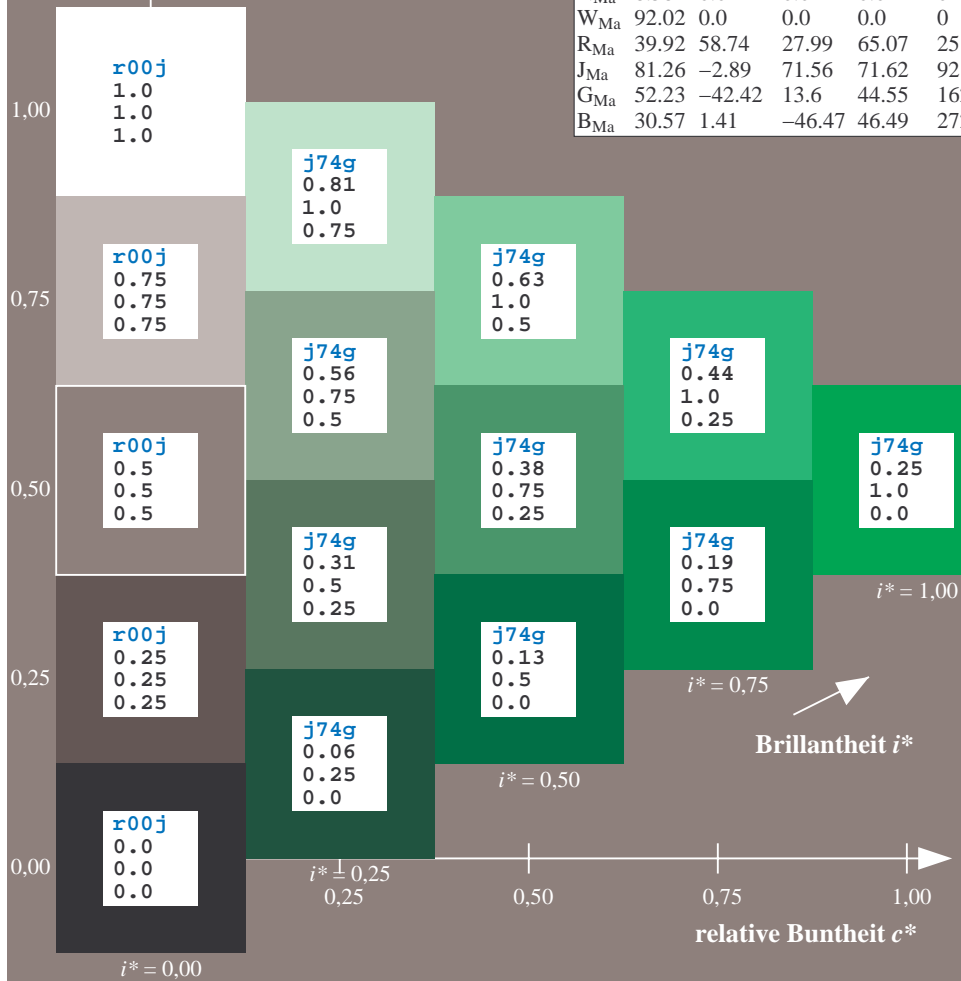
$lab^*rgb^*_{Ma}: 0.25 1.0 0.0$

$lab^*olv^*_{Ma}: 0.0 1.0 0.03$

Dreiecks-Helligkeit t^*

FRS09_92aM; adaptierte CIELAB-Daten

u^*_e	$L^*=L^*_a$	a^*_a	b^*_a	$C^*_{ab,a}$	$h^*_{ab,a}$	u^*_d
r00j	35.47	63.32	30.17	70.15	25	m81o
r25j	39.12	54.56	49.45	73.64	42	o10y
r50j	50.64	39.15	64.89	75.79	59	o40y
r75j	64.01	21.26	82.83	85.52	76	o69y
j00g	83.18	-4.38	108.53	108.62	92	o98y
j25g	66.73	-29.89	83.06	88.28	110	y34l
j50g	54.03	-48.31	63.49	79.78	127	y69l
j75g	44.73	-60.33	42.64	73.88	145	l03c
g00b	47.59	-49.08	15.74	51.54	162	l23c
g25b	49.97	-39.7	-6.72	40.27	190	l55c
g50b	51.85	-32.33	-24.35	40.48	217	l87c
g75b	46.92	-17.29	-36.02	39.96	244	c20v
b00r	37.91	1.28	-42.35	42.37	272	c53v
b25r	23.81	30.38	-52.26	60.45	300	c87v
b50r	29.52	69.06	-42.14	80.9	329	v68m
b75r	36.48	71.47	-3.69	71.57	357	m34o



%Umfang
 $u^*_{rel} = 109$
%Regularität
 $g^*_{H,rel} = 31$
 $g^*_{C,rel} = 40$

lab^*rgb^*

Brillanz i^*

$i^* = 1.00$

$i^* = 0.80$

$i^* = 0.60$

$i^* = 0.40$

$i^* = 0.20$

Ein und Ausgabe: Farbmatisches Drucker-Reflektiv-System FRS09_92aM für relativen CIELAB-Bunton $h^* = lab^*h^* = h_{ab}/360 = 0.451$

$u^*_e = g00b$

Daten für jede Farbe:

lab^*ch^* und lab^*icu^*

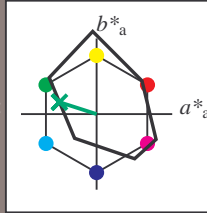
Buntontexte:

$u^*_e = g00b$ $u^*_d = l23c$

Kontrastreduzierungsfaktor:

$c_R = 1.0$

Dreiecks-Helligkeit t^*



FRS09_92aM; adaptierte CIELAB-Daten

u^*_e	$L^*=L^*_a$	a^*_a	b^*_a	$C^*_{ab,a}$	$h^*_{ab,a}$
O _{Ma}	35.06	60.0	44.0	74.4	36
Y _{Ma}	83.77	-5.17	109.32	109.44	93
L _{Ma}	44.13	-62.67	48.24	79.09	142
C _{Ma}	52.66	-29.14	-31.99	43.27	228
V _{Ma}	14.15	50.3	-59.04	77.57	310
M _{Ma}	37.37	78.64	-33.5	85.48	337
N _{Ma}	8.58	0.0	0.0	0.0	0
W _{Ma}	92.02	0.0	0.0	0.0	0
R _{Ma}	39.92	58.74	27.99	65.07	25
J _{Ma}	81.26	-2.89	71.56	71.62	92
G _{Ma}	52.23	-42.42	13.6	44.55	162
B _{Ma}	30.57	1.41	-46.47	46.49	272

Daten für Maximalfarbe (Ma):

$LAB^*LAB^*_{Ma}$: 48 -49 16

$LAB^*LCH^*_{Ma}$: 48 52 162

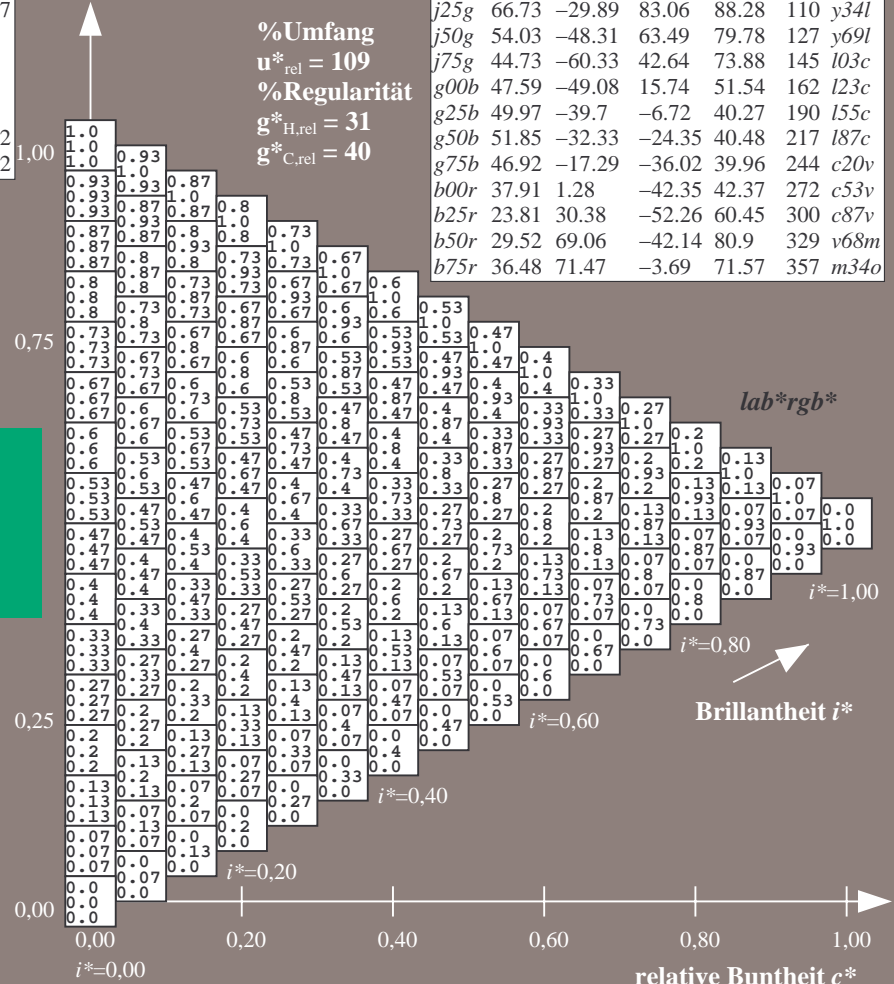
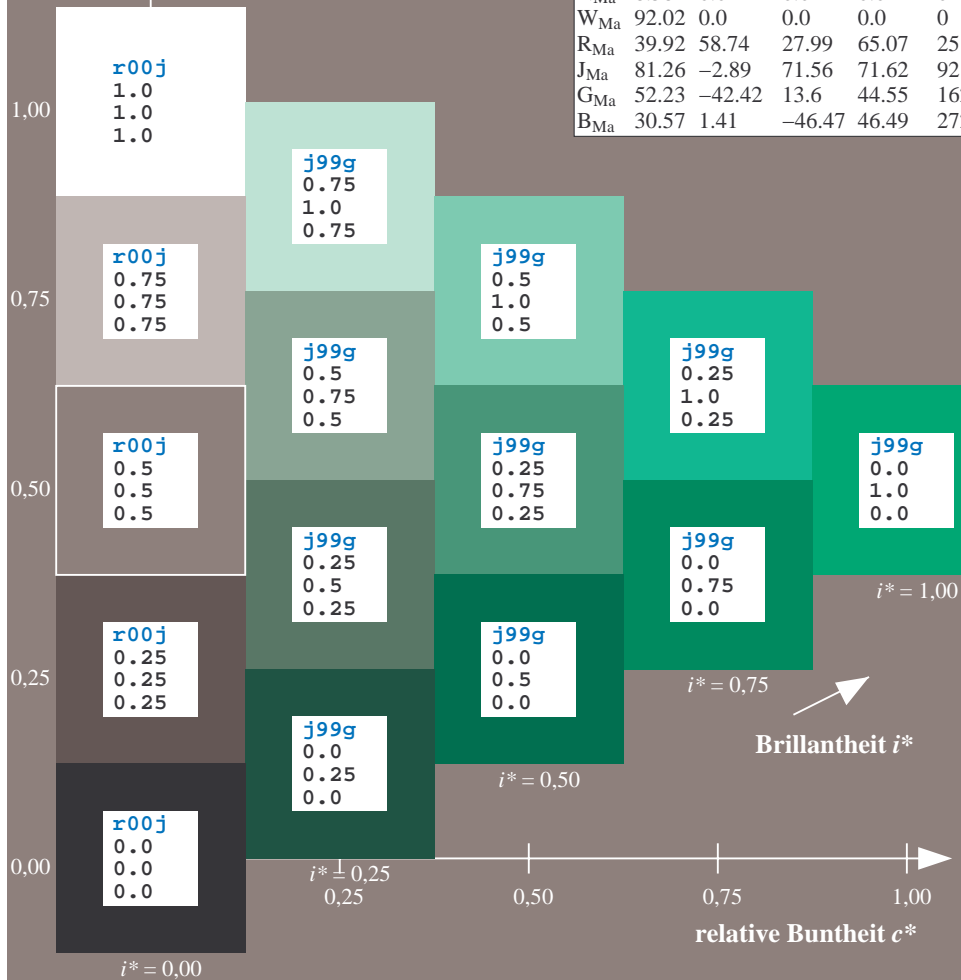
$lab^*rgb^*_{Ma}$: 0.0 1.0 0.0

$lab^*olv^*_{Ma}$: 0.0 1.0 0.23

Dreiecks-Helligkeit t^*

FRS09_92aM; adaptierte CIELAB-Daten

u^*_e	$L^*=L^*_a$	a^*_a	b^*_a	$C^*_{ab,a}$	$h^*_{ab,a}$	u^*_d
r00j	35.47	63.32	30.17	70.15	25	m81o
r25j	39.12	54.56	49.45	73.64	42	o10y
r50j	50.64	39.15	64.89	75.79	59	o40y
r75j	64.01	21.26	82.83	85.52	76	o69y
j00g	83.18	-4.38	108.53	108.62	92	o98y
j25g	66.73	-29.89	83.06	88.28	110	y34l
j50g	54.03	-48.31	63.49	79.78	127	y69l
j75g	44.73	-60.33	42.64	73.88	145	i03c
g00b	47.59	-49.08	15.74	51.54	162	l23c
g25b	49.97	-39.7	-6.72	40.27	190	i55c
g50b	51.85	-32.33	-24.35	40.48	217	i87c
g75b	46.92	-17.29	-36.02	39.96	244	c20v
b00r	37.91	1.28	-42.35	42.37	272	c53v
b25r	23.81	30.38	-52.26	60.45	300	c87v
b50r	29.52	69.06	-42.14	80.9	329	v68m
b75r	36.48	71.47	-3.69	71.57	357	m34o



%Umfang
 $u^*_{rel} = 109$
%Regularität
 $g^*_{H,rel} = 31$
 $g^*_{C,rel} = 40$

lab^*rgb^*

Brillantheit i^*

relative Buntheit c^*

relative Buntheit c^*

Ein und Ausgabe: Farbmatisches Drucker-Reflektiv-System FRS09_92aM für relativen CIELAB-Bunton $h^* = lab^*h^* = h_{ab}/360 = 0.527$

Daten für jede Farbe:

lab^*ch^* und lab^*icu^*

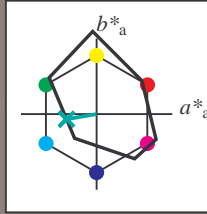
Buntontexte:

$u^*_e = g25b$ $u^*_d = l55c$

Kontrastreduzierungsfaktor:

$c_R = 1.0$

Dreiecks-Helligkeit t^*



FRS09_92aM; adaptierte CIELAB-Daten

u^*_e	$L^*=L^*_a$	a^*_a	b^*_a	$C^*_{ab,a}$	$h^*_{ab,a}$
O _{Ma}	35.06	60.0	44.0	74.4	36
Y _{Ma}	83.77	-5.17	109.32	109.44	93
L _{Ma}	44.13	-62.67	48.24	79.09	142
C _{Ma}	52.66	-29.14	-31.99	43.27	228
V _{Ma}	14.15	50.3	-59.04	77.57	310
M _{Ma}	37.37	78.64	-33.5	85.48	337
N _{Ma}	8.58	0.0	0.0	0.0	0
W _{Ma}	92.02	0.0	0.0	0.0	0
R _{Ma}	39.92	58.74	27.99	65.07	25
J _{Ma}	81.26	-2.89	71.56	71.62	92
G _{Ma}	52.23	-42.42	13.6	44.55	162
B _{Ma}	30.57	1.41	-46.47	46.49	272

Daten für Maximalfarbe (Ma):

$LAB^*LAB^*_{Ma}$: 50 -40 -7

$LAB^*LCH^*_{Ma}$: 50 40 189

$lab^*rgb^*_{Ma}$: 0.0 1.0 0.5

$lab^*olv^*_{Ma}$: 0.0 1.0 0.55

Dreiecks-Helligkeit t^*

%Umfang

$u^*_{rel} = 109$

%Regularität

$g^*_{H,rel} = 31$

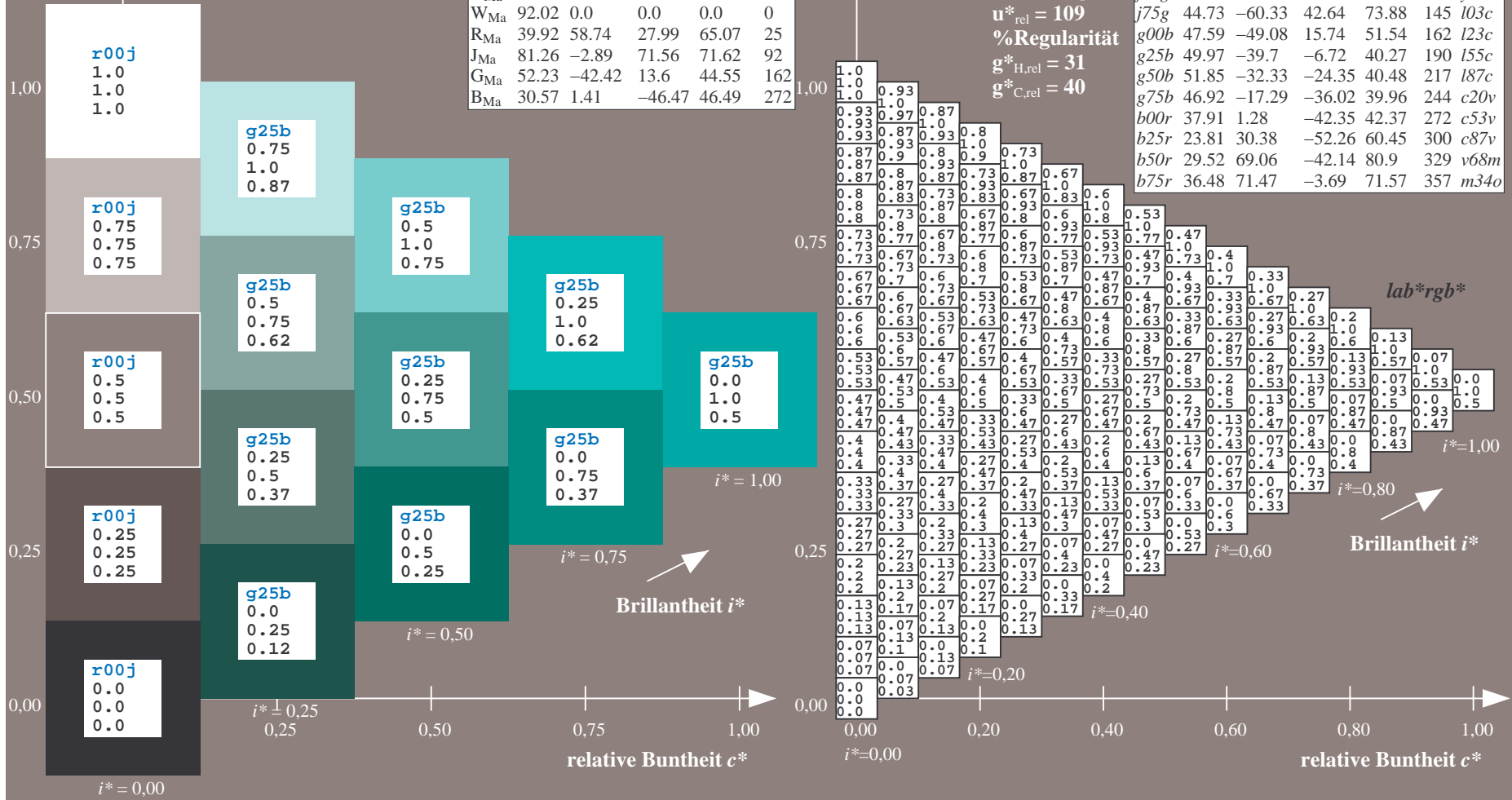
$g^*_{C,rel} = 40$

$u^*_e = g25b$

lab^*rgb^*

FRS09_92aM; adaptierte CIELAB-Daten

u^*_e	$L^*=L^*_a$	a^*_a	b^*_a	$C^*_{ab,a}$	$h^*_{ab,a}$	u^*_d
r00j	35.47	63.32	30.17	70.15	25	m81o
r25j	39.12	54.56	49.45	73.64	42	o10y
r50j	50.64	39.15	64.89	75.79	59	o40y
r75j	64.01	21.26	82.83	85.52	76	o69y
j00g	83.18	-4.38	108.53	108.62	92	o98y
j25g	66.73	-29.89	83.06	88.28	110	y34l
j50g	54.03	-48.31	63.49	79.78	127	y69l
j75g	44.73	-60.33	42.64	73.88	145	l03c
g00b	47.59	-49.08	15.74	51.54	162	i23c
g25b	49.97	-39.7	-6.72	40.27	190	i55c
g50b	51.85	-32.33	-24.35	40.48	217	i87c
g75b	46.92	-17.29	-36.02	39.96	244	c20v
b00r	37.91	1.28	-42.35	42.37	272	c53v
b25r	23.81	30.38	-52.26	60.45	300	c87v
b50r	29.52	69.06	-42.14	80.9	329	v68m
b75r	36.48	71.47	-3.69	71.57	357	m34o



Ein und Ausgabe: Farbmatisches Drucker-Reflektiv-System FRS09_92aM für relativen CIELAB-Bunton $h^* = lab^*h^* = h_{ab}/360 = 0.603$

$u^*_e = g50b$

Daten für jede Farbe:

lab^*ch^* und lab^*icu^*

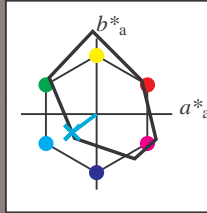
Buntontexte:

$u^*_e = g50b$ $u^*_d = l87c$

Kontrastreduzierungsfaktor:

$c_R = 1.0$

Dreiecks-Helligkeit t^*



FRS09_92aM; adaptierte CIELAB-Daten

u^*_e	$L^*=L^*_a$	a^*_a	b^*_a	$C^*_{ab,a}$	$h^*_{ab,a}$
O _{Ma}	35.06	60.0	44.0	74.4	36
Y _{Ma}	83.77	-5.17	109.32	109.44	93
L _{Ma}	44.13	-62.67	48.24	79.09	142
C _{Ma}	52.66	-29.14	-31.99	43.27	228
V _{Ma}	14.15	50.3	-59.04	77.57	310
M _{Ma}	37.37	78.64	-33.5	85.48	337
N _{Ma}	8.58	0.0	0.0	0.0	0
W _{Ma}	92.02	0.0	0.0	0.0	0
R _{Ma}	39.92	58.74	27.99	65.07	25
J _{Ma}	81.26	-2.89	71.56	71.62	92
G _{Ma}	52.23	-42.42	13.6	44.55	162
B _{Ma}	30.57	1.41	-46.47	46.49	272

Daten für Maximalfarbe (Ma):

$LAB^*LAB^*_{Ma}: 52 -32 -24$

$LAB^*LCH^*_{Ma}: 52 40 216$

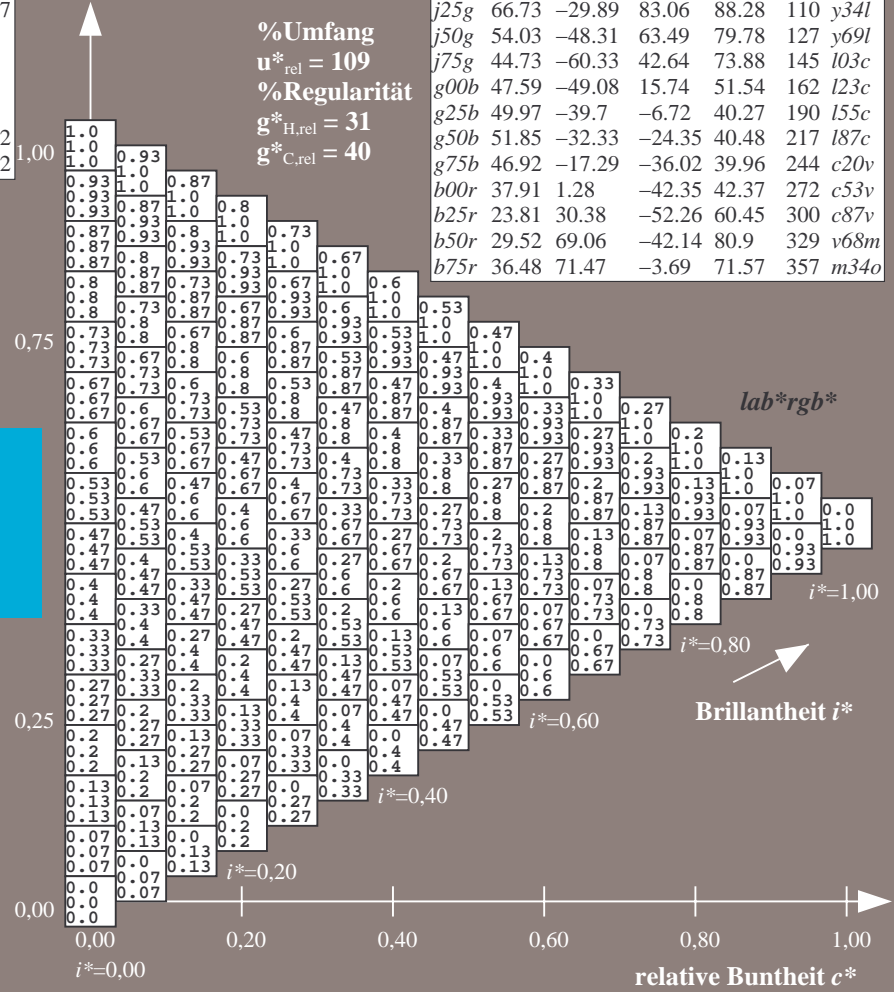
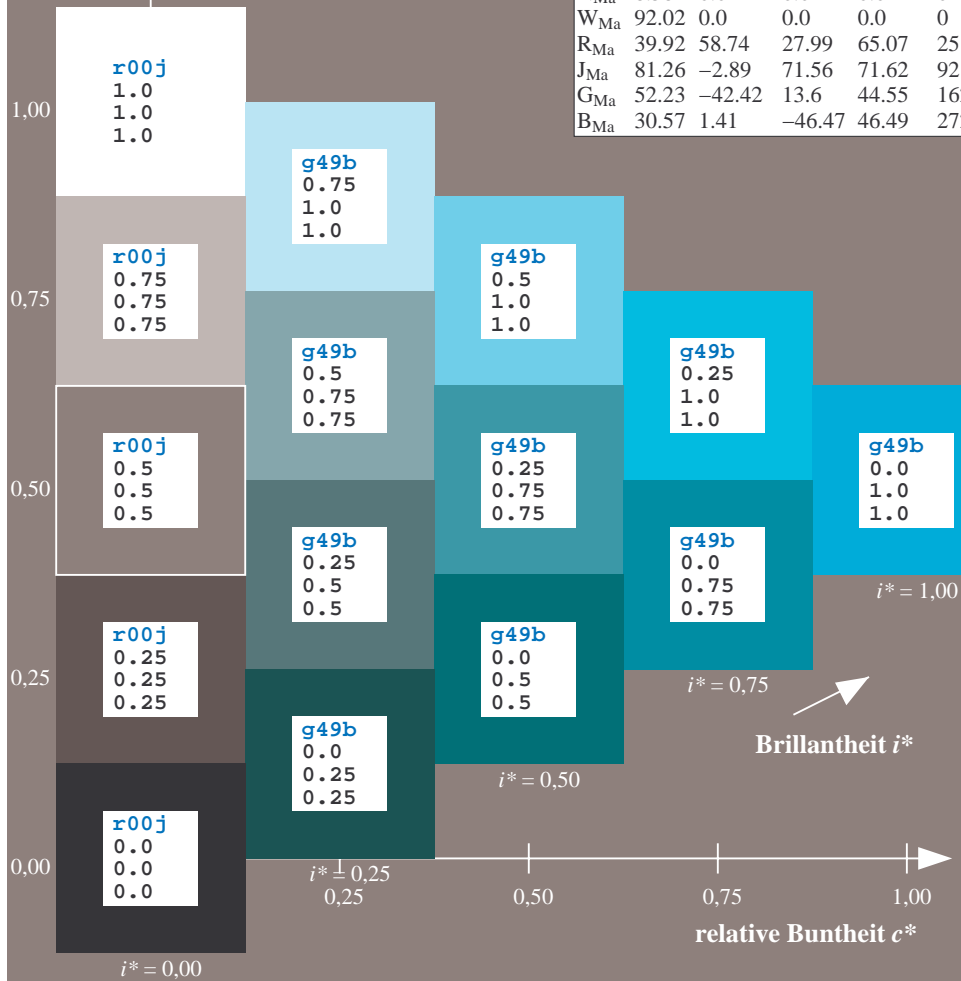
$lab^*rgb^*_{Ma}: 0.0 1.0 1.0$

$lab^*olv^*_{Ma}: 0.0 1.0 0.87$

Dreiecks-Helligkeit t^*

FRS09_92aM; adaptierte CIELAB-Daten

u^*_e	$L^*=L^*_a$	a^*_a	b^*_a	$C^*_{ab,a}$	$h^*_{ab,a}$	u^*_d
r00j	35.47	63.32	30.17	70.15	25	m81o
r25j	39.12	54.56	49.45	73.64	42	o10y
r50j	50.64	39.15	64.89	75.79	59	o40y
r75j	64.01	21.26	82.83	85.52	76	o69y
j00g	83.18	-4.38	108.53	108.62	92	o98y
j25g	66.73	-29.89	83.06	88.28	110	y34l
j50g	54.03	-48.31	63.49	79.78	127	y69l
j75g	44.73	-60.33	42.64	73.88	145	103c
g00b	47.59	-49.08	15.74	51.54	162	l23c
g25b	49.97	-39.7	-6.72	40.27	190	l55c
g50b	51.85	-32.33	-24.35	40.48	217	l87c
g75b	46.92	-17.29	-36.02	39.96	244	c20v
b00r	37.91	1.28	-42.35	42.37	272	c53v
b25r	23.81	30.38	-52.26	60.45	300	c87v
b50r	29.52	69.06	-42.14	80.9	329	v68m
b75r	36.48	71.47	-3.69	71.57	357	m34o



Ein und Ausgabe: Farbmatisches Drucker-Reflektiv-System FRS09_92aM für relativen CIELAB-Bunton $h^* = lab^*h^* = h_{ab}/360 = 0.679$

Daten für jede Farbe:

lab^*ch^* und lab^*icu^*

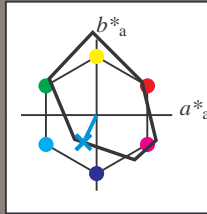
Buntontexte:

$u^*_e = g75b$ $u^*_d = c20v$

Kontrastreduzierungsfaktor:

$c_R = 1.0$

Dreiecks-Helligkeit t^*



FRS09_92aM; adaptierte CIELAB-Daten

u^*_e	$L^*=L^*_a$	a^*_a	b^*_a	$C^*_{ab,a}$	$h^*_{ab,a}$
O _{Ma}	35.06	60.0	44.0	74.4	36
Y _{Ma}	83.77	-5.17	109.32	109.44	93
L _{Ma}	44.13	-62.67	48.24	79.09	142
C _{Ma}	52.66	-29.14	-31.99	43.27	228
V _{Ma}	14.15	50.3	-59.04	77.57	310
M _{Ma}	37.37	78.64	-33.5	85.48	337
N _{Ma}	8.58	0.0	0.0	0.0	0
W _{Ma}	92.02	0.0	0.0	0.0	0
R _{Ma}	39.92	58.74	27.99	65.07	25
J _{Ma}	81.26	-2.89	71.56	71.62	92
G _{Ma}	52.23	-42.42	13.6	44.55	162
B _{Ma}	30.57	1.41	-46.47	46.49	272

Daten für Maximalfarbe (Ma):

$LAB^*LAB^*_{Ma}$: 47 -17 -36

$LAB^*LCH^*_{Ma}$: 47 40 244

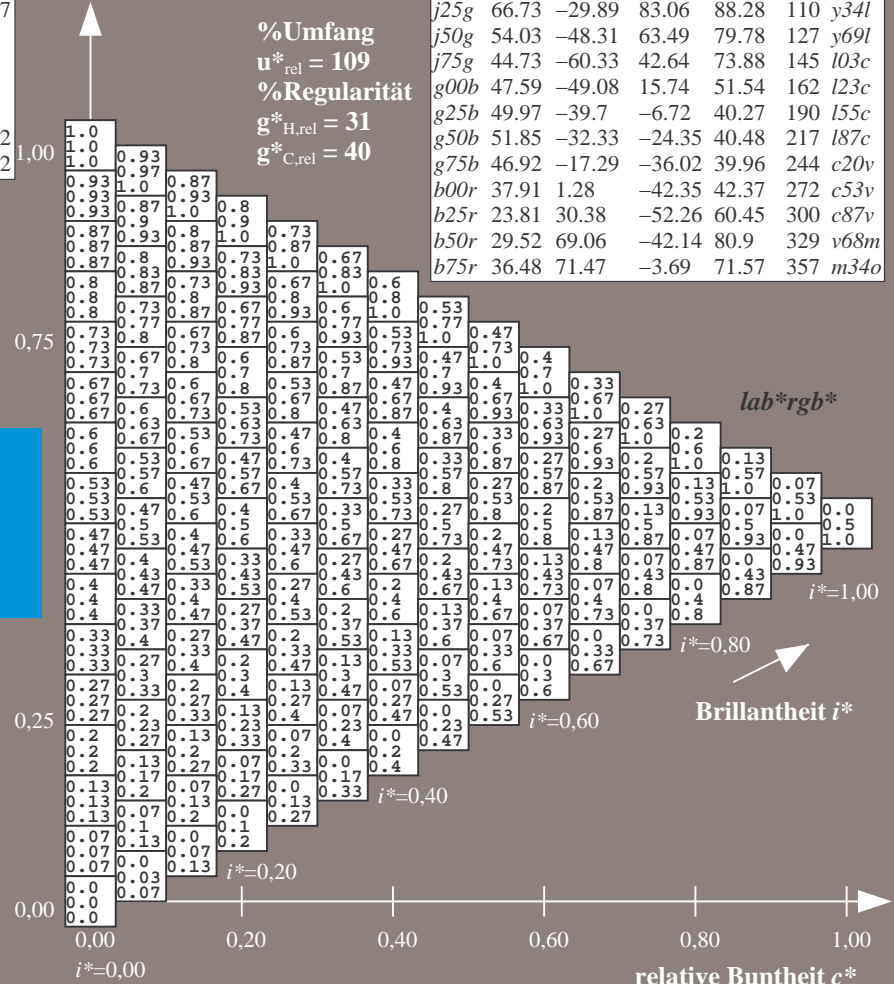
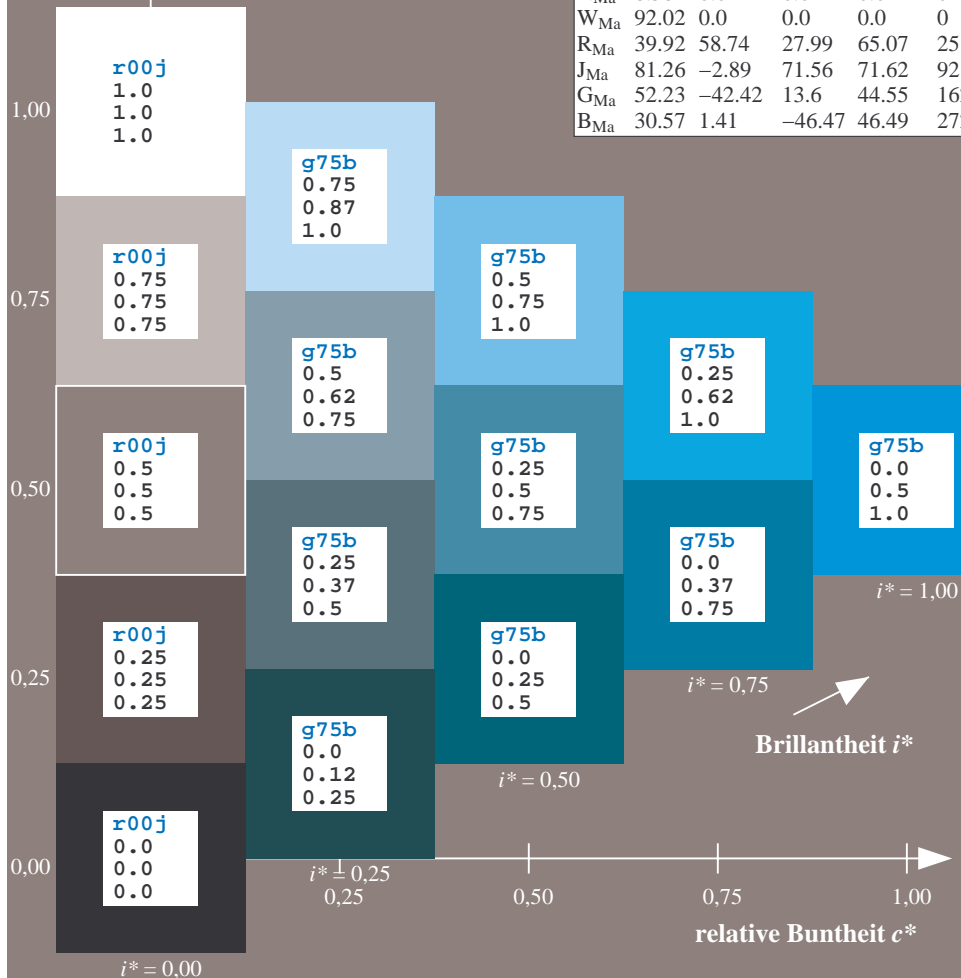
$lab^*rgb^*_{Ma}$: 0.0 0.5 1.0

$lab^*olv^*_{Ma}$: 0.0 0.8 1.0

Dreiecks-Helligkeit t^*

FRS09_92aM; adaptierte CIELAB-Daten

u^*_e	$L^*=L^*_a$	a^*_a	b^*_a	$C^*_{ab,a}$	$h^*_{ab,a}$	u^*_d
r00j	35.47	63.32	30.17	70.15	25	m81o
r25j	39.12	54.56	49.45	73.64	42	o10y
r50j	50.64	39.15	64.89	75.79	59	o40y
r75j	64.01	21.26	82.83	85.52	76	o69y
j00g	83.18	-4.38	108.53	108.62	92	o98y
j25g	66.73	-29.89	83.06	88.28	110	y34l
j50g	54.03	-48.31	63.49	79.78	127	y69l
j75g	44.73	-60.33	42.64	73.88	145	103c
g00b	47.59	-49.08	15.74	51.54	162	i23c
g25b	49.97	-39.7	-6.72	40.27	190	i55c
g50b	51.85	-32.33	-24.35	40.48	217	i87c
g75b	46.92	-17.29	-36.02	39.96	244	c20v
b00r	37.91	1.28	-42.35	42.37	272	c53v
b25r	23.81	30.38	-52.26	60.45	300	c87v
b50r	29.52	69.06	-42.14	80.9	329	v68m
b75r	36.48	71.47	-3.69	71.57	357	m34o



%Umfang
 $u^*_{rel} = 109$
 %Regularität
 $g^*_{H,rel} = 31$
 $g^*_{C,rel} = 40$

Brillantheit i^*

$i^* = 1.00$

$i^* = 0.80$

$i^* = 0.60$

$i^* = 0.40$

$i^* = 0.20$

$i^* = 0.00$

Ein und Ausgabe: Farbmatisches Drucker-Reflektiv-System FRS09_92aM für relativen CIELAB-Bunton $h^* = lab^*h^* = h_{ab}/360 = 0.755$

$u^*_e = b00r$

Daten für jede Farbe:

lab^*ch^* und lab^*icu^*

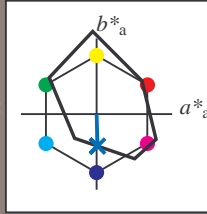
Buntontexte:

$u^*_e = b00r$ $u^*_d = c53v$

Kontrastreduzierungsfaktor:

$c_R = 1.0$

Dreiecks-Helligkeit t^*



FRS09_92aM; adaptierte CIELAB-Daten

u^*_e	$L^*=L^*_a$	a^*_a	b^*_a	$C^*_{ab,a}$	$h^*_{ab,a}$
O _{Ma}	35.06	60.0	44.0	74.4	36
Y _{Ma}	83.77	-5.17	109.32	109.44	93
L _{Ma}	44.13	-62.67	48.24	79.09	142
C _{Ma}	52.66	-29.14	-31.99	43.27	228
V _{Ma}	14.15	50.3	-59.04	77.57	310
M _{Ma}	37.37	78.64	-33.5	85.48	337
N _{Ma}	8.58	0.0	0.0	0.0	0
W _{Ma}	92.02	0.0	0.0	0.0	0
R _{Ma}	39.92	58.74	27.99	65.07	25
J _{Ma}	81.26	-2.89	71.56	71.62	92
G _{Ma}	52.23	-42.42	13.6	44.55	162
B _{Ma}	30.57	1.41	-46.47	46.49	272

Daten für Maximalfarbe (Ma):

$LAB^*LAB^*_{Ma}$: 38 1 -42

$LAB^*LCH^*_{Ma}$: 38 42 271

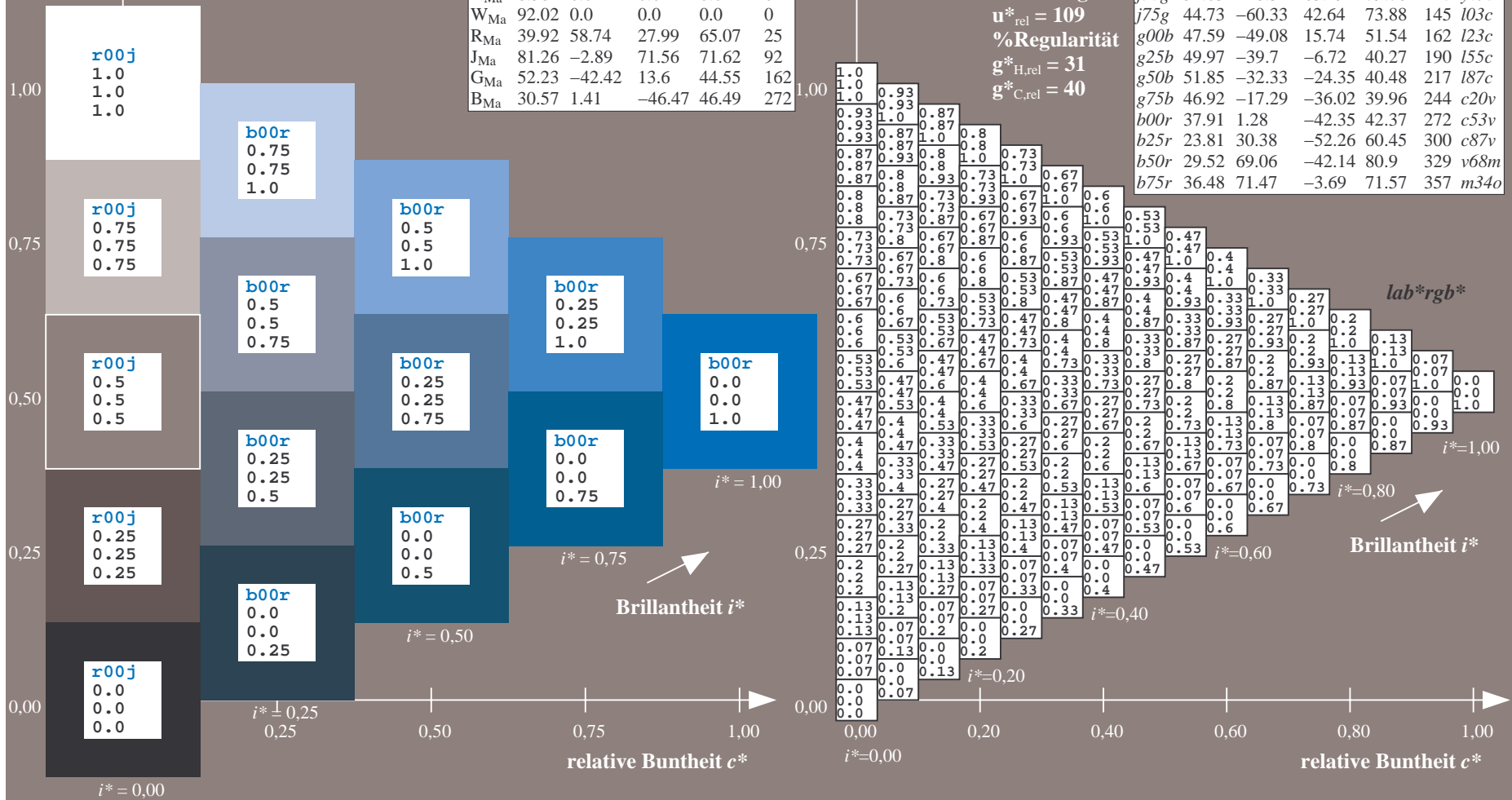
$lab^*rgb^*_{Ma}$: 0.0 0.0 1.0

$lab^*olv^*_{Ma}$: 0.0 0.47 1.0

Dreiecks-Helligkeit t^*

FRS09_92aM; adaptierte CIELAB-Daten

u^*_e	$L^*=L^*_a$	a^*_a	b^*_a	$C^*_{ab,a}$	$h^*_{ab,a}$	u^*_d
r00j	35.47	63.32	30.17	70.15	25	m81o
r25j	39.12	54.56	49.45	73.64	42	o10y
r50j	50.64	39.15	64.89	75.79	59	o40y
r75j	64.01	21.26	82.83	85.52	76	o69y
j00g	83.18	-4.38	108.53	108.62	92	o98y
j25g	66.73	-29.89	83.06	88.28	110	y34l
j50g	54.03	-48.31	63.49	79.78	127	y69l
j75g	44.73	-60.33	42.64	73.88	145	103c
g00b	47.59	-49.08	15.74	51.54	162	l23c
g25b	49.97	-39.7	-6.72	40.27	190	l55c
g50b	51.85	-32.33	-24.35	40.48	217	l87c
g75b	46.92	-17.29	-36.02	39.96	244	c20v
b00r	37.91	1.28	-42.35	42.37	272	c53v
b25r	23.81	30.38	-52.26	60.45	300	c87v
b50r	29.52	69.06	-42.14	80.9	329	v68m
b75r	36.48	71.47	-3.69	71.57	357	m34o



Ein und Ausgabe: Farbmetrisches Drucker-Reflektiv-System FRS09_92aM für relativen CIELAB-Bunton $h^* = lab^*h^* = h_{ab}/360 = 0.834$

$u^*_e = b25r$

Daten für jede Farbe:

lab^*ch^* und lab^*icu^*

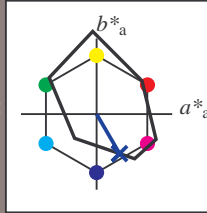
Buntontexte:

$u^*_e = b25r$ $u^*_d = c87v$

Kontrastreduzierungsfaktor:

$c_R = 1.0$

Dreiecks-Helligkeit t^*



FRS09_92aM; adaptierte CIELAB-Daten

u^*_e	$L^*=L^*_a$	a^*_a	b^*_a	$C^*_{ab,a}$	$h^*_{ab,a}$
O _{Ma}	35.06	60.0	44.0	74.4	36
Y _{Ma}	83.77	-5.17	109.32	109.44	93
L _{Ma}	44.13	-62.67	48.24	79.09	142
C _{Ma}	52.66	-29.14	-31.99	43.27	228
V _{Ma}	14.15	50.3	-59.04	77.57	310
M _{Ma}	37.37	78.64	-33.5	85.48	337
N _{Ma}	8.58	0.0	0.0	0.0	0
W _{Ma}	92.02	0.0	0.0	0.0	0
R _{Ma}	39.92	58.74	27.99	65.07	25
J _{Ma}	81.26	-2.89	71.56	71.62	92
G _{Ma}	52.23	-42.42	13.6	44.55	162
B _{Ma}	30.57	1.41	-46.47	46.49	272

Daten für Maximalfarbe (Ma):

$LAB^*LAB^*_{Ma}$: 24 30 -52

$LAB^*LCH^*_{Ma}$: 24 60 300

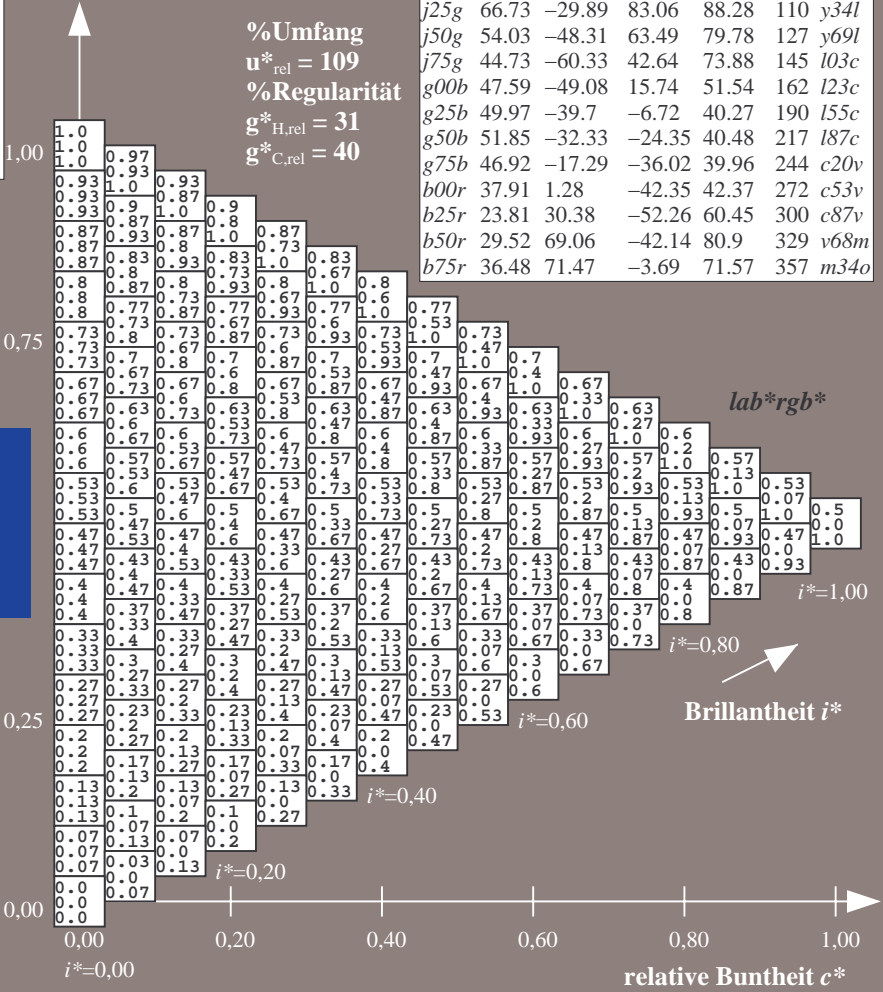
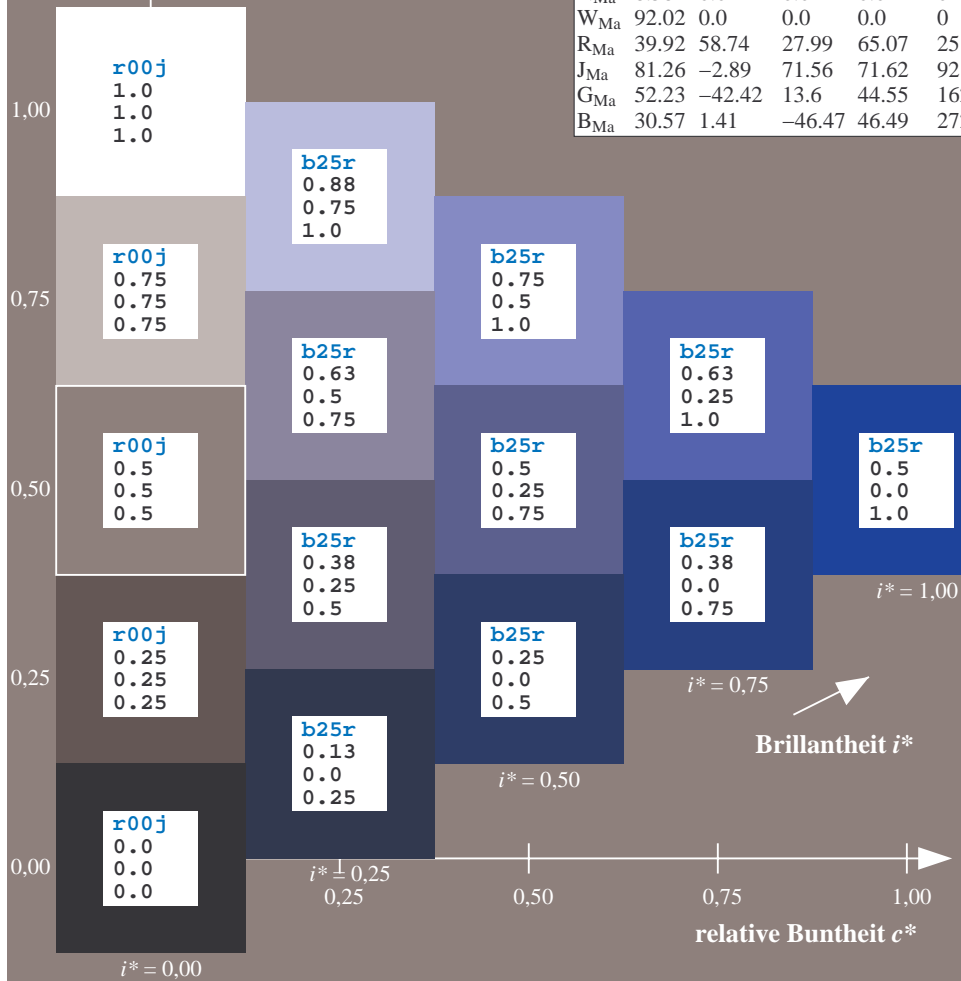
$lab^*rgb^*_{Ma}$: 0.5 0.0 1.0

$lab^*olv^*_{Ma}$: 0.0 0.12 1.0

Dreiecks-Helligkeit t^*

FRS09_92aM; adaptierte CIELAB-Daten

u^*_e	$L^*=L^*_a$	a^*_a	b^*_a	$C^*_{ab,a}$	$h^*_{ab,a}$	u^*_d
r00j	35.47	63.32	30.17	70.15	25	m81o
r25j	39.12	54.56	49.45	73.64	42	o10y
r50j	50.64	39.15	64.89	75.79	59	o40y
r75j	64.01	21.26	82.83	85.52	76	o69y
j00g	83.18	-4.38	108.53	108.62	92	o98y
j25g	66.73	-29.89	83.06	88.28	110	y34l
j50g	54.03	-48.31	63.49	79.78	127	y69l
j75g	44.73	-60.33	42.64	73.88	145	103c
g00b	47.59	-49.08	15.74	51.54	162	i23c
g25b	49.97	-39.7	-6.72	40.27	190	i55c
g50b	51.85	-32.33	-24.35	40.48	217	i87c
g75b	46.92	-17.29	-36.02	39.96	244	c20v
b00r	37.91	1.28	-42.35	42.37	272	c53v
b25r	23.81	30.38	-52.26	60.45	300	c87v
b50r	29.52	69.06	-42.14	80.9	329	v68m
b75r	36.48	71.47	-3.69	71.57	357	m34o



%Umfang
 $u^*_{rel} = 109$
 %Regularität
 $g^*_{H,rel} = 31$
 $g^*_{C,rel} = 40$

Ein und Ausgabe: Farbmatisches Drucker-Reflektiv-System FRS09_92aM für relativen CIELAB-Bunton $h^* = lab^*h^* = h_{ab}/360 = 0.913$

$u^*_e = b50r$

Daten für jede Farbe:

lab^*ch^* und lab^*icu^*

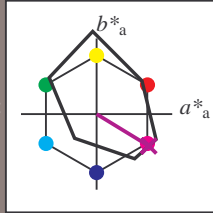
Buntontexte:

$u^*_e = b50r$ $u^*_d = v68m$

Kontrastreduzierungsfaktor:

$c_R = 1.0$

Dreiecks-Helligkeit t^*



FRS09_92aM; adaptierte CIELAB-Daten

u^*_e	$L^*=L^*_a$	a^*_a	b^*_a	$C^*_{ab,a}$	$h^*_{ab,a}$
O _{Ma}	35.06	60.0	44.0	74.4	36
Y _{Ma}	83.77	-5.17	109.32	109.44	93
L _{Ma}	44.13	-62.67	48.24	79.09	142
C _{Ma}	52.66	-29.14	-31.99	43.27	228
V _{Ma}	14.15	50.3	-59.04	77.57	310
M _{Ma}	37.37	78.64	-33.5	85.48	337
N _{Ma}	8.58	0.0	0.0	0.0	0
W _{Ma}	92.02	0.0	0.0	0.0	0
R _{Ma}	39.92	58.74	27.99	65.07	25
J _{Ma}	81.26	-2.89	71.56	71.62	92
G _{Ma}	52.23	-42.42	13.6	44.55	162
B _{Ma}	30.57	1.41	-46.47	46.49	272

Daten für Maximalfarbe (Ma):

$LAB^*LAB^*_{Ma}$: 30 69 -42

$LAB^*LCH^*_{Ma}$: 30 81 328

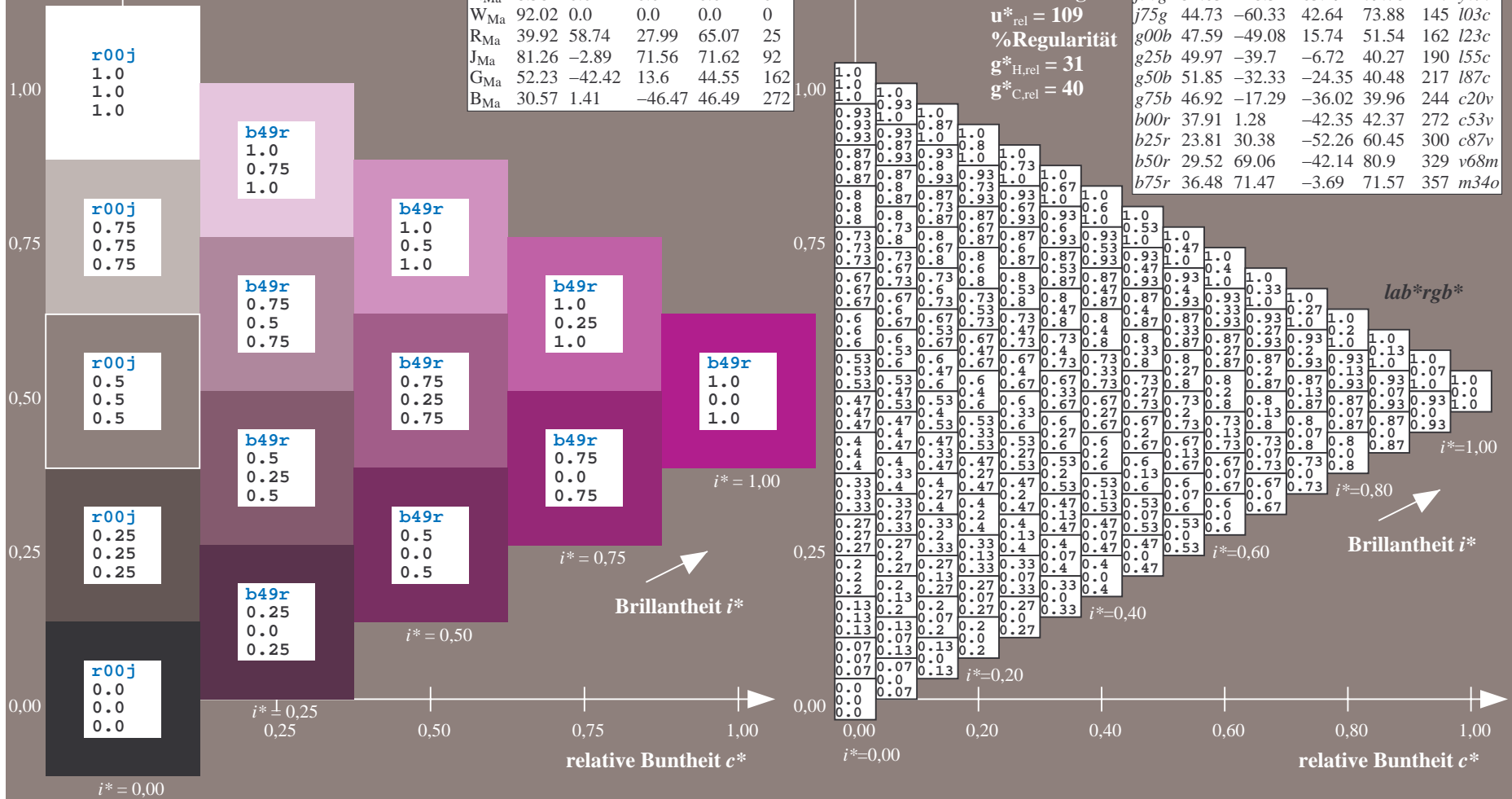
$lab^*rgb^*_{Ma}$: 1.0 0.0 1.0

$lab^*olv^*_{Ma}$: 0.69 0.0 1.0

Dreiecks-Helligkeit t^*

FRS09_92aM; adaptierte CIELAB-Daten

u^*_e	$L^*=L^*_a$	a^*_a	b^*_a	$C^*_{ab,a}$	$h^*_{ab,a}$	u^*_d
r00j	35.47	63.32	30.17	70.15	25	m81o
r25j	39.12	54.56	49.45	73.64	42	o10y
r50j	50.64	39.15	64.89	75.79	59	o40y
r75j	64.01	21.26	82.83	85.52	76	o69y
j00g	83.18	-4.38	108.53	108.62	92	o98y
j25g	66.73	-29.89	83.06	88.28	110	y34l
j50g	54.03	-48.31	63.49	79.78	127	y69l
j75g	44.73	-60.33	42.64	73.88	145	l03c
g00b	47.59	-49.08	15.74	51.54	162	i23c
g25b	49.97	-39.7	-6.72	40.27	190	i55c
g50b	51.85	-32.33	-24.35	40.48	217	i87c
g75b	46.92	-17.29	-36.02	39.96	244	c20v
b00r	37.91	1.28	-42.35	42.37	272	c53v
b25r	23.81	30.38	-52.26	60.45	300	c87v
b50r	29.52	69.06	-42.14	80.9	329	v68m
b75r	36.48	71.47	-3.69	71.57	357	m34o



Ein und Ausgabe: Farbmatisches Drucker-Reflektiv-System FRS09_92aM für relativen CIELAB-Bunton $h^* = lab^*h^* = h_{ab}/360 = 0.992$

$u^*_e = b75r$

Daten für jede Farbe:

lab^*ch^* und lab^*icu^*

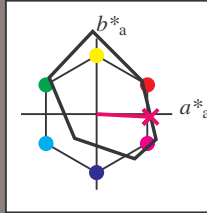
Buntontexte:

$u^*_e = b75r$ $u^*_d = m34o$

Kontrastreduzierungsfaktor:

$c_R = 1.0$

Dreiecks-Helligkeit t^*



FRS09_92aM; adaptierte CIELAB-Daten

u^*_e	$L^*=L^*_a$	a^*_a	b^*_a	$C^*_{ab,a}$	$h^*_{ab,a}$
O _{Ma}	35.06	60.0	44.0	74.4	36
Y _{Ma}	83.77	-5.17	109.32	109.44	93
L _{Ma}	44.13	-62.67	48.24	79.09	142
C _{Ma}	52.66	-29.14	-31.99	43.27	228
V _{Ma}	14.15	50.3	-59.04	77.57	310
M _{Ma}	37.37	78.64	-33.5	85.48	337
N _{Ma}	8.58	0.0	0.0	0.0	0
W _{Ma}	92.02	0.0	0.0	0.0	0
R _{Ma}	39.92	58.74	27.99	65.07	25
J _{Ma}	81.26	-2.89	71.56	71.62	92
G _{Ma}	52.23	-42.42	13.6	44.55	162
B _{Ma}	30.57	1.41	-46.47	46.49	272

Daten für Maximalfarbe (Ma):

$LAB^*LAB^*_{Ma}$: 36 71 -4

$LAB^*LCH^*_{Ma}$: 36 72 357

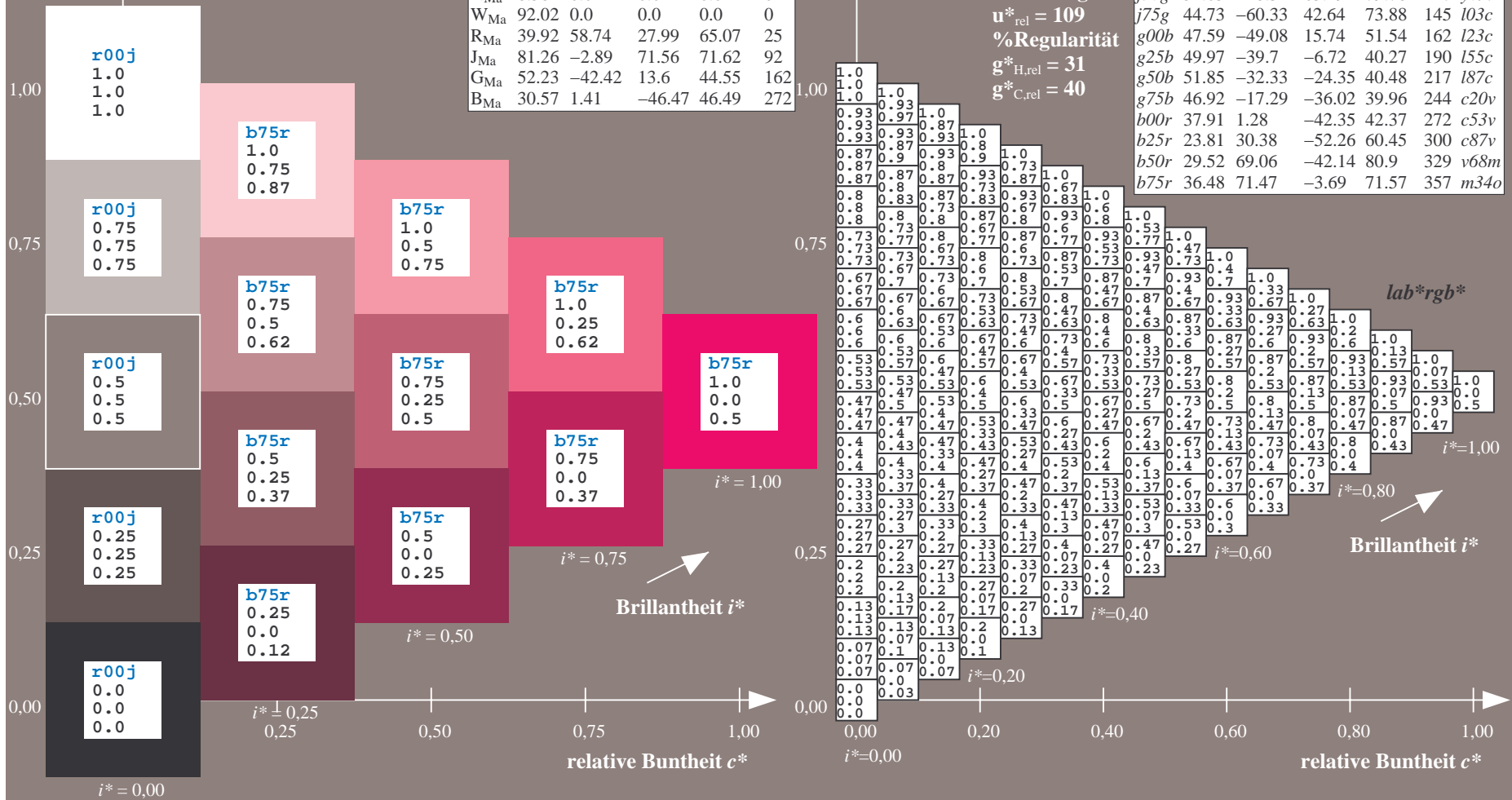
$lab^*rgb^*_{Ma}$: 1.0 0.0 0.5

$lab^*olv^*_{Ma}$: 1.0 0.0 0.66

Dreiecks-Helligkeit t^*

FRS09_92aM; adaptierte CIELAB-Daten

u^*_e	$L^*=L^*_a$	a^*_a	b^*_a	$C^*_{ab,a}$	$h^*_{ab,a}$	u^*_d
r00j	35.47	63.32	30.17	70.15	25	m81o
r25j	39.12	54.56	49.45	73.64	42	o10y
r50j	50.64	39.15	64.89	75.79	59	o40y
r75j	64.01	21.26	82.83	85.52	76	o69y
j00g	83.18	-4.38	108.53	108.62	92	o98y
j25g	66.73	-29.89	83.06	88.28	110	y34l
j50g	54.03	-48.31	63.49	79.78	127	y69l
j75g	44.73	-60.33	42.64	73.88	145	103c
g00b	47.59	-49.08	15.74	51.54	162	l23c
g25b	49.97	-39.7	-6.72	40.27	190	l55c
g50b	51.85	-32.33	-24.35	40.48	217	l87c
g75b	46.92	-17.29	-36.02	39.96	244	c20v
b00r	37.91	1.28	-42.35	42.37	272	c53v
b25r	23.81	30.38	-52.26	60.45	300	c87v
b50r	29.52	69.06	-42.14	80.9	329	v68m
b75r	36.48	71.47	-3.69	71.57	357	m34o



Ein und Ausgabe:
 Farbmetrisches Drucker-Reflektiv-System FRS09_92aM

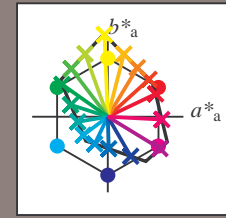
Daten für jede Farbe:
 u^*_e und Nummer $Nr. = 00 \dots 15$

Elementar-Bunttextext:
 $u^*_e = 16$ Bunttoene $r00j, r25j, \dots, b75r$

Kontrastreduzierungsfaktor:
 $c_R = 1.0$

FRS09_92aM; adaptierte CIELAB-Daten

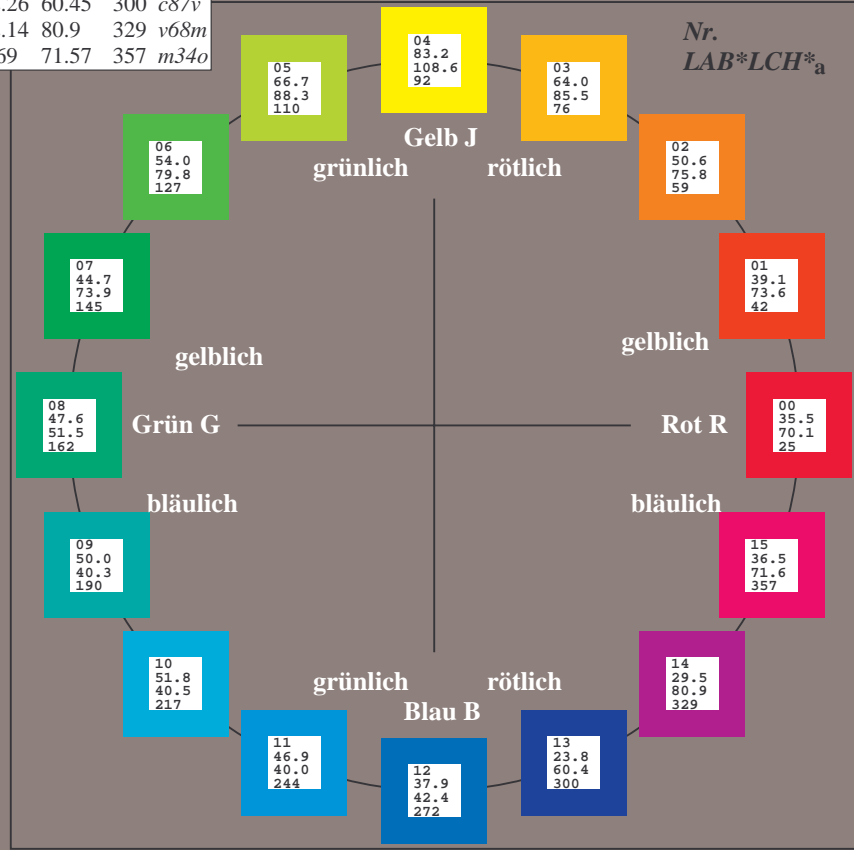
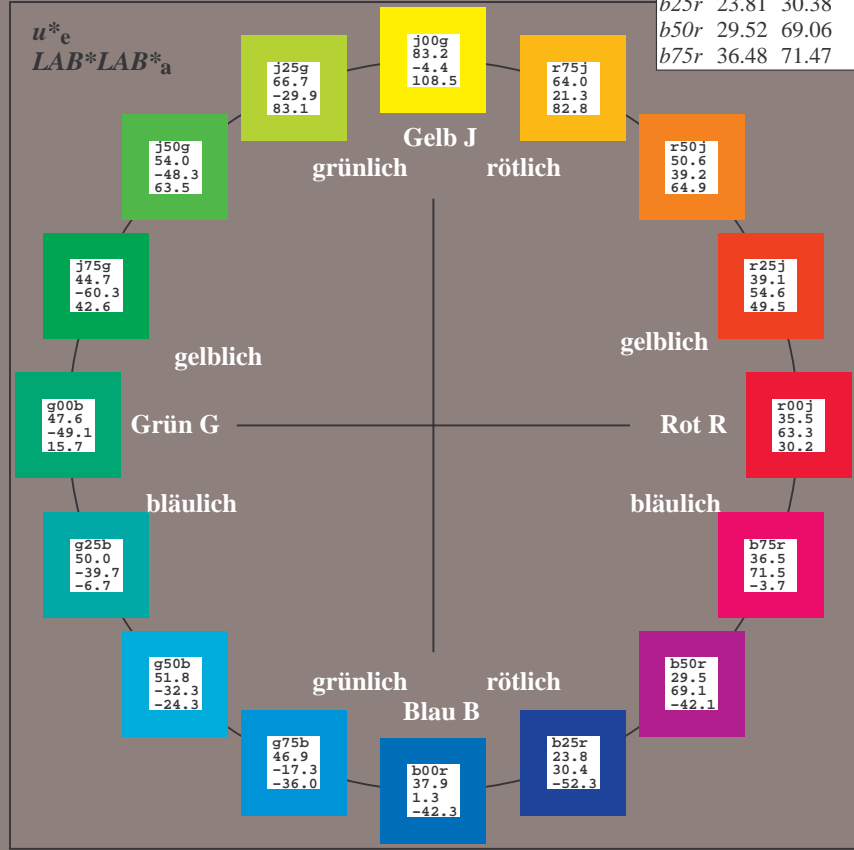
u^*_e	$L^*=L^*_a$	a^*_a	b^*_a	$C^*_{ab,a}$	$h^*_{ab,a}$	u^*_d
r00j	35.47	63.32	30.17	70.15	25	m81o
r25j	39.12	54.56	49.45	73.64	42	o10y
r50j	50.64	39.15	64.89	75.79	59	o40y
r75j	64.01	21.26	82.83	85.52	76	o69y
j00g	83.18	-4.38	108.53	108.62	92	o98y
j25g	66.73	-29.89	83.06	88.28	110	y34l
j50g	54.03	-48.31	63.49	79.78	127	y69l
j75g	44.73	-60.33	42.64	73.88	145	l03c
g00b	47.59	-49.08	15.74	51.54	162	l23c
g25b	49.97	-39.7	-6.72	40.27	190	l55c
g50b	51.85	-32.33	-24.35	40.48	217	l87c
g75b	46.92	-17.29	-36.02	39.96	244	c20v
b00r	37.91	1.28	-42.35	42.37	272	c53v
b25r	23.81	30.38	-52.26	60.45	300	c87v
b50r	29.52	69.06	-42.14	80.9	329	v68m
b75r	36.48	71.47	-3.69	71.57	357	m34o



%Umfang
 $u^*_{rel} = 109$
 %Regularität
 $g^*_{H,rel} = 31$
 $g^*_{C,rel} = 40$

FRS09_92aM; adaptierte CIELAB-Daten

Name	$L^*=L^*_a$	a^*_a	b^*_a	$C^*_{ab,a}$	$h^*_{ab,a}$
OMa	35.06	60.0	44.0	74.4	36
YMa	83.77	-5.17	109.32	109.44	93
LMa	44.13	-62.67	48.24	79.09	142
CMa	52.66	-29.14	-31.99	43.27	228
VMa	14.15	50.3	-59.04	77.57	310
MMa	37.37	78.64	-33.5	85.48	337
NMa	8.58	0.0	0.0	0.0	0
WMa	92.02	0.0	0.0	0.0	0
RCIE	39.92	58.74	27.99	65.07	25
JCIE	81.26	-2.89	71.56	71.62	92
GCIE	52.23	-42.42	13.6	44.55	162
BCIE	30.57	1.41	-46.47	46.49	272



Ein und Ausgabe: Farbmatisches Drucker-Reflektiv-System FRS09_92aM für relativen CIELAB-Bunton $h^* = lab^*h^* = h_{ab}/360 = 0.071$

Daten für jede Farbe:

lab^*tch^* und lab^*icu^*

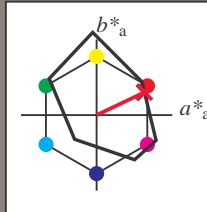
Buntontexte:

$u^*_e = r00j$ $u^*_d = m8l0$

Kontrastreduzierungsfaktor:

$c_R = 1.0$

Dreiecks-Helligkeit t^*



FRS09_92aM; adaptierte CIELAB-Daten

u^*_e	$L^*=L^*_a$	a^*_a	b^*_a	$C^*_{ab,a}$	$h^*_{ab,a}$
O _{Ma}	35.06	60.0	44.0	74.4	36
Y _{Ma}	83.77	-5.17	109.32	109.44	93
L _{Ma}	44.13	-62.67	48.24	79.09	142
C _{Ma}	52.66	-29.14	-31.99	43.27	228
V _{Ma}	14.15	50.3	-59.04	77.57	310
M _{Ma}	37.37	78.64	-33.5	85.48	337
N _{Ma}	8.58	0.0	0.0	0.0	0
W _{Ma}	92.02	0.0	0.0	0.0	0
R _{Ma}	39.92	58.74	27.99	65.07	25
J _{Ma}	81.26	-2.89	71.56	71.62	92
G _{Ma}	52.23	-42.42	13.6	44.55	162
B _{Ma}	30.57	1.41	-46.47	46.49	272

Daten für Maximalfarbe (Ma):

$LAB^*LAB^*_{Ma}$: 35 63 30

$LAB^*LCH^*_{Ma}$: 35 70 25

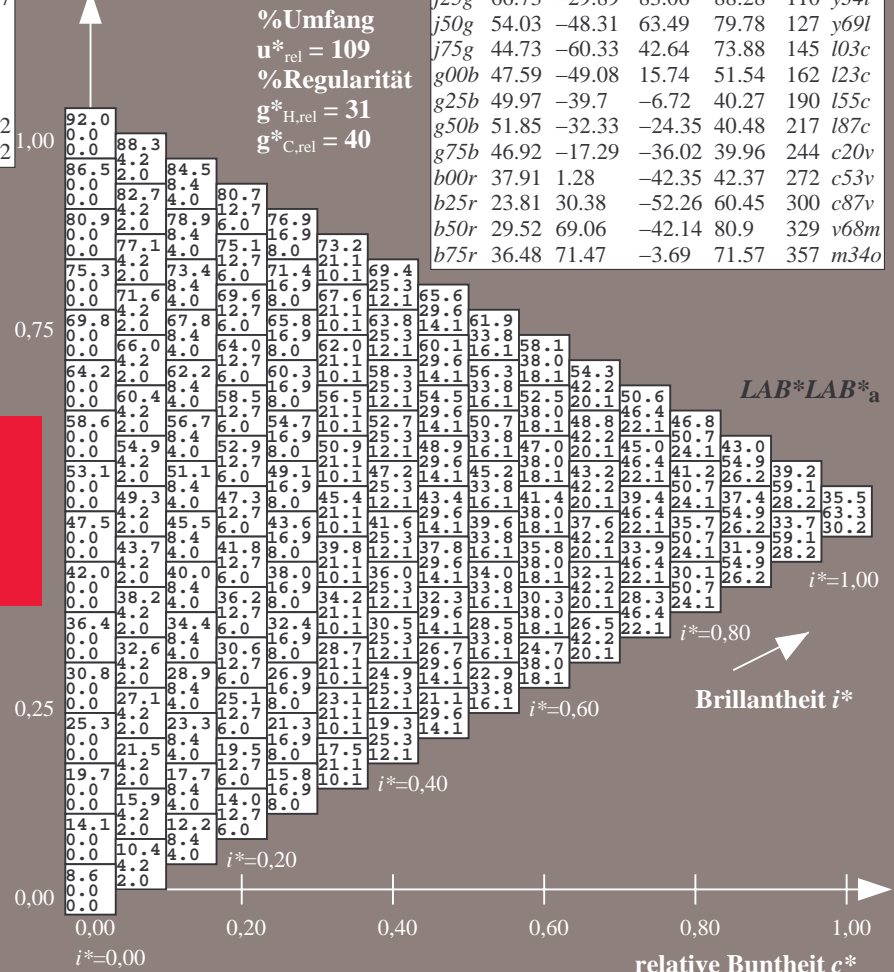
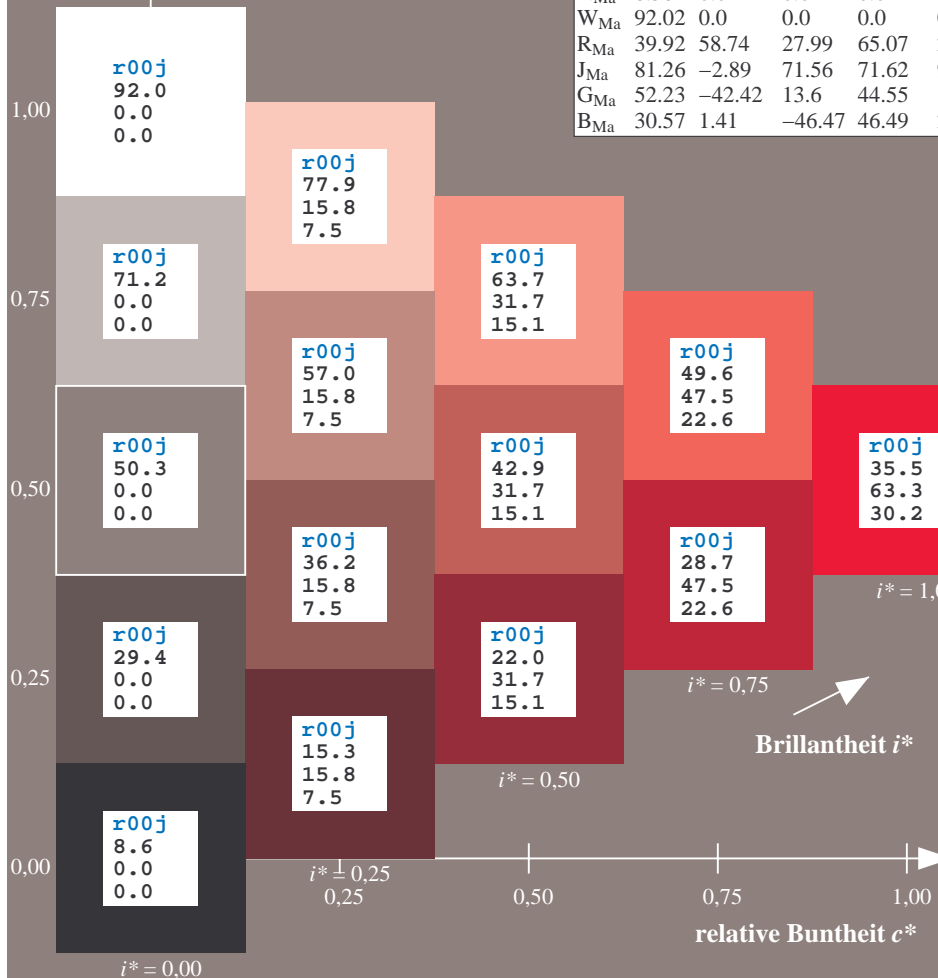
$lab^*rgb^*_{Ma}$: 1.0 0.0 0.0

$lab^*olv^*_{Ma}$: 1.0 0.0 0.18

Dreiecks-Helligkeit t^*

FRS09_92aM; adaptierte CIELAB-Daten

u^*_e	$L^*=L^*_a$	a^*_a	b^*_a	$C^*_{ab,a}$	$h^*_{ab,a}$	u^*_d
r00j	35.47	63.32	30.17	70.15	25	m8l0
r25j	39.12	54.56	49.45	73.64	42	o10y
r50j	50.64	39.15	64.89	75.79	59	o40y
r75j	64.01	21.26	82.83	85.52	76	o69y
j00g	83.18	-4.38	108.53	108.62	92	o98y
j25g	66.73	-29.89	83.06	88.28	110	y34l
j50g	54.03	-48.31	63.49	79.78	127	y69l
j75g	44.73	-60.33	42.64	73.88	145	l03c
g00b	47.59	-49.08	15.74	51.54	162	l23c
g25b	49.97	-39.7	-6.72	40.27	190	l55c
g50b	51.85	-32.33	-24.35	40.48	217	l87c
g75b	46.92	-17.29	-36.02	39.96	244	c20v
b00r	37.91	1.28	-42.35	42.37	272	c53v
b25r	23.81	30.38	-52.26	60.45	300	c87v
b50r	29.52	69.06	-42.14	80.9	329	v68m
b75r	36.48	71.47	-3.69	71.57	357	m34o



%Umfang
 $u^*_{rel} = 109$
%Regularität
 $g^*_{H,rel} = 31$
 $g^*_{C,rel} = 40$

$LAB^*LAB^*_a$

Brillanz i^*

$i^* = 1.00$

$i^* = 0.80$

$i^* = 0.60$

$i^* = 0.40$

$i^* = 0.20$

Ein und Ausgabe: Farbmimetrisches Drucker-Reflektiv-System FRS09_92aM für relativen CIELAB-Bunton $h^* = lab^*h^* = h_{ab}/360 = 0.117$

$u^*_e = r25j$
 $LAB^*LAB^*_a$

Daten für jede Farbe:

lab^*ch^* und lab^*icu^*

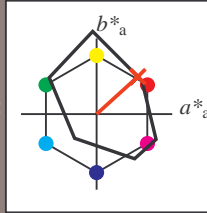
Buntontexte:

$u^*_e = r25j$ $u^*_d = o10y$

Kontrastreduzierungsfaktor:

$c_R = 1.0$

Dreiecks-Helligkeit t^*



FRS09_92aM; adaptierte CIELAB-Daten

u^*_e	$L^*=L^*_a$	a^*_a	b^*_a	$C^*_{ab,a}$	$h^*_{ab,a}$
O _{Ma}	35.06	60.0	44.0	74.4	36
Y _{Ma}	83.77	-5.17	109.32	109.44	93
L _{Ma}	44.13	-62.67	48.24	79.09	142
C _{Ma}	52.66	-29.14	-31.99	43.27	228
V _{Ma}	14.15	50.3	-59.04	77.57	310
M _{Ma}	37.37	78.64	-33.5	85.48	337
N _{Ma}	8.58	0.0	0.0	0.0	0
W _{Ma}	92.02	0.0	0.0	0.0	0
R _{Ma}	39.92	58.74	27.99	65.07	25
J _{Ma}	81.26	-2.89	71.56	71.62	92
G _{Ma}	52.23	-42.42	13.6	44.55	162
B _{Ma}	30.57	1.41	-46.47	46.49	272

Daten für Maximalfarbe (Ma):

$LAB^*LAB^*_Ma: 39\ 55\ 49$

$LAB^*LCH^*_Ma: 39\ 74\ 42$

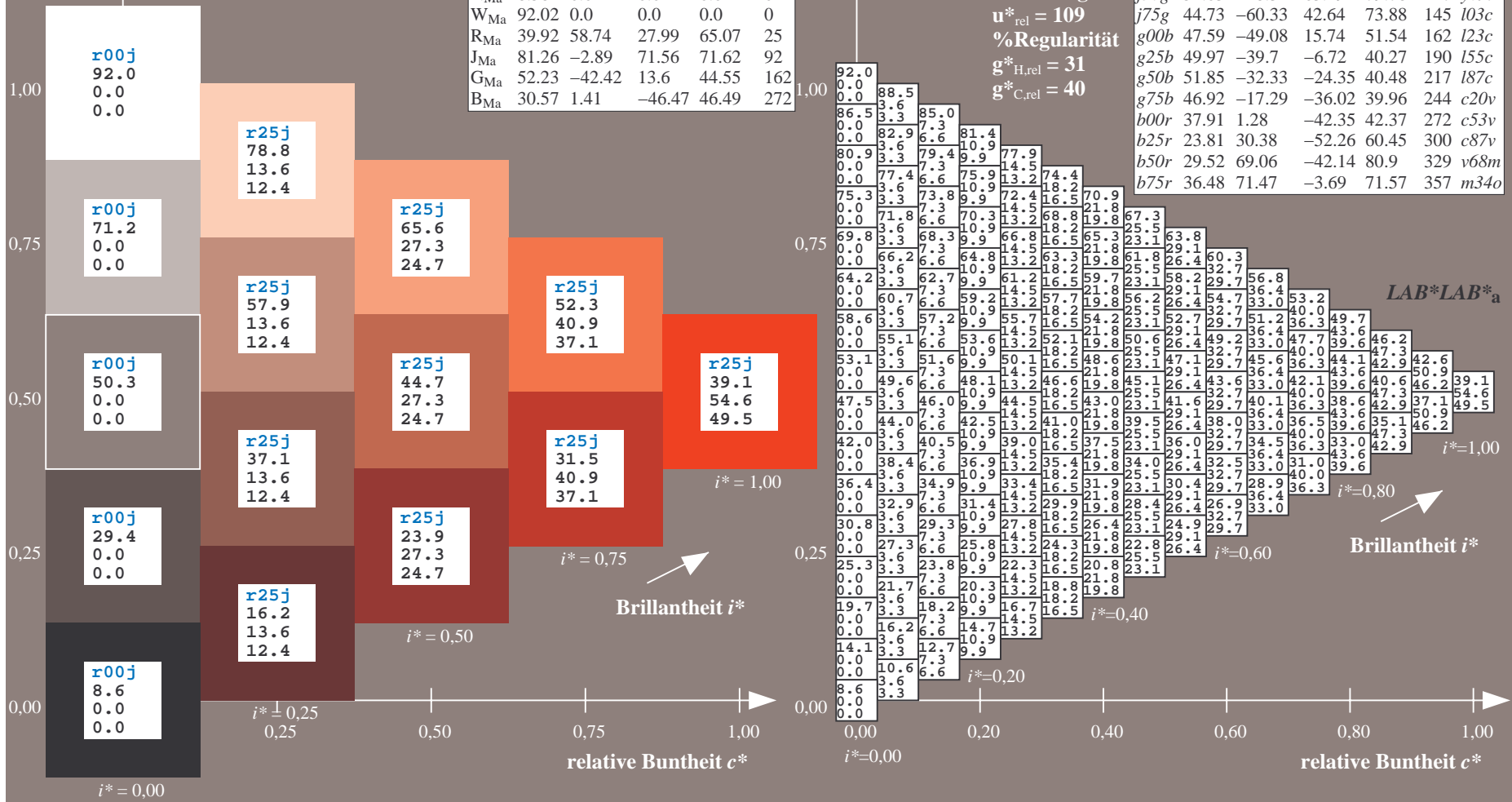
$lab^*rgb^*_Ma: 1.0\ 0.25\ 0.0$

$lab^*olv^*_Ma: 1.0\ 0.11\ 0.0$

Dreiecks-Helligkeit t^*

FRS09_92aM; adaptierte CIELAB-Daten

u^*_e	$L^*=L^*_a$	a^*_a	b^*_a	$C^*_{ab,a}$	$h^*_{ab,a}$	u^*_d
r00j	35.47	63.32	30.17	70.15	25	m81o
r25j	39.12	54.56	49.45	73.64	42	o10y
r50j	50.64	39.15	64.89	75.79	59	o40y
r75j	64.01	21.26	82.83	85.52	76	o69y
j00g	83.18	-4.38	108.53	108.62	92	o98y
j25g	66.73	-29.89	83.06	88.28	110	y34l
j50g	54.03	-48.31	63.49	79.78	127	y69l
j75g	44.73	-60.33	42.64	73.88	145	l03c
g00b	47.59	-49.08	15.74	51.54	162	l23c
g25b	49.97	-39.7	-6.72	40.27	190	l55c
g50b	51.85	-32.33	-24.35	40.48	217	l87c
g75b	46.92	-17.29	-36.02	39.96	244	c20v
b00r	37.91	1.28	-42.35	42.37	272	c53v
b25r	23.81	30.38	-52.26	60.45	300	c87v
b50r	29.52	69.06	-42.14	80.9	329	v68m
b75r	36.48	71.47	-3.69	71.57	357	m34o



Ein und Ausgabe: Farbmatisches Drucker-Reflektiv-System FRS09_92aM für relativen CIELAB-Bunton $h^* = lab^*h^* = h_{ab}/360 = 0.164$

$u^*_e = r50j$
LAB*LAB*a

Daten für jede Farbe:

lab^*ch^* und lab^*icu^*

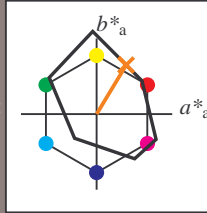
Buntontexte:

$u^*_e = r50j$ $u^*_d = o40y$

Kontrastreduzierungsfaktor:

$c_R = 1.0$

Dreiecks-Helligkeit t^*



FRS09_92aM; adaptierte CIELAB-Daten

u^*_e	$L^*=L^*_a$	a^*_a	b^*_a	$C^*_{ab,a}$	$h^*_{ab,a}$
O _{Ma}	35.06	60.0	44.0	74.4	36
Y _{Ma}	83.77	-5.17	109.32	109.44	93
L _{Ma}	44.13	-62.67	48.24	79.09	142
C _{Ma}	52.66	-29.14	-31.99	43.27	228
V _{Ma}	14.15	50.3	-59.04	77.57	310
M _{Ma}	37.37	78.64	-33.5	85.48	337
N _{Ma}	8.58	0.0	0.0	0.0	0
W _{Ma}	92.02	0.0	0.0	0.0	0
R _{Ma}	39.92	58.74	27.99	65.07	25
J _{Ma}	81.26	-2.89	71.56	71.62	92
G _{Ma}	52.23	-42.42	13.6	44.55	162
B _{Ma}	30.57	1.41	-46.47	46.49	272

Daten für Maximalfarbe (Ma):

LAB*LAB*_{Ma}: 51 39 65

LAB*LCH*_{Ma}: 51 76 58

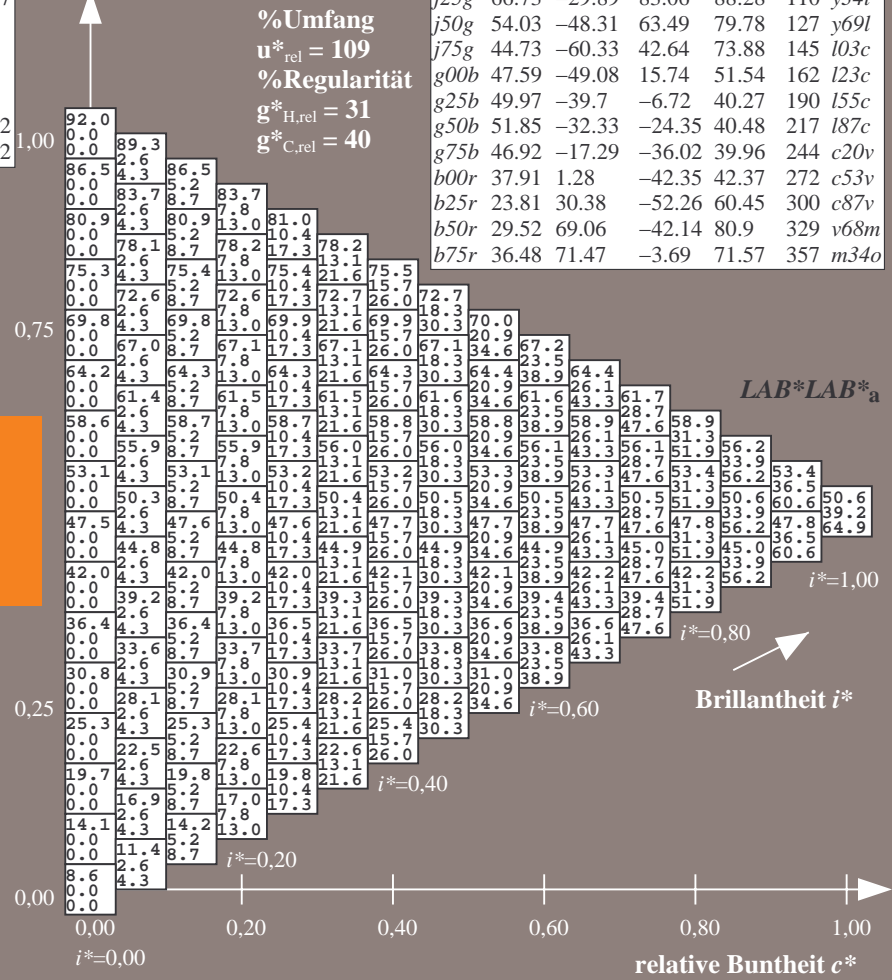
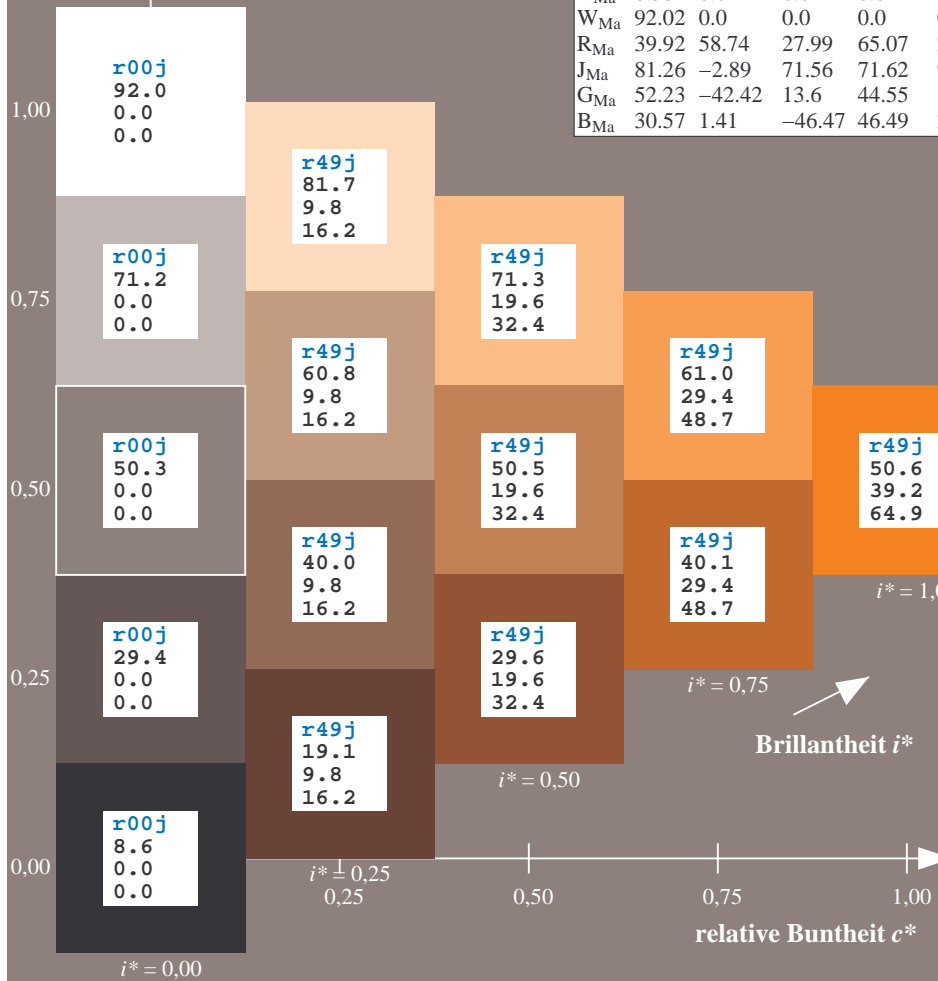
lab*rgb*_{Ma}: 1.0 0.5 0.0

lab*olv*_{Ma}: 1.0 0.4 0.0

Dreiecks-Helligkeit t^*

FRS09_92aM; adaptierte CIELAB-Daten

u^*_e	$L^*=L^*_a$	a^*_a	b^*_a	$C^*_{ab,a}$	$h^*_{ab,a}$	u^*_d
r00j	35.47	63.32	30.17	70.15	25	m81o
r25j	39.12	54.56	49.45	73.64	42	o10y
r50j	50.64	39.15	64.89	75.79	59	o40y
r75j	64.01	21.26	82.83	85.52	76	o69y
j00g	83.18	-4.38	108.53	108.62	92	o98y
j25g	66.73	-29.89	83.06	88.28	110	y34l
j50g	54.03	-48.31	63.49	79.78	127	y69l
j75g	44.73	-60.33	42.64	73.88	145	i03c
g00b	47.59	-49.08	15.74	51.54	162	i23c
g25b	49.97	-39.7	-6.72	40.27	190	i55c
g50b	51.85	-32.33	-24.35	40.48	217	i87c
g75b	46.92	-17.29	-36.02	39.96	244	c20v
b00r	37.91	1.28	-42.35	42.37	272	c53v
b25r	23.81	30.38	-52.26	60.45	300	c87v
b50r	29.52	69.06	-42.14	80.9	329	v68m
b75r	36.48	71.47	-3.69	71.57	357	m34o



%Umfang
 $u^*_{rel} = 109$
%Regularität
 $g^*_{H,rel} = 31$
 $g^*_{C,rel} = 40$

LAB*LAB*a

Brillantheit i^*

$i^* = 1.00$

$i^* = 0.80$

$i^* = 0.60$

$i^* = 0.40$

$i^* = 0.20$

Ein und Ausgabe: Farbmatisches Drucker-Reflektiv-System FRS09_92aM für relativen CIELAB-Bunton $h^* = lab^*h^* = h_{ab}/360 = 0.21$

$u^*_e = r75j$
 $LAB^*LAB^*_a$

Daten für jede Farbe:

lab^*tch^* und lab^*icu^*

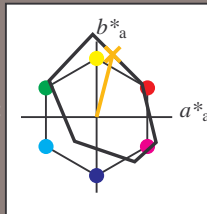
Buntontexte:

$u^*_e = r75j$ $u^*_d = o69y$

Kontrastreduzierungsfaktor:

$c_R = 1.0$

Dreiecks-Helligkeit t^*



FRS09_92aM; adaptierte CIELAB-Daten

u^*_e	$L^*=L^*_a$	a^*_a	b^*_a	$C^*_{ab,a}$	$h^*_{ab,a}$
O _{Ma}	35.06	60.0	44.0	74.4	36
Y _{Ma}	83.77	-5.17	109.32	109.44	93
L _{Ma}	44.13	-62.67	48.24	79.09	142
C _{Ma}	52.66	-29.14	-31.99	43.27	228
V _{Ma}	14.15	50.3	-59.04	77.57	310
M _{Ma}	37.37	78.64	-33.5	85.48	337
N _{Ma}	8.58	0.0	0.0	0.0	0
W _{Ma}	92.02	0.0	0.0	0.0	0
R _{Ma}	39.92	58.74	27.99	65.07	25
J _{Ma}	81.26	-2.89	71.56	71.62	92
G _{Ma}	52.23	-42.42	13.6	44.55	162
B _{Ma}	30.57	1.41	-46.47	46.49	272

Daten für Maximalfarbe (Ma):

$LAB^*LAB^*_Ma$: 64 21 83

$LAB^*LCH^*_Ma$: 64 86 75

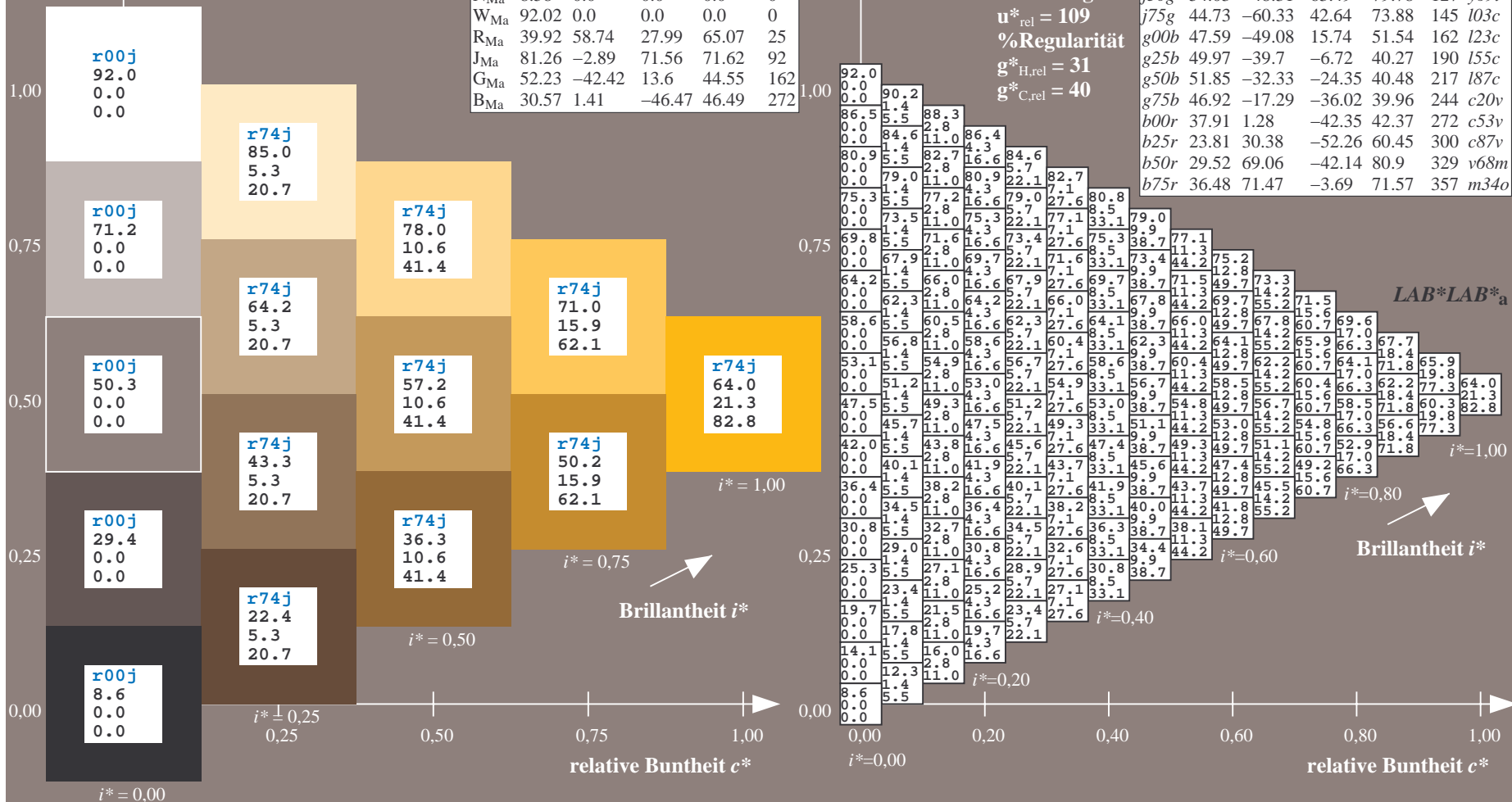
$lab^*rgb^*_Ma$: 1.0 0.75 0.0

$lab^*olv^*_Ma$: 1.0 0.7 0.0

Dreiecks-Helligkeit t^*

FRS09_92aM; adaptierte CIELAB-Daten

u^*_e	$L^*=L^*_a$	a^*_a	b^*_a	$C^*_{ab,a}$	$h^*_{ab,a}$	u^*_d
r00j	35.47	63.32	30.17	70.15	25	m81o
r25j	39.12	54.56	49.45	73.64	42	o10y
r50j	50.64	39.15	64.89	75.79	59	o40y
r75j	64.01	21.26	82.83	85.52	76	o69y
j00g	83.18	-4.38	108.53	108.62	92	o98y
j25g	66.73	-29.89	83.06	88.28	110	y34l
j50g	54.03	-48.31	63.49	79.78	127	y69l
j75g	44.73	-60.33	42.64	73.88	145	l03c
g00b	47.59	-49.08	15.74	51.54	162	l23c
g25b	49.97	-39.7	-6.72	40.27	190	l55c
g50b	51.85	-32.33	-24.35	40.48	217	l87c
g75b	46.92	-17.29	-36.02	39.96	244	c20v
b00r	37.91	1.28	-42.35	42.37	272	c53v
b25r	23.81	30.38	-52.26	60.45	300	c87v
b50r	29.52	69.06	-42.14	80.9	329	v68m
b75r	36.48	71.47	-3.69	71.57	357	m34o



Ein und Ausgabe: Farbmatisches Drucker-Reflektiv-System FRS09_92aM für relativen CIELAB-Bunton $h^* = lab^*h^* = h_{ab}/360 = 0.256$

$u^*_e = j00g$
 $LAB^*LAB^*_a$

Daten für jede Farbe:

lab^*tch^* und lab^*icu^*

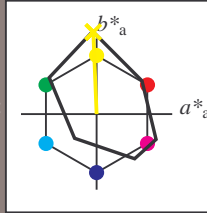
Buntontexte:

$u^*_e = j00g$ $u^*_d = o98y$

Kontrastreduzierungsfaktor:

$c_R = 1.0$

Dreiecks-Helligkeit t^*



FRS09_92aM; adaptierte CIELAB-Daten

u^*_e	$L^*=L^*_a$	a^*_a	b^*_a	$C^*_{ab,a}$	$h^*_{ab,a}$
O _{Ma}	35.06	60.0	44.0	74.4	36
Y _{Ma}	83.77	-5.17	109.32	109.44	93
L _{Ma}	44.13	-62.67	48.24	79.09	142
C _{Ma}	52.66	-29.14	-31.99	43.27	228
V _{Ma}	14.15	50.3	-59.04	77.57	310
M _{Ma}	37.37	78.64	-33.5	85.48	337
N _{Ma}	8.58	0.0	0.0	0.0	0
W _{Ma}	92.02	0.0	0.0	0.0	0
R _{Ma}	39.92	58.74	27.99	65.07	25
J _{Ma}	81.26	-2.89	71.56	71.62	92
G _{Ma}	52.23	-42.42	13.6	44.55	162
B _{Ma}	30.57	1.41	-46.47	46.49	272

Daten für Maximalfarbe (Ma):

$LAB^*LAB^*_Ma: 83 -4 109$

$LAB^*LCH^*_Ma: 83 109 92$

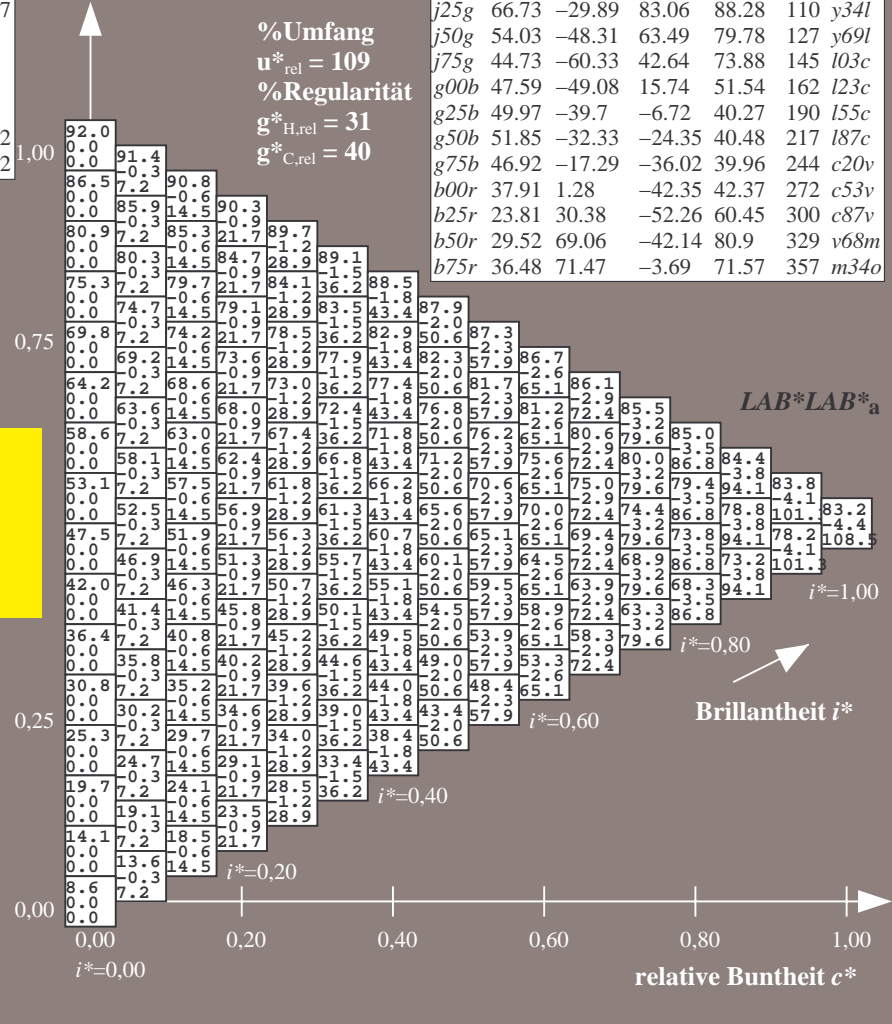
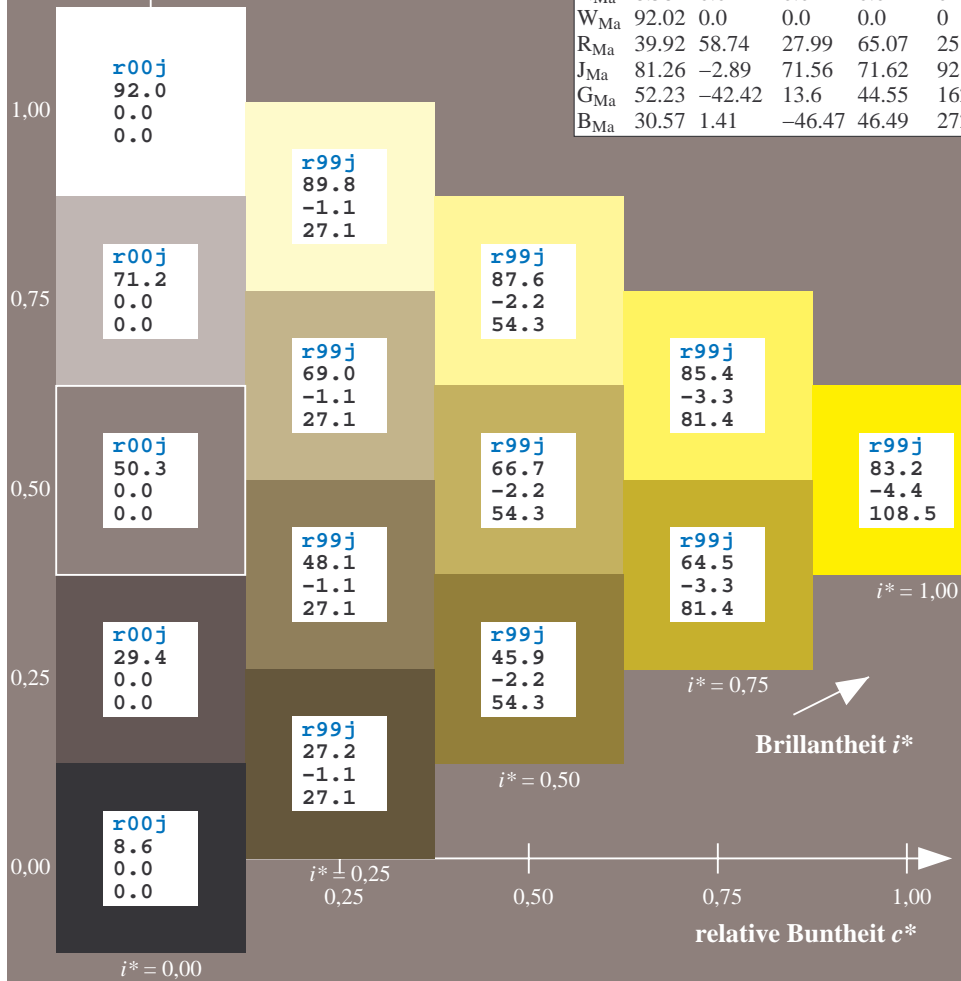
$lab^*rgb^*_Ma: 1.0 1.0 0.0$

$lab^*olv^*_Ma: 1.0 0.99 0.0$

Dreiecks-Helligkeit t^*

FRS09_92aM; adaptierte CIELAB-Daten

u^*_e	$L^*=L^*_a$	a^*_a	b^*_a	$C^*_{ab,a}$	$h^*_{ab,a}$	u^*_d
r00j	35.47	63.32	30.17	70.15	25	m81o
r25j	39.12	54.56	49.45	73.64	42	o10y
r50j	50.64	39.15	64.89	75.79	59	o40y
r75j	64.01	21.26	82.83	85.52	76	o69y
j00g	83.18	-4.38	108.53	108.62	92	o98y
j25g	66.73	-29.89	83.06	88.28	110	y34l
j50g	54.03	-48.31	63.49	79.78	127	y69l
j75g	44.73	-60.33	42.64	73.88	145	l03c
g00b	47.59	-49.08	15.74	51.54	162	l23c
g25b	49.97	-39.7	-6.72	40.27	190	l55c
g50b	51.85	-32.33	-24.35	40.48	217	l87c
g75b	46.92	-17.29	-36.02	39.96	244	c20v
b00r	37.91	1.28	-42.35	42.37	272	c53v
b25r	23.81	30.38	-52.26	60.45	300	c87v
b50r	29.52	69.06	-42.14	80.9	329	v68m
b75r	36.48	71.47	-3.69	71.57	357	m34o



Ein und Ausgabe: Farbmatisches Drucker-Reflektiv-System FRS09_92aM für relativen CIELAB-Bunton $h^* = lab^*h^* = h_{ab}/360 = 0.305$

Daten für jede Farbe:

lab^*tch^* und lab^*icu^*

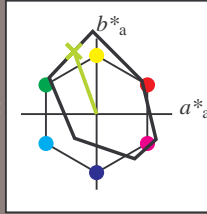
Buntontexte:

$u^*_e = j25g$ $u^*_d = y34l$

Kontrastreduzierungsfaktor:

$c_R = 1.0$

Dreiecks-Helligkeit t^*



FRS09_92aM; adaptierte CIELAB-Daten

u^*_e	$L^*=L^*_a$	a^*_a	b^*_a	$C^*_{ab,a}$	$h^*_{ab,a}$
O _{Ma}	35.06	60.0	44.0	74.4	36
Y _{Ma}	83.77	-5.17	109.32	109.44	93
L _{Ma}	44.13	-62.67	48.24	79.09	142
C _{Ma}	52.66	-29.14	-31.99	43.27	228
V _{Ma}	14.15	50.3	-59.04	77.57	310
M _{Ma}	37.37	78.64	-33.5	85.48	337
N _{Ma}	8.58	0.0	0.0	0.0	0
W _{Ma}	92.02	0.0	0.0	0.0	0
R _{Ma}	39.92	58.74	27.99	65.07	25
J _{Ma}	81.26	-2.89	71.56	71.62	92
G _{Ma}	52.23	-42.42	13.6	44.55	162
B _{Ma}	30.57	1.41	-46.47	46.49	272

Daten für Maximalfarbe (Ma):

$LAB^*LAB^*_{Ma}$: 67 -30 83

$LAB^*LCH^*_{Ma}$: 67 88 109

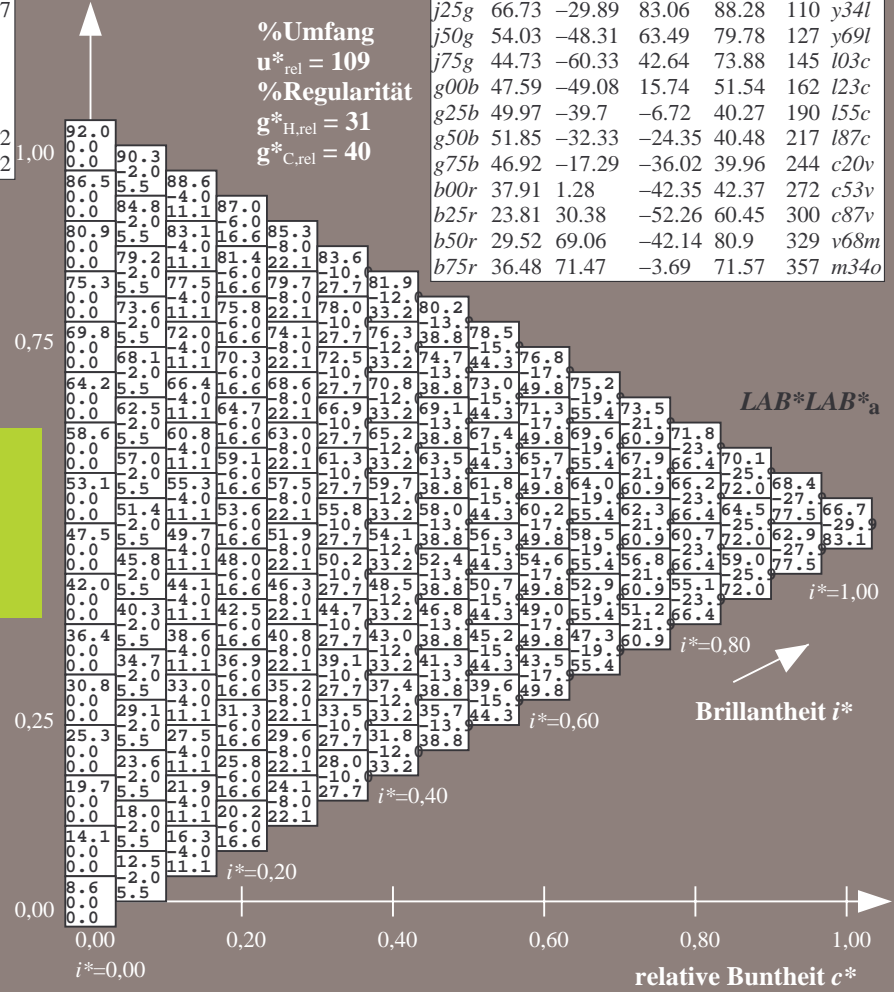
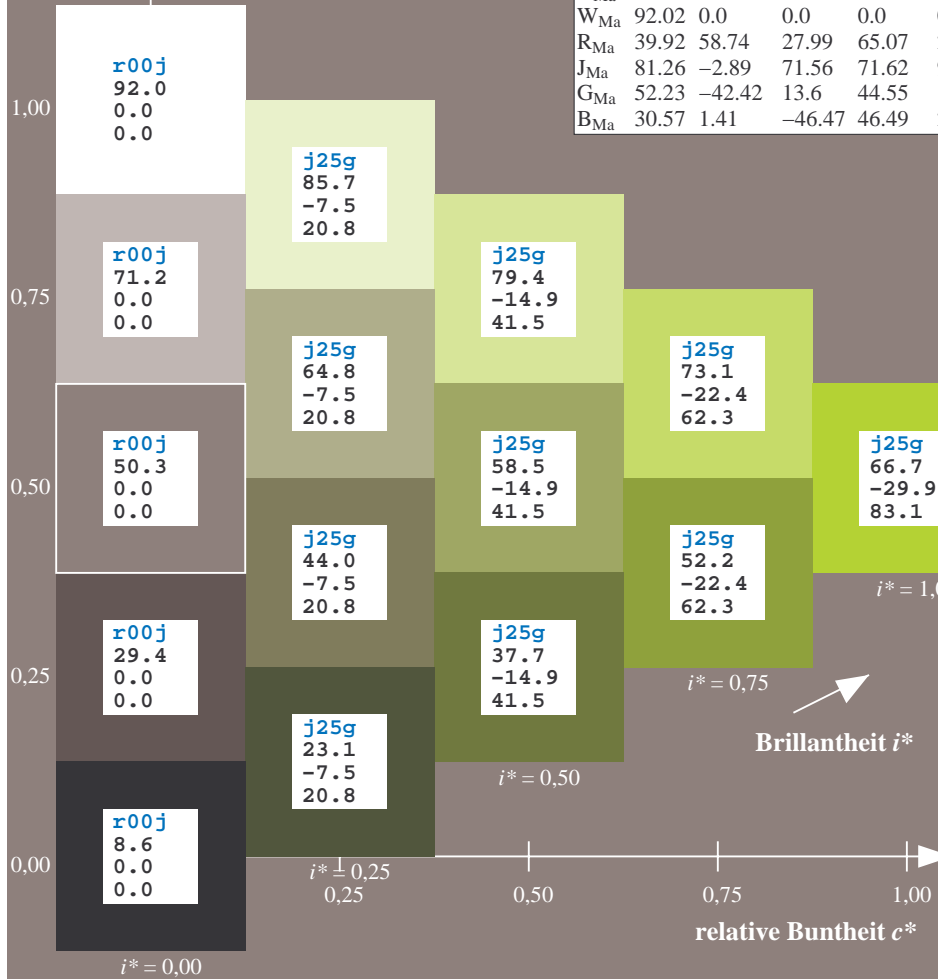
$lab^*rgb^*_{Ma}$: 0.75 1.0 0.0

$lab^*olv^*_{Ma}$: 0.66 1.0 0.0

Dreiecks-Helligkeit t^*

FRS09_92aM; adaptierte CIELAB-Daten

u^*_e	$L^*=L^*_a$	a^*_a	b^*_a	$C^*_{ab,a}$	$h^*_{ab,a}$	u^*_d
r00j	35.47	63.32	30.17	70.15	25	m81o
r25j	39.12	54.56	49.45	73.64	42	o10y
r50j	50.64	39.15	64.89	75.79	59	o40y
r75j	64.01	21.26	82.83	85.52	76	o69y
j00g	83.18	-4.38	108.53	108.62	92	o98y
j25g	66.73	-29.89	83.06	88.28	110	y34l
j50g	54.03	-48.31	63.49	79.78	127	y69l
j75g	44.73	-60.33	42.64	73.88	145	l03c
g00b	47.59	-49.08	15.74	51.54	162	l23c
g25b	49.97	-39.7	-6.72	40.27	190	l55c
g50b	51.85	-32.33	-24.35	40.48	217	l87c
g75b	46.92	-17.29	-36.02	39.96	244	c20v
b00r	37.91	1.28	-42.35	42.37	272	c53v
b25r	23.81	30.38	-52.26	60.45	300	c87v
b50r	29.52	69.06	-42.14	80.9	329	v68m
b75r	36.48	71.47	-3.69	71.57	357	m34o



%Umfang
 $u^*_{rel} = 109$
%Regularität
 $g^*_{H,rel} = 31$
 $g^*_{C,rel} = 40$

Brillantheit i^*

$LAB^*LAB^*_a$

$i^* = 1.00$

$i^* = 0.80$

$i^* = 0.60$

$i^* = 0.40$

$i^* = 0.20$

Ein und Ausgabe: Farbmatisches Drucker-Reflektiv-System FRS09_92aM für relativen CIELAB-Bunton $h^* = lab^*h^* = h_{ab}/360 = 0.354$

$u^*_e = j50g$
LAB*LAB*a

Daten für jede Farbe:

lab^*tch^* und lab^*icu^*

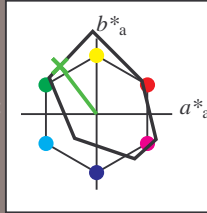
Buntontexte:

$u^*_e = j50g$ $u^*_d = y69l$

Kontrastreduzierungsfaktor:

$c_R = 1.0$

Dreiecks-Helligkeit t^*



FRS09_92aM; adaptierte CIELAB-Daten

u^*_e	$L^*=L^*_a$	a^*_a	b^*_a	$C^*_{ab,a}$	$h^*_{ab,a}$
O _{Ma}	35.06	60.0	44.0	74.4	36
Y _{Ma}	83.77	-5.17	109.32	109.44	93
L _{Ma}	44.13	-62.67	48.24	79.09	142
C _{Ma}	52.66	-29.14	-31.99	43.27	228
V _{Ma}	14.15	50.3	-59.04	77.57	310
M _{Ma}	37.37	78.64	-33.5	85.48	337
N _{Ma}	8.58	0.0	0.0	0.0	0
W _{Ma}	92.02	0.0	0.0	0.0	0
R _{Ma}	39.92	58.74	27.99	65.07	25
J _{Ma}	81.26	-2.89	71.56	71.62	92
G _{Ma}	52.23	-42.42	13.6	44.55	162
B _{Ma}	30.57	1.41	-46.47	46.49	272

Daten für Maximalfarbe (Ma):

LAB*LAB*_{Ma}: 54 -48 63

LAB*LCH*_{Ma}: 54 80 127

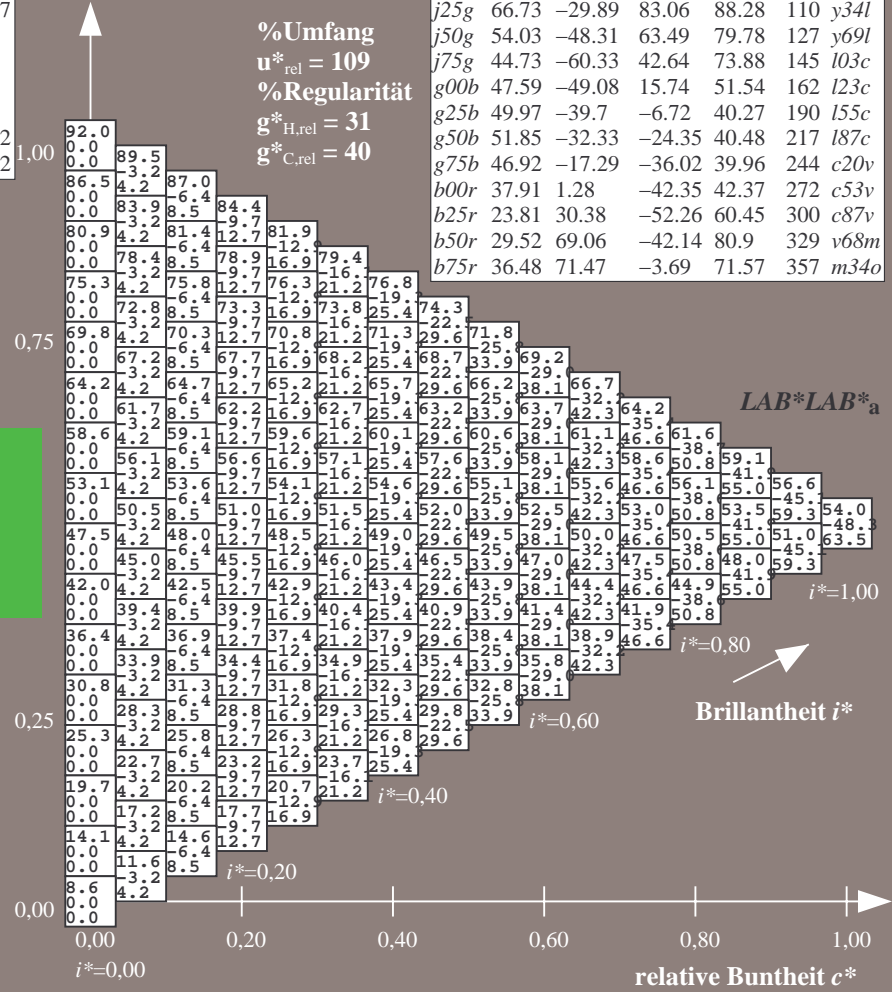
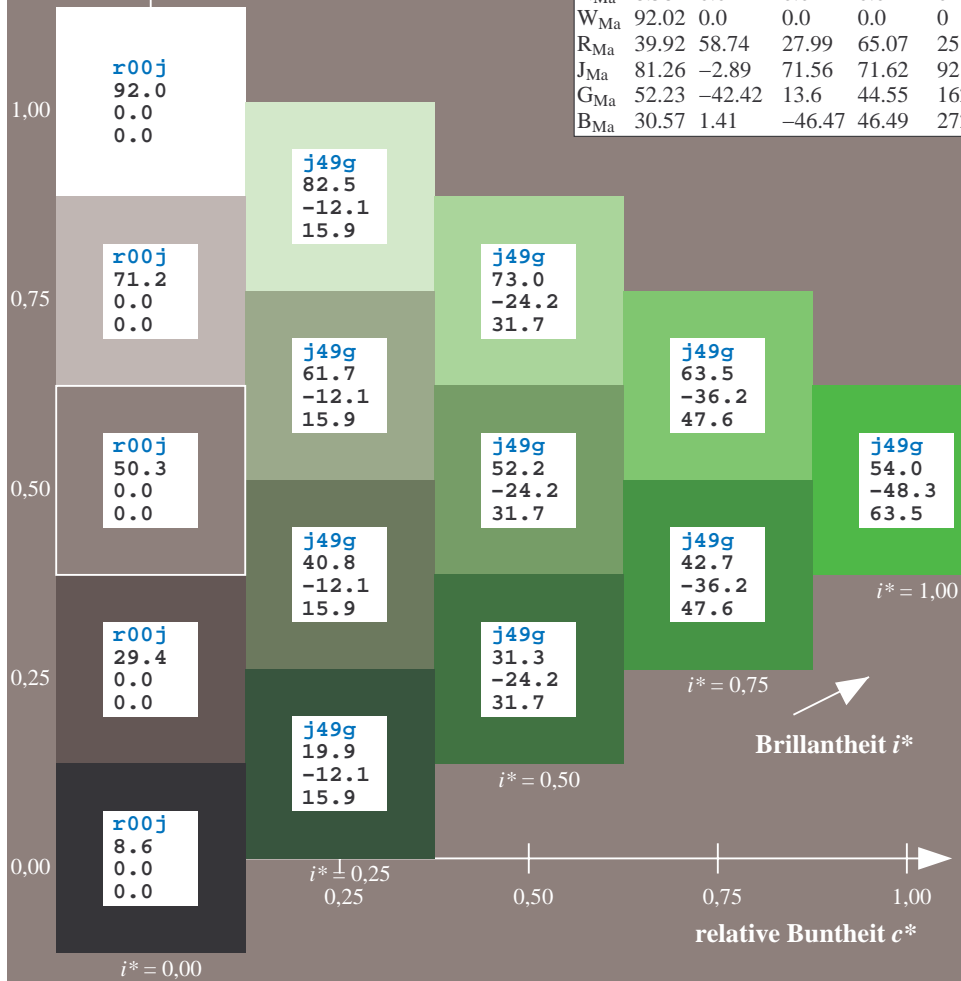
lab*rgb*_{Ma}: 0.5 1.0 0.0

lab*olv*_{Ma}: 0.3 1.0 0.0

Dreiecks-Helligkeit t^*

FRS09_92aM; adaptierte CIELAB-Daten

u^*_e	$L^*=L^*_a$	a^*_a	b^*_a	$C^*_{ab,a}$	$h^*_{ab,a}$	u^*_d
r00j	35.47	63.32	30.17	70.15	25	m81o
r25j	39.12	54.56	49.45	73.64	42	o10y
r50j	50.64	39.15	64.89	75.79	59	o40y
r75j	64.01	21.26	82.83	85.52	76	o69y
j00g	83.18	-4.38	108.53	108.62	92	o98y
j25g	66.73	-29.89	83.06	88.28	110	y34l
j50g	54.03	-48.31	63.49	79.78	127	y69l
j75g	44.73	-60.33	42.64	73.88	145	l03c
g00b	47.59	-49.08	15.74	51.54	162	l23c
g25b	49.97	-39.7	-6.72	40.27	190	l55c
g50b	51.85	-32.33	-24.35	40.48	217	l87c
g75b	46.92	-17.29	-36.02	39.96	244	c20v
b00r	37.91	1.28	-42.35	42.37	272	c53v
b25r	23.81	30.38	-52.26	60.45	300	c87v
b50r	29.52	69.06	-42.14	80.9	329	v68m
b75r	36.48	71.47	-3.69	71.57	357	m34o



%Umfang
 $u^*_{rel} = 109$
%Regularität
 $g^*_{H,rel} = 31$
 $g^*_{C,rel} = 40$

Brillantheit i^*

$i^* = 1.00$

$i^* = 0.80$

$i^* = 0.60$

$i^* = 0.40$

$i^* = 0.20$

Ein und Ausgabe: Farbmatisches Drucker-Reflektiv-System FRS09_92aM für relativen CIELAB-Bunton $h^* = lab^*h^* = h_{ab}/360 = 0.402$

Daten für jede Farbe:

lab^*tch^* und lab^*icu^*

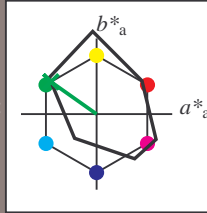
Buntontexte:

$u^*_e = j75g$ $u^*_d = l03c$

Kontrastreduzierungsfaktor:

$c_R = 1.0$

Dreiecks-Helligkeit t^*



FRS09_92aM; adaptierte CIELAB-Daten

u^*_e	$L^*=L^*_a$	a^*_a	b^*_a	$C^*_{ab,a}$	$h^*_{ab,a}$
O _{Ma}	35.06	60.0	44.0	74.4	36
Y _{Ma}	83.77	-5.17	109.32	109.44	93
L _{Ma}	44.13	-62.67	48.24	79.09	142
C _{Ma}	52.66	-29.14	-31.99	43.27	228
V _{Ma}	14.15	50.3	-59.04	77.57	310
M _{Ma}	37.37	78.64	-33.5	85.48	337
N _{Ma}	8.58	0.0	0.0	0.0	0
W _{Ma}	92.02	0.0	0.0	0.0	0
R _{Ma}	39.92	58.74	27.99	65.07	25
J _{Ma}	81.26	-2.89	71.56	71.62	92
G _{Ma}	52.23	-42.42	13.6	44.55	162
B _{Ma}	30.57	1.41	-46.47	46.49	272

Daten für Maximalfarbe (Ma):

$LAB^*LAB^*_{Ma}$: 45 -60 43

$LAB^*LCH^*_{Ma}$: 45 74 144

$lab^*rgb^*_{Ma}$: 0.25 1.0 0.0

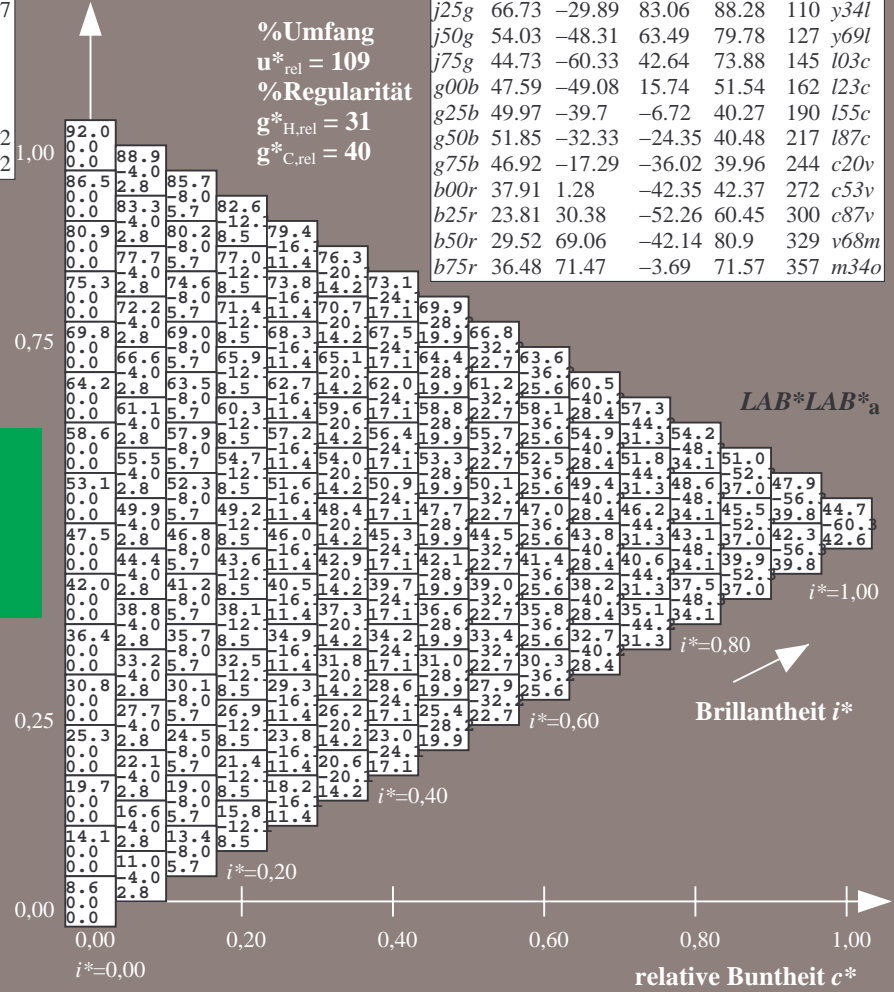
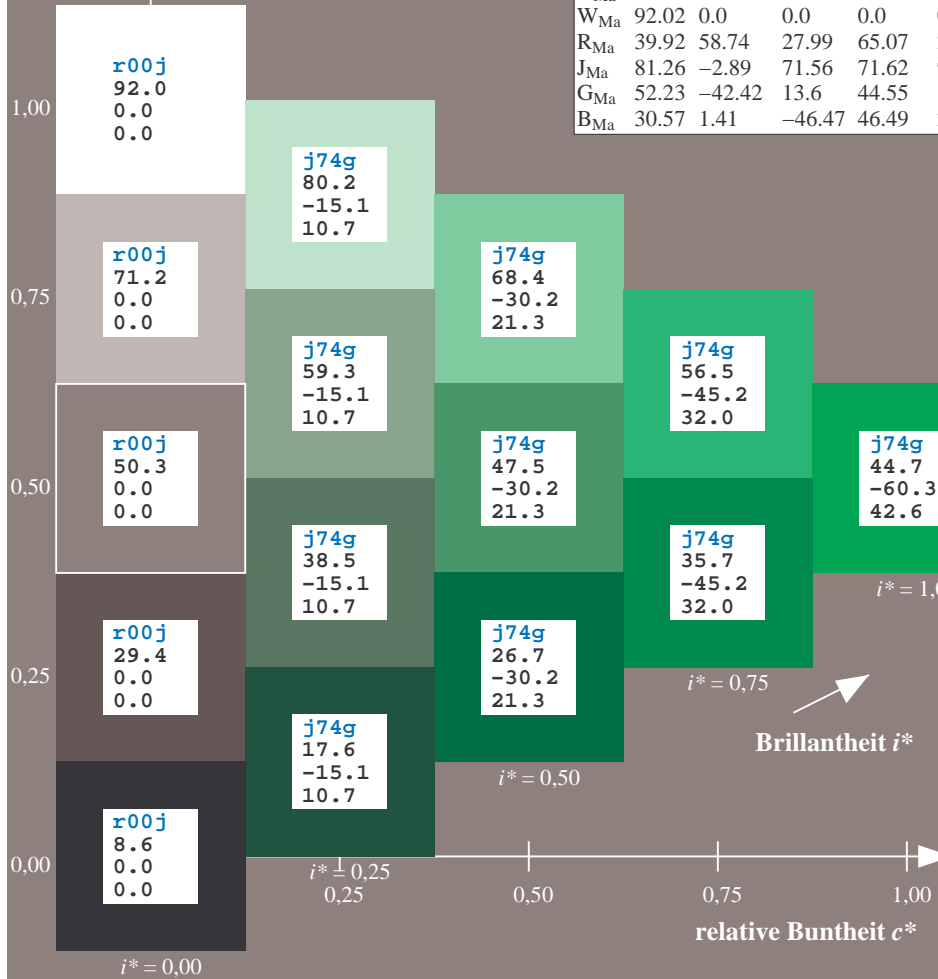
$lab^*olv^*_{Ma}$: 0.0 1.0 0.03

Dreiecks-Helligkeit t^*

FRS09_92aM; adaptierte CIELAB-Daten

u^*_e	$L^*=L^*_a$	a^*_a	b^*_a	$C^*_{ab,a}$	$h^*_{ab,a}$	u^*_d
r00j	35.47	63.32	30.17	70.15	25	m81o
r25j	39.12	54.56	49.45	73.64	42	o10y
r50j	50.64	39.15	64.89	75.79	59	o40y
r75j	64.01	21.26	82.83	85.52	76	o69y
j00g	83.18	-4.38	108.53	108.62	92	o98y
j25g	66.73	-29.89	83.06	88.28	110	y34l
j50g	54.03	-48.31	63.49	79.78	127	y69l
j75g	44.73	-60.33	42.64	73.88	145	l03c
g00b	47.59	-49.08	15.74	51.54	162	i23c
g25b	49.97	-39.7	-6.72	40.27	190	i55c
g50b	51.85	-32.33	-24.35	40.48	217	i87c
g75b	46.92	-17.29	-36.02	39.96	244	c20v
b00r	37.91	1.28	-42.35	42.37	272	c53v
b25r	23.81	30.38	-52.26	60.45	300	c87v
b50r	29.52	69.06	-42.14	80.9	329	v68m
b75r	36.48	71.47	-3.69	71.57	357	m34o

$u^*_e = j75g$
 $LAB^*LAB^*_a$



%Umfang
 $u^*_{rel} = 109$
%Regularität
 $g^*_{H,rel} = 31$
 $g^*_{C,rel} = 40$

$LAB^*LAB^*_a$

Brillantheit i^*

Ein und Ausgabe: Farbmatisches Drucker-Reflektiv-System FRS09_92aM für relativen CIELAB-Bunton $h^* = lab^*h^* = h_{ab}/360 = 0.451$

$u^*_e = g00b$
 $LAB^*LAB^*_a$

Daten für jede Farbe:

lab^*tch^* und lab^*icu^*

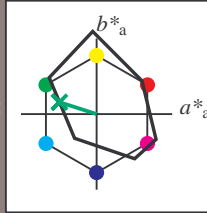
Buntontexte:

$u^*_e = g00b$ $u^*_d = l23c$

Kontrastreduzierungsfaktor:

$c_R = 1.0$

Dreiecks-Helligkeit t^*



FRS09_92aM; adaptierte CIELAB-Daten

u^*_e	$L^*=L^*_a$	a^*_a	b^*_a	$C^*_{ab,a}$	$h^*_{ab,a}$
O _{Ma}	35.06	60.0	44.0	74.4	36
Y _{Ma}	83.77	-5.17	109.32	109.44	93
L _{Ma}	44.13	-62.67	48.24	79.09	142
C _{Ma}	52.66	-29.14	-31.99	43.27	228
V _{Ma}	14.15	50.3	-59.04	77.57	310
M _{Ma}	37.37	78.64	-33.5	85.48	337
N _{Ma}	8.58	0.0	0.0	0.0	0
W _{Ma}	92.02	0.0	0.0	0.0	0
R _{Ma}	39.92	58.74	27.99	65.07	25
J _{Ma}	81.26	-2.89	71.56	71.62	92
G _{Ma}	52.23	-42.42	13.6	44.55	162
B _{Ma}	30.57	1.41	-46.47	46.49	272

Daten für Maximalfarbe (Ma):

$LAB^*LAB^*_Ma$: 48 -49 16

$LAB^*LCH^*_Ma$: 48 52 162

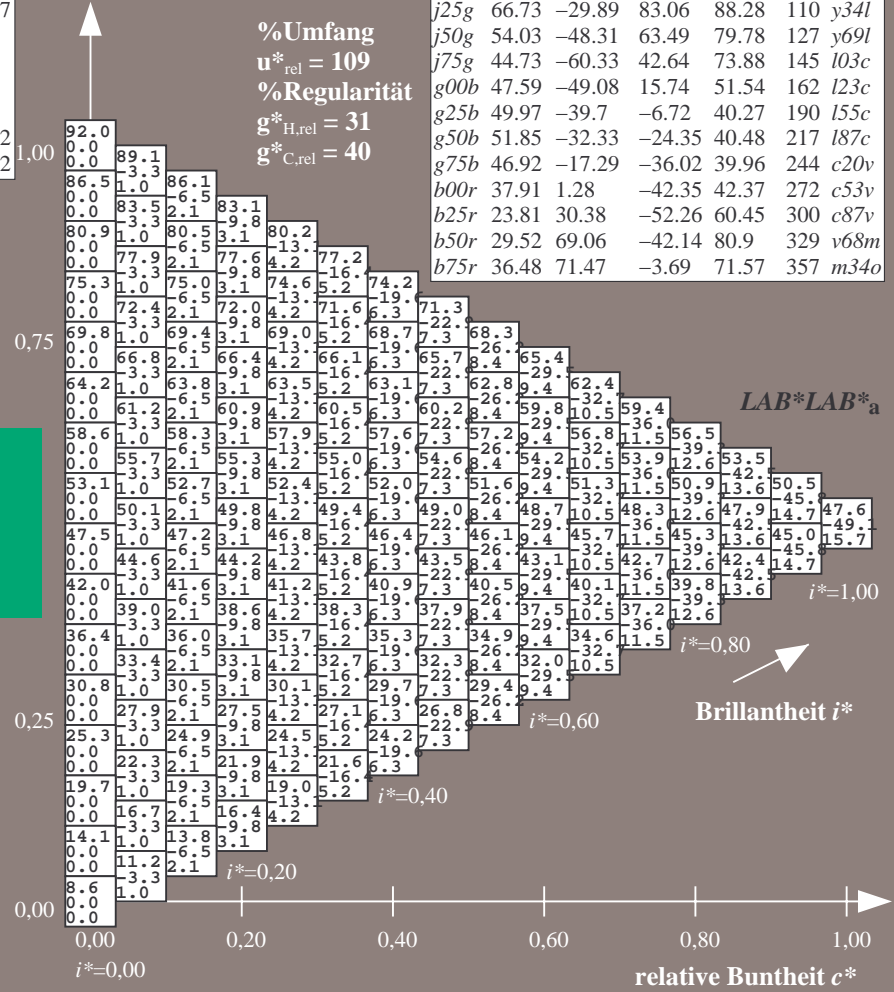
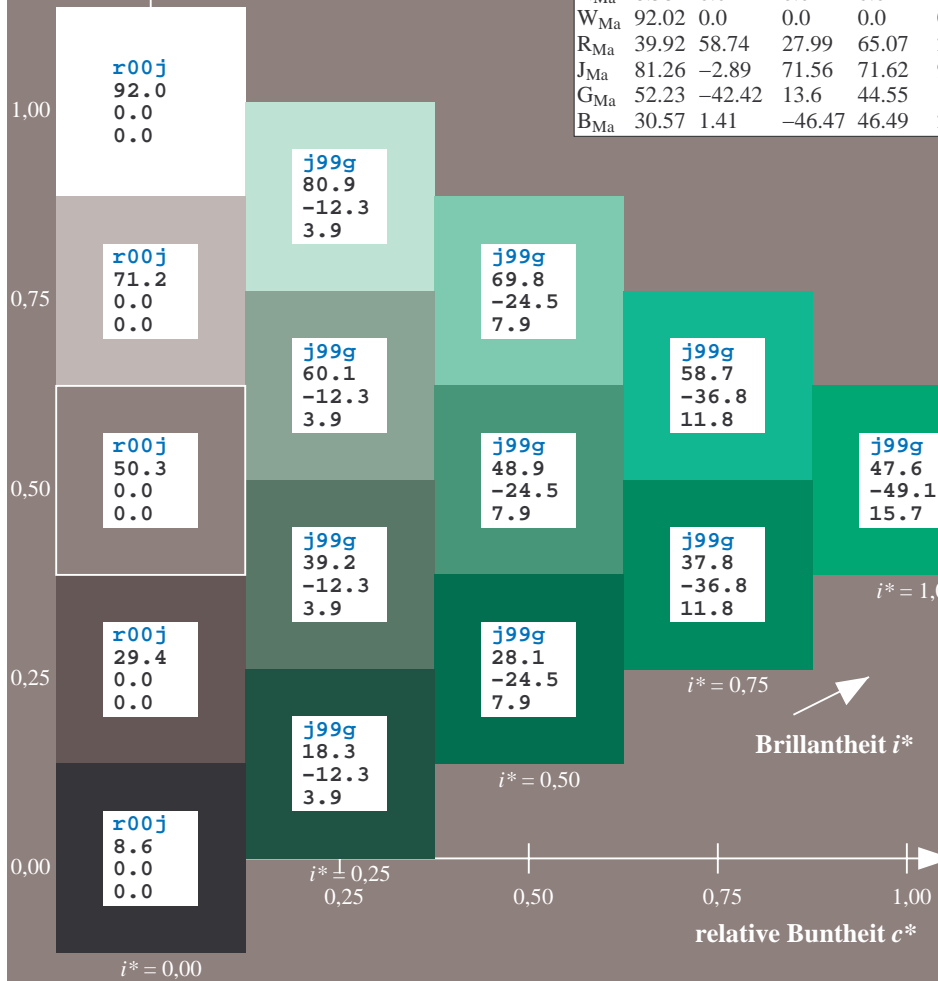
$lab^*rgb^*_Ma$: 0.0 1.0 0.0

$lab^*olv^*_Ma$: 0.0 1.0 0.23

Dreiecks-Helligkeit t^*

FRS09_92aM; adaptierte CIELAB-Daten

u^*_e	$L^*=L^*_a$	a^*_a	b^*_a	$C^*_{ab,a}$	$h^*_{ab,a}$	u^*_d
r00j	35.47	63.32	30.17	70.15	25	m81o
r25j	39.12	54.56	49.45	73.64	42	o10y
r50j	50.64	39.15	64.89	75.79	59	o40y
r75j	64.01	21.26	82.83	85.52	76	o69y
j00g	83.18	-4.38	108.53	108.62	92	o98y
j25g	66.73	-29.89	83.06	88.28	110	y34l
j50g	54.03	-48.31	63.49	79.78	127	y69l
j75g	44.73	-60.33	42.64	73.88	145	l03c
g00b	47.59	-49.08	15.74	51.54	162	l23c
g25b	49.97	-39.7	-6.72	40.27	190	l55c
g50b	51.85	-32.33	-24.35	40.48	217	l87c
g75b	46.92	-17.29	-36.02	39.96	244	c20v
b00r	37.91	1.28	-42.35	42.37	272	c53v
b25r	23.81	30.38	-52.26	60.45	300	c87v
b50r	29.52	69.06	-42.14	80.9	329	v68m
b75r	36.48	71.47	-3.69	71.57	357	m34o



%Umfang
 $u^*_{rel} = 109$
%Regularität
 $g^*_{H,rel} = 31$
 $g^*_{C,rel} = 40$

$LAB^*LAB^*_a$

Brillantheit i^*

Ein und Ausgabe: Farbmatisches Drucker-Reflektiv-System FRS09_92aM für relativen CIELAB-Bunton $h^* = lab^*h^* = h_{ab}/360 = 0.527$

$u^*_e = g25b$
LAB*LAB*a

Daten für jede Farbe:

lab^*tch^* und lab^*icu^*

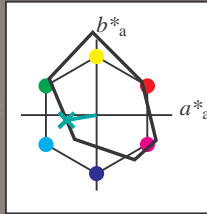
Buntontexte:

$u^*_e = g25b$ $u^*_d = l55c$

Kontrastreduzierungsfaktor:

$c_R = 1.0$

Dreiecks-Helligkeit t^*



FRS09_92aM; adaptierte CIELAB-Daten

u^*_e	$L^*=L^*_a$	a^*_a	b^*_a	$C^*_{ab,a}$	$h^*_{ab,a}$
O _{Ma}	35.06	60.0	44.0	74.4	36
Y _{Ma}	83.77	-5.17	109.32	109.44	93
L _{Ma}	44.13	-62.67	48.24	79.09	142
C _{Ma}	52.66	-29.14	-31.99	43.27	228
V _{Ma}	14.15	50.3	-59.04	77.57	310
M _{Ma}	37.37	78.64	-33.5	85.48	337
N _{Ma}	8.58	0.0	0.0	0.0	0
W _{Ma}	92.02	0.0	0.0	0.0	0
R _{Ma}	39.92	58.74	27.99	65.07	25
J _{Ma}	81.26	-2.89	71.56	71.62	92
G _{Ma}	52.23	-42.42	13.6	44.55	162
B _{Ma}	30.57	1.41	-46.47	46.49	272

Daten für Maximalfarbe (Ma):

LAB*LAB*_{Ma}: 50 -40 -7

LAB*LCH*_{Ma}: 50 40 189

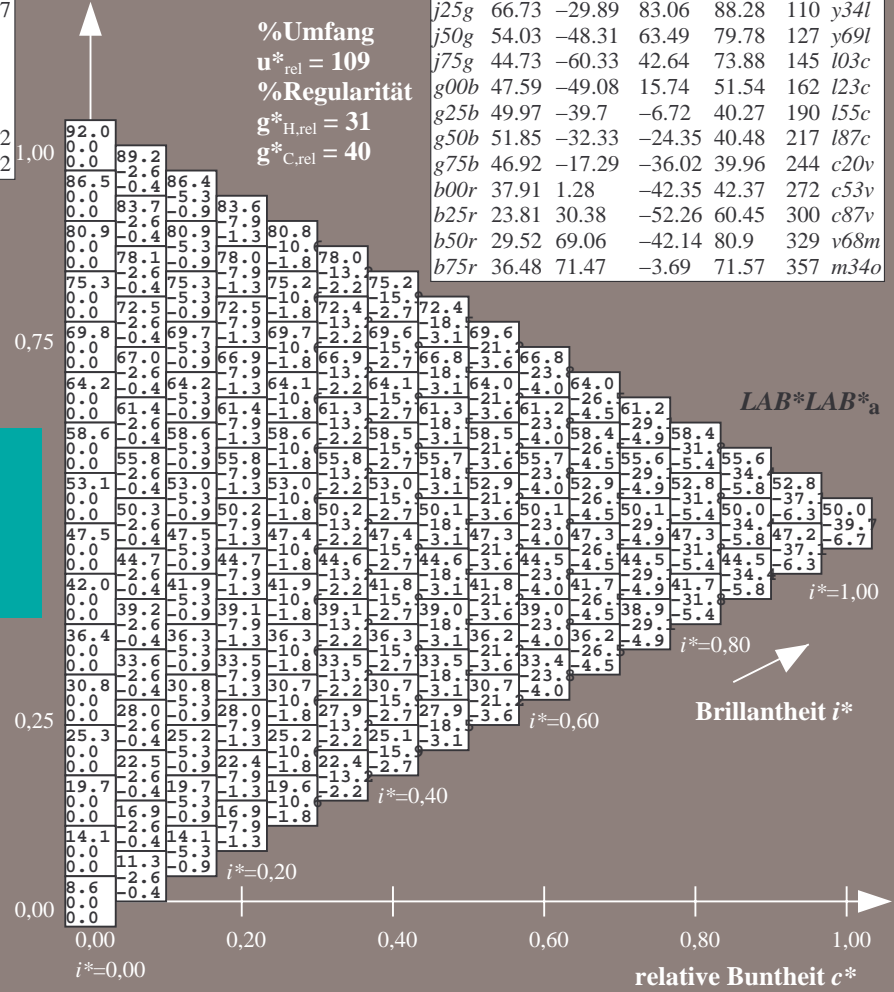
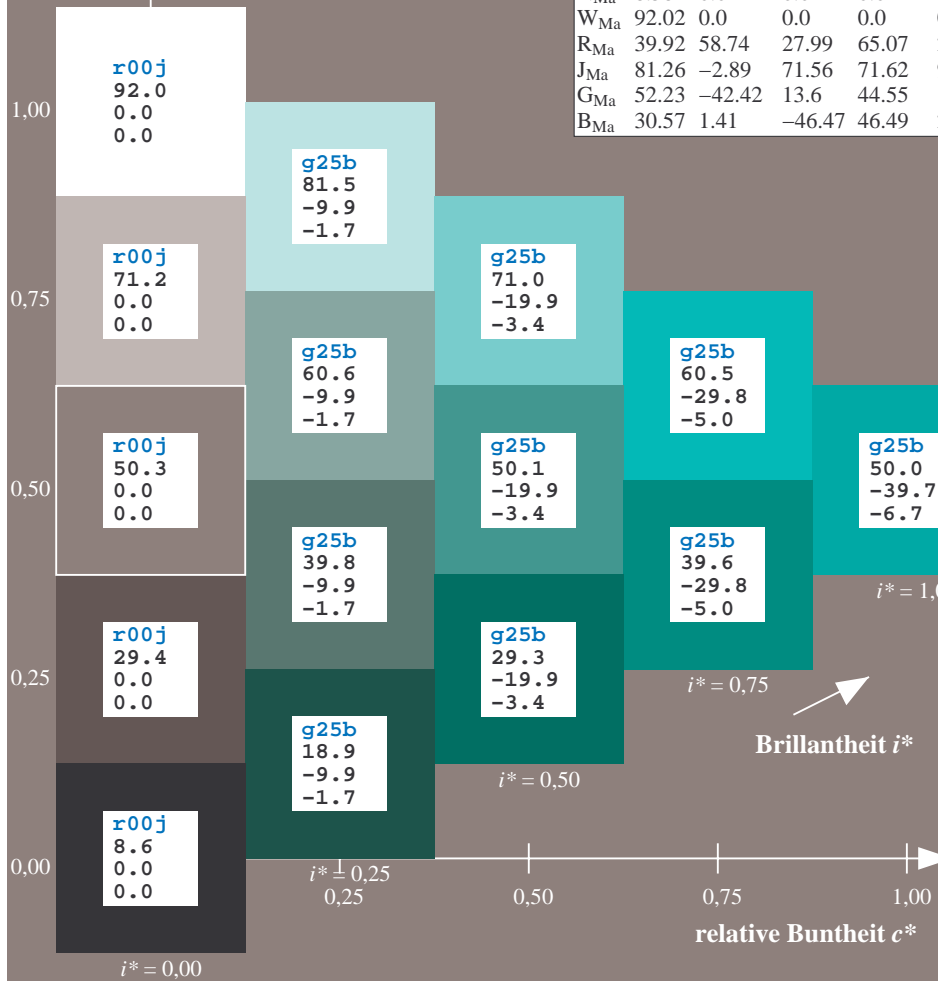
lab*rgb*_{Ma}: 0.0 1.0 0.5

lab*olv*_{Ma}: 0.0 1.0 0.55

Dreiecks-Helligkeit t^*

FRS09_92aM; adaptierte CIELAB-Daten

u^*_e	$L^*=L^*_a$	a^*_a	b^*_a	$C^*_{ab,a}$	$h^*_{ab,a}$	u^*_d
r00j	35.47	63.32	30.17	70.15	25	m81o
r25j	39.12	54.56	49.45	73.64	42	o10y
r50j	50.64	39.15	64.89	75.79	59	o40y
r75j	64.01	21.26	82.83	85.52	76	o69y
j00g	83.18	-4.38	108.53	108.62	92	o98y
j25g	66.73	-29.89	83.06	88.28	110	y34l
j50g	54.03	-48.31	63.49	79.78	127	y69l
j75g	44.73	-60.33	42.64	73.88	145	l03c
g00b	47.59	-49.08	15.74	51.54	162	i23c
g25b	49.97	-39.7	-6.72	40.27	190	i55c
g50b	51.85	-32.33	-24.35	40.48	217	i87c
g75b	46.92	-17.29	-36.02	39.96	244	c20v
b00r	37.91	1.28	-42.35	42.37	272	c53v
b25r	23.81	30.38	-52.26	60.45	300	c87v
b50r	29.52	69.06	-42.14	80.9	329	v68m
b75r	36.48	71.47	-3.69	71.57	357	m34o



Ein und Ausgabe: Farbmatisches Drucker-Reflektiv-System FRS09_92aM für relativen CIELAB-Bunton $h^* = lab^*h^* = h_{ab}/360 = 0.603$

$u^*_e = g50b$
 $LAB^*LAB^*_a$

Daten für jede Farbe:

lab^*tch^* und lab^*icu^*

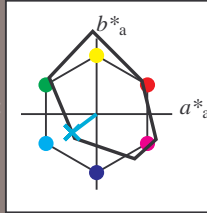
Buntontexte:

$u^*_e = g50b$ $u^*_d = l87c$

Kontrastreduzierungsfaktor:

$c_R = 1.0$

Dreiecks-Helligkeit t^*



FRS09_92aM; adaptierte CIELAB-Daten

u^*_e	$L^*=L^*_a$	a^*_a	b^*_a	$C^*_{ab,a}$	$h^*_{ab,a}$
O _{Ma}	35.06	60.0	44.0	74.4	36
Y _{Ma}	83.77	-5.17	109.32	109.44	93
L _{Ma}	44.13	-62.67	48.24	79.09	142
C _{Ma}	52.66	-29.14	-31.99	43.27	228
V _{Ma}	14.15	50.3	-59.04	77.57	310
M _{Ma}	37.37	78.64	-33.5	85.48	337
N _{Ma}	8.58	0.0	0.0	0.0	0
W _{Ma}	92.02	0.0	0.0	0.0	0
R _{Ma}	39.92	58.74	27.99	65.07	25
J _{Ma}	81.26	-2.89	71.56	71.62	92
G _{Ma}	52.23	-42.42	13.6	44.55	162
B _{Ma}	30.57	1.41	-46.47	46.49	272

Daten für Maximalfarbe (Ma):

$LAB^*LAB^*_Ma: 52 -32 -24$

$LAB^*LCH^*_Ma: 52 40 216$

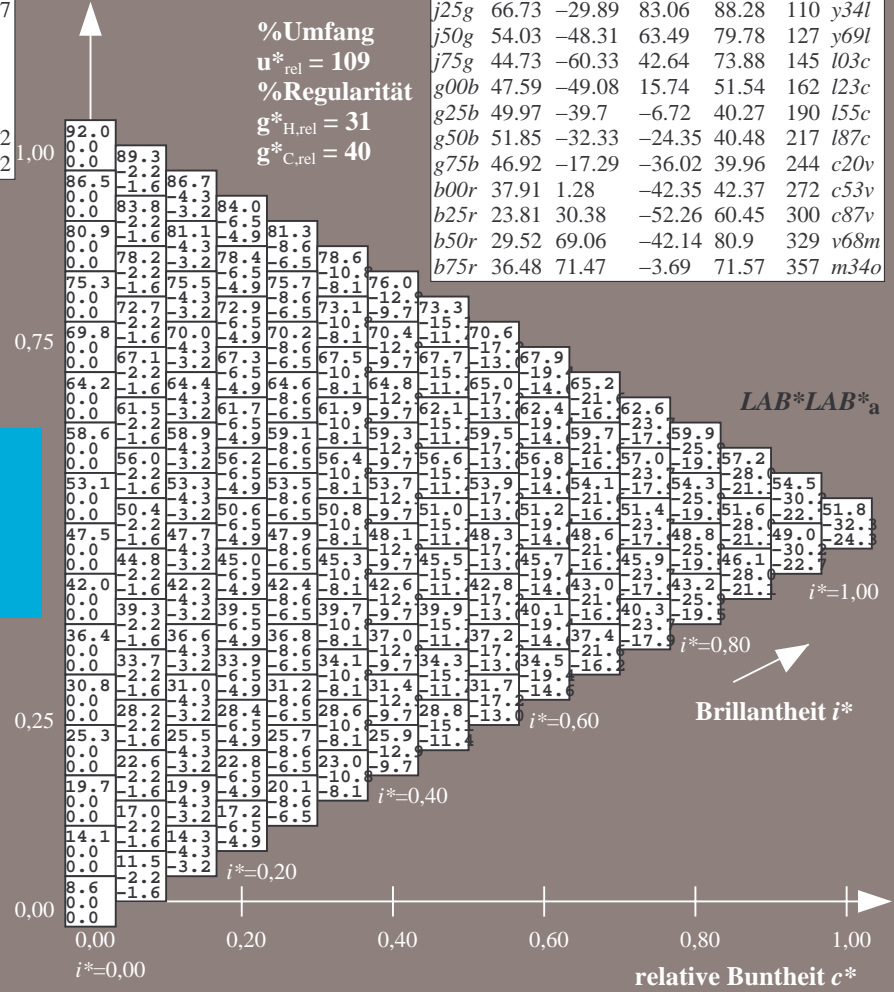
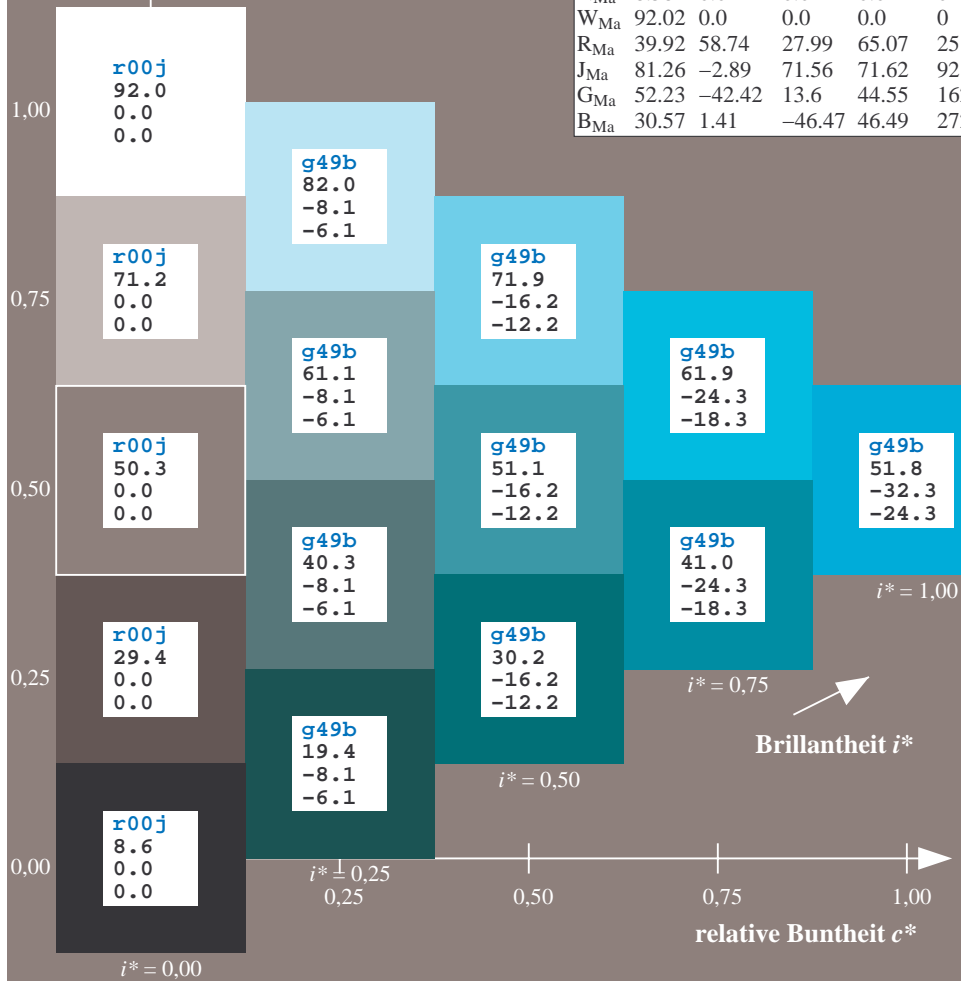
$lab^*rgb^*_Ma: 0.0 1.0 1.0$

$lab^*olv^*_Ma: 0.0 1.0 0.87$

Dreiecks-Helligkeit t^*

FRS09_92aM; adaptierte CIELAB-Daten

u^*_e	$L^*=L^*_a$	a^*_a	b^*_a	$C^*_{ab,a}$	$h^*_{ab,a}$	u^*_d
r00j	35.47	63.32	30.17	70.15	25	m81o
r25j	39.12	54.56	49.45	73.64	42	o10y
r50j	50.64	39.15	64.89	75.79	59	o40y
r75j	64.01	21.26	82.83	85.52	76	o69y
j00g	83.18	-4.38	108.53	108.62	92	o98y
j25g	66.73	-29.89	83.06	88.28	110	y34l
j50g	54.03	-48.31	63.49	79.78	127	y69l
j75g	44.73	-60.33	42.64	73.88	145	l03c
g00b	47.59	-49.08	15.74	51.54	162	l23c
g25b	49.97	-39.7	-6.72	40.27	190	l55c
g50b	51.85	-32.33	-24.35	40.48	217	l87c
g75b	46.92	-17.29	-36.02	39.96	244	c20v
b00r	37.91	1.28	-42.35	42.37	272	c53v
b25r	23.81	30.38	-52.26	60.45	300	c87v
b50r	29.52	69.06	-42.14	80.9	329	v68m
b75r	36.48	71.47	-3.69	71.57	357	m34o



Ein und Ausgabe: Farbmatisches Drucker-Reflektiv-System FRS09_92aM für relativen CIELAB-Bunton $h^* = lab \cdot h^* = h_{ab}/360 = 0.679$

Daten für jede Farbe:

$lab \cdot tch^*$ und $lab \cdot icu^*$

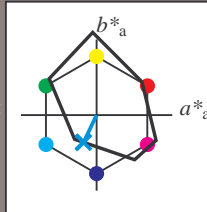
Buntontexte:

$u^*_e = g75b$ $u^*_d = c20v$

Kontrastreduzierungsfaktor:

$c_R = 1.0$

Dreiecks-Helligkeit t^*



FRS09_92aM; adaptierte CIELAB-Daten

u^*_e	$L^*=L^*_a$	a^*_a	b^*_a	$C^*_{ab,a}$	$h^*_{ab,a}$
O _{Ma}	35.06	60.0	44.0	74.4	36
Y _{Ma}	83.77	-5.17	109.32	109.44	93
L _{Ma}	44.13	-62.67	48.24	79.09	142
C _{Ma}	52.66	-29.14	-31.99	43.27	228
V _{Ma}	14.15	50.3	-59.04	77.57	310
M _{Ma}	37.37	78.64	-33.5	85.48	337
N _{Ma}	8.58	0.0	0.0	0.0	0
W _{Ma}	92.02	0.0	0.0	0.0	0
R _{Ma}	39.92	58.74	27.99	65.07	25
J _{Ma}	81.26	-2.89	71.56	71.62	92
G _{Ma}	52.23	-42.42	13.6	44.55	162
B _{Ma}	30.57	1.41	-46.47	46.49	272

$u^*_e = g75b$
 $LAB \cdot LAB^*_a$

Daten für Maximalfarbe (Ma):

$LAB \cdot LAB^*_Ma: 47 -17 -36$

$LAB \cdot LCH^*_Ma: 47 40 244$

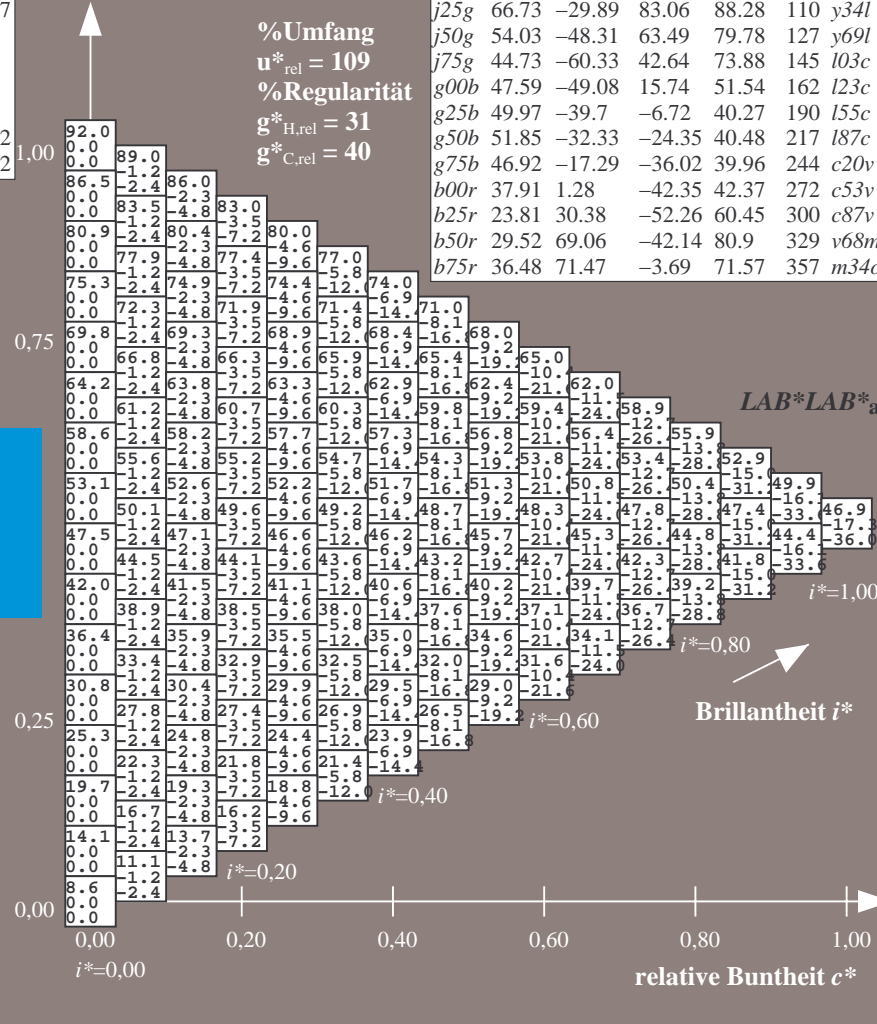
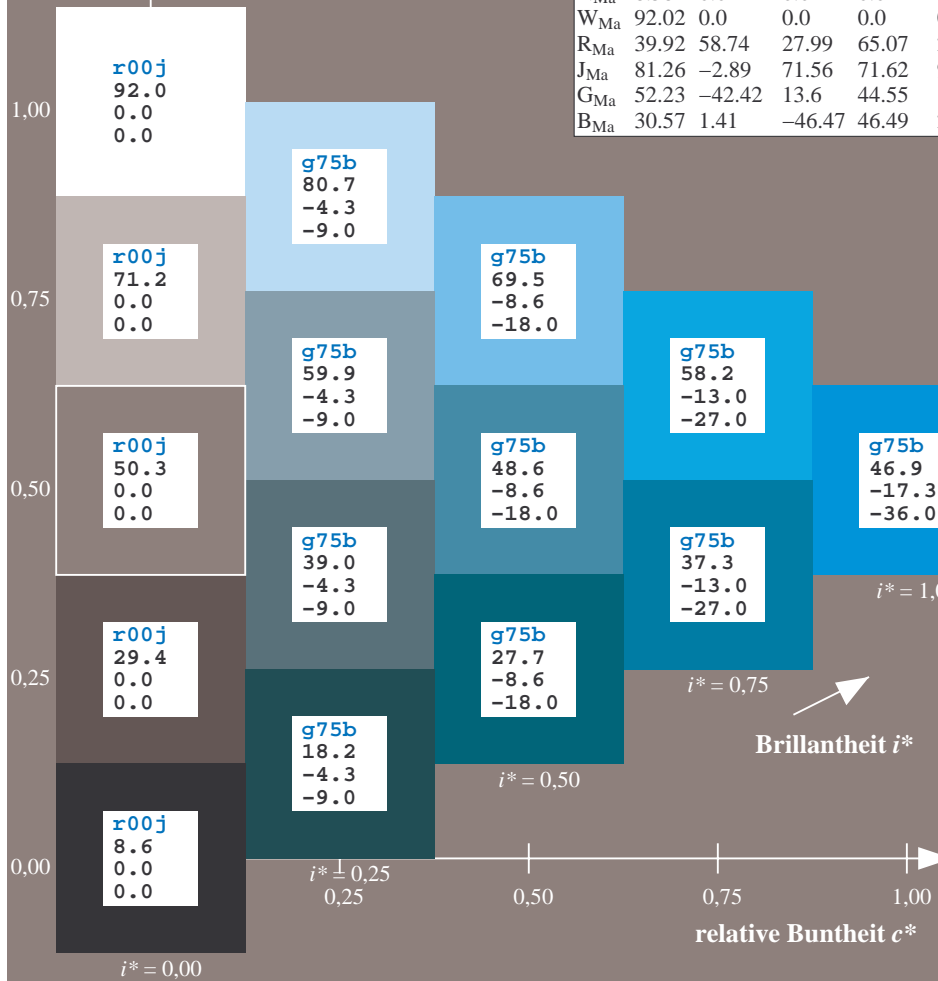
$lab \cdot rgb^*_Ma: 0.0 0.5 1.0$

$lab \cdot olv^*_Ma: 0.0 0.8 1.0$

Dreiecks-Helligkeit t^*

FRS09_92aM; adaptierte CIELAB-Daten

u^*_e	$L^*=L^*_a$	a^*_a	b^*_a	$C^*_{ab,a}$	$h^*_{ab,a}$	u^*_d
r00j	35.47	63.32	30.17	70.15	25	m81o
r25j	39.12	54.56	49.45	73.64	42	o10y
r50j	50.64	39.15	64.89	75.79	59	o40y
r75j	64.01	21.26	82.83	85.52	76	o69y
j00g	83.18	-4.38	108.53	108.62	92	o98y
j25g	66.73	-29.89	83.06	88.28	110	y34l
j50g	54.03	-48.31	63.49	79.78	127	y69l
j75g	44.73	-60.33	42.64	73.88	145	l03c
g00b	47.59	-49.08	15.74	51.54	162	l23c
g25b	49.97	-39.7	-6.72	40.27	190	l55c
g50b	51.85	-32.33	-24.35	40.48	217	l87c
g75b	46.92	-17.29	-36.02	39.96	244	c20v
b00r	37.91	1.28	-42.35	42.37	272	c53v
b25r	23.81	30.38	-52.26	60.45	300	c87v
b50r	29.52	69.06	-42.14	80.9	329	v68m
b75r	36.48	71.47	-3.69	71.57	357	m34o



%Umfang
 $u^*_{rel} = 109$
%Regularität
 $g^*_{H,rel} = 31$
 $g^*_{C,rel} = 40$

Ein und Ausgabe: Farbmatisches Drucker-Reflektiv-System FRS09_92aM für relativen CIELAB-Bunton $h^* = lab^*h^* = h_{ab}/360 = 0.755$

$u^*_e = b00r$
LAB*LAB*a

Daten für jede Farbe:

lab^*tch^* und lab^*icu^*

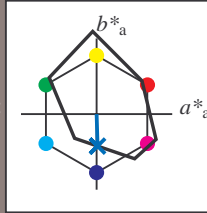
Buntontexte:

$u^*_e = b00r$ $u^*_d = c53v$

Kontrastreduzierungsfaktor:

$c_R = 1.0$

Dreiecks-Helligkeit t^*



FRS09_92aM; adaptierte CIELAB-Daten

	u^*_e	$L^*=L^*_a$	a^*_a	b^*_a	$C^*_{ab,a}$	$h^*_{ab,a}$
O _{Ma}	35.06	60.0	44.0	74.4	36	
Y _{Ma}	83.77	-5.17	109.32	109.44	93	
L _{Ma}	44.13	-62.67	48.24	79.09	142	
C _{Ma}	52.66	-29.14	-31.99	43.27	228	
V _{Ma}	14.15	50.3	-59.04	77.57	310	
M _{Ma}	37.37	78.64	-33.5	85.48	337	
N _{Ma}	8.58	0.0	0.0	0.0	0	
W _{Ma}	92.02	0.0	0.0	0.0	0	
R _{Ma}	39.92	58.74	27.99	65.07	25	
J _{Ma}	81.26	-2.89	71.56	71.62	92	
G _{Ma}	52.23	-42.42	13.6	44.55	162	
B _{Ma}	30.57	1.41	-46.47	46.49	272	

Daten für Maximalfarbe (Ma):

LAB*LAB*_{Ma}: 38 1 -42

LAB*LCH*_{Ma}: 38 42 271

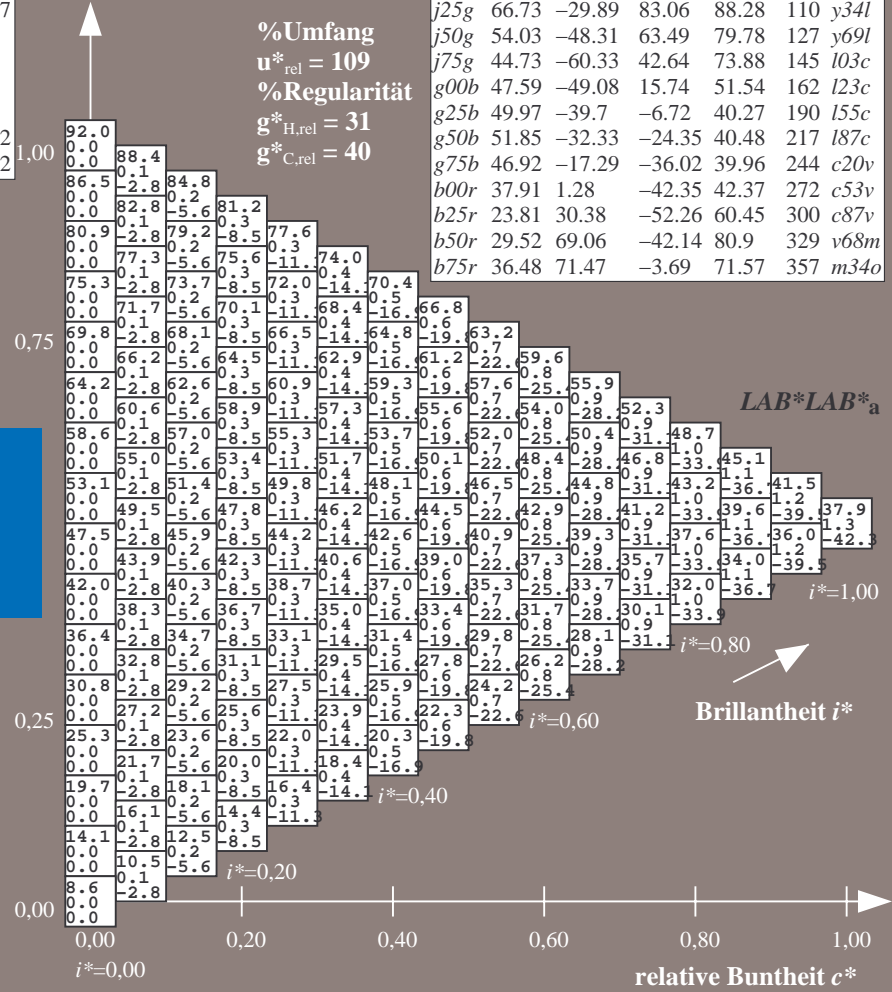
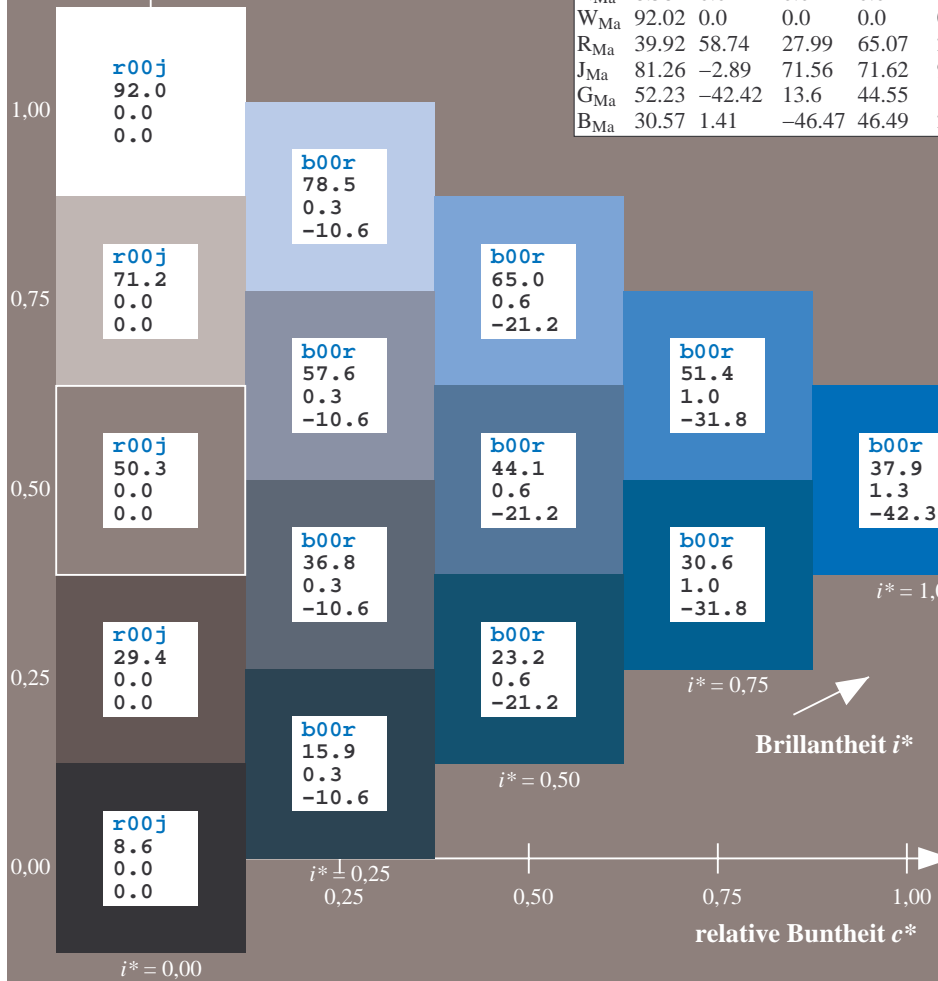
lab*rgb*_{Ma}: 0.0 0.0 1.0

lab*olv*_{Ma}: 0.0 0.47 1.0

Dreiecks-Helligkeit t^*

FRS09_92aM; adaptierte CIELAB-Daten

	u^*_e	$L^*=L^*_a$	a^*_a	b^*_a	$C^*_{ab,a}$	$h^*_{ab,a}$	u^*_d
r00j	35.47	63.32	30.17	70.15	25	m81o	
r25j	39.12	54.56	49.45	73.64	42	o10y	
r50j	50.64	39.15	64.89	75.79	59	o40y	
r75j	64.01	21.26	82.83	85.52	76	o69y	
j00g	83.18	-4.38	108.53	108.62	92	o98y	
j25g	66.73	-29.89	83.06	88.28	110	y34l	
j50g	54.03	-48.31	63.49	79.78	127	y69l	
j75g	44.73	-60.33	42.64	73.88	145	103c	
g00b	47.59	-49.08	15.74	51.54	162	l23c	
g25b	49.97	-39.7	-6.72	40.27	190	l55c	
g50b	51.85	-32.33	-24.35	40.48	217	l87c	
g75b	46.92	-17.29	-36.02	39.96	244	c20v	
b00r	37.91	1.28	-42.35	42.37	272	c53v	
b25r	23.81	30.38	-52.26	60.45	300	c87v	
b50r	29.52	69.06	-42.14	80.9	329	v68m	
b75r	36.48	71.47	-3.69	71.57	357	m34o	



Ein und Ausgabe: Farbmatisches Drucker-Reflektiv-System FRS09_92aM für relativen CIELAB-Bunton $h^* = lab^*h^* = h_{ab}/360 = 0.834$

$u^*_e = b25r$
LAB*LAB*a

Daten für jede Farbe:

lab^*ch^* und lab^*icu^*

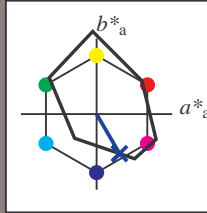
Buntontexte:

$u^*_e = b25r$ $u^*_d = c87v$

Kontrastreduzierungsfaktor:

$c_R = 1.0$

Dreiecks-Helligkeit t^*



FRS09_92aM; adaptierte CIELAB-Daten

u^*_e	$L^*=L^*_a$	a^*_a	b^*_a	$C^*_{ab,a}$	$h^*_{ab,a}$
O _{Ma}	35.06	60.0	44.0	74.4	36
Y _{Ma}	83.77	-5.17	109.32	109.44	93
L _{Ma}	44.13	-62.67	48.24	79.09	142
C _{Ma}	52.66	-29.14	-31.99	43.27	228
V _{Ma}	14.15	50.3	-59.04	77.57	310
M _{Ma}	37.37	78.64	-33.5	85.48	337
N _{Ma}	8.58	0.0	0.0	0.0	0
W _{Ma}	92.02	0.0	0.0	0.0	0
R _{Ma}	39.92	58.74	27.99	65.07	25
J _{Ma}	81.26	-2.89	71.56	71.62	92
G _{Ma}	52.23	-42.42	13.6	44.55	162
B _{Ma}	30.57	1.41	-46.47	46.49	272

Daten für Maximalfarbe (Ma):

LAB*LAB*_{Ma}: 24 30 -52

LAB*LCH*_{Ma}: 24 60 300

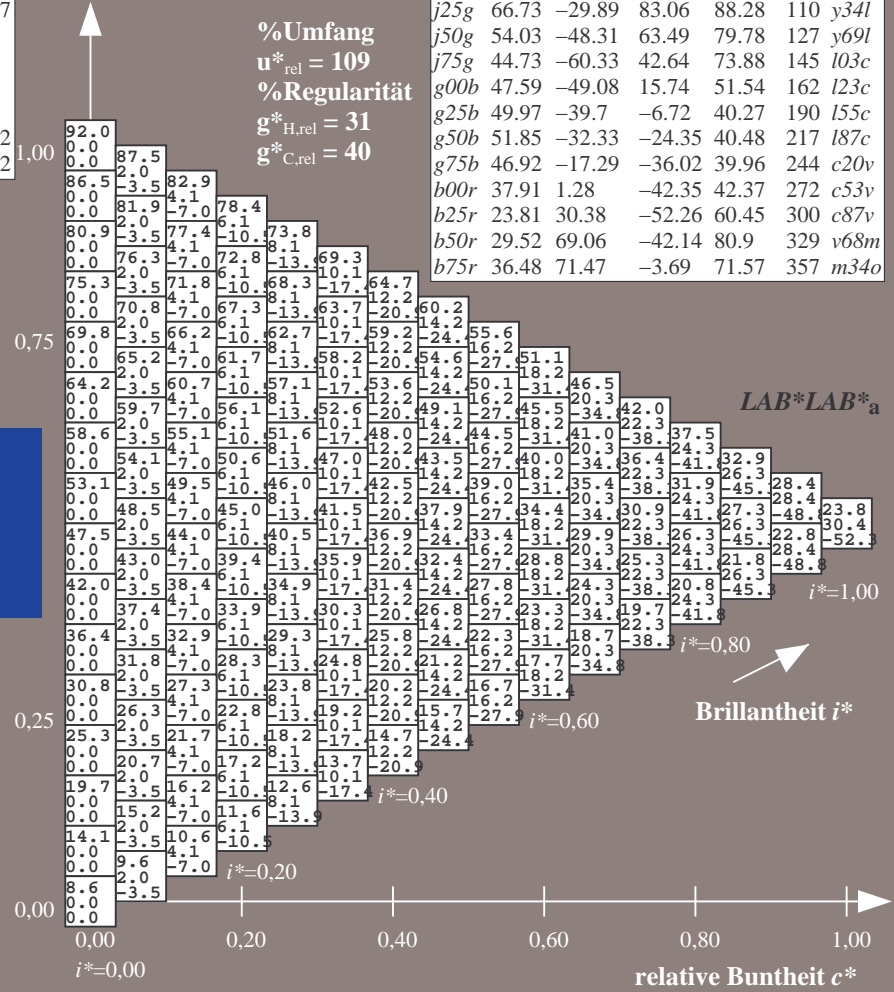
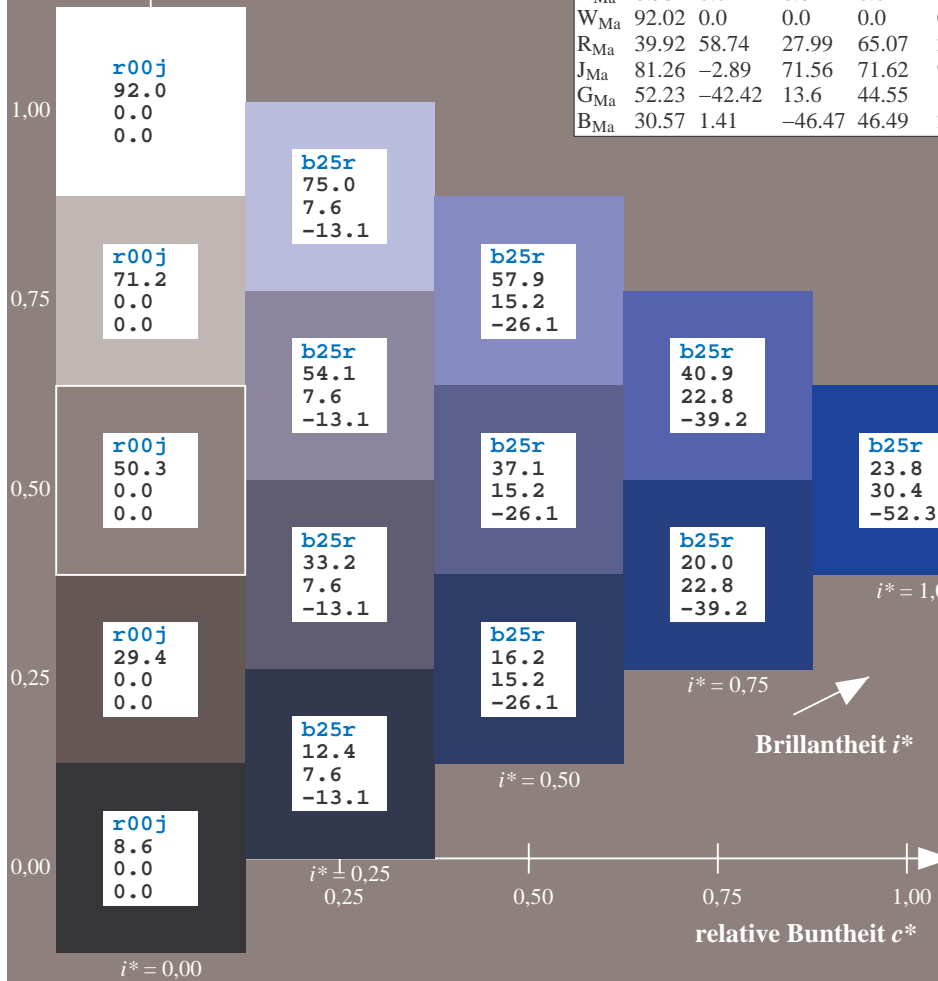
lab*rgb*_{Ma}: 0.5 0.0 1.0

lab*olv*_{Ma}: 0.0 0.12 1.0

Dreiecks-Helligkeit t^*

FRS09_92aM; adaptierte CIELAB-Daten

u^*_e	$L^*=L^*_a$	a^*_a	b^*_a	$C^*_{ab,a}$	$h^*_{ab,a}$	u^*_d
r00j	35.47	63.32	30.17	70.15	25	m81o
r25j	39.12	54.56	49.45	73.64	42	o10y
r50j	50.64	39.15	64.89	75.79	59	o40y
r75j	64.01	21.26	82.83	85.52	76	o69y
j00g	83.18	-4.38	108.53	108.62	92	o98y
j25g	66.73	-29.89	83.06	88.28	110	y34l
j50g	54.03	-48.31	63.49	79.78	127	y69l
j75g	44.73	-60.33	42.64	73.88	145	i03c
g00b	47.59	-49.08	15.74	51.54	162	i23c
g25b	49.97	-39.7	-6.72	40.27	190	i55c
g50b	51.85	-32.33	-24.35	40.48	217	i87c
g75b	46.92	-17.29	-36.02	39.96	244	c20v
b00r	37.91	1.28	-42.35	42.37	272	c53v
b25r	23.81	30.38	-52.26	60.45	300	c87v
b50r	29.52	69.06	-42.14	80.9	329	v68m
b75r	36.48	71.47	-3.69	71.57	357	m34o



Ein und Ausgabe: Farbmatisches Drucker-Reflektiv-System FRS09_92aM für relativen CIELAB-Bunton $h^* = lab^*h^* = h_{ab}/360 = 0.913$

Daten für jede Farbe:

lab^*tch^* und lab^*icu^*

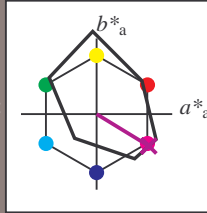
Buntontexte:

$u^*_e = b50r$ $u^*_d = v68m$

Kontrastreduzierungsfaktor:

$c_R = 1.0$

Dreiecks-Helligkeit t^*



FRS09_92aM; adaptierte CIELAB-Daten

u^*_e	$L^*=L^*_a$	a^*_a	b^*_a	$C^*_{ab,a}$	$h^*_{ab,a}$
O _{Ma}	35.06	60.0	44.0	74.4	36
Y _{Ma}	83.77	-5.17	109.32	109.44	93
L _{Ma}	44.13	-62.67	48.24	79.09	142
C _{Ma}	52.66	-29.14	-31.99	43.27	228
V _{Ma}	14.15	50.3	-59.04	77.57	310
M _{Ma}	37.37	78.64	-33.5	85.48	337
N _{Ma}	8.58	0.0	0.0	0.0	0
W _{Ma}	92.02	0.0	0.0	0.0	0
R _{Ma}	39.92	58.74	27.99	65.07	25
J _{Ma}	81.26	-2.89	71.56	71.62	92
G _{Ma}	52.23	-42.42	13.6	44.55	162
B _{Ma}	30.57	1.41	-46.47	46.49	272

Daten für Maximalfarbe (Ma):

$LAB^*LAB^*_{Ma}$: 30 69 -42

$LAB^*LCH^*_{Ma}$: 30 81 328

$lab^*rgb^*_{Ma}$: 1.0 0.0 1.0

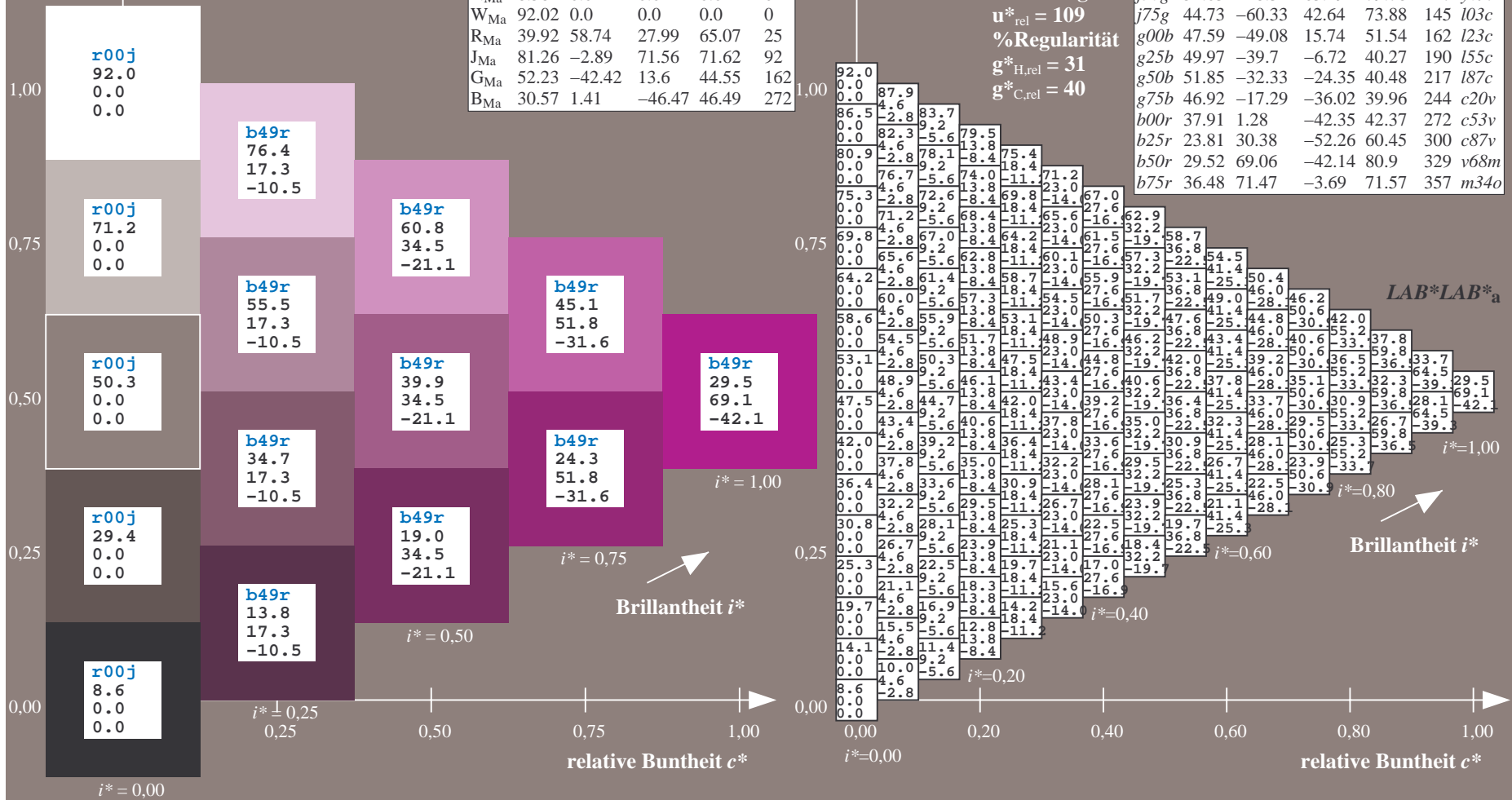
$lab^*olv^*_{Ma}$: 0.69 0.0 1.0

Dreiecks-Helligkeit t^*

FRS09_92aM; adaptierte CIELAB-Daten

u^*_e	$L^*=L^*_a$	a^*_a	b^*_a	$C^*_{ab,a}$	$h^*_{ab,a}$	u^*_d
r00j	35.47	63.32	30.17	70.15	25	m81o
r25j	39.12	54.56	49.45	73.64	42	o10y
r50j	50.64	39.15	64.89	75.79	59	o40y
r75j	64.01	21.26	82.83	85.52	76	o69y
j00g	83.18	-4.38	108.53	108.62	92	o98y
j25g	66.73	-29.89	83.06	88.28	110	y34l
j50g	54.03	-48.31	63.49	79.78	127	y69l
j75g	44.73	-60.33	42.64	73.88	145	l03c
g00b	47.59	-49.08	15.74	51.54	162	l23c
g25b	49.97	-39.7	-6.72	40.27	190	l55c
g50b	51.85	-32.33	-24.35	40.48	217	l87c
g75b	46.92	-17.29	-36.02	39.96	244	c20v
b00r	37.91	1.28	-42.35	42.37	272	c53v
b25r	23.81	30.38	-52.26	60.45	300	c87v
b50r	29.52	69.06	-42.14	80.9	329	v68m
b75r	36.48	71.47	-3.69	71.57	357	m34o

$u^*_e = b50r$
 $LAB^*LAB^*_a$



%Umfang
 $u^*_{rel} = 109$
%Regularität
 $g^*_{H,rel} = 31$
 $g^*_{C,rel} = 40$

$LAB^*LAB^*_a$

Brillantheit i^*

relative Buntheit c^*

Ein und Ausgabe: Farbmatisches Drucker-Reflektiv-System FRS09_92aM für relativen CIELAB-Bunton $h^* = lab^*h^* = h_{ab}/360 = 0.992$

$u^*_e = b75r$
LAB*LAB*a

Daten für jede Farbe:

lab^*tch^* und lab^*icu^*

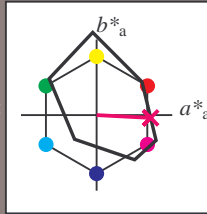
Buntontexte:

$u^*_e = b75r$ $u^*_d = m34o$

Kontrastreduzierungsfaktor:

$c_R = 1.0$

Dreiecks-Helligkeit t^*



FRS09_92aM; adaptierte CIELAB-Daten

u^*_e	$L^*=L^*_a$	a^*_a	b^*_a	$C^*_{ab,a}$	$h^*_{ab,a}$
O _{Ma}	35.06	60.0	44.0	74.4	36
Y _{Ma}	83.77	-5.17	109.32	109.44	93
L _{Ma}	44.13	-62.67	48.24	79.09	142
C _{Ma}	52.66	-29.14	-31.99	43.27	228
V _{Ma}	14.15	50.3	-59.04	77.57	310
M _{Ma}	37.37	78.64	-33.5	85.48	337
N _{Ma}	8.58	0.0	0.0	0.0	0
W _{Ma}	92.02	0.0	0.0	0.0	0
R _{Ma}	39.92	58.74	27.99	65.07	25
J _{Ma}	81.26	-2.89	71.56	71.62	92
G _{Ma}	52.23	-42.42	13.6	44.55	162
B _{Ma}	30.57	1.41	-46.47	46.49	272

Daten für Maximalfarbe (Ma):

LAB*LAB*_{Ma}: 36 71 -4

LAB*LCH*_{Ma}: 36 72 357

lab*rgb*_{Ma}: 1.0 0.0 0.5

lab*olv*_{Ma}: 1.0 0.0 0.66

Dreiecks-Helligkeit t^*

FRS09_92aM; adaptierte CIELAB-Daten

u^*_e	$L^*=L^*_a$	a^*_a	b^*_a	$C^*_{ab,a}$	$h^*_{ab,a}$	u^*_d
r00j	35.47	63.32	30.17	70.15	25	m81o
r25j	39.12	54.56	49.45	73.64	42	o10y
r50j	50.64	39.15	64.89	75.79	59	o40y
r75j	64.01	21.26	82.83	85.52	76	o69y
j00g	83.18	-4.38	108.53	108.62	92	o98y
j25g	66.73	-29.89	83.06	88.28	110	y34l
j50g	54.03	-48.31	63.49	79.78	127	y69l
j75g	44.73	-60.33	42.64	73.88	145	l03c
g00b	47.59	-49.08	15.74	51.54	162	l23c
g25b	49.97	-39.7	-6.72	40.27	190	l55c
g50b	51.85	-32.33	-24.35	40.48	217	l87c
g75b	46.92	-17.29	-36.02	39.96	244	c20v
b00r	37.91	1.28	-42.35	42.37	272	c53v
b25r	23.81	30.38	-52.26	60.45	300	c87v
b50r	29.52	69.06	-42.14	80.9	329	v68m
b75r	36.48	71.47	-3.69	71.57	357	m34o

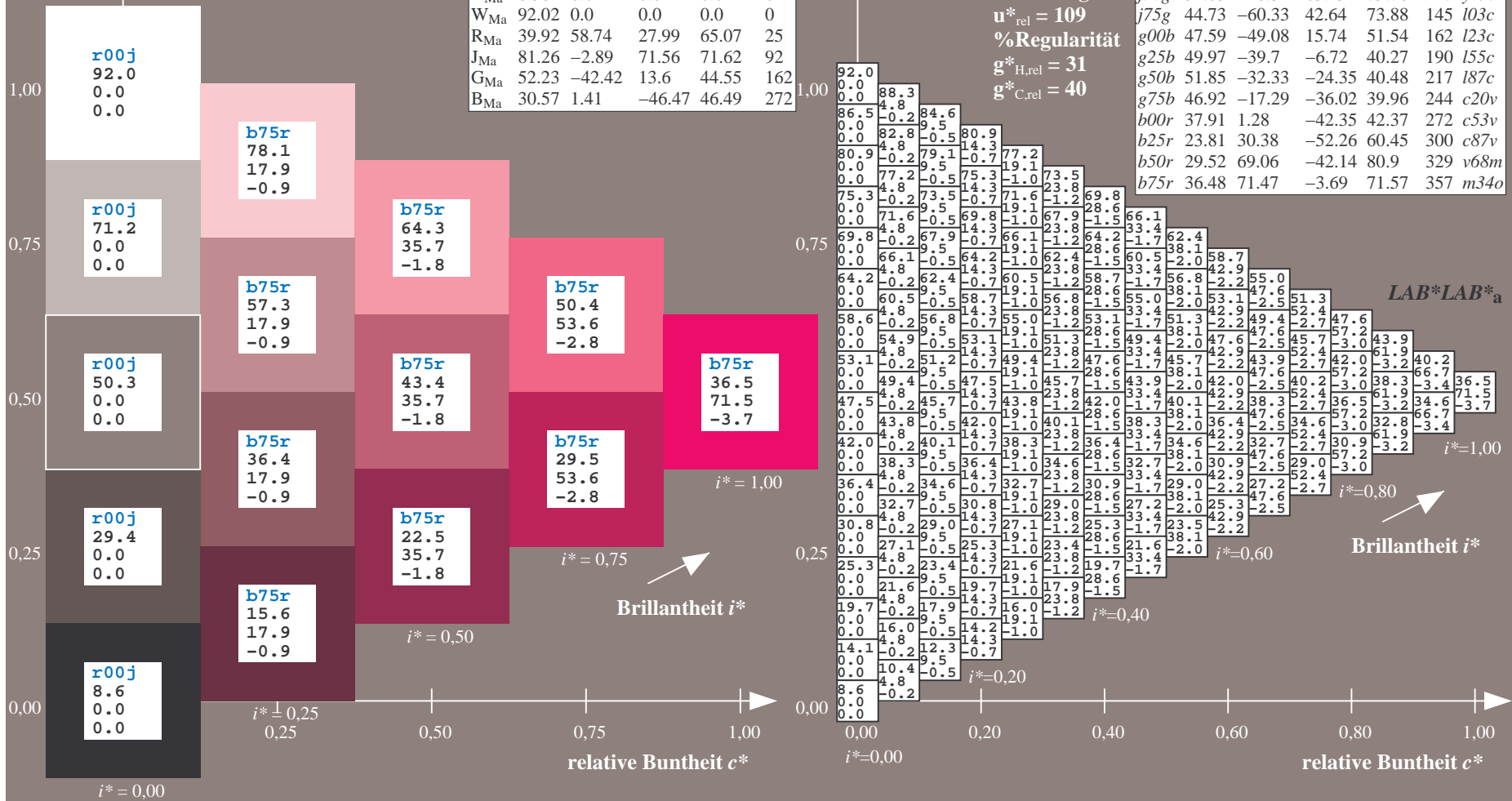


Table with columns A-LAB and rows 01-27. Each row contains numerical data points for each column. Row 01-02 are highlighted in light blue. Row 10 is highlighted in light red. Row 27 is highlighted in light green.

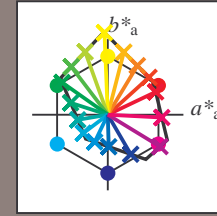
Ein und Ausgabe:
 Farbmetrisches Drucker-Reflektiv-System FRS09_92aM

Daten für jede Farbe:
 u^*_e und Nummer $Nr.$ = 00 .. 15

Elementar-Bunttextext:
 $u^*_e = 16$ Bunttoene $r00j, r25j, \dots, b75r$

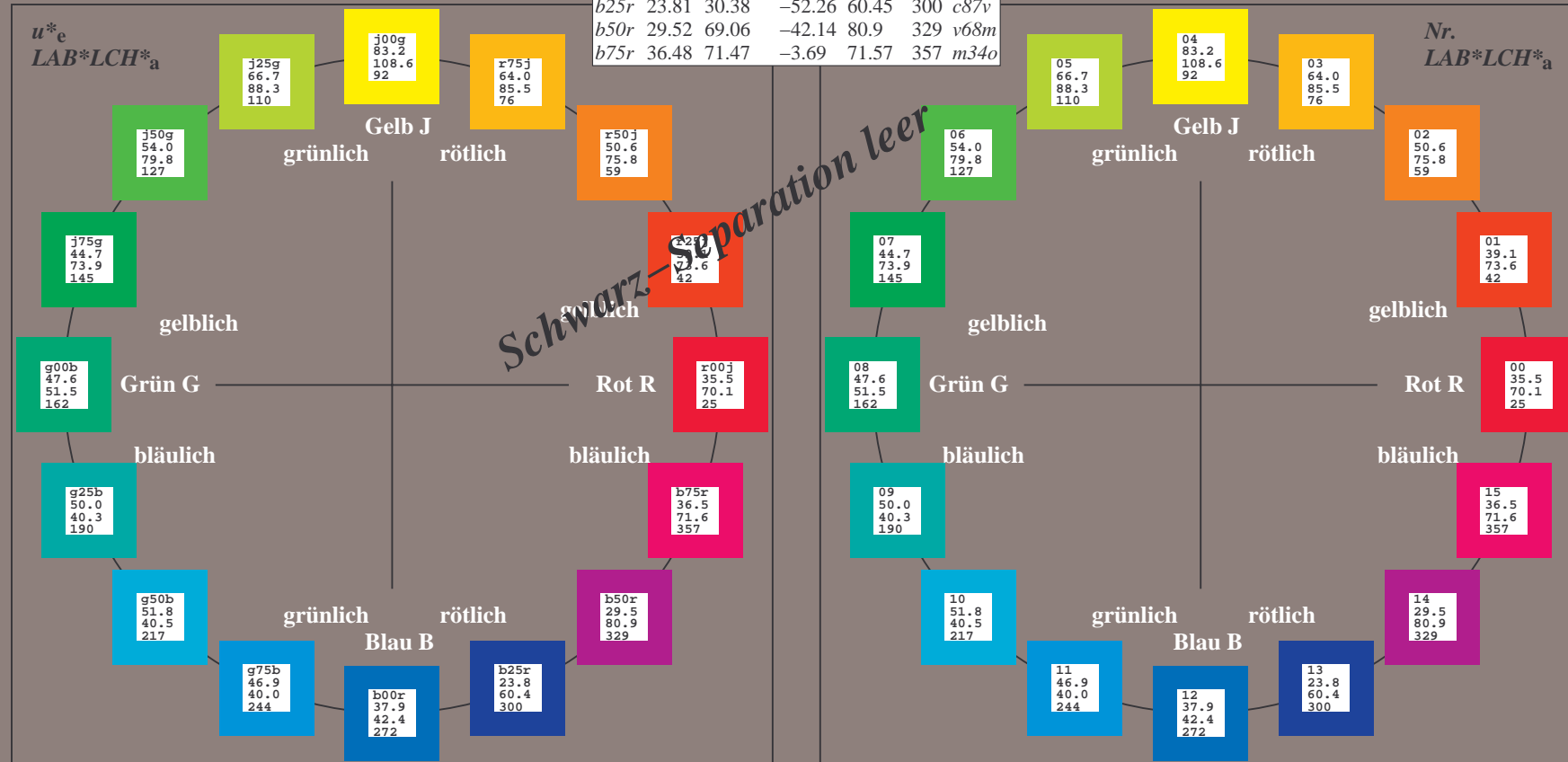
Kontrastreduzierungsfaktor:
 $c_R = 1.0$

FRS09_92aM; adaptierte CIELAB-Daten						
u^*_e	$L^*=L^*_a$	a^*_a	b^*_a	$C^*_{ab,a}$	$h^*_{ab,a}$	u^*_d
r00j	35.47	63.32	30.17	70.15	25	m81o
r25j	39.12	54.56	49.45	73.64	42	o10y
r50j	50.64	39.15	64.89	75.79	59	o40y
r75j	64.01	21.26	82.83	85.52	76	o69y
j00g	83.18	-4.38	108.53	108.62	92	o98y
j25g	66.73	-29.89	83.06	88.28	110	y34l
j50g	54.03	-48.31	63.49	79.78	127	y69l
j75g	44.73	-60.33	42.64	73.88	145	l03c
g00b	47.59	-49.08	15.74	51.54	162	l23c
g25b	49.97	-39.7	-6.72	40.27	190	l55c
g50b	51.85	-32.33	-24.35	40.48	217	l87c
g75b	46.92	-17.29	-36.02	39.96	244	c20v
b00r	37.91	1.28	-42.35	42.37	272	c53v
b25r	23.81	30.38	-52.26	60.45	300	c87v
b50r	29.52	69.06	-42.14	80.9	329	v68m
b75r	36.48	71.47	-3.69	71.57	357	m34o



%Umfang
 $u^*_{rel} = 109$
 %Regularität
 $g^*_{H,rel} = 31$
 $g^*_{C,rel} = 40$

FRS09_92aM; adaptierte CIELAB-Daten					
Name	$L^*=L^*_a$	a^*_a	b^*_a	$C^*_{ab,a}$	$h^*_{ab,a}$
OMa	35.06	60.0	44.0	74.4	36
YMa	83.77	-5.17	109.32	109.44	93
LMa	44.13	-62.67	48.24	79.09	142
CMa	52.66	-29.14	-31.99	43.27	228
VMa	14.15	50.3	-59.04	77.57	310
MMa	37.37	78.64	-33.5	85.48	337
NMa	8.58	0.0	0.0	0.0	0
WMa	92.02	0.0	0.0	0.0	0
RCIE	39.92	58.74	27.99	65.07	25
JCIE	81.26	-2.89	71.56	71.62	92
GCIE	52.23	-42.42	13.6	44.55	162
BCIE	30.57	1.41	-46.47	46.49	272



Ein und Ausgabe: Farbmatisches Drucker-Reflektiv-System FRS09_92aM für relativen CIELAB-Bunton $h^* = lab^*h^* = h_{ab}/360 = 0.071$

Daten für jede Farbe:

lab^*tch^* und lab^*icu^*

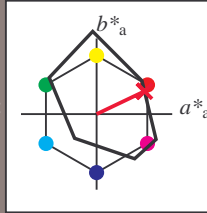
Buntontexte:

$u^*_e = r00j$ $u^*_d = m81o$

Kontrastreduzierungsfaktor:

$c_R = 1.0$

Dreiecks-Helligkeit t^*



FRS09_92aM; adaptierte CIELAB-Daten

	u^*_e	$L^*=L^*_a$	a^*_a	b^*_a	$C^*_{ab,a}$	$h^*_{ab,a}$
O _{Ma}	35.06	60.0	44.0	74.4	36	
Y _{Ma}	83.77	-5.17	109.32	109.44	93	
L _{Ma}	44.13	-62.67	48.24	79.09	142	
C _{Ma}	52.66	-29.14	-31.99	43.27	228	
V _{Ma}	14.15	50.3	-59.04	77.57	310	
M _{Ma}	37.37	78.64	-33.5	85.48	337	
N _{Ma}	8.58	0.0	0.0	0.0	0	
W _{Ma}	92.02	0.0	0.0	0.0	0	
R _{Ma}	39.92	58.74	27.99	65.07	25	
J _{Ma}	81.26	-2.89	71.56	71.62	92	
G _{Ma}	52.23	-42.42	13.6	44.55	162	
B _{Ma}	30.57	1.41	-46.47	46.49	272	

Daten für Maximalfarbe (Ma):

$LAB^*LAB^*_Ma$: 35 63 30

$LAB^*LCH^*_Ma$: 35 70 25

$lab^*rgb^*_Ma$: 1.0 0.0 0.0

$lab^*olv^*_Ma$: 1.0 0.0 0.18

Dreiecks-Helligkeit t^*

%Umfang

$u^*_{rel} = 109$

%Regularität

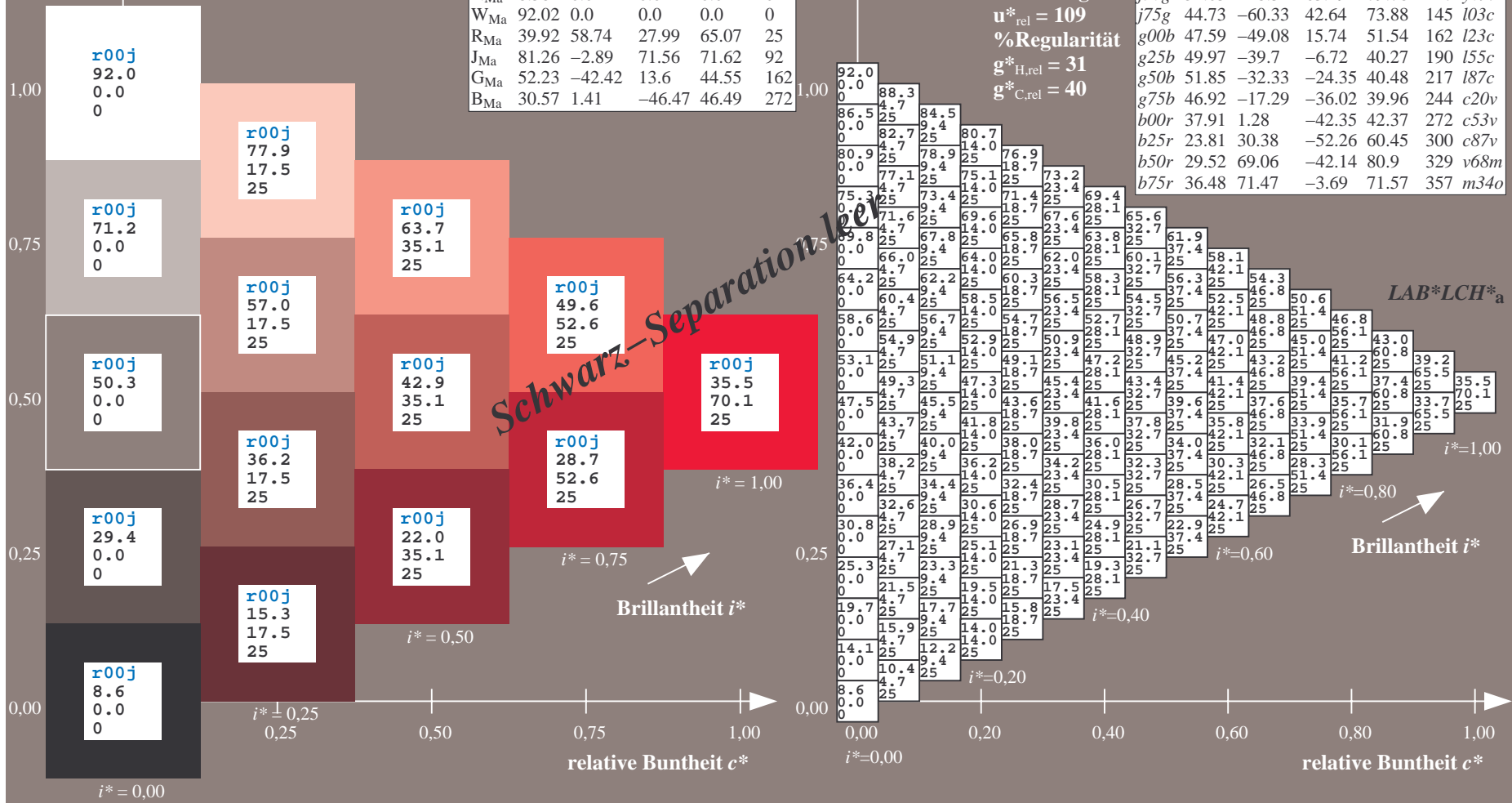
$g^*_{H,rel} = 31$

$g^*_{C,rel} = 40$

$u^*_e = r00j$
 $LAB^*LCH^*_a$

FRS09_92aM; adaptierte CIELAB-Daten

	u^*_e	$L^*=L^*_a$	a^*_a	b^*_a	$C^*_{ab,a}$	$h^*_{ab,a}$	u^*_d
r00j	35.47	63.32	30.17	70.15	25	m81o	
r25j	39.12	54.56	49.45	73.64	42	o10y	
r50j	50.64	39.15	64.89	75.79	59	o40y	
r75j	64.01	21.26	82.83	85.52	76	o69y	
j00g	83.18	-4.38	108.53	108.62	92	o98y	
j25g	66.73	-29.89	83.06	88.28	110	y34l	
j50g	54.03	-48.31	63.49	79.78	127	y69l	
j75g	44.73	-60.33	42.64	73.88	145	103c	
g00b	47.59	-49.08	15.74	51.54	162	l23c	
g25b	49.97	-39.7	-6.72	40.27	190	l55c	
g50b	51.85	-32.33	-24.35	40.48	217	l87c	
g75b	46.92	-17.29	-36.02	39.96	244	c20v	
b00r	37.91	1.28	-42.35	42.37	272	c53v	
b25r	23.81	30.38	-52.26	60.45	300	c87v	
b50r	29.52	69.06	-42.14	80.9	329	v68m	
b75r	36.48	71.47	-3.69	71.57	357	m34o	



Ein und Ausgabe: Farbmatisches Drucker-Reflektiv-System FRS09_92aM für relativen CIELAB-Bunton $h^* = lab^*h^* = h_{ab}/360 = 0.117$

Daten für jede Farbe:

lab^*ch^* und lab^*icu^*

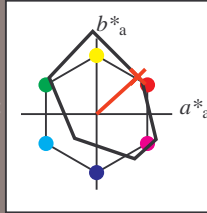
Buntontexte:

$u^*_e = r25j$ $u^*_d = o10y$

Kontrastreduzierungsfaktor:

$c_R = 1.0$

Dreiecks-Helligkeit t^*



FRS09_92aM; adaptierte CIELAB-Daten

u^*_e	$L^*=L^*_a$	a^*_a	b^*_a	$C^*_{ab,a}$	$h^*_{ab,a}$
O _{Ma}	35.06	60.0	44.0	74.4	36
Y _{Ma}	83.77	-5.17	109.32	109.44	93
L _{Ma}	44.13	-62.67	48.24	79.09	142
C _{Ma}	52.66	-29.14	-31.99	43.27	228
V _{Ma}	14.15	50.3	-59.04	77.57	310
M _{Ma}	37.37	78.64	-33.5	85.48	337
N _{Ma}	8.58	0.0	0.0	0.0	0
W _{Ma}	92.02	0.0	0.0	0.0	0
R _{Ma}	39.92	58.74	27.99	65.07	25
J _{Ma}	81.26	-2.89	71.56	71.62	92
G _{Ma}	52.23	-42.42	13.6	44.55	162
B _{Ma}	30.57	1.41	-46.47	46.49	272

Daten für Maximalfarbe (Ma):

$LAB^*LAB^*_Ma$: 39 55 49

$LAB^*LCH^*_Ma$: 39 74 42

$lab^*rgb^*_Ma$: 1.0 0.25 0.0

$lab^*olv^*_Ma$: 1.0 0.11 0.0

Dreiecks-Helligkeit t^*

%Umfang

$u^*_{rel} = 109$

%Regularität

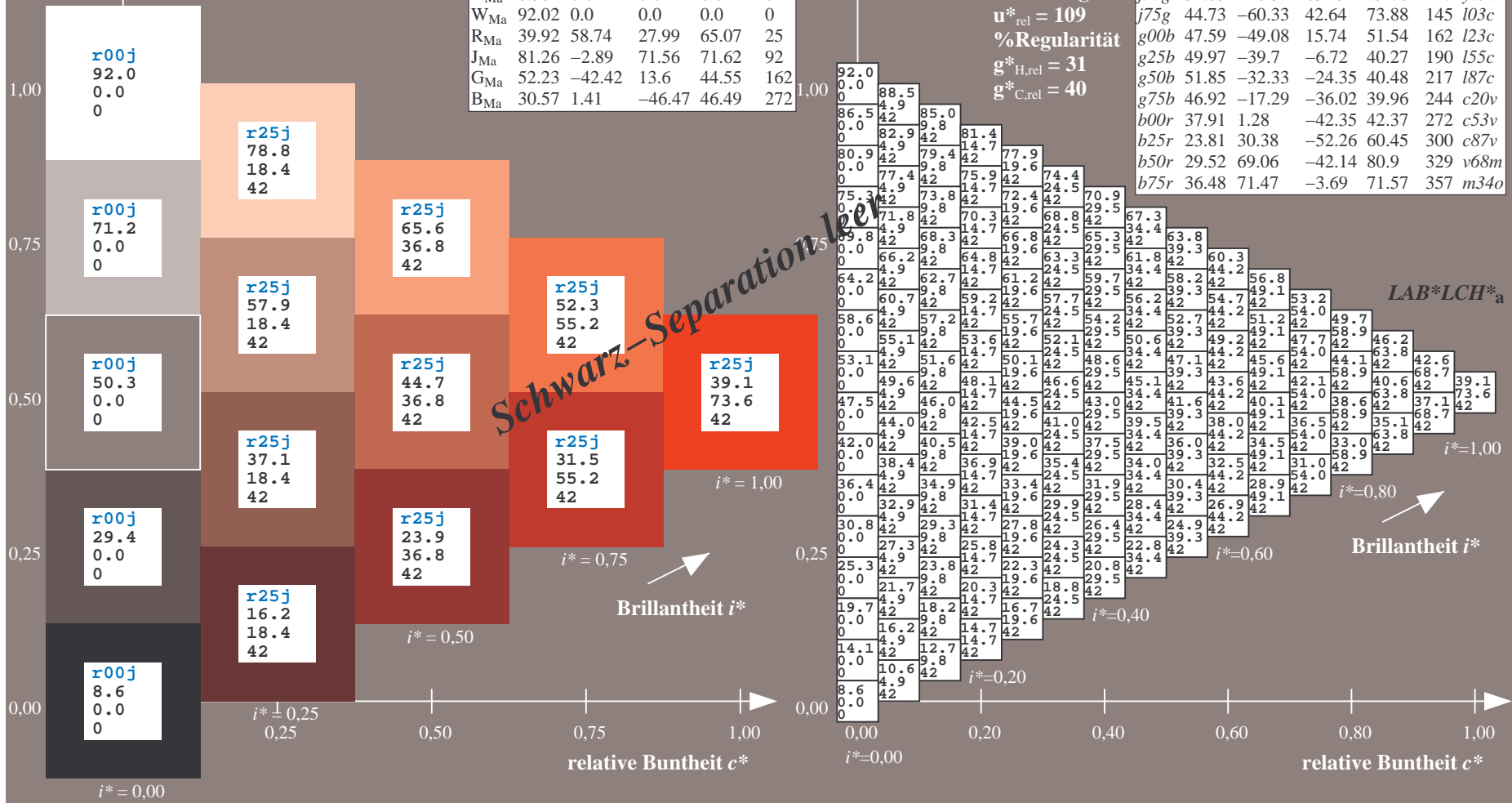
$g^*_{H,rel} = 31$

$g^*_{C,rel} = 40$

$u^*_e = r25j$
 $LAB^*LCH^*_a$

FRS09_92aM; adaptierte CIELAB-Daten

u^*_e	$L^*=L^*_a$	a^*_a	b^*_a	$C^*_{ab,a}$	$h^*_{ab,a}$	u^*_d
r00j	35.47	63.32	30.17	70.15	25	m81o
r25j	39.12	54.56	49.45	73.64	42	o10y
r50j	50.64	39.15	64.89	75.79	59	o40y
r75j	64.01	21.26	82.83	85.52	76	o69y
j00g	83.18	-4.38	108.53	108.62	92	o98y
j25g	66.73	-29.89	83.06	88.28	110	y34l
j50g	54.03	-48.31	63.49	79.78	127	y69l
j75g	44.73	-60.33	42.64	73.88	145	l03c
g00b	47.59	-49.08	15.74	51.54	162	l23c
g25b	49.97	-39.7	-6.72	40.27	190	l55c
g50b	51.85	-32.33	-24.35	40.48	217	l87c
g75b	46.92	-17.29	-36.02	39.96	244	c20v
b00r	37.91	1.28	-42.35	42.37	272	c53v
b25r	23.81	30.38	-52.26	60.45	300	c87v
b50r	29.52	69.06	-42.14	80.9	329	v68m
b75r	36.48	71.47	-3.69	71.57	357	m34o



Ein und Ausgabe: Farbmatisches Drucker-Reflektiv-System FRS09_92aM für relativen CIELAB-Bunton $h^* = lab^*h^* = h_{ab}/360 = 0.164$

$u^*_e = r50j$
 $LAB^*LCH^*_a$

Daten für jede Farbe:

lab^*tch^* und lab^*icu^*

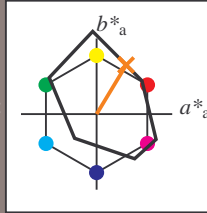
Bunntexte:

$u^*_e = r50j$ $u^*_d = o40y$

Kontrastreduzierungsfaktor:

$c_R = 1.0$

Dreiecks-Helligkeit t^*



FRS09_92aM; adaptierte CIELAB-Daten

	u^*_e	$L^*=L^*_a$	a^*_a	b^*_a	$C^*_{ab,a}$	$h^*_{ab,a}$
O _{Ma}	35.06	60.0	44.0	74.4	36	
Y _{Ma}	83.77	-5.17	109.32	109.44	93	
L _{Ma}	44.13	-62.67	48.24	79.09	142	
C _{Ma}	52.66	-29.14	-31.99	43.27	228	
V _{Ma}	14.15	50.3	-59.04	77.57	310	
M _{Ma}	37.37	78.64	-33.5	85.48	337	
N _{Ma}	8.58	0.0	0.0	0.0	0	
W _{Ma}	92.02	0.0	0.0	0.0	0	
R _{Ma}	39.92	58.74	27.99	65.07	25	
J _{Ma}	81.26	-2.89	71.56	71.62	92	
G _{Ma}	52.23	-42.42	13.6	44.55	162	
B _{Ma}	30.57	1.41	-46.47	46.49	272	

Daten für Maximalfarbe (Ma):

$LAB^*LAB^*_Ma: 51\ 39\ 65$

$LAB^*LCH^*_Ma: 51\ 76\ 58$

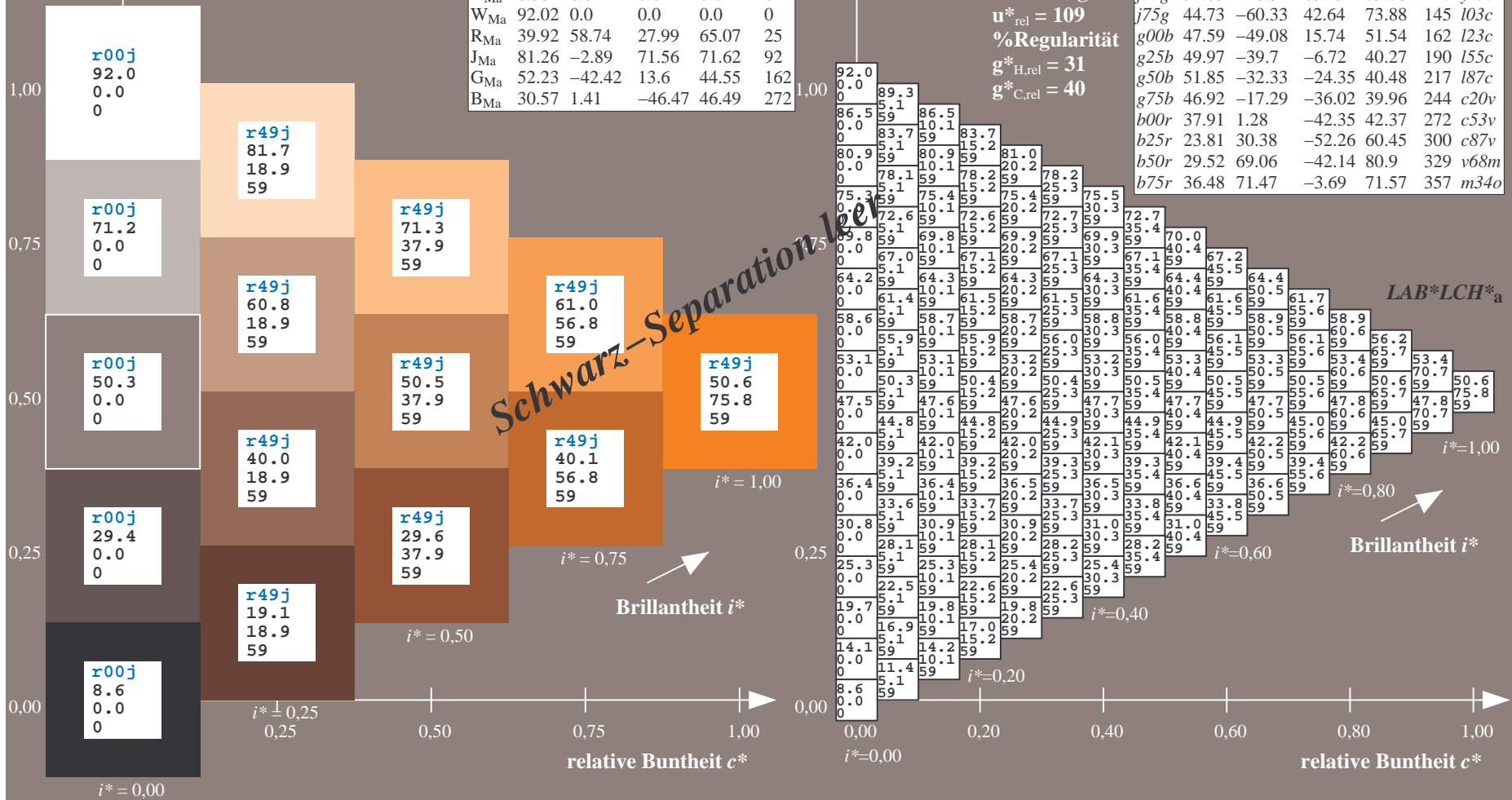
$lab^*rgb^*_Ma: 1.0\ 0.5\ 0.0$

$lab^*olv^*_Ma: 1.0\ 0.4\ 0.0$

Dreiecks-Helligkeit t^*

FRS09_92aM; adaptierte CIELAB-Daten

	u^*_e	$L^*=L^*_a$	a^*_a	b^*_a	$C^*_{ab,a}$	$h^*_{ab,a}$	u^*_d
r00j	35.47	63.32	30.17	70.15	25	m81o	
r25j	39.12	54.56	49.45	73.64	42	o10y	
r50j	50.64	39.15	64.89	75.79	59	o40y	
r75j	64.01	21.26	82.83	85.52	76	o69y	
j00g	83.18	-4.38	108.53	108.62	92	o98y	
j25g	66.73	-29.89	83.06	88.28	110	y34l	
j50g	54.03	-48.31	63.49	79.78	127	y69l	
j75g	44.73	-60.33	42.64	73.88	145	103c	
g00b	47.59	-49.08	15.74	51.54	162	l23c	
g25b	49.97	-39.7	-6.72	40.27	190	l55c	
g50b	51.85	-32.33	-24.35	40.48	217	l87c	
g75b	46.92	-17.29	-36.02	39.96	244	c20v	
b00r	37.91	1.28	-42.35	42.37	272	c53v	
b25r	23.81	30.38	-52.26	60.45	300	c87v	
b50r	29.52	69.06	-42.14	80.9	329	v68m	
b75r	36.48	71.47	-3.69	71.57	357	m34o	



Ein und Ausgabe: Farbmatisches Drucker-Reflektiv-System FRS09_92aM für relativen CIELAB-Bunton $h^* = lab^*h^* = h_{ab}/360 = 0.21$

$u^*_e = r75j$
 $LAB^*LCH^*_a$

Daten für jede Farbe:

lab^*ch^* und lab^*icu^*

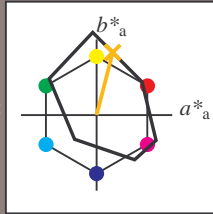
Buntontexte:

$u^*_e = r75j$ $u^*_d = o69y$

Kontrastreduzierungsfaktor:

$c_R = 1.0$

Dreiecks-Helligkeit t^*



FRS09_92aM; adaptierte CIELAB-Daten

	u^*_e	$L^*=L^*_a$	a^*_a	b^*_a	$C^*_{ab,a}$	$h^*_{ab,a}$
O _{Ma}	35.06	60.0	44.0	74.4	36	
Y _{Ma}	83.77	-5.17	109.32	109.44	93	
L _{Ma}	44.13	-62.67	48.24	79.09	142	
C _{Ma}	52.66	-29.14	-31.99	43.27	228	
V _{Ma}	14.15	50.3	-59.04	77.57	310	
M _{Ma}	37.37	78.64	-33.5	85.48	337	
N _{Ma}	8.58	0.0	0.0	0.0	0	
W _{Ma}	92.02	0.0	0.0	0.0	0	
R _{Ma}	39.92	58.74	27.99	65.07	25	
J _{Ma}	81.26	-2.89	71.56	71.62	92	
G _{Ma}	52.23	-42.42	13.6	44.55	162	
B _{Ma}	30.57	1.41	-46.47	46.49	272	

Daten für Maximalfarbe (Ma):

$LAB^*LAB^*_Ma$: 64 21 83

$LAB^*LCH^*_Ma$: 64 86 75

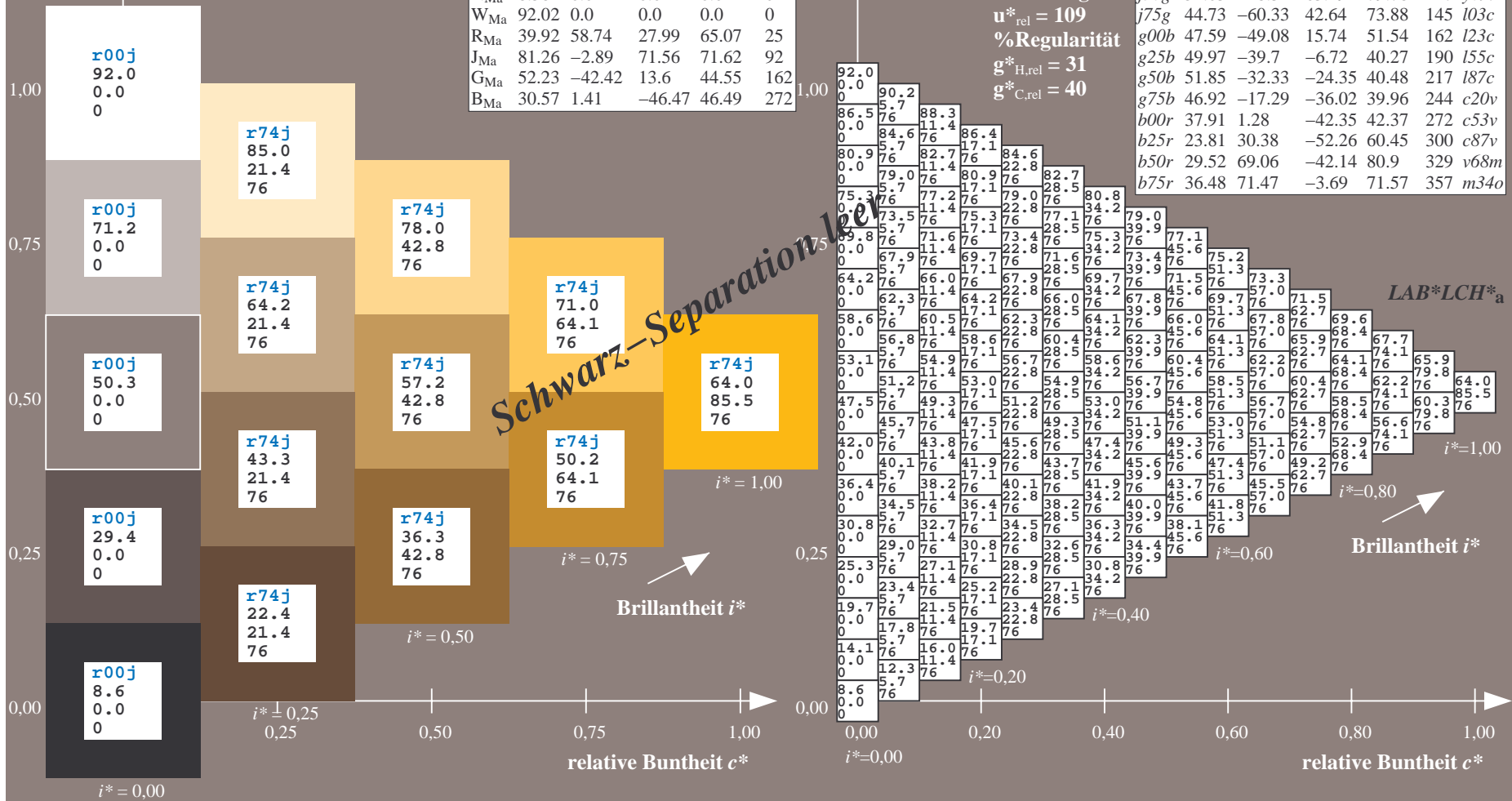
$lab^*rgb^*_Ma$: 1.0 0.75 0.0

$lab^*olv^*_Ma$: 1.0 0.7 0.0

Dreiecks-Helligkeit t^*

FRS09_92aM; adaptierte CIELAB-Daten

	u^*_e	$L^*=L^*_a$	a^*_a	b^*_a	$C^*_{ab,a}$	$h^*_{ab,a}$	u^*_d
r00j	35.47	63.32	30.17	70.15	25	m81o	
r25j	39.12	54.56	49.45	73.64	42	o10y	
r50j	50.64	39.15	64.89	75.79	59	o40y	
r75j	64.01	21.26	82.83	85.52	76	o69y	
j00g	83.18	-4.38	108.53	108.62	92	o98y	
j25g	66.73	-29.89	83.06	88.28	110	y34l	
j50g	54.03	-48.31	63.49	79.78	127	y69l	
j75g	44.73	-60.33	42.64	73.88	145	103c	
g00b	47.59	-49.08	15.74	51.54	162	i23c	
g25b	49.97	-39.7	-6.72	40.27	190	i55c	
g50b	51.85	-32.33	-24.35	40.48	217	i87c	
g75b	46.92	-17.29	-36.02	39.96	244	c20v	
b00r	37.91	1.28	-42.35	42.37	272	c53v	
b25r	23.81	30.38	-52.26	60.45	300	c87v	
b50r	29.52	69.06	-42.14	80.9	329	v68m	
b75r	36.48	71.47	-3.69	71.57	357	m34o	



Ein und Ausgabe: Farbmatisches Drucker-Reflektiv-System FRS09_92aM für relativen CIELAB-Bunton $h^* = lab^*h^* = h_{ab}/360 = 0.256$

$u^*_e = j00g$
LAB*LCH*_a

Daten für jede Farbe:

lab^*ch^* und lab^*icu^*

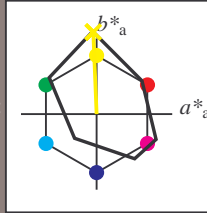
Buntontexte:

$u^*_e = j00g$ $u^*_d = o98y$

Kontrastreduzierungsfaktor:

$c_R = 1.0$

Dreiecks-Helligkeit t^*



FRS09_92aM; adaptierte CIELAB-Daten

	u^*_e	$L^*=L^*_a$	a^*_a	b^*_a	$C^*_{ab,a}$	$h^*_{ab,a}$
O _{Ma}	35.06	60.0	44.0	74.4	36	
Y _{Ma}	83.77	-5.17	109.32	109.44	93	
L _{Ma}	44.13	-62.67	48.24	79.09	142	
C _{Ma}	52.66	-29.14	-31.99	43.27	228	
V _{Ma}	14.15	50.3	-59.04	77.57	310	
M _{Ma}	37.37	78.64	-33.5	85.48	337	
N _{Ma}	8.58	0.0	0.0	0.0	0	
W _{Ma}	92.02	0.0	0.0	0.0	0	
R _{Ma}	39.92	58.74	27.99	65.07	25	
J _{Ma}	81.26	-2.89	71.56	71.62	92	
G _{Ma}	52.23	-42.42	13.6	44.55	162	
B _{Ma}	30.57	1.41	-46.47	46.49	272	

Daten für Maximalfarbe (Ma):

LAB*LAB*_Ma: 83 -4 109

LAB*LCH*_Ma: 83 109 92

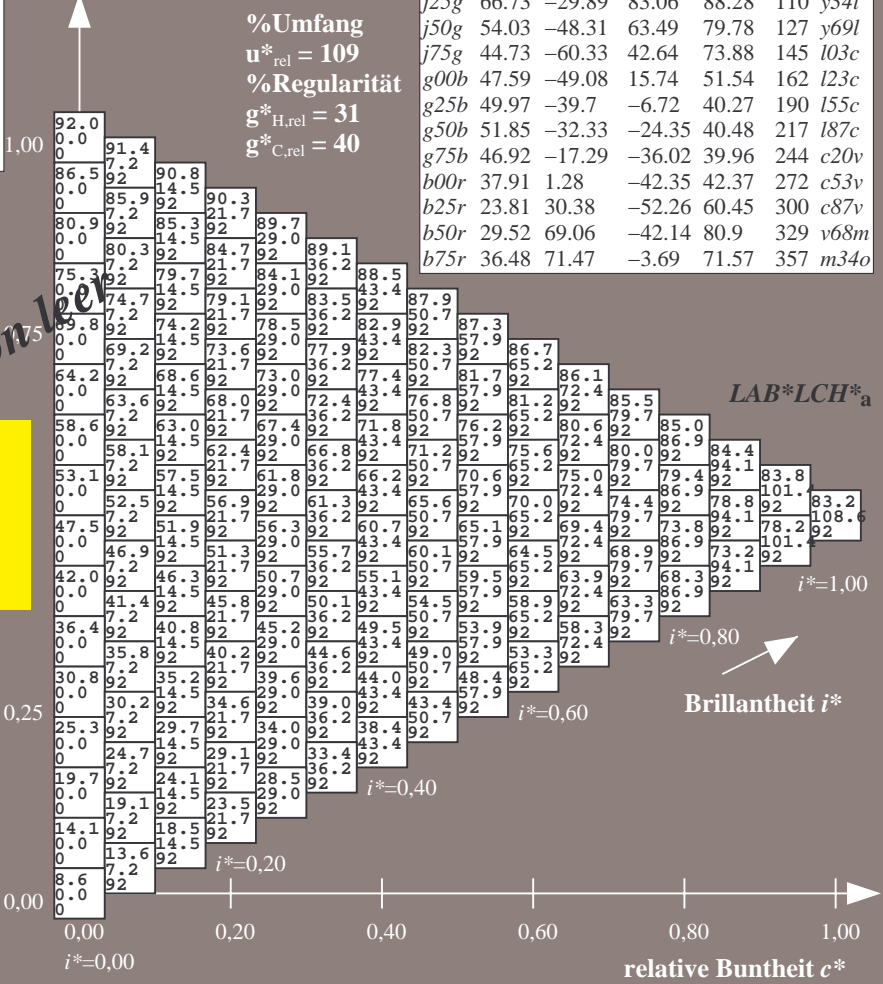
lab*rgb*_Ma: 1.0 1.0 0.0

lab*olv*_Ma: 1.0 0.99 0.0

Dreiecks-Helligkeit t^*

FRS09_92aM; adaptierte CIELAB-Daten

	u^*_e	$L^*=L^*_a$	a^*_a	b^*_a	$C^*_{ab,a}$	$h^*_{ab,a}$	u^*_d
r00j	35.47	63.32	30.17	70.15	25	m81o	
r25j	39.12	54.56	49.45	73.64	42	o10y	
r50j	50.64	39.15	64.89	75.79	59	o40y	
r75j	64.01	21.26	82.83	85.52	76	o69y	
j00g	83.18	-4.38	108.53	108.62	92	o98y	
j25g	66.73	-29.89	83.06	88.28	110	y34l	
j50g	54.03	-48.31	63.49	79.78	127	y69l	
j75g	44.73	-60.33	42.64	73.88	145	l03c	
g00b	47.59	-49.08	15.74	51.54	162	i23c	
g25b	49.97	-39.7	-6.72	40.27	190	i55c	
g50b	51.85	-32.33	-24.35	40.48	217	i87c	
g75b	46.92	-17.29	-36.02	39.96	244	c20v	
b00r	37.91	1.28	-42.35	42.37	272	c53v	
b25r	23.81	30.38	-52.26	60.45	300	c87v	
b50r	29.52	69.06	-42.14	80.9	329	v68m	
b75r	36.48	71.47	-3.69	71.57	357	m34o	



$i^* = 0,00$

Ein und Ausgabe: Farbmatisches Drucker-Reflektiv-System FRS09_92aM für relativen CIELAB-Bunton $h^* = lab^*h^* = h_{ab}/360 = 0.305$

$u^*_e = j25g$
LAB*LCH*_a

Daten für jede Farbe:

lab^*ch^* und lab^*icu^*

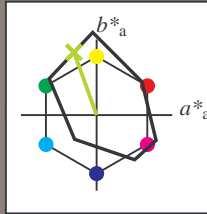
Buntontexte:

$u^*_e = j25g$ $u^*_d = y34l$

Kontrastreduzierungsfaktor:

$c_R = 1.0$

Dreiecks-Helligkeit t^*



FRS09_92aM; adaptierte CIELAB-Daten

u^*_e	$L^*=L^*_a$	a^*_a	b^*_a	$C^*_{ab,a}$	$h^*_{ab,a}$
O _{Ma}	35.06	60.0	44.0	74.4	36
Y _{Ma}	83.77	-5.17	109.32	109.44	93
L _{Ma}	44.13	-62.67	48.24	79.09	142
C _{Ma}	52.66	-29.14	-31.99	43.27	228
V _{Ma}	14.15	50.3	-59.04	77.57	310
M _{Ma}	37.37	78.64	-33.5	85.48	337
N _{Ma}	8.58	0.0	0.0	0.0	0
W _{Ma}	92.02	0.0	0.0	0.0	0
R _{Ma}	39.92	58.74	27.99	65.07	25
J _{Ma}	81.26	-2.89	71.56	71.62	92
G _{Ma}	52.23	-42.42	13.6	44.55	162
B _{Ma}	30.57	1.41	-46.47	46.49	272

Daten für Maximalfarbe (Ma):

LAB*LAB*_Ma: 67 -30 83

LAB*LCH*_Ma: 67 88 109

lab*rgb*_Ma: 0.75 1.0 0.0

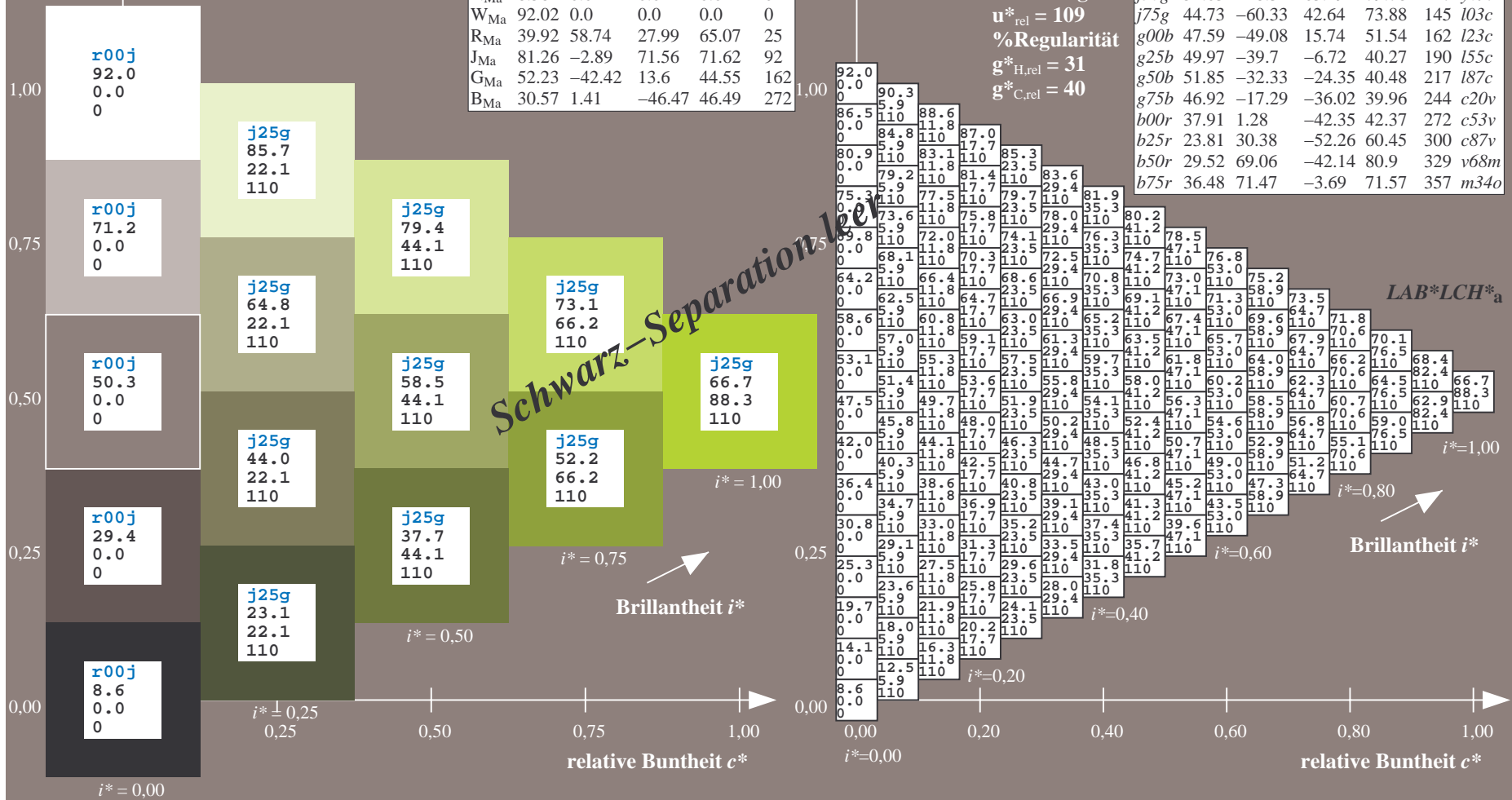
lab*olv*_Ma: 0.66 1.0 0.0

Dreiecks-Helligkeit t^*

FRS09_92aM; adaptierte CIELAB-Daten

u^*_e	$L^*=L^*_a$	a^*_a	b^*_a	$C^*_{ab,a}$	$h^*_{ab,a}$	u^*_d
r00j	35.47	63.32	30.17	70.15	25	m81o
r25j	39.12	54.56	49.45	73.64	42	o10y
r50j	50.64	39.15	64.89	75.79	59	o40y
r75j	64.01	21.26	82.83	85.52	76	o69y
j00g	83.18	-4.38	108.53	108.62	92	o98y
j25g	66.73	-29.89	83.06	88.28	110	y34l
j50g	54.03	-48.31	63.49	79.78	127	y69l
j75g	44.73	-60.33	42.64	73.88	145	l03c
g00b	47.59	-49.08	15.74	51.54	162	i23c
g25b	49.97	-39.7	-6.72	40.27	190	i55c
g50b	51.85	-32.33	-24.35	40.48	217	i87c
g75b	46.92	-17.29	-36.02	39.96	244	c20v
b00r	37.91	1.28	-42.35	42.37	272	c53v
b25r	23.81	30.38	-52.26	60.45	300	c87v
b50r	29.52	69.06	-42.14	80.9	329	v68m
b75r	36.48	71.47	-3.69	71.57	357	m34o

%Umfang
 $u^*_{rel} = 109$
%Regularität
 $g^*_{H,rel} = 31$
 $g^*_{C,rel} = 40$



Schwarz-Separation

LAB*LCH*_a

$i^* = 1.00$

$i^* = 0.80$

Brillanz i^*

$i^* = 0.60$

$i^* = 0.40$

$i^* = 0.20$

$i^* = 0.00$

Ein und Ausgabe: Farbmatisches Drucker-Reflektiv-System FRS09_92aM für relativen CIELAB-Bunton $h^* = lab^*h^* = h_{ab}/360 = 0.354$

$u^*_e = j50g$
 $LAB^*LCH^*_a$

Daten für jede Farbe:

lab^*tch^* und lab^*icu^*

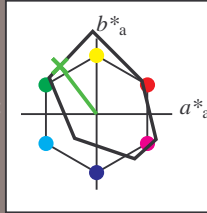
Buntontexte:

$u^*_e = j50g$ $u^*_d = y69l$

Kontrastreduzierungsfaktor:

$c_R = 1.0$

Dreiecks-Helligkeit t^*



FRS09_92aM; adaptierte CIELAB-Daten

	u^*_e	$L^*=L^*_a$	a^*_a	b^*_a	$C^*_{ab,a}$	$h^*_{ab,a}$
O _{Ma}	35.06	60.0	44.0	74.4	36	
Y _{Ma}	83.77	-5.17	109.32	109.44	93	
L _{Ma}	44.13	-62.67	48.24	79.09	142	
C _{Ma}	52.66	-29.14	-31.99	43.27	228	
V _{Ma}	14.15	50.3	-59.04	77.57	310	
M _{Ma}	37.37	78.64	-33.5	85.48	337	
N _{Ma}	8.58	0.0	0.0	0.0	0	
W _{Ma}	92.02	0.0	0.0	0.0	0	
R _{Ma}	39.92	58.74	27.99	65.07	25	
J _{Ma}	81.26	-2.89	71.56	71.62	92	
G _{Ma}	52.23	-42.42	13.6	44.55	162	
B _{Ma}	30.57	1.41	-46.47	46.49	272	

Daten für Maximalfarbe (Ma):

$LAB^*LAB^*_Ma: 54 -48 63$

$LAB^*LCH^*_Ma: 54 80 127$

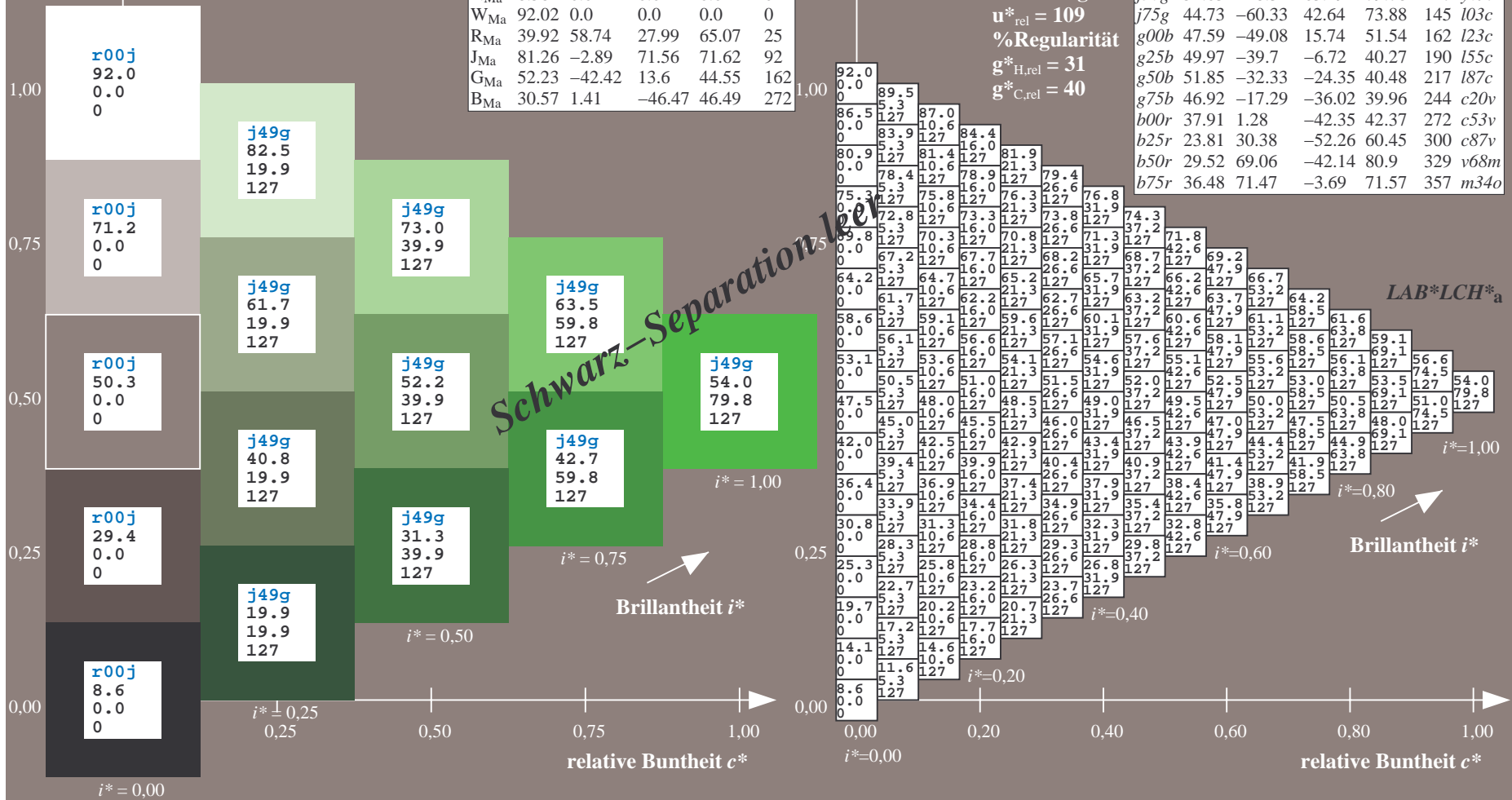
$lab^*rgb^*_Ma: 0.5 1.0 0.0$

$lab^*olv^*_Ma: 0.3 1.0 0.0$

Dreiecks-Helligkeit t^*

FRS09_92aM; adaptierte CIELAB-Daten

	u^*_e	$L^*=L^*_a$	a^*_a	b^*_a	$C^*_{ab,a}$	$h^*_{ab,a}$	u^*_d
r00j	35.47	63.32	30.17	70.15	25	m81o	
r25j	39.12	54.56	49.45	73.64	42	o10y	
r50j	50.64	39.15	64.89	75.79	59	o40y	
r75j	64.01	21.26	82.83	85.52	76	o69y	
j00g	83.18	-4.38	108.53	108.62	92	o98y	
j25g	66.73	-29.89	83.06	88.28	110	y34l	
j50g	54.03	-48.31	63.49	79.78	127	y69l	
j75g	44.73	-60.33	42.64	73.88	145	l03c	
g00b	47.59	-49.08	15.74	51.54	162	i23c	
g25b	49.97	-39.7	-6.72	40.27	190	i55c	
g50b	51.85	-32.33	-24.35	40.48	217	i87c	
g75b	46.92	-17.29	-36.02	39.96	244	c20v	
b00r	37.91	1.28	-42.35	42.37	272	c53v	
b25r	23.81	30.38	-52.26	60.45	300	c87v	
b50r	29.52	69.06	-42.14	80.9	329	v68m	
b75r	36.48	71.47	-3.69	71.57	357	m34o	



Ein und Ausgabe: Farbmatisches Drucker-Reflektiv-System FRS09_92aM für relativen CIELAB-Bunton $h^* = lab^*h^* = h_{ab}/360 = 0.402$

$u^*_e = j75g$
LAB*LCH*_a

Daten für jede Farbe:

lab^*tch^* und lab^*icu^*

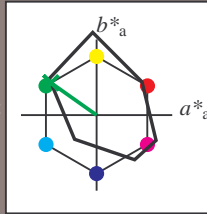
Buntontexte:

$u^*_e = j75g$ $u^*_d = l03c$

Kontrastreduzierungsfaktor:

$c_R = 1.0$

Dreiecks-Helligkeit t^*



FRS09_92aM; adaptierte CIELAB-Daten

u^*_e	$L^*=L^*_a$	a^*_a	b^*_a	$C^*_{ab,a}$	$h^*_{ab,a}$
O _{Ma}	35.06	60.0	44.0	74.4	36
Y _{Ma}	83.77	-5.17	109.32	109.44	93
L _{Ma}	44.13	-62.67	48.24	79.09	142
C _{Ma}	52.66	-29.14	-31.99	43.27	228
V _{Ma}	14.15	50.3	-59.04	77.57	310
M _{Ma}	37.37	78.64	-33.5	85.48	337
N _{Ma}	8.58	0.0	0.0	0.0	0
W _{Ma}	92.02	0.0	0.0	0.0	0
R _{Ma}	39.92	58.74	27.99	65.07	25
J _{Ma}	81.26	-2.89	71.56	71.62	92
G _{Ma}	52.23	-42.42	13.6	44.55	162
B _{Ma}	30.57	1.41	-46.47	46.49	272

Daten für Maximalfarbe (Ma):

LAB*LAB*_Ma: 45 -60 43

LAB*LCH*_Ma: 45 74 144

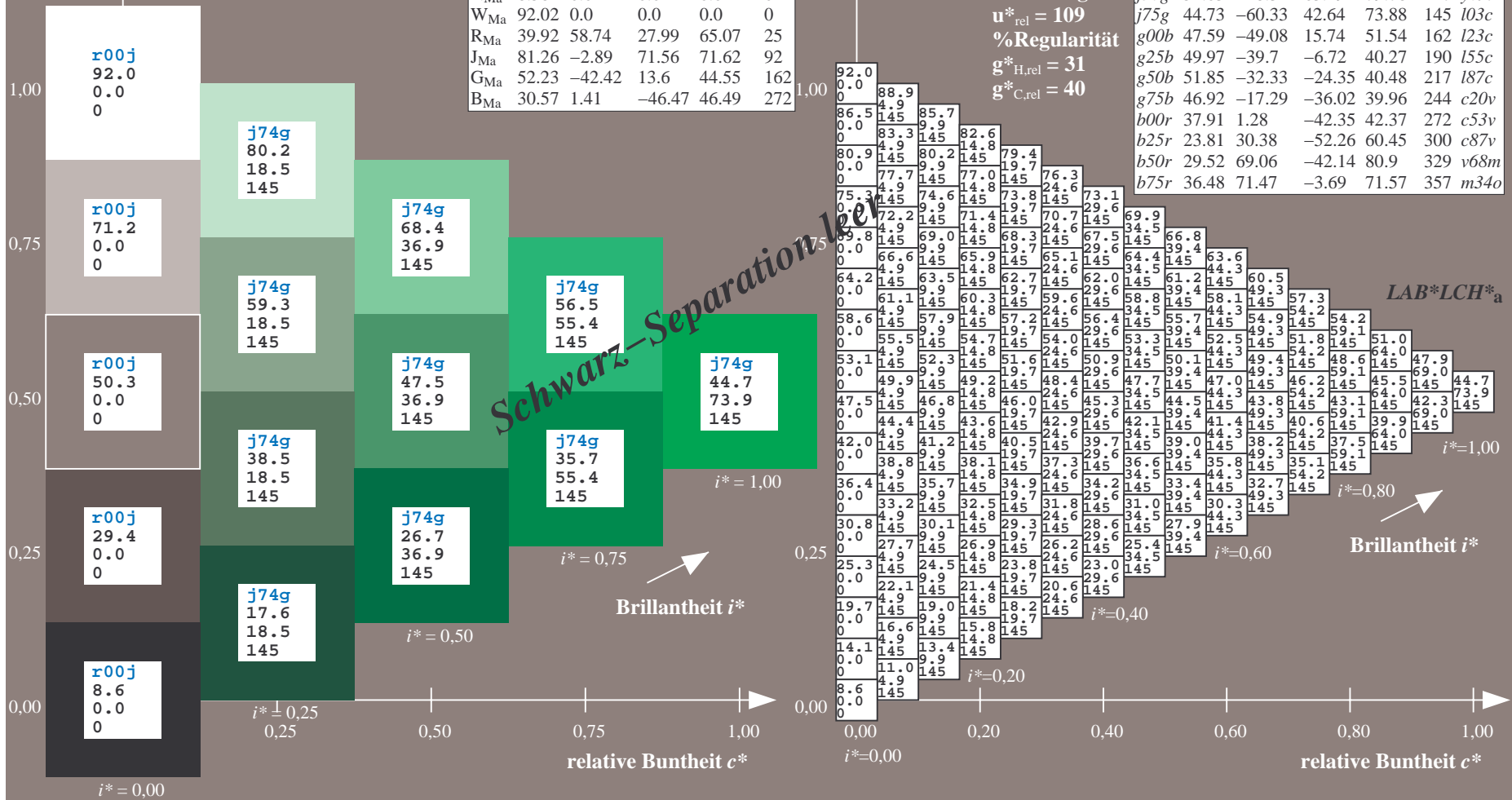
lab*rgb*_Ma: 0.25 1.0 0.0

lab*olv*_Ma: 0.0 1.0 0.03

Dreiecks-Helligkeit t^*

FRS09_92aM; adaptierte CIELAB-Daten

u^*_e	$L^*=L^*_a$	a^*_a	b^*_a	$C^*_{ab,a}$	$h^*_{ab,a}$	u^*_d
r00j	35.47	63.32	30.17	70.15	25	m81o
r25j	39.12	54.56	49.45	73.64	42	o10y
r50j	50.64	39.15	64.89	75.79	59	o40y
r75j	64.01	21.26	82.83	85.52	76	o69y
j00g	83.18	-4.38	108.53	108.62	92	o98y
j25g	66.73	-29.89	83.06	88.28	110	y34l
j50g	54.03	-48.31	63.49	79.78	127	y69l
j75g	44.73	-60.33	42.64	73.88	145	i03c
g00b	47.59	-49.08	15.74	51.54	162	i23c
g25b	49.97	-39.7	-6.72	40.27	190	i55c
g50b	51.85	-32.33	-24.35	40.48	217	i87c
g75b	46.92	-17.29	-36.02	39.96	244	c20v
b00r	37.91	1.28	-42.35	42.37	272	c53v
b25r	23.81	30.38	-52.26	60.45	300	c87v
b50r	29.52	69.06	-42.14	80.9	329	v68m
b75r	36.48	71.47	-3.69	71.57	357	m34o



Ein und Ausgabe: Farbmatisches Drucker-Reflektiv-System FRS09_92aM für relativen CIELAB-Bunton $h^* = lab^*h^* = h_{ab}/360 = 0.451$

$u^*_e = g00b$
 $LAB^*LCH^*_a$

Daten für jede Farbe:

lab^*tch^* und lab^*icu^*

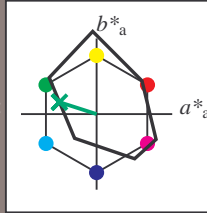
Buntontexte:

$u^*_e = g00b$ $u^*_d = l23c$

Kontrastreduzierungsfaktor:

$c_R = 1.0$

Dreiecks-Helligkeit t^*



FRS09_92aM; adaptierte CIELAB-Daten

	u^*_e	$L^*=L^*_a$	a^*_a	b^*_a	$C^*_{ab,a}$	$h^*_{ab,a}$
O _{Ma}	35.06	60.0	44.0	74.4	36	
Y _{Ma}	83.77	-5.17	109.32	109.44	93	
L _{Ma}	44.13	-62.67	48.24	79.09	142	
C _{Ma}	52.66	-29.14	-31.99	43.27	228	
V _{Ma}	14.15	50.3	-59.04	77.57	310	
M _{Ma}	37.37	78.64	-33.5	85.48	337	
N _{Ma}	8.58	0.0	0.0	0.0	0	
W _{Ma}	92.02	0.0	0.0	0.0	0	
R _{Ma}	39.92	58.74	27.99	65.07	25	
J _{Ma}	81.26	-2.89	71.56	71.62	92	
G _{Ma}	52.23	-42.42	13.6	44.55	162	
B _{Ma}	30.57	1.41	-46.47	46.49	272	

Daten für Maximalfarbe (Ma):

$LAB^*LAB^*_Ma: 48 -49 16$

$LAB^*LCH^*_Ma: 48 52 162$

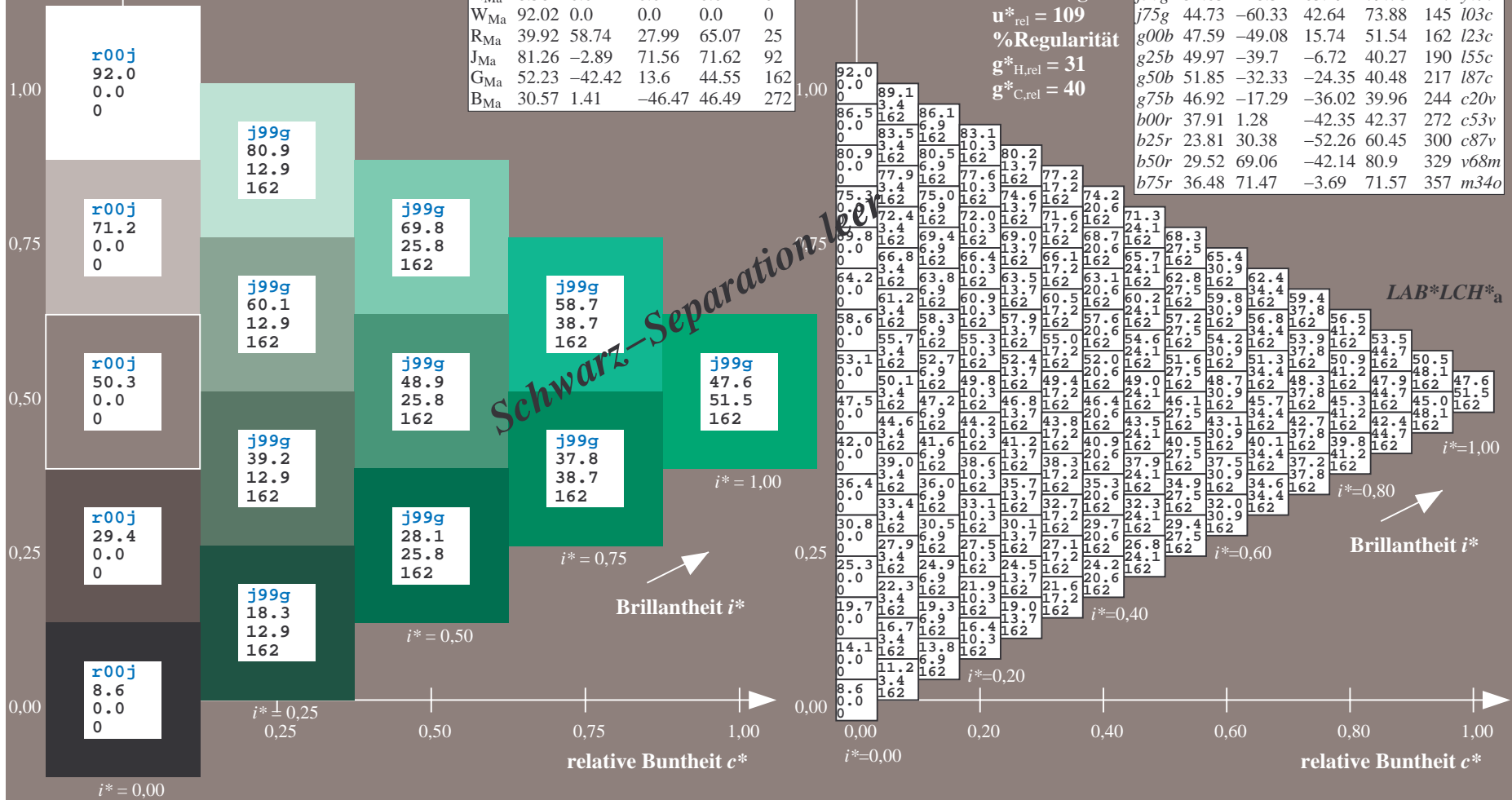
$lab^*rgb^*_Ma: 0.0 1.0 0.0$

$lab^*olv^*_Ma: 0.0 1.0 0.23$

Dreiecks-Helligkeit t^*

FRS09_92aM; adaptierte CIELAB-Daten

	u^*_e	$L^*=L^*_a$	a^*_a	b^*_a	$C^*_{ab,a}$	$h^*_{ab,a}$	u^*_d
r00j	35.47	63.32	30.17	70.15	25	m81o	
r25j	39.12	54.56	49.45	73.64	42	o10y	
r50j	50.64	39.15	64.89	75.79	59	o40y	
r75j	64.01	21.26	82.83	85.52	76	o69y	
j00g	83.18	-4.38	108.53	108.62	92	o98y	
j25g	66.73	-29.89	83.06	88.28	110	y34l	
j50g	54.03	-48.31	63.49	79.78	127	y69l	
j75g	44.73	-60.33	42.64	73.88	145	i03c	
g00b	47.59	-49.08	15.74	51.54	162	i23c	
g25b	49.97	-39.7	-6.72	40.27	190	i55c	
g50b	51.85	-32.33	-24.35	40.48	217	i87c	
g75b	46.92	-17.29	-36.02	39.96	244	c20v	
b00r	37.91	1.28	-42.35	42.37	272	c53v	
b25r	23.81	30.38	-52.26	60.45	300	c87v	
b50r	29.52	69.06	-42.14	80.9	329	v68m	
b75r	36.48	71.47	-3.69	71.57	357	m34o	



Ein und Ausgabe: Farbmatisches Drucker-Reflektiv-System FRS09_92aM für relativen CIELAB-Bunton $h^* = lab^*h^* = h_{ab}/360 = 0.527$

$u^*_e = g25b$
 $LAB^*LCH^*_a$

Daten für jede Farbe:

lab^*tch^* und lab^*icu^*

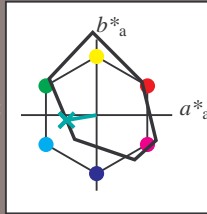
Buntontexte:

$u^*_e = g25b$ $u^*_d = l55c$

Kontrastreduzierungsfaktor:

$c_R = 1.0$

Dreiecks-Helligkeit t^*



FRS09_92aM; adaptierte CIELAB-Daten

u^*_e	$L^*=L^*_a$	a^*_a	b^*_a	$C^*_{ab,a}$	$h^*_{ab,a}$
O _{Ma}	35.06	60.0	44.0	74.4	36
Y _{Ma}	83.77	-5.17	109.32	109.44	93
L _{Ma}	44.13	-62.67	48.24	79.09	142
C _{Ma}	52.66	-29.14	-31.99	43.27	228
V _{Ma}	14.15	50.3	-59.04	77.57	310
M _{Ma}	37.37	78.64	-33.5	85.48	337
N _{Ma}	8.58	0.0	0.0	0.0	0
W _{Ma}	92.02	0.0	0.0	0.0	0
R _{Ma}	39.92	58.74	27.99	65.07	25
J _{Ma}	81.26	-2.89	71.56	71.62	92
G _{Ma}	52.23	-42.42	13.6	44.55	162
B _{Ma}	30.57	1.41	-46.47	46.49	272

Daten für Maximalfarbe (Ma):

$LAB^*LAB^*_Ma: 50 -40 -7$

$LAB^*LCH^*_Ma: 50 40 189$

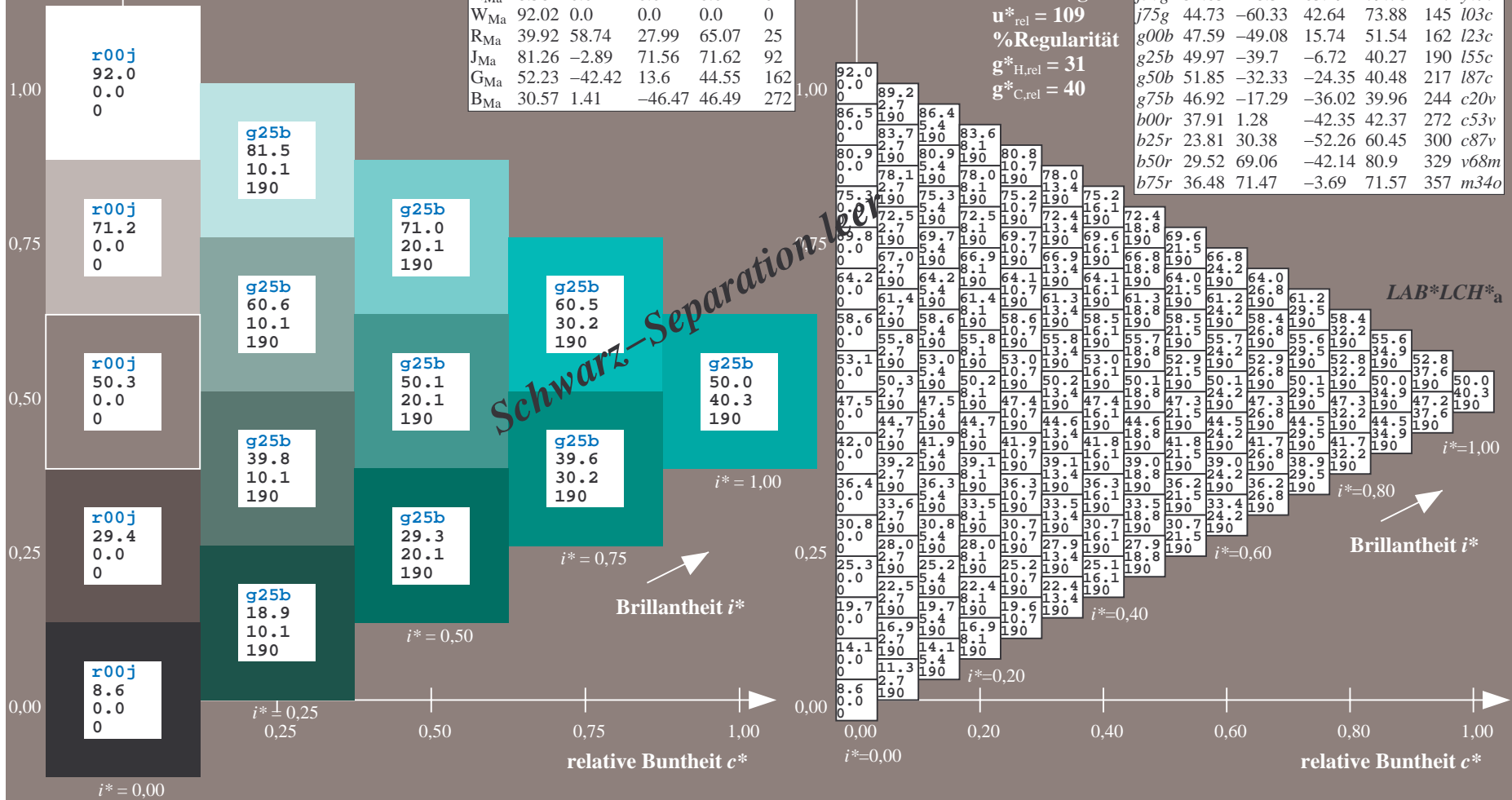
$lab^*rgb^*_Ma: 0.0 1.0 0.5$

$lab^*olv^*_Ma: 0.0 1.0 0.55$

Dreiecks-Helligkeit t^*

FRS09_92aM; adaptierte CIELAB-Daten

u^*_e	$L^*=L^*_a$	a^*_a	b^*_a	$C^*_{ab,a}$	$h^*_{ab,a}$	u^*_d
r00j	35.47	63.32	30.17	70.15	25	m81o
r25j	39.12	54.56	49.45	73.64	42	o10y
r50j	50.64	39.15	64.89	75.79	59	o40y
r75j	64.01	21.26	82.83	85.52	76	o69y
j00g	83.18	-4.38	108.53	108.62	92	o98y
j25g	66.73	-29.89	83.06	88.28	110	y34l
j50g	54.03	-48.31	63.49	79.78	127	y69l
j75g	44.73	-60.33	42.64	73.88	145	l03c
g00b	47.59	-49.08	15.74	51.54	162	l23c
g25b	49.97	-39.7	-6.72	40.27	190	l55c
g50b	51.85	-32.33	-24.35	40.48	217	l87c
g75b	46.92	-17.29	-36.02	39.96	244	c20v
b00r	37.91	1.28	-42.35	42.37	272	c53v
b25r	23.81	30.38	-52.26	60.45	300	c87v
b50r	29.52	69.06	-42.14	80.9	329	v68m
b75r	36.48	71.47	-3.69	71.57	357	m34o



Ein und Ausgabe: Farbmatisches Drucker-Reflektiv-System FRS09_92aM für relativen CIELAB-Bunton $h^* = lab^*h^* = h_{ab}/360 = 0.603$

Daten für jede Farbe:

lab^*tch^* und lab^*icu^*

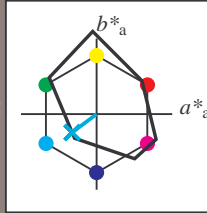
Buntontexte:

$u^*_e = g50b$ $u^*_d = l87c$

Kontrastreduzierungsfaktor:

$c_R = 1.0$

Dreiecks-Helligkeit t^*



FRS09_92aM; adaptierte CIELAB-Daten

u^*_e	$L^*=L^*_a$	a^*_a	b^*_a	$C^*_{ab,a}$	$h^*_{ab,a}$
O _{Ma}	35.06	60.0	44.0	74.4	36
Y _{Ma}	83.77	-5.17	109.32	109.44	93
L _{Ma}	44.13	-62.67	48.24	79.09	142
C _{Ma}	52.66	-29.14	-31.99	43.27	228
V _{Ma}	14.15	50.3	-59.04	77.57	310
M _{Ma}	37.37	78.64	-33.5	85.48	337
N _{Ma}	8.58	0.0	0.0	0.0	0
W _{Ma}	92.02	0.0	0.0	0.0	0
R _{Ma}	39.92	58.74	27.99	65.07	25
J _{Ma}	81.26	-2.89	71.56	71.62	92
G _{Ma}	52.23	-42.42	13.6	44.55	162
B _{Ma}	30.57	1.41	-46.47	46.49	272

Daten für Maximalfarbe (Ma):

$LAB^*LAB^*_{Ma}$: 52 -32 -24

$LAB^*LCH^*_{Ma}$: 52 40 216

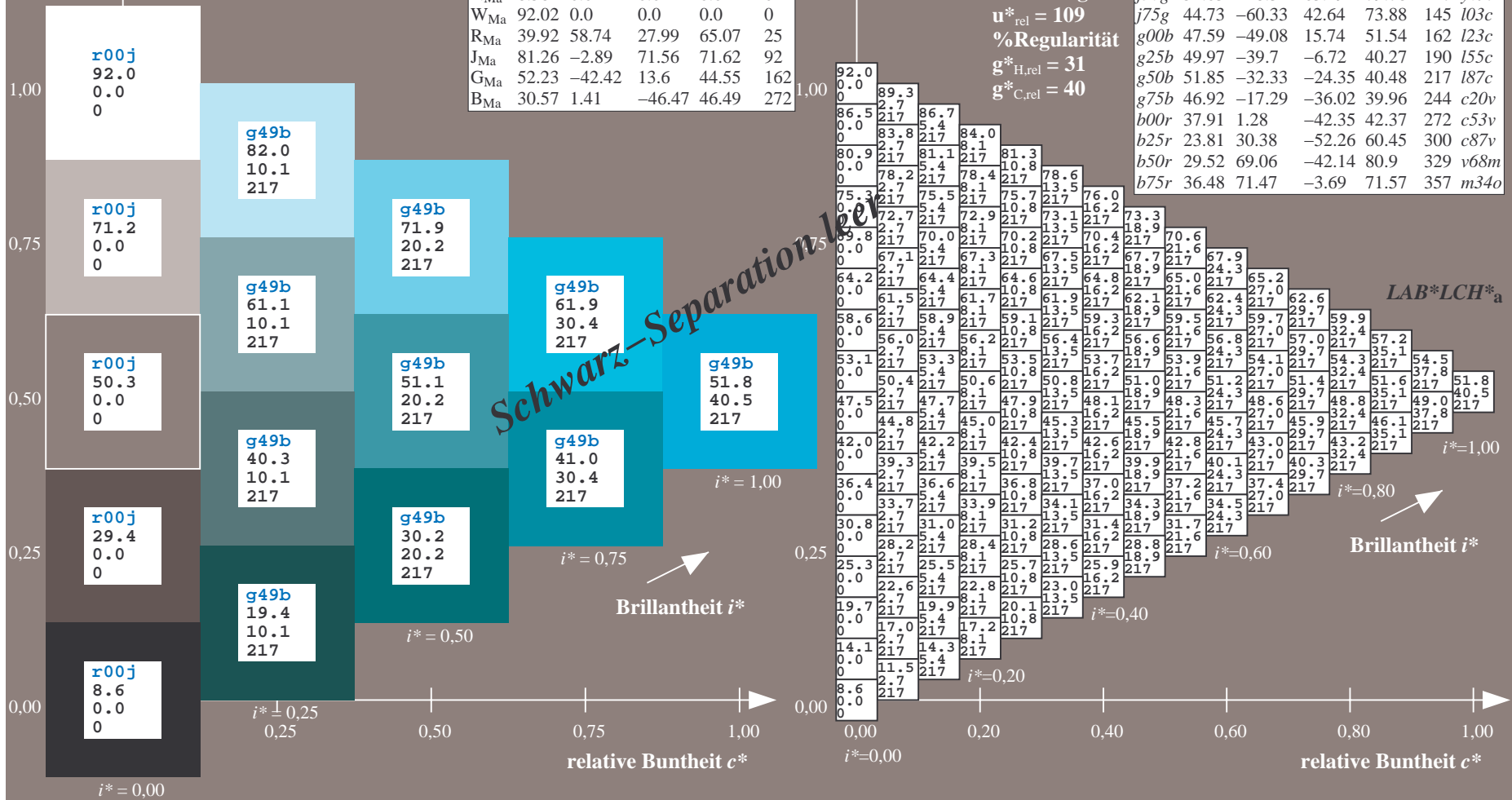
$lab^*rgb^*_{Ma}$: 0.0 1.0 1.0

$lab^*olv^*_{Ma}$: 0.0 1.0 0.87

Dreiecks-Helligkeit t^*

FRS09_92aM; adaptierte CIELAB-Daten

u^*_e	$L^*=L^*_a$	a^*_a	b^*_a	$C^*_{ab,a}$	$h^*_{ab,a}$	u^*_d
r00j	35.47	63.32	30.17	70.15	25	m81o
r25j	39.12	54.56	49.45	73.64	42	o10y
r50j	50.64	39.15	64.89	75.79	59	o40y
r75j	64.01	21.26	82.83	85.52	76	o69y
j00g	83.18	-4.38	108.53	108.62	92	o98y
j25g	66.73	-29.89	83.06	88.28	110	y34l
j50g	54.03	-48.31	63.49	79.78	127	y69l
j75g	44.73	-60.33	42.64	73.88	145	l03c
g00b	47.59	-49.08	15.74	51.54	162	l23c
g25b	49.97	-39.7	-6.72	40.27	190	l55c
g50b	51.85	-32.33	-24.35	40.48	217	l87c
g75b	46.92	-17.29	-36.02	39.96	244	c20v
b00r	37.91	1.28	-42.35	42.37	272	c53v
b25r	23.81	30.38	-52.26	60.45	300	c87v
b50r	29.52	69.06	-42.14	80.9	329	v68m
b75r	36.48	71.47	-3.69	71.57	357	m34o



Ein und Ausgabe: Farbmatisches Drucker-Reflektiv-System FRS09_92aM für relativen CIELAB-Bunton $h^* = lab^*h^* = h_{ab}/360 = 0.679$

$u^*_e = g75b$
LAB*LCH*_a

Daten für jede Farbe:

lab^*ch^* und lab^*icu^*

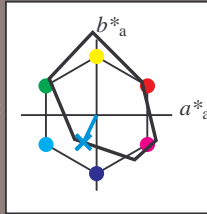
Buntontexte:

$u^*_e = g75b$ $u^*_d = c20v$

Kontrastreduzierungsfaktor:

$c_R = 1.0$

Dreiecks-Helligkeit t^*



FRS09_92aM; adaptierte CIELAB-Daten

u^*_e	$L^*=L^*_a$	a^*_a	b^*_a	$C^*_{ab,a}$	$h^*_{ab,a}$
O _{Ma}	35.06	60.0	44.0	74.4	36
Y _{Ma}	83.77	-5.17	109.32	109.44	93
L _{Ma}	44.13	-62.67	48.24	79.09	142
C _{Ma}	52.66	-29.14	-31.99	43.27	228
V _{Ma}	14.15	50.3	-59.04	77.57	310
M _{Ma}	37.37	78.64	-33.5	85.48	337
N _{Ma}	8.58	0.0	0.0	0.0	0
W _{Ma}	92.02	0.0	0.0	0.0	0
R _{Ma}	39.92	58.74	27.99	65.07	25
J _{Ma}	81.26	-2.89	71.56	71.62	92
G _{Ma}	52.23	-42.42	13.6	44.55	162
B _{Ma}	30.57	1.41	-46.47	46.49	272

Daten für Maximalfarbe (Ma):

LAB*LAB*_Ma: 47 -17 -36

LAB*LCH*_Ma: 47 40 244

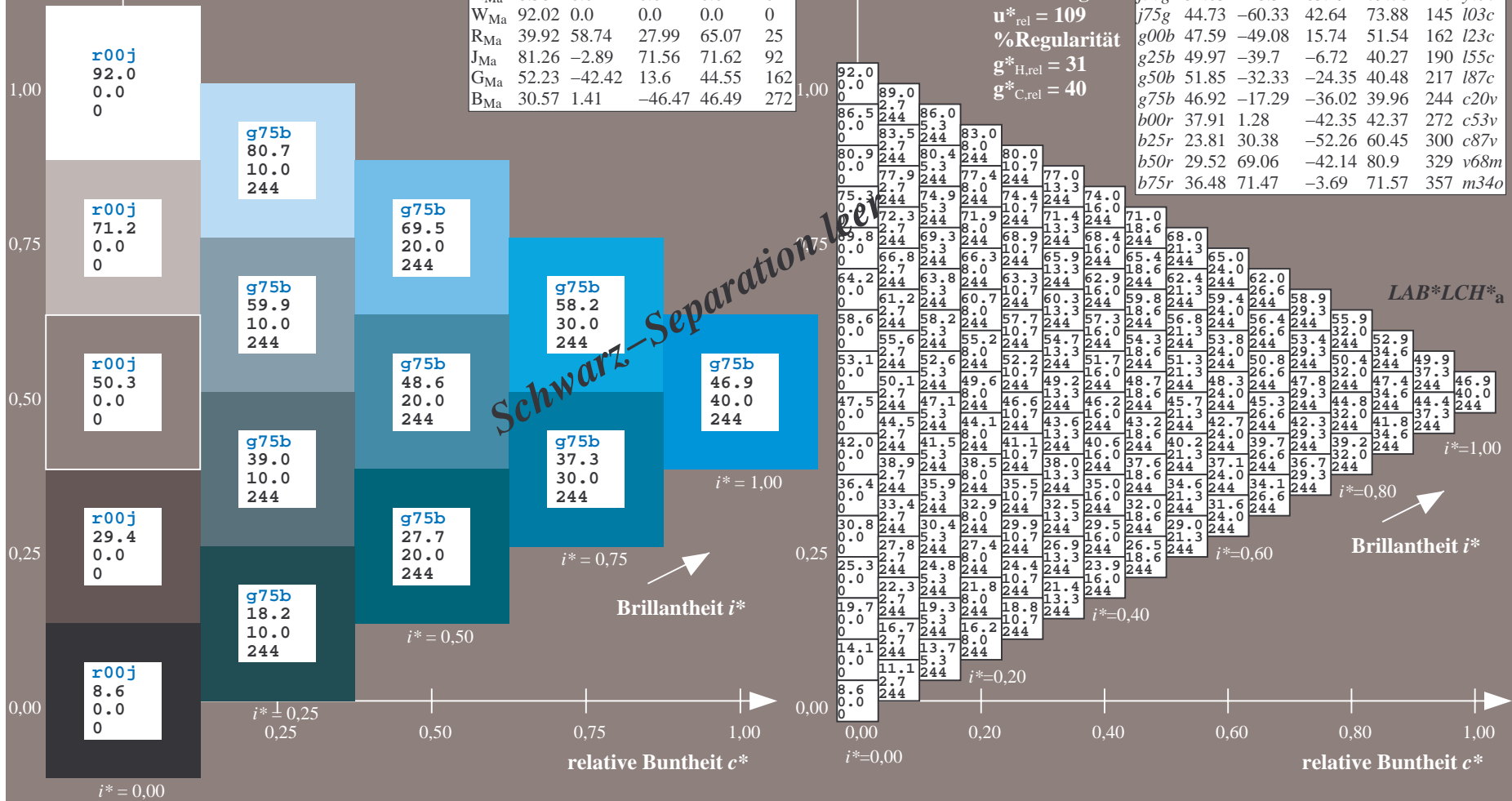
lab*rgb*_Ma: 0.0 0.5 1.0

lab*olv*_Ma: 0.0 0.8 1.0

Dreiecks-Helligkeit t^*

FRS09_92aM; adaptierte CIELAB-Daten

u^*_e	$L^*=L^*_a$	a^*_a	b^*_a	$C^*_{ab,a}$	$h^*_{ab,a}$	u^*_d
r00j	35.47	63.32	30.17	70.15	25	m81o
r25j	39.12	54.56	49.45	73.64	42	o10y
r50j	50.64	39.15	64.89	75.79	59	o40y
r75j	64.01	21.26	82.83	85.52	76	o69y
j00g	83.18	-4.38	108.53	108.62	92	o98y
j25g	66.73	-29.89	83.06	88.28	110	y34l
j50g	54.03	-48.31	63.49	79.78	127	y69l
j75g	44.73	-60.33	42.64	73.88	145	l03c
g00b	47.59	-49.08	15.74	51.54	162	l23c
g25b	49.97	-39.7	-6.72	40.27	190	l55c
g50b	51.85	-32.33	-24.35	40.48	217	l87c
g75b	46.92	-17.29	-36.02	39.96	244	c20v
b00r	37.91	1.28	-42.35	42.37	272	c53v
b25r	23.81	30.38	-52.26	60.45	300	c87v
b50r	29.52	69.06	-42.14	80.9	329	v68m
b75r	36.48	71.47	-3.69	71.57	357	m34o



Ein und Ausgabe: Farbmatisches Drucker-Reflektiv-System FRS09_92aM für relativen CIELAB-Bunton $h^* = lab^*h^* = h_{ab}/360 = 0.755$

$u^*_e = b00r$
 $LAB^*LCH^*_a$

Daten für jede Farbe:

lab^*tch^* und lab^*icu^*

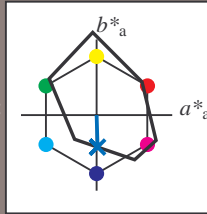
Buntontexte:

$u^*_e = b00r$ $u^*_d = c53v$

Kontrastreduzierungsfaktor:

$c_R = 1.0$

Dreiecks-Helligkeit t^*



FRS09_92aM; adaptierte CIELAB-Daten

	u^*_e	$L^*=L^*_a$	a^*_a	b^*_a	$C^*_{ab,a}$	$h^*_{ab,a}$
O _{Ma}	35.06	60.0	44.0	74.4	36	
Y _{Ma}	83.77	-5.17	109.32	109.44	93	
L _{Ma}	44.13	-62.67	48.24	79.09	142	
C _{Ma}	52.66	-29.14	-31.99	43.27	228	
V _{Ma}	14.15	50.3	-59.04	77.57	310	
M _{Ma}	37.37	78.64	-33.5	85.48	337	
N _{Ma}	8.58	0.0	0.0	0.0	0	
W _{Ma}	92.02	0.0	0.0	0.0	0	
R _{Ma}	39.92	58.74	27.99	65.07	25	
J _{Ma}	81.26	-2.89	71.56	71.62	92	
G _{Ma}	52.23	-42.42	13.6	44.55	162	
B _{Ma}	30.57	1.41	-46.47	46.49	272	

Daten für Maximalfarbe (Ma):

$LAB^*LAB^*_Ma: 38 \ 1 \ -42$

$LAB^*LCH^*_Ma: 38 \ 42 \ 271$

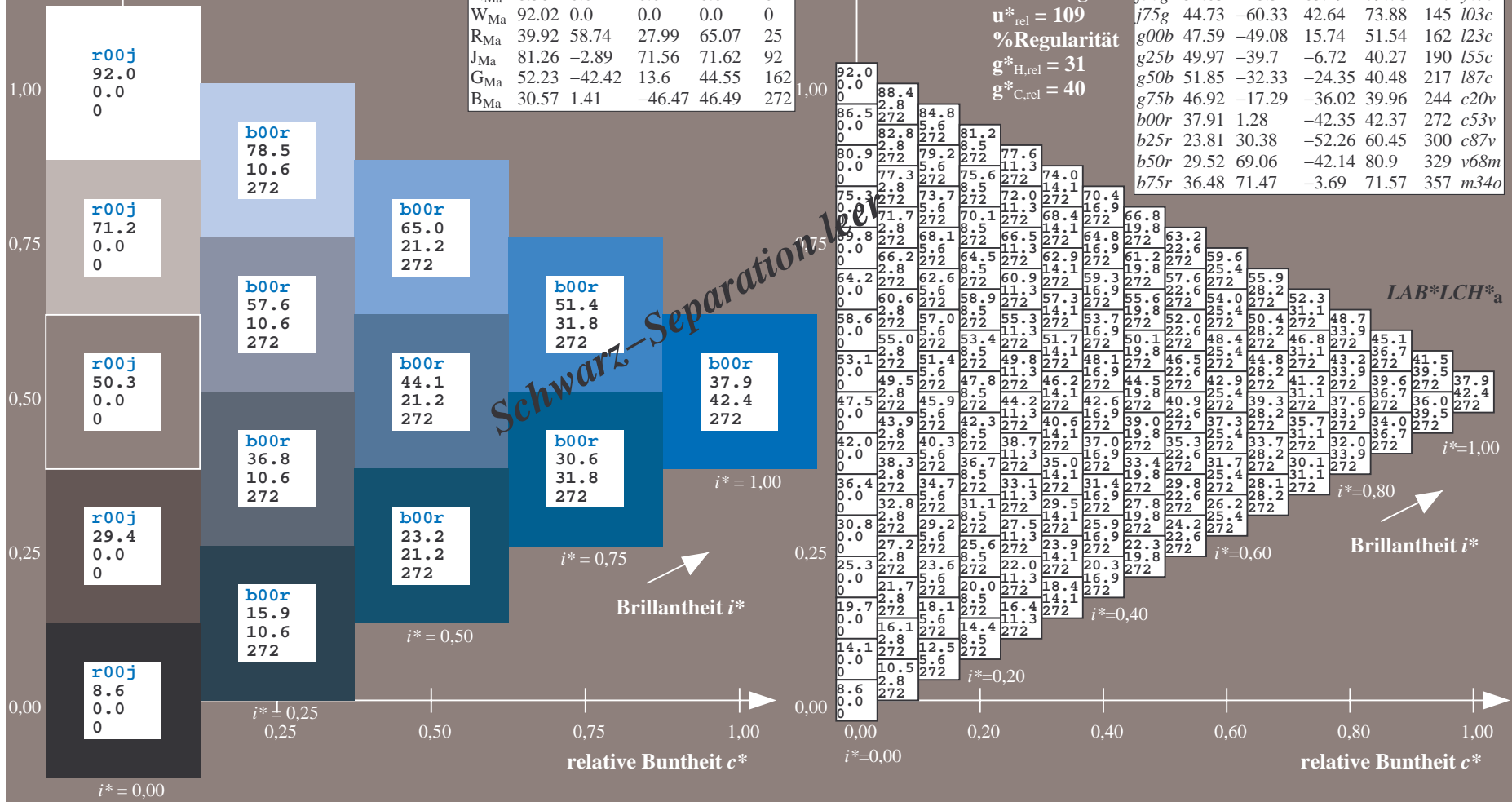
$lab^*rgb^*_Ma: 0.0 \ 0.0 \ 1.0$

$lab^*olv^*_Ma: 0.0 \ 0.47 \ 1.0$

Dreiecks-Helligkeit t^*

FRS09_92aM; adaptierte CIELAB-Daten

	u^*_e	$L^*=L^*_a$	a^*_a	b^*_a	$C^*_{ab,a}$	$h^*_{ab,a}$	u^*_d
r00j	35.47	63.32	30.17	70.15	25	m81o	
r25j	39.12	54.56	49.45	73.64	42	o10y	
r50j	50.64	39.15	64.89	75.79	59	o40y	
r75j	64.01	21.26	82.83	85.52	76	o69y	
j00g	83.18	-4.38	108.53	108.62	92	o98y	
j25g	66.73	-29.89	83.06	88.28	110	y34l	
j50g	54.03	-48.31	63.49	79.78	127	y69l	
j75g	44.73	-60.33	42.64	73.88	145	i03c	
g00b	47.59	-49.08	15.74	51.54	162	l23c	
g25b	49.97	-39.7	-6.72	40.27	190	i55c	
g50b	51.85	-32.33	-24.35	40.48	217	i87c	
g75b	46.92	-17.29	-36.02	39.96	244	c20v	
b00r	37.91	1.28	-42.35	42.37	272	c53v	
b25r	23.81	30.38	-52.26	60.45	300	c87v	
b50r	29.52	69.06	-42.14	80.9	329	v68m	
b75r	36.48	71.47	-3.69	71.57	357	m34o	



Ein und Ausgabe: Farbmatisches Drucker-Reflektiv-System FRS09_92aM für relativen CIELAB-Bunton $h^* = lab^*h^* = h_{ab}/360 = 0.834$

$u^*_e = b25r$
 $LAB^*LCH^*_a$

Daten für jede Farbe:

lab^*tch^* und lab^*icu^*

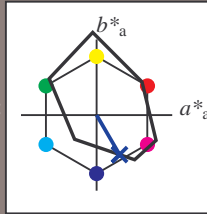
Buntontexte:

$u^*_e = b25r$ $u^*_d = c87v$

Kontrastreduzierungsfaktor:

$c_R = 1.0$

Dreiecks-Helligkeit t^*



FRS09_92aM; adaptierte CIELAB-Daten

u^*_e	$L^*=L^*_a$	a^*_a	b^*_a	$C^*_{ab,a}$	$h^*_{ab,a}$
O _{Ma}	35.06	60.0	44.0	74.4	36
Y _{Ma}	83.77	-5.17	109.32	109.44	93
L _{Ma}	44.13	-62.67	48.24	79.09	142
C _{Ma}	52.66	-29.14	-31.99	43.27	228
V _{Ma}	14.15	50.3	-59.04	77.57	310
M _{Ma}	37.37	78.64	-33.5	85.48	337
N _{Ma}	8.58	0.0	0.0	0.0	0
W _{Ma}	92.02	0.0	0.0	0.0	0
R _{Ma}	39.92	58.74	27.99	65.07	25
J _{Ma}	81.26	-2.89	71.56	71.62	92
G _{Ma}	52.23	-42.42	13.6	44.55	162
B _{Ma}	30.57	1.41	-46.47	46.49	272

Daten für Maximalfarbe (Ma):

$LAB^*LAB^*_Ma: 24\ 30\ -52$

$LAB^*LCH^*_Ma: 24\ 60\ 300$

$lab^*rgb^*_Ma: 0.5\ 0.0\ 1.0$

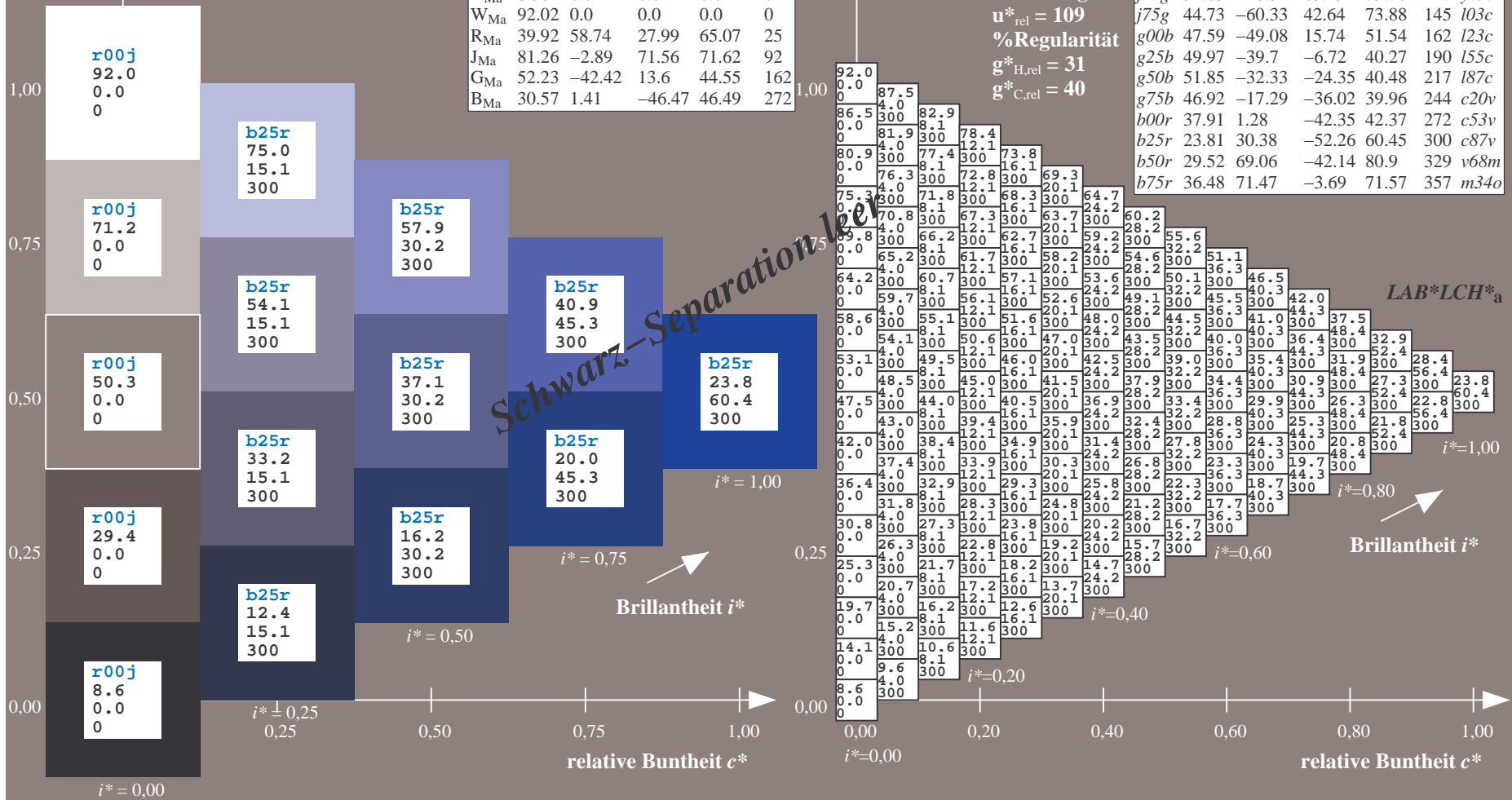
$lab^*olv^*_Ma: 0.0\ 0.12\ 1.0$

Dreiecks-Helligkeit t^*

FRS09_92aM; adaptierte CIELAB-Daten

u^*_e	$L^*=L^*_a$	a^*_a	b^*_a	$C^*_{ab,a}$	$h^*_{ab,a}$	u^*_d
r00j	35.47	63.32	30.17	70.15	25	m81o
r25j	39.12	54.56	49.45	73.64	42	o10y
r50j	50.64	39.15	64.89	75.79	59	o40y
r75j	64.01	21.26	82.83	85.52	76	o69y
j00g	83.18	-4.38	108.53	108.62	92	o98y
j25g	66.73	-29.89	83.06	88.28	110	y34l
j50g	54.03	-48.31	63.49	79.78	127	y69l
j75g	44.73	-60.33	42.64	73.88	145	l03c
g00b	47.59	-49.08	15.74	51.54	162	i23c
g25b	49.97	-39.7	-6.72	40.27	190	i55c
g50b	51.85	-32.33	-24.35	40.48	217	i87c
g75b	46.92	-17.29	-36.02	39.96	244	c20v
b00r	37.91	1.28	-42.35	42.37	272	c53v
b25r	23.81	30.38	-52.26	60.45	300	c87v
b50r	29.52	69.06	-42.14	80.9	329	v68m
b75r	36.48	71.47	-3.69	71.57	357	m34o

%Umfang
 $u^*_{rel} = 109$
%Regularität
 $g^*_{H,rel} = 31$
 $g^*_{C,rel} = 40$



Ein und Ausgabe: Farbmatisches Drucker-Reflektiv-System FRS09_92aM für relativen CIELAB-Bunton $h^* = lab^*h^* = h_{ab}/360 = 0.913$

$u^*_e = b50r$
 $LAB^*LCH^*_a$

Daten für jede Farbe:

lab^*tch^* und lab^*icu^*

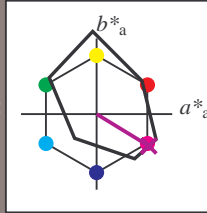
Buntontexte:

$u^*_e = b50r$ $u^*_d = v68m$

Kontrastreduzierungsfaktor:

$c_R = 1.0$

Dreiecks-Helligkeit t^*



FRS09_92aM; adaptierte CIELAB-Daten

u^*_e	$L^*=L^*_a$	a^*_a	b^*_a	$C^*_{ab,a}$	$h^*_{ab,a}$
O _{Ma}	35.06	60.0	44.0	74.4	36
Y _{Ma}	83.77	-5.17	109.32	109.44	93
L _{Ma}	44.13	-62.67	48.24	79.09	142
C _{Ma}	52.66	-29.14	-31.99	43.27	228
V _{Ma}	14.15	50.3	-59.04	77.57	310
M _{Ma}	37.37	78.64	-33.5	85.48	337
N _{Ma}	8.58	0.0	0.0	0.0	0
W _{Ma}	92.02	0.0	0.0	0.0	0
R _{Ma}	39.92	58.74	27.99	65.07	25
J _{Ma}	81.26	-2.89	71.56	71.62	92
G _{Ma}	52.23	-42.42	13.6	44.55	162
B _{Ma}	30.57	1.41	-46.47	46.49	272

Daten für Maximalfarbe (Ma):

$LAB^*LAB^*_Ma: 30\ 69\ -42$

$LAB^*LCH^*_Ma: 30\ 81\ 328$

$lab^*rgb^*_Ma: 1.0\ 0.0\ 1.0$

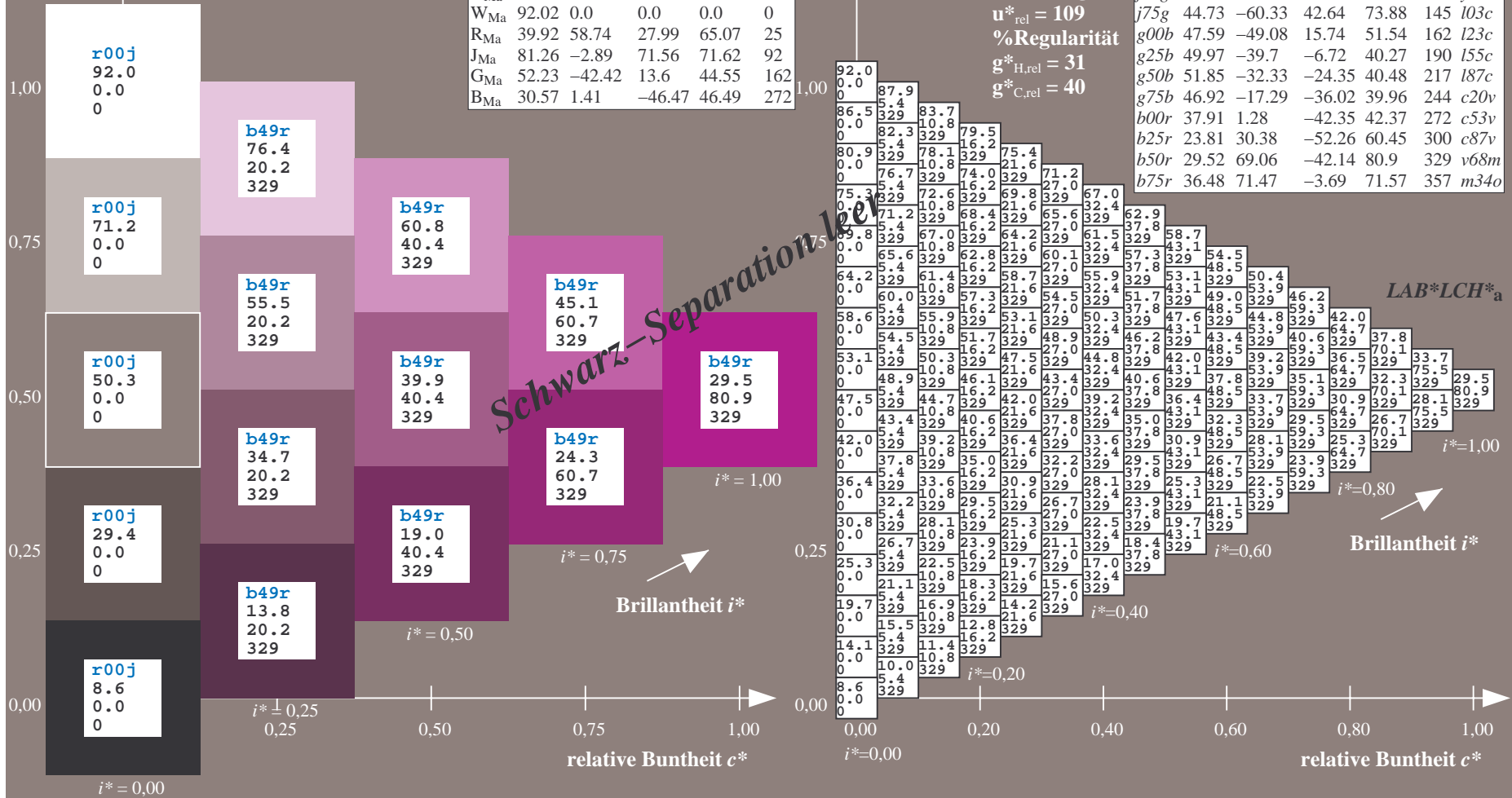
$lab^*olv^*_Ma: 0.69\ 0.0\ 1.0$

Dreiecks-Helligkeit t^*

FRS09_92aM; adaptierte CIELAB-Daten

u^*_e	$L^*=L^*_a$	a^*_a	b^*_a	$C^*_{ab,a}$	$h^*_{ab,a}$	u^*_d
r00j	35.47	63.32	30.17	70.15	25	m81o
r25j	39.12	54.56	49.45	73.64	42	o10y
r50j	50.64	39.15	64.89	75.79	59	o40y
r75j	64.01	21.26	82.83	85.52	76	o69y
j00g	83.18	-4.38	108.53	108.62	92	o98y
j25g	66.73	-29.89	83.06	88.28	110	y34l
j50g	54.03	-48.31	63.49	79.78	127	y69l
j75g	44.73	-60.33	42.64	73.88	145	l03c
g00b	47.59	-49.08	15.74	51.54	162	l23c
g25b	49.97	-39.7	-6.72	40.27	190	l55c
g50b	51.85	-32.33	-24.35	40.48	217	l87c
g75b	46.92	-17.29	-36.02	39.96	244	c20v
b00r	37.91	1.28	-42.35	42.37	272	c53v
b25r	23.81	30.38	-52.26	60.45	300	c87v
b50r	29.52	69.06	-42.14	80.9	329	v68m
b75r	36.48	71.47	-3.69	71.57	357	m34o

%Umfang
 $u^*_{rel} = 109$
%Regularität
 $g^*_{H,rel} = 31$
 $g^*_{C,rel} = 40$



Ein und Ausgabe: Farbmatisches Drucker-Reflektiv-System FRS09_92aM für relativen CIELAB-Bunton $h^* = lab^*h^* = h_{ab}/360 = 0.992$

$u^*_e = b75r$
LAB*LCH*_a

Daten für jede Farbe:

lab^*tch^* und lab^*icu^*

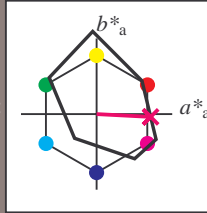
Buntontexte:

$u^*_e = b75r$ $u^*_d = m34o$

Kontrastreduzierungsfaktor:

$c_R = 1.0$

Dreiecks-Helligkeit t^*



FRS09_92aM; adaptierte CIELAB-Daten

u^*_e	$L^*=L^*_a$	a^*_a	b^*_a	$C^*_{ab,a}$	$h^*_{ab,a}$
O _{Ma}	35.06	60.0	44.0	74.4	36
Y _{Ma}	83.77	-5.17	109.32	109.44	93
L _{Ma}	44.13	-62.67	48.24	79.09	142
C _{Ma}	52.66	-29.14	-31.99	43.27	228
V _{Ma}	14.15	50.3	-59.04	77.57	310
M _{Ma}	37.37	78.64	-33.5	85.48	337
N _{Ma}	8.58	0.0	0.0	0.0	0
W _{Ma}	92.02	0.0	0.0	0.0	0
R _{Ma}	39.92	58.74	27.99	65.07	25
J _{Ma}	81.26	-2.89	71.56	71.62	92
G _{Ma}	52.23	-42.42	13.6	44.55	162
B _{Ma}	30.57	1.41	-46.47	46.49	272

Daten für Maximalfarbe (Ma):

LAB*LAB*_Ma: 36 71 -4

LAB*LCH*_Ma: 36 72 357

lab*rgb*_Ma: 1.0 0.0 0.5

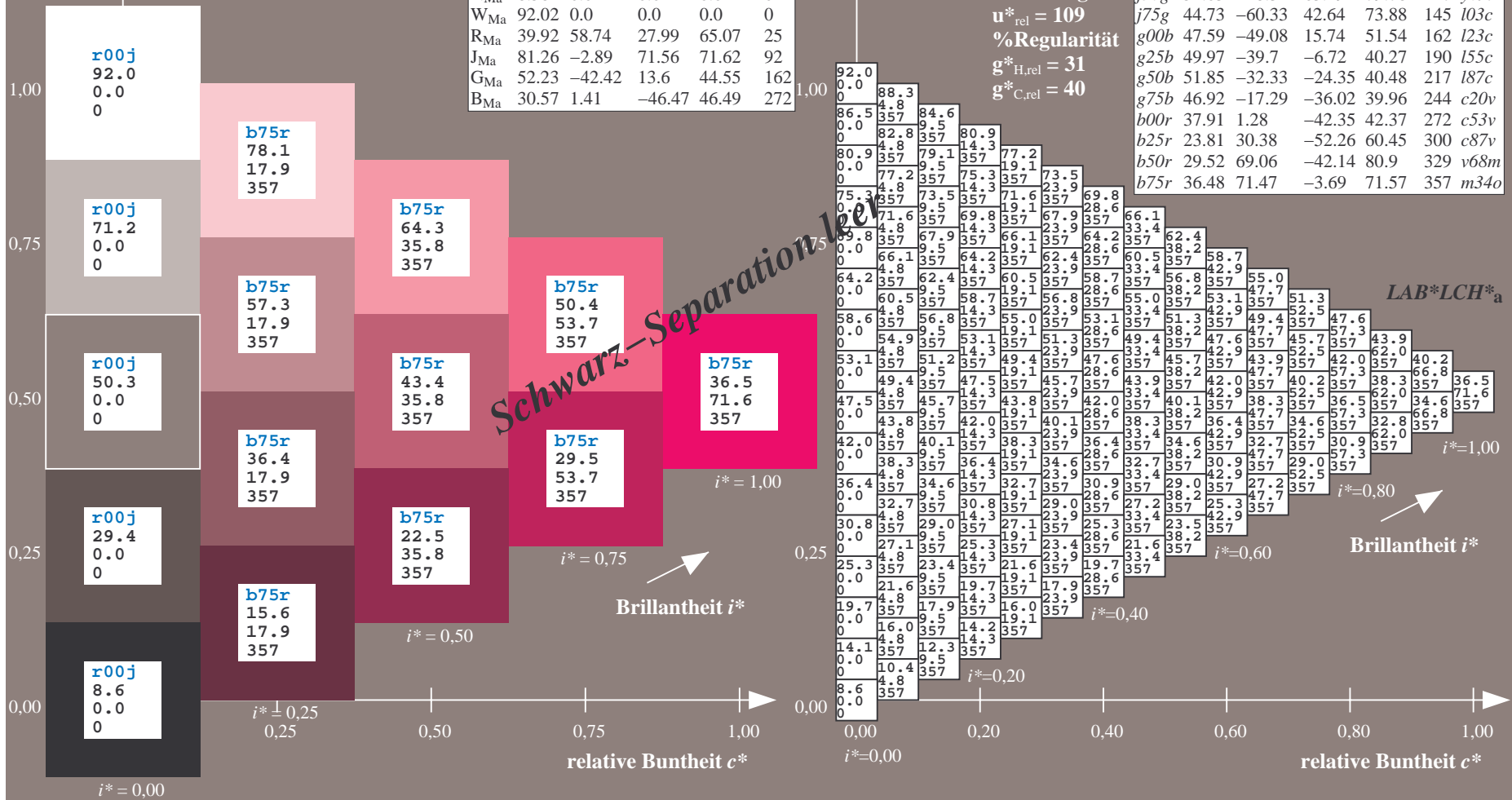
lab*olv*_Ma: 1.0 0.0 0.66

Dreiecks-Helligkeit t^*

FRS09_92aM; adaptierte CIELAB-Daten

u^*_e	$L^*=L^*_a$	a^*_a	b^*_a	$C^*_{ab,a}$	$h^*_{ab,a}$	u^*_d
r00j	35.47	63.32	30.17	70.15	25	m81o
r25j	39.12	54.56	49.45	73.64	42	o10y
r50j	50.64	39.15	64.89	75.79	59	o40y
r75j	64.01	21.26	82.83	85.52	76	o69y
j00g	83.18	-4.38	108.53	108.62	92	o98y
j25g	66.73	-29.89	83.06	88.28	110	y34l
j50g	54.03	-48.31	63.49	79.78	127	y69l
j75g	44.73	-60.33	42.64	73.88	145	l03c
g00b	47.59	-49.08	15.74	51.54	162	l23c
g25b	49.97	-39.7	-6.72	40.27	190	l55c
g50b	51.85	-32.33	-24.35	40.48	217	l87c
g75b	46.92	-17.29	-36.02	39.96	244	c20v
b00r	37.91	1.28	-42.35	42.37	272	c53v
b25r	23.81	30.38	-52.26	60.45	300	c87v
b50r	29.52	69.06	-42.14	80.9	329	v68m
b75r	36.48	71.47	-3.69	71.57	357	m34o

%Umfang
 $u^*_{rel} = 109$
%Regularität
 $g^*_{H,rel} = 31$
 $g^*_{C,rel} = 40$



	A	B	C	D	E	F	G	H	I	J	K	L	M	N	O	P	Q	R	S	T	U	V	W	X	Y	Z	a	b	c	d	e	f	g	h	i	j	k	LAB*LCH*a																																																																																																																																																																																																																																																																																																																																																																																																																																																																																																																																																																																																																																																																																																																																																																																																																																																																																																						
01	8.6	13.0	17.5	21.9	26.4	30.8	35.2	39.7	44.1	48.5	52.9	57.3	61.7	66.1	70.5	74.9	79.3	83.7	88.1	92.5	96.9	101.3	105.7	110.1	114.5	118.9	123.3	127.7	132.1	136.5	140.9	145.3	149.7	154.1	158.5	162.9	167.3	171.7	176.1	180.5	184.9	189.3	193.7	198.1	202.5	206.9	211.3	215.7	220.1	224.5	228.9	233.3	237.7	242.1	246.5	250.9	255.3	259.7	264.1	268.5	272.9	277.3	281.7	286.1	290.5	294.9	299.3	303.7	308.1	312.5	316.9	321.3	325.7	330.1	334.5	338.9	343.3	347.7	352.1																																																																																																																																																																																																																																																																																																																																																																																																																																																																																																																																																																																																																																																																																																																																																																																																																																																													
02	9.3	14.1	18.8	23.5	28.2	32.7	37.3	41.8	46.3	50.8	55.3	59.8	64.3	68.8	73.3	77.8	82.3	86.8	91.3	95.8	100.3	104.8	109.3	113.8	118.3	122.8	127.3	131.8	136.3	140.8	145.3	149.8	154.3	158.8	163.3	167.8	172.3	176.8	181.3	185.8	190.3	194.8	199.3	203.8	208.3	212.8	217.3	221.8	226.3	230.8	235.3	239.8	244.3	248.8	253.3	257.8	262.3	266.8	271.3	275.8	280.3	284.8	289.3	293.8	298.3	302.8	307.3	311.8	316.3	320.8	325.3	329.8	334.3	338.8	343.3	347.8	352.3																																																																																																																																																																																																																																																																																																																																																																																																																																																																																																																																																																																																																																																																																																																																																																																																																																																															
03	10.0	14.6	19.2	23.8	28.4	33.0	37.6	42.2	46.8	51.4	56.0	60.6	65.2	69.8	74.4	79.0	83.6	88.2	92.8	97.4	102.0	106.6	111.2	115.8	120.4	125.0	129.6	134.2	138.8	143.4	148.0	152.6	157.2	161.8	166.4	171.0	175.6	180.2	184.8	189.4	194.0	198.6	203.2	207.8	212.4	217.0	221.6	226.2	230.8	235.4	240.0	244.6	249.2	253.8	258.4	263.0	267.6	272.2	276.8	281.4	286.0	290.6	295.2	299.8	304.4	309.0	313.6	318.2	322.8	327.4	332.0	336.6	341.2	345.8	350.4																																																																																																																																																																																																																																																																																																																																																																																																																																																																																																																																																																																																																																																																																																																																																																																																																																																																	
04	10.7	17.9	25.6	32.9	40.1	47.3	54.6	61.9	69.1	76.4	83.7	91.0	98.3	105.6	112.9	120.2	127.5	134.8	142.1	149.4	156.7	164.0	171.3	178.6	185.9	193.2	200.5	207.8	215.1	222.4	229.7	237.0	244.3	251.6	258.9	266.2	273.5	280.8	288.1	295.4	302.7	310.0	317.3	324.6	331.9	339.2	346.5	353.8	361.1	368.4	375.7	383.0	390.3	397.6	404.9	412.2	419.5	426.8	434.1	441.4	448.7	456.0	463.3	470.6	477.9	485.2	492.5	499.8	507.1	514.4	521.7	529.0	536.3	543.6	550.9	558.2	565.5	572.8	580.1	587.4	594.7	602.0	609.3	616.6	623.9	631.2	638.5	645.8	653.1	660.4	667.7	675.0	682.3	689.6	696.9	704.2	711.5	718.8	726.1	733.4	740.7	748.0	755.3	762.6	770.0	777.3	784.6	791.9	799.2	806.5	813.8	821.1	828.4	835.7	843.0	850.3	857.6	864.9	872.2	879.5	886.8	894.1	901.4	908.7	916.0	923.3	930.6	937.9	945.2	952.5	959.8	967.1	974.4	981.7	989.0	996.3	1003.6	1010.9	1018.2	1025.5	1032.8	1040.1	1047.4	1054.7	1062.0	1069.3	1076.6	1083.9	1091.2	1098.5	1105.8	1113.1	1120.4	1127.7	1135.0	1142.3	1149.6	1156.9	1164.2	1171.5	1178.8	1186.1	1193.4	1200.7	1208.0	1215.3	1222.6	1230.0	1237.3	1244.6	1251.9	1259.2	1266.5	1273.8	1281.1	1288.4	1295.7	1303.0	1310.3	1317.6	1324.9	1332.2	1339.5	1346.8	1354.1	1361.4	1368.7	1376.0	1383.3	1390.6	1397.9	1405.2	1412.5	1419.8	1427.1	1434.4	1441.7	1449.0	1456.3	1463.6	1470.9	1478.2	1485.5	1492.8	1500.1	1507.4	1514.7	1522.0	1529.3	1536.6	1543.9	1551.2	1558.5	1565.8	1573.1	1580.4	1587.7	1595.0	1602.3	1609.6	1616.9	1624.2	1631.5	1638.8	1646.1	1653.4	1660.7	1668.0	1675.3	1682.6	1689.9	1697.2	1704.5	1711.8	1719.1	1726.4	1733.7	1741.0	1748.3	1755.6	1762.9	1770.2	1777.5	1784.8	1792.1	1799.4	1806.7	1814.0	1821.3	1828.6	1835.9	1843.2	1850.5	1857.8	1865.1	1872.4	1879.7	1887.0	1894.3	1901.6	1908.9	1916.2	1923.5	1930.8	1938.1	1945.4	1952.7	1960.0	1967.3	1974.6	1981.9	1989.2	1996.5	2003.8	2011.1	2018.4	2025.7	2033.0	2040.3	2047.6	2054.9	2062.2	2069.5	2076.8	2084.1	2091.4	2098.7	2106.0	2113.3	2120.6	2127.9	2135.2	2142.5	2149.8	2157.1	2164.4	2171.7	2179.0	2186.3	2193.6	2200.9	2208.2	2215.5	2222.8	2230.1	2237.4	2244.7	2252.0	2259.3	2266.6	2273.9	2281.2	2288.5	2295.8	2303.1	2310.4	2317.7	2325.0	2332.3	2339.6	2346.9	2354.2	2361.5	2368.8	2376.1	2383.4	2390.7	2398.0	2405.3	2412.6	2420.0	2427.3	2434.6	2441.9	2449.2	2456.5	2463.8	2471.1	2478.4	2485.7	2493.0	2500.3	2507.6	2514.9	2522.2	2529.5	2536.8	2544.1	2551.4	2558.7	2566.0	2573.3	2580.6	2587.9	2595.2	2602.5	2609.8	2617.1	2624.4	2631.7	2639.0	2646.3	2653.6	2660.9	2668.2	2675.5	2682.8	2690.1	2697.4	2704.7	2712.0	2719.3	2726.6	2733.9	2741.2	2748.5	2755.8	2763.1	2770.4	2777.7	2785.0	2792.3	2799.6	2806.9	2814.2	2821.5	2828.8	2836.1	2843.4	2850.7	2858.0	2865.3	2872.6	2880.0	2887.3	2894.6	2901.9	2909.2	2916.5	2923.8	2931.1	2938.4	2945.7	2953.0	2960.3	2967.6	2974.9	2982.2	2989.5	2996.8	3004.1	3011.4	3018.7	3026.0	3033.3	3040.6	3047.9	3055.2	3062.5	3069.8	3077.1	3084.4	3091.7	3099.0	3106.3	3113.6	3120.9	3128.2	3135.5	3142.8	3150.1	3157.4	3164.7	3172.0	3179.3	3186.6	3193.9	3201.2	3208.5	3215.8	3223.1	3230.4	3237.7	3245.0	3252.3	3259.6	3266.9	3274.2	3281.5	3288.8	3296.1	3303.4	3310.7	3318.0	3325.3	3332.6	3340.0	3347.3	3354.6	3361.9	3369.2	3376.5	3383.8	3391.1	3398.4	3405.7	3413.0	3420.3	3427.6	3434.9	3442.2	3449.5	3456.8	3464.1	3471.4	3478.7	3486.0	3493.3	3500.6	3507.9	3515.2	3522.5	3529.8	3537.1	3544.4	3551.7	3559.0	3566.3	3573.6	3580.9	3588.2	3595.5	3602.8	3610.1	3617.4	3624.7	3632.0	3639.3	3646.6	3653.9	3661.2	3668.5	3675.8	3683.1	3690.4	3697.7	3705.0	3712.3	3719.6	3726.9	3734.2	3741.5	3748.8	3756.1	3763.4	3770.7	3778.0	3785.3	3792.6	3800.0	3807.3	3814.6	3821.9	3829.2	3836.5	3843.8	3851.1	3858.4	3865.7	3873.0	3880.3	3887.6	3894.9	3902.2	3909.5	3916.8	3924.1	3931.4	3938.7	3946.0	3953.3	3960.6	3967.9	3975.2	3982.5	3989.8	3997.1	4004.4	4011.7	4019.0	4026.3	4033.6	4040.9	4048.2	4055.5	4062.8	4070.1	4077.4	4084.7	4092.0	4099.3	4106.6	4113.9	4121.2	4128.5	4135.8	4143.1	4150.4	4157.7	4165.0	4172.3	4179.6	4186.9	4194.2	4201.5	4208.8	4216.1	4223.4	4230.7	4238.0	4245.3	4252.6	4260.0	4267.3	4274.6	4281.9	4289.2	4296.5	4303.8	4311.1	4318.4	4325.7	4333.0	4340.3	4347.6	4354.9	4362.2	4369.5	4376.8	4384.1	4391.4	4398.7	4406.0	4413.3	4420.6	4427.9	4435.2	4442.5	4449.8	4457.1	4464.4	4471.7	4479.0	4486.3	4493.6	4500.9	4508.2	4515.5	4522.8	4530.1	4537.4	4544.7	4552.0	4559.3	4566.6	4573.9	4581.2	4588.5	4595.8	4603.1	4610.4	4617.7	4625.0	4632.3	4639.6	4646.9	4654.2	4661.5	4668.8	4676.1	4683.4	4690.7	4698.0	4705.3	4712.6	4720.0	4727.3	4734.6	4741.9	4749.2	4756.5	4763.8	4771.1	4778.4	4785.7	4793.0	4800.3	4807.6	4814.9	4822.2	4829.5	4836.8	4844.1	4851.4	4858.7	4866.0	4873.3	4880.6	4887.9	4895.2	4902.5	4909.8	4917.1	4924.4	4931.7	4939.0	4946.3	4953.6	4960.9	4968.2	4975.5	4982.8	4990.1	4997.4	5004.7	5012.0	5019.3	5026.6	5033.9	5041.2	5048.5	5055.8	5063.1	5070.4	5077.7	5085.0	5092.3	5099.6	5106.9	5114.2	5121.5	5128.8	5136.1	5143.4	5150.7	5158.0	5165.3	5172.6	5180.0	5187.3	5194.6	5201.9	5209.2	5216.5	5223.8	5231.1	5238.4	5245.7	5253.0	5260.3	5267.6	5274.9	5282.2	5289.5	5296.8	5304.1	5311.4	5318.7	5326.0	5333.3	5340.6	5347.9	5355.2	5362.5	5369.8	5377.1	5384.4	5391.7	5399.0	5406.3	5413.6	5420.9	5428.2	5435.5	5442.8	5450.1	5457.4	5464.7	5472.0	5479.3	5486.6	5493.9	5501.2	5508.5	5515.8	5523.1	5530.4	5537.7	5545.0	5552.3	5559.6	5566.9	5574.2	5581.5	5588.8	5596.1	5603.4	5610.7	5618.0	5625.3	5632.6	5640.0	5647.3	5654.6	5661.9	5669.2	5676.5	5683.8	5691.1	5698.4	5705.7	5713.0	5720.3	5727.6	5734.9	5742.2	5749.5	5756.8	5764.1	5771.4	5778.7	5786.0	5793.3	5800.6	5807.9	5815.2	5822.5	5829.8	5837.1	5844.4	5851.7	5859.0	5866.3	5873.6	5880.9	5888.2	5895.5	5902.8	5910.1	5917.4	5924.7	5932.0	5939.3	5946.6	5953.9	5961.2	5968.5	5975.8	5983.1	5990.4	5997.7	6005.0	6012.3	6019.6	6026.9	6034.2	6041.5	6048.8	6056.1	6063.4	6070.7	6078.0	6085.3	6092.6	6100.0	6107.3	6114.6	6121.9	6129.2	6136.5	6143.8	6151.1	6158.4	6165.7	6173.0	6180.3	6187.6	6194.9	6202.2	6209.5	6216.8	6224.1	6231.4	6238.7	6246.0	6253.3	6260.6	6267.9	6275.2	6282.5	6289.8	6297.1	6304.4	6311.7	6319.0	6326.3	6333.6	6340.9	6348.2	6355.5	6362.8	6370.1	6377.4	6384.7	6392.0	6399.3	6406.6	6413.9	6421.2	6428.5	6435.8	6443.1	6450.4	6457.7	6465.0	6472.3	6479.6	6486.9	6494.2	6501.5	6508.8	6516.1	6523.4	6530.7	6538.0	6545.3	6552.6	6560.0	6567.3	6574.6	6581.9	6589.2	6596.5	6603.8	6611.1	6618.4	6625.7	6633

Ein und Ausgabe:
 Farbmetrisches Drucker-Reflektiv-System FRS09_92aM

Daten für jede Farbe:

u^*_e und Nummer $Nr. = 00 \dots 15$

Elementar-Bunttextext:

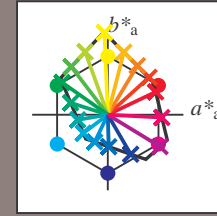
$u^*_e = 16$ Bunttoene $r00j, r25j, \dots, b75r$

Kontrastreduzierungsfaktor:

$c_R = 1.0$

FRS09_92aM; adaptierte CIELAB-Daten

u^*_e	$L^*=L^*_a$	a^*_a	b^*_a	$C^*_{ab,a}$	$h^*_{ab,a}$	u^*_d
r00j	35.47	63.32	30.17	70.15	25	m81o
r25j	39.12	54.56	49.45	73.64	42	o10y
r50j	50.64	39.15	64.89	75.79	59	o40y
r75j	64.01	21.26	82.83	85.52	76	o69y
j00g	83.18	-4.38	108.53	108.62	92	o98y
j25g	66.73	-29.89	83.06	88.28	110	y34l
j50g	54.03	-48.31	63.49	79.78	127	y69l
j75g	44.73	-60.33	42.64	73.88	145	l03c
g00b	47.59	-49.08	15.74	51.54	162	l23c
g25b	49.97	-39.7	-6.72	40.27	190	l55c
g50b	51.85	-32.33	-24.35	40.48	217	l87c
g75b	46.92	-17.29	-36.02	39.96	244	c20v
b00r	37.91	1.28	-42.35	42.37	272	c53v
b25r	23.81	30.38	-52.26	60.45	300	c87v
b50r	29.52	69.06	-42.14	80.9	329	v68m
b75r	36.48	71.47	-3.69	71.57	357	m34o



%Umfang

$u^*_{rel} = 109$

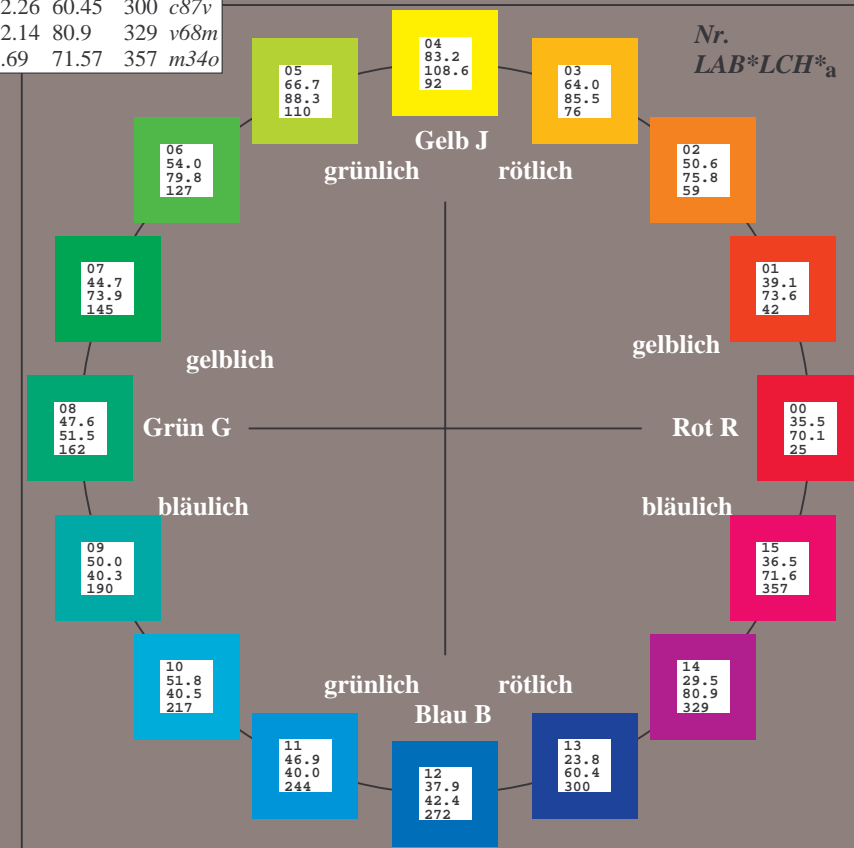
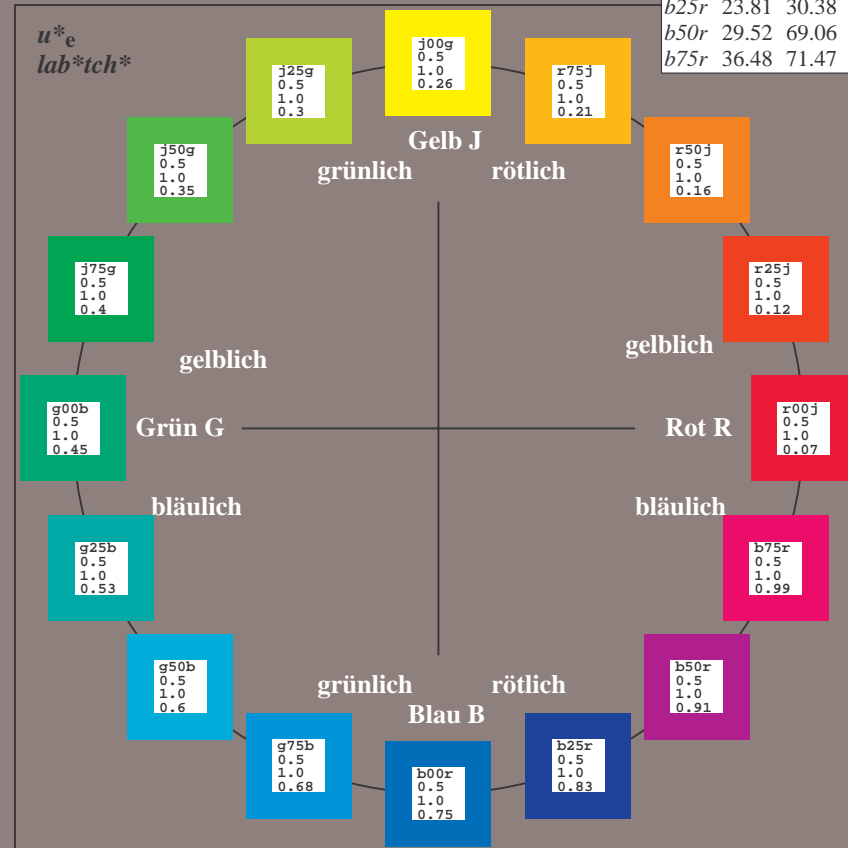
%Regularität

$g^*_{H,rel} = 31$

$g^*_{C,rel} = 40$

FRS09_92aM; adaptierte CIELAB-Daten

Name	$L^*=L^*_a$	a^*_a	b^*_a	$C^*_{ab,a}$	$h^*_{ab,a}$
O _{Ma}	35.06	60.0	44.0	74.4	36
Y _{Ma}	83.77	-5.17	109.32	109.44	93
L _{Ma}	44.13	-62.67	48.24	79.09	142
C _{Ma}	52.66	-29.14	-31.99	43.27	228
V _{Ma}	14.15	50.3	-59.04	77.57	310
M _{Ma}	37.37	78.64	-33.5	85.48	337
N _{Ma}	8.58	0.0	0.0	0.0	0
W _{Ma}	92.02	0.0	0.0	0.0	0
R _{CIE}	39.92	58.74	27.99	65.07	25
J _{CIE}	81.26	-2.89	71.56	71.62	92
G _{CIE}	52.23	-42.42	13.6	44.55	162
B _{CIE}	30.57	1.41	-46.47	46.49	272



Ein und Ausgabe: Farbmatisches Drucker-Reflektiv-System FRS09_92aM für relativen CIELAB-Bunton $h^* = lab^*h^* = h_{ab}/360 = 0.071$

Daten für jede Farbe:

lab^*tch^* und lab^*icu^*

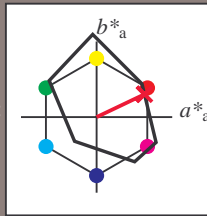
Buntontexte:

$u^*_e = r00j$ $u^*_d = m81o$

Kontrastreduzierungsfaktor:

$c_R = 1.0$

Dreiecks-Helligkeit t^*



FRS09_92aM; adaptierte CIELAB-Daten

u^*_e	$L^*=L^*_a$	a^*_a	b^*_a	$C^*_{ab,a}$	$h^*_{ab,a}$
O _{Ma}	35.06	60.0	44.0	74.4	36
Y _{Ma}	83.77	-5.17	109.32	109.44	93
L _{Ma}	44.13	-62.67	48.24	79.09	142
C _{Ma}	52.66	-29.14	-31.99	43.27	228
V _{Ma}	14.15	50.3	-59.04	77.57	310
M _{Ma}	37.37	78.64	-33.5	85.48	337
N _{Ma}	8.58	0.0	0.0	0.0	0
W _{Ma}	92.02	0.0	0.0	0.0	0
R _{Ma}	39.92	58.74	27.99	65.07	25
J _{Ma}	81.26	-2.89	71.56	71.62	92
G _{Ma}	52.23	-42.42	13.6	44.55	162
B _{Ma}	30.57	1.41	-46.47	46.49	272

Daten für Maximalfarbe (Ma):

$LAB^*LAB^*_{Ma}$: 35 63 30

$LAB^*LCH^*_{Ma}$: 35 70 25

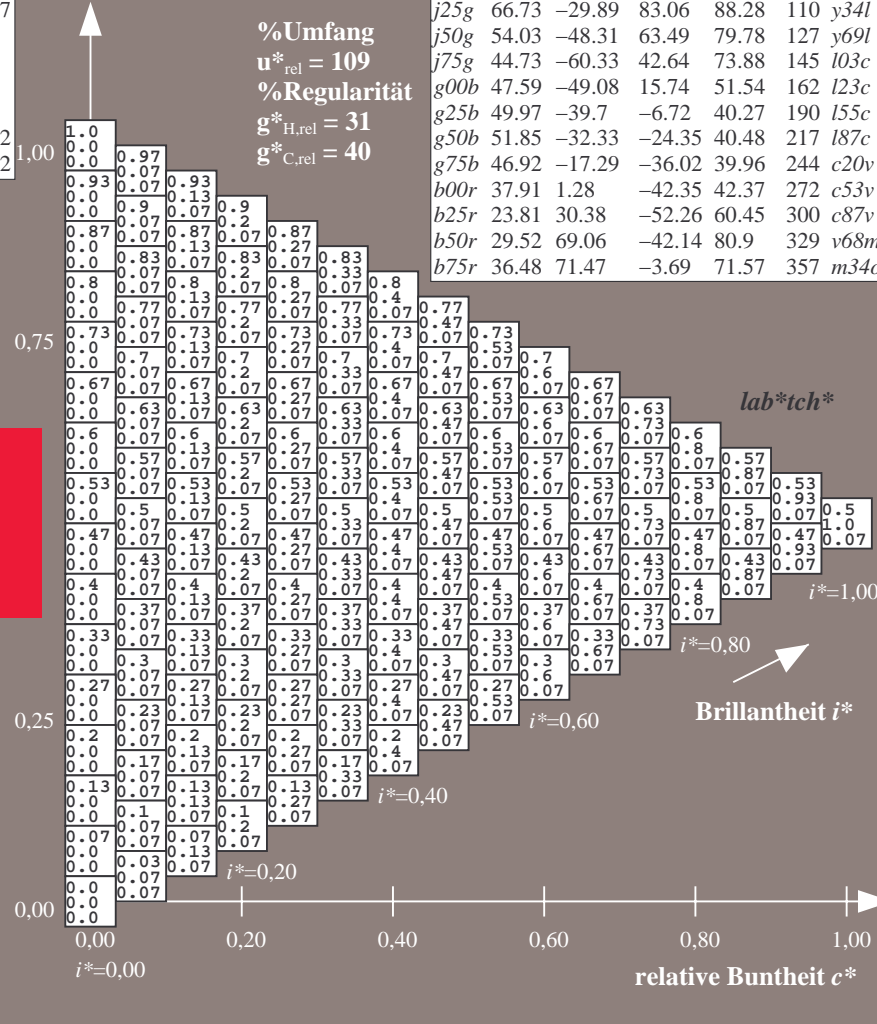
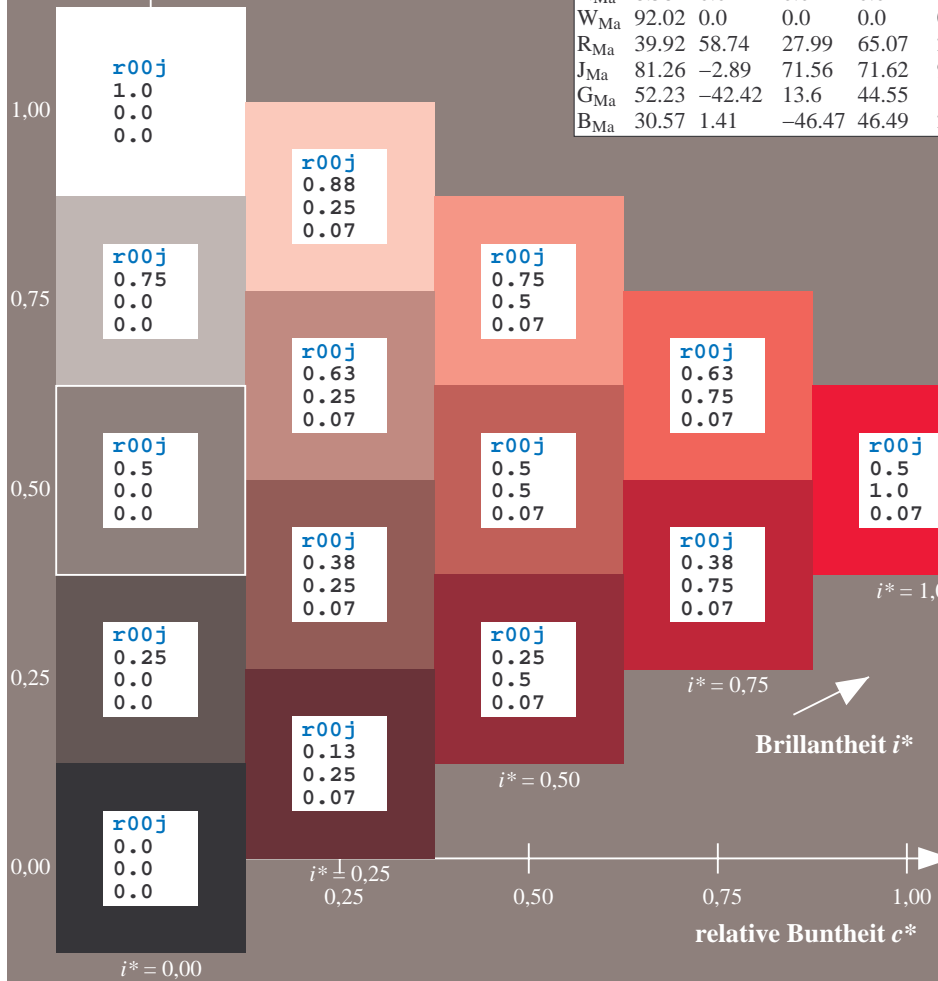
$lab^*rgb^*_{Ma}$: 1.0 0.0 0.0

$lab^*olv^*_{Ma}$: 1.0 0.0 0.18

Dreiecks-Helligkeit t^*

FRS09_92aM; adaptierte CIELAB-Daten

u^*_e	$L^*=L^*_a$	a^*_a	b^*_a	$C^*_{ab,a}$	$h^*_{ab,a}$	u^*_d
r00j	35.47	63.32	30.17	70.15	25	m81o
r25j	39.12	54.56	49.45	73.64	42	o10y
r50j	50.64	39.15	64.89	75.79	59	o40y
r75j	64.01	21.26	82.83	85.52	76	o69y
j00g	83.18	-4.38	108.53	108.62	92	o98y
j25g	66.73	-29.89	83.06	88.28	110	y34l
j50g	54.03	-48.31	63.49	79.78	127	y69l
j75g	44.73	-60.33	42.64	73.88	145	l03c
g00b	47.59	-49.08	15.74	51.54	162	l23c
g25b	49.97	-39.7	-6.72	40.27	190	l55c
g50b	51.85	-32.33	-24.35	40.48	217	l87c
g75b	46.92	-17.29	-36.02	39.96	244	c20v
b00r	37.91	1.28	-42.35	42.37	272	c53v
b25r	23.81	30.38	-52.26	60.45	300	c87v
b50r	29.52	69.06	-42.14	80.9	329	v68m
b75r	36.48	71.47	-3.69	71.57	357	m34o



%Umfang
 $u^*_{rel} = 109$
 %Regularität
 $g^*_{H,rel} = 31$
 $g^*_{C,rel} = 40$

Ein und Ausgabe: Farbmatisches Drucker-Reflektiv-System FRS09_92aM für relativen CIELAB-Bunton $h^* = lab^*h^* = h_{ab}/360 = 0.117$

$u^*_e = r25j$
 lab^*tch^*

Daten für jede Farbe:

lab^*tch^* und lab^*icu^*

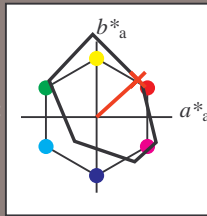
Buntontexte:

$u^*_e = r25j$ $u^*_d = o10y$

Kontrastreduzierungsfaktor:

$c_R = 1.0$

Dreiecks-Helligkeit t^*



FRS09_92aM; adaptierte CIELAB-Daten

u^*_e	$L^*=L^*_a$	a^*_a	b^*_a	$C^*_{ab,a}$	$h^*_{ab,a}$
O _{Ma}	35.06	60.0	44.0	74.4	36
Y _{Ma}	83.77	-5.17	109.32	109.44	93
L _{Ma}	44.13	-62.67	48.24	79.09	142
C _{Ma}	52.66	-29.14	-31.99	43.27	228
V _{Ma}	14.15	50.3	-59.04	77.57	310
M _{Ma}	37.37	78.64	-33.5	85.48	337
N _{Ma}	8.58	0.0	0.0	0.0	0
W _{Ma}	92.02	0.0	0.0	0.0	0
R _{Ma}	39.92	58.74	27.99	65.07	25
J _{Ma}	81.26	-2.89	71.56	71.62	92
G _{Ma}	52.23	-42.42	13.6	44.55	162
B _{Ma}	30.57	1.41	-46.47	46.49	272

Daten für Maximalfarbe (Ma):

$LAB^*LAB^*_{Ma}$: 39 55 49

$LAB^*LCH^*_{Ma}$: 39 74 42

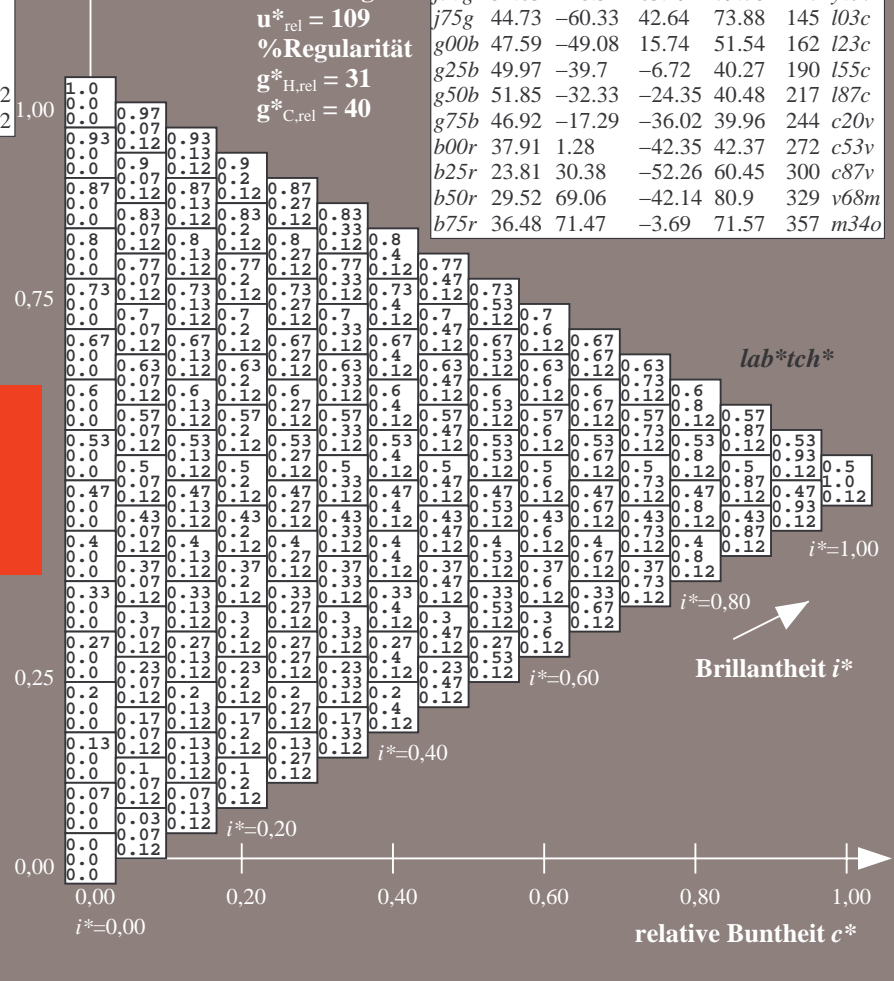
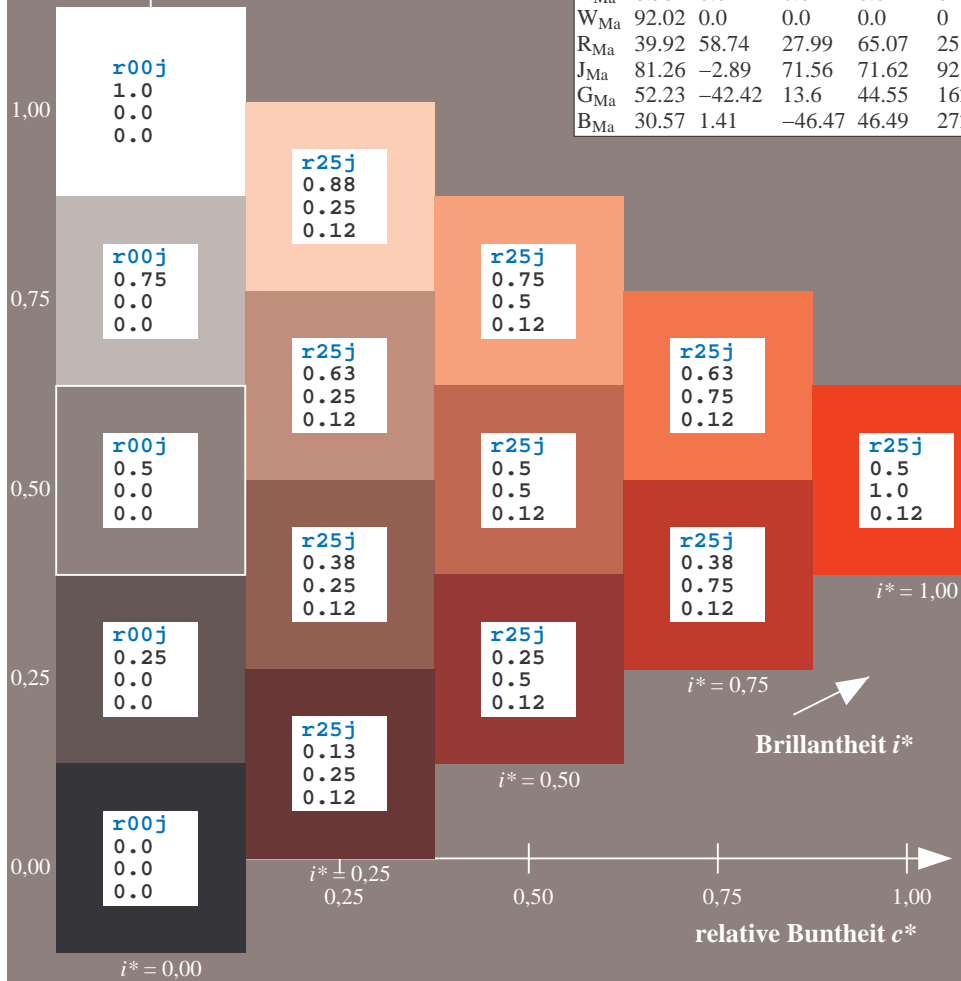
$lab^*rgb^*_{Ma}$: 1.0 0.25 0.0

$lab^*olv^*_{Ma}$: 1.0 0.11 0.0

Dreiecks-Helligkeit t^*

FRS09_92aM; adaptierte CIELAB-Daten

u^*_e	$L^*=L^*_a$	a^*_a	b^*_a	$C^*_{ab,a}$	$h^*_{ab,a}$	u^*_d
r00j	35.47	63.32	30.17	70.15	25	m81o
r25j	39.12	54.56	49.45	73.64	42	o10y
r50j	50.64	39.15	64.89	75.79	59	o40y
r75j	64.01	21.26	82.83	85.52	76	o69y
j00g	83.18	-4.38	108.53	108.62	92	o98y
j25g	66.73	-29.89	83.06	88.28	110	y34l
j50g	54.03	-48.31	63.49	79.78	127	y69l
j75g	44.73	-60.33	42.64	73.88	145	l03c
g00b	47.59	-49.08	15.74	51.54	162	i23c
g25b	49.97	-39.7	-6.72	40.27	190	i55c
g50b	51.85	-32.33	-24.35	40.48	217	i87c
g75b	46.92	-17.29	-36.02	39.96	244	c20v
b00r	37.91	1.28	-42.35	42.37	272	c53v
b25r	23.81	30.38	-52.26	60.45	300	c87v
b50r	29.52	69.06	-42.14	80.9	329	v68m
b75r	36.48	71.47	-3.69	71.57	357	m34o



%Umfang
 $u^*_{rel} = 109$
%Regularität
 $g^*_{H,rel} = 31$
 $g^*_{C,rel} = 40$

lab^*tch^*

$i^* = 1.00$

$i^* = 0.80$

Brillantheit i^*

$i^* = 0.60$

$i^* = 0.40$

$i^* = 0.20$

Ein und Ausgabe: Farbmetrisches Drucker-Reflektiv-System FRS09_92aM für relativen CIELAB-Bunton $h^* = lab \cdot h^* = h_{ab}/360 = 0.164$

$u^*_e = r50j$
 $lab \cdot tch^*$

Daten für jede Farbe:

$lab \cdot tch^*$ und $lab \cdot icu^*$

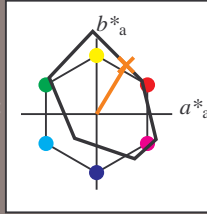
Buntontexte:

$u^*_e = r50j$ $u^*_d = o40y$

Kontrastreduzierungsfaktor:

$c_R = 1.0$

Dreiecks-Helligkeit t^*



FRS09_92aM; adaptierte CIELAB-Daten

u^*_e	$L^*=L^*_a$	a^*_a	b^*_a	$C^*_{ab,a}$	$h^*_{ab,a}$
O _{Ma}	35.06	60.0	44.0	74.4	36
Y _{Ma}	83.77	-5.17	109.32	109.44	93
L _{Ma}	44.13	-62.67	48.24	79.09	142
C _{Ma}	52.66	-29.14	-31.99	43.27	228
V _{Ma}	14.15	50.3	-59.04	77.57	310
M _{Ma}	37.37	78.64	-33.5	85.48	337
N _{Ma}	8.58	0.0	0.0	0.0	0
W _{Ma}	92.02	0.0	0.0	0.0	0
R _{Ma}	39.92	58.74	27.99	65.07	25
J _{Ma}	81.26	-2.89	71.56	71.62	92
G _{Ma}	52.23	-42.42	13.6	44.55	162
B _{Ma}	30.57	1.41	-46.47	46.49	272

Daten für Maximalfarbe (Ma):

$LAB \cdot LAB^*_{Ma}$: 51 39 65

$LAB \cdot LCH^*_{Ma}$: 51 76 58

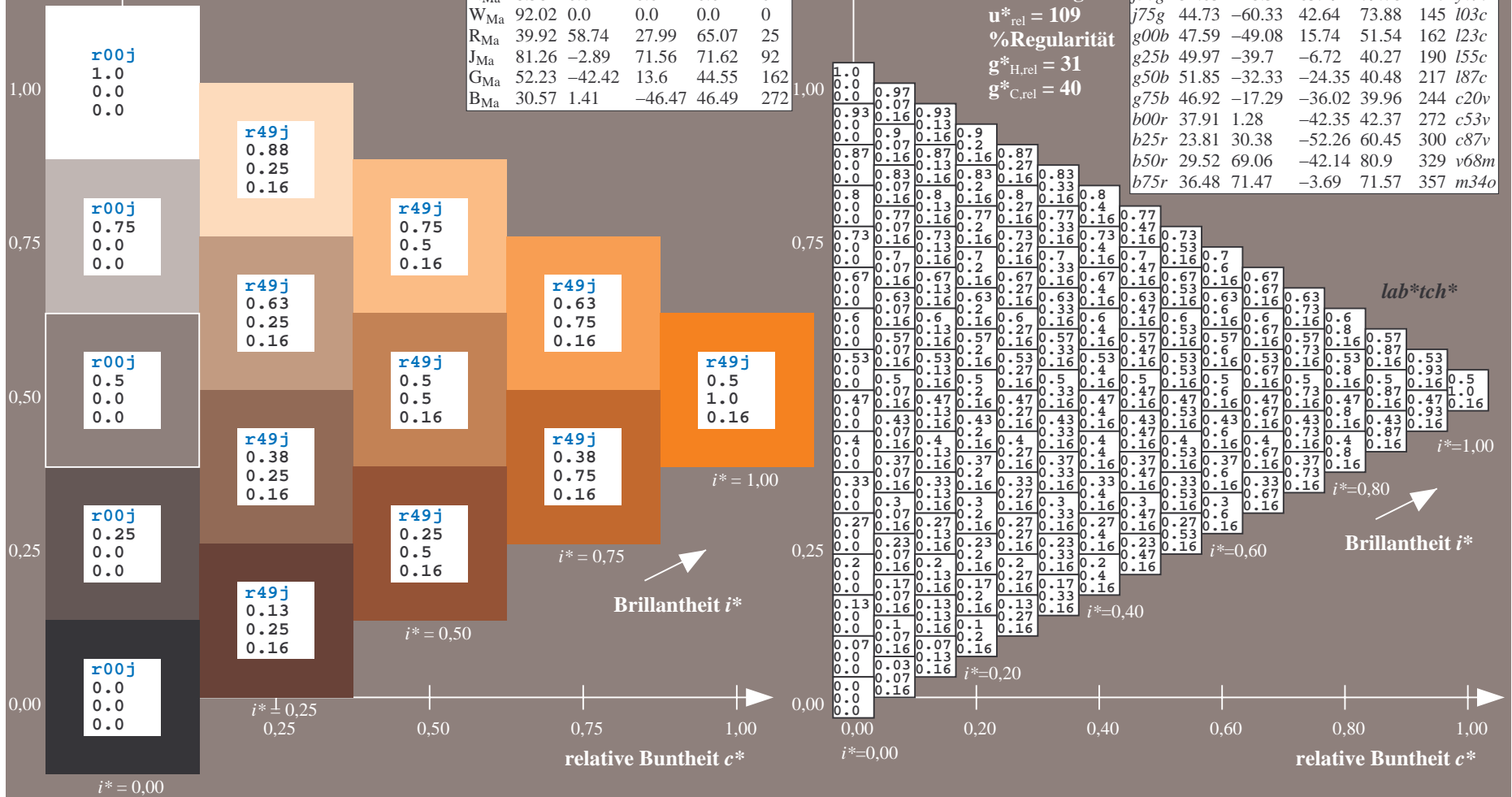
$lab \cdot rgb^*_{Ma}$: 1.0 0.5 0.0

$lab \cdot olv^*_{Ma}$: 1.0 0.4 0.0

Dreiecks-Helligkeit t^*

FRS09_92aM; adaptierte CIELAB-Daten

u^*_e	$L^*=L^*_a$	a^*_a	b^*_a	$C^*_{ab,a}$	$h^*_{ab,a}$	u^*_d
r00j	35.47	63.32	30.17	70.15	25	m81o
r25j	39.12	54.56	49.45	73.64	42	o10y
r50j	50.64	39.15	64.89	75.79	59	o40y
r75j	64.01	21.26	82.83	85.52	76	o69y
j00g	83.18	-4.38	108.53	108.62	92	o98y
j25g	66.73	-29.89	83.06	88.28	110	y34l
j50g	54.03	-48.31	63.49	79.78	127	y69l
j75g	44.73	-60.33	42.64	73.88	145	103c
g00b	47.59	-49.08	15.74	51.54	162	l23c
g25b	49.97	-39.7	-6.72	40.27	190	l55c
g50b	51.85	-32.33	-24.35	40.48	217	l87c
g75b	46.92	-17.29	-36.02	39.96	244	c20v
b00r	37.91	1.28	-42.35	42.37	272	c53v
b25r	23.81	30.38	-52.26	60.45	300	c87v
b50r	29.52	69.06	-42.14	80.9	329	v68m
b75r	36.48	71.47	-3.69	71.57	357	m34o



Ein und Ausgabe: Farbmatisches Drucker-Reflektiv-System FRS09_92aM für relativen CIELAB-Bunton $h^* = lab^*h^* = h_{ab}/360 = 0.21$

$u^*_e = r75j$
 lab^*tch^*

Daten für jede Farbe:

lab^*tch^* und lab^*icu^*

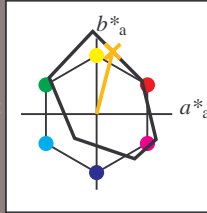
Buntontexte:

$u^*_e = r75j$ $u^*_d = o69y$

Kontrastreduzierungsfaktor:

$c_R = 1.0$

Dreiecks-Helligkeit t^*



FRS09_92aM; adaptierte CIELAB-Daten

u^*_e	$L^*=L^*_a$	a^*_a	b^*_a	$C^*_{ab,a}$	$h^*_{ab,a}$
O _{Ma}	35.06	60.0	44.0	74.4	36
Y _{Ma}	83.77	-5.17	109.32	109.44	93
L _{Ma}	44.13	-62.67	48.24	79.09	142
C _{Ma}	52.66	-29.14	-31.99	43.27	228
V _{Ma}	14.15	50.3	-59.04	77.57	310
M _{Ma}	37.37	78.64	-33.5	85.48	337
N _{Ma}	8.58	0.0	0.0	0.0	0
W _{Ma}	92.02	0.0	0.0	0.0	0
R _{Ma}	39.92	58.74	27.99	65.07	25
J _{Ma}	81.26	-2.89	71.56	71.62	92
G _{Ma}	52.23	-42.42	13.6	44.55	162
B _{Ma}	30.57	1.41	-46.47	46.49	272

Daten für Maximalfarbe (Ma):

$LAB^*LAB^*_{Ma}$: 64 21 83

$LAB^*LCH^*_{Ma}$: 64 86 75

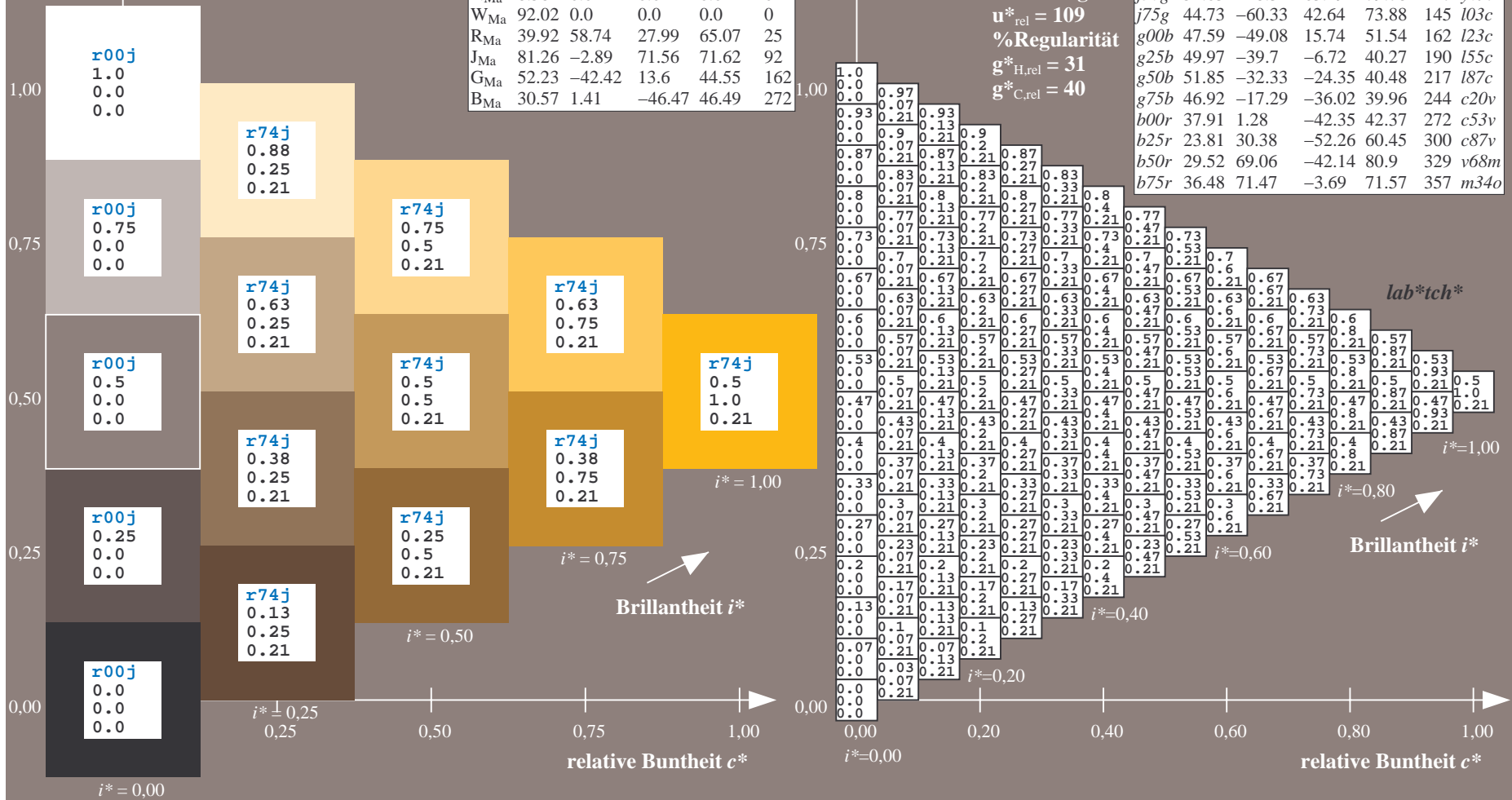
$lab^*rgb^*_{Ma}$: 1.0 0.75 0.0

$lab^*olv^*_{Ma}$: 1.0 0.7 0.0

Dreiecks-Helligkeit t^*

FRS09_92aM; adaptierte CIELAB-Daten

u^*_e	$L^*=L^*_a$	a^*_a	b^*_a	$C^*_{ab,a}$	$h^*_{ab,a}$	u^*_d
r00j	35.47	63.32	30.17	70.15	25	m81o
r25j	39.12	54.56	49.45	73.64	42	o10y
r50j	50.64	39.15	64.89	75.79	59	o40y
r75j	64.01	21.26	82.83	85.52	76	o69y
j00g	83.18	-4.38	108.53	108.62	92	o98y
j25g	66.73	-29.89	83.06	88.28	110	y34l
j50g	54.03	-48.31	63.49	79.78	127	y69l
j75g	44.73	-60.33	42.64	73.88	145	103c
g00b	47.59	-49.08	15.74	51.54	162	l23c
g25b	49.97	-39.7	-6.72	40.27	190	l55c
g50b	51.85	-32.33	-24.35	40.48	217	l87c
g75b	46.92	-17.29	-36.02	39.96	244	c20v
b00r	37.91	1.28	-42.35	42.37	272	c53v
b25r	23.81	30.38	-52.26	60.45	300	c87v
b50r	29.52	69.06	-42.14	80.9	329	v68m
b75r	36.48	71.47	-3.69	71.57	357	m34o



Ein und Ausgabe: Farbmetrisches Drucker-Reflektiv-System FRS09_92aM für relativen CIELAB-Bunton $h^* = lab \cdot h^* = h_{ab}/360 = 0.256$

$u^*_e = j00g$
 $lab \cdot tch^*$

Daten für jede Farbe:

$lab \cdot tch^*$ und $lab \cdot icu^*$

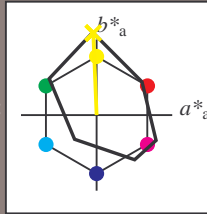
Buntontexte:

$u^*_e = j00g$ $u^*_d = o98y$

Kontrastreduzierungsfaktor:

$c_R = 1.0$

Dreiecks-Helligkeit t^*



FRS09_92aM; adaptierte CIELAB-Daten

u^*_e	$L^*=L^*_a$	a^*_a	b^*_a	$C^*_{ab,a}$	$h^*_{ab,a}$
O _{Ma}	35.06	60.0	44.0	74.4	36
Y _{Ma}	83.77	-5.17	109.32	109.44	93
L _{Ma}	44.13	-62.67	48.24	79.09	142
C _{Ma}	52.66	-29.14	-31.99	43.27	228
V _{Ma}	14.15	50.3	-59.04	77.57	310
M _{Ma}	37.37	78.64	-33.5	85.48	337
N _{Ma}	8.58	0.0	0.0	0.0	0
W _{Ma}	92.02	0.0	0.0	0.0	0
R _{Ma}	39.92	58.74	27.99	65.07	25
J _{Ma}	81.26	-2.89	71.56	71.62	92
G _{Ma}	52.23	-42.42	13.6	44.55	162
B _{Ma}	30.57	1.41	-46.47	46.49	272

Daten für Maximalfarbe (Ma):

$LAB \cdot LAB^*_{Ma}$: 83 -4 109

$LAB \cdot LCH^*_{Ma}$: 83 109 92

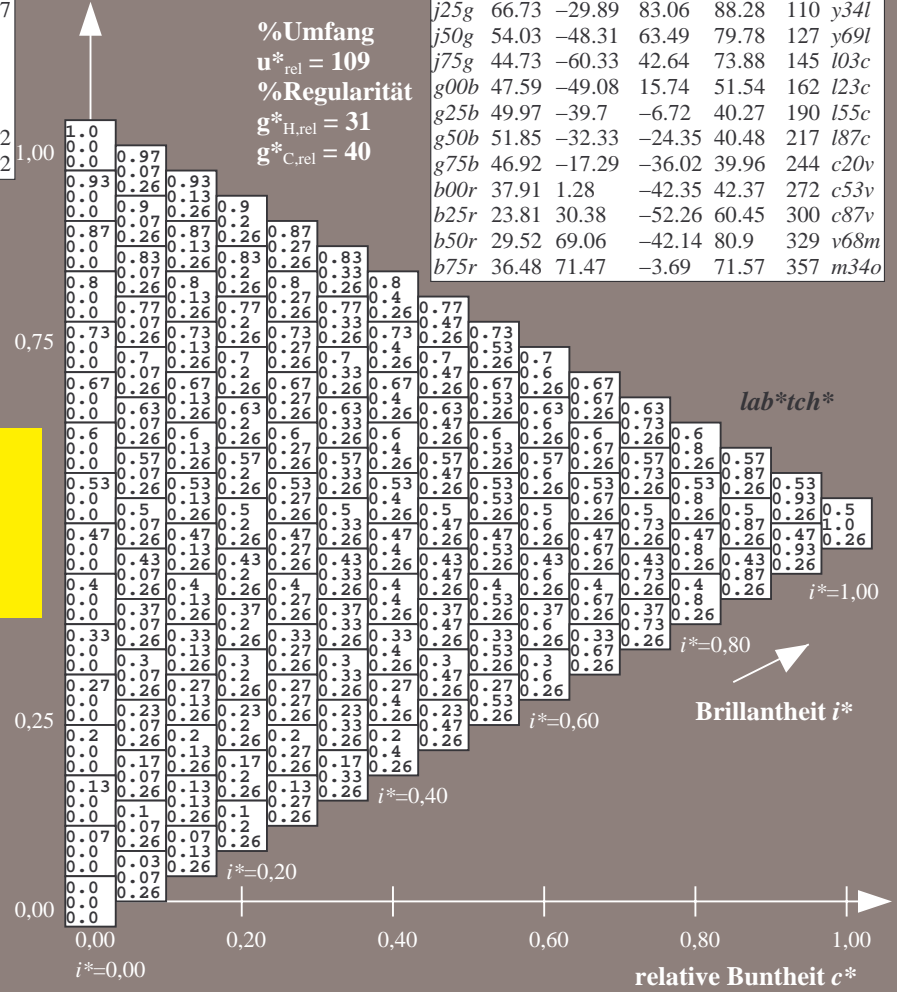
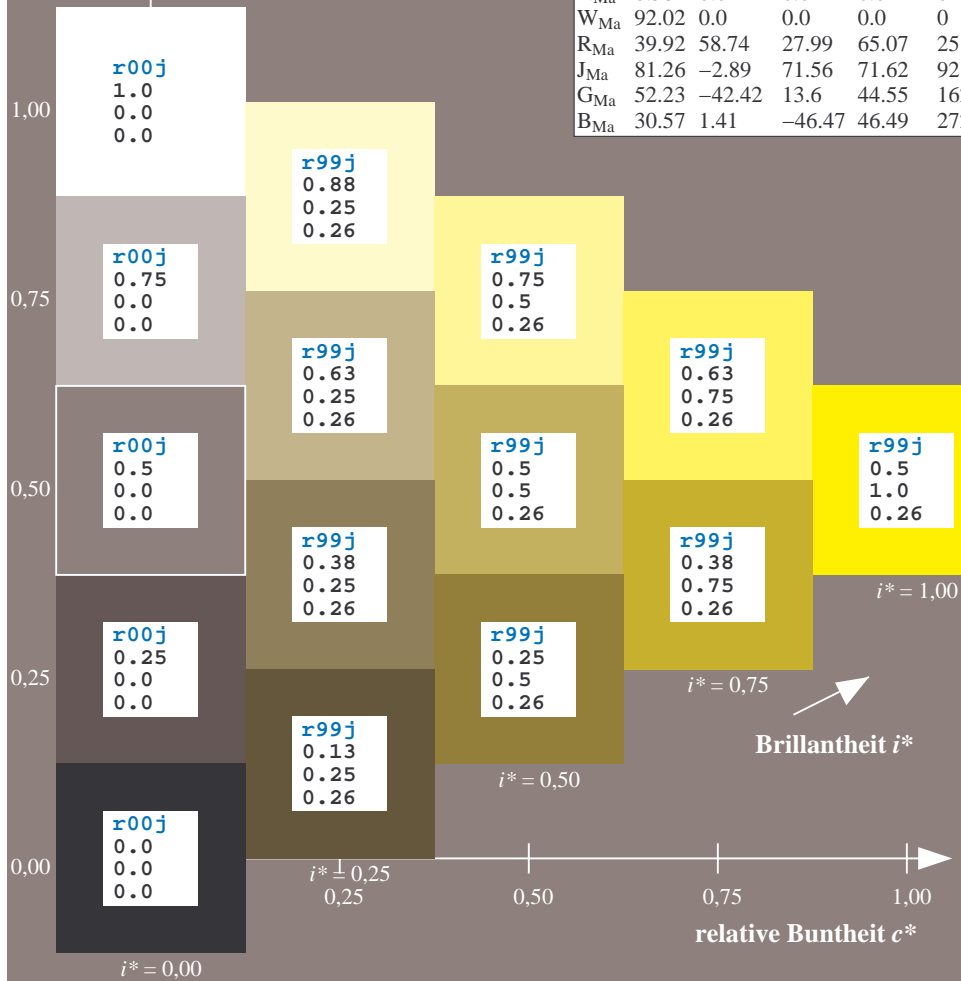
$lab \cdot rgb^*_{Ma}$: 1.0 1.0 0.0

$lab \cdot olv^*_{Ma}$: 1.0 0.99 0.0

Dreiecks-Helligkeit t^*

FRS09_92aM; adaptierte CIELAB-Daten

u^*_e	$L^*=L^*_a$	a^*_a	b^*_a	$C^*_{ab,a}$	$h^*_{ab,a}$	u^*_d
r00j	35.47	63.32	30.17	70.15	25	m81o
r25j	39.12	54.56	49.45	73.64	42	o10y
r50j	50.64	39.15	64.89	75.79	59	o40y
r75j	64.01	21.26	82.83	85.52	76	o69y
j00g	83.18	-4.38	108.53	108.62	92	o98y
j25g	66.73	-29.89	83.06	88.28	110	y34l
j50g	54.03	-48.31	63.49	79.78	127	y69l
j75g	44.73	-60.33	42.64	73.88	145	l03c
g00b	47.59	-49.08	15.74	51.54	162	i23c
g25b	49.97	-39.7	-6.72	40.27	190	i55c
g50b	51.85	-32.33	-24.35	40.48	217	i87c
g75b	46.92	-17.29	-36.02	39.96	244	c20v
b00r	37.91	1.28	-42.35	42.37	272	c53v
b25r	23.81	30.38	-52.26	60.45	300	c87v
b50r	29.52	69.06	-42.14	80.9	329	v68m
b75r	36.48	71.47	-3.69	71.57	357	m34o



%Umfang
 $u^*_{rel} = 109$
%Regularität
 $g^*_{H,rel} = 31$
 $g^*_{C,rel} = 40$

Ein und Ausgabe: Farbmetrisches Drucker-Reflexiv-System FRS09_92aM für relativen CIELAB-Bunton $h^* = lab \cdot h^* = h_{ab}/360 = 0.305$

Daten für jede Farbe:

$lab \cdot tch^*$ und $lab \cdot icu^*$

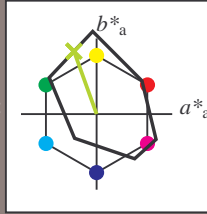
Buntontexte:

$u^*_e = j25g$ $u^*_d = y34l$

Kontrastreduzierungsfaktor:

$c_R = 1.0$

Dreiecks-Helligkeit t^*



FRS09_92aM; adaptierte CIELAB-Daten

u^*_e	$L^*=L^*_a$	a^*_a	b^*_a	$C^*_{ab,a}$	$h^*_{ab,a}$
O _{Ma}	35.06	60.0	44.0	74.4	36
Y _{Ma}	83.77	-5.17	109.32	109.44	93
L _{Ma}	44.13	-62.67	48.24	79.09	142
C _{Ma}	52.66	-29.14	-31.99	43.27	228
V _{Ma}	14.15	50.3	-59.04	77.57	310
M _{Ma}	37.37	78.64	-33.5	85.48	337
N _{Ma}	8.58	0.0	0.0	0.0	0
W _{Ma}	92.02	0.0	0.0	0.0	0
R _{Ma}	39.92	58.74	27.99	65.07	25
J _{Ma}	81.26	-2.89	71.56	71.62	92
G _{Ma}	52.23	-42.42	13.6	44.55	162
B _{Ma}	30.57	1.41	-46.47	46.49	272

Daten für Maximalfarbe (Ma):

$LAB \cdot LAB^*_{Ma}$: 67 -30 83

$LAB \cdot LCH^*_{Ma}$: 67 88 109

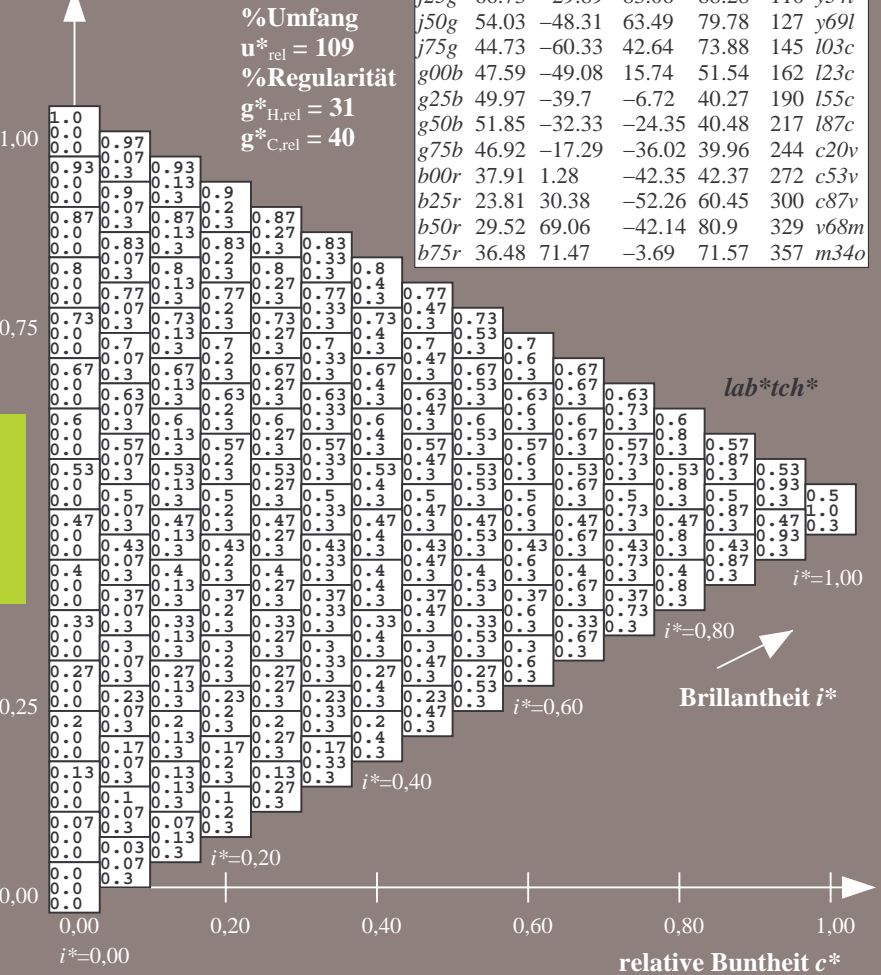
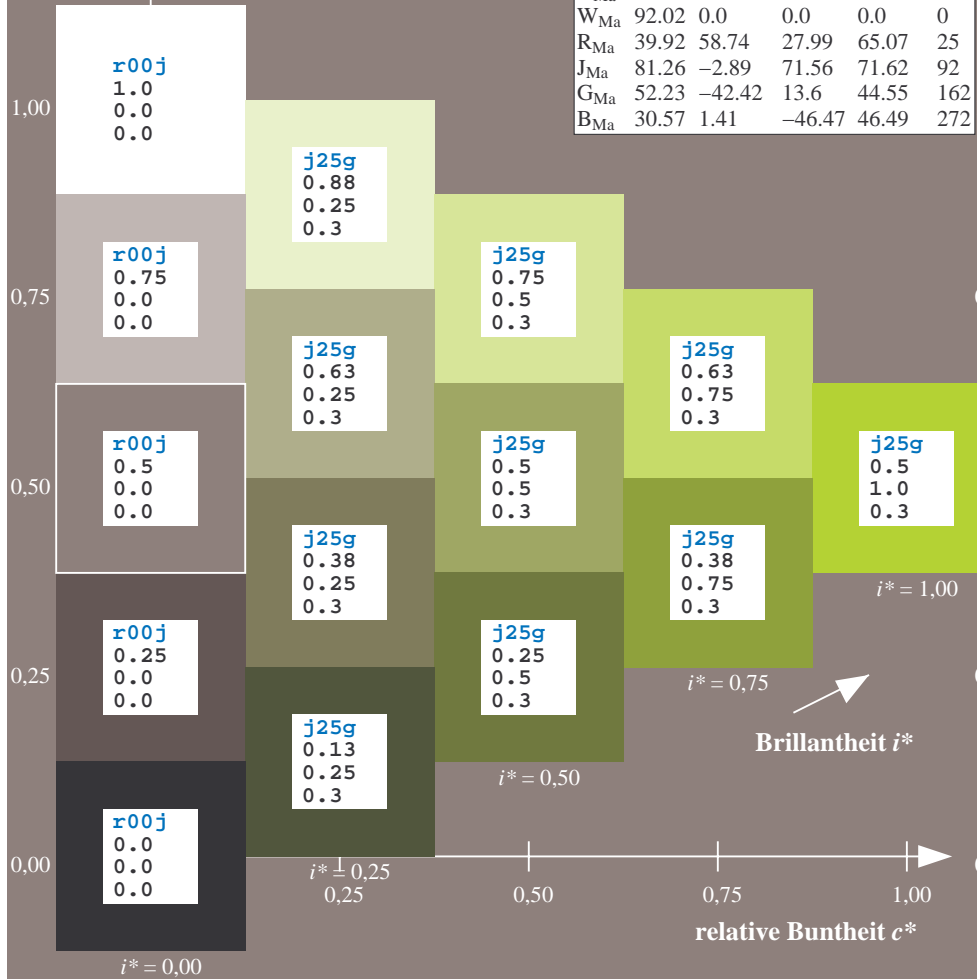
$lab \cdot rgb^*_{Ma}$: 0.75 1.0 0.0

$lab \cdot olv^*_{Ma}$: 0.66 1.0 0.0

Dreiecks-Helligkeit t^*

FRS09_92aM; adaptierte CIELAB-Daten

u^*_e	$L^*=L^*_a$	a^*_a	b^*_a	$C^*_{ab,a}$	$h^*_{ab,a}$	u^*_d
r00j	35.47	63.32	30.17	70.15	25	m81o
r25j	39.12	54.56	49.45	73.64	42	o10y
r50j	50.64	39.15	64.89	75.79	59	o40y
r75j	64.01	21.26	82.83	85.52	76	o69y
j00g	83.18	-4.38	108.53	108.62	92	o98y
j25g	66.73	-29.89	83.06	88.28	110	y34l
j50g	54.03	-48.31	63.49	79.78	127	y69l
j75g	44.73	-60.33	42.64	73.88	145	l03c
g00b	47.59	-49.08	15.74	51.54	162	i23c
g25b	49.97	-39.7	-6.72	40.27	190	i55c
g50b	51.85	-32.33	-24.35	40.48	217	i87c
g75b	46.92	-17.29	-36.02	39.96	244	c20v
b00r	37.91	1.28	-42.35	42.37	272	c53v
b25r	23.81	30.38	-52.26	60.45	300	c87v
b50r	29.52	69.06	-42.14	80.9	329	v68m
b75r	36.48	71.47	-3.69	71.57	357	m34o



%Umfang
 $u^*_{rel} = 109$
 %Regularität
 $g^*_{H,rel} = 31$
 $g^*_{C,rel} = 40$

$lab \cdot tch^*$

Brillantheit i^*

$i^* = 1.00$

$i^* = 0.80$

$i^* = 0.60$

$i^* = 0.40$

$i^* = 0.20$

$i^* = 0.00$

Ein und Ausgabe: Farbmatisches Drucker-Reflektiv-System FRS09_92aM für relativen CIELAB-Bunton $h^* = lab \cdot h^* = h_{ab}/360 = 0.354$

$u^*_e = j50g$
 $lab \cdot tch^*$

Daten für jede Farbe:

$lab \cdot tch^*$ und $lab \cdot icu^*$

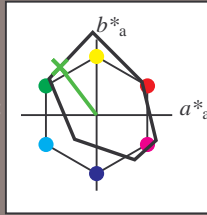
Buntontexte:

$u^*_e = j50g$ $u^*_d = y69l$

Kontrastreduzierungsfaktor:

$c_R = 1.0$

Dreiecks-Helligkeit t^*



FRS09_92aM; adaptierte CIELAB-Daten

u^*_e	$L^*=L^*_a$	a^*_a	b^*_a	$C^*_{ab,a}$	$h^*_{ab,a}$
O _{Ma}	35.06	60.0	44.0	74.4	36
Y _{Ma}	83.77	-5.17	109.32	109.44	93
L _{Ma}	44.13	-62.67	48.24	79.09	142
C _{Ma}	52.66	-29.14	-31.99	43.27	228
V _{Ma}	14.15	50.3	-59.04	77.57	310
M _{Ma}	37.37	78.64	-33.5	85.48	337
N _{Ma}	8.58	0.0	0.0	0.0	0
W _{Ma}	92.02	0.0	0.0	0.0	0
R _{Ma}	39.92	58.74	27.99	65.07	25
J _{Ma}	81.26	-2.89	71.56	71.62	92
G _{Ma}	52.23	-42.42	13.6	44.55	162
B _{Ma}	30.57	1.41	-46.47	46.49	272

Daten für Maximalfarbe (Ma):

$LAB \cdot LAB^*_{Ma}$: 54 -48 63

$LAB \cdot LCH^*_{Ma}$: 54 80 127

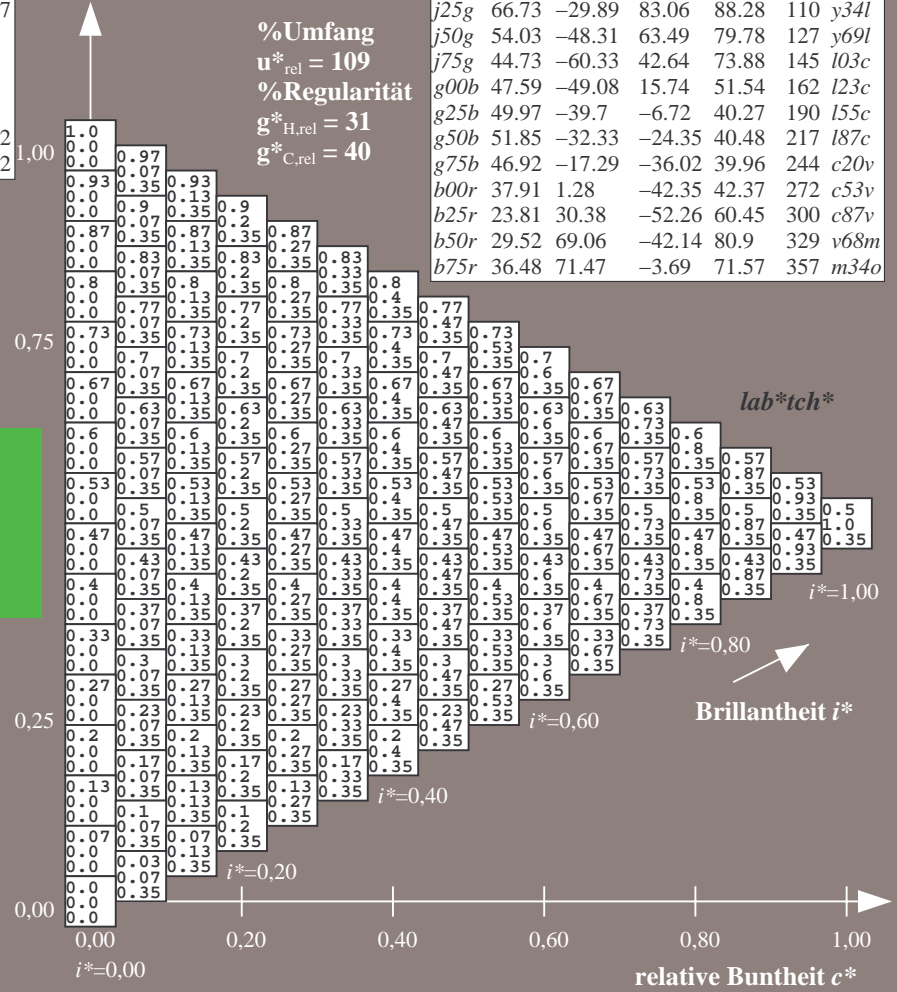
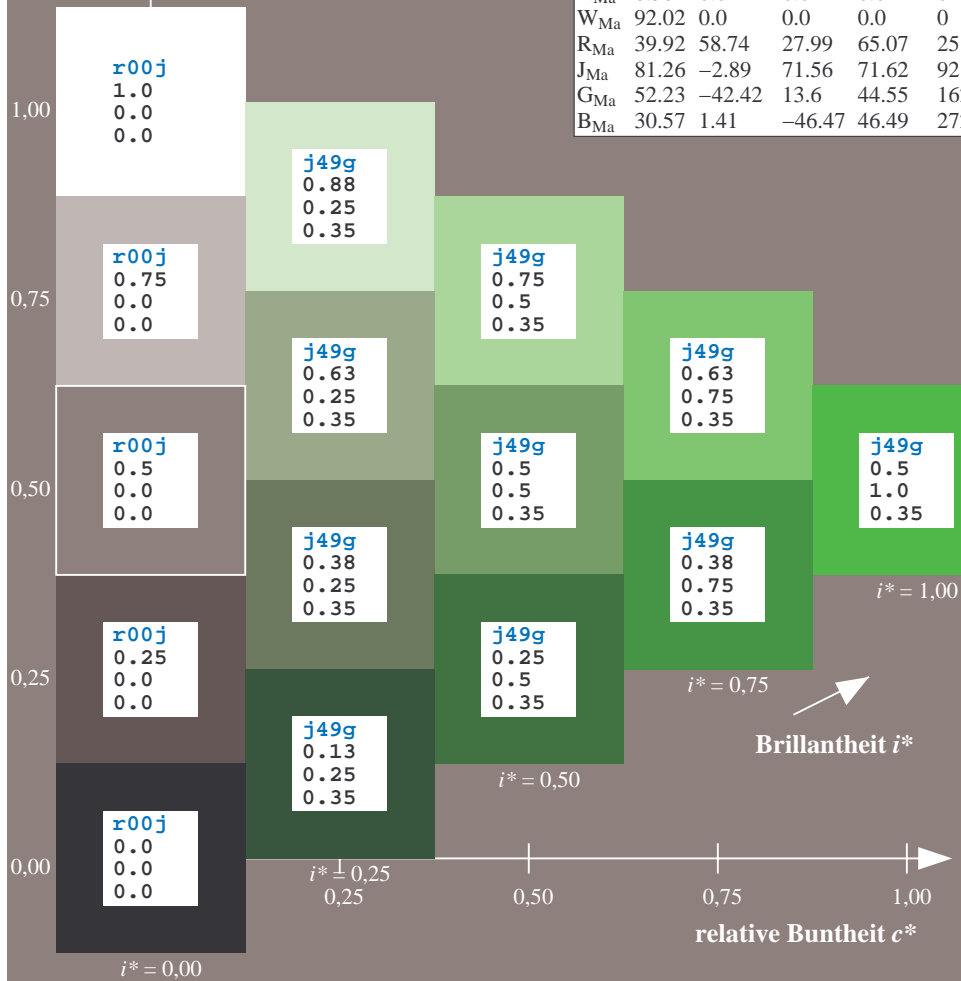
$lab \cdot rgb^*_{Ma}$: 0.5 1.0 0.0

$lab \cdot olv^*_{Ma}$: 0.3 1.0 0.0

Dreiecks-Helligkeit t^*

FRS09_92aM; adaptierte CIELAB-Daten

u^*_e	$L^*=L^*_a$	a^*_a	b^*_a	$C^*_{ab,a}$	$h^*_{ab,a}$	u^*_d
r00j	35.47	63.32	30.17	70.15	25	m81o
r25j	39.12	54.56	49.45	73.64	42	o10y
r50j	50.64	39.15	64.89	75.79	59	o40y
r75j	64.01	21.26	82.83	85.52	76	o69y
j00g	83.18	-4.38	108.53	108.62	92	o98y
j25g	66.73	-29.89	83.06	88.28	110	y34l
j50g	54.03	-48.31	63.49	79.78	127	y69l
j75g	44.73	-60.33	42.64	73.88	145	l03c
g00b	47.59	-49.08	15.74	51.54	162	i23c
g25b	49.97	-39.7	-6.72	40.27	190	i55c
g50b	51.85	-32.33	-24.35	40.48	217	i87c
g75b	46.92	-17.29	-36.02	39.96	244	c20v
b00r	37.91	1.28	-42.35	42.37	272	c53v
b25r	23.81	30.38	-52.26	60.45	300	c87v
b50r	29.52	69.06	-42.14	80.9	329	v68m
b75r	36.48	71.47	-3.69	71.57	357	m34o



%Umfang
 $u^*_{rel} = 109$
%Regularität
 $g^*_{H,rel} = 31$
 $g^*_{C,rel} = 40$

$lab \cdot tch^*$

Brillantheit i^*

$i^* = 1.00$

$i^* = 0.80$

$i^* = 0.60$

$i^* = 0.40$

$i^* = 0.20$

Ein und Ausgabe: Farbmatisches Drucker-Reflektiv-System FRS09_92aM für relativen CIELAB-Bunton $h^* = lab \cdot h^* = h_{ab}/360 = 0.402$

$u^*_e = j75g$
 $lab \cdot tch^*$

Daten für jede Farbe:

$lab \cdot tch^*$ und $lab \cdot icu^*$

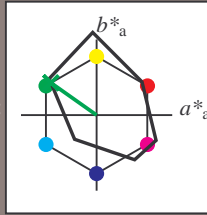
Buntontexte:

$u^*_e = j75g$ $u^*_d = l03c$

Kontrastreduzierungsfaktor:

$c_R = 1.0$

Dreiecks-Helligkeit t^*



FRS09_92aM; adaptierte CIELAB-Daten

u^*_e	$L^*=L^*_a$	a^*_a	b^*_a	$C^*_{ab,a}$	$h^*_{ab,a}$
O _{Ma}	35.06	60.0	44.0	74.4	36
Y _{Ma}	83.77	-5.17	109.32	109.44	93
L _{Ma}	44.13	-62.67	48.24	79.09	142
C _{Ma}	52.66	-29.14	-31.99	43.27	228
V _{Ma}	14.15	50.3	-59.04	77.57	310
M _{Ma}	37.37	78.64	-33.5	85.48	337
N _{Ma}	8.58	0.0	0.0	0.0	0
W _{Ma}	92.02	0.0	0.0	0.0	0
R _{Ma}	39.92	58.74	27.99	65.07	25
J _{Ma}	81.26	-2.89	71.56	71.62	92
G _{Ma}	52.23	-42.42	13.6	44.55	162
B _{Ma}	30.57	1.41	-46.47	46.49	272

Daten für Maximalfarbe (Ma):

$LAB \cdot LAB^*_{Ma}$: 45 -60 43

$LAB \cdot LCH^*_{Ma}$: 45 74 144

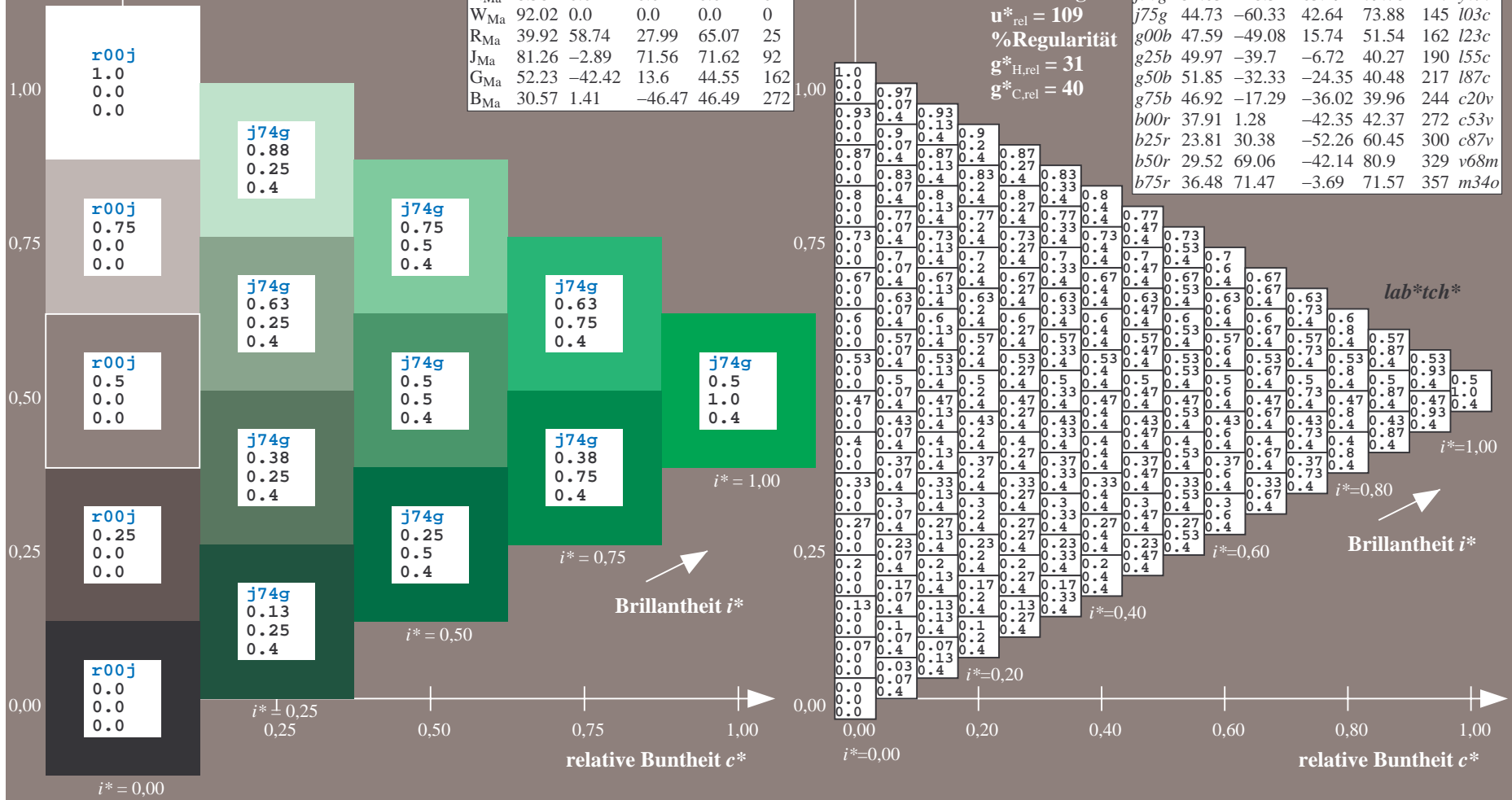
$lab \cdot rgb^*_{Ma}$: 0.25 1.0 0.0

$lab \cdot olv^*_{Ma}$: 0.0 1.0 0.03

Dreiecks-Helligkeit t^*

FRS09_92aM; adaptierte CIELAB-Daten

u^*_e	$L^*=L^*_a$	a^*_a	b^*_a	$C^*_{ab,a}$	$h^*_{ab,a}$	u^*_d
r00j	35.47	63.32	30.17	70.15	25	m81o
r25j	39.12	54.56	49.45	73.64	42	o10y
r50j	50.64	39.15	64.89	75.79	59	o40y
r75j	64.01	21.26	82.83	85.52	76	o69y
j00g	83.18	-4.38	108.53	108.62	92	o98y
j25g	66.73	-29.89	83.06	88.28	110	y34l
j50g	54.03	-48.31	63.49	79.78	127	y69l
j75g	44.73	-60.33	42.64	73.88	145	l03c
g00b	47.59	-49.08	15.74	51.54	162	l23c
g25b	49.97	-39.7	-6.72	40.27	190	l55c
g50b	51.85	-32.33	-24.35	40.48	217	l87c
g75b	46.92	-17.29	-36.02	39.96	244	c20v
b00r	37.91	1.28	-42.35	42.37	272	c53v
b25r	23.81	30.38	-52.26	60.45	300	c87v
b50r	29.52	69.06	-42.14	80.9	329	v68m
b75r	36.48	71.47	-3.69	71.57	357	m34o



Ein und Ausgabe: Farbmatisches Drucker-Reflektiv-System FRS09_92aM für relativen CIELAB-Bunton $h^* = lab \cdot h^* = h_{ab}/360 = 0.451$

$u^*_e = g00b$

Daten für jede Farbe:

$lab \cdot tch^*$ und $lab \cdot icu^*$

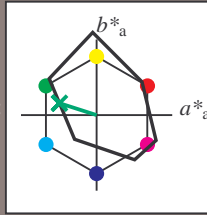
Buntontexte:

$u^*_e = g00b$ $u^*_d = l23c$

Kontrastreduzierungsfaktor:

$c_R = 1.0$

Dreiecks-Helligkeit t^*



FRS09_92aM; adaptierte CIELAB-Daten

u^*_e	$L^*=L^*_a$	a^*_a	b^*_a	$C^*_{ab,a}$	$h^*_{ab,a}$
O _{Ma}	35.06	60.0	44.0	74.4	36
Y _{Ma}	83.77	-5.17	109.32	109.44	93
L _{Ma}	44.13	-62.67	48.24	79.09	142
C _{Ma}	52.66	-29.14	-31.99	43.27	228
V _{Ma}	14.15	50.3	-59.04	77.57	310
M _{Ma}	37.37	78.64	-33.5	85.48	337
N _{Ma}	8.58	0.0	0.0	0.0	0
W _{Ma}	92.02	0.0	0.0	0.0	0
R _{Ma}	39.92	58.74	27.99	65.07	25
J _{Ma}	81.26	-2.89	71.56	71.62	92
G _{Ma}	52.23	-42.42	13.6	44.55	162
B _{Ma}	30.57	1.41	-46.47	46.49	272

Daten für Maximalfarbe (Ma):

$LAB \cdot LAB^*_{Ma}$: 48 -49 16

$LAB \cdot LCH^*_{Ma}$: 48 52 162

$lab \cdot rgb^*_{Ma}$: 0.0 1.0 0.0

$lab \cdot olv^*_{Ma}$: 0.0 1.0 0.23

Dreiecks-Helligkeit t^*

FRS09_92aM; adaptierte CIELAB-Daten

u^*_e	$L^*=L^*_a$	a^*_a	b^*_a	$C^*_{ab,a}$	$h^*_{ab,a}$	u^*_d
r00j	35.47	63.32	30.17	70.15	25	m81o
r25j	39.12	54.56	49.45	73.64	42	o10y
r50j	50.64	39.15	64.89	75.79	59	o40y
r75j	64.01	21.26	82.83	85.52	76	o69y
j00g	83.18	-4.38	108.53	108.62	92	o98y
j25g	66.73	-29.89	83.06	88.28	110	y34l
j50g	54.03	-48.31	63.49	79.78	127	y69l
j75g	44.73	-60.33	42.64	73.88	145	l23c
g00b	47.59	-49.08	15.74	51.54	162	l23c
g25b	49.97	-39.7	-6.72	40.27	190	l55c
g50b	51.85	-32.33	-24.35	40.48	217	l87c
g75b	46.92	-17.29	-36.02	39.96	244	c20v
b00r	37.91	1.28	-42.35	42.37	272	c53v
b25r	23.81	30.38	-52.26	60.45	300	c87v
b50r	29.52	69.06	-42.14	80.9	329	v68m
b75r	36.48	71.47	-3.69	71.57	357	m34o

$lab \cdot tch^*$

Brillantheit i^*

$i^* = 1.00$

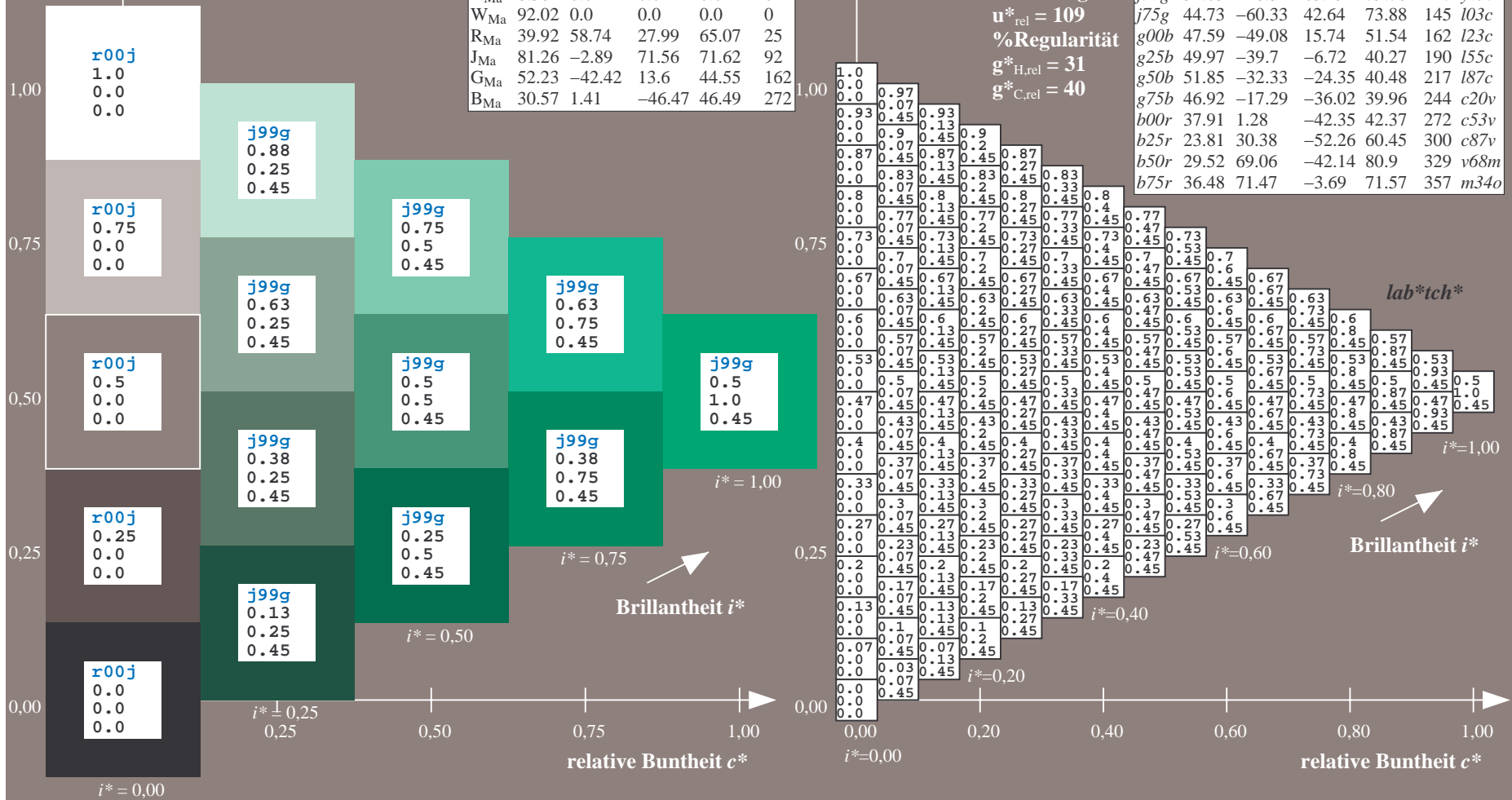
$i^* = 0.80$

$i^* = 0.60$

$i^* = 0.40$

$i^* = 0.20$

$i^* = 0.00$



Ein und Ausgabe: Farbmetrisches Drucker-Reflektiv-System FRS09_92aM für relativen CIELAB-Bunton $h^* = lab^*h^* = h_{ab}/360 = 0.527$

$u^*_e = g25b$
 lab^*tch^*

Daten für jede Farbe:

lab^*tch^* und lab^*icu^*

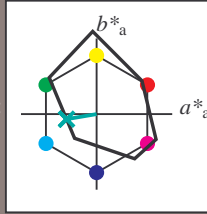
Buntontexte:

$u^*_e = g25b$ $u^*_d = l55c$

Kontrastreduzierungsfaktor:

$c_R = 1.0$

Dreiecks-Helligkeit t^*



FRS09_92aM; adaptierte CIELAB-Daten

u^*_e	$L^*=L^*_a$	a^*_a	b^*_a	$C^*_{ab,a}$	$h^*_{ab,a}$
O _{Ma}	35.06	60.0	44.0	74.4	36
Y _{Ma}	83.77	-5.17	109.32	109.44	93
L _{Ma}	44.13	-62.67	48.24	79.09	142
C _{Ma}	52.66	-29.14	-31.99	43.27	228
V _{Ma}	14.15	50.3	-59.04	77.57	310
M _{Ma}	37.37	78.64	-33.5	85.48	337
N _{Ma}	8.58	0.0	0.0	0.0	0
W _{Ma}	92.02	0.0	0.0	0.0	0
R _{Ma}	39.92	58.74	27.99	65.07	25
J _{Ma}	81.26	-2.89	71.56	71.62	92
G _{Ma}	52.23	-42.42	13.6	44.55	162
B _{Ma}	30.57	1.41	-46.47	46.49	272

Daten für Maximalfarbe (Ma):

$LAB^*LAB^*_{Ma}: 50 -40 -7$

$LAB^*LCH^*_{Ma}: 50 40 189$

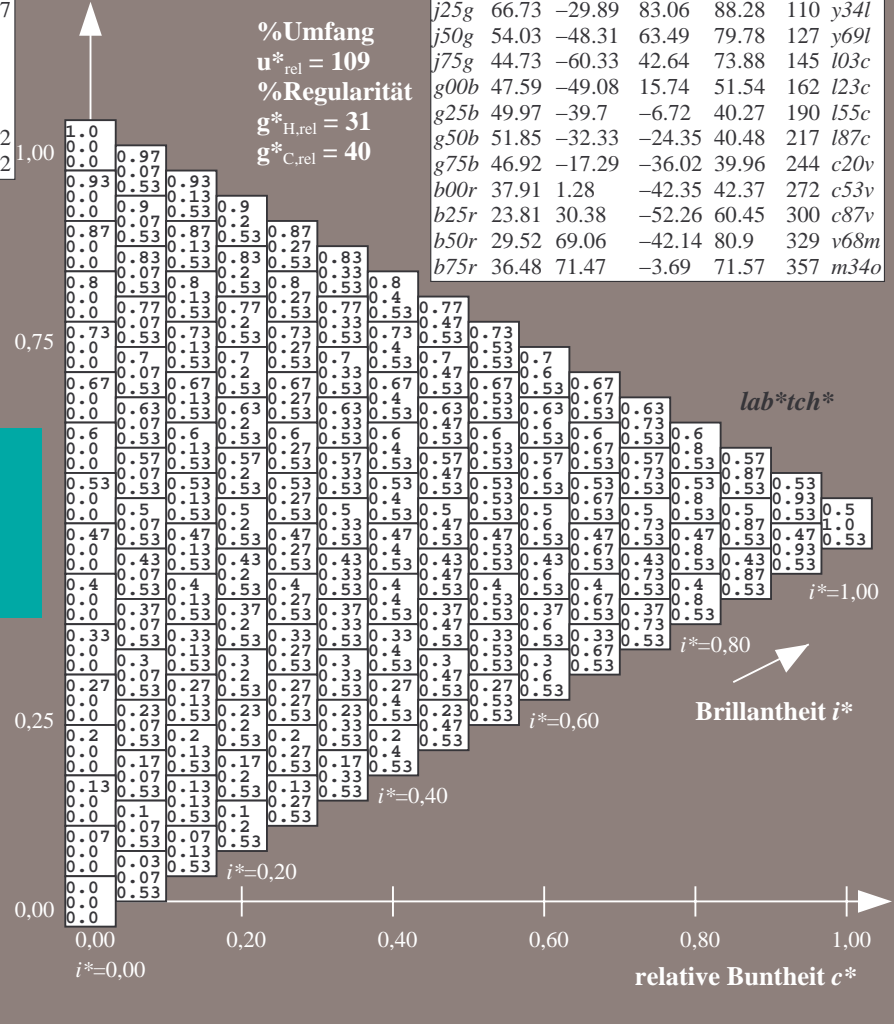
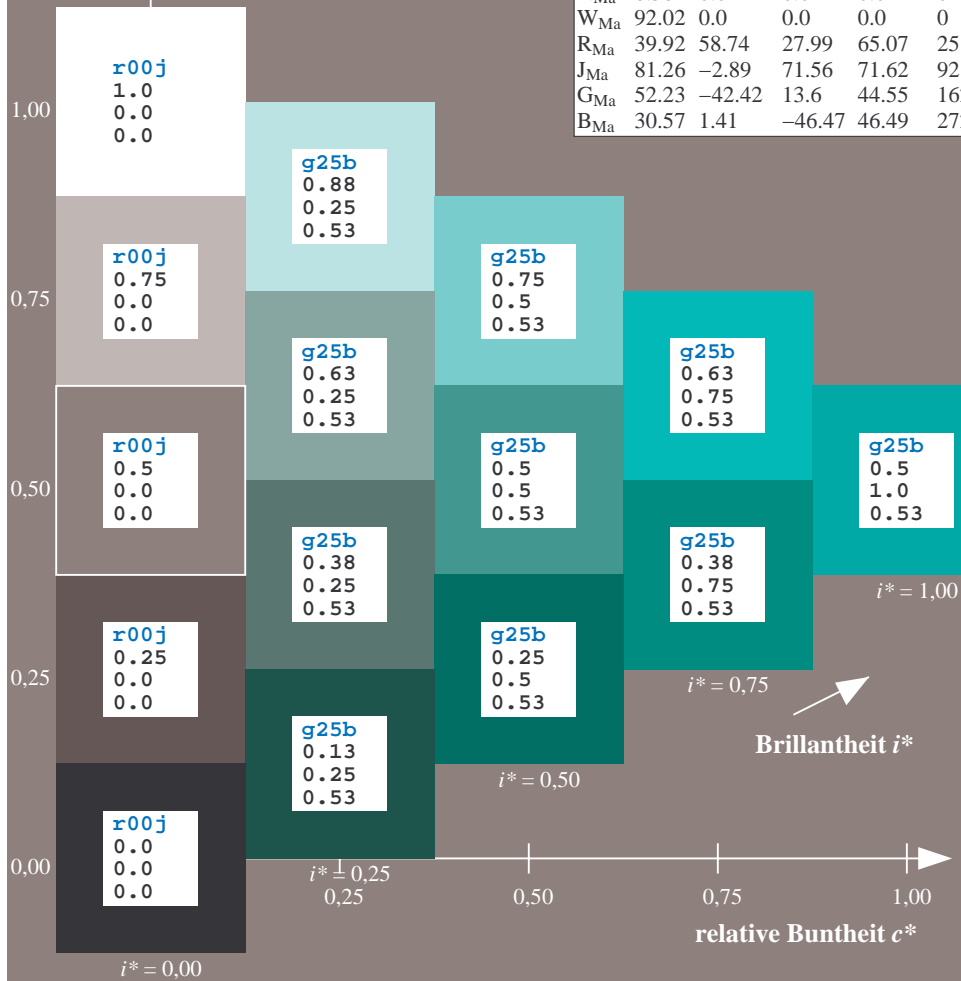
$lab^*rgb^*_{Ma}: 0.0 1.0 0.5$

$lab^*olv^*_{Ma}: 0.0 1.0 0.55$

Dreiecks-Helligkeit t^*

FRS09_92aM; adaptierte CIELAB-Daten

u^*_e	$L^*=L^*_a$	a^*_a	b^*_a	$C^*_{ab,a}$	$h^*_{ab,a}$	u^*_d
r00j	35.47	63.32	30.17	70.15	25	m81o
r25j	39.12	54.56	49.45	73.64	42	o10y
r50j	50.64	39.15	64.89	75.79	59	o40y
r75j	64.01	21.26	82.83	85.52	76	o69y
j00g	83.18	-4.38	108.53	108.62	92	o98y
j25g	66.73	-29.89	83.06	88.28	110	y34l
j50g	54.03	-48.31	63.49	79.78	127	y69l
j75g	44.73	-60.33	42.64	73.88	145	l03c
g00b	47.59	-49.08	15.74	51.54	162	l23c
g25b	49.97	-39.7	-6.72	40.27	190	l55c
g50b	51.85	-32.33	-24.35	40.48	217	l87c
g75b	46.92	-17.29	-36.02	39.96	244	c20v
b00r	37.91	1.28	-42.35	42.37	272	c53v
b25r	23.81	30.38	-52.26	60.45	300	c87v
b50r	29.52	69.06	-42.14	80.9	329	v68m
b75r	36.48	71.47	-3.69	71.57	357	m34o



Ein und Ausgabe: Farbmatisches Drucker-Reflektiv-System FRS09_92aM für relativen CIELAB-Bunton $h^* = lab^*h^* = h_{ab}/360 = 0.603$

$u^*_e = g50b$

Daten für jede Farbe:

lab^*tch^* und lab^*icu^*

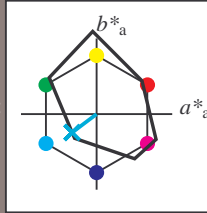
Buntontexte:

$u^*_e = g50b$ $u^*_d = l87c$

Kontrastreduzierungsfaktor:

$c_R = 1.0$

Dreiecks-Helligkeit t^*



FRS09_92aM; adaptierte CIELAB-Daten

u^*_e	$L^*=L^*_a$	a^*_a	b^*_a	$C^*_{ab,a}$	$h^*_{ab,a}$
O _{Ma}	35.06	60.0	44.0	74.4	36
Y _{Ma}	83.77	-5.17	109.32	109.44	93
L _{Ma}	44.13	-62.67	48.24	79.09	142
C _{Ma}	52.66	-29.14	-31.99	43.27	228
V _{Ma}	14.15	50.3	-59.04	77.57	310
M _{Ma}	37.37	78.64	-33.5	85.48	337
N _{Ma}	8.58	0.0	0.0	0.0	0
W _{Ma}	92.02	0.0	0.0	0.0	0
R _{Ma}	39.92	58.74	27.99	65.07	25
J _{Ma}	81.26	-2.89	71.56	71.62	92
G _{Ma}	52.23	-42.42	13.6	44.55	162
B _{Ma}	30.57	1.41	-46.47	46.49	272

Daten für Maximalfarbe (Ma):

$LAB^*LAB^*_{Ma}: 52 -32 -24$

$LAB^*LCH^*_{Ma}: 52 40 216$

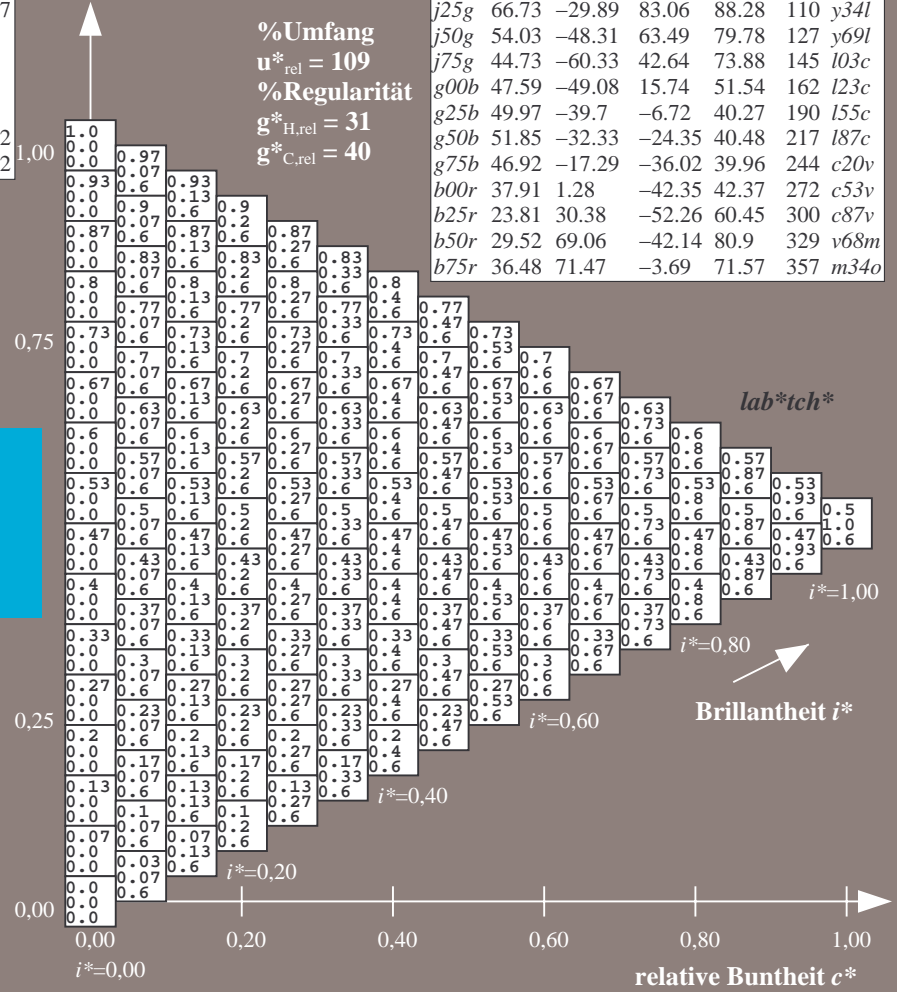
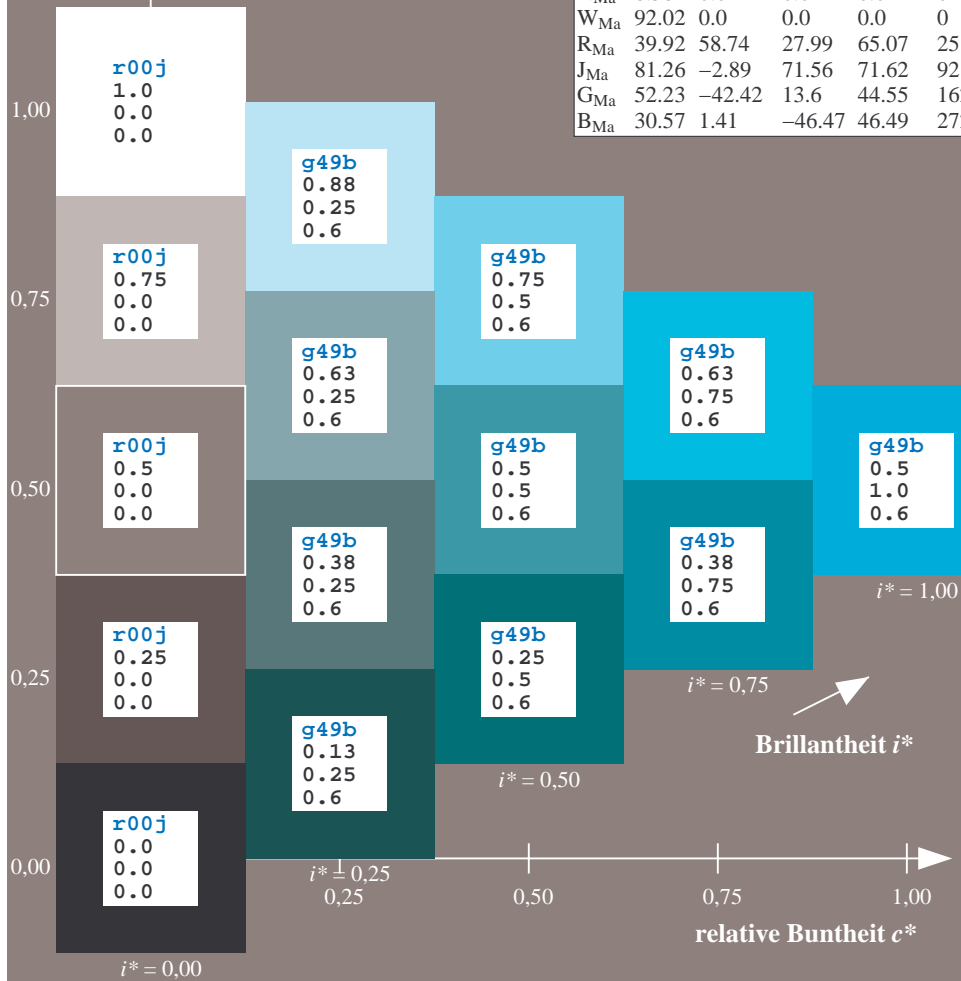
$lab^*rgb^*_{Ma}: 0.0 1.0 1.0$

$lab^*olv^*_{Ma}: 0.0 1.0 0.87$

Dreiecks-Helligkeit t^*

FRS09_92aM; adaptierte CIELAB-Daten

u^*_e	$L^*=L^*_a$	a^*_a	b^*_a	$C^*_{ab,a}$	$h^*_{ab,a}$	u^*_d
r00j	35.47	63.32	30.17	70.15	25	m81o
r25j	39.12	54.56	49.45	73.64	42	o10y
r50j	50.64	39.15	64.89	75.79	59	o40y
r75j	64.01	21.26	82.83	85.52	76	o69y
j00g	83.18	-4.38	108.53	108.62	92	o98y
j25g	66.73	-29.89	83.06	88.28	110	y34l
j50g	54.03	-48.31	63.49	79.78	127	y69l
j75g	44.73	-60.33	42.64	73.88	145	103c
g00b	47.59	-49.08	15.74	51.54	162	l23c
g25b	49.97	-39.7	-6.72	40.27	190	l55c
g50b	51.85	-32.33	-24.35	40.48	217	l87c
g75b	46.92	-17.29	-36.02	39.96	244	c20v
b00r	37.91	1.28	-42.35	42.37	272	c53v
b25r	23.81	30.38	-52.26	60.45	300	c87v
b50r	29.52	69.06	-42.14	80.9	329	v68m
b75r	36.48	71.47	-3.69	71.57	357	m34o



%Umfang
 $u^*_{rel} = 109$
%Regularität
 $g^*_{H,rel} = 31$
 $g^*_{C,rel} = 40$

lab^*tch^*

Brillantheit i^*

$i^* = 1.00$

$i^* = 0.80$

$i^* = 0.60$

$i^* = 0.40$

$i^* = 0.20$

$i^* = 0.00$

Ein und Ausgabe: Farbmatisches Drucker-Reflektiv-System FRS09_92aM für relativen CIELAB-Bunton $h^* = lab^*h^* = h_{ab}/360 = 0.679$

$u^*_e = g75b$
 lab^*tch^*

Daten für jede Farbe:

lab^*tch^* und lab^*icu^*

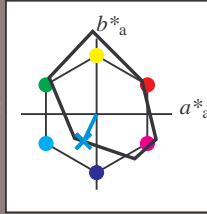
Buntontexte:

$u^*_e = g75b$ $u^*_d = c20v$

Kontrastreduzierungsfaktor:

$c_R = 1.0$

Dreiecks-Helligkeit t^*



FRS09_92aM; adaptierte CIELAB-Daten

u^*_e	$L^*=L^*_a$	a^*_a	b^*_a	$C^*_{ab,a}$	$h^*_{ab,a}$
O _{Ma}	35.06	60.0	44.0	74.4	36
Y _{Ma}	83.77	-5.17	109.32	109.44	93
L _{Ma}	44.13	-62.67	48.24	79.09	142
C _{Ma}	52.66	-29.14	-31.99	43.27	228
V _{Ma}	14.15	50.3	-59.04	77.57	310
M _{Ma}	37.37	78.64	-33.5	85.48	337
N _{Ma}	8.58	0.0	0.0	0.0	0
W _{Ma}	92.02	0.0	0.0	0.0	0
R _{Ma}	39.92	58.74	27.99	65.07	25
J _{Ma}	81.26	-2.89	71.56	71.62	92
G _{Ma}	52.23	-42.42	13.6	44.55	162
B _{Ma}	30.57	1.41	-46.47	46.49	272

Daten für Maximalfarbe (Ma):

$LAB^*LAB^*_{Ma}$: 47 -17 -36

$LAB^*LCH^*_{Ma}$: 47 40 244

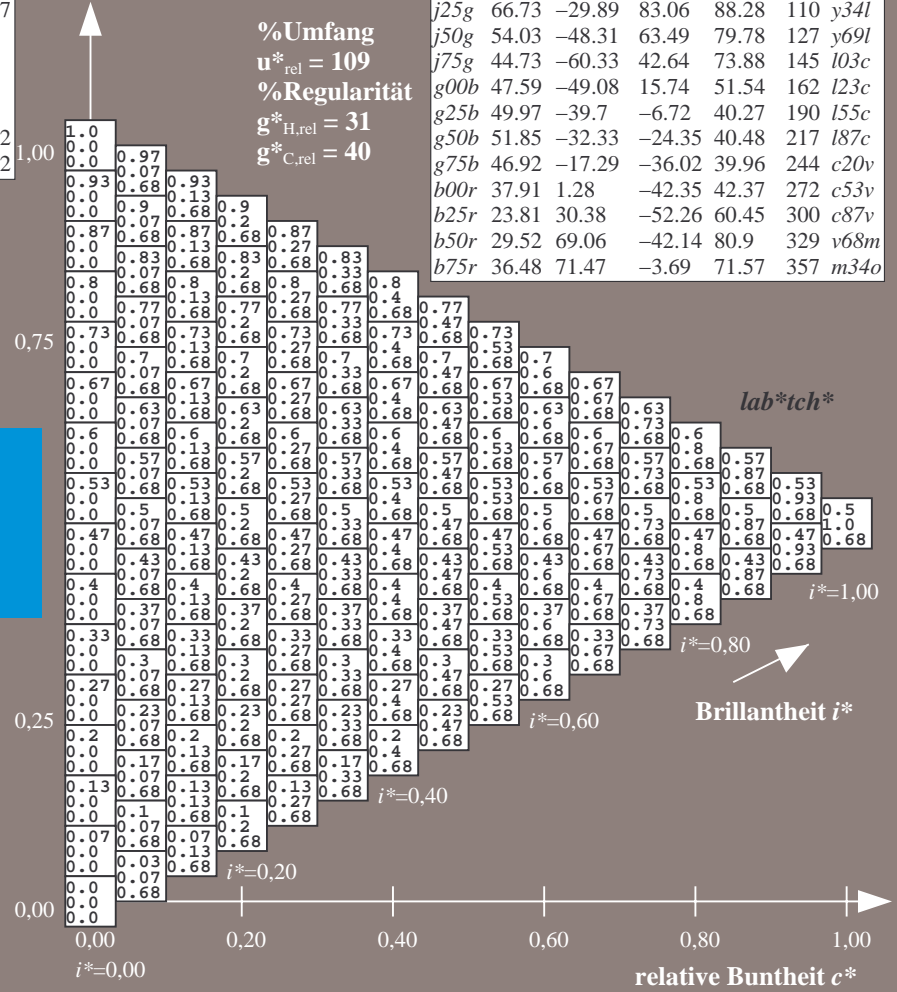
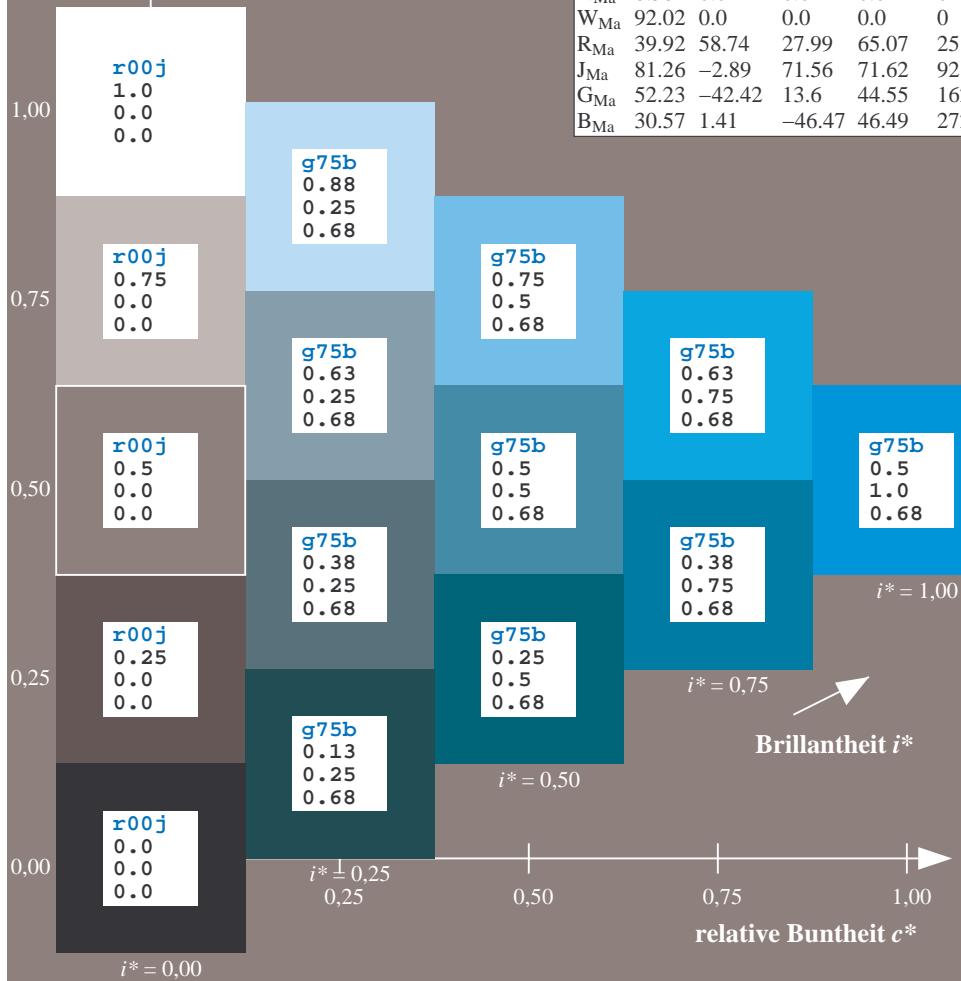
$lab^*rgb^*_{Ma}$: 0.0 0.5 1.0

$lab^*olv^*_{Ma}$: 0.0 0.8 1.0

Dreiecks-Helligkeit t^*

FRS09_92aM; adaptierte CIELAB-Daten

u^*_e	$L^*=L^*_a$	a^*_a	b^*_a	$C^*_{ab,a}$	$h^*_{ab,a}$	u^*_d
r00j	35.47	63.32	30.17	70.15	25	m81o
r25j	39.12	54.56	49.45	73.64	42	o10y
r50j	50.64	39.15	64.89	75.79	59	o40y
r75j	64.01	21.26	82.83	85.52	76	o69y
j00g	83.18	-4.38	108.53	108.62	92	o98y
j25g	66.73	-29.89	83.06	88.28	110	y34l
j50g	54.03	-48.31	63.49	79.78	127	y69l
j75g	44.73	-60.33	42.64	73.88	145	103c
g00b	47.59	-49.08	15.74	51.54	162	l23c
g25b	49.97	-39.7	-6.72	40.27	190	l55c
g50b	51.85	-32.33	-24.35	40.48	217	l87c
g75b	46.92	-17.29	-36.02	39.96	244	c20v
b00r	37.91	1.28	-42.35	42.37	272	c53v
b25r	23.81	30.38	-52.26	60.45	300	c87v
b50r	29.52	69.06	-42.14	80.9	329	v68m
b75r	36.48	71.47	-3.69	71.57	357	m34o



Ein und Ausgabe: Farbmetrisches Drucker-Reflektiv-System FRS09_92aM für relativen CIELAB-Bunton $h^* = lab^*h^* = h_{ab}/360 = 0.755$

$u^*_e = b00r$

lab^*tch^*

Daten für jede Farbe:

lab^*tch^* und lab^*icu^*

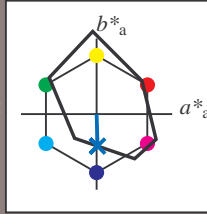
Buntontexte:

$u^*_e = b00r$ $u^*_d = c53v$

Kontrastreduzierungsfaktor:

$c_R = 1.0$

Dreiecks-Helligkeit t^*



FRS09_92aM; adaptierte CIELAB-Daten

u^*_e	$L^*=L^*_a$	a^*_a	b^*_a	$C^*_{ab,a}$	$h^*_{ab,a}$
O _{Ma}	35.06	60.0	44.0	74.4	36
Y _{Ma}	83.77	-5.17	109.32	109.44	93
L _{Ma}	44.13	-62.67	48.24	79.09	142
C _{Ma}	52.66	-29.14	-31.99	43.27	228
V _{Ma}	14.15	50.3	-59.04	77.57	310
M _{Ma}	37.37	78.64	-33.5	85.48	337
N _{Ma}	8.58	0.0	0.0	0.0	0
W _{Ma}	92.02	0.0	0.0	0.0	0
R _{Ma}	39.92	58.74	27.99	65.07	25
J _{Ma}	81.26	-2.89	71.56	71.62	92
G _{Ma}	52.23	-42.42	13.6	44.55	162
B _{Ma}	30.57	1.41	-46.47	46.49	272

Daten für Maximalfarbe (Ma):

$LAB^*LAB^*_{Ma}$: 38 1 -42

$LAB^*LCH^*_{Ma}$: 38 42 271

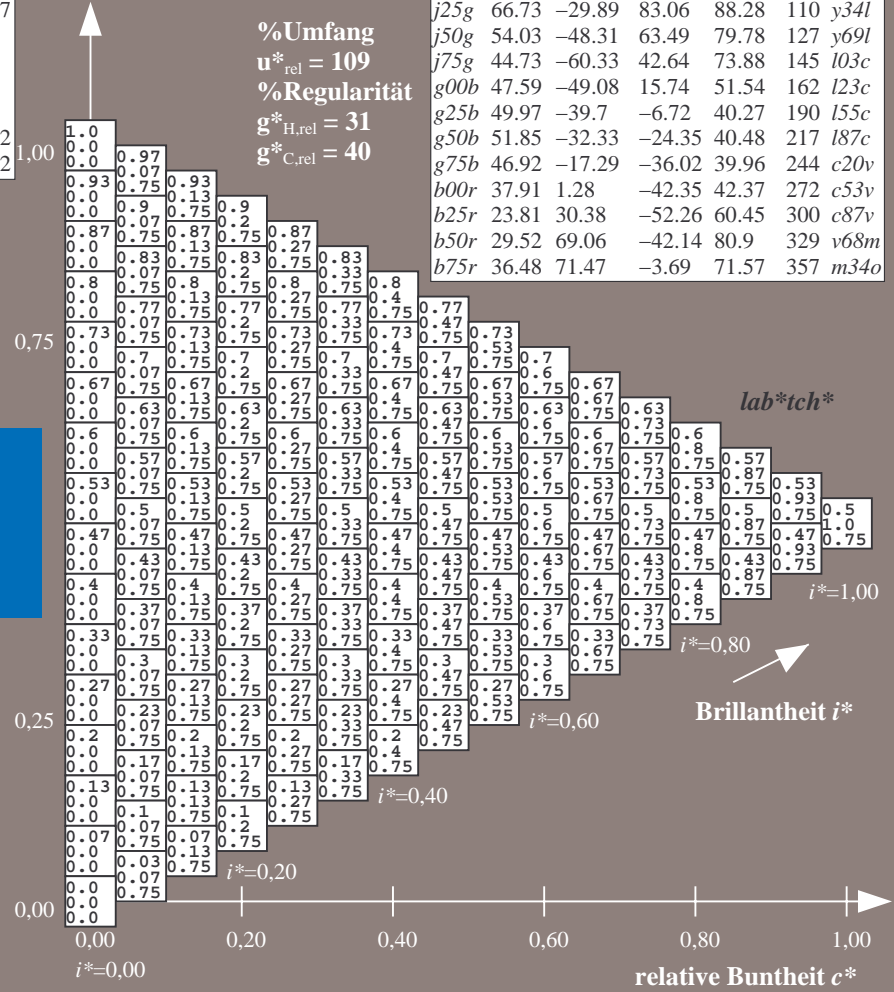
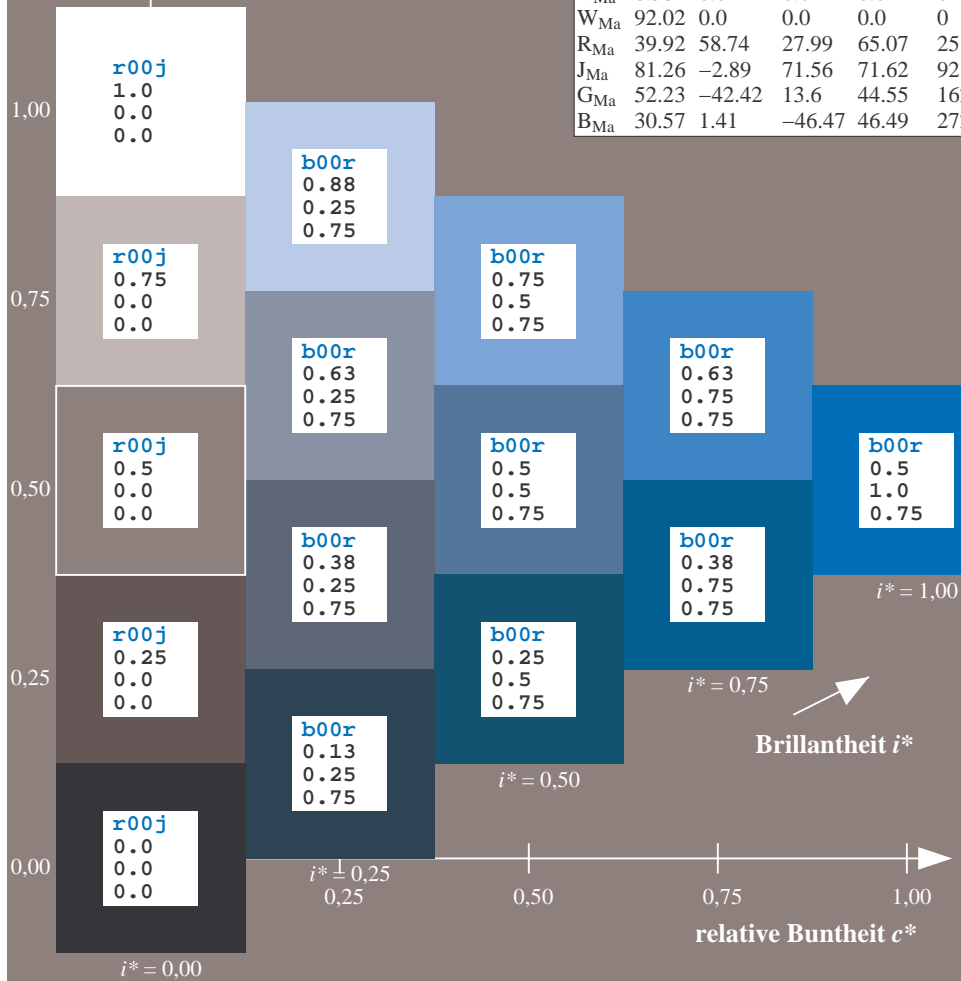
$lab^*rgb^*_{Ma}$: 0.0 0.0 1.0

$lab^*olv^*_{Ma}$: 0.0 0.47 1.0

Dreiecks-Helligkeit t^*

FRS09_92aM; adaptierte CIELAB-Daten

u^*_e	$L^*=L^*_a$	a^*_a	b^*_a	$C^*_{ab,a}$	$h^*_{ab,a}$	u^*_d
r00j	35.47	63.32	30.17	70.15	25	m81o
r25j	39.12	54.56	49.45	73.64	42	o10y
r50j	50.64	39.15	64.89	75.79	59	o40y
r75j	64.01	21.26	82.83	85.52	76	o69y
j00g	83.18	-4.38	108.53	108.62	92	o98y
j25g	66.73	-29.89	83.06	88.28	110	y34l
j50g	54.03	-48.31	63.49	79.78	127	y69l
j75g	44.73	-60.33	42.64	73.88	145	103c
g00b	47.59	-49.08	15.74	51.54	162	l23c
g25b	49.97	-39.7	-6.72	40.27	190	l55c
g50b	51.85	-32.33	-24.35	40.48	217	l87c
g75b	46.92	-17.29	-36.02	39.96	244	c20v
b00r	37.91	1.28	-42.35	42.37	272	c53v
b25r	23.81	30.38	-52.26	60.45	300	c87v
b50r	29.52	69.06	-42.14	80.9	329	v68m
b75r	36.48	71.47	-3.69	71.57	357	m34o



%Umfang
 $u^*_{rel} = 109$
 %Regularität
 $g^*_{H,rel} = 31$
 $g^*_{C,rel} = 40$

lab^*tch^*

$i^* = 1.00$

$i^* = 0.80$

$i^* = 0.60$

$i^* = 0.40$

$i^* = 0.20$

Ein und Ausgabe: Farbmetrisches Drucker-Reflektiv-System FRS09_92aM für relativen CIELAB-Bunton $h^* = lab^*h^* = h_{ab}/360 = 0.834$

$u^*_e = b25r$

Daten für jede Farbe:

lab^*tch^* und lab^*icu^*

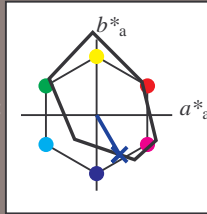
Buntontexte:

$u^*_e = b25r$ $u^*_d = c87v$

Kontrastreduzierungsfaktor:

$c_R = 1.0$

Dreiecks-Helligkeit t^*



FRS09_92aM; adaptierte CIELAB-Daten

u^*_e	$L^*=L^*_a$	a^*_a	b^*_a	$C^*_{ab,a}$	$h^*_{ab,a}$
O _{Ma}	35.06	60.0	44.0	74.4	36
Y _{Ma}	83.77	-5.17	109.32	109.44	93
L _{Ma}	44.13	-62.67	48.24	79.09	142
C _{Ma}	52.66	-29.14	-31.99	43.27	228
V _{Ma}	14.15	50.3	-59.04	77.57	310
M _{Ma}	37.37	78.64	-33.5	85.48	337
N _{Ma}	8.58	0.0	0.0	0.0	0
W _{Ma}	92.02	0.0	0.0	0.0	0
R _{Ma}	39.92	58.74	27.99	65.07	25
J _{Ma}	81.26	-2.89	71.56	71.62	92
G _{Ma}	52.23	-42.42	13.6	44.55	162
B _{Ma}	30.57	1.41	-46.47	46.49	272

Daten für Maximalfarbe (Ma):

$LAB^*LAB^*_{Ma}$: 24 30 -52

$LAB^*LCH^*_{Ma}$: 24 60 300

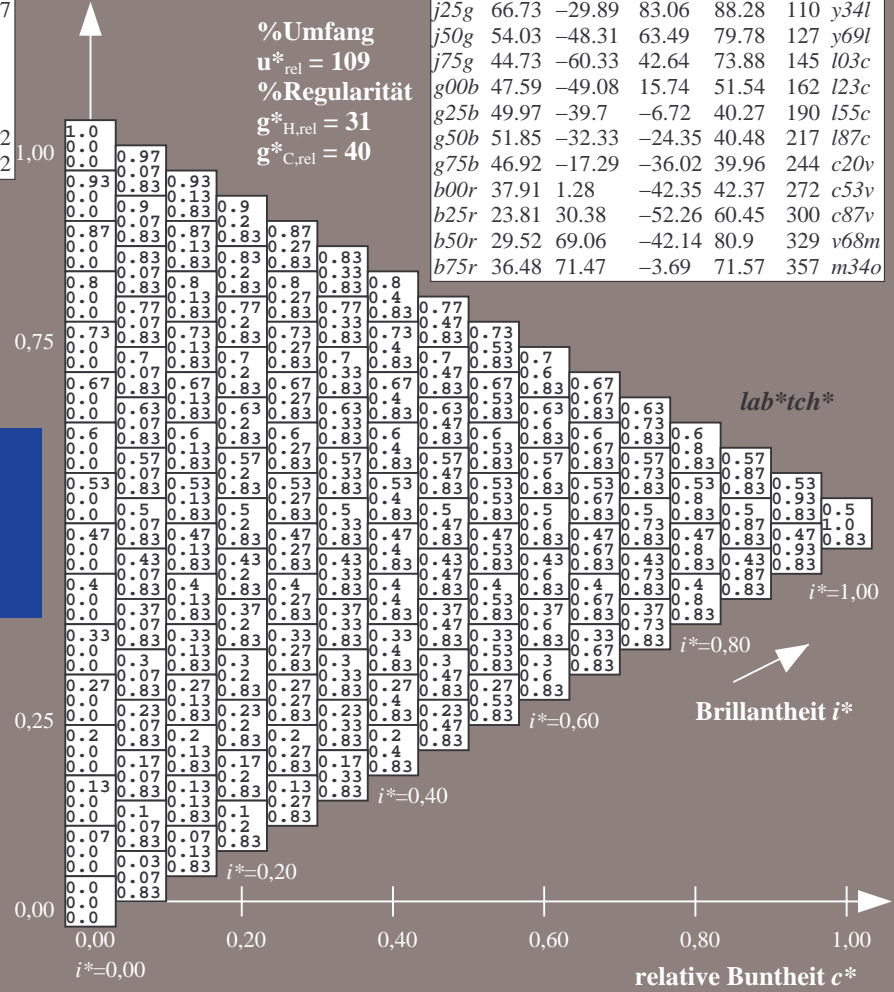
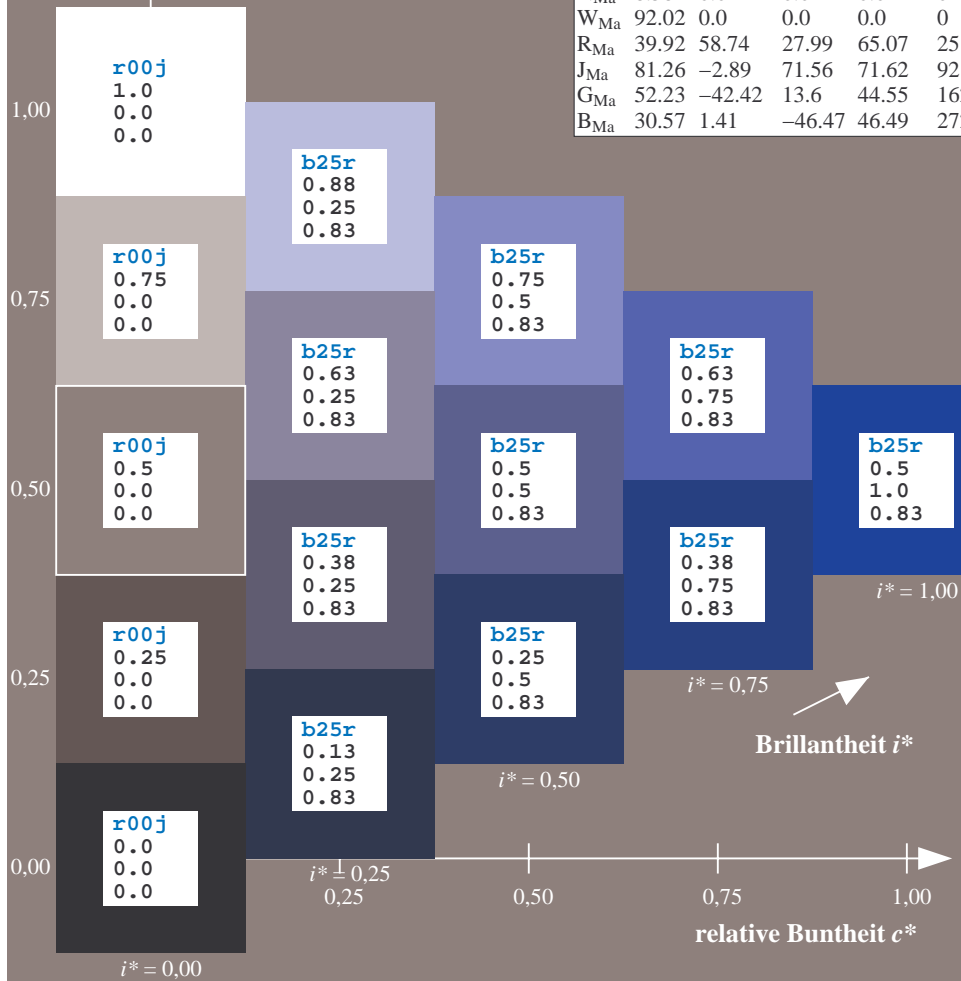
$lab^*rgb^*_{Ma}$: 0.5 0.0 1.0

$lab^*olv^*_{Ma}$: 0.0 0.12 1.0

Dreiecks-Helligkeit t^*

FRS09_92aM; adaptierte CIELAB-Daten

u^*_e	$L^*=L^*_a$	a^*_a	b^*_a	$C^*_{ab,a}$	$h^*_{ab,a}$	u^*_d
r00j	35.47	63.32	30.17	70.15	25	m81o
r25j	39.12	54.56	49.45	73.64	42	o10y
r50j	50.64	39.15	64.89	75.79	59	o40y
r75j	64.01	21.26	82.83	85.52	76	o69y
j00g	83.18	-4.38	108.53	108.62	92	o98y
j25g	66.73	-29.89	83.06	88.28	110	y34l
j50g	54.03	-48.31	63.49	79.78	127	y69l
j75g	44.73	-60.33	42.64	73.88	145	103c
g00b	47.59	-49.08	15.74	51.54	162	l23c
g25b	49.97	-39.7	-6.72	40.27	190	l55c
g50b	51.85	-32.33	-24.35	40.48	217	l87c
g75b	46.92	-17.29	-36.02	39.96	244	c20v
b00r	37.91	1.28	-42.35	42.37	272	c53v
b25r	23.81	30.38	-52.26	60.45	300	c87v
b50r	29.52	69.06	-42.14	80.9	329	v68m
b75r	36.48	71.47	-3.69	71.57	357	m34o



Ein und Ausgabe: Farbmetrisches Drucker-Reflektiv-System FRS09_92aM für relativen CIELAB-Bunton $h^* = lab^*h^* = h_{ab}/360 = 0.913$

$u^*_e = b50r$

Daten für jede Farbe:

lab^*tch^* und lab^*icu^*

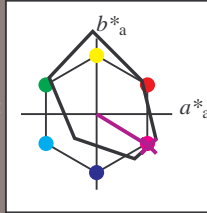
Buntontexte:

$u^*_e = b50r$ $u^*_d = v68m$

Kontrastreduzierungsfaktor:

$c_R = 1.0$

Dreiecks-Helligkeit t^*



FRS09_92aM; adaptierte CIELAB-Daten

u^*_e	$L^*=L^*_a$	a^*_a	b^*_a	$C^*_{ab,a}$	$h^*_{ab,a}$
O _{Ma}	35.06	60.0	44.0	74.4	36
Y _{Ma}	83.77	-5.17	109.32	109.44	93
L _{Ma}	44.13	-62.67	48.24	79.09	142
C _{Ma}	52.66	-29.14	-31.99	43.27	228
V _{Ma}	14.15	50.3	-59.04	77.57	310
M _{Ma}	37.37	78.64	-33.5	85.48	337
N _{Ma}	8.58	0.0	0.0	0.0	0
W _{Ma}	92.02	0.0	0.0	0.0	0
R _{Ma}	39.92	58.74	27.99	65.07	25
J _{Ma}	81.26	-2.89	71.56	71.62	92
G _{Ma}	52.23	-42.42	13.6	44.55	162
B _{Ma}	30.57	1.41	-46.47	46.49	272

Daten für Maximalfarbe (Ma):

$LAB^*LAB^*_{Ma}$: 30 69 -42

$LAB^*LCH^*_{Ma}$: 30 81 328

$lab^*rgb^*_{Ma}$: 1.0 0.0 1.0

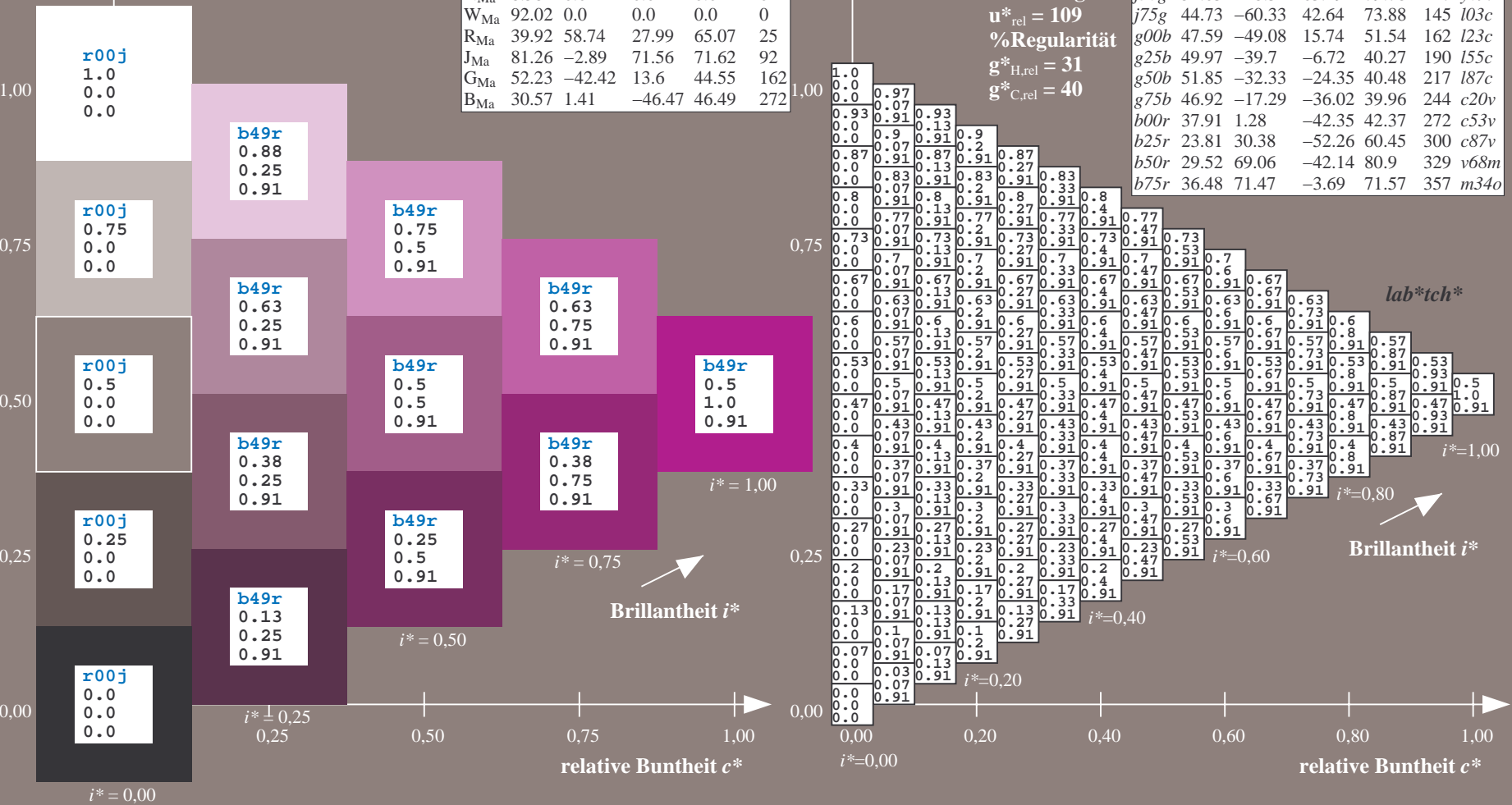
$lab^*olv^*_{Ma}$: 0.69 0.0 1.0

Dreiecks-Helligkeit t^*

FRS09_92aM; adaptierte CIELAB-Daten

u^*_e	$L^*=L^*_a$	a^*_a	b^*_a	$C^*_{ab,a}$	$h^*_{ab,a}$	u^*_d
r00j	35.47	63.32	30.17	70.15	25	m81o
r25j	39.12	54.56	49.45	73.64	42	o10y
r50j	50.64	39.15	64.89	75.79	59	o40y
r75j	64.01	21.26	82.83	85.52	76	o69y
j00g	83.18	-4.38	108.53	108.62	92	o98y
j25g	66.73	-29.89	83.06	88.28	110	y34l
j50g	54.03	-48.31	63.49	79.78	127	y69l
j75g	44.73	-60.33	42.64	73.88	145	103c
g00b	47.59	-49.08	15.74	51.54	162	l23c
g25b	49.97	-39.7	-6.72	40.27	190	l55c
g50b	51.85	-32.33	-24.35	40.48	217	l87c
g75b	46.92	-17.29	-36.02	39.96	244	c20v
b00r	37.91	1.28	-42.35	42.37	272	c53v
b25r	23.81	30.38	-52.26	60.45	300	c87v
b50r	29.52	69.06	-42.14	80.9	329	v68m
b75r	36.48	71.47	-3.69	71.57	357	m34o

lab^*tch^*



%Umfang
 $u^*_{rel} = 109$
%Regularität
 $g^*_{H,rel} = 31$
 $g^*_{C,rel} = 40$

Ein und Ausgabe: Farbmatisches Drucker-Reflektiv-System FRS09_92aM für relativen CIELAB-Bunton $h^* = lab \cdot h^* = h_{ab}/360 = 0.992$

$u^*_e = b75r$

Daten für jede Farbe:

$lab \cdot tch^*$ und $lab \cdot icu^*$

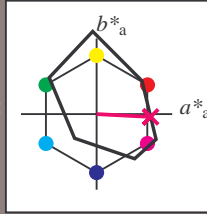
Buntontexte:

$u^*_e = b75r$ $u^*_d = m34o$

Kontrastreduzierungsfaktor:

$c_R = 1.0$

Dreiecks-Helligkeit t^*



FRS09_92aM; adaptierte CIELAB-Daten

u^*_e	$L^*=L^*_a$	a^*_a	b^*_a	$C^*_{ab,a}$	$h^*_{ab,a}$
O _{Ma}	35.06	60.0	44.0	74.4	36
Y _{Ma}	83.77	-5.17	109.32	109.44	93
L _{Ma}	44.13	-62.67	48.24	79.09	142
C _{Ma}	52.66	-29.14	-31.99	43.27	228
V _{Ma}	14.15	50.3	-59.04	77.57	310
M _{Ma}	37.37	78.64	-33.5	85.48	337
N _{Ma}	8.58	0.0	0.0	0.0	0
W _{Ma}	92.02	0.0	0.0	0.0	0
R _{Ma}	39.92	58.74	27.99	65.07	25
J _{Ma}	81.26	-2.89	71.56	71.62	92
G _{Ma}	52.23	-42.42	13.6	44.55	162
B _{Ma}	30.57	1.41	-46.47	46.49	272

Daten für Maximalfarbe (Ma):

$LAB \cdot LAB \cdot Ma: 36 \ 71 \ -4$

$LAB \cdot LCH \cdot Ma: 36 \ 72 \ 357$

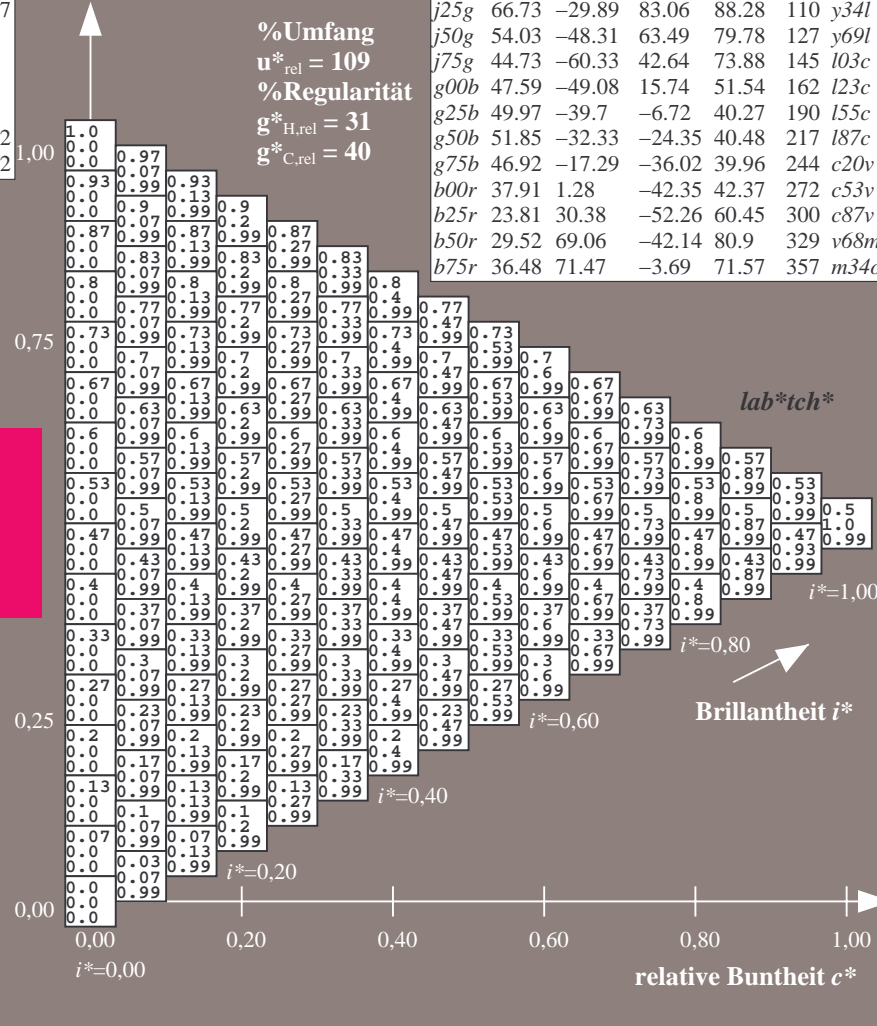
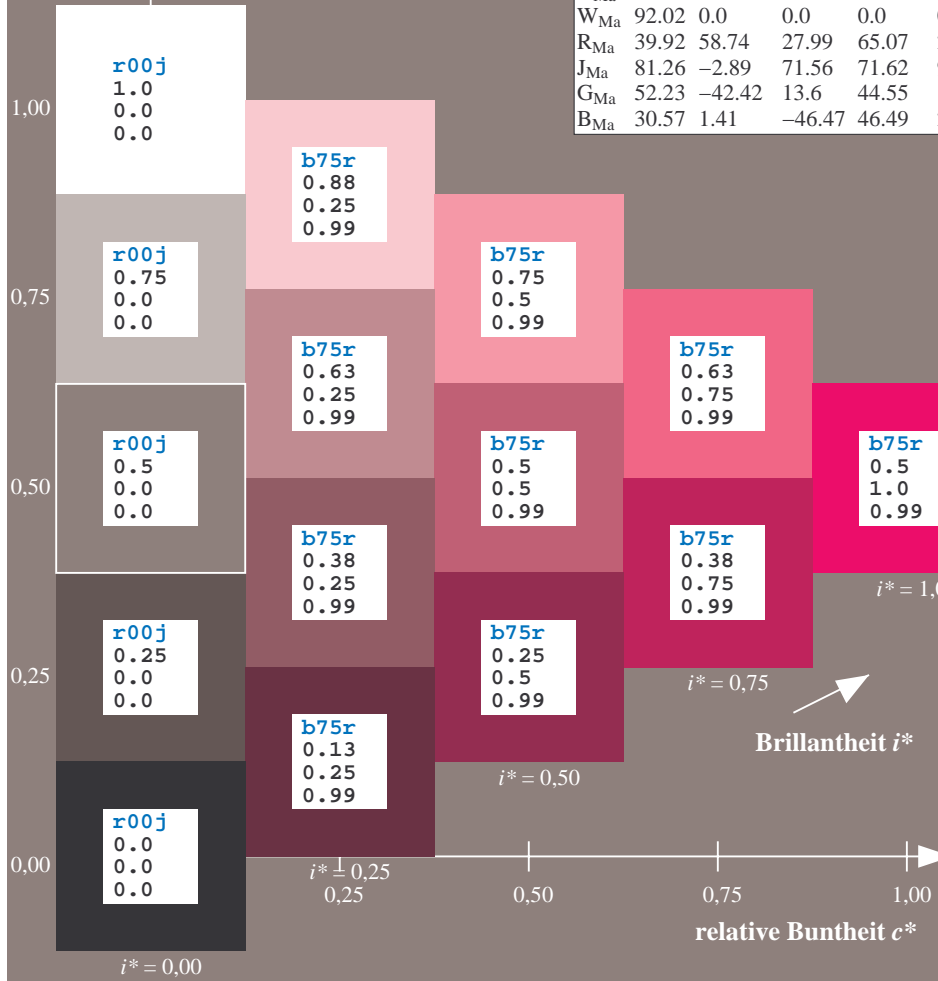
$lab \cdot rgb \cdot Ma: 1.0 \ 0.0 \ 0.5$

$lab \cdot olv \cdot Ma: 1.0 \ 0.0 \ 0.66$

Dreiecks-Helligkeit t^*

FRS09_92aM; adaptierte CIELAB-Daten

u^*_e	$L^*=L^*_a$	a^*_a	b^*_a	$C^*_{ab,a}$	$h^*_{ab,a}$	u^*_d
r00j	35.47	63.32	30.17	70.15	25	m81o
r25j	39.12	54.56	49.45	73.64	42	o10y
r50j	50.64	39.15	64.89	75.79	59	o40y
r75j	64.01	21.26	82.83	85.52	76	o69y
j00g	83.18	-4.38	108.53	108.62	92	o98y
j25g	66.73	-29.89	83.06	88.28	110	y34l
j50g	54.03	-48.31	63.49	79.78	127	y69l
j75g	44.73	-60.33	42.64	73.88	145	l03c
g00b	47.59	-49.08	15.74	51.54	162	l23c
g25b	49.97	-39.7	-6.72	40.27	190	l55c
g50b	51.85	-32.33	-24.35	40.48	217	l87c
g75b	46.92	-17.29	-36.02	39.96	244	c20v
b00r	37.91	1.28	-42.35	42.37	272	c53v
b25r	23.81	30.38	-52.26	60.45	300	c87v
b50r	29.52	69.06	-42.14	80.9	329	v68m
b75r	36.48	71.47	-3.69	71.57	357	m34o



%Umfang
 $u^*_{rel} = 109$
 %Regularität
 $g^*_{H,rel} = 31$
 $g^*_{C,rel} = 40$

$lab \cdot tch^*$

$i^* = 1.00$

$i^* = 0.80$

$i^* = 0.60$

$i^* = 0.40$

$i^* = 0.20$

Ein und Ausgabe:
 Farbmetrisches Drucker-Reflektiv-System FRS09_92aM

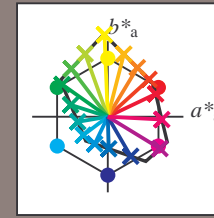
Daten für jede Farbe:
 u^*_e und Nummer *Nr.* = 00 .. 15

Elementar-Bunttextext:
 $u^*_e = 16$ Bunttoene *r00j, r25j, ..., b75r*

Kontrastreduzierungsfaktor:
 $c_R = 1.0$

FRS09_92aM; adaptierte CIELAB-Daten

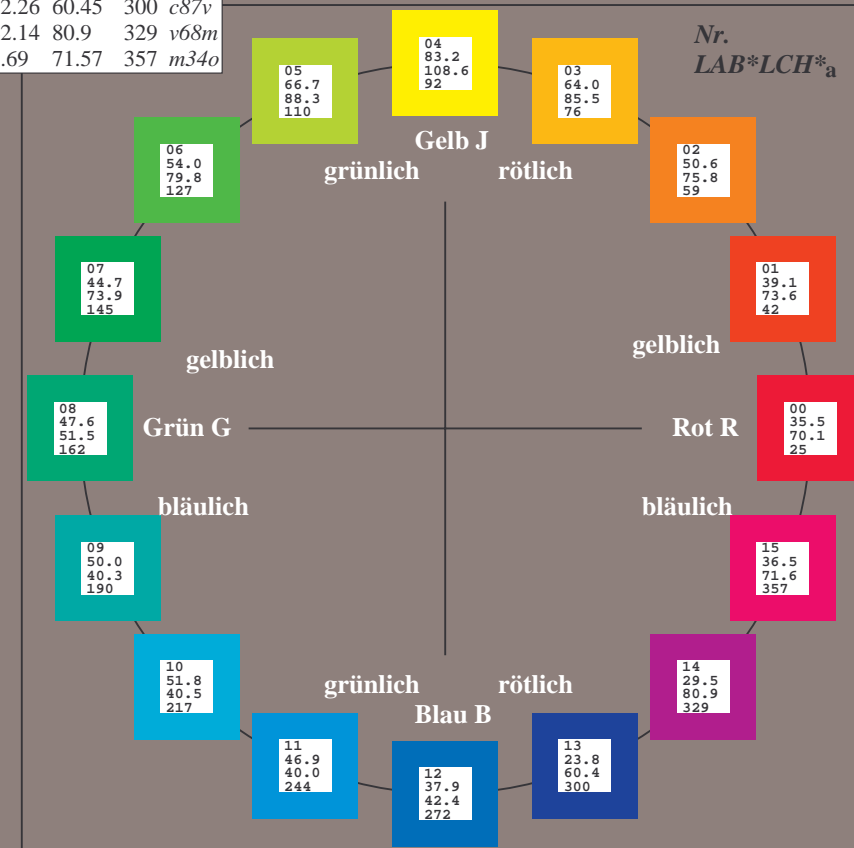
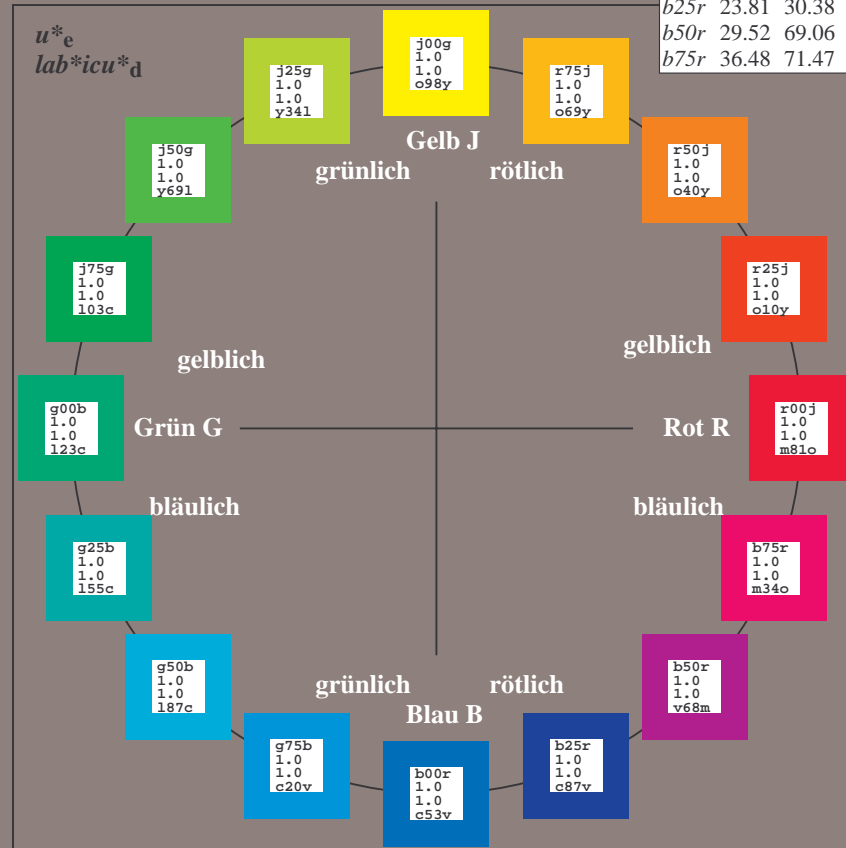
u^*_e	$L^*=L^*_a$	a^*_a	b^*_a	$C^*_{ab,a}$	$h^*_{ab,a}$	u^*_d
r00j	35.47	63.32	30.17	70.15	25	m81o
r25j	39.12	54.56	49.45	73.64	42	o10y
r50j	50.64	39.15	64.89	75.79	59	o40y
r75j	64.01	21.26	82.83	85.52	76	o69y
j00g	83.18	-4.38	108.53	108.62	92	o98y
j25g	66.73	-29.89	83.06	88.28	110	y34l
j50g	54.03	-48.31	63.49	79.78	127	y69l
j75g	44.73	-60.33	42.64	73.88	145	l03c
g00b	47.59	-49.08	15.74	51.54	162	l23c
g25b	49.97	-39.7	-6.72	40.27	190	l55c
g50b	51.85	-32.33	-24.35	40.48	217	l87c
g75b	46.92	-17.29	-36.02	39.96	244	c20v
b00r	37.91	1.28	-42.35	42.37	272	c53v
b25r	23.81	30.38	-52.26	60.45	300	c87v
b50r	29.52	69.06	-42.14	80.9	329	v68m
b75r	36.48	71.47	-3.69	71.57	357	m34o



%Umfang
 $u^*_{rel} = 109$
 %Regularität
 $g^*_{H,rel} = 31$
 $g^*_{C,rel} = 40$

FRS09_92aM; adaptierte CIELAB-Daten

Name	$L^*=L^*_a$	a^*_a	b^*_a	$C^*_{ab,a}$	$h^*_{ab,a}$
OMa	35.06	60.0	44.0	74.4	36
YMa	83.77	-5.17	109.32	109.44	93
LMa	44.13	-62.67	48.24	79.09	142
CMa	52.66	-29.14	-31.99	43.27	228
VMa	14.15	50.3	-59.04	77.57	310
MMa	37.37	78.64	-33.5	85.48	337
NMa	8.58	0.0	0.0	0.0	0
WMa	92.02	0.0	0.0	0.0	0
RCIE	39.92	58.74	27.99	65.07	25
JCIE	81.26	-2.89	71.56	71.62	92
GCIE	52.23	-42.42	13.6	44.55	162
BCIE	30.57	1.41	-46.47	46.49	272



Ein und Ausgabe: Farbmatisches Drucker-Reflektiv-System FRS09_92aM für relativen CIELAB-Bunton $h^* = lab^*h^* = h_{ab}/360 = 0.071$

Daten für jede Farbe:

lab^*ch^* und lab^*icu^*

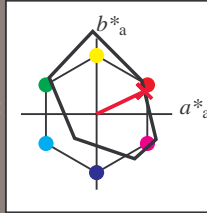
Buntontexte:

$u^*_e = r00j$ $u^*_d = m81o$

Kontrastreduzierungsfaktor:

$c_R = 1.0$

Dreiecks-Helligkeit t^*



FRS09_92aM; adaptierte CIELAB-Daten

u^*_e	$L^*=L^*_a$	a^*_a	b^*_a	$C^*_{ab,a}$	$h^*_{ab,a}$
O _{Ma}	35.06	60.0	44.0	74.4	36
Y _{Ma}	83.77	-5.17	109.32	109.44	93
L _{Ma}	44.13	-62.67	48.24	79.09	142
C _{Ma}	52.66	-29.14	-31.99	43.27	228
V _{Ma}	14.15	50.3	-59.04	77.57	310
M _{Ma}	37.37	78.64	-33.5	85.48	337
N _{Ma}	8.58	0.0	0.0	0.0	0
W _{Ma}	92.02	0.0	0.0	0.0	0
R _{Ma}	39.92	58.74	27.99	65.07	25
J _{Ma}	81.26	-2.89	71.56	71.62	92
G _{Ma}	52.23	-42.42	13.6	44.55	162
B _{Ma}	30.57	1.41	-46.47	46.49	272

Daten für Maximalfarbe (Ma):

$LAB^*LAB^*_{Ma}$: 35 63 30

$LAB^*LCH^*_{Ma}$: 35 70 25

$lab^*rgb^*_{Ma}$: 1.0 0.0 0.0

$lab^*olv^*_{Ma}$: 1.0 0.0 0.18

Dreiecks-Helligkeit t^*

%Umfang

$u^*_{rel} = 109$

%Regularität

$g^*_{H,rel} = 31$

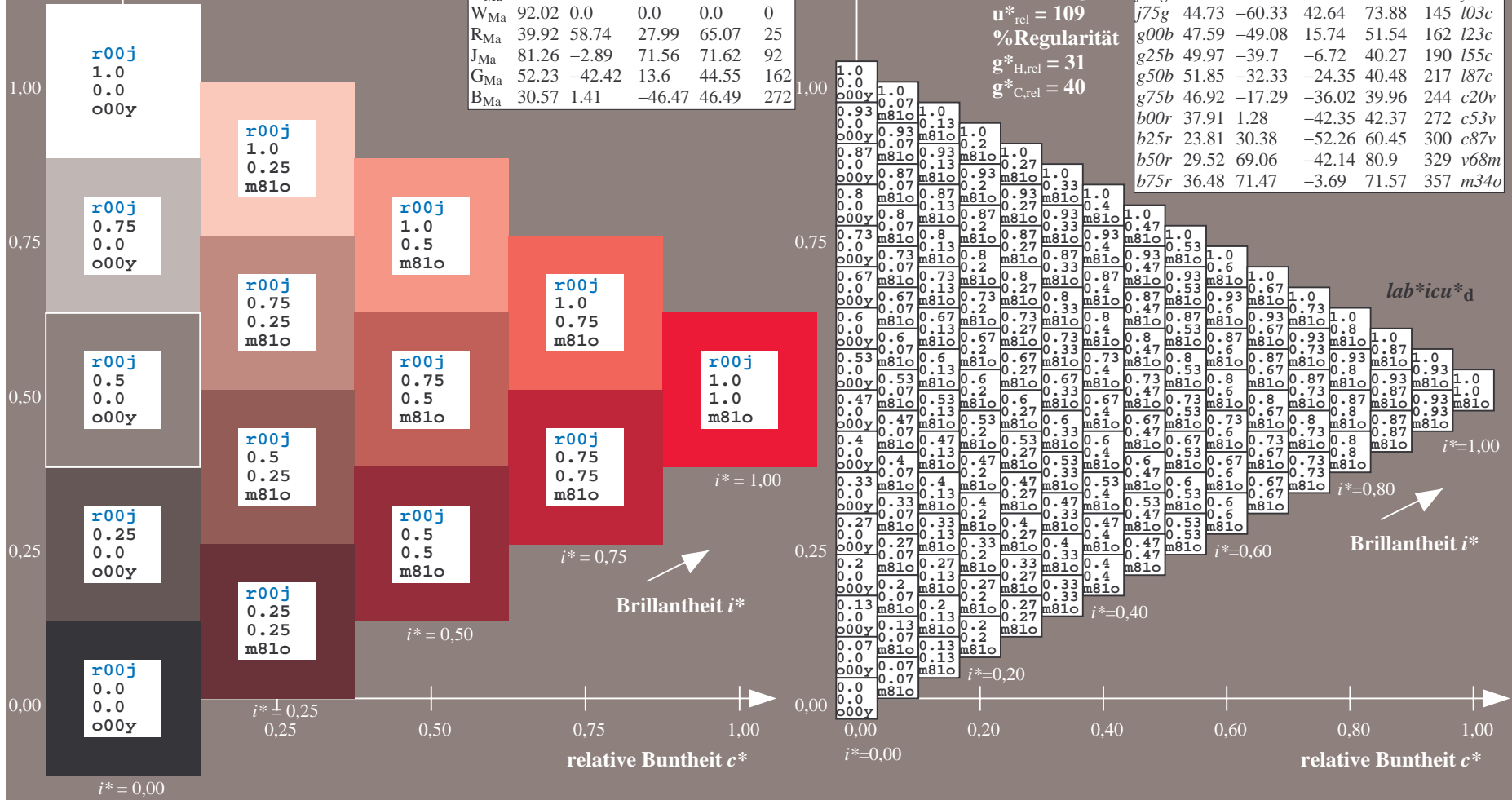
$g^*_{C,rel} = 40$

$u^*_e = r00j$

$lab^*icu^*_d$

FRS09_92aM; adaptierte CIELAB-Daten

u^*_e	$L^*=L^*_a$	a^*_a	b^*_a	$C^*_{ab,a}$	$h^*_{ab,a}$	u^*_d
r00j	35.47	63.32	30.17	70.15	25	m81o
r25j	39.12	54.56	49.45	73.64	42	o10y
r50j	50.64	39.15	64.89	75.79	59	o40y
r75j	64.01	21.26	82.83	85.52	76	o69y
j00g	83.18	-4.38	108.53	108.62	92	o98y
j25g	66.73	-29.89	83.06	88.28	110	y34l
j50g	54.03	-48.31	63.49	79.78	127	y69l
j75g	44.73	-60.33	42.64	73.88	145	l03c
g00b	47.59	-49.08	15.74	51.54	162	l23c
g25b	49.97	-39.7	-6.72	40.27	190	l55c
g50b	51.85	-32.33	-24.35	40.48	217	l87c
g75b	46.92	-17.29	-36.02	39.96	244	c20v
b00r	37.91	1.28	-42.35	42.37	272	c53v
b25r	23.81	30.38	-52.26	60.45	300	c87v
b50r	29.52	69.06	-42.14	80.9	329	v68m
b75r	36.48	71.47	-3.69	71.57	357	m34o



Ein und Ausgabe: Farbmatisches Drucker-Reflektiv-System FRS09_92aM für relativen CIELAB-Bunton $h^* = lab^*h^* = h_{ab}/360 = 0.117$

$u^*_e = r25j$
 $lab^*icu^*_d$

Daten für jede Farbe:

lab^*tch^* und lab^*icu^*

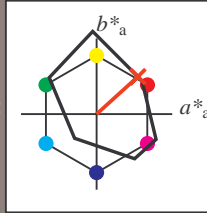
Buntontexte:

$u^*_e = r25j$ $u^*_d = o10y$

Kontrastreduzierungsfaktor:

$c_R = 1.0$

Dreiecks-Helligkeit t^*



FRS09_92aM; adaptierte CIELAB-Daten

u^*_e	$L^*=L^*_a$	a^*_a	b^*_a	$C^*_{ab,a}$	$h^*_{ab,a}$
O _{Ma}	35.06	60.0	44.0	74.4	36
Y _{Ma}	83.77	-5.17	109.32	109.44	93
L _{Ma}	44.13	-62.67	48.24	79.09	142
C _{Ma}	52.66	-29.14	-31.99	43.27	228
V _{Ma}	14.15	50.3	-59.04	77.57	310
M _{Ma}	37.37	78.64	-33.5	85.48	337
N _{Ma}	8.58	0.0	0.0	0.0	0
W _{Ma}	92.02	0.0	0.0	0.0	0
R _{Ma}	39.92	58.74	27.99	65.07	25
J _{Ma}	81.26	-2.89	71.56	71.62	92
G _{Ma}	52.23	-42.42	13.6	44.55	162
B _{Ma}	30.57	1.41	-46.47	46.49	272

Daten für Maximalfarbe (Ma):

$LAB^*LAB^*_{Ma}$: 39 55 49

$LAB^*LCH^*_{Ma}$: 39 74 42

$lab^*rgb^*_{Ma}$: 1.0 0.25 0.0

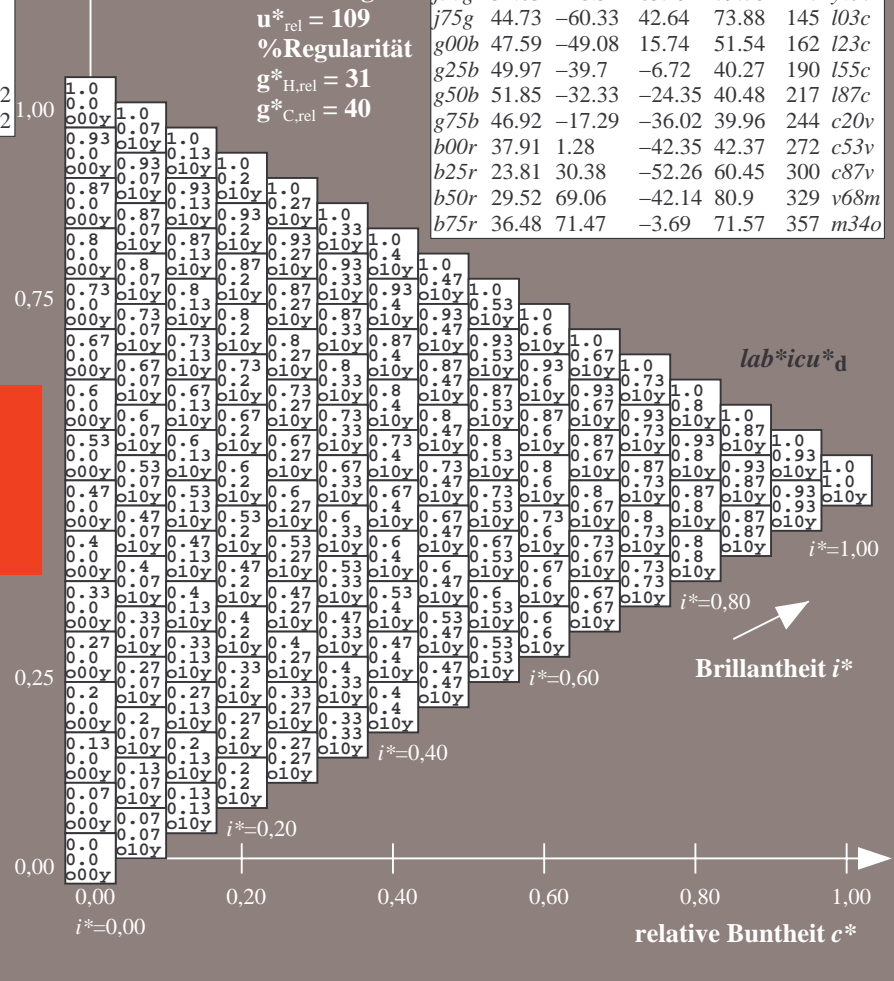
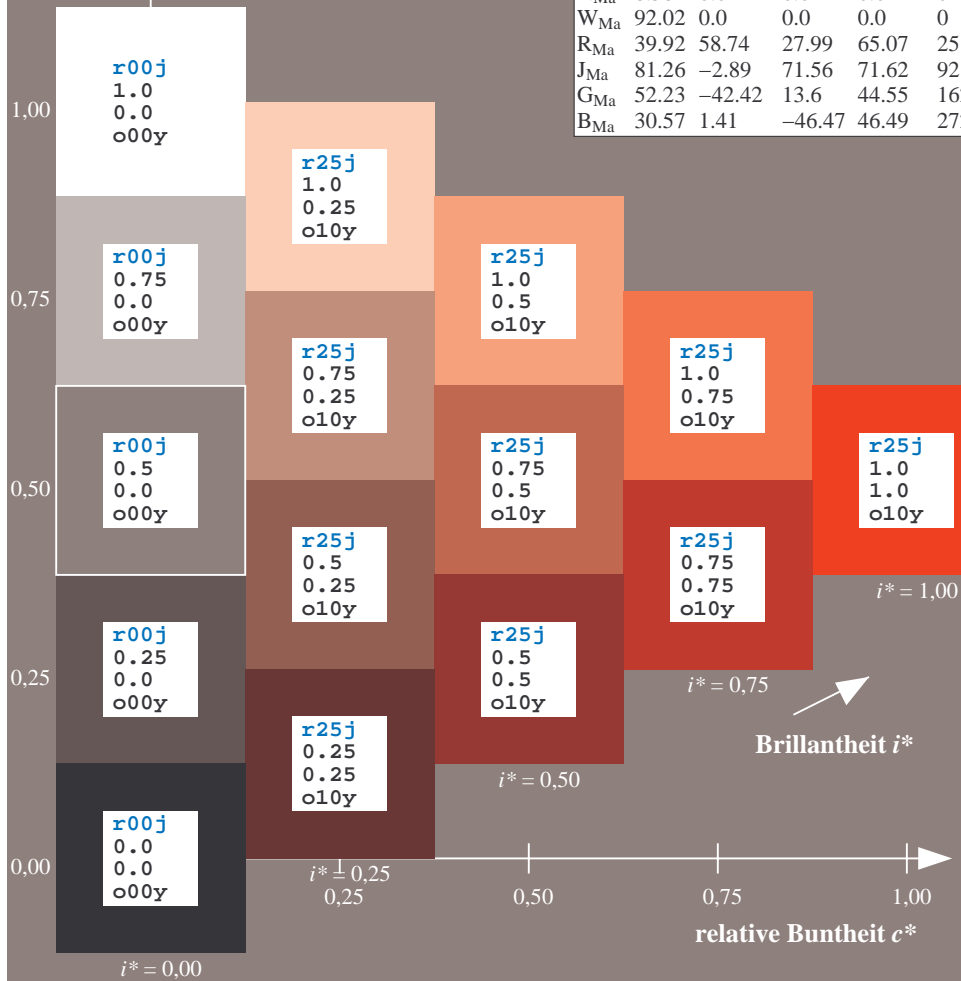
$lab^*olv^*_{Ma}$: 1.0 0.11 0.0

Dreiecks-Helligkeit t^*

FRS09_92aM; adaptierte CIELAB-Daten

u^*_e	$L^*=L^*_a$	a^*_a	b^*_a	$C^*_{ab,a}$	$h^*_{ab,a}$	u^*_d
r00j	35.47	63.32	30.17	70.15	25	m81o
r25j	39.12	54.56	49.45	73.64	42	o10y
r50j	50.64	39.15	64.89	75.79	59	o40y
r75j	64.01	21.26	82.83	85.52	76	o69y
j00g	83.18	-4.38	108.53	108.62	92	o98y
j25g	66.73	-29.89	83.06	88.28	110	y34l
j50g	54.03	-48.31	63.49	79.78	127	y69l
j75g	44.73	-60.33	42.64	73.88	145	l03c
g00b	47.59	-49.08	15.74	51.54	162	l23c
g25b	49.97	-39.7	-6.72	40.27	190	l55c
g50b	51.85	-32.33	-24.35	40.48	217	l87c
g75b	46.92	-17.29	-36.02	39.96	244	c20v
b00r	37.91	1.28	-42.35	42.37	272	c53v
b25r	23.81	30.38	-52.26	60.45	300	c87v
b50r	29.52	69.06	-42.14	80.9	329	v68m
b75r	36.48	71.47	-3.69	71.57	357	m34o

%Umfang
 $u^*_{rel} = 109$
%Regularität
 $g^*_{H,rel} = 31$
 $g^*_{C,rel} = 40$



Ein und Ausgabe: Farbmatisches Drucker-Reflektiv-System FRS09_92aM für relativen CIELAB-Bunton $h^* = lab^*h^* = h_{ab}/360 = 0.164$

$u^*_e = r50j$
 $lab^*icu^*_d$

Daten für jede Farbe:

lab^*tch^* und lab^*icu^*

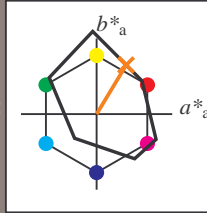
Buntontexte:

$u^*_e = r50j$ $u^*_d = o40y$

Kontrastreduzierungsfaktor:

$c_R = 1.0$

Dreiecks-Helligkeit t^*



FRS09_92aM; adaptierte CIELAB-Daten

u^*_e	$L^*=L^*_a$	a^*_a	b^*_a	$C^*_{ab,a}$	$h^*_{ab,a}$
O _{Ma}	35.06	60.0	44.0	74.4	36
Y _{Ma}	83.77	-5.17	109.32	109.44	93
L _{Ma}	44.13	-62.67	48.24	79.09	142
C _{Ma}	52.66	-29.14	-31.99	43.27	228
V _{Ma}	14.15	50.3	-59.04	77.57	310
M _{Ma}	37.37	78.64	-33.5	85.48	337
N _{Ma}	8.58	0.0	0.0	0.0	0
W _{Ma}	92.02	0.0	0.0	0.0	0
R _{Ma}	39.92	58.74	27.99	65.07	25
J _{Ma}	81.26	-2.89	71.56	71.62	92
G _{Ma}	52.23	-42.42	13.6	44.55	162
B _{Ma}	30.57	1.41	-46.47	46.49	272

Daten für Maximalfarbe (Ma):

$LAB^*LAB^*_{Ma}: 51\ 39\ 65$

$LAB^*LCH^*_{Ma}: 51\ 76\ 58$

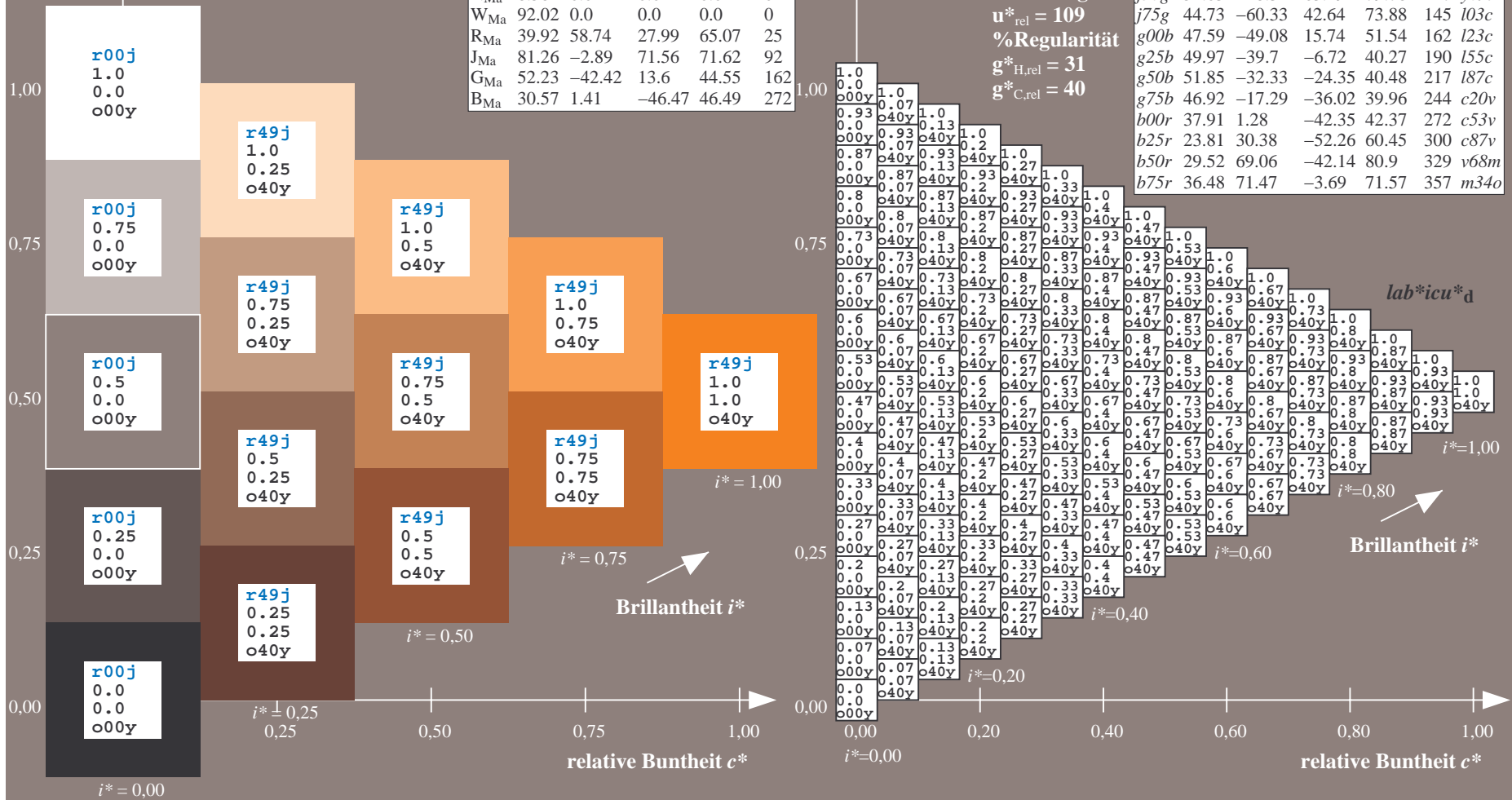
$lab^*rgb^*_{Ma}: 1.0\ 0.5\ 0.0$

$lab^*olv^*_{Ma}: 1.0\ 0.4\ 0.0$

Dreiecks-Helligkeit t^*

FRS09_92aM; adaptierte CIELAB-Daten

u^*_e	$L^*=L^*_a$	a^*_a	b^*_a	$C^*_{ab,a}$	$h^*_{ab,a}$	u^*_d
r00j	35.47	63.32	30.17	70.15	25	m81o
r25j	39.12	54.56	49.45	73.64	42	o10y
r50j	50.64	39.15	64.89	75.79	59	o40y
r75j	64.01	21.26	82.83	85.52	76	o69y
j00g	83.18	-4.38	108.53	108.62	92	o98y
j25g	66.73	-29.89	83.06	88.28	110	y34l
j50g	54.03	-48.31	63.49	79.78	127	y69l
j75g	44.73	-60.33	42.64	73.88	145	l03c
g00b	47.59	-49.08	15.74	51.54	162	l23c
g25b	49.97	-39.7	-6.72	40.27	190	l55c
g50b	51.85	-32.33	-24.35	40.48	217	l87c
g75b	46.92	-17.29	-36.02	39.96	244	c20v
b00r	37.91	1.28	-42.35	42.37	272	c53v
b25r	23.81	30.38	-52.26	60.45	300	c87v
b50r	29.52	69.06	-42.14	80.9	329	v68m
b75r	36.48	71.47	-3.69	71.57	357	m34o



%Umfang
 $u^*_{rel} = 109$
%Regularität
 $g^*_{H,rel} = 31$
 $g^*_{C,rel} = 40$

$lab^*icu^*_d$

$i^* = 1.00$

Brillanz i^*

$i^* = 0.80$

$i^* = 0.60$

$i^* = 0.40$

$i^* = 0.20$

$i^* = 0.00$

Ein und Ausgabe: Farbmatisches Drucker-Reflektiv-System FRS09_92aM für relativen CIELAB-Bunton $h^* = lab^*h^* = h_{ab}/360 = 0.21$

$u^*_e = r75j$
 $lab^*icu^*_d$

Daten für jede Farbe:

lab^*tch^* und lab^*icu^*

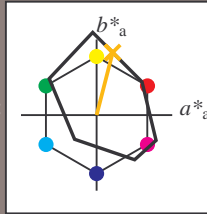
Buntontexte:

$u^*_e = r75j$ $u^*_d = o69y$

Kontrastreduzierungsfaktor:

$c_R = 1.0$

Dreiecks-Helligkeit t^*



FRS09_92aM; adaptierte CIELAB-Daten

u^*_e	$L^*=L^*_a$	a^*_a	b^*_a	$C^*_{ab,a}$	$h^*_{ab,a}$
O _{Ma}	35.06	60.0	44.0	74.4	36
Y _{Ma}	83.77	-5.17	109.32	109.44	93
L _{Ma}	44.13	-62.67	48.24	79.09	142
C _{Ma}	52.66	-29.14	-31.99	43.27	228
V _{Ma}	14.15	50.3	-59.04	77.57	310
M _{Ma}	37.37	78.64	-33.5	85.48	337
N _{Ma}	8.58	0.0	0.0	0.0	0
W _{Ma}	92.02	0.0	0.0	0.0	0
R _{Ma}	39.92	58.74	27.99	65.07	25
J _{Ma}	81.26	-2.89	71.56	71.62	92
G _{Ma}	52.23	-42.42	13.6	44.55	162
B _{Ma}	30.57	1.41	-46.47	46.49	272

Daten für Maximalfarbe (Ma):

$LAB^*LAB^*_{Ma}$: 64 21 83

$LAB^*LCH^*_{Ma}$: 64 86 75

$lab^*rgb^*_{Ma}$: 1.0 0.75 0.0

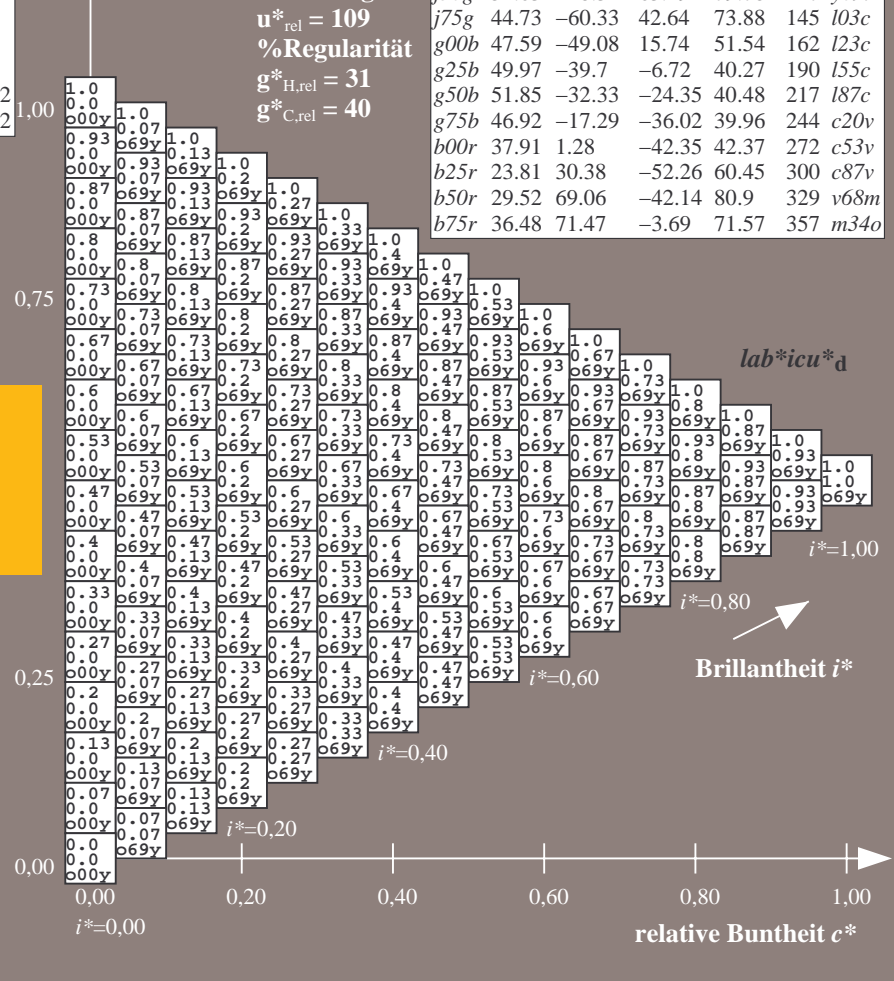
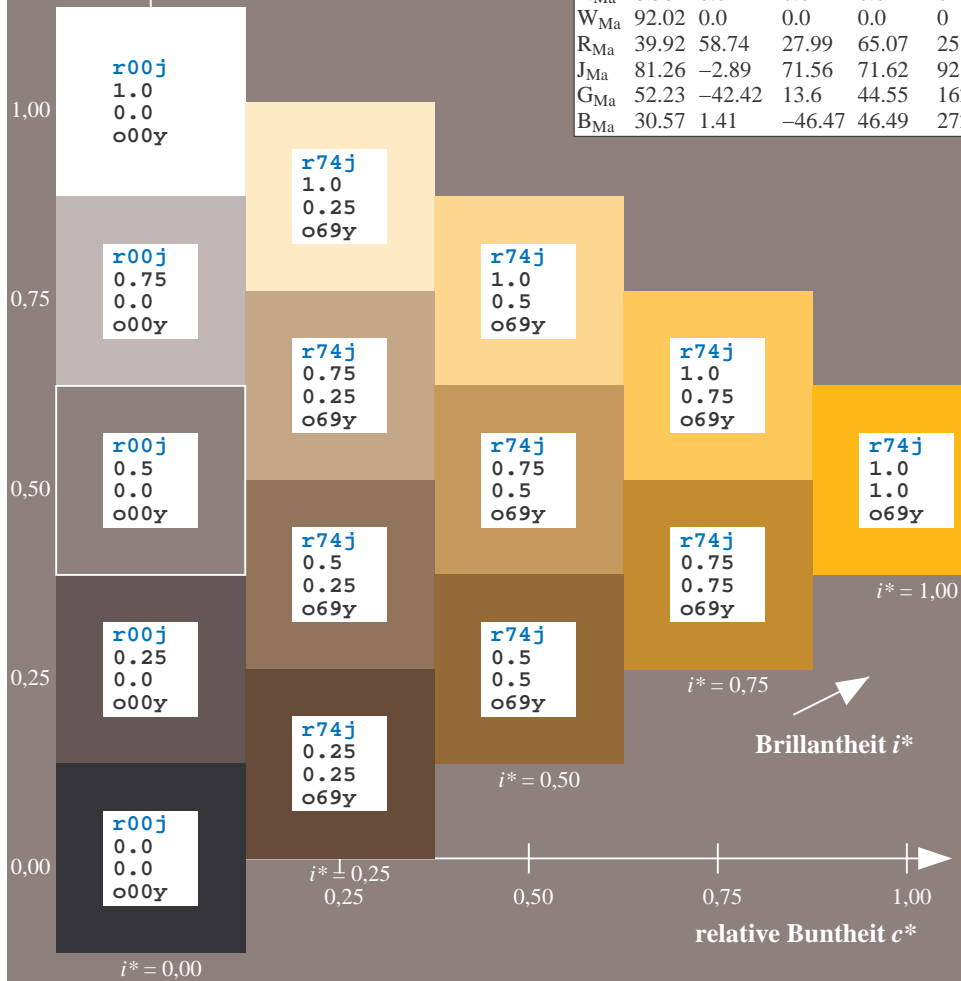
$lab^*olv^*_{Ma}$: 1.0 0.7 0.0

Dreiecks-Helligkeit t^*

FRS09_92aM; adaptierte CIELAB-Daten

u^*_e	$L^*=L^*_a$	a^*_a	b^*_a	$C^*_{ab,a}$	$h^*_{ab,a}$	u^*_d
r00j	35.47	63.32	30.17	70.15	25	m81o
r25j	39.12	54.56	49.45	73.64	42	o10y
r50j	50.64	39.15	64.89	75.79	59	o40y
r75j	64.01	21.26	82.83	85.52	76	o69y
j00g	83.18	-4.38	108.53	108.62	92	o98y
j25g	66.73	-29.89	83.06	88.28	110	y34l
j50g	54.03	-48.31	63.49	79.78	127	y69l
j75g	44.73	-60.33	42.64	73.88	145	l03c
g00b	47.59	-49.08	15.74	51.54	162	l23c
g25b	49.97	-39.7	-6.72	40.27	190	l55c
g50b	51.85	-32.33	-24.35	40.48	217	l87c
g75b	46.92	-17.29	-36.02	39.96	244	c20v
b00r	37.91	1.28	-42.35	42.37	272	c53v
b25r	23.81	30.38	-52.26	60.45	300	c87v
b50r	29.52	69.06	-42.14	80.9	329	v68m
b75r	36.48	71.47	-3.69	71.57	357	m34o

%Umfang
 $u^*_{rel} = 109$
%Regularität
 $g^*_{H,rel} = 31$
 $g^*_{C,rel} = 40$



Ein und Ausgabe: Farbmatisches Drucker-Reflektiv-System FRS09_92aM für relativen CIELAB-Bunton $h^* = lab^*h^* = h_{ab}/360 = 0.256$

$u^*_e = j00g$
 $lab^*icu^*_d$

Daten für jede Farbe:

lab^*tch^* und lab^*icu^*

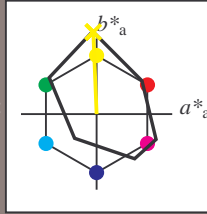
Buntontexte:

$u^*_e = j00g$ $u^*_d = o98y$

Kontrastreduzierungsfaktor:

$c_R = 1.0$

Dreiecks-Helligkeit t^*



FRS09_92aM; adaptierte CIELAB-Daten

u^*_e	$L^*=L^*_a$	a^*_a	b^*_a	$C^*_{ab,a}$	$h^*_{ab,a}$
O _{Ma}	35.06	60.0	44.0	74.4	36
Y _{Ma}	83.77	-5.17	109.32	109.44	93
L _{Ma}	44.13	-62.67	48.24	79.09	142
C _{Ma}	52.66	-29.14	-31.99	43.27	228
V _{Ma}	14.15	50.3	-59.04	77.57	310
M _{Ma}	37.37	78.64	-33.5	85.48	337
N _{Ma}	8.58	0.0	0.0	0.0	0
W _{Ma}	92.02	0.0	0.0	0.0	0
R _{Ma}	39.92	58.74	27.99	65.07	25
J _{Ma}	81.26	-2.89	71.56	71.62	92
G _{Ma}	52.23	-42.42	13.6	44.55	162
B _{Ma}	30.57	1.41	-46.47	46.49	272

Daten für Maximalfarbe (Ma):

$LAB^*LAB^*_{Ma}$: 83 -4 109

$LAB^*LCH^*_{Ma}$: 83 109 92

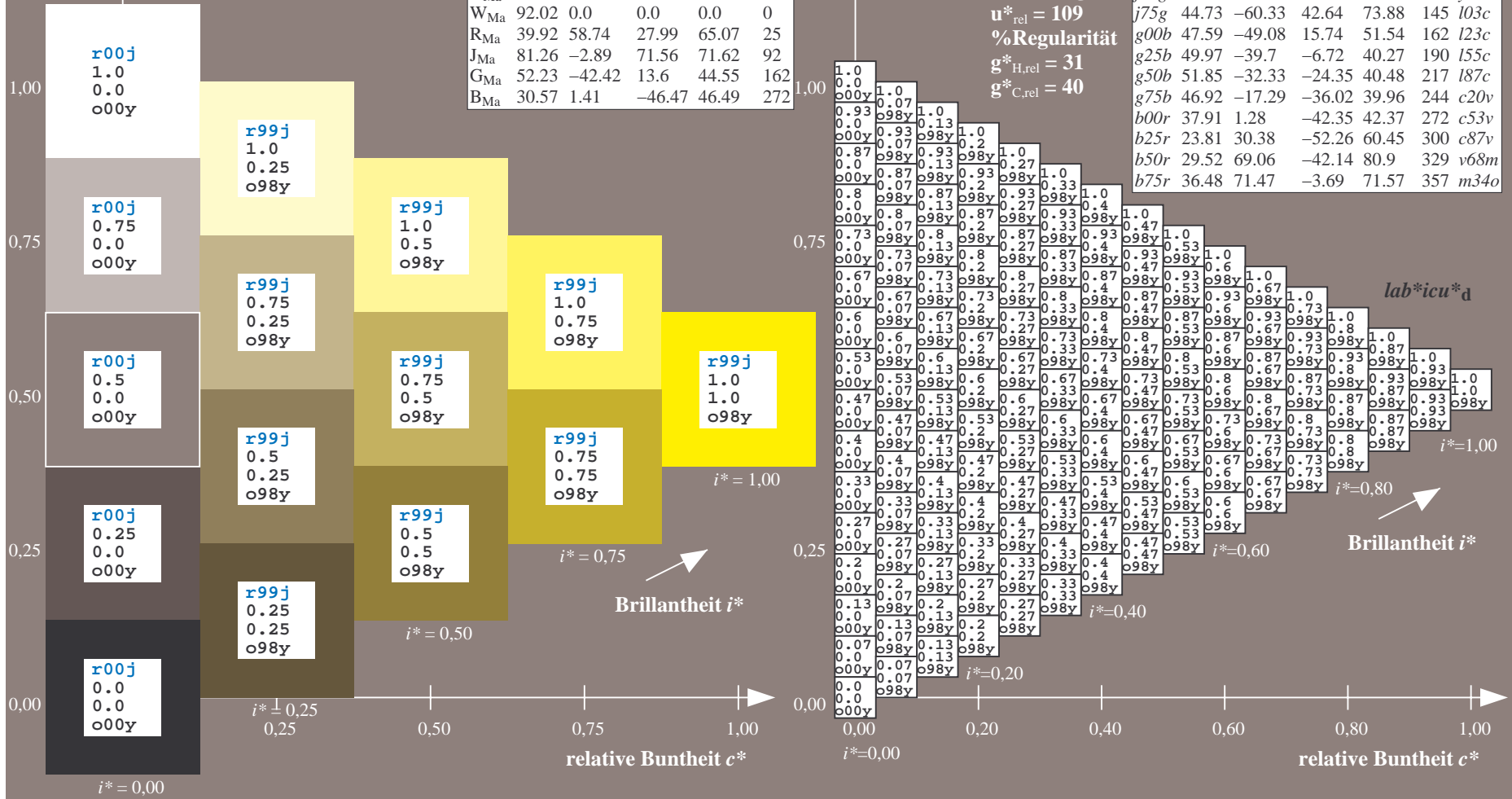
$lab^*rgb^*_{Ma}$: 1.0 1.0 0.0

$lab^*olv^*_{Ma}$: 1.0 0.99 0.0

Dreiecks-Helligkeit t^*

FRS09_92aM; adaptierte CIELAB-Daten

u^*_e	$L^*=L^*_a$	a^*_a	b^*_a	$C^*_{ab,a}$	$h^*_{ab,a}$	u^*_d
r00j	35.47	63.32	30.17	70.15	25	m81o
r25j	39.12	54.56	49.45	73.64	42	o10y
r50j	50.64	39.15	64.89	75.79	59	o40y
r75j	64.01	21.26	82.83	85.52	76	o69y
j00g	83.18	-4.38	108.53	108.62	92	o98y
j25g	66.73	-29.89	83.06	88.28	110	y34l
j50g	54.03	-48.31	63.49	79.78	127	y69l
j75g	44.73	-60.33	42.64	73.88	145	l03c
g00b	47.59	-49.08	15.74	51.54	162	i23c
g25b	49.97	-39.7	-6.72	40.27	190	i55c
g50b	51.85	-32.33	-24.35	40.48	217	i87c
g75b	46.92	-17.29	-36.02	39.96	244	c20v
b00r	37.91	1.28	-42.35	42.37	272	c53v
b25r	23.81	30.38	-52.26	60.45	300	c87v
b50r	29.52	69.06	-42.14	80.9	329	v68m
b75r	36.48	71.47	-3.69	71.57	357	m34o



Ein und Ausgabe: Farbmatisches Drucker-Reflektiv-System FRS09_92aM für relativen CIELAB-Bunton $h^* = lab^*h^* = h_{ab}/360 = 0.305$

Daten für jede Farbe:

lab^*ch^* und lab^*icu^*

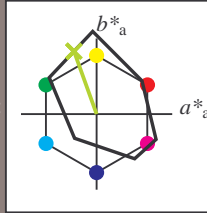
Buntontexte:

$u^*_e = j25g$ $u^*_d = y34l$

Kontrastreduzierungsfaktor:

$c_R = 1.0$

Dreiecks-Helligkeit t^*



FRS09_92aM; adaptierte CIELAB-Daten

u^*_e	$L^*=L^*_a$	a^*_a	b^*_a	$C^*_{ab,a}$	$h^*_{ab,a}$
O _{Ma}	35.06	60.0	44.0	74.4	36
Y _{Ma}	83.77	-5.17	109.32	109.44	93
L _{Ma}	44.13	-62.67	48.24	79.09	142
C _{Ma}	52.66	-29.14	-31.99	43.27	228
V _{Ma}	14.15	50.3	-59.04	77.57	310
M _{Ma}	37.37	78.64	-33.5	85.48	337
N _{Ma}	8.58	0.0	0.0	0.0	0
W _{Ma}	92.02	0.0	0.0	0.0	0
R _{Ma}	39.92	58.74	27.99	65.07	25
J _{Ma}	81.26	-2.89	71.56	71.62	92
G _{Ma}	52.23	-42.42	13.6	44.55	162
B _{Ma}	30.57	1.41	-46.47	46.49	272

Daten für Maximalfarbe (Ma):

$LAB^*LAB^*_{Ma}$: 67 -30 83

$LAB^*LCH^*_{Ma}$: 67 88 109

$lab^*rgb^*_{Ma}$: 0.75 1.0 0.0

$lab^*olv^*_{Ma}$: 0.66 1.0 0.0

Dreiecks-Helligkeit t^*

%Umfang

$u^*_{rel} = 109$

%Regularität

$g^*_{H,rel} = 31$

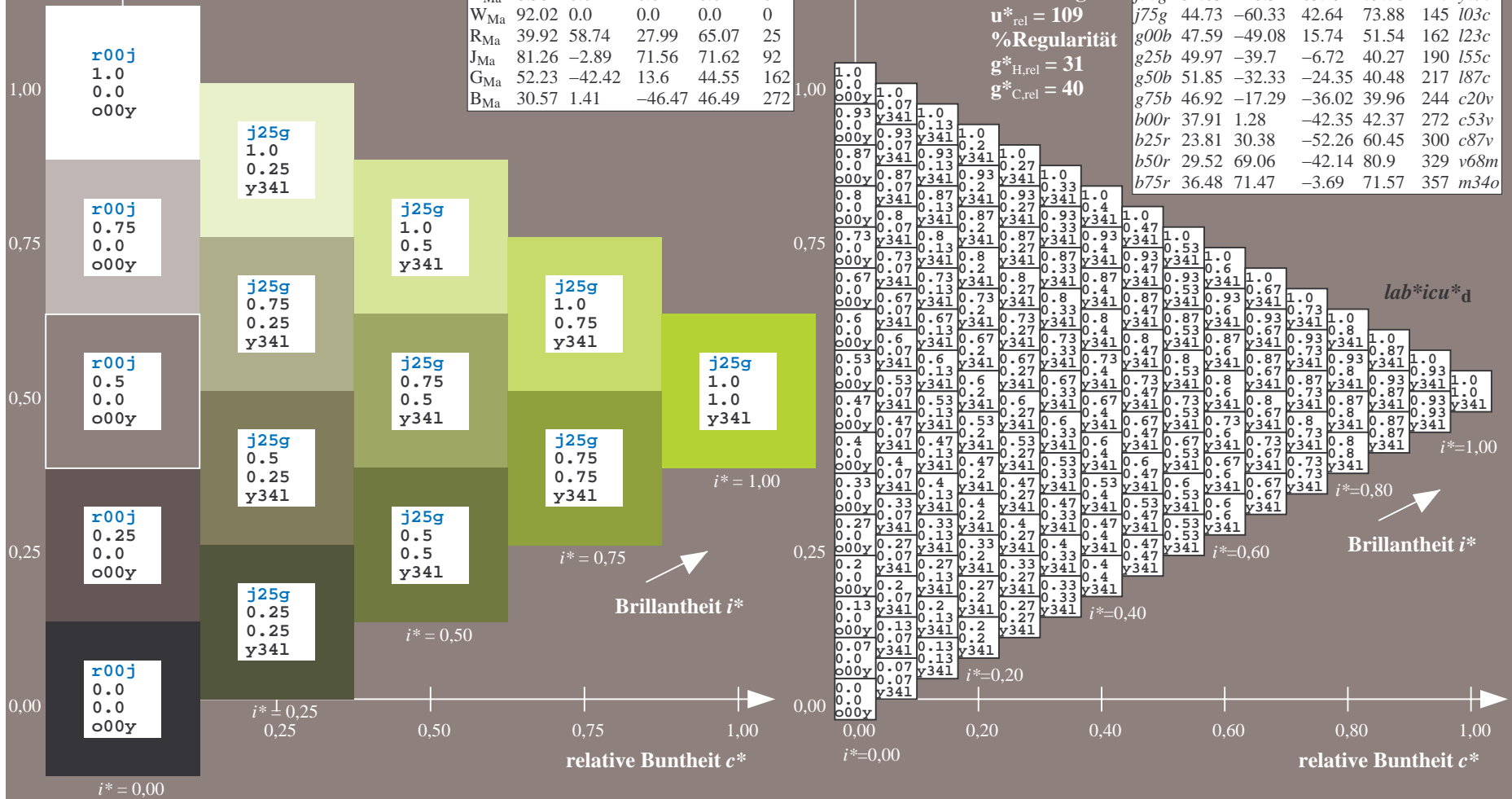
$g^*_{C,rel} = 40$

$u^*_e = j25g$

$lab^*icu^*_d$

FRS09_92aM; adaptierte CIELAB-Daten

u^*_e	$L^*=L^*_a$	a^*_a	b^*_a	$C^*_{ab,a}$	$h^*_{ab,a}$	u^*_d
r00j	35.47	63.32	30.17	70.15	25	m81o
r25j	39.12	54.56	49.45	73.64	42	o10y
r50j	50.64	39.15	64.89	75.79	59	o40y
r75j	64.01	21.26	82.83	85.52	76	o69y
j00g	83.18	-4.38	108.53	108.62	92	o98y
j25g	66.73	-29.89	83.06	88.28	110	y34l
j50g	54.03	-48.31	63.49	79.78	127	y69l
j75g	44.73	-60.33	42.64	73.88	145	l03c
g00b	47.59	-49.08	15.74	51.54	162	l23c
g25b	49.97	-39.7	-6.72	40.27	190	l55c
g50b	51.85	-32.33	-24.35	40.48	217	l87c
g75b	46.92	-17.29	-36.02	39.96	244	c20v
b00r	37.91	1.28	-42.35	42.37	272	c53v
b25r	23.81	30.38	-52.26	60.45	300	c87v
b50r	29.52	69.06	-42.14	80.9	329	v68m
b75r	36.48	71.47	-3.69	71.57	357	m34o



Ein und Ausgabe: Farbmatisches Drucker-Reflektiv-System FRS09_92aM für relativen CIELAB-Bunton $h^* = lab^*h^* = h_{ab}/360 = 0.354$

$u^*_e = j50g$
 $lab^*icu^*_d$

Daten für jede Farbe:

lab^*tch^* und lab^*icu^*

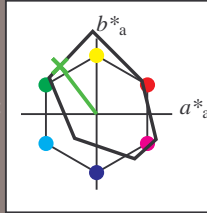
Buntontexte:

$u^*_e = j50g$ $u^*_d = y69l$

Kontrastreduzierungsfaktor:

$c_R = 1.0$

Dreiecks-Helligkeit t^*



FRS09_92aM; adaptierte CIELAB-Daten

u^*_e	$L^*=L^*_a$	a^*_a	b^*_a	$C^*_{ab,a}$	$h^*_{ab,a}$
O _{Ma}	35.06	60.0	44.0	74.4	36
Y _{Ma}	83.77	-5.17	109.32	109.44	93
L _{Ma}	44.13	-62.67	48.24	79.09	142
C _{Ma}	52.66	-29.14	-31.99	43.27	228
V _{Ma}	14.15	50.3	-59.04	77.57	310
M _{Ma}	37.37	78.64	-33.5	85.48	337
N _{Ma}	8.58	0.0	0.0	0.0	0
W _{Ma}	92.02	0.0	0.0	0.0	0
R _{Ma}	39.92	58.74	27.99	65.07	25
J _{Ma}	81.26	-2.89	71.56	71.62	92
G _{Ma}	52.23	-42.42	13.6	44.55	162
B _{Ma}	30.57	1.41	-46.47	46.49	272

Daten für Maximalfarbe (Ma):

$LAB^*LAB^*_{Ma}$: 54 -48 63

$LAB^*LCH^*_{Ma}$: 54 80 127

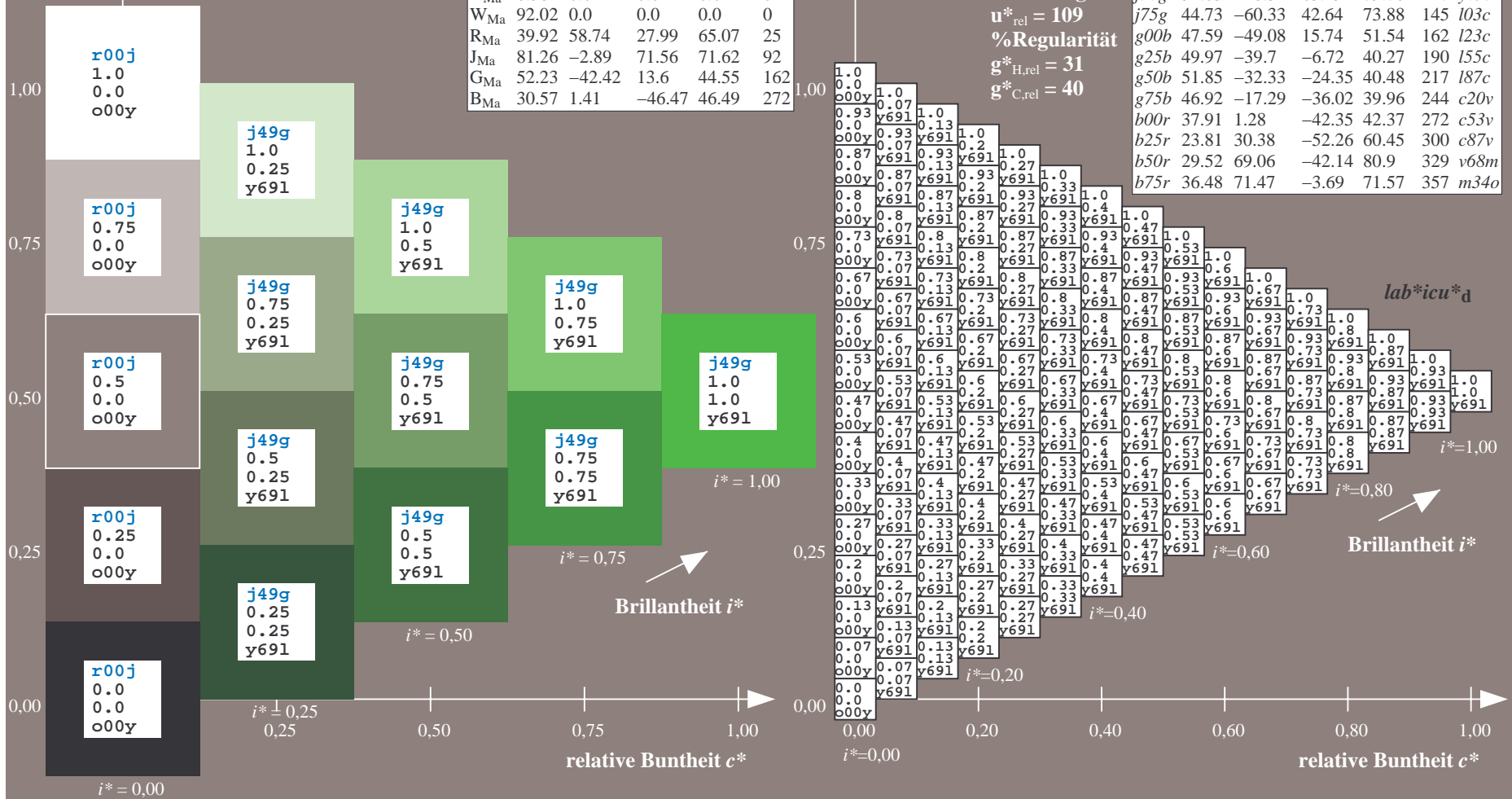
$lab^*rgb^*_{Ma}$: 0.5 1.0 0.0

$lab^*olv^*_{Ma}$: 0.3 1.0 0.0

Dreiecks-Helligkeit t^*

FRS09_92aM; adaptierte CIELAB-Daten

u^*_e	$L^*=L^*_a$	a^*_a	b^*_a	$C^*_{ab,a}$	$h^*_{ab,a}$	u^*_d
r00j	35.47	63.32	30.17	70.15	25	m81o
r25j	39.12	54.56	49.45	73.64	42	o10y
r50j	50.64	39.15	64.89	75.79	59	o40y
r75j	64.01	21.26	82.83	85.52	76	o69y
j00g	83.18	-4.38	108.53	108.62	92	o98y
j25g	66.73	-29.89	83.06	88.28	110	y34l
j50g	54.03	-48.31	63.49	79.78	127	y69l
j75g	44.73	-60.33	42.64	73.88	145	l03c
g00b	47.59	-49.08	15.74	51.54	162	l23c
g25b	49.97	-39.7	-6.72	40.27	190	l55c
g50b	51.85	-32.33	-24.35	40.48	217	l87c
g75b	46.92	-17.29	-36.02	39.96	244	c20v
b00r	37.91	1.28	-42.35	42.37	272	c53v
b25r	23.81	30.38	-52.26	60.45	300	c87v
b50r	29.52	69.06	-42.14	80.9	329	v68m
b75r	36.48	71.47	-3.69	71.57	357	m34o



Ein und Ausgabe: Farbmatisches Drucker-Reflektiv-System FRS09_92aM für relativen CIELAB-Bunton $h^* = lab^*h^* = h_{ab}/360 = 0.402$

Daten für jede Farbe:

lab^*ch^* und lab^*icu^*

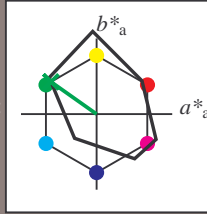
Buntontexte:

$u^*_e = j75g$ $u^*_d = l03c$

Kontrastreduzierungsfaktor:

$c_R = 1.0$

Dreiecks-Helligkeit t^*



FRS09_92aM; adaptierte CIELAB-Daten

u^*_e	$L^*=L^*_a$	a^*_a	b^*_a	$C^*_{ab,a}$	$h^*_{ab,a}$
O _{Ma}	35.06	60.0	44.0	74.4	36
Y _{Ma}	83.77	-5.17	109.32	109.44	93
L _{Ma}	44.13	-62.67	48.24	79.09	142
C _{Ma}	52.66	-29.14	-31.99	43.27	228
V _{Ma}	14.15	50.3	-59.04	77.57	310
M _{Ma}	37.37	78.64	-33.5	85.48	337
N _{Ma}	8.58	0.0	0.0	0.0	0
W _{Ma}	92.02	0.0	0.0	0.0	0
R _{Ma}	39.92	58.74	27.99	65.07	25
J _{Ma}	81.26	-2.89	71.56	71.62	92
G _{Ma}	52.23	-42.42	13.6	44.55	162
B _{Ma}	30.57	1.41	-46.47	46.49	272

Daten für Maximalfarbe (Ma):

$LAB^*LAB^*_{Ma}$: 45 -60 43

$LAB^*LCH^*_{Ma}$: 45 74 144

$lab^*rgb^*_{Ma}$: 0.25 1.0 0.0

$lab^*olv^*_{Ma}$: 0.0 1.0 0.03

Dreiecks-Helligkeit t^*

%Umfang

$u^*_{rel} = 109$

%Regularität

$g^*_{H,rel} = 31$

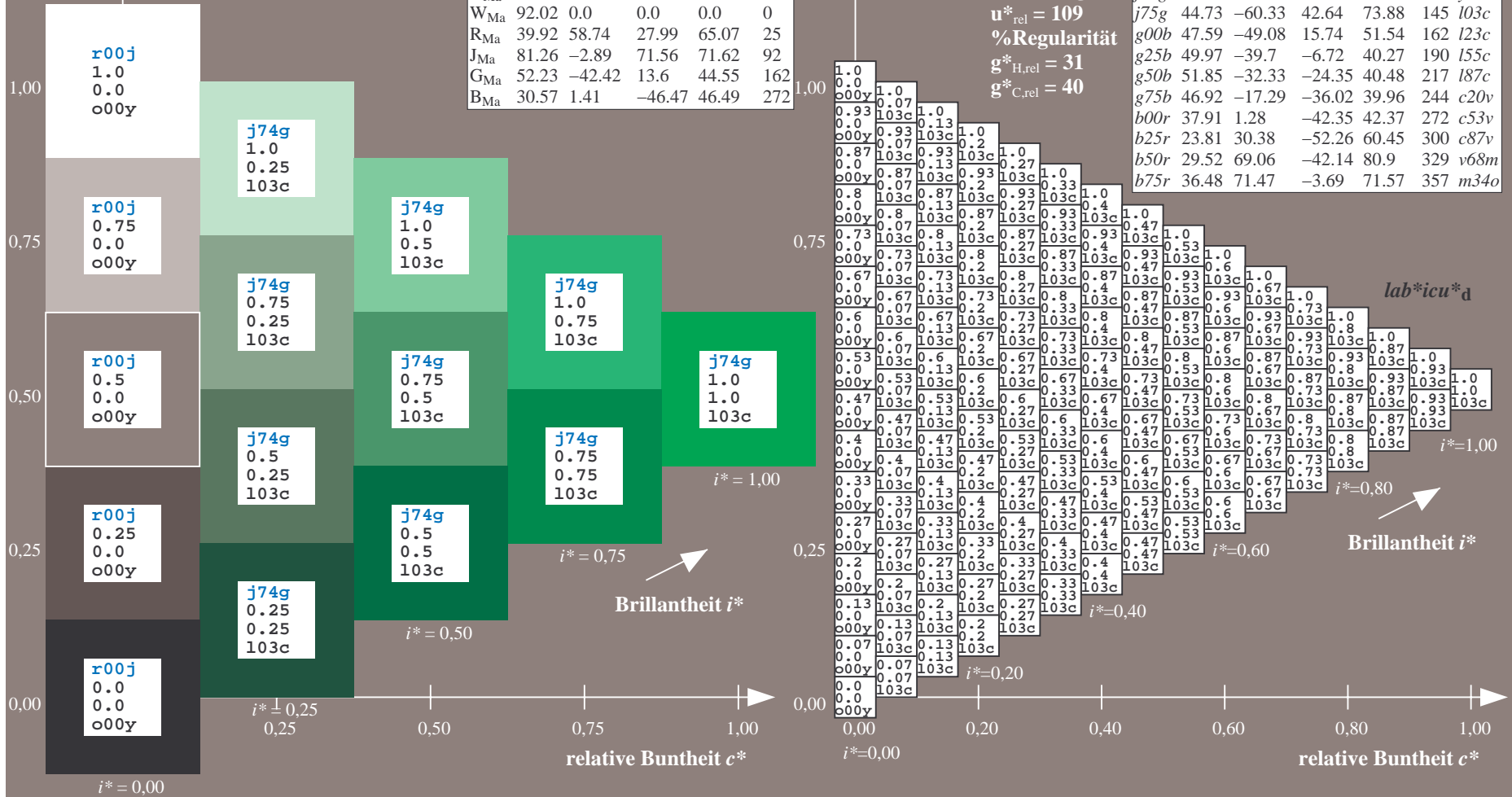
$g^*_{C,rel} = 40$

$u^*_e = j75g$

$lab^*icu^*_d$

FRS09_92aM; adaptierte CIELAB-Daten

u^*_e	$L^*=L^*_a$	a^*_a	b^*_a	$C^*_{ab,a}$	$h^*_{ab,a}$	u^*_d
r00j	35.47	63.32	30.17	70.15	25	m81o
r25j	39.12	54.56	49.45	73.64	42	o10y
r50j	50.64	39.15	64.89	75.79	59	o40y
r75j	64.01	21.26	82.83	85.52	76	o69y
j00g	83.18	-4.38	108.53	108.62	92	o98y
j25g	66.73	-29.89	83.06	88.28	110	y34l
j50g	54.03	-48.31	63.49	79.78	127	y69l
j75g	44.73	-60.33	42.64	73.88	145	l03c
g00b	47.59	-49.08	15.74	51.54	162	l23c
g25b	49.97	-39.7	-6.72	40.27	190	l55c
g50b	51.85	-32.33	-24.35	40.48	217	l87c
g75b	46.92	-17.29	-36.02	39.96	244	c20v
b00r	37.91	1.28	-42.35	42.37	272	c53v
b25r	23.81	30.38	-52.26	60.45	300	c87v
b50r	29.52	69.06	-42.14	80.9	329	v68m
b75r	36.48	71.47	-3.69	71.57	357	m34o



Ein und Ausgabe: Farbmatisches Drucker-Reflektiv-System FRS09_92aM für relativen CIELAB-Bunton $h^* = lab^*h^* = h_{ab}/360 = 0.451$

$u^*_e = g00b$
 $lab^*icu^*_d$

Daten für jede Farbe:

lab^*tch^* und lab^*icu^*

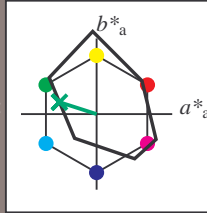
Buntontexte:

$u^*_e = g00b$ $u^*_d = l23c$

Kontrastreduzierungsfaktor:

$c_R = 1.0$

Dreiecks-Helligkeit t^*



FRS09_92aM; adaptierte CIELAB-Daten

u^*_e	$L^*=L^*_a$	a^*_a	b^*_a	$C^*_{ab,a}$	$h^*_{ab,a}$
O _{Ma}	35.06	60.0	44.0	74.4	36
Y _{Ma}	83.77	-5.17	109.32	109.44	93
L _{Ma}	44.13	-62.67	48.24	79.09	142
C _{Ma}	52.66	-29.14	-31.99	43.27	228
V _{Ma}	14.15	50.3	-59.04	77.57	310
M _{Ma}	37.37	78.64	-33.5	85.48	337
N _{Ma}	8.58	0.0	0.0	0.0	0
W _{Ma}	92.02	0.0	0.0	0.0	0
R _{Ma}	39.92	58.74	27.99	65.07	25
J _{Ma}	81.26	-2.89	71.56	71.62	92
G _{Ma}	52.23	-42.42	13.6	44.55	162
B _{Ma}	30.57	1.41	-46.47	46.49	272

Daten für Maximalfarbe (Ma):

$LAB^*LAB^*_{Ma}$: 48 -49 16

$LAB^*LCH^*_{Ma}$: 48 52 162

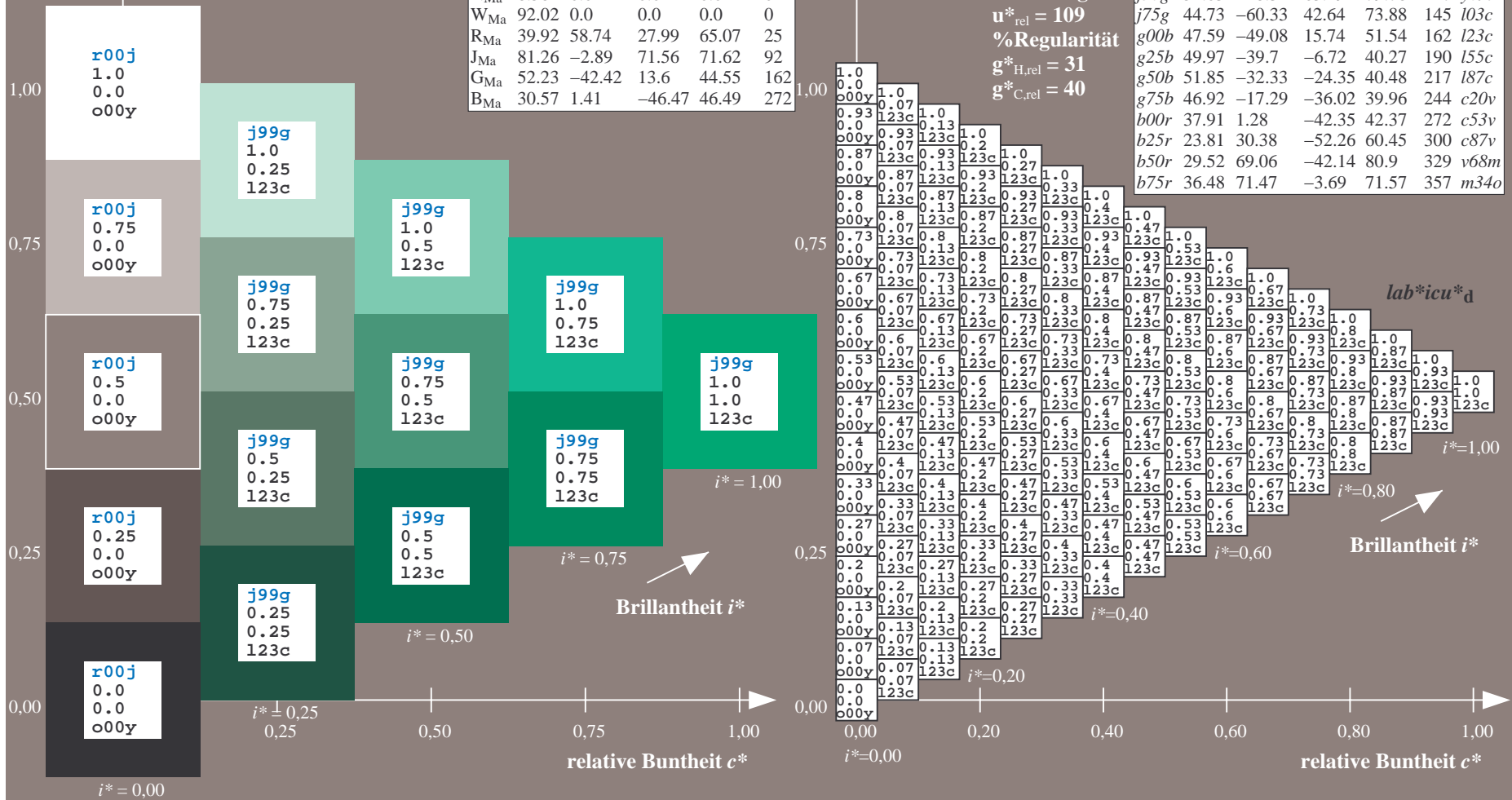
$lab^*rgb^*_{Ma}$: 0.0 1.0 0.0

$lab^*olv^*_{Ma}$: 0.0 1.0 0.23

Dreiecks-Helligkeit t^*

FRS09_92aM; adaptierte CIELAB-Daten

u^*_e	$L^*=L^*_a$	a^*_a	b^*_a	$C^*_{ab,a}$	$h^*_{ab,a}$	u^*_d
r00j	35.47	63.32	30.17	70.15	25	m81o
r25j	39.12	54.56	49.45	73.64	42	o10y
r50j	50.64	39.15	64.89	75.79	59	o40y
r75j	64.01	21.26	82.83	85.52	76	o69y
j00g	83.18	-4.38	108.53	108.62	92	o98y
j25g	66.73	-29.89	83.06	88.28	110	y34l
j50g	54.03	-48.31	63.49	79.78	127	y69l
j75g	44.73	-60.33	42.64	73.88	145	l03c
g00b	47.59	-49.08	15.74	51.54	162	l23c
g25b	49.97	-39.7	-6.72	40.27	190	l55c
g50b	51.85	-32.33	-24.35	40.48	217	l87c
g75b	46.92	-17.29	-36.02	39.96	244	c20v
b00r	37.91	1.28	-42.35	42.37	272	c53v
b25r	23.81	30.38	-52.26	60.45	300	c87v
b50r	29.52	69.06	-42.14	80.9	329	v68m
b75r	36.48	71.47	-3.69	71.57	357	m34o



%Umfang
 $u^*_{rel} = 109$
%Regularität
 $g^*_{H,rel} = 31$
 $g^*_{C,rel} = 40$

Brillanz i^*

Brillanz i^*

Brillanz i^*

Brillanz i^*

Ein und Ausgabe: Farbmetrisches Drucker-Reflektiv-System FRS09_92aM für relativen CIELAB-Bunton $h^* = lab^*h^* = h_{ab}/360 = 0.527$

Daten für jede Farbe:

lab^*ch^* und lab^*icu^*

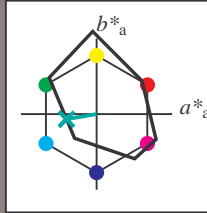
Buntontexte:

$u^*_e = g25b$ $u^*_d = l55c$

Kontrastreduzierungsfaktor:

$c_R = 1.0$

Dreiecks-Helligkeit t^*



FRS09_92aM; adaptierte CIELAB-Daten

u^*_e	$L^*=L^*_a$	a^*_a	b^*_a	$C^*_{ab,a}$	$h^*_{ab,a}$
O _{Ma}	35.06	60.0	44.0	74.4	36
Y _{Ma}	83.77	-5.17	109.32	109.44	93
L _{Ma}	44.13	-62.67	48.24	79.09	142
C _{Ma}	52.66	-29.14	-31.99	43.27	228
V _{Ma}	14.15	50.3	-59.04	77.57	310
M _{Ma}	37.37	78.64	-33.5	85.48	337
N _{Ma}	8.58	0.0	0.0	0.0	0
W _{Ma}	92.02	0.0	0.0	0.0	0
R _{Ma}	39.92	58.74	27.99	65.07	25
J _{Ma}	81.26	-2.89	71.56	71.62	92
G _{Ma}	52.23	-42.42	13.6	44.55	162
B _{Ma}	30.57	1.41	-46.47	46.49	272

Daten für Maximalfarbe (Ma):

$LAB^*LAB^*_{Ma}: 50 -40 -7$

$LAB^*LCH^*_{Ma}: 50 40 189$

$lab^*rgb^*_{Ma}: 0.0 1.0 0.5$

$lab^*olv^*_{Ma}: 0.0 1.0 0.55$

Dreiecks-Helligkeit t^*

%Umfang

$u^*_{rel} = 109$

%Regularität

$g^*_{H,rel} = 31$

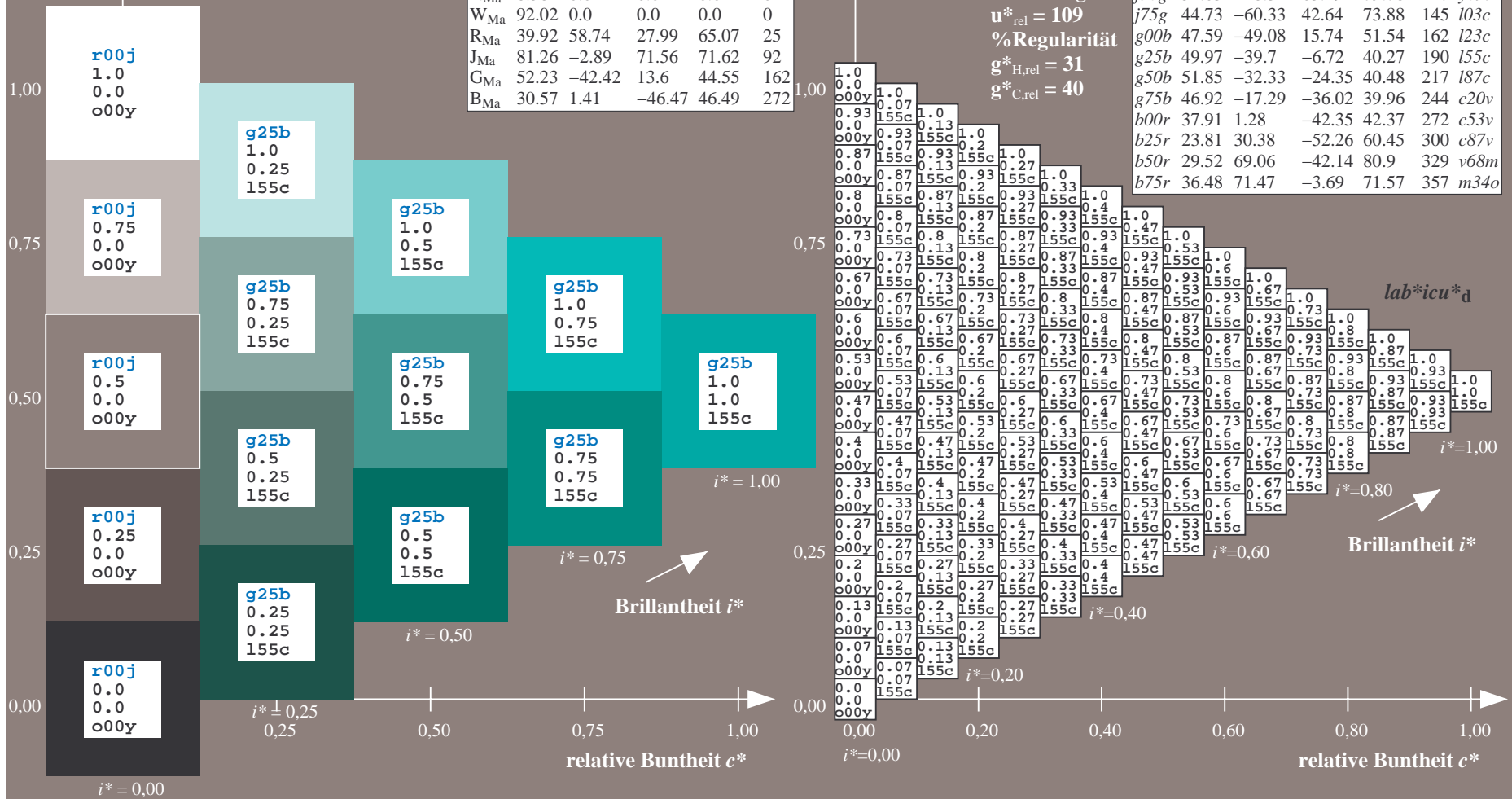
$g^*_{C,rel} = 40$

$u^*_e = g25b$

$lab^*icu^*_d$

FRS09_92aM; adaptierte CIELAB-Daten

u^*_e	$L^*=L^*_a$	a^*_a	b^*_a	$C^*_{ab,a}$	$h^*_{ab,a}$	u^*_d
r00j	35.47	63.32	30.17	70.15	25	m81o
r25j	39.12	54.56	49.45	73.64	42	o10y
r50j	50.64	39.15	64.89	75.79	59	o40y
r75j	64.01	21.26	82.83	85.52	76	o69y
j00g	83.18	-4.38	108.53	108.62	92	o98y
j25g	66.73	-29.89	83.06	88.28	110	y34l
j50g	54.03	-48.31	63.49	79.78	127	y69l
j75g	44.73	-60.33	42.64	73.88	145	l03c
g00b	47.59	-49.08	15.74	51.54	162	l23c
g25b	49.97	-39.7	-6.72	40.27	190	l55c
g50b	51.85	-32.33	-24.35	40.48	217	l87c
g75b	46.92	-17.29	-36.02	39.96	244	c20v
b00r	37.91	1.28	-42.35	42.37	272	c53v
b25r	23.81	30.38	-52.26	60.45	300	c87v
b50r	29.52	69.06	-42.14	80.9	329	v68m
b75r	36.48	71.47	-3.69	71.57	357	m34o



Ein und Ausgabe: Farbmatisches Drucker-Reflektiv-System FRS09_92aM für relativen CIELAB-Bunton $h^* = lab^*h^* = h_{ab}/360 = 0.603$

Daten für jede Farbe:

lab^*ch^* und lab^*icu^*

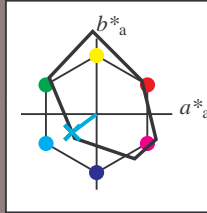
Buntontexte:

$u^*_e = g50b$ $u^*_d = l87c$

Kontrastreduzierungsfaktor:

$c_R = 1.0$

Dreiecks-Helligkeit t^*



FRS09_92aM; adaptierte CIELAB-Daten

u^*_e	$L^*=L^*_a$	a^*_a	b^*_a	$C^*_{ab,a}$	$h^*_{ab,a}$
O _{Ma}	35.06	60.0	44.0	74.4	36
Y _{Ma}	83.77	-5.17	109.32	109.44	93
L _{Ma}	44.13	-62.67	48.24	79.09	142
C _{Ma}	52.66	-29.14	-31.99	43.27	228
V _{Ma}	14.15	50.3	-59.04	77.57	310
M _{Ma}	37.37	78.64	-33.5	85.48	337
N _{Ma}	8.58	0.0	0.0	0.0	0
W _{Ma}	92.02	0.0	0.0	0.0	0
R _{Ma}	39.92	58.74	27.99	65.07	25
J _{Ma}	81.26	-2.89	71.56	71.62	92
G _{Ma}	52.23	-42.42	13.6	44.55	162
B _{Ma}	30.57	1.41	-46.47	46.49	272

Daten für Maximalfarbe (Ma):

$LAB^*LAB^*_{Ma}$: 52 -32 -24

$LAB^*LCH^*_{Ma}$: 52 40 216

$lab^*rgb^*_{Ma}$: 0.0 1.0 1.0

$lab^*olv^*_{Ma}$: 0.0 1.0 0.87

Dreiecks-Helligkeit t^*

%Umfang

$u^*_{rel} = 109$

%Regularität

$g^*_{H,rel} = 31$

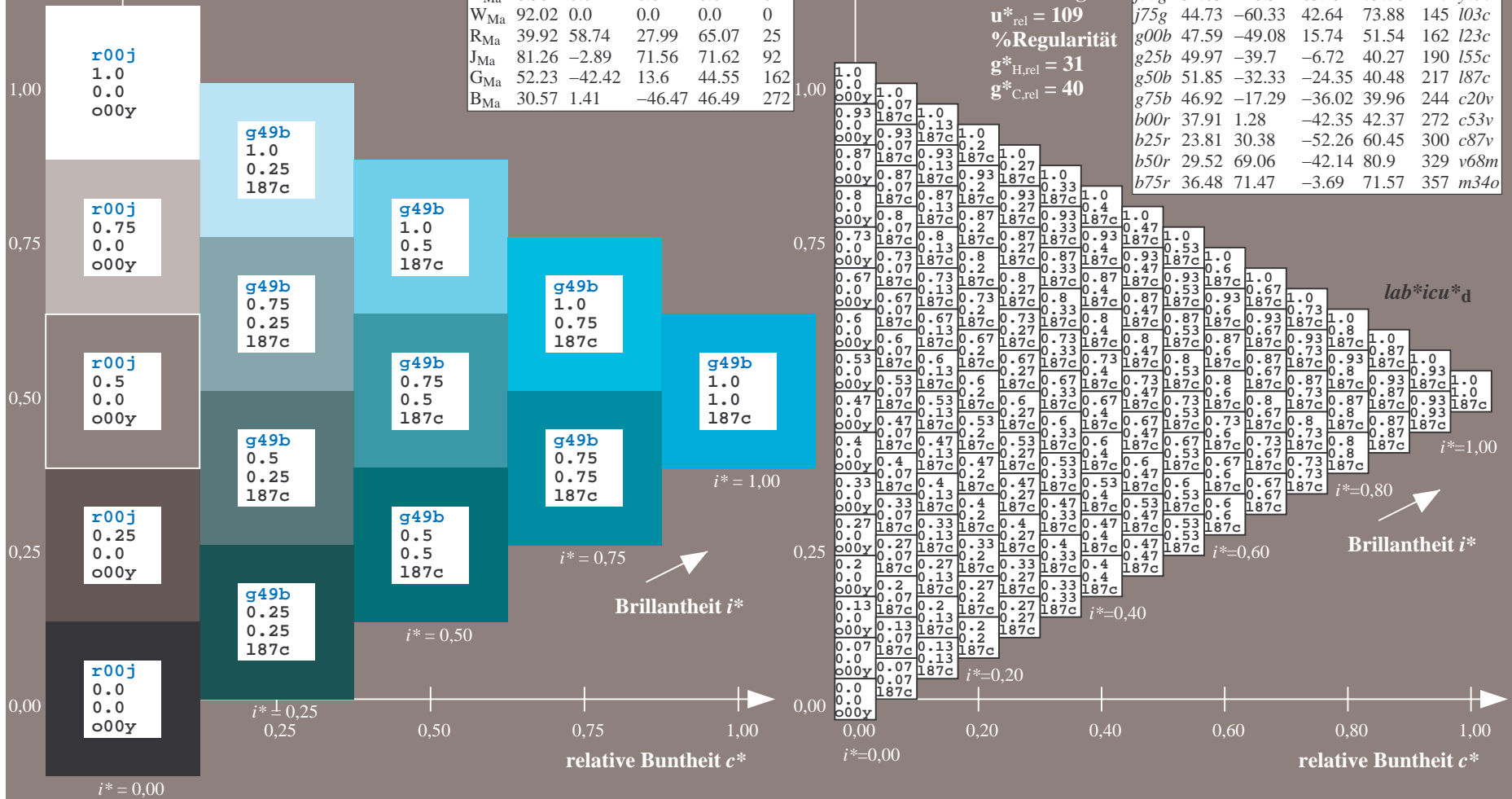
$g^*_{C,rel} = 40$

$u^*_e = g50b$

$lab^*icu^*_d$

FRS09_92aM; adaptierte CIELAB-Daten

u^*_e	$L^*=L^*_a$	a^*_a	b^*_a	$C^*_{ab,a}$	$h^*_{ab,a}$	u^*_d
r00j	35.47	63.32	30.17	70.15	25	m81o
r25j	39.12	54.56	49.45	73.64	42	o10y
r50j	50.64	39.15	64.89	75.79	59	o40y
r75j	64.01	21.26	82.83	85.52	76	o69y
j00g	83.18	-4.38	108.53	108.62	92	o98y
j25g	66.73	-29.89	83.06	88.28	110	y34l
j50g	54.03	-48.31	63.49	79.78	127	y69l
j75g	44.73	-60.33	42.64	73.88	145	l03c
g00b	47.59	-49.08	15.74	51.54	162	l23c
g25b	49.97	-39.7	-6.72	40.27	190	l55c
g50b	51.85	-32.33	-24.35	40.48	217	l87c
g75b	46.92	-17.29	-36.02	39.96	244	c20v
b00r	37.91	1.28	-42.35	42.37	272	c53v
b25r	23.81	30.38	-52.26	60.45	300	c87v
b50r	29.52	69.06	-42.14	80.9	329	v68m
b75r	36.48	71.47	-3.69	71.57	357	m34o



Ein und Ausgabe: Farbmatisches Drucker-Reflektiv-System FRS09_92aM für relativen CIELAB-Bunton $h^* = lab^*h^* = h_{ab}/360 = 0.679$

Daten für jede Farbe:

lab^*ch^* und lab^*icu^*

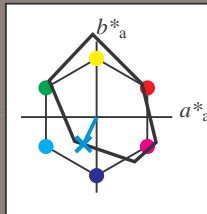
Buntontexte:

$u^*_e = g75b$ $u^*_d = c20v$

Kontrastreduzierungsfaktor:

$c_R = 1.0$

Dreiecks-Helligkeit t^*



FRS09_92aM; adaptierte CIELAB-Daten

u^*_e	$L^*=L^*_a$	a^*_a	b^*_a	$C^*_{ab,a}$	$h^*_{ab,a}$
O _{Ma}	35.06	60.0	44.0	74.4	36
Y _{Ma}	83.77	-5.17	109.32	109.44	93
L _{Ma}	44.13	-62.67	48.24	79.09	142
C _{Ma}	52.66	-29.14	-31.99	43.27	228
V _{Ma}	14.15	50.3	-59.04	77.57	310
M _{Ma}	37.37	78.64	-33.5	85.48	337
N _{Ma}	8.58	0.0	0.0	0.0	0
W _{Ma}	92.02	0.0	0.0	0.0	0
R _{Ma}	39.92	58.74	27.99	65.07	25
J _{Ma}	81.26	-2.89	71.56	71.62	92
G _{Ma}	52.23	-42.42	13.6	44.55	162
B _{Ma}	30.57	1.41	-46.47	46.49	272

Daten für Maximalfarbe (Ma):

$LAB^*LAB^*_{Ma}$: 47 -17 -36

$LAB^*LCH^*_{Ma}$: 47 40 244

$lab^*rgb^*_{Ma}$: 0.0 0.5 1.0

$lab^*olv^*_{Ma}$: 0.0 0.8 1.0

Dreiecks-Helligkeit t^*

%Umfang

$u^*_{rel} = 109$

%Regularität

$g^*_{H,rel} = 31$

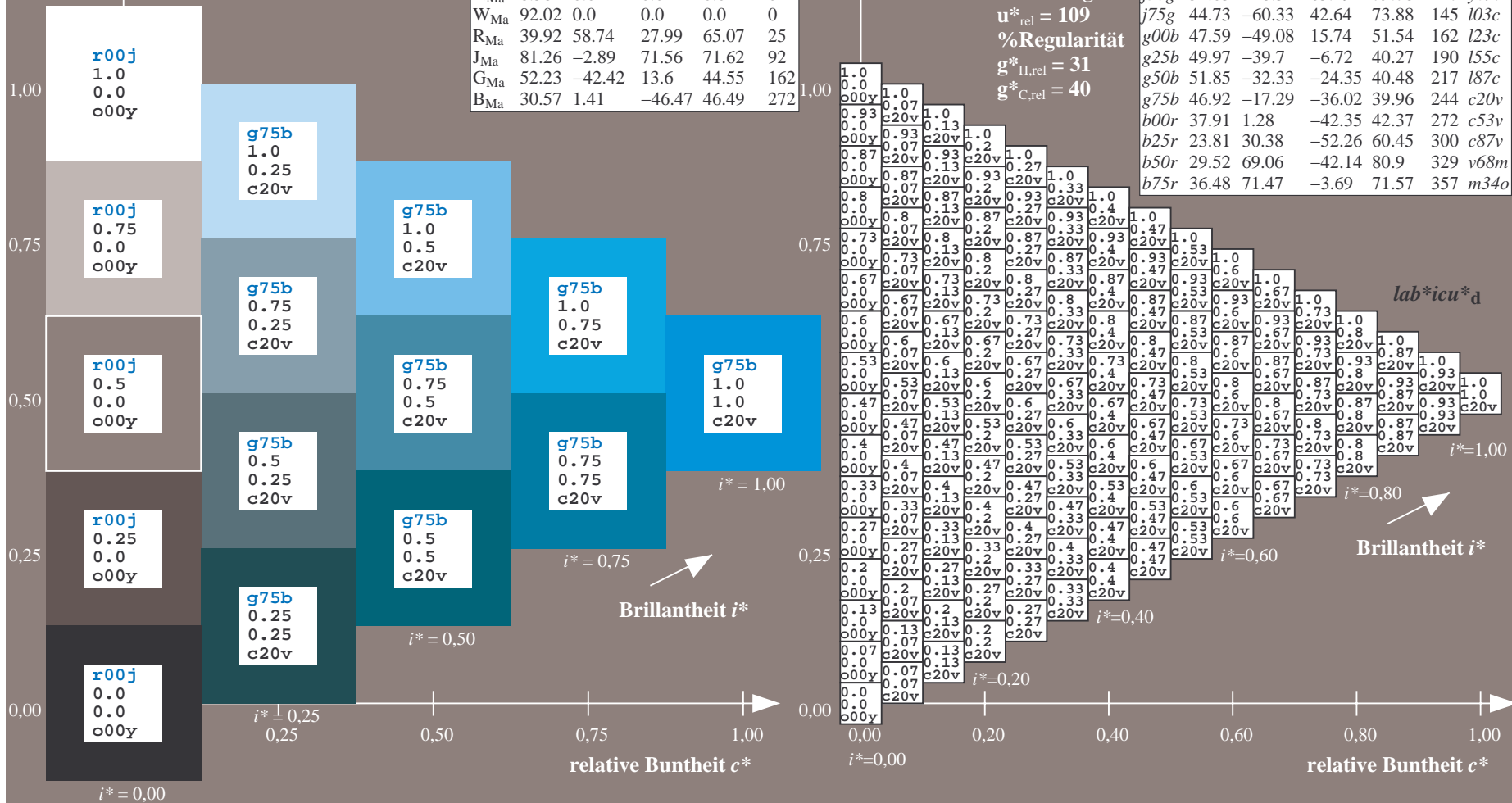
$g^*_{C,rel} = 40$

$u^*_e = g75b$

$lab^*icu^*_d$

FRS09_92aM; adaptierte CIELAB-Daten

u^*_e	$L^*=L^*_a$	a^*_a	b^*_a	$C^*_{ab,a}$	$h^*_{ab,a}$	u^*_d
r00j	35.47	63.32	30.17	70.15	25	m81o
r25j	39.12	54.56	49.45	73.64	42	o10y
r50j	50.64	39.15	64.89	75.79	59	o40y
r75j	64.01	21.26	82.83	85.52	76	o69y
j00g	83.18	-4.38	108.53	108.62	92	o98y
j25g	66.73	-29.89	83.06	88.28	110	y34l
j50g	54.03	-48.31	63.49	79.78	127	y69l
j75g	44.73	-60.33	42.64	73.88	145	l03c
g00b	47.59	-49.08	15.74	51.54	162	l23c
g25b	49.97	-39.7	-6.72	40.27	190	l55c
g50b	51.85	-32.33	-24.35	40.48	217	l87c
g75b	46.92	-17.29	-36.02	39.96	244	c20v
b00r	37.91	1.28	-42.35	42.37	272	c53v
b25r	23.81	30.38	-52.26	60.45	300	c87v
b50r	29.52	69.06	-42.14	80.9	329	v68m
b75r	36.48	71.47	-3.69	71.57	357	m34o



Ein und Ausgabe: Farbmatisches Drucker-Reflektiv-System FRS09_92aM für relativen CIELAB-Bunton $h^* = lab^*h^* = h_{ab}/360 = 0.755$

Daten für jede Farbe:

lab^*ch^* und lab^*icu^*

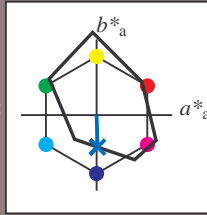
Buntontexte:

$u^*_e = b00r$ $u^*_d = c53v$

Kontrastreduzierungsfaktor:

$c_R = 1.0$

Dreiecks-Helligkeit t^*



FRS09_92aM; adaptierte CIELAB-Daten

u^*_e	$L^*=L^*_a$	a^*_a	b^*_a	$C^*_{ab,a}$	$h^*_{ab,a}$
O _{Ma}	35.06	60.0	44.0	74.4	36
Y _{Ma}	83.77	-5.17	109.32	109.44	93
L _{Ma}	44.13	-62.67	48.24	79.09	142
C _{Ma}	52.66	-29.14	-31.99	43.27	228
V _{Ma}	14.15	50.3	-59.04	77.57	310
M _{Ma}	37.37	78.64	-33.5	85.48	337
N _{Ma}	8.58	0.0	0.0	0.0	0
W _{Ma}	92.02	0.0	0.0	0.0	0
R _{Ma}	39.92	58.74	27.99	65.07	25
J _{Ma}	81.26	-2.89	71.56	71.62	92
G _{Ma}	52.23	-42.42	13.6	44.55	162
B _{Ma}	30.57	1.41	-46.47	46.49	272

Daten für Maximalfarbe (Ma):

$LAB^*LAB^*_{Ma}$: 38 1 -42

$LAB^*LCH^*_{Ma}$: 38 42 271

$lab^*rgb^*_{Ma}$: 0.0 0.0 1.0

$lab^*olv^*_{Ma}$: 0.0 0.47 1.0

Dreiecks-Helligkeit t^*

%Umfang

$u^*_{rel} = 109$

%Regularität

$g^*_{H,rel} = 31$

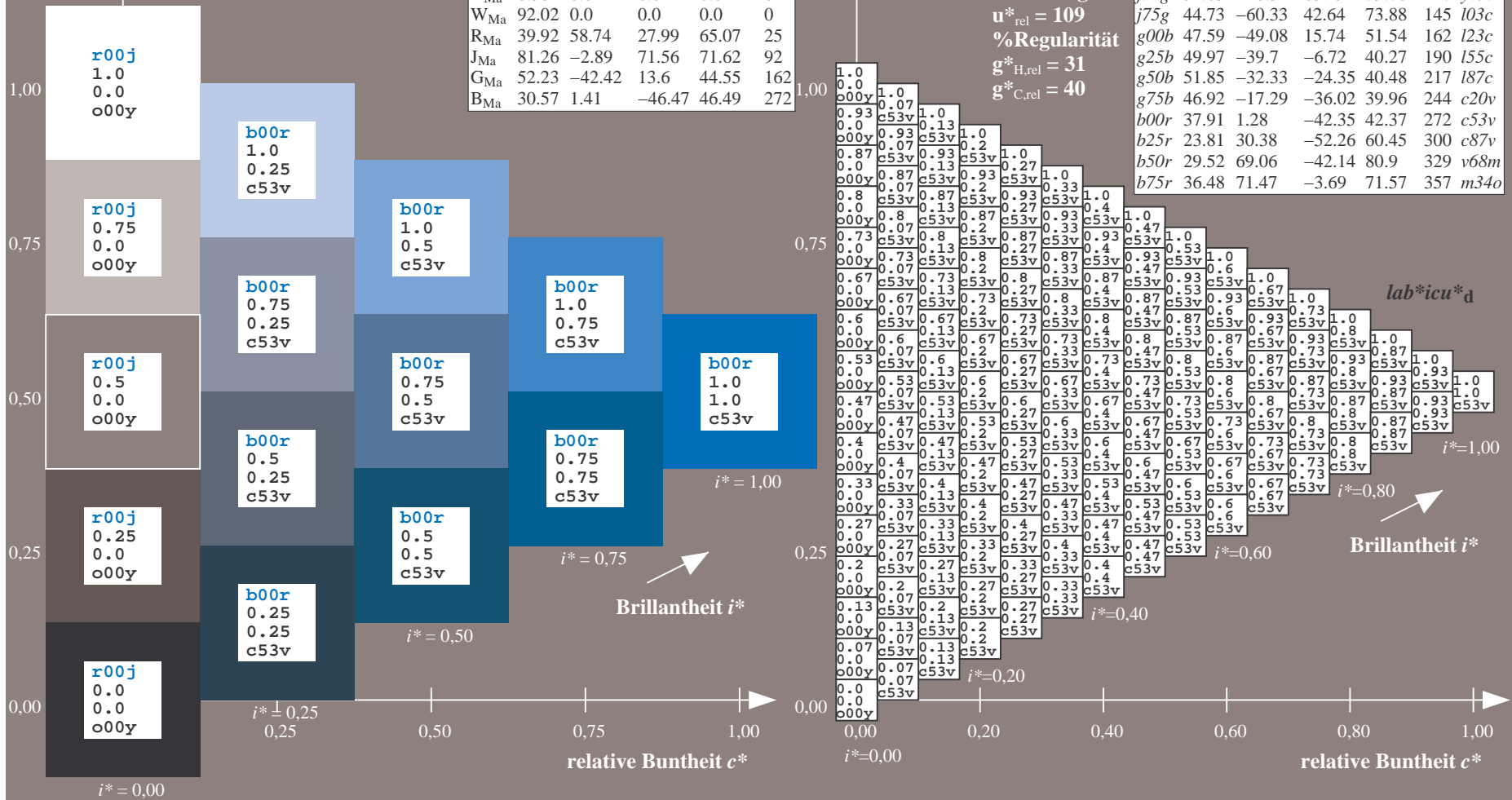
$g^*_{C,rel} = 40$

$u^*_e = b00r$

$lab^*icu^*_d$

FRS09_92aM; adaptierte CIELAB-Daten

u^*_e	$L^*=L^*_a$	a^*_a	b^*_a	$C^*_{ab,a}$	$h^*_{ab,a}$	u^*_d
r00j	35.47	63.32	30.17	70.15	25	m81o
r25j	39.12	54.56	49.45	73.64	42	o10y
r50j	50.64	39.15	64.89	75.79	59	o40y
r75j	64.01	21.26	82.83	85.52	76	o69y
j00g	83.18	-4.38	108.53	108.62	92	o98y
j25g	66.73	-29.89	83.06	88.28	110	y34l
j50g	54.03	-48.31	63.49	79.78	127	y69l
j75g	44.73	-60.33	42.64	73.88	145	i03c
g00b	47.59	-49.08	15.74	51.54	162	l23c
g25b	49.97	-39.7	-6.72	40.27	190	i55c
g50b	51.85	-32.33	-24.35	40.48	217	i87c
g75b	46.92	-17.29	-36.02	39.96	244	c20v
b00r	37.91	1.28	-42.35	42.37	272	c53v
b25r	23.81	30.38	-52.26	60.45	300	c87v
b50r	29.52	69.06	-42.14	80.9	329	v68m
b75r	36.48	71.47	-3.69	71.57	357	m34o



Ein und Ausgabe: Farbmatisches Drucker-Reflektiv-System FRS09_92aM für relativen CIELAB-Bunton $h^* = lab^*h^* = h_{ab}/360 = 0.834$

$u^*_e = b25r$

Daten für jede Farbe:

lab^*ch^* und lab^*icu^*

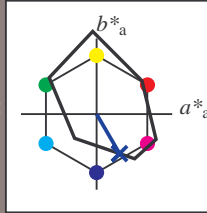
Buntontexte:

$u^*_e = b25r$ $u^*_d = c87v$

Kontrastreduzierungsfaktor:

$c_R = 1.0$

Dreiecks-Helligkeit t^*



FRS09_92aM; adaptierte CIELAB-Daten

u^*_e	$L^*=L^*_a$	a^*_a	b^*_a	$C^*_{ab,a}$	$h^*_{ab,a}$
O _{Ma}	35.06	60.0	44.0	74.4	36
Y _{Ma}	83.77	-5.17	109.32	109.44	93
L _{Ma}	44.13	-62.67	48.24	79.09	142
C _{Ma}	52.66	-29.14	-31.99	43.27	228
V _{Ma}	14.15	50.3	-59.04	77.57	310
M _{Ma}	37.37	78.64	-33.5	85.48	337
N _{Ma}	8.58	0.0	0.0	0.0	0
W _{Ma}	92.02	0.0	0.0	0.0	0
R _{Ma}	39.92	58.74	27.99	65.07	25
J _{Ma}	81.26	-2.89	71.56	71.62	92
G _{Ma}	52.23	-42.42	13.6	44.55	162
B _{Ma}	30.57	1.41	-46.47	46.49	272

Daten für Maximalfarbe (Ma):

$LAB^*LAB^*_{Ma}$: 24 30 -52

$LAB^*LCH^*_{Ma}$: 24 60 300

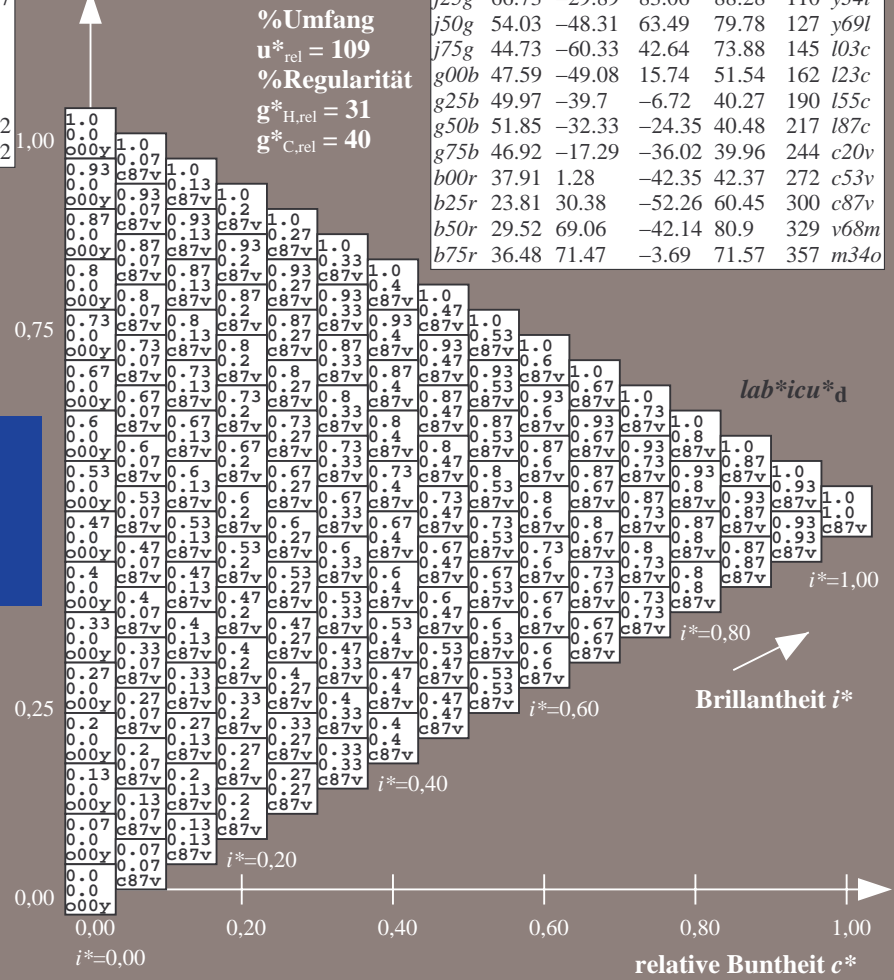
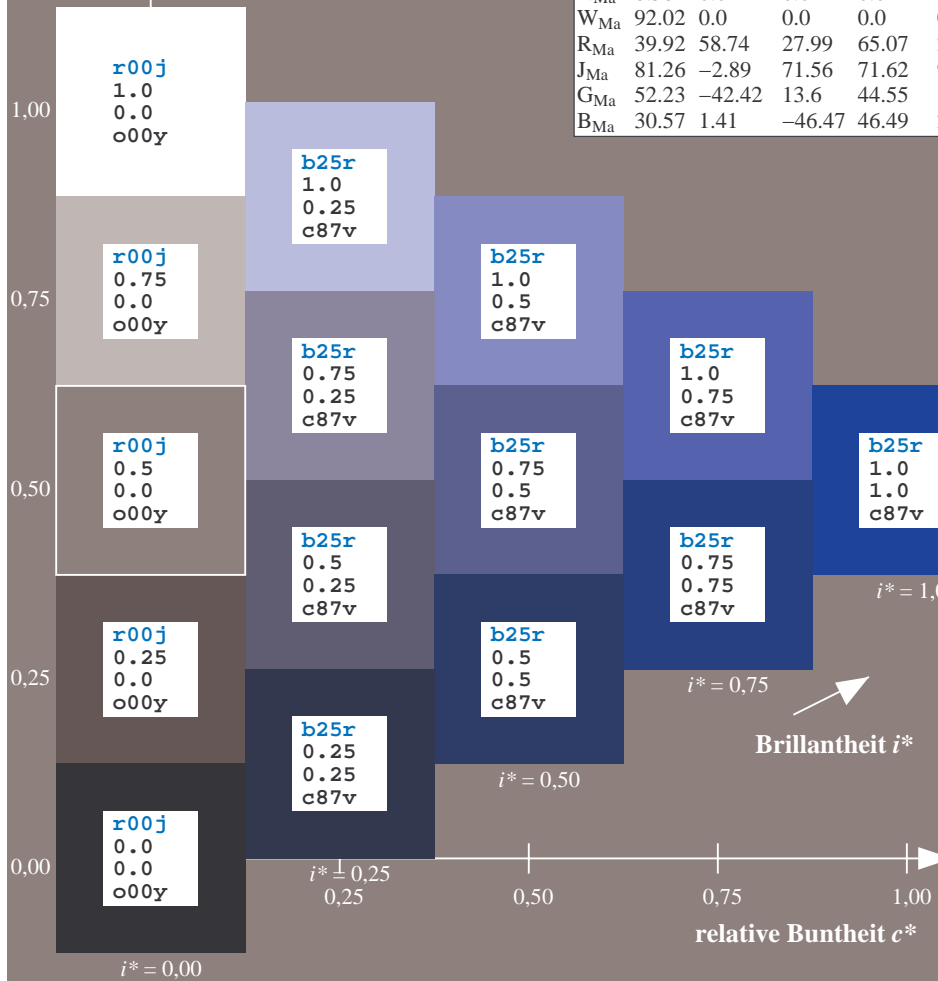
$lab^*rgb^*_{Ma}$: 0.5 0.0 1.0

$lab^*olv^*_{Ma}$: 0.0 0.12 1.0

Dreiecks-Helligkeit t^*

FRS09_92aM; adaptierte CIELAB-Daten

u^*_e	$L^*=L^*_a$	a^*_a	b^*_a	$C^*_{ab,a}$	$h^*_{ab,a}$	u^*_d
r00j	35.47	63.32	30.17	70.15	25	m81o
r25j	39.12	54.56	49.45	73.64	42	o10y
r50j	50.64	39.15	64.89	75.79	59	o40y
r75j	64.01	21.26	82.83	85.52	76	o69y
j00g	83.18	-4.38	108.53	108.62	92	o98y
j25g	66.73	-29.89	83.06	88.28	110	y34l
j50g	54.03	-48.31	63.49	79.78	127	y69l
j75g	44.73	-60.33	42.64	73.88	145	l03c
g00b	47.59	-49.08	15.74	51.54	162	l23c
g25b	49.97	-39.7	-6.72	40.27	190	l55c
g50b	51.85	-32.33	-24.35	40.48	217	l87c
g75b	46.92	-17.29	-36.02	39.96	244	c20v
b00r	37.91	1.28	-42.35	42.37	272	c53v
b25r	23.81	30.38	-52.26	60.45	300	c87v
b50r	29.52	69.06	-42.14	80.9	329	v68m
b75r	36.48	71.47	-3.69	71.57	357	m34o



Ein und Ausgabe: Farbmatisches Drucker-Reflektiv-System FRS09_92aM für relativen CIELAB-Bunton $h^* = lab^*h^* = h_{ab}/360 = 0.913$

$u^*_e = b50r$

Daten für jede Farbe:

lab^*ch^* und lab^*icu^*

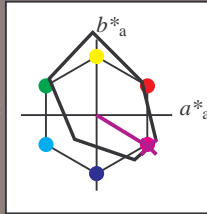
Buntontexte:

$u^*_e = b50r$ $u^*_d = v68m$

Kontrastreduzierungsfaktor:

$c_R = 1.0$

Dreiecks-Helligkeit t^*



FRS09_92aM; adaptierte CIELAB-Daten

u^*_e	$L^*=L^*_a$	a^*_a	b^*_a	$C^*_{ab,a}$	$h^*_{ab,a}$
O _{Ma}	35.06	60.0	44.0	74.4	36
Y _{Ma}	83.77	-5.17	109.32	109.44	93
L _{Ma}	44.13	-62.67	48.24	79.09	142
C _{Ma}	52.66	-29.14	-31.99	43.27	228
V _{Ma}	14.15	50.3	-59.04	77.57	310
M _{Ma}	37.37	78.64	-33.5	85.48	337
N _{Ma}	8.58	0.0	0.0	0.0	0
W _{Ma}	92.02	0.0	0.0	0.0	0
R _{Ma}	39.92	58.74	27.99	65.07	25
J _{Ma}	81.26	-2.89	71.56	71.62	92
G _{Ma}	52.23	-42.42	13.6	44.55	162
B _{Ma}	30.57	1.41	-46.47	46.49	272

Daten für Maximalfarbe (Ma):

$LAB^*LAB^*_{Ma}$: 30 69 -42

$LAB^*LCH^*_{Ma}$: 30 81 328

$lab^*rgb^*_{Ma}$: 1.0 0.0 1.0

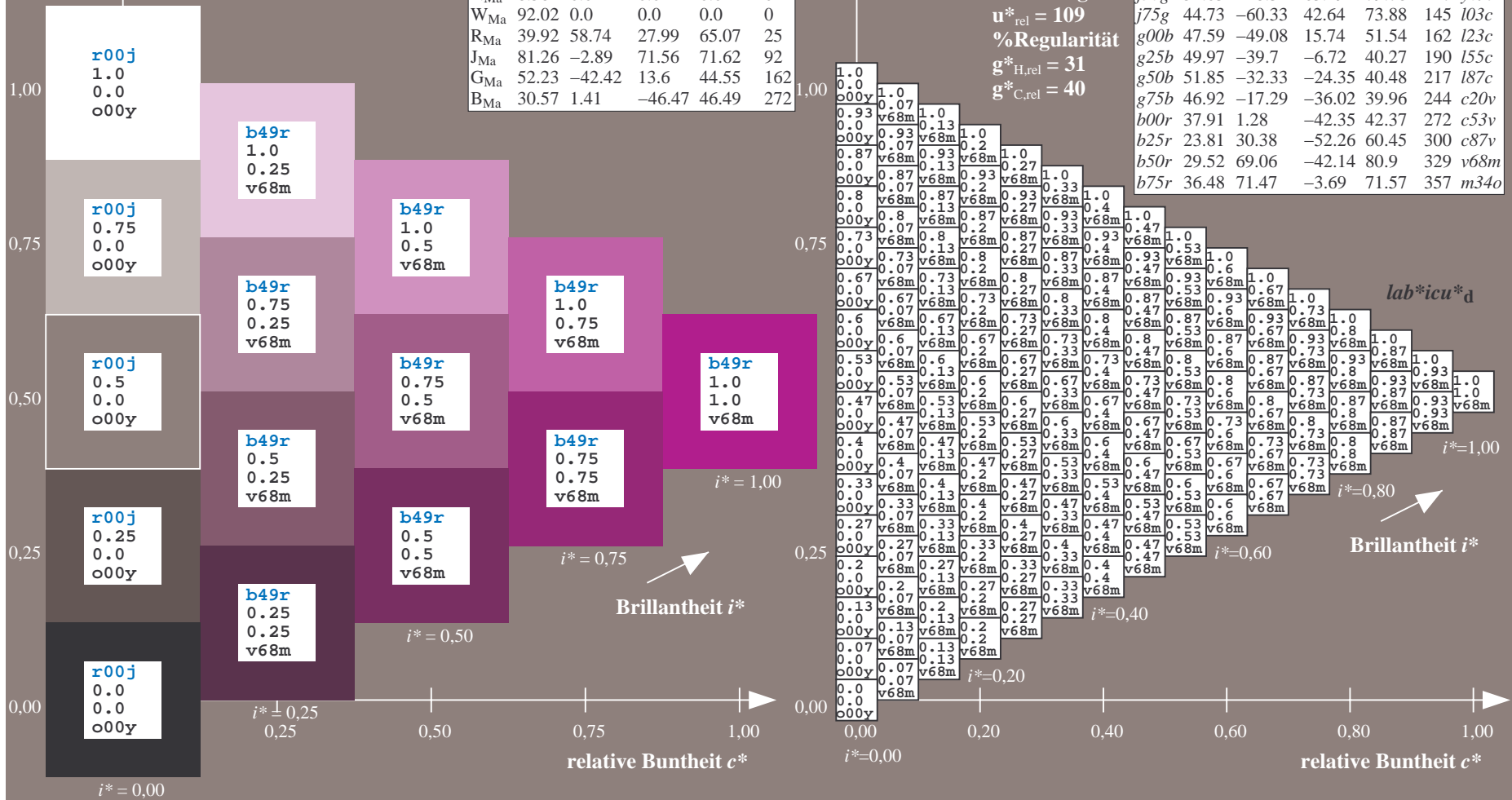
$lab^*olv^*_{Ma}$: 0.69 0.0 1.0

Dreiecks-Helligkeit t^*

FRS09_92aM; adaptierte CIELAB-Daten

u^*_e	$L^*=L^*_a$	a^*_a	b^*_a	$C^*_{ab,a}$	$h^*_{ab,a}$	u^*_d
r00j	35.47	63.32	30.17	70.15	25	m81o
r25j	39.12	54.56	49.45	73.64	42	o10y
r50j	50.64	39.15	64.89	75.79	59	o40y
r75j	64.01	21.26	82.83	85.52	76	o69y
j00g	83.18	-4.38	108.53	108.62	92	o98y
j25g	66.73	-29.89	83.06	88.28	110	y34l
j50g	54.03	-48.31	63.49	79.78	127	y69l
j75g	44.73	-60.33	42.64	73.88	145	l03c
g00b	47.59	-49.08	15.74	51.54	162	l23c
g25b	49.97	-39.7	-6.72	40.27	190	l55c
g50b	51.85	-32.33	-24.35	40.48	217	l87c
g75b	46.92	-17.29	-36.02	39.96	244	c20v
b00r	37.91	1.28	-42.35	42.37	272	c53v
b25r	23.81	30.38	-52.26	60.45	300	c87v
b50r	29.52	69.06	-42.14	80.9	329	v68m
b75r	36.48	71.47	-3.69	71.57	357	m34o

$lab^*icu^*_d$



Ein und Ausgabe: Farbmatisches Drucker-Reflektiv-System FRS09_92aM für relativen CIELAB-Bunton $h^* = lab^*h^* = h_{ab}/360 = 0.992$

$u^*_e = b75r$

Daten für jede Farbe:

lab^*ch^* und lab^*icu^*

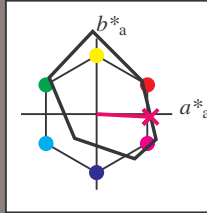
Buntontexte:

$u^*_e = b75r$ $u^*_d = m34o$

Kontrastreduzierungsfaktor:

$c_R = 1.0$

Dreiecks-Helligkeit t^*



FRS09_92aM; adaptierte CIELAB-Daten

u^*_e	$L^*=L^*_a$	a^*_a	b^*_a	$C^*_{ab,a}$	$h^*_{ab,a}$
O _{Ma}	35.06	60.0	44.0	74.4	36
Y _{Ma}	83.77	-5.17	109.32	109.44	93
L _{Ma}	44.13	-62.67	48.24	79.09	142
C _{Ma}	52.66	-29.14	-31.99	43.27	228
V _{Ma}	14.15	50.3	-59.04	77.57	310
M _{Ma}	37.37	78.64	-33.5	85.48	337
N _{Ma}	8.58	0.0	0.0	0.0	0
W _{Ma}	92.02	0.0	0.0	0.0	0
R _{Ma}	39.92	58.74	27.99	65.07	25
J _{Ma}	81.26	-2.89	71.56	71.62	92
G _{Ma}	52.23	-42.42	13.6	44.55	162
B _{Ma}	30.57	1.41	-46.47	46.49	272

Daten für Maximalfarbe (Ma):

$LAB^*LAB^*_{Ma}$: 36 71 -4

$LAB^*LCH^*_{Ma}$: 36 72 357

$lab^*rgb^*_{Ma}$: 1.0 0.0 0.5

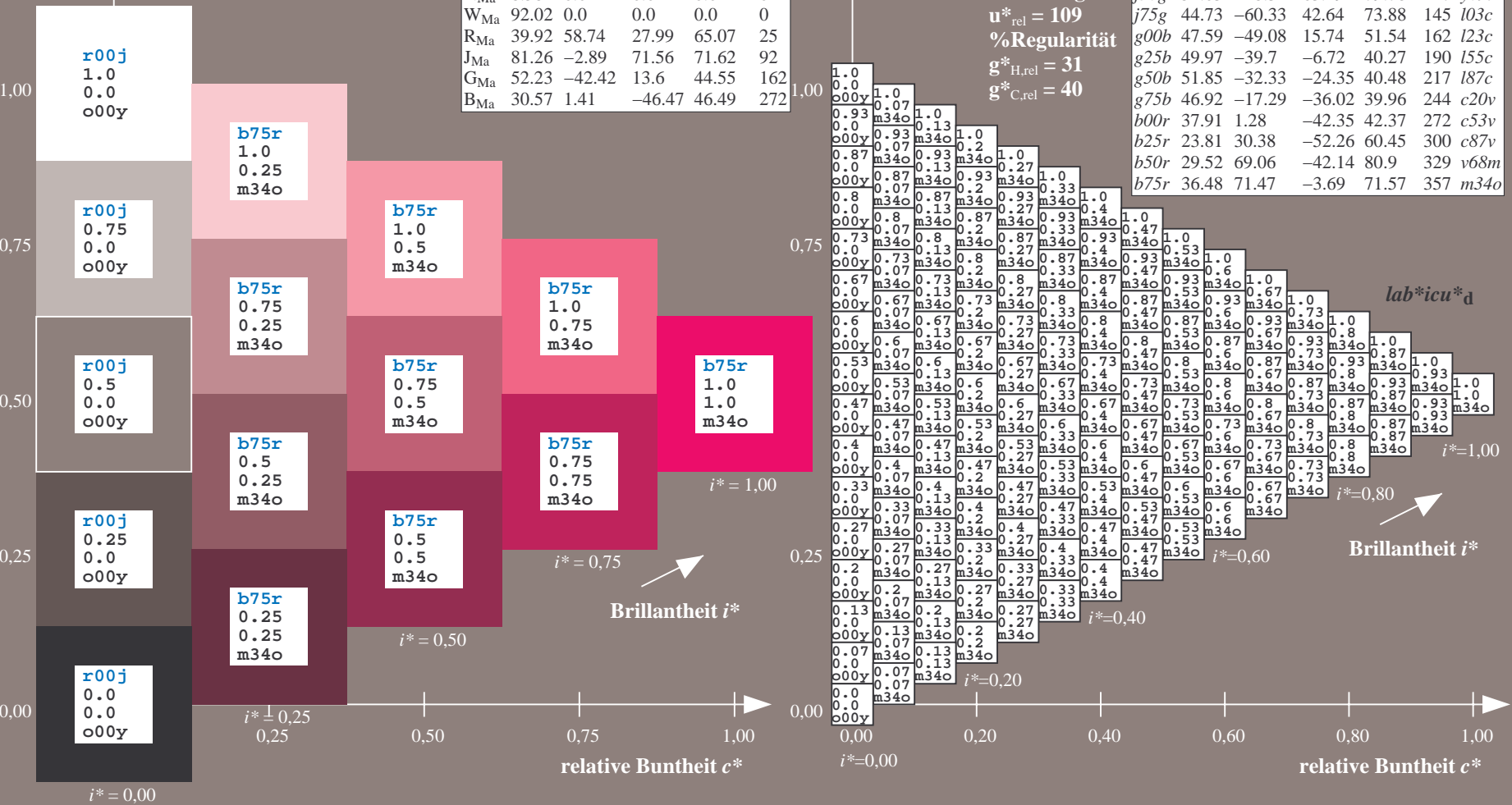
$lab^*olv^*_{Ma}$: 1.0 0.0 0.66

Dreiecks-Helligkeit t^*

FRS09_92aM; adaptierte CIELAB-Daten

u^*_e	$L^*=L^*_a$	a^*_a	b^*_a	$C^*_{ab,a}$	$h^*_{ab,a}$	u^*_d
r00j	35.47	63.32	30.17	70.15	25	m81o
r25j	39.12	54.56	49.45	73.64	42	o10y
r50j	50.64	39.15	64.89	75.79	59	o40y
r75j	64.01	21.26	82.83	85.52	76	o69y
j00g	83.18	-4.38	108.53	108.62	92	o98y
j25g	66.73	-29.89	83.06	88.28	110	y34l
j50g	54.03	-48.31	63.49	79.78	127	y69l
j75g	44.73	-60.33	42.64	73.88	145	l03c
g00b	47.59	-49.08	15.74	51.54	162	l23c
g25b	49.97	-39.7	-6.72	40.27	190	l55c
g50b	51.85	-32.33	-24.35	40.48	217	l87c
g75b	46.92	-17.29	-36.02	39.96	244	c20v
b00r	37.91	1.28	-42.35	42.37	272	c53v
b25r	23.81	30.38	-52.26	60.45	300	c87v
b50r	29.52	69.06	-42.14	80.9	329	v68m
b75r	36.48	71.47	-3.69	71.57	357	m34o

$lab^*icu^*_d$



Ein und Ausgabe:
 Farbmetrisches Drucker-Reflektiv-System FRS09_92aM

Daten für jede Farbe:

u^*_e und Nummer *Nr.* = 00 .. 15

Elementar-Bunttextext:

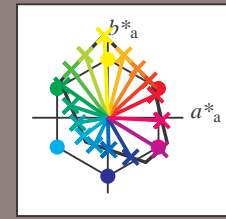
$u^*_e = 16$ Bunttoene *r00j, r25j, ..., b75r*

Kontrastreduzierungsfaktor:

$c_R = 1.0$

FRS09_92aM; adaptierte CIELAB-Daten

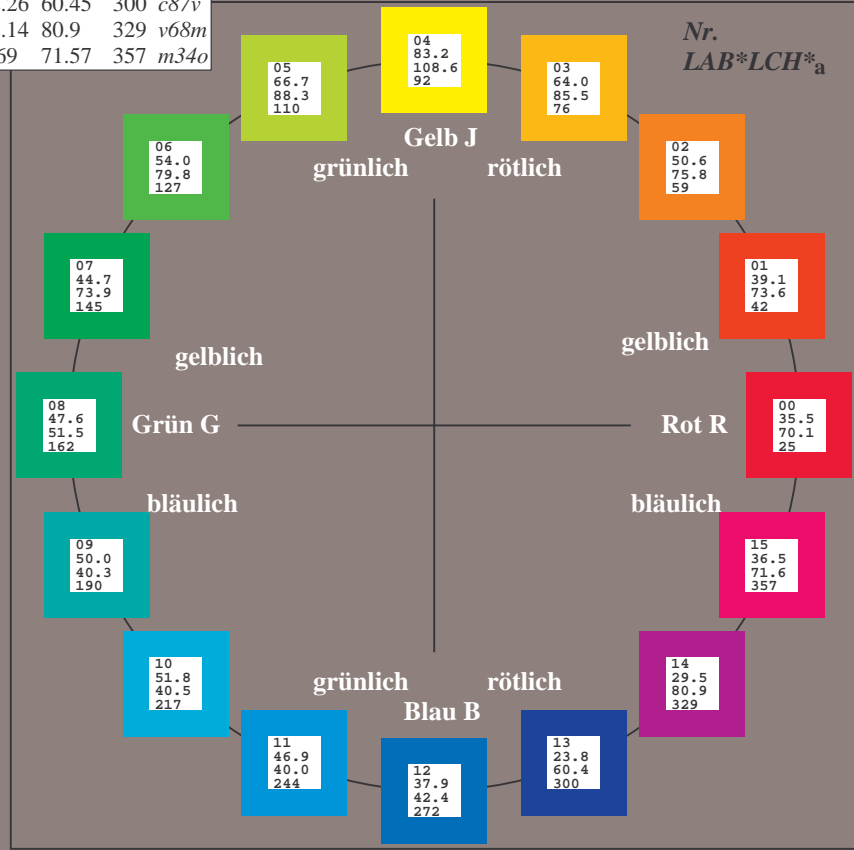
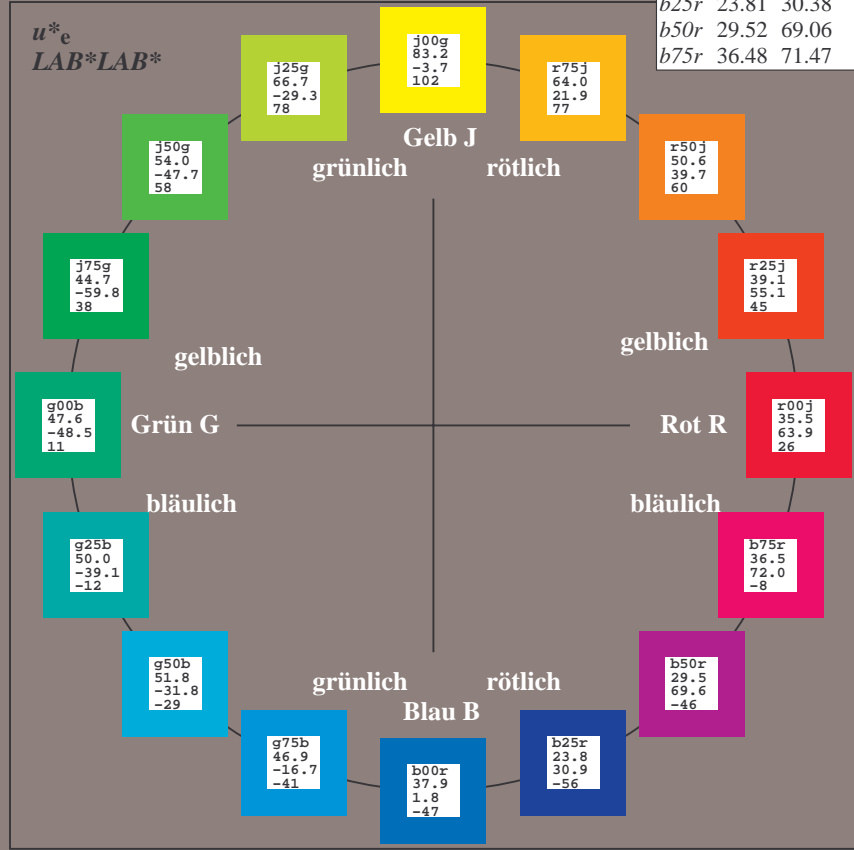
u^*_e	$L^*=L^*_a$	a^*_a	b^*_a	$C^*_{ab,a}$	$h^*_{ab,a}$	u^*_d
r00j	35.47	63.32	30.17	70.15	25	m81o
r25j	39.12	54.56	49.45	73.64	42	o10y
r50j	50.64	39.15	64.89	75.79	59	o40y
r75j	64.01	21.26	82.83	85.52	76	o69y
j00g	83.18	-4.38	108.53	108.62	92	o98y
j25g	66.73	-29.89	83.06	88.28	110	y34l
j50g	54.03	-48.31	63.49	79.78	127	y69l
j75g	44.73	-60.33	42.64	73.88	145	l03c
g00b	47.59	-49.08	15.74	51.54	162	l23c
g25b	49.97	-39.7	-6.72	40.27	190	l55c
g50b	51.85	-32.33	-24.35	40.48	217	l87c
g75b	46.92	-17.29	-36.02	39.96	244	c20v
b00r	37.91	1.28	-42.35	42.37	272	c53v
b25r	23.81	30.38	-52.26	60.45	300	c87v
b50r	29.52	69.06	-42.14	80.9	329	v68m
b75r	36.48	71.47	-3.69	71.57	357	m34o



%Umfang
 $u^*_{rel} = 109$
 %Regularität
 $g^*_{H,rel} = 31$
 $g^*_{C,rel} = 40$

FRS09_92M; CIELAB-Daten

Name	$L^*=L^*$	a^*	b^*	C^*_{ab}	h^*_{ab}
O _M	35.06	60.53	39.66	72.37	33
Y _M	83.77	-4.5	103.15	103.25	92
L _M	44.13	-62.11	43.56	75.86	145
C _M	52.66	-28.56	-36.99	46.73	232
V _M	14.15	50.78	-62.6	80.61	309
M _M	37.37	79.18	-37.93	87.8	334
N _M	8.58	0.46	-3.35	3.38	278
W _M	92.02	0.69	-6.48	6.52	276
R _{CIE}	39.92	58.74	27.99	65.07	25
J _{CIE}	81.26	-2.89	71.56	71.62	92
G _{CIE}	52.23	-42.42	13.6	44.55	162
B _{CIE}	30.57	1.41	-46.47	46.49	272



Ein und Ausgabe: Farbmatisches Drucker-Reflektiv-System FRS09_92aM für relativen CIELAB-Bunton $h^* = lab^*h^* = h_{ab}/360 = 0.071$

$u^*_e = r00j$
 LAB^*LAB^*

Daten für jede Farbe:

lab^*ch^* und lab^*icu^*

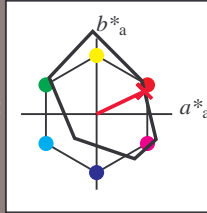
Buntontexte:

$u^*_e = r00j$ $u^*_d = m81o$

Kontrastreduzierungsfaktor:

$c_R = 1.0$

Dreiecks-Helligkeit t^*



FRS09_92M; CIELAB-Daten

	u^*_e	$L^*=L^*$	a^*	b^*	C^*_{ab}	h^*_{ab}
O _M	35.06	60.53	39.66	72.37	33	
Y _M	83.77	-4.5	103.15	103.25	92	
L _M	44.13	-62.11	43.56	75.86	145	
C _M	52.66	-28.56	-36.99	46.73	232	
V _M	14.15	50.78	-62.6	80.61	309	
M _M	37.37	79.18	-37.93	87.8	334	
N _M	8.58	0.46	-3.35	3.38	278	
W _M	92.02	0.69	-6.48	6.52	276	
R _M	39.92	58.74	27.99	65.07	25	
J _M	81.26	-2.89	71.56	71.62	92	
G _M	52.23	-42.42	13.6	44.55	162	
B _M	30.57	1.41	-46.47	46.49	272	

Daten für Maximalfarbe (Ma):

$LAB^*LAB^*_{Ma}$: 35 63 30

$LAB^*LCH^*_{Ma}$: 35 70 25

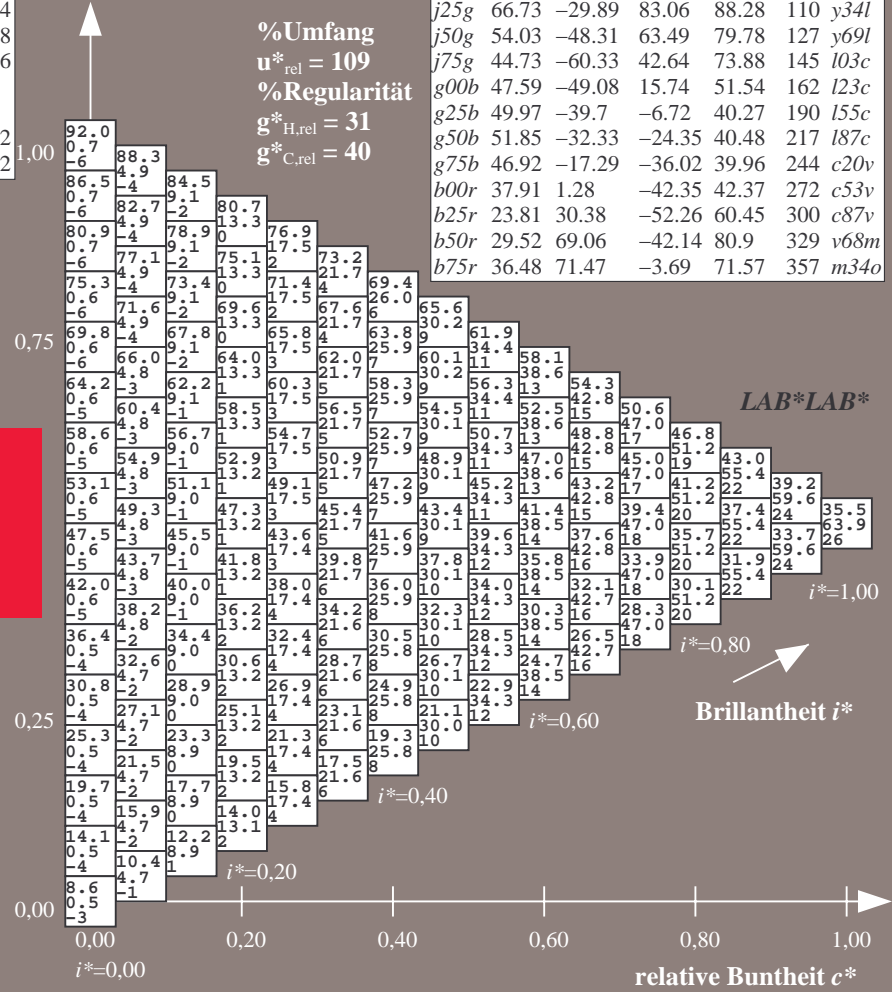
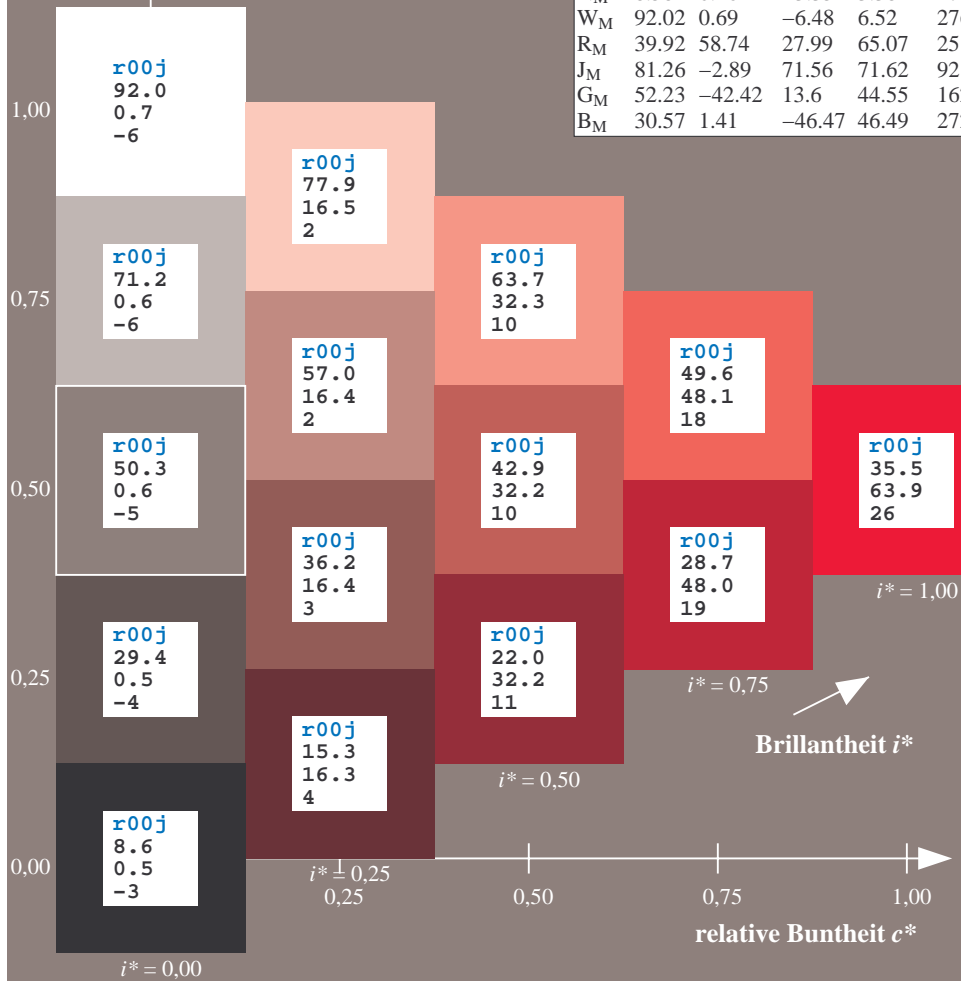
$lab^*rgb^*_{Ma}$: 1.0 0.0 0.0

$lab^*olv^*_{Ma}$: 1.0 0.0 0.18

Dreiecks-Helligkeit t^*

FRS09_92aM; adaptierte CIELAB-Daten

	u^*_e	$L^*=L^*_a$	a^*_a	b^*_a	$C^*_{ab,a}$	$h^*_{ab,a}$	u^*_d
r00j	35.47	63.32	30.17	70.15	25	m81o	
r25j	39.12	54.56	49.45	73.64	42	o10y	
r50j	50.64	39.15	64.89	75.79	59	o40y	
r75j	64.01	21.26	82.83	85.52	76	o69y	
j00g	83.18	-4.38	108.53	108.62	92	o98y	
j25g	66.73	-29.89	83.06	88.28	110	y34l	
j50g	54.03	-48.31	63.49	79.78	127	y69l	
j75g	44.73	-60.33	42.64	73.88	145	l23c	
g00b	47.59	-49.08	15.74	51.54	162	l03c	
g25b	49.97	-39.7	-6.72	40.27	190	l55c	
g50b	51.85	-32.33	-24.35	40.48	217	l87c	
g75b	46.92	-17.29	-36.02	39.96	244	c20v	
b00r	37.91	1.28	-42.35	42.37	272	c53v	
b25r	23.81	30.38	-52.26	60.45	300	c87v	
b50r	29.52	69.06	-42.14	80.9	329	v68m	
b75r	36.48	71.47	-3.69	71.57	357	m34o	



Ein und Ausgabe: Farbmatisches Drucker-Reflektiv-System FRS09_92aM für relativen CIELAB-Bunton $h^* = lab^*h^* = h_{ab}/360 = 0.117$

$u^*_e = r25j$
 LAB^*LAB^*

Daten für jede Farbe:

lab^*ch^* und lab^*icu^*

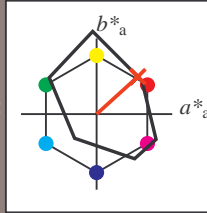
Buntontexte:

$u^*_e = r25j$ $u^*_d = o10y$

Kontrastreduzierungsfaktor:

$c_R = 1.0$

Dreiecks-Helligkeit t^*



FRS09_92M; CIELAB-Daten						
u^*_e	$L^*=L^*$	a^*	b^*	C^*_{ab}	h^*_{ab}	
O _M	35.06	60.53	39.66	72.37	33	
Y _M	83.77	-4.5	103.15	103.25	92	
L _M	44.13	-62.11	43.56	75.86	145	
C _M	52.66	-28.56	-36.99	46.73	232	
V _M	14.15	50.78	-62.6	80.61	309	
M _M	37.37	79.18	-37.93	87.8	334	
N _M	8.58	0.46	-3.35	3.38	278	
W _M	92.02	0.69	-6.48	6.52	276	
R _M	39.92	58.74	27.99	65.07	25	
J _M	81.26	-2.89	71.56	71.62	92	
G _M	52.23	-42.42	13.6	44.55	162	
B _M	30.57	1.41	-46.47	46.49	272	

Daten für Maximalfarbe (Ma):

$LAB^*LAB^*_{Ma}: 39\ 55\ 49$

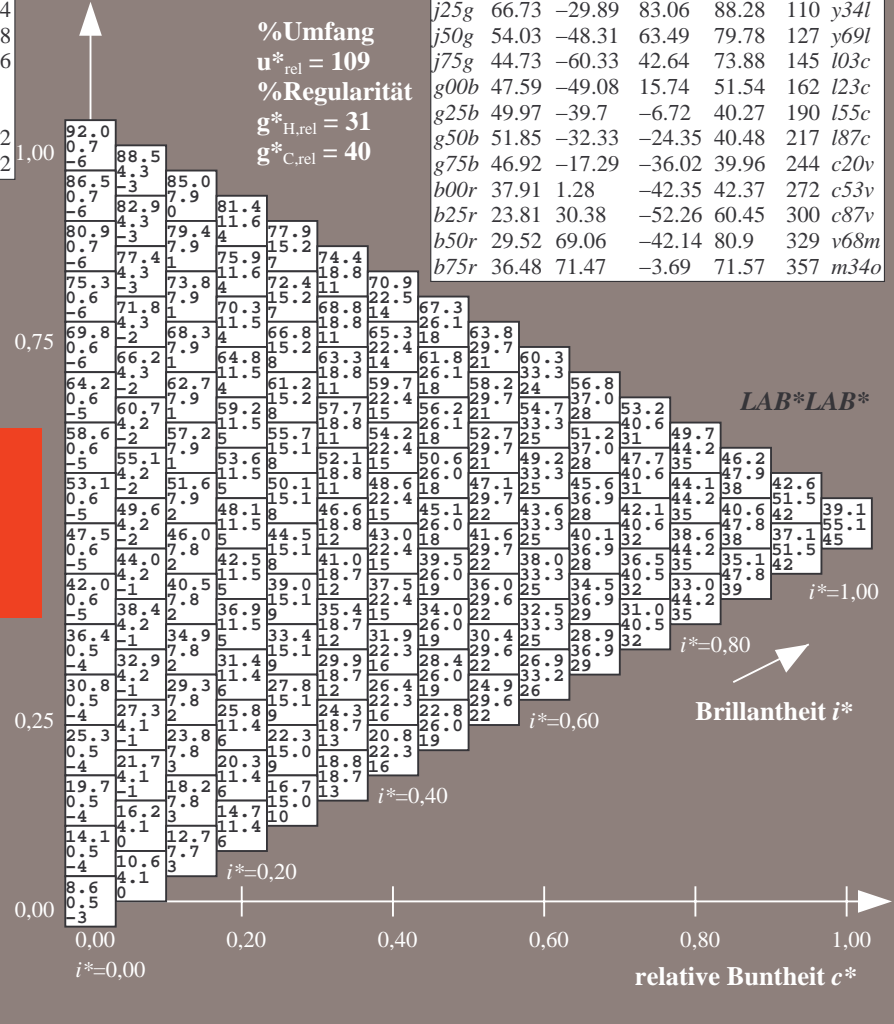
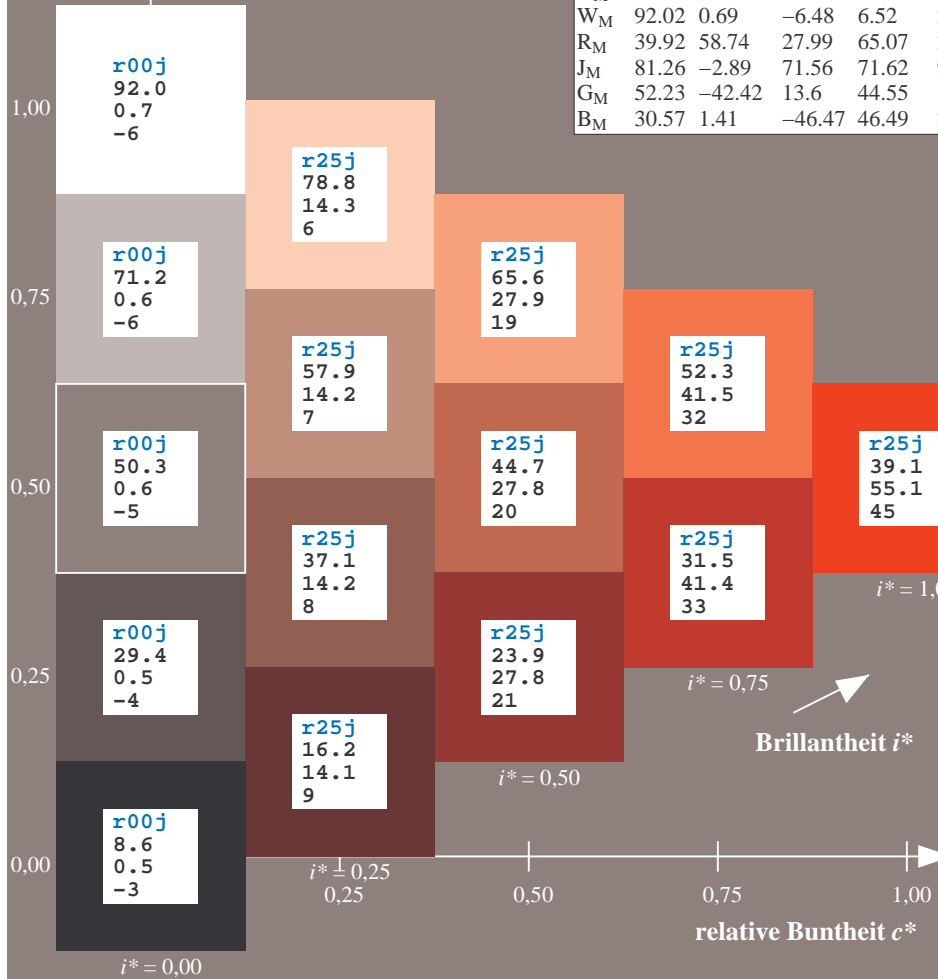
$LAB^*LCH^*_{Ma}: 39\ 74\ 42$

$lab^*rgb^*_{Ma}: 1.0\ 0.25\ 0.0$

$lab^*olv^*_{Ma}: 1.0\ 0.11\ 0.0$

Dreiecks-Helligkeit t^*

FRS09_92aM; adaptierte CIELAB-Daten							
u^*_e	$L^*=L^*_a$	a^*_a	b^*_a	$C^*_{ab,a}$	$h^*_{ab,a}$	u^*_d	
r00j	35.47	63.32	30.17	70.15	25	m81o	
r25j	39.12	54.56	49.45	73.64	42	o10y	
r50j	50.64	39.15	64.89	75.79	59	o40y	
r75j	64.01	21.26	82.83	85.52	76	o69y	
j00g	83.18	-4.38	108.53	108.62	92	o98y	
j25g	66.73	-29.89	83.06	88.28	110	y34l	
j50g	54.03	-48.31	63.49	79.78	127	y69l	
j75g	44.73	-60.33	42.64	73.88	145	i03c	
g00b	47.59	-49.08	15.74	51.54	162	l23c	
g25b	49.97	-39.7	-6.72	40.27	190	i55c	
g50b	51.85	-32.33	-24.35	40.48	217	i87c	
g75b	46.92	-17.29	-36.02	39.96	244	c20v	
b00r	37.91	1.28	-42.35	42.37	272	c53v	
b25r	23.81	30.38	-52.26	60.45	300	c87v	
b50r	29.52	69.06	-42.14	80.9	329	v68m	
b75r	36.48	71.47	-3.69	71.57	357	m34o	



Ein und Ausgabe: Farbmatisches Drucker-Reflektiv-System FRS09_92aM für relativen CIELAB-Bunton $h^* = lab^*h^* = h_{ab}/360 = 0.164$

$u^*_e = r50j$
 LAB^*LAB^*

Daten für jede Farbe:

lab^*ch^* und lab^*icu^*

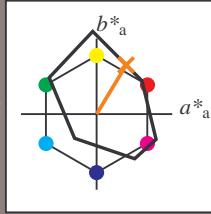
Buntontexte:

$u^*_e = r50j$ $u^*_d = o40y$

Kontrastreduzierungsfaktor:

$c_R = 1.0$

Dreiecks-Helligkeit t^*



FRS09_92M; CIELAB-Daten

	u^*_e	$L^*=L^*_a$	a^*	b^*	C^*_{ab}	h^*_{ab}
O _M	35.06	60.53	39.66	72.37	33	
Y _M	83.77	-4.5	103.15	103.25	92	
L _M	44.13	-62.11	43.56	75.86	145	
C _M	52.66	-28.56	-36.99	46.73	232	
V _M	14.15	50.78	-62.6	80.61	309	
M _M	37.37	79.18	-37.93	87.8	334	
N _M	8.58	0.46	-3.35	3.38	278	
W _M	92.02	0.69	-6.48	6.52	276	
R _M	39.92	58.74	27.99	65.07	25	
J _M	81.26	-2.89	71.56	71.62	92	
G _M	52.23	-42.42	13.6	44.55	162	
B _M	30.57	1.41	-46.47	46.49	272	

Daten für Maximalfarbe (Ma):

$LAB^*LAB^*_{Ma}: 51\ 39\ 65$

$LAB^*LCH^*_{Ma}: 51\ 76\ 58$

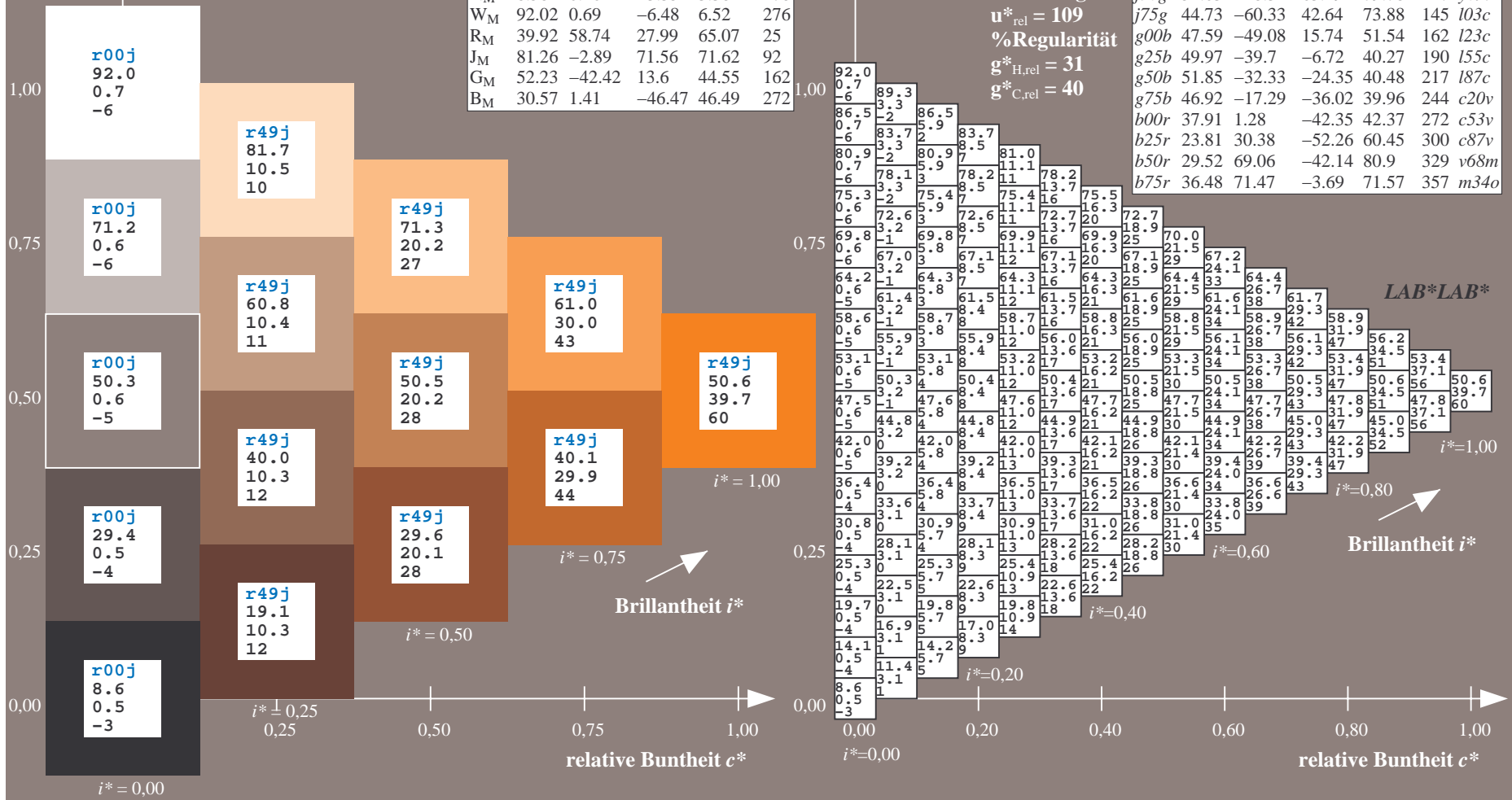
$lab^*rgb^*_{Ma}: 1.0\ 0.5\ 0.0$

$lab^*olv^*_{Ma}: 1.0\ 0.4\ 0.0$

Dreiecks-Helligkeit t^*

FRS09_92aM; adaptierte CIELAB-Daten

	u^*_e	$L^*=L^*_a$	a^*_a	b^*_a	$C^*_{ab,a}$	$h^*_{ab,a}$	u^*_d
r00j	35.47	63.32	30.17	70.15	25	m81o	
r25j	39.12	54.56	49.45	73.64	42	o10y	
r50j	50.64	39.15	64.89	75.79	59	o40y	
r75j	64.01	21.26	82.83	85.52	76	o69y	
j00g	83.18	-4.38	108.53	108.62	92	o98y	
j25g	66.73	-29.89	83.06	88.28	110	y34l	
j50g	54.03	-48.31	63.49	79.78	127	y69l	
j75g	44.73	-60.33	42.64	73.88	145	i03c	
g00b	47.59	-49.08	15.74	51.54	162	l23c	
g25b	49.97	-39.7	-6.72	40.27	190	i55c	
g50b	51.85	-32.33	-24.35	40.48	217	i87c	
g75b	46.92	-17.29	-36.02	39.96	244	c20v	
b00r	37.91	1.28	-42.35	42.37	272	c53v	
b25r	23.81	30.38	-52.26	60.45	300	c87v	
b50r	29.52	69.06	-42.14	80.9	329	v68m	
b75r	36.48	71.47	-3.69	71.57	357	m34o	



Ein und Ausgabe: Farbmatisches Drucker-Reflektiv-System FRS09_92aM für relativen CIELAB-Bunton $h^* = lab^*h^* = h_{ab}/360 = 0.21$

$u^*_e = r75j$
 LAB^*LAB^*

Daten für jede Farbe:

lab^*ch^* und lab^*icu^*

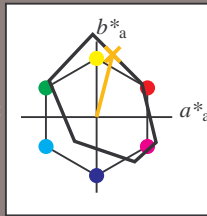
Buntontexte:

$u^*_e = r75j$ $u^*_d = o69y$

Kontrastreduzierungsfaktor:

$c_R = 1.0$

Dreiecks-Helligkeit t^*



FRS09_92M; CIELAB-Daten						
	u^*_e	$L^*=L^*$	a^*	b^*	C^*_{ab}	h^*_{ab}
O _M	35.06	60.53	39.66	72.37	33	
Y _M	83.77	-4.5	103.15	103.25	92	
L _M	44.13	-62.11	43.56	75.86	145	
C _M	52.66	-28.56	-36.99	46.73	232	
V _M	14.15	50.78	-62.6	80.61	309	
M _M	37.37	79.18	-37.93	87.8	334	
N _M	8.58	0.46	-3.35	3.38	278	
W _M	92.02	0.69	-6.48	6.52	276	
R _M	39.92	58.74	27.99	65.07	25	
J _M	81.26	-2.89	71.56	71.62	92	
G _M	52.23	-42.42	13.6	44.55	162	
B _M	30.57	1.41	-46.47	46.49	272	

Daten für Maximalfarbe (Ma):

$LAB^*LAB^*_{Ma}: 64\ 21\ 83$

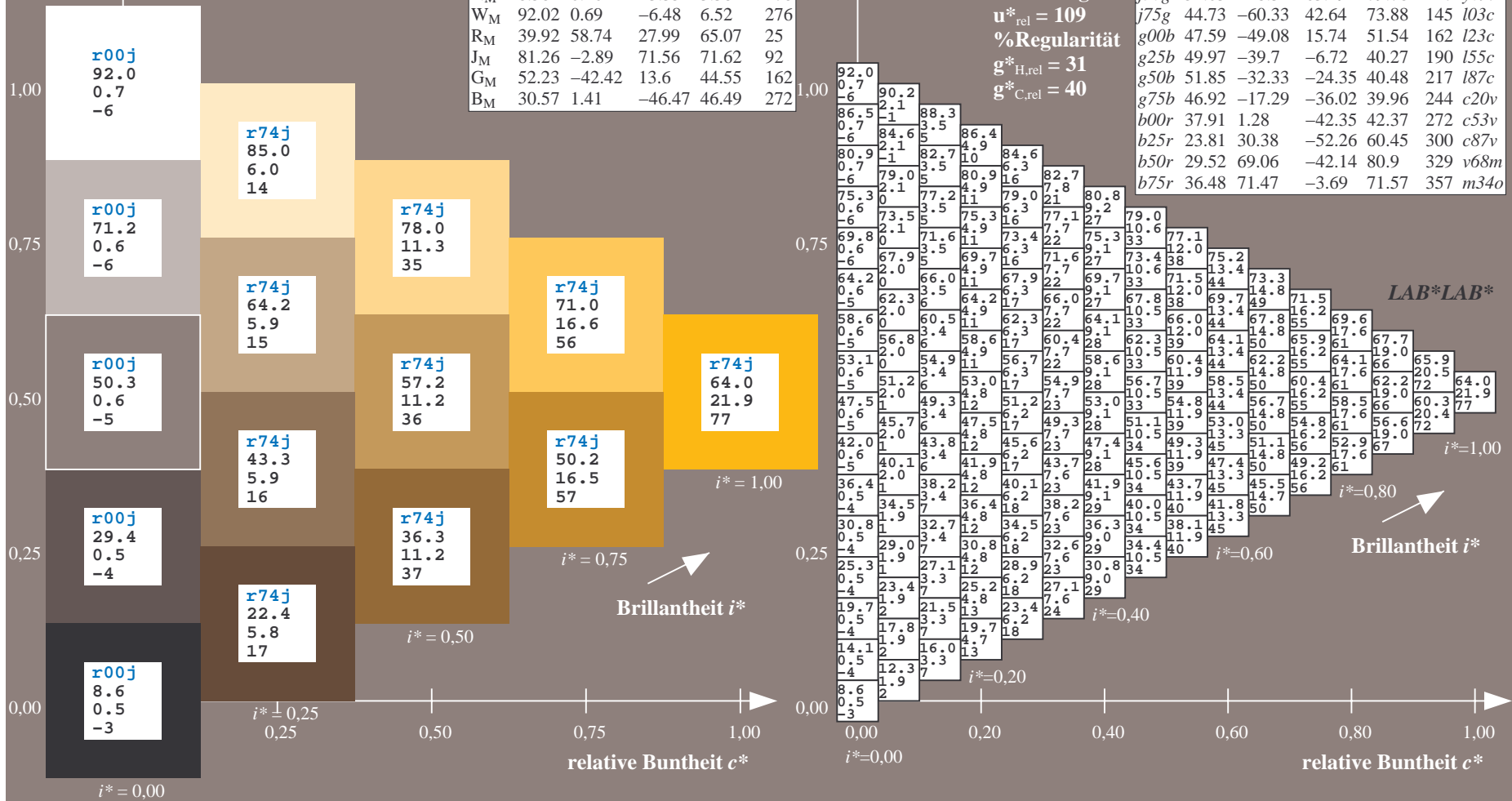
$LAB^*LCH^*_{Ma}: 64\ 86\ 75$

$lab^*rgb^*_{Ma}: 1.0\ 0.75\ 0.0$

$lab^*olv^*_{Ma}: 1.0\ 0.7\ 0.0$

Dreiecks-Helligkeit t^*

FRS09_92aM; adaptierte CIELAB-Daten							
	u^*_e	$L^*=L^*_a$	a^*_a	b^*_a	$C^*_{ab,a}$	$h^*_{ab,a}$	u^*_d
r00j	35.47	63.32	30.17	70.15	25	m81o	
r25j	39.12	54.56	49.45	73.64	42	o10y	
r50j	50.64	39.15	64.89	75.79	59	o40y	
r75j	64.01	21.26	82.83	85.52	76	o69y	
j00g	83.18	-4.38	108.53	108.62	92	o98y	
j25g	66.73	-29.89	83.06	88.28	110	y34l	
j50g	54.03	-48.31	63.49	79.78	127	y69l	
j75g	44.73	-60.33	42.64	73.88	145	i03c	
g00b	47.59	-49.08	15.74	51.54	162	i23c	
g25b	49.97	-39.7	-6.72	40.27	190	i55c	
g50b	51.85	-32.33	-24.35	40.48	217	i87c	
g75b	46.92	-17.29	-36.02	39.96	244	c20v	
b00r	37.91	1.28	-42.35	42.37	272	c53v	
b25r	23.81	30.38	-52.26	60.45	300	c87v	
b50r	29.52	69.06	-42.14	80.9	329	v68m	
b75r	36.48	71.47	-3.69	71.57	357	m34o	



Ein und Ausgabe: Farbmatisches Drucker-Reflektiv-System FRS09_92aM für relativen CIELAB-Bunton $h^* = lab^*h^* = h_{ab}/360 = 0.256$

$u^*_e = j00g$
 LAB^*LAB^*

Daten für jede Farbe:

lab^*ch^* und lab^*icu^*

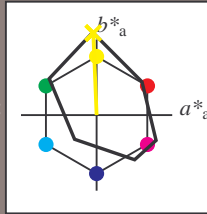
Buntontexte:

$u^*_e = j00g$ $u^*_d = o98y$

Kontrastreduzierungsfaktor:

$c_R = 1.0$

Dreiecks-Helligkeit t^*



FRS09_92M; CIELAB-Daten						
u^*_e	$L^*=L^*$	a^*	b^*	C^*_{ab}	h^*_{ab}	
O _M	35.06	60.53	39.66	72.37	33	
Y _M	83.77	-4.5	103.15	103.25	92	
L _M	44.13	-62.11	43.56	75.86	145	
C _M	52.66	-28.56	-36.99	46.73	232	
V _M	14.15	50.78	-62.6	80.61	309	
M _M	37.37	79.18	-37.93	87.8	334	
N _M	8.58	0.46	-3.35	3.38	278	
W _M	92.02	0.69	-6.48	6.52	276	
R _M	39.92	58.74	27.99	65.07	25	
J _M	81.26	-2.89	71.56	71.62	92	
G _M	52.23	-42.42	13.6	44.55	162	
B _M	30.57	1.41	-46.47	46.49	272	

Daten für Maximalfarbe (Ma):

$LAB^*LAB^*_{Ma}$: 83 -4 109

$LAB^*LCH^*_{Ma}$: 83 109 92

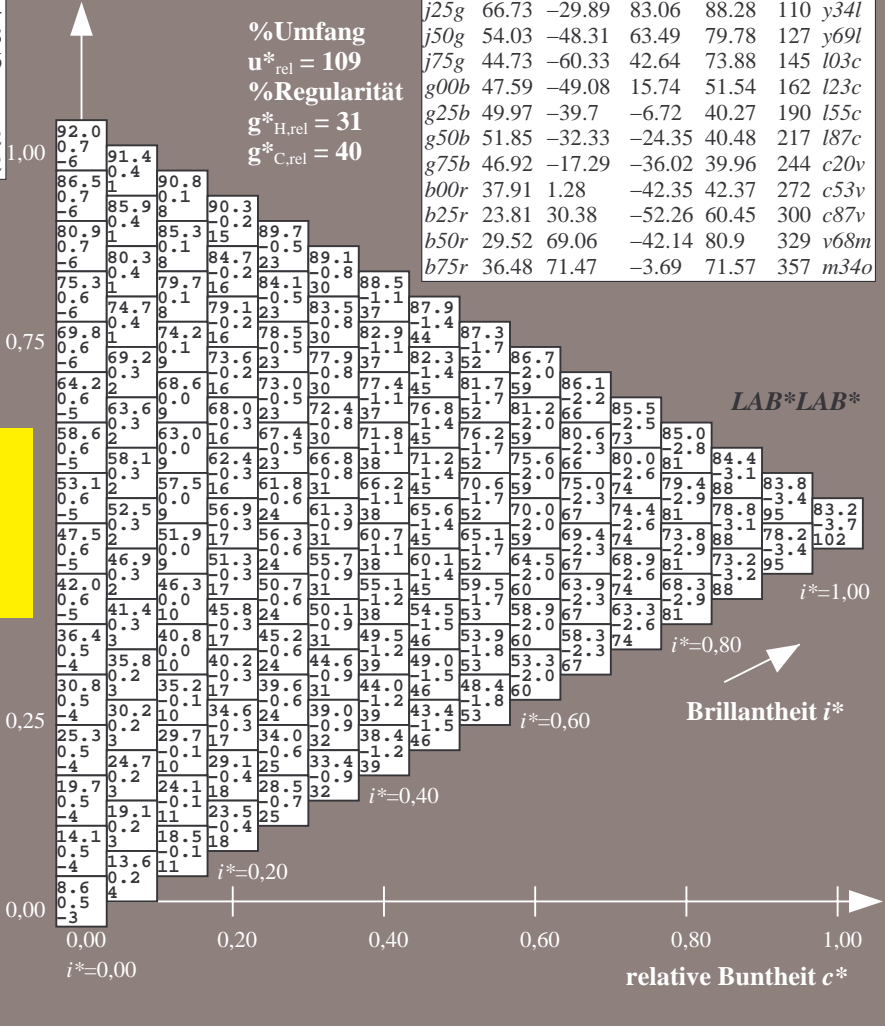
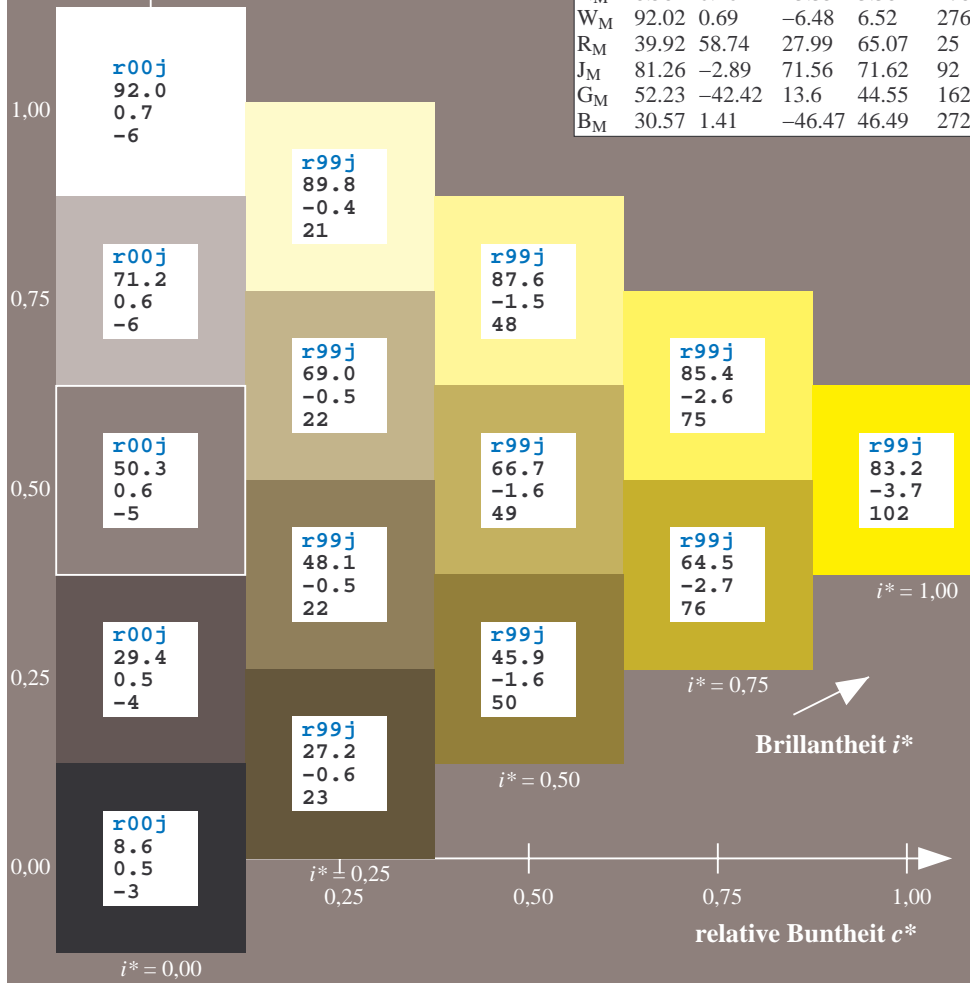
$lab^*rgb^*_{Ma}$: 1.0 1.0 0.0

$lab^*olv^*_{Ma}$: 1.0 0.99 0.0

Dreiecks-Helligkeit t^*

FRS09_92aM; adaptierte CIELAB-Daten

u^*_e	$L^*=L^*_a$	a^*_a	b^*_a	$C^*_{ab,a}$	$h^*_{ab,a}$	u^*_d
r00j	35.47	63.32	30.17	70.15	25	m81o
r25j	39.12	54.56	49.45	73.64	42	o10y
r50j	50.64	39.15	64.89	75.79	59	o40y
r75j	64.01	21.26	82.83	85.52	76	o69y
j00g	83.18	-4.38	108.53	108.62	92	o98y
j25g	66.73	-29.89	83.06	88.28	110	y34l
j50g	54.03	-48.31	63.49	79.78	127	y69l
j75g	44.73	-60.33	42.64	73.88	145	i03c
g00b	47.59	-49.08	15.74	51.54	162	l23c
g25b	49.97	-39.7	-6.72	40.27	190	i55c
g50b	51.85	-32.33	-24.35	40.48	217	i87c
g75b	46.92	-17.29	-36.02	39.96	244	c20v
b00r	37.91	1.28	-42.35	42.37	272	c53v
b25r	23.81	30.38	-52.26	60.45	300	c87v
b50r	29.52	69.06	-42.14	80.9	329	v68m
b75r	36.48	71.47	-3.69	71.57	357	m34o



Ein und Ausgabe: Farbmatisches Drucker-Reflektiv-System FRS09_92aM für relativen CIELAB-Bunton $h^* = lab^*h^* = h_{ab}/360 = 0.305$

$u^*_e = j25g$
 LAB^*LAB^*

Daten für jede Farbe:

lab^*ch^* und lab^*icu^*

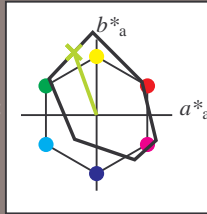
Buntontexte:

$u^*_e = j25g$ $u^*_d = y34l$

Kontrastreduzierungsfaktor:

$c_R = 1.0$

Dreiecks-Helligkeit t^*



FRS09_92M; CIELAB-Daten						
u^*_e	$L^*=L^*_a$	a^*_a	b^*_a	C^*_{ab}	h^*_{ab}	
O _M	35.06	60.53	39.66	72.37	33	
Y _M	83.77	-4.5	103.15	103.25	92	
L _M	44.13	-62.11	43.56	75.86	145	
C _M	52.66	-28.56	-36.99	46.73	232	
V _M	14.15	50.78	-62.6	80.61	309	
M _M	37.37	79.18	-37.93	87.8	334	
N _M	8.58	0.46	-3.35	3.38	278	
W _M	92.02	0.69	-6.48	6.52	276	
R _M	39.92	58.74	27.99	65.07	25	
J _M	81.26	-2.89	71.56	71.62	92	
G _M	52.23	-42.42	13.6	44.55	162	
B _M	30.57	1.41	-46.47	46.49	272	

Daten für Maximalfarbe (Ma):

$LAB^*LAB^*_{Ma}: 67 -30 83$

$LAB^*LCH^*_{Ma}: 67 88 109$

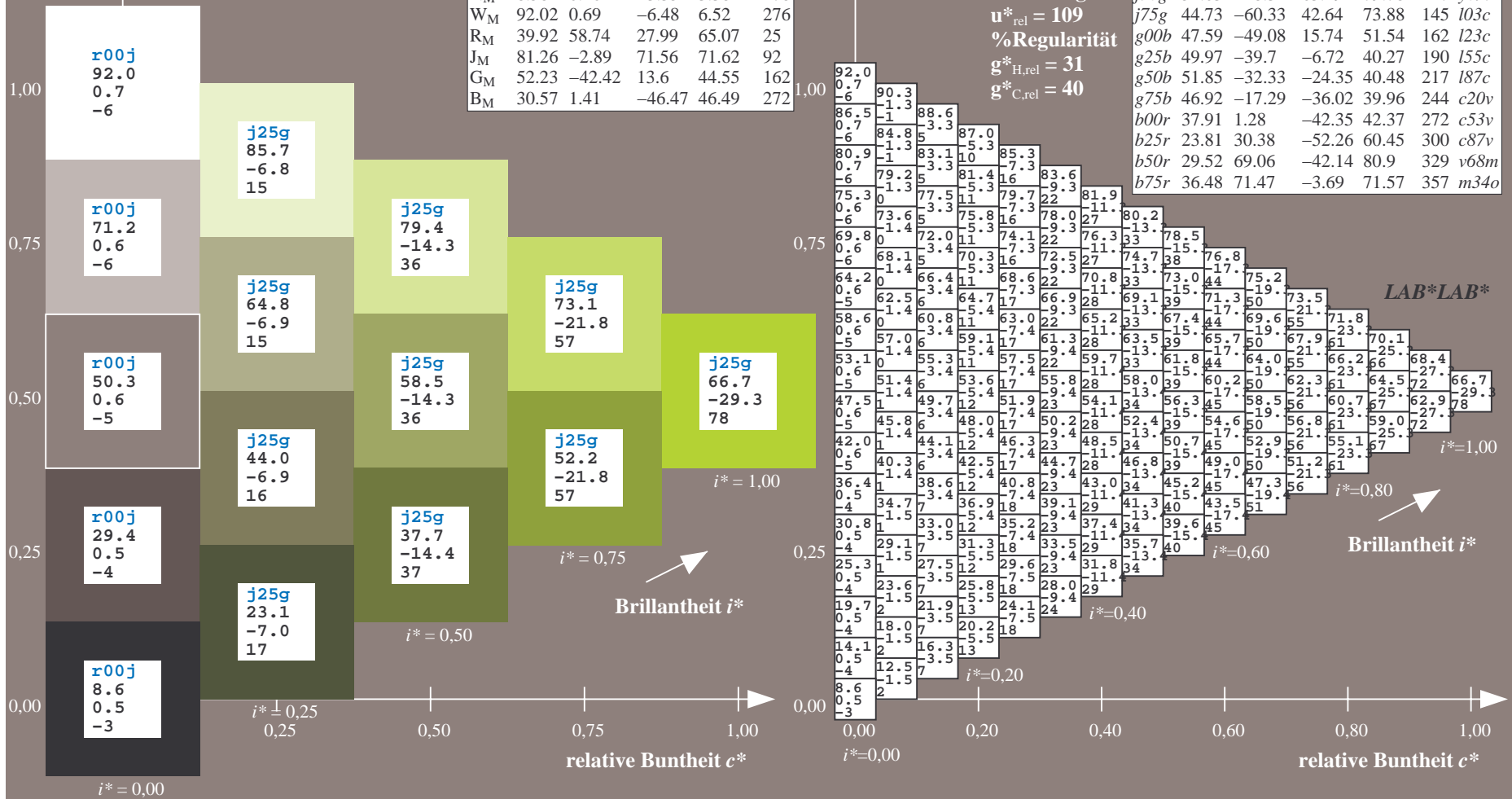
$lab^*rgb^*_{Ma}: 0.75 1.0 0.0$

$lab^*olv^*_{Ma}: 0.66 1.0 0.0$

Dreiecks-Helligkeit t^*

FRS09_92aM; adaptierte CIELAB-Daten

u^*_e	$L^*=L^*_a$	a^*_a	b^*_a	$C^*_{ab,a}$	$h^*_{ab,a}$	u^*_d
r00j	35.47	63.32	30.17	70.15	25	m81o
r25j	39.12	54.56	49.45	73.64	42	o10y
r50j	50.64	39.15	64.89	75.79	59	o40y
r75j	64.01	21.26	82.83	85.52	76	o69y
j00g	83.18	-4.38	108.53	108.62	92	o98y
j25g	66.73	-29.89	83.06	88.28	110	y34l
j50g	54.03	-48.31	63.49	79.78	127	y69l
j75g	44.73	-60.33	42.64	73.88	145	i03c
g00b	47.59	-49.08	15.74	51.54	162	i23c
g25b	49.97	-39.7	-6.72	40.27	190	i55c
g50b	51.85	-32.33	-24.35	40.48	217	i87c
g75b	46.92	-17.29	-36.02	39.96	244	c20v
b00r	37.91	1.28	-42.35	42.37	272	c53v
b25r	23.81	30.38	-52.26	60.45	300	c87v
b50r	29.52	69.06	-42.14	80.9	329	v68m
b75r	36.48	71.47	-3.69	71.57	357	m34o



%Umfang
 $u^*_{rel} = 109$
%Regularität
 $g^*_{H,rel} = 31$
 $g^*_{C,rel} = 40$

LAB^*LAB^*

Brillanz i^*

Ein und Ausgabe: Farbmatisches Drucker-Reflektiv-System FRS09_92aM für relativen CIELAB-Bunton $h^* = lab^*h^* = h_{ab}/360 = 0.354$

$u^*_e = j50g$
LAB*LAB*

Daten für jede Farbe:

lab^*ch^* und lab^*icu^*

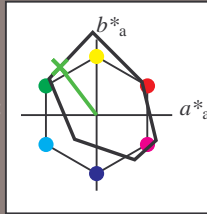
Buntontexte:

$u^*_e = j50g$ $u^*_d = y69l$

Kontrastreduzierungsfaktor:

$c_R = 1.0$

Dreiecks-Helligkeit t^*



FRS09_92M; CIELAB-Daten						
	u^*_e	$L^*=L^*_a$	a^*_a	b^*_a	C^*_{ab}	h^*_{ab}
O _M	35.06	60.53	39.66	72.37	33	
Y _M	83.77	-4.5	103.15	103.25	92	
L _M	44.13	-62.11	43.56	75.86	145	
C _M	52.66	-28.56	-36.99	46.73	232	
V _M	14.15	50.78	-62.6	80.61	309	
M _M	37.37	79.18	-37.93	87.8	334	
N _M	8.58	0.46	-3.35	3.38	278	
W _M	92.02	0.69	-6.48	6.52	276	
R _M	39.92	58.74	27.99	65.07	25	
J _M	81.26	-2.89	71.56	71.62	92	
G _M	52.23	-42.42	13.6	44.55	162	
B _M	30.57	1.41	-46.47	46.49	272	

Daten für Maximalfarbe (Ma):

LAB*LAB*_{Ma}: 54 -48 63

LAB*LCH*_{Ma}: 54 80 127

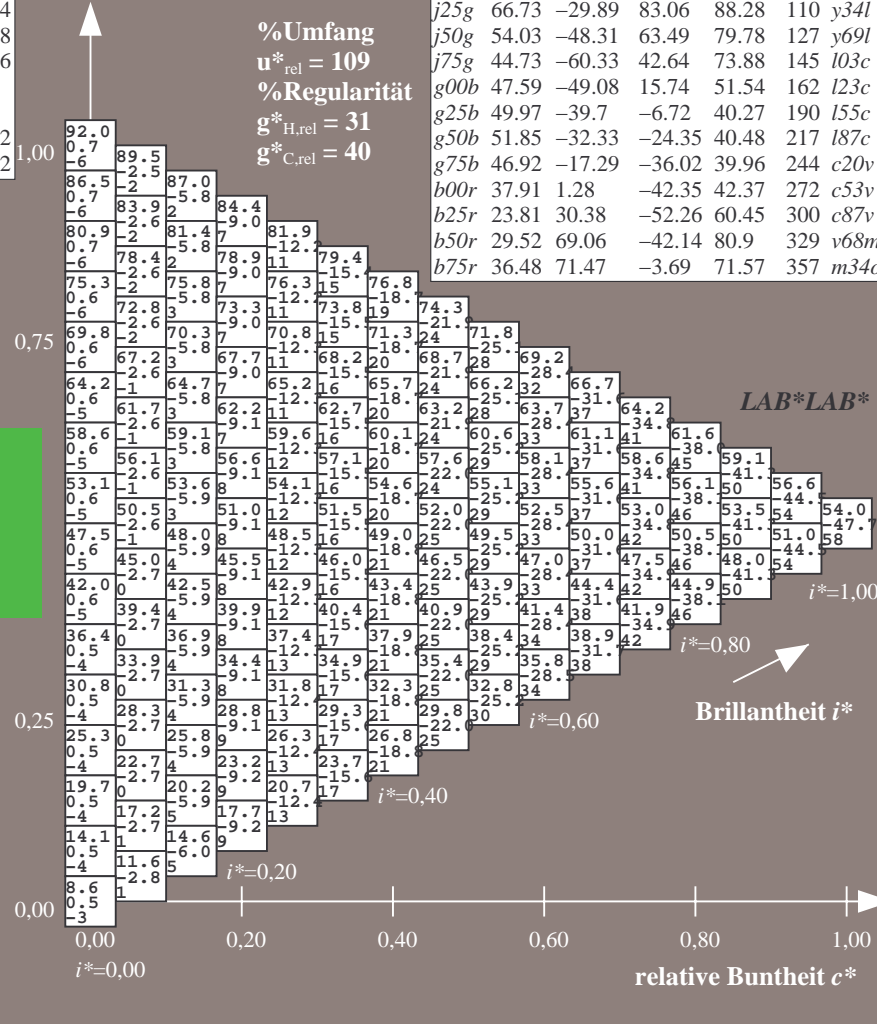
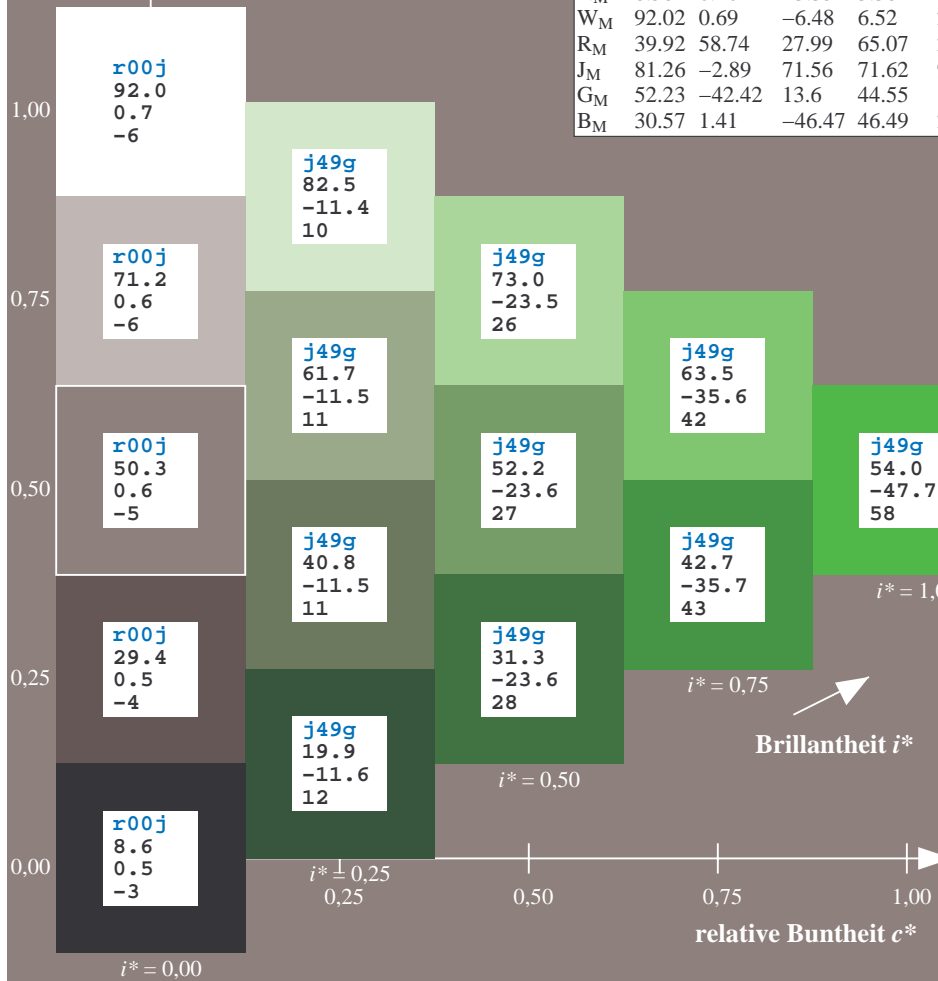
lab*rgb*_{Ma}: 0.5 1.0 0.0

lab*olv*_{Ma}: 0.3 1.0 0.0

Dreiecks-Helligkeit t^*

FRS09_92aM; adaptierte CIELAB-Daten

	u^*_e	$L^*=L^*_a$	a^*_a	b^*_a	$C^*_{ab,a}$	$h^*_{ab,a}$	u^*_d
r00j	35.47	63.32	30.17	70.15	25	m81o	
r25j	39.12	54.56	49.45	73.64	42	o10y	
r50j	50.64	39.15	64.89	75.79	59	o40y	
r75j	64.01	21.26	82.83	85.52	76	o69y	
j00g	83.18	-4.38	108.53	108.62	92	o98y	
j25g	66.73	-29.89	83.06	88.28	110	y34l	
j50g	54.03	-48.31	63.49	79.78	127	y69l	
j75g	44.73	-60.33	42.64	73.88	145	i03c	
g00b	47.59	-49.08	15.74	51.54	162	i23c	
g25b	49.97	-39.7	-6.72	40.27	190	i55c	
g50b	51.85	-32.33	-24.35	40.48	217	i87c	
g75b	46.92	-17.29	-36.02	39.96	244	c20v	
b00r	37.91	1.28	-42.35	42.37	272	c53v	
b25r	23.81	30.38	-52.26	60.45	300	c87v	
b50r	29.52	69.06	-42.14	80.9	329	v68m	
b75r	36.48	71.47	-3.69	71.57	357	m34o	



Ein und Ausgabe: Farbmatisches Drucker-Reflektiv-System FRS09_92aM für relativen CIELAB-Bunton $h^* = lab^*h^* = h_{ab}/360 = 0.402$

$u^*_e = j75g$
LAB*LAB*

Daten für jede Farbe:

lab^*ch^* und lab^*icu^*

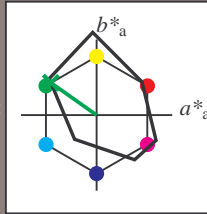
Buntontexte:

$u^*_e = j75g$ $u^*_d = l03c$

Kontrastreduzierungsfaktor:

$c_R = 1.0$

Dreiecks-Helligkeit t^*



FRS09_92M; CIELAB-Daten

	u^*_e	$L^*=L^*$	a^*	b^*	C^*_{ab}	h^*_{ab}
O _M	35.06	60.53	39.66	72.37	33	
Y _M	83.77	-4.5	103.15	103.25	92	
L _M	44.13	-62.11	43.56	75.86	145	
C _M	52.66	-28.56	-36.99	46.73	232	
V _M	14.15	50.78	-62.6	80.61	309	
M _M	37.37	79.18	-37.93	87.8	334	
N _M	8.58	0.46	-3.35	3.38	278	
W _M	92.02	0.69	-6.48	6.52	276	
R _M	39.92	58.74	27.99	65.07	25	
J _M	81.26	-2.89	71.56	71.62	92	
G _M	52.23	-42.42	13.6	44.55	162	
B _M	30.57	1.41	-46.47	46.49	272	

Daten für Maximalfarbe (Ma):

LAB*LAB*_{Ma}: 45 -60 43

LAB*LCH*_{Ma}: 45 74 144

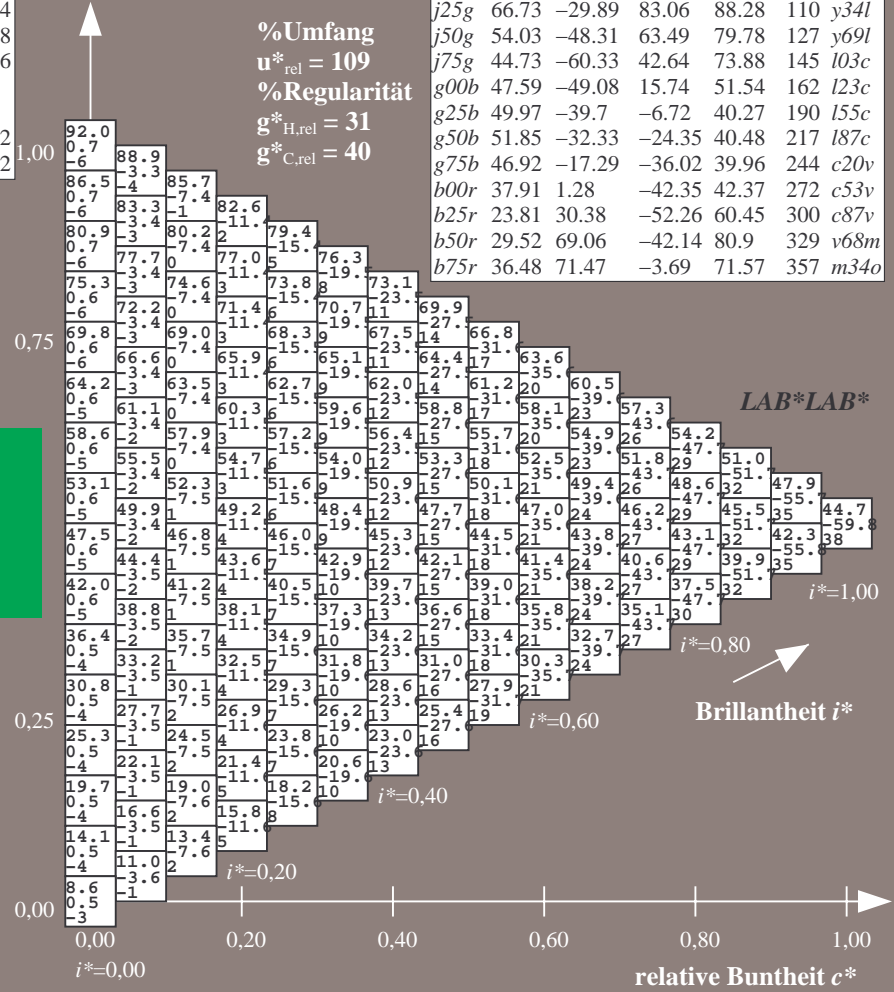
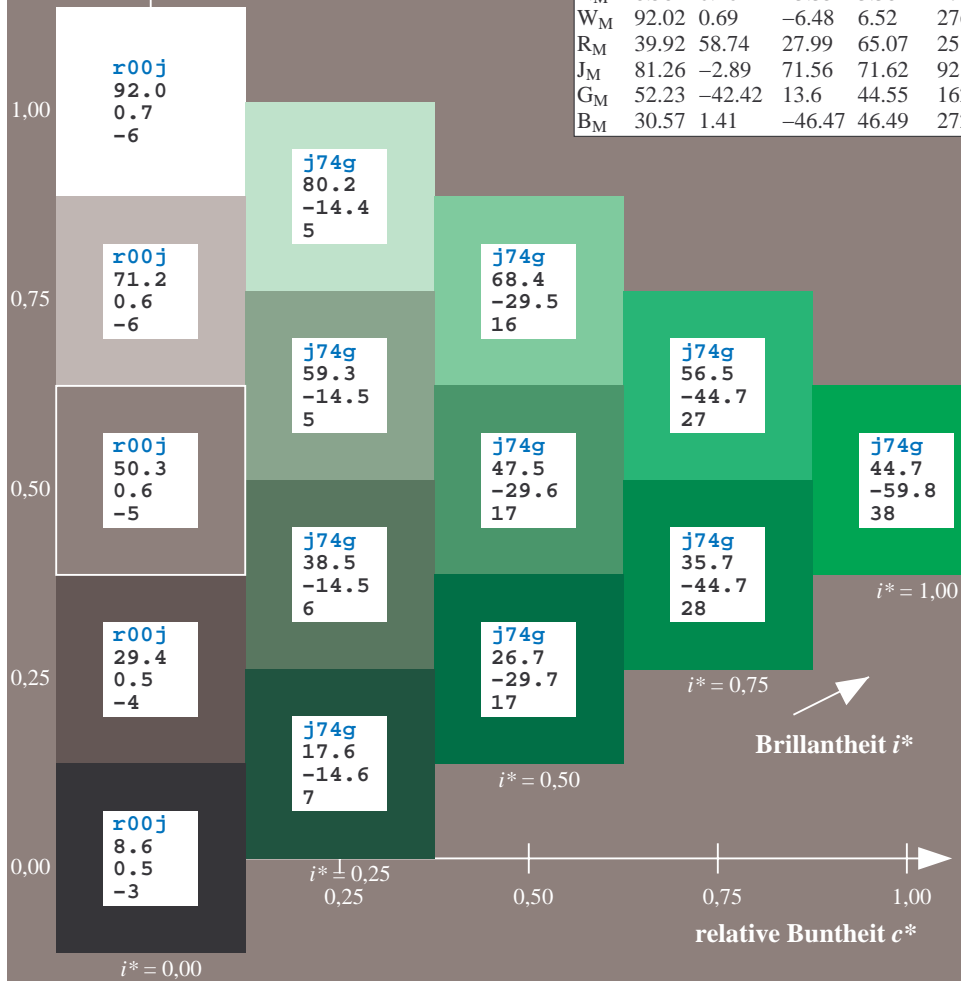
lab*rgb*_{Ma}: 0.25 1.0 0.0

lab*olv*_{Ma}: 0.0 1.0 0.03

Dreiecks-Helligkeit t^*

FRS09_92aM; adaptierte CIELAB-Daten

	u^*_e	$L^*=L^*_a$	a^*_a	b^*_a	$C^*_{ab,a}$	$h^*_{ab,a}$	u^*_d
r00j	35.47	63.32	30.17	70.15	25	m81o	
r25j	39.12	54.56	49.45	73.64	42	o10y	
r50j	50.64	39.15	64.89	75.79	59	o40y	
r75j	64.01	21.26	82.83	85.52	76	o69y	
j00g	83.18	-4.38	108.53	108.62	92	o98y	
j25g	66.73	-29.89	83.06	88.28	110	y34l	
j50g	54.03	-48.31	63.49	79.78	127	y69l	
j75g	44.73	-60.33	42.64	73.88	145	i03c	
g00b	47.59	-49.08	15.74	51.54	162	i23c	
g25b	49.97	-39.7	-6.72	40.27	190	i55c	
g50b	51.85	-32.33	-24.35	40.48	217	i87c	
g75b	46.92	-17.29	-36.02	39.96	244	c20v	
b00r	37.91	1.28	-42.35	42.37	272	c53v	
b25r	23.81	30.38	-52.26	60.45	300	c87v	
b50r	29.52	69.06	-42.14	80.9	329	v68m	
b75r	36.48	71.47	-3.69	71.57	357	m34o	



Ein und Ausgabe: Farbmatisches Drucker-Reflektiv-System FRS09_92aM für relativen CIELAB-Bunton $h^* = lab^*h^* = h_{ab}/360 = 0.451$

$u^*_e = g00b$
 LAB^*LAB^*

Daten für jede Farbe:

lab^*tch^* und lab^*icu^*

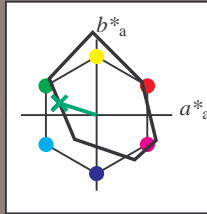
Buntontexte:

$u^*_e = g00b$ $u^*_d = l23c$

Kontrastreduzierungsfaktor:

$c_R = 1.0$

Dreiecks-Helligkeit t^*



FRS09_92M; CIELAB-Daten						
u^*_e	$L^*=L^*$	a^*	b^*	C^*_{ab}	h^*_{ab}	
O _M	35.06	60.53	39.66	72.37	33	
Y _M	83.77	-4.5	103.15	103.25	92	
L _M	44.13	-62.11	43.56	75.86	145	
C _M	52.66	-28.56	-36.99	46.73	232	
V _M	14.15	50.78	-62.6	80.61	309	
M _M	37.37	79.18	-37.93	87.8	334	
N _M	8.58	0.46	-3.35	3.38	278	
W _M	92.02	0.69	-6.48	6.52	276	
R _M	39.92	58.74	27.99	65.07	25	
J _M	81.26	-2.89	71.56	71.62	92	
G _M	52.23	-42.42	13.6	44.55	162	
B _M	30.57	1.41	-46.47	46.49	272	

Daten für Maximalfarbe (Ma):

$LAB^*LAB^*_{Ma}: 48 -49 16$

$LAB^*LCH^*_{Ma}: 48 52 162$

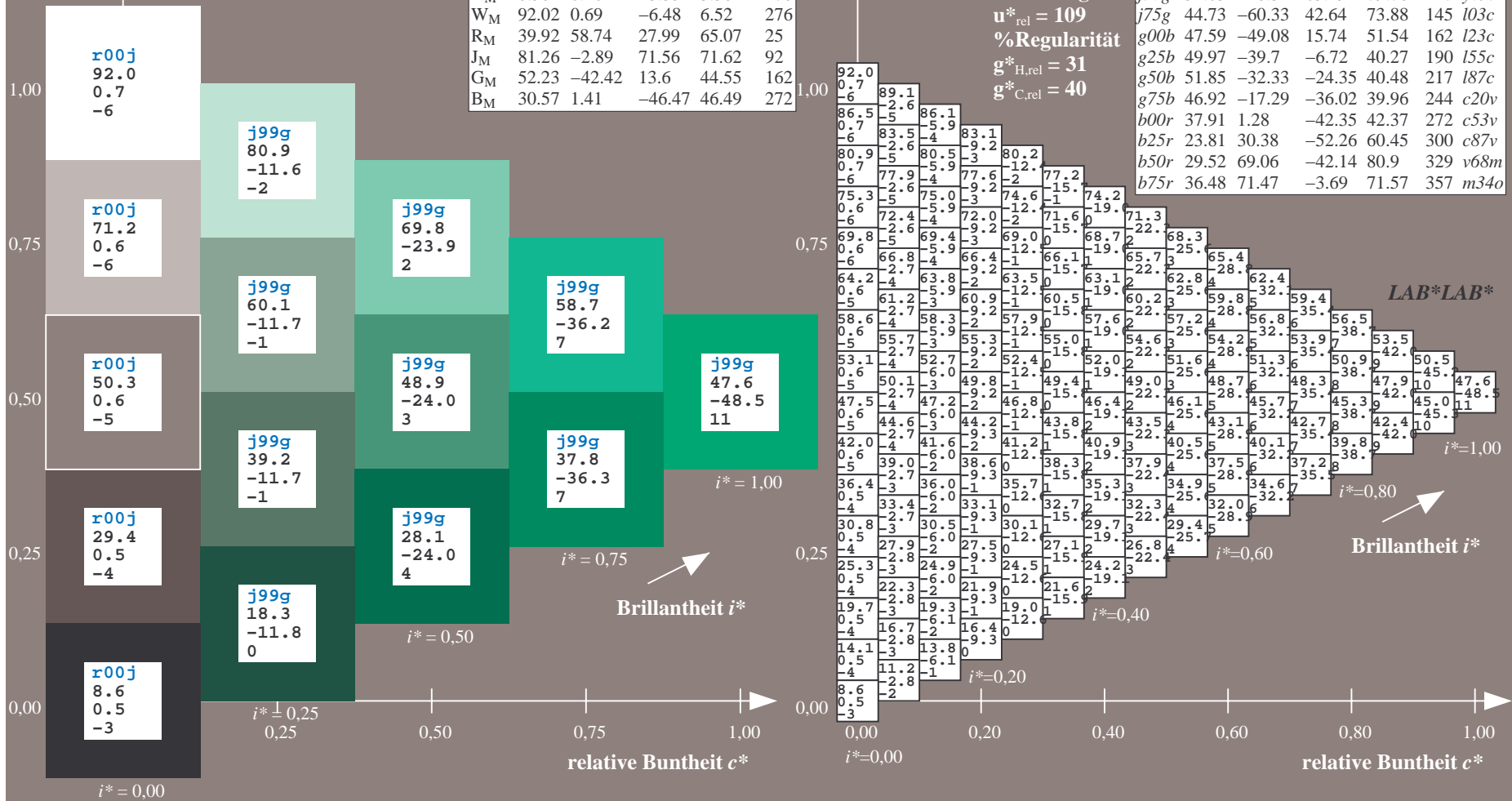
$lab^*rgb^*_{Ma}: 0.0 1.0 0.0$

$lab^*olv^*_{Ma}: 0.0 1.0 0.23$

Dreiecks-Helligkeit t^*

FRS09_92aM; adaptierte CIELAB-Daten

u^*_e	$L^*=L^*_a$	a^*_a	b^*_a	$C^*_{ab,a}$	$h^*_{ab,a}$	u^*_d
r00j	35.47	63.32	30.17	70.15	25	m81o
r25j	39.12	54.56	49.45	73.64	42	o10y
r50j	50.64	39.15	64.89	75.79	59	o40y
r75j	64.01	21.26	82.83	85.52	76	o69y
j00g	83.18	-4.38	108.53	108.62	92	o98y
j25g	66.73	-29.89	83.06	88.28	110	y34l
j50g	54.03	-48.31	63.49	79.78	127	y69l
j75g	44.73	-60.33	42.64	73.88	145	l03c
g00b	47.59	-49.08	15.74	51.54	162	l23c
g25b	49.97	-39.7	-6.72	40.27	190	l55c
g50b	51.85	-32.33	-24.35	40.48	217	l87c
g75b	46.92	-17.29	-36.02	39.96	244	c20v
b00r	37.91	1.28	-42.35	42.37	272	c53v
b25r	23.81	30.38	-52.26	60.45	300	c87v
b50r	29.52	69.06	-42.14	80.9	329	v68m
b75r	36.48	71.47	-3.69	71.57	357	m34o



Ein und Ausgabe: Farbmatisches Drucker-Reflektiv-System FRS09_92aM für relativen CIELAB-Bunton $h^* = lab^*h^* = h_{ab}/360 = 0.527$

$u^*_e = g25b$
 LAB^*LAB^*

Daten für jede Farbe:

lab^*ch^* und lab^*icu^*

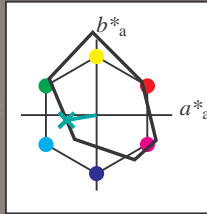
Buntontexte:

$u^*_e = g25b$ $u^*_d = l55c$

Kontrastreduzierungsfaktor:

$c_R = 1.0$

Dreiecks-Helligkeit t^*



FRS09_92M; CIELAB-Daten

	u^*_e	$L^*=L^*$	a^*	b^*	C^*_{ab}	h^*_{ab}
O_M	35.06	60.53	39.66	72.37	33	
Y_M	83.77	-4.5	103.15	103.25	92	
L_M	44.13	-62.11	43.56	75.86	145	
C_M	52.66	-28.56	-36.99	46.73	232	
V_M	14.15	50.78	-62.6	80.61	309	
M_M	37.37	79.18	-37.93	87.8	334	
N_M	8.58	0.46	-3.35	3.38	278	
W_M	92.02	0.69	-6.48	6.52	276	
R_M	39.92	58.74	27.99	65.07	25	
J_M	81.26	-2.89	71.56	71.62	92	
G_M	52.23	-42.42	13.6	44.55	162	
B_M	30.57	1.41	-46.47	46.49	272	

Daten für Maximalfarbe (Ma):

$LAB^*LAB^*_{Ma}: 50 -40 -7$

$LAB^*LCH^*_{Ma}: 50 40 189$

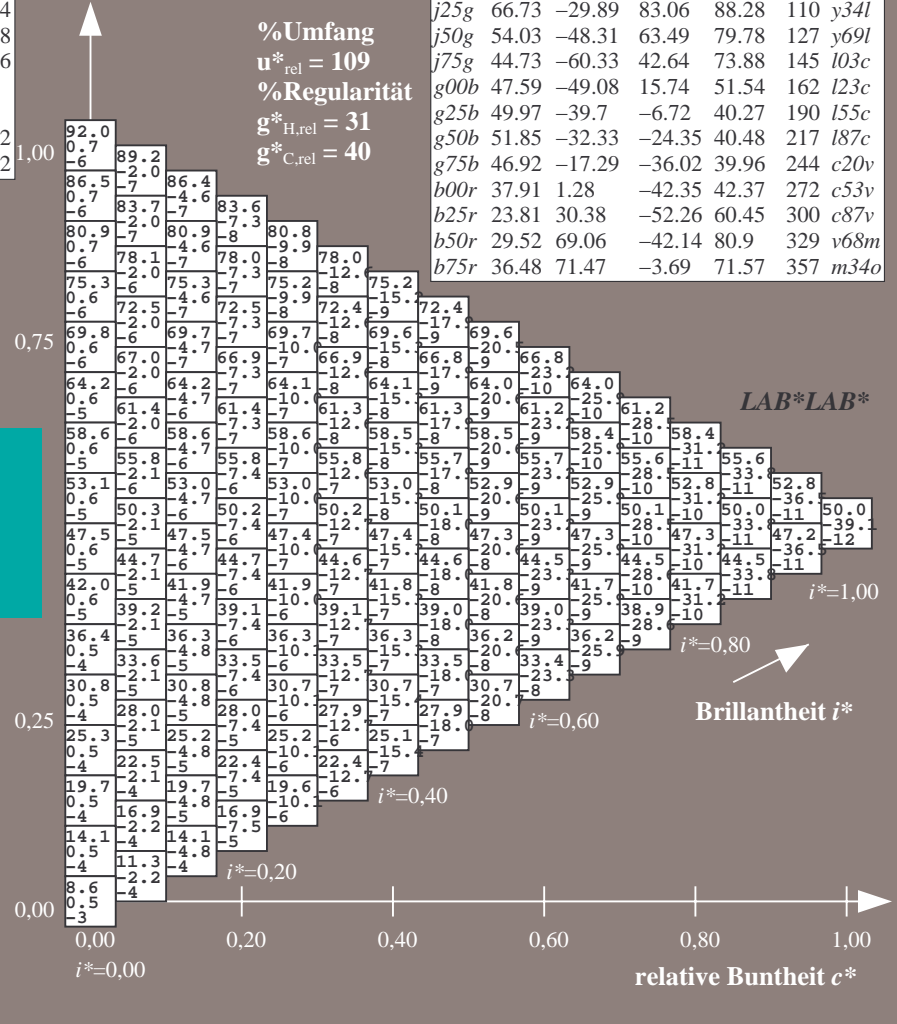
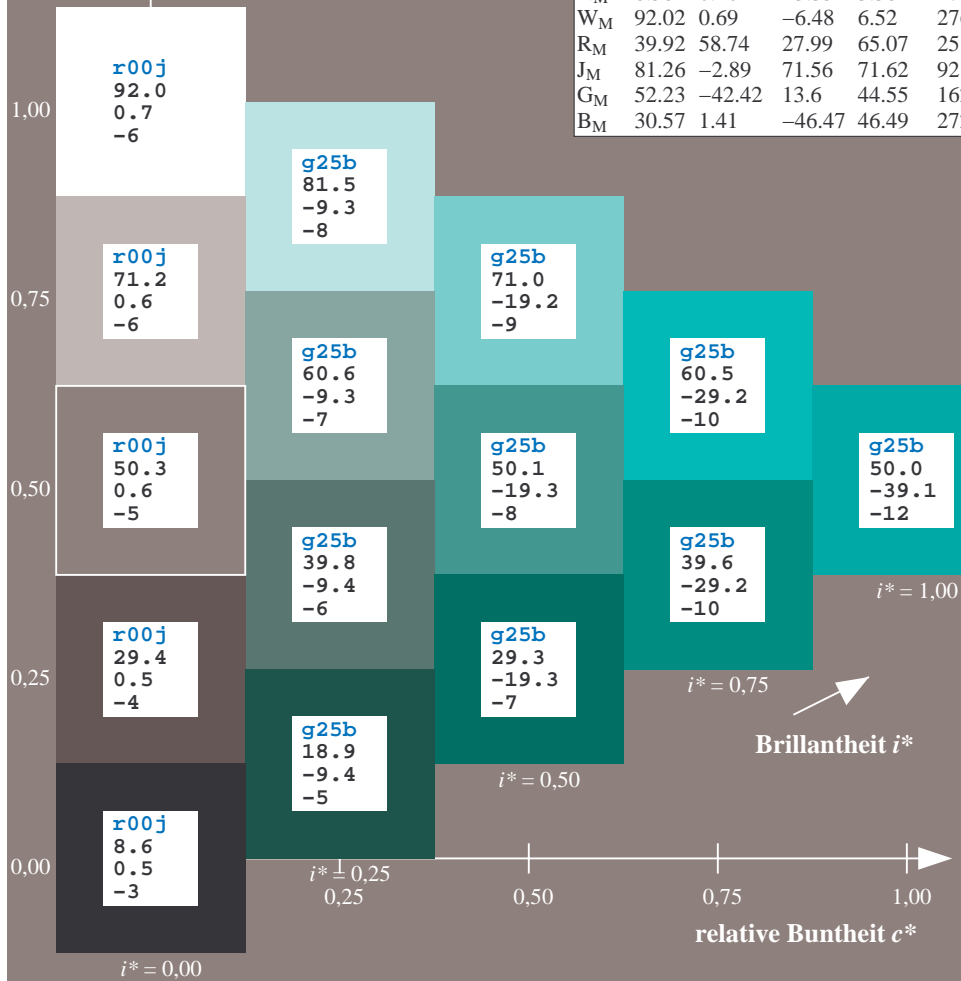
$lab^*rgb^*_{Ma}: 0.0 1.0 0.5$

$lab^*olv^*_{Ma}: 0.0 1.0 0.55$

Dreiecks-Helligkeit t^*

FRS09_92aM; adaptierte CIELAB-Daten

	u^*_e	$L^*=L^*_a$	a^*_a	b^*_a	$C^*_{ab,a}$	$h^*_{ab,a}$	u^*_d
r00j	35.47	63.32	30.17	70.15	25	m81o	
r25j	39.12	54.56	49.45	73.64	42	o10y	
r50j	50.64	39.15	64.89	75.79	59	o40y	
r75j	64.01	21.26	82.83	85.52	76	o69y	
j00g	83.18	-4.38	108.53	108.62	92	o98y	
j25g	66.73	-29.89	83.06	88.28	110	y34l	
j50g	54.03	-48.31	63.49	79.78	127	y69l	
j75g	44.73	-60.33	42.64	73.88	145	l03c	
g00b	47.59	-49.08	15.74	51.54	162	l23c	
g25b	49.97	-39.7	-6.72	40.27	190	l55c	
g50b	51.85	-32.33	-24.35	40.48	217	l87c	
g75b	46.92	-17.29	-36.02	39.96	244	c20v	
b00r	37.91	1.28	-42.35	42.37	272	c53v	
b25r	23.81	30.38	-52.26	60.45	300	c87v	
b50r	29.52	69.06	-42.14	80.9	329	v68m	
b75r	36.48	71.47	-3.69	71.57	357	m34o	



Ein und Ausgabe: Farbmatisches Drucker-Reflektiv-System FRS09_92aM für relativen CIELAB-Bunton $h^* = lab^*h^* = h_{ab}/360 = 0.603$

$u^*_e = g50b$
 LAB^*LAB^*

Daten für jede Farbe:

lab^*tch^* und lab^*icu^*

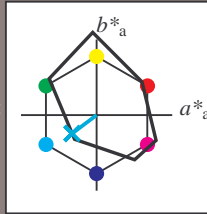
Buntontexte:

$u^*_e = g50b$ $u^*_d = l87c$

Kontrastreduzierungsfaktor:

$c_R = 1.0$

Dreiecks-Helligkeit t^*



FRS09_92M; CIELAB-Daten						
u^*_e	$L^*=L^*_a$	a^*_a	b^*_a	C^*_{ab}	h^*_{ab}	
O _M	35.06	60.53	39.66	72.37	33	
Y _M	83.77	-4.5	103.15	103.25	92	
L _M	44.13	-62.11	43.56	75.86	145	
C _M	52.66	-28.56	-36.99	46.73	232	
V _M	14.15	50.78	-62.6	80.61	309	
M _M	37.37	79.18	-37.93	87.8	334	
N _M	8.58	0.46	-3.35	3.38	278	
W _M	92.02	0.69	-6.48	6.52	276	
R _M	39.92	58.74	27.99	65.07	25	
J _M	81.26	-2.89	71.56	71.62	92	
G _M	52.23	-42.42	13.6	44.55	162	
B _M	30.57	1.41	-46.47	46.49	272	

Daten für Maximalfarbe (Ma):

$LAB^*LAB^*_{Ma}: 52 -32 -24$

$LAB^*LCH^*_{Ma}: 52 40 216$

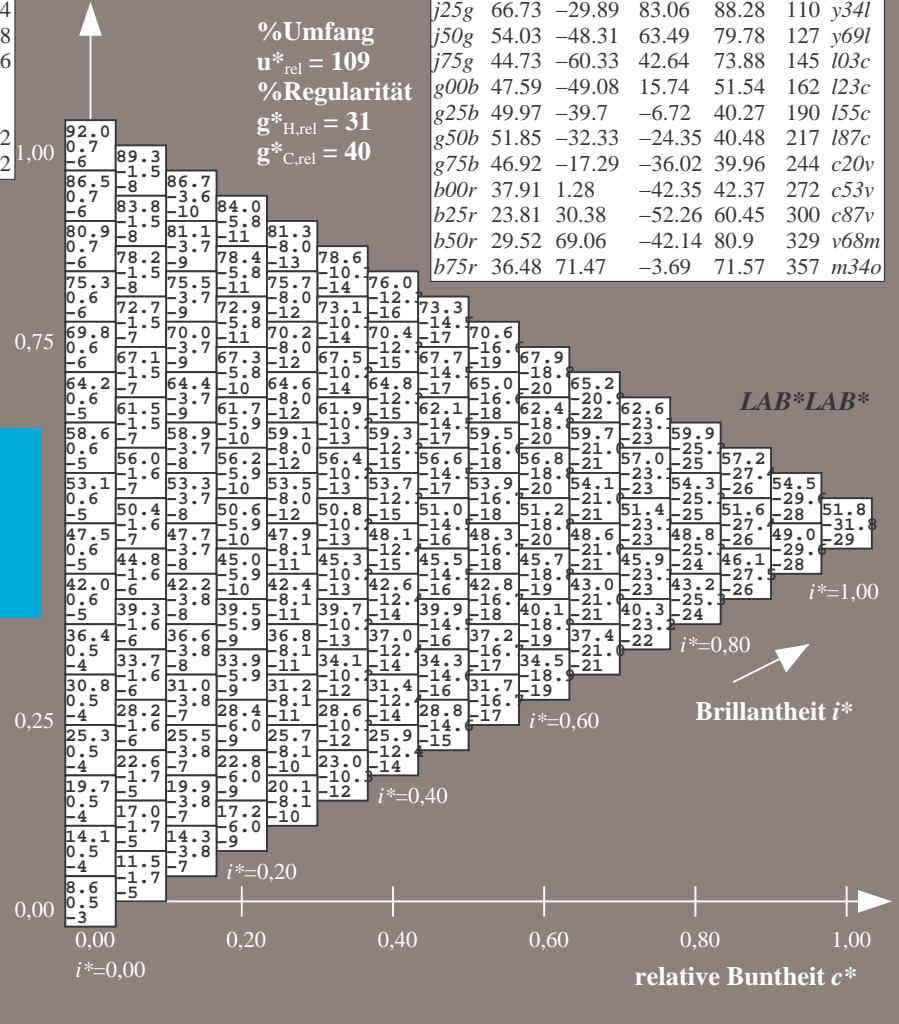
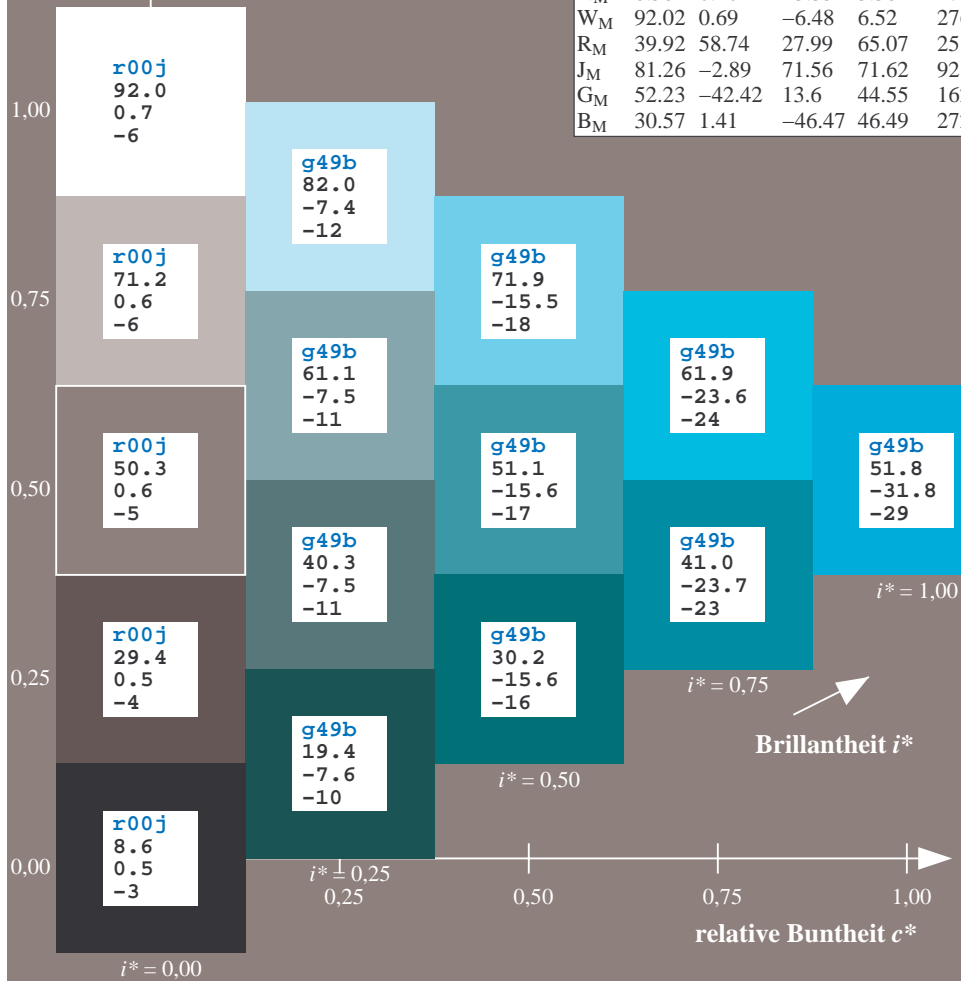
$lab^*rgb^*_{Ma}: 0.0 1.0 1.0$

$lab^*olv^*_{Ma}: 0.0 1.0 0.87$

Dreiecks-Helligkeit t^*

FRS09_92aM; adaptierte CIELAB-Daten

u^*_e	$L^*=L^*_a$	a^*_a	b^*_a	$C^*_{ab,a}$	$h^*_{ab,a}$	u^*_d
r00j	35.47	63.32	30.17	70.15	25	m81o
r25j	39.12	54.56	49.45	73.64	42	o10y
r50j	50.64	39.15	64.89	75.79	59	o40y
r75j	64.01	21.26	82.83	85.52	76	o69y
j00g	83.18	-4.38	108.53	108.62	92	o98y
j25g	66.73	-29.89	83.06	88.28	110	y34l
j50g	54.03	-48.31	63.49	79.78	127	y69l
j75g	44.73	-60.33	42.64	73.88	145	l03c
g00b	47.59	-49.08	15.74	51.54	162	l23c
g25b	49.97	-39.7	-6.72	40.27	190	l55c
g50b	51.85	-32.33	-24.35	40.48	217	l87c
g75b	46.92	-17.29	-36.02	39.96	244	c20v
b00r	37.91	1.28	-42.35	42.37	272	c53v
b25r	23.81	30.38	-52.26	60.45	300	c87v
b50r	29.52	69.06	-42.14	80.9	329	v68m
b75r	36.48	71.47	-3.69	71.57	357	m34o



%Umfang
 $u^*_{rel} = 109$
%Regularität
 $g^*_{H,rel} = 31$
 $g^*_{C,rel} = 40$

LAB^*LAB^*

Brillantheit i^*

Ein und Ausgabe: Farbmatisches Drucker-Reflektiv-System FRS09_92aM für relativen CIELAB-Bunton $h^* = lab^*h^* = h_{ab}/360 = 0.679$

$u^*_e = g75b$
LAB*LAB*

Daten für jede Farbe:

lab^*ch^* und lab^*icu^*

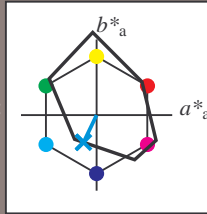
Buntontexte:

$u^*_e = g75b$ $u^*_d = c20v$

Kontrastreduzierungsfaktor:

$c_R = 1.0$

Dreiecks-Helligkeit t^*



FRS09_92M; CIELAB-Daten

	u^*_e	$L^*=L^*_a$	a^*_a	b^*_a	C^*_{ab}	h^*_{ab}
O _M	35.06	60.53	39.66	72.37	33	
Y _M	83.77	-4.5	103.15	103.25	92	
L _M	44.13	-62.11	43.56	75.86	145	
C _M	52.66	-28.56	-36.99	46.73	232	
V _M	14.15	50.78	-62.6	80.61	309	
M _M	37.37	79.18	-37.93	87.8	334	
N _M	8.58	0.46	-3.35	3.38	278	
W _M	92.02	0.69	-6.48	6.52	276	
R _M	39.92	58.74	27.99	65.07	25	
J _M	81.26	-2.89	71.56	71.62	92	
G _M	52.23	-42.42	13.6	44.55	162	
B _M	30.57	1.41	-46.47	46.49	272	

Daten für Maximalfarbe (Ma):

LAB*LAB*_{Ma}: 47 -17 -36

LAB*LCH*_{Ma}: 47 40 244

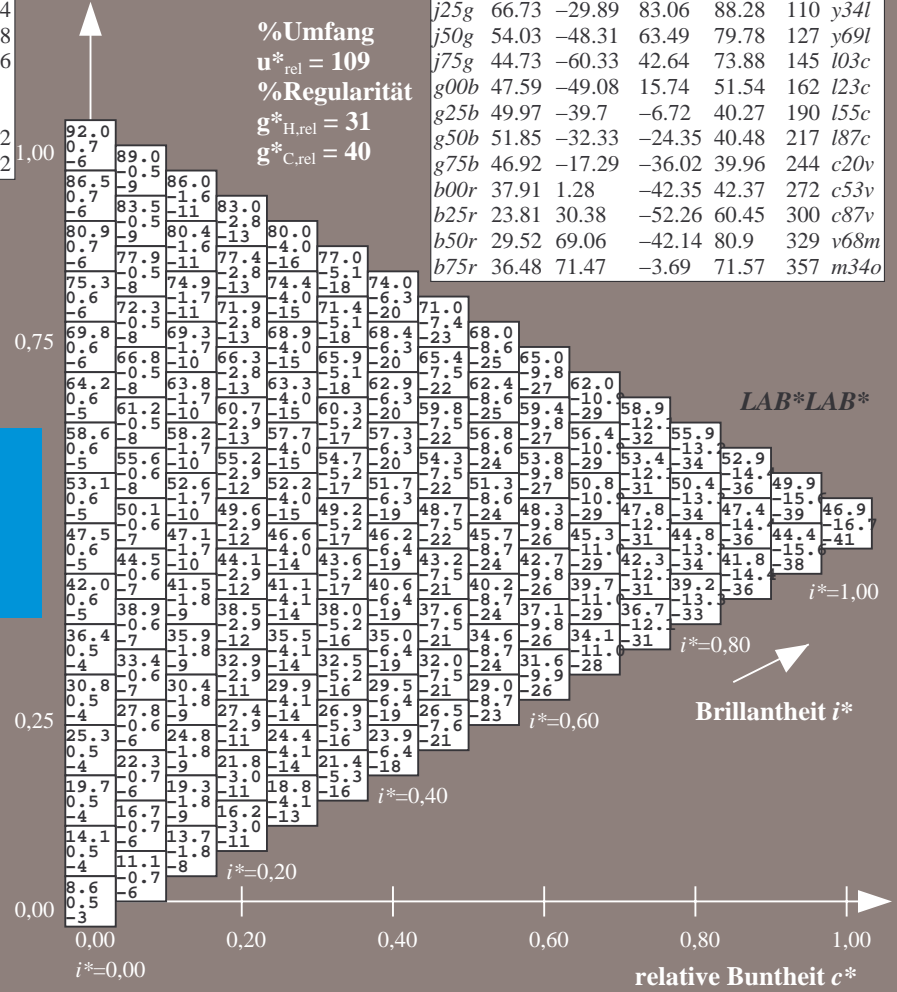
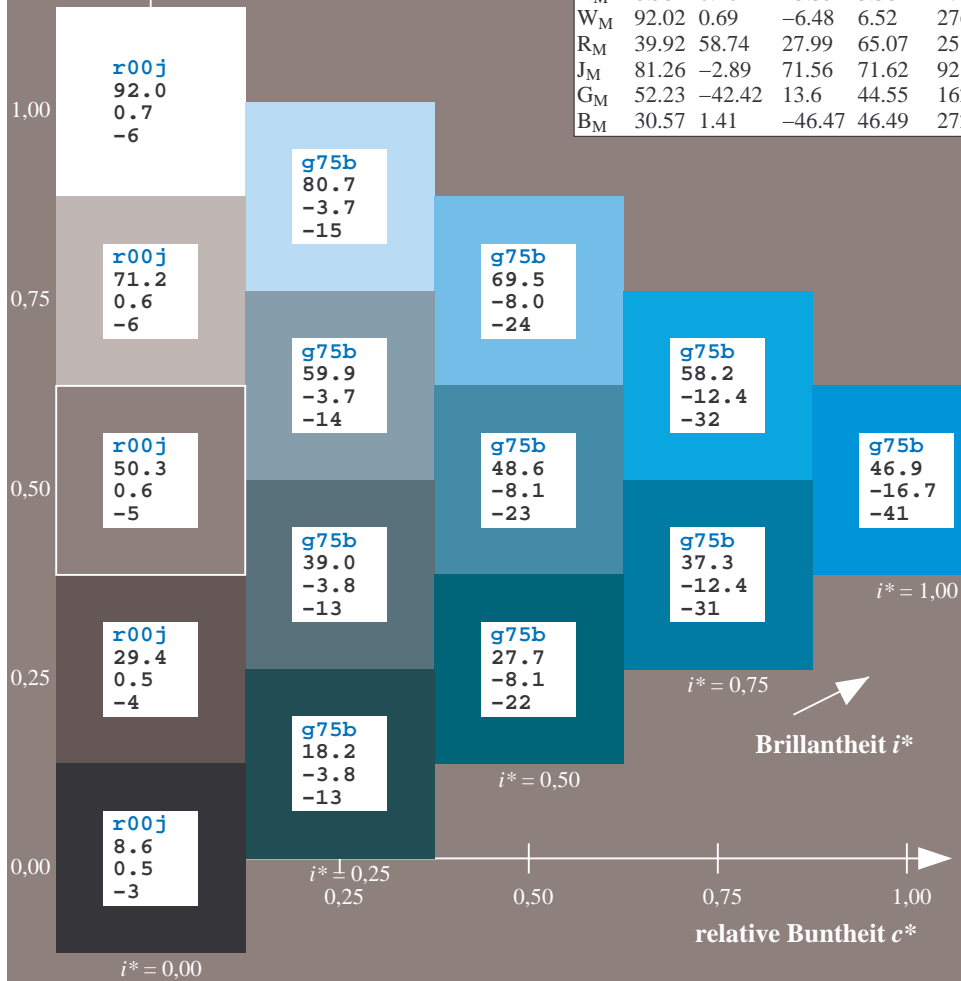
lab*rgb*_{Ma}: 0.0 0.5 1.0

lab*olv*_{Ma}: 0.0 0.8 1.0

Dreiecks-Helligkeit t^*

FRS09_92aM; adaptierte CIELAB-Daten

	u^*_e	$L^*=L^*_a$	a^*_a	b^*_a	$C^*_{ab,a}$	$h^*_{ab,a}$	u^*_d
r00j	35.47	63.32	30.17	70.15	25	m81o	
r25j	39.12	54.56	49.45	73.64	42	o10y	
r50j	50.64	39.15	64.89	75.79	59	o40y	
r75j	64.01	21.26	82.83	85.52	76	o69y	
j00g	83.18	-4.38	108.53	108.62	92	o98y	
j25g	66.73	-29.89	83.06	88.28	110	y34l	
j50g	54.03	-48.31	63.49	79.78	127	y69l	
j75g	44.73	-60.33	42.64	73.88	145	l03c	
g00b	47.59	-49.08	15.74	51.54	162	i23c	
g25b	49.97	-39.7	-6.72	40.27	190	i55c	
g50b	51.85	-32.33	-24.35	40.48	217	i87c	
g75b	46.92	-17.29	-36.02	39.96	244	c20v	
b00r	37.91	1.28	-42.35	42.37	272	c53v	
b25r	23.81	30.38	-52.26	60.45	300	c87v	
b50r	29.52	69.06	-42.14	80.9	329	v68m	
b75r	36.48	71.47	-3.69	71.57	357	m34o	



%Umfang
 $u^*_{rel} = 109$
%Regularität
 $g^*_{H,rel} = 31$
 $g^*_{C,rel} = 40$

LAB*LAB*

Brillantheit i^*

Ein und Ausgabe: Farbmatisches Drucker-Reflektiv-System FRS09_92aM für relativen CIELAB-Bunton $h^* = lab^*h^* = h_{ab}/360 = 0.755$

$u^*_e = b00r$
 LAB^*LAB^*

Daten für jede Farbe:

lab^*ch^* und lab^*icu^*

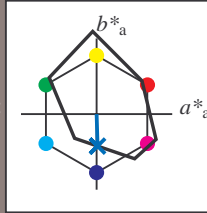
Buntontexte:

$u^*_e = b00r$ $u^*_d = c53v$

Kontrastreduzierungsfaktor:

$c_R = 1.0$

Dreiecks-Helligkeit t^*



FRS09_92M; CIELAB-Daten

	u^*_e	$L^*=L^*$	a^*	b^*	C^*_{ab}	h^*_{ab}
O _M	35.06	60.53	39.66	72.37	33	
Y _M	83.77	-4.5	103.15	103.25	92	
L _M	44.13	-62.11	43.56	75.86	145	
C _M	52.66	-28.56	-36.99	46.73	232	
V _M	14.15	50.78	-62.6	80.61	309	
M _M	37.37	79.18	-37.93	87.8	334	
N _M	8.58	0.46	-3.35	3.38	278	
W _M	92.02	0.69	-6.48	6.52	276	
R _M	39.92	58.74	27.99	65.07	25	
J _M	81.26	-2.89	71.56	71.62	92	
G _M	52.23	-42.42	13.6	44.55	162	
B _M	30.57	1.41	-46.47	46.49	272	

Daten für Maximalfarbe (Ma):

$LAB^*LAB^*_{Ma}: 38 \ 1 \ -42$

$LAB^*LCH^*_{Ma}: 38 \ 42 \ 271$

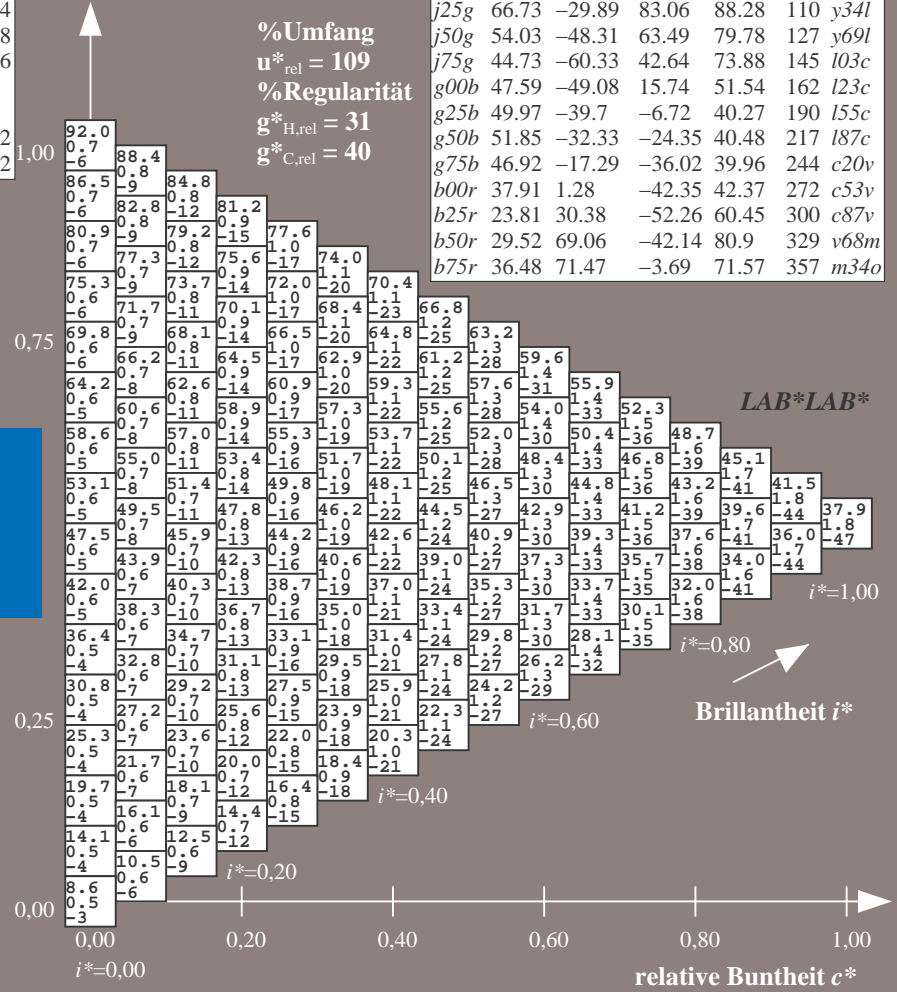
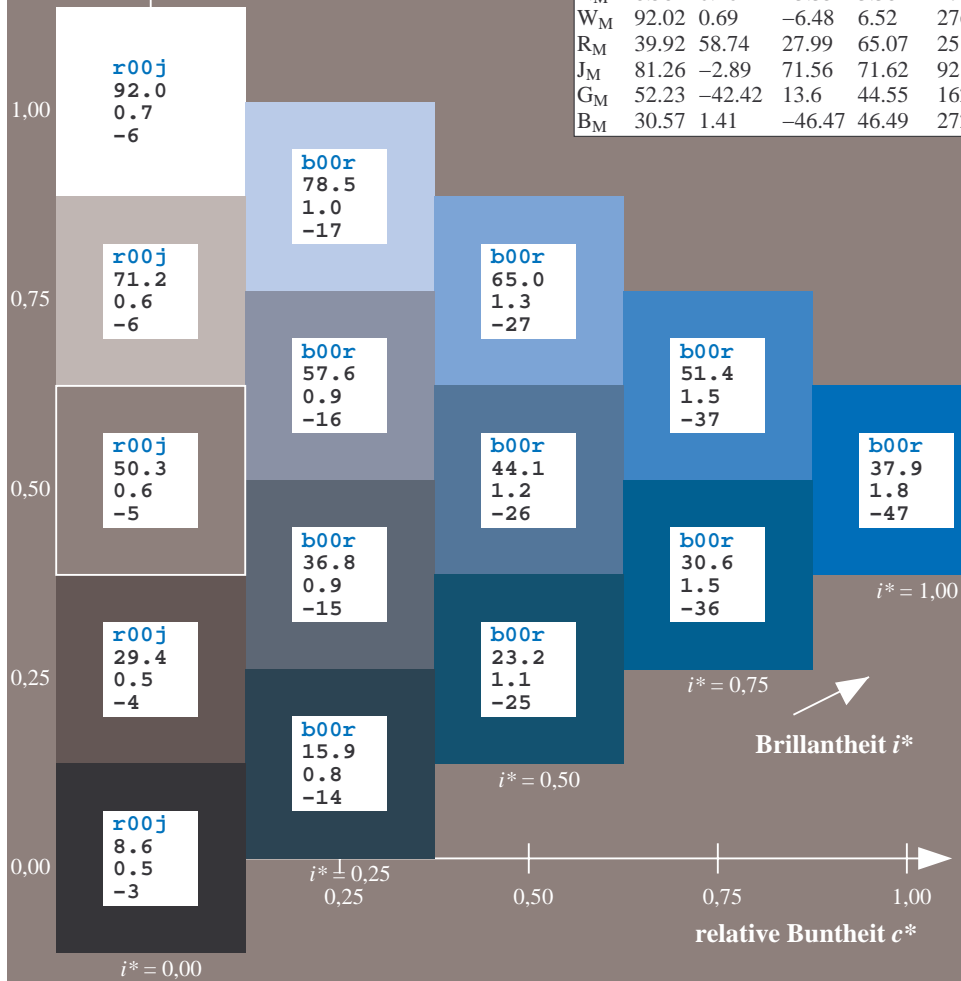
$lab^*rgb^*_{Ma}: 0.0 \ 0.0 \ 1.0$

$lab^*olv^*_{Ma}: 0.0 \ 0.47 \ 1.0$

Dreiecks-Helligkeit t^*

FRS09_92aM; adaptierte CIELAB-Daten

	u^*_e	$L^*=L^*_a$	a^*_a	b^*_a	$C^*_{ab,a}$	$h^*_{ab,a}$	u^*_d
r00j	35.47	63.32	30.17	70.15	25	m81o	
r25j	39.12	54.56	49.45	73.64	42	o10y	
r50j	50.64	39.15	64.89	75.79	59	o40y	
r75j	64.01	21.26	82.83	85.52	76	o69y	
j00g	83.18	-4.38	108.53	108.62	92	o98y	
j25g	66.73	-29.89	83.06	88.28	110	y34l	
j50g	54.03	-48.31	63.49	79.78	127	y69l	
j75g	44.73	-60.33	42.64	73.88	145	l03c	
g00b	47.59	-49.08	15.74	51.54	162	l23c	
g25b	49.97	-39.7	-6.72	40.27	190	l55c	
g50b	51.85	-32.33	-24.35	40.48	217	l87c	
g75b	46.92	-17.29	-36.02	39.96	244	c20v	
b00r	37.91	1.28	-42.35	42.37	272	c53v	
b25r	23.81	30.38	-52.26	60.45	300	c87v	
b50r	29.52	69.06	-42.14	80.9	329	v68m	
b75r	36.48	71.47	-3.69	71.57	357	m34o	



Ein und Ausgabe: Farbmatisches Drucker-Reflektiv-System FRS09_92aM für relativen CIELAB-Bunton $h^* = lab^*h^* = h_{ab}/360 = 0.834$

$u^*_e = b25r$
LAB*LAB*

Daten für jede Farbe:

lab^*ch^* und lab^*icu^*

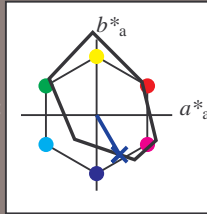
Buntontexte:

$u^*_e = b25r$ $u^*_d = c87v$

Kontrastreduzierungsfaktor:

$c_R = 1.0$

Dreiecks-Helligkeit t^*



FRS09_92M; CIELAB-Daten						
u^*_e	$L^*=L^*$	a^*	b^*	C^*_{ab}	h^*_{ab}	
O _M	35.06	60.53	39.66	72.37	33	
Y _M	83.77	-4.5	103.15	103.25	92	
L _M	44.13	-62.11	43.56	75.86	145	
C _M	52.66	-28.56	-36.99	46.73	232	
V _M	14.15	50.78	-62.6	80.61	309	
M _M	37.37	79.18	-37.93	87.8	334	
N _M	8.58	0.46	-3.35	3.38	278	
W _M	92.02	0.69	-6.48	6.52	276	
R _M	39.92	58.74	27.99	65.07	25	
J _M	81.26	-2.89	71.56	71.62	92	
G _M	52.23	-42.42	13.6	44.55	162	
B _M	30.57	1.41	-46.47	46.49	272	

Daten für Maximalfarbe (Ma):

LAB*LAB*_{Ma}: 24 30 -52

LAB*LCH*_{Ma}: 24 60 300

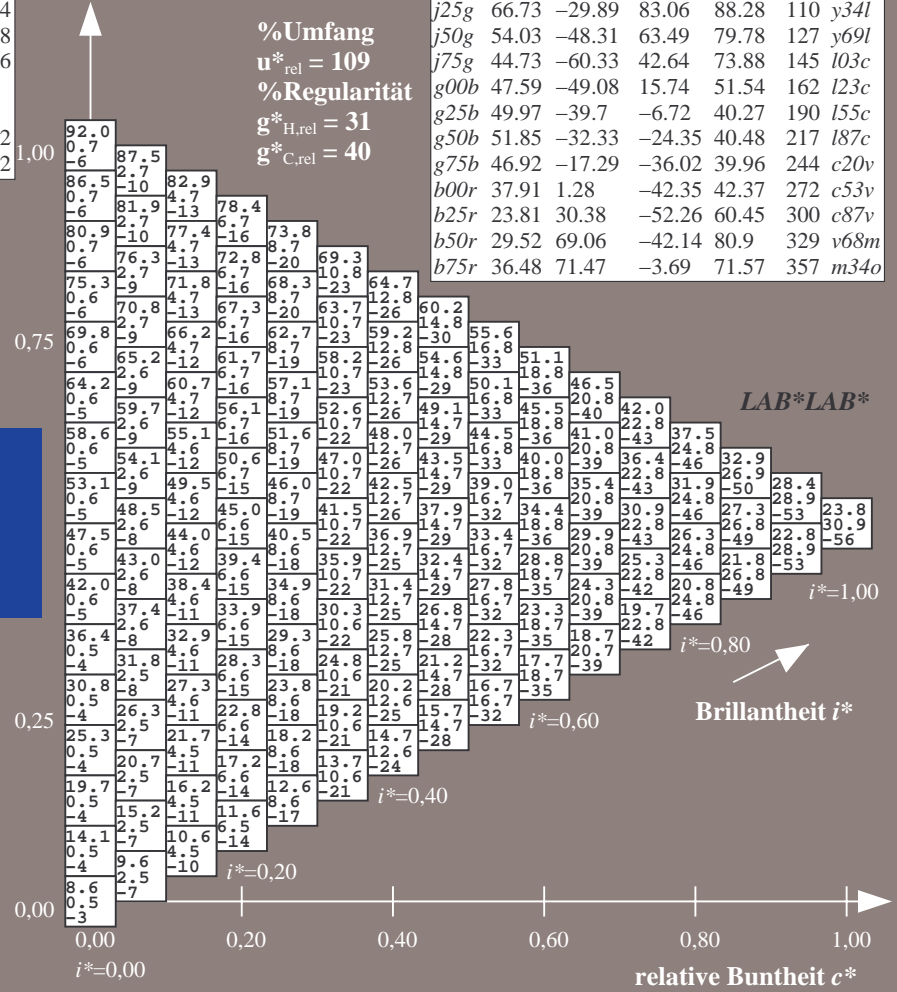
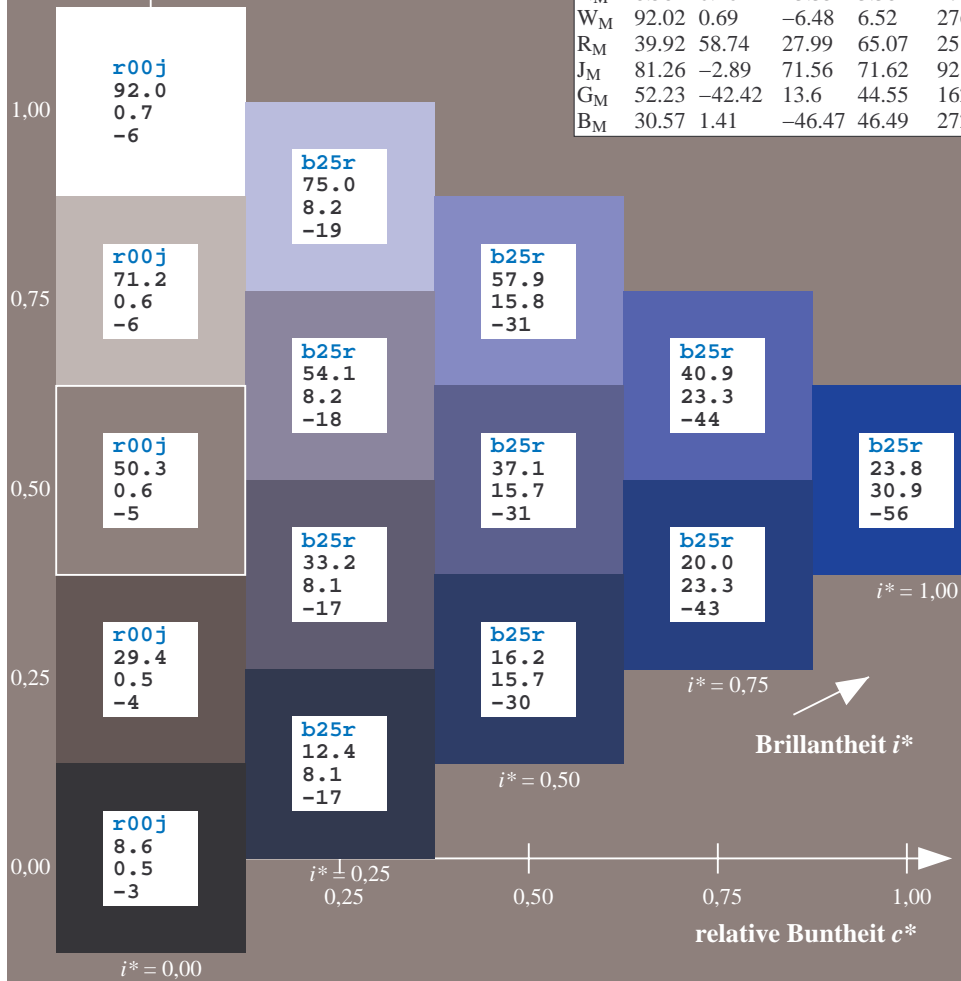
lab*rgb*_{Ma}: 0.5 0.0 1.0

lab*olv*_{Ma}: 0.0 0.12 1.0

Dreiecks-Helligkeit t^*

FRS09_92aM; adaptierte CIELAB-Daten

u^*_e	$L^*=L^*_a$	a^*_a	b^*_a	$C^*_{ab,a}$	$h^*_{ab,a}$	u^*_d
r00j	35.47	63.32	30.17	70.15	25	m81o
r25j	39.12	54.56	49.45	73.64	42	o10y
r50j	50.64	39.15	64.89	75.79	59	o40y
r75j	64.01	21.26	82.83	85.52	76	o69y
j00g	83.18	-4.38	108.53	108.62	92	o98y
j25g	66.73	-29.89	83.06	88.28	110	y34l
j50g	54.03	-48.31	63.49	79.78	127	y69l
j75g	44.73	-60.33	42.64	73.88	145	i03c
g00b	47.59	-49.08	15.74	51.54	162	i23c
g25b	49.97	-39.7	-6.72	40.27	190	i55c
g50b	51.85	-32.33	-24.35	40.48	217	i87c
g75b	46.92	-17.29	-36.02	39.96	244	c20v
b00r	37.91	1.28	-42.35	42.37	272	c53v
b25r	23.81	30.38	-52.26	60.45	300	c87v
b50r	29.52	69.06	-42.14	80.9	329	v68m
b75r	36.48	71.47	-3.69	71.57	357	m34o



Ein und Ausgabe: Farbmatisches Drucker-Reflektiv-System FRS09_92aM für relativen CIELAB-Bunton $h^* = lab^*h^* = h_{ab}/360 = 0.913$

$u^*_e = b50r$
 LAB^*LAB^*

Daten für jede Farbe:

lab^*ch^* und lab^*icu^*

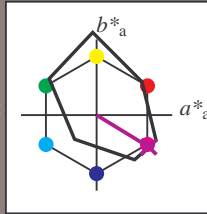
Buntontexte:

$u^*_e = b50r$ $u^*_d = v68m$

Kontrastreduzierungsfaktor:

$c_R = 1.0$

Dreiecks-Helligkeit t^*



FRS09_92M; CIELAB-Daten						
u^*_e	$L^*=L^*$	a^*	b^*	C^*_{ab}	h^*_{ab}	
O _M	35.06	60.53	39.66	72.37	33	
Y _M	83.77	-4.5	103.15	103.25	92	
L _M	44.13	-62.11	43.56	75.86	145	
C _M	52.66	-28.56	-36.99	46.73	232	
V _M	14.15	50.78	-62.6	80.61	309	
M _M	37.37	79.18	-37.93	87.8	334	
N _M	8.58	0.46	-3.35	3.38	278	
W _M	92.02	0.69	-6.48	6.52	276	
R _M	39.92	58.74	27.99	65.07	25	
J _M	81.26	-2.89	71.56	71.62	92	
G _M	52.23	-42.42	13.6	44.55	162	
B _M	30.57	1.41	-46.47	46.49	272	

Daten für Maximalfarbe (Ma):

$LAB^*LAB^*_{Ma}: 30\ 69\ -42$

$LAB^*LCH^*_{Ma}: 30\ 81\ 328$

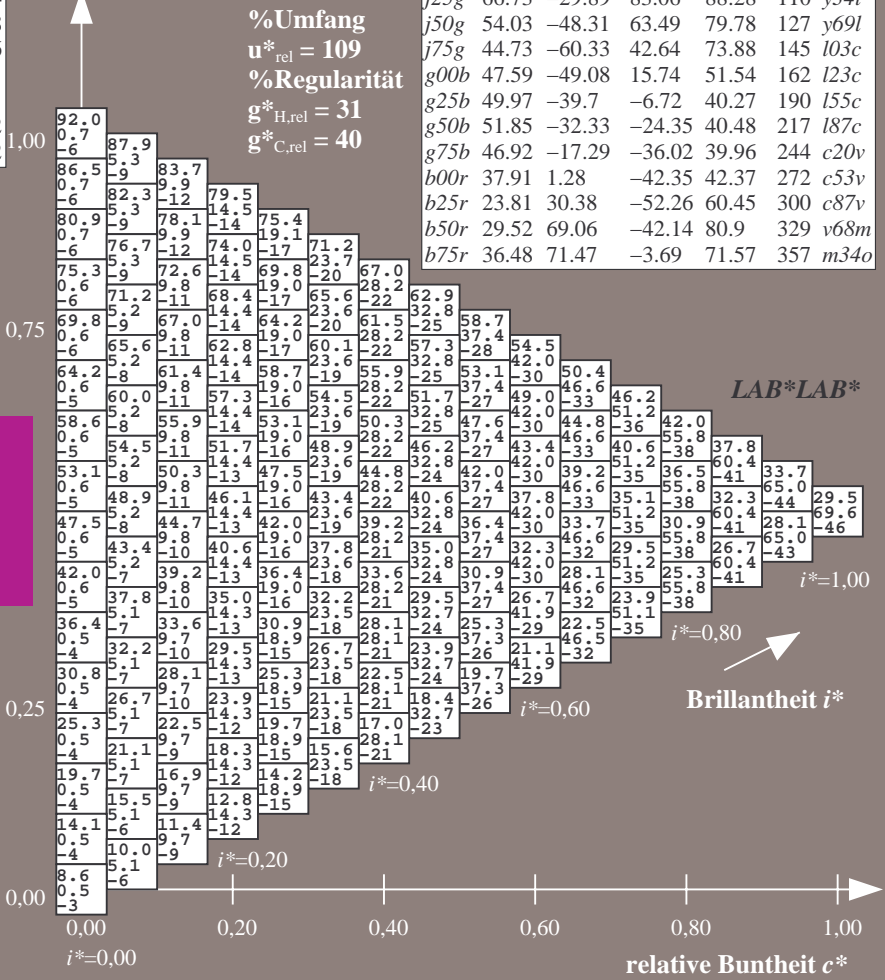
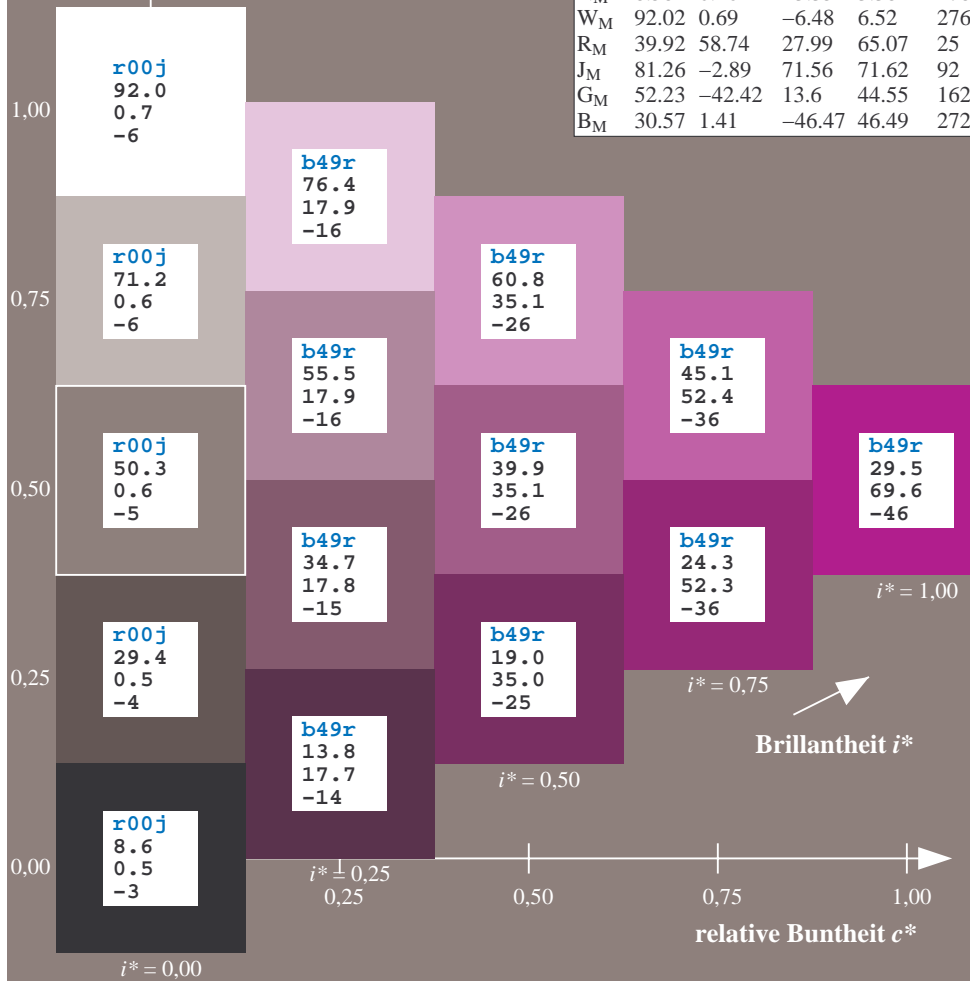
$lab^*rgb^*_{Ma}: 1.0\ 0.0\ 1.0$

$lab^*olv^*_{Ma}: 0.69\ 0.0\ 1.0$

Dreiecks-Helligkeit t^*

FRS09_92aM; adaptierte CIELAB-Daten

u^*_e	$L^*=L^*_a$	a^*_a	b^*_a	$C^*_{ab,a}$	$h^*_{ab,a}$	u^*_d
r00j	35.47	63.32	30.17	70.15	25	m81o
r25j	39.12	54.56	49.45	73.64	42	o10y
r50j	50.64	39.15	64.89	75.79	59	o40y
r75j	64.01	21.26	82.83	85.52	76	o69y
j00g	83.18	-4.38	108.53	108.62	92	o98y
j25g	66.73	-29.89	83.06	88.28	110	y34l
j50g	54.03	-48.31	63.49	79.78	127	y69l
j75g	44.73	-60.33	42.64	73.88	145	i03c
g00b	47.59	-49.08	15.74	51.54	162	i23c
g25b	49.97	-39.7	-6.72	40.27	190	i55c
g50b	51.85	-32.33	-24.35	40.48	217	i87c
g75b	46.92	-17.29	-36.02	39.96	244	c20v
b00r	37.91	1.28	-42.35	42.37	272	c53v
b25r	23.81	30.38	-52.26	60.45	300	c87v
b50r	29.52	69.06	-42.14	80.9	329	v68m
b75r	36.48	71.47	-3.69	71.57	357	m34o



Ein und Ausgabe: Farbmatisches Drucker-Reflektiv-System FRS09_92aM für relativen CIELAB-Bunton $h^* = lab^*h^* = h_{ab}/360 = 0.992$

$u^*_e = b75r$
 LAB^*LAB^*

Daten für jede Farbe:

lab^*ch^* und lab^*icu^*

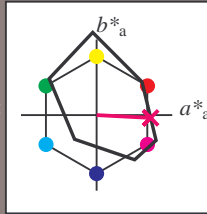
Buntontexte:

$u^*_e = b75r$ $u^*_d = m34o$

Kontrastreduzierungsfaktor:

$c_R = 1.0$

Dreiecks-Helligkeit t^*



FRS09_92M; CIELAB-Daten						
u^*_e	$L^*=L^*$	a^*	b^*	C^*_{ab}	h^*_{ab}	
O _M	35.06	60.53	39.66	72.37	33	
Y _M	83.77	-4.5	103.15	103.25	92	
L _M	44.13	-62.11	43.56	75.86	145	
C _M	52.66	-28.56	-36.99	46.73	232	
V _M	14.15	50.78	-62.6	80.61	309	
M _M	37.37	79.18	-37.93	87.8	334	
N _M	8.58	0.46	-3.35	3.38	278	
W _M	92.02	0.69	-6.48	6.52	276	
R _M	39.92	58.74	27.99	65.07	25	
J _M	81.26	-2.89	71.56	71.62	92	
G _M	52.23	-42.42	13.6	44.55	162	
B _M	30.57	1.41	-46.47	46.49	272	

Daten für Maximalfarbe (Ma):

$LAB^*LAB^*_{Ma}: 36\ 71\ -4$

$LAB^*LCH^*_{Ma}: 36\ 72\ 357$

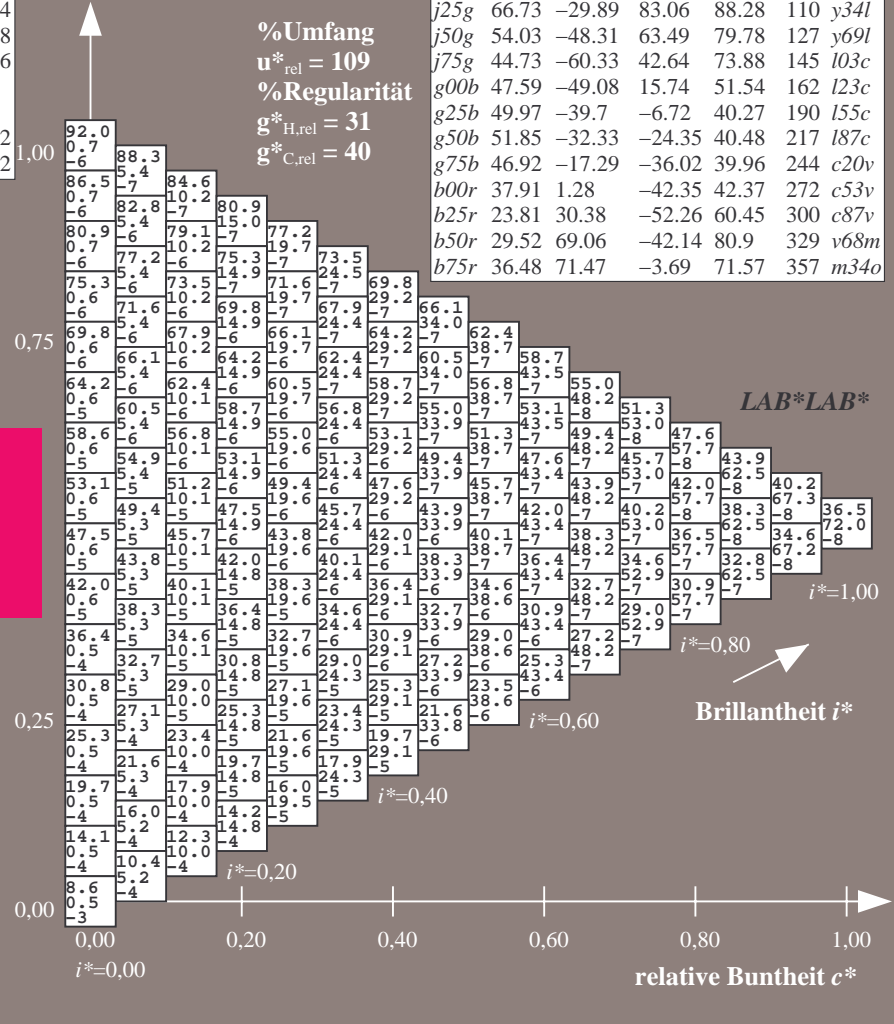
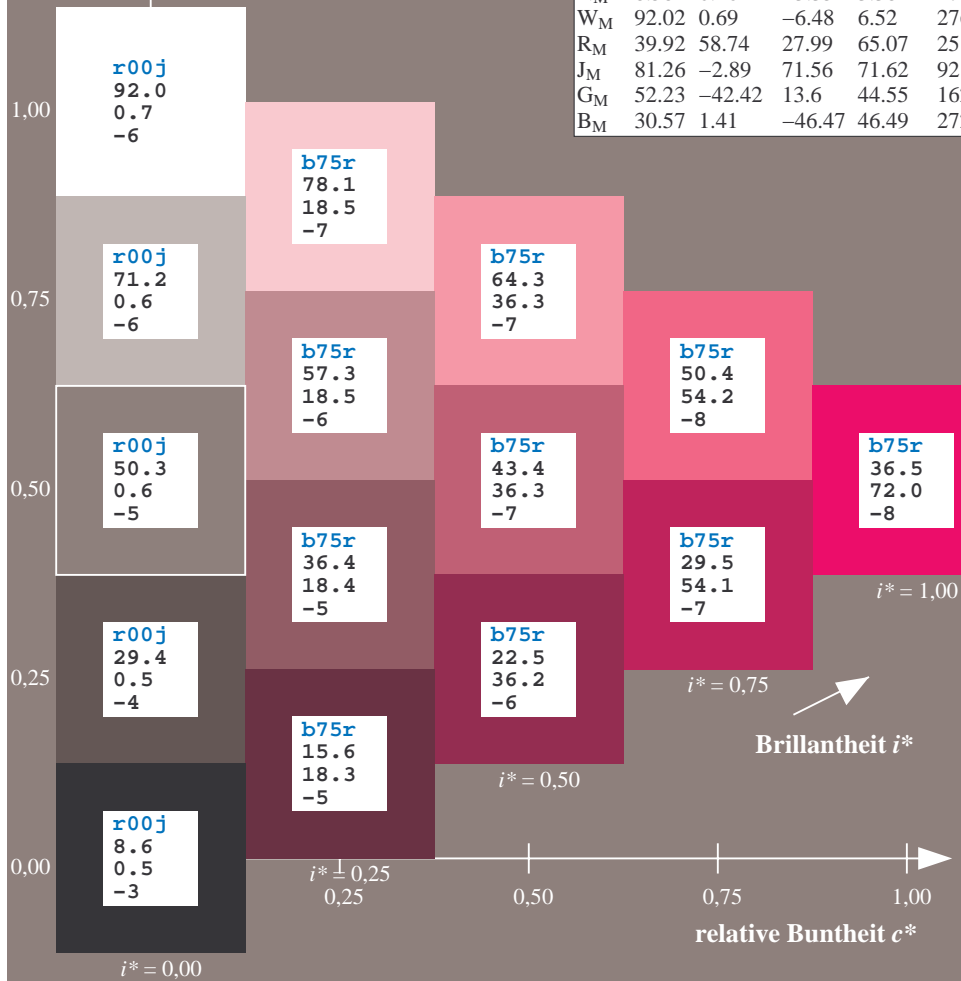
$lab^*rgb^*_{Ma}: 1.0\ 0.0\ 0.5$

$lab^*olv^*_{Ma}: 1.0\ 0.0\ 0.66$

Dreiecks-Helligkeit t^*

FRS09_92aM; adaptierte CIELAB-Daten

u^*_e	$L^*=L^*_a$	a^*_a	b^*_a	$C^*_{ab,a}$	$h^*_{ab,a}$	u^*_d
r00j	35.47	63.32	30.17	70.15	25	m81o
r25j	39.12	54.56	49.45	73.64	42	o10y
r50j	50.64	39.15	64.89	75.79	59	o40y
r75j	64.01	21.26	82.83	85.52	76	o69y
j00g	83.18	-4.38	108.53	108.62	92	o98y
j25g	66.73	-29.89	83.06	88.28	110	y34l
j50g	54.03	-48.31	63.49	79.78	127	y69l
j75g	44.73	-60.33	42.64	73.88	145	i03c
g00b	47.59	-49.08	15.74	51.54	162	i23c
g25b	49.97	-39.7	-6.72	40.27	190	i55c
g50b	51.85	-32.33	-24.35	40.48	217	i87c
g75b	46.92	-17.29	-36.02	39.96	244	c20v
b00r	37.91	1.28	-42.35	42.37	272	c53v
b25r	23.81	30.38	-52.26	60.45	300	c87v
b50r	29.52	69.06	-42.14	80.9	329	v68m
b75r	36.48	71.47	-3.69	71.57	357	m34o



%Umfang
 $u^*_{rel} = 109$
%Regularität
 $g^*_{H,rel} = 31$
 $g^*_{C,rel} = 40$

LAB^*LAB^*

Brillantheit i^*

$i^* = 1.00$

$i^* = 0.80$

$i^* = 0.60$

$i^* = 0.40$

$i^* = 0.20$

$i^* = 0.00$

	A	B	C	D	E	F	G	H	I	J	K	L	M	N	O	P	Q	R	S	T	U	V	W	X	Y	Z	a	b	c	d	e	f	g	h	i	j	k	LAB*LAB*																																																																																																																																																																																																																																																																																																																																																																																																																																																																																																																																																																																																															
01	8.6	13.0	17.5	21.9	26.4	30.8	35.2	39.7	44.1	11.9	18.0	21.6	26.0	30.4	34.8	39.3	43.7	48.2	15.2	20.1	27.4	30.5	34.7	39.0	43.4	47.8	52.2	92.0	84.9	77.8	70.7	63.5	56.4	49.3	42.2	35.1	8.6	8.6	8.6	8.6																																																																																																																																																																																																																																																																																																																																																																																																																																																																																																																																																																																																													
02	9.3	14.1	18.8	23.5	28.2	32.7	37.3	41.8	46.3	12.2	19.0	23.5	27.9	32.3	36.8	41.2	45.7	50.1	15.5	22.3	28.4	32.1	36.4	40.8	45.2	49.7	54.2	87.1	81.6	74.5	67.4	60.2	53.1	46.0	38.9	31.7	9.3	9.3	9.3	9.3																																																																																																																																																																																																																																																																																																																																																																																																																																																																																																																																																																																																													
03	6.8	-3.2	-9.8	-16.6	-23.7	-31.0	-38.4	-45.9	-53.3	10.3	0.5	-7.3	-15.2	-23.0	-30.8	-38.6	-46.4	-54.3	17.6	8.0	-0.1	-9.1	-17.1	-24.9	-32.7	-40.6	-48.4	-56.3	-64.2	-72.1	-80.0	-87.9	-95.8	-103.7	-111.6	-119.5	6.8	6.8	6.8	6.8																																																																																																																																																																																																																																																																																																																																																																																																																																																																																																																																																																																																													
04	10.0	16.2	19.6	24.4	29.1	33.8	38.5	43.1	47.8	12.7	19.7	24.5	29.3	34.0	38.7	43.2	47.7	52.3	15.8	22.6	29.4	33.3	38.3	42.8	47.2	51.7	56.1	82.2	76.7	71.2	64.0	56.9	49.8	42.7	35.6	28.4	10.0	10.0	10.0	10.0																																																																																																																																																																																																																																																																																																																																																																																																																																																																																																																																																																																																													
05	10.3	0.3	-6.8	-13.4	-20.0	-26.7	-33.6	-40.7	-47.8	16.4	6.8	-3.1	-9.7	-16.6	-23.6	-30.9	-38.3	-45.7	20.1	10.3	0.5	-7.3	-15.3	-22.9	-30.8	-38.6	-46.4	-54.3	-62.2	-70.1	-78.0	-85.9	-93.8	-101.7	-109.6	-117.5	10.3	10.3	10.3	10.3																																																																																																																																																																																																																																																																																																																																																																																																																																																																																																																																																																																																													
06	-18	-14	-12	-9	-6	-3	1	5	9	-15	-11	-8	-5	-2	3	7	12	17	-12	-8	-4	2	8	13	19	25	31	-14	-10	-6	0	6	12	17	23	29	-4	-4	-4	-4																																																																																																																																																																																																																																																																																																																																																																																																																																																																																																																																																																																																													
07	10.7	17.9	21.7	25.1	29.8	34.6	39.4	44.1	48.8	13.4	20.4	26.6	30.0	34.8	39.5	44.3	48.9	53.6	16.3	23.2	30.1	34.9	39.7	44.4	49.0	53.6	58.2	77.3	71.7	66.2	60.7	53.6	46.5	39.4	32.3	25.1	10.7	10.7	10.7	10.7																																																																																																																																																																																																																																																																																																																																																																																																																																																																																																																																																																																																													
08	19.3	4.4	-3.3	-10.4	-17.3	-23.6	-30.2	-36.9	-43.2	8.7	13.1	0.3	-6.8	-13.4	-20.0	-26.7	-33.6	-40.7	26.2	16.4	6.8	-3.1	-9.7	-16.5	-23.6	-30.9	-38.3	-45.7	-53.0	-60.3	-67.6	-74.9	-82.2	-89.5	-96.8	-104.1	19.3	19.3	19.3	19.3																																																																																																																																																																																																																																																																																																																																																																																																																																																																																																																																																																																																													
09	21.6	19.4	23.7	27.1	30.6	35.3	40.1	44.9	49.6	14.1	21.1	28.4	32.1	35.5	40.3	45.1	49.8	54.6	16.9	23.8	30.8	37.0	40.5	45.2	50.0	54.7	59.4	72.3	66.8	61.3	55.8	50.3	43.2	36.1	28.9	21.8	50.6	50.3	50.3	50.3																																																																																																																																																																																																																																																																																																																																																																																																																																																																																																																																																																																																													
10	5.0	9.1	0.2	-6.8	-14.0	-20.8	-27.3	-33.8	-40.4	29.0	19.4	4.4	-3.1	-10.4	-17.3	-23.6	-30.2	-36.9	32.4	22.7	13.1	-0.4	-6.7	-13.4	-20.0	-26.7	-33.6	-40.7	-47.8	-54.9	-62.0	-69.1	-76.2	-83.3	-90.4	-97.5	5.0	5.0	5.0	5.0																																																																																																																																																																																																																																																																																																																																																																																																																																																																																																																																																																																																													
11	-3.3	-2.8	-2.5	-2.3	-2.0	-1.7	-1.4	-1.1	-0.9	-3.0	-2.6	-2.1	-1.9	-1.6	-1.3	-1.1	-0.8	-0.6	-2.7	-2.3	-1.9	-1.5	-1.3	-1.0	-0.7	-0.3	0	-2.2	-1.8	-1.3	-0.9	-0.5	1	7	12	18	-5	-5	-5	-5																																																																																																																																																																																																																																																																																																																																																																																																																																																																																																																																																																																																													
12	20.7	25.6	29.3	32.6	36.1	40.8	45.6	50.4	55.2	14.8	21.8	29.8	34.2	37.5	41.0	45.8	50.6	55.3	17.6	24.5	31.5	38.8	45.2	46.0	50.7	55.5	60.2	67.4	61.9	56.4	50.9	45.4	39.9	32.8	25.6	18.5	60.7	60.7	60.7	60.7																																																																																																																																																																																																																																																																																																																																																																																																																																																																																																																																																																																																													
13	31.9	14.1	4.0	-3.5	-10.3	-17.7	-24.4	-31.0	-37.5	33.3	25.6	9.1	0.2	-6.8	-14.0	-20.7	-27.2	-33.8	38.6	29.0	19.4	4.4	-3.2	-10.4	-17.0	-23.5	-30.1	-36.7	-43.4	-50.0	-56.6	-63.2	-69.8	-76.4	-83.0	31.9	31.9	31.9	31.9																																																																																																																																																																																																																																																																																																																																																																																																																																																																																																																																																																																																														
14	-40	-35	-31	-29	-27	-24	-21	-18	-16	-13	-10	-8	-5	-2	3	7	12	17	-12	-8	-4	2	8	13	19	25	31	-14	-10	-6	0	6	12	17	23	29	-4	-4	-4	-4																																																																																																																																																																																																																																																																																																																																																																																																																																																																																																																																																																																																													
15	12.8	21.8	27.3	31.3	34.7	38.0	41.6	46.3	51.1	15.5	22.5	31.1	36.0	39.7	43.0	46.6	51.3	56.0	18.2	25.2	32.2	40.3	44.6	48.0	51.5	56.2	61.0	62.5	57.0	51.5	46.0	40.5	34.9	29.4	22.3	15.2	71.2	71.2	71.2	71.2																																																																																																																																																																																																																																																																																																																																																																																																																																																																																																																																																																																																													
16	38.2	19.5	8.0	-3.1	-13.9	-21.3	-28.3	-34.6	-41.5	31.9	14.2	4.1	-3.5	-10.3	-17.6	-24.4	-30.9	-37.4	39.9	35.3	25.7	4.4	-2.6	-9.8	-14.0	-20.7	-27.2	-33.7	-40.2	-46.7	-53.2	-59.7	-66.2	-72.7	-79.2	-85.7	38.2	38.2	38.2	38.2																																																																																																																																																																																																																																																																																																																																																																																																																																																																																																																																																																																																													
17	-48	-42	-38	-35	-33	-31	-29	-25	-22	-45	-41	-35	-32	-29	-27	-25	-21	-19	-42	-38	-34	-28	-26	-23	-21	-18	-15	-29	-25	-21	-17	-13	-9	-5	1	7	12	18	-6	-6	-6	-6																																																																																																																																																																																																																																																																																																																																																																																																																																																																																																																																																																																																											
18	13.5	22.9	28.8	33.2	36.8	40.2	43.5	47.1	51.8	16.2	23.2	32.3	37.7	41.7	45.2	48.5	52.1	56.8	18.9	25.9	32.9	41.5	46.5	50.1	53.4	57.0	61.7	57.6	52.1	46.6	41.0	35.5	30.0	24.5	19.0	11.9	81.6	81.6	81.6	81.6																																																																																																																																																																																																																																																																																																																																																																																																																																																																																																																																																																																																													
19	44.5	25.1	12.8	3.8	-3.7	-10.6	-17.4	-24.9	-31.7	47.8	38.2	19.5	8.3	0.0	-7.0	-13.9	-21.3	-28.1	33.2	34.6	32.0	4.1	-3.5	-10.3	-17.6	-24.9	-32.3	-39.7	-47.1	-54.5	-61.9	-69.3	-76.7	-84.1	-91.5	44.5	44.5	44.5	44.5																																																																																																																																																																																																																																																																																																																																																																																																																																																																																																																																																																																																														
20	-49	-45	-41	-42	-40	-37	-35	-33	-29	-52	-48	-42	-39	-36	-34	-31	-29	-26	49	45	41	35	32	30	-18	-13	-24	-30	-37	-44	-51	-58	-65	-72	-79	-86	-93	-100	-107	-114	-121	-128	-135	-142	-149	-156	-163	-170	-177	-184	-191	-198	-205	-212	-219	-226	-233	-240	-247	-254	-261	-268	-275	-282	-289	-296	-303	-310	-317	-324	-331	-338	-345	-352	-359	-366	-373	-380	-387	-394	-401	-408	-415	-422	-429	-436	-443	-450	-457	-464	-471	-478	-485	-492	-499	-506	-513	-520	-527	-534	-541	-548	-555	-562	-569	-576	-583	-590	-597	-604	-611	-618	-625	-632	-639	-646	-653	-660	-667	-674	-681	-688	-695	-702	-709	-716	-723	-730	-737	-744	-751	-758	-765	-772	-779	-786	-793	-800	-807	-814	-821	-828	-835	-842	-849	-856	-863	-870	-877	-884	-891	-898	-905	-912	-919	-926	-933	-940	-947	-954	-961	-968	-975	-982	-989	-996	-1003	-1010	-1017	-1024	-1031	-1038	-1045	-1052	-1059	-1066	-1073	-1080	-1087	-1094	-1101	-1108	-1115	-1122	-1129	-1136	-1143	-1150	-1157	-1164	-1171	-1178	-1185	-1192	-1199	-1206	-1213	-1220	-1227	-1234	-1241	-1248	-1255	-1262	-1269	-1276	-1283	-1290	-1297	-1304	-1311	-1318	-1325	-1332	-1339	-1346	-1353	-1360	-1367	-1374	-1381	-1388	-1395	-1402	-1409	-1416	-1423	-1430	-1437	-1444	-1451	-1458	-1465	-1472	-1479	-1486	-1493	-1500	-1507	-1514	-1521	-1528	-1535	-1542	-1549	-1556	-1563	-1570	-1577	-1584	-1591	-1598	-1605	-1612	-1619	-1626	-1633	-1640	-1647	-1654	-1661	-1668	-1675	-1682	-1689	-1696	-1703	-1710	-1717	-1724	-1731	-1738	-1745	-1752	-1759	-1766	-1773	-1780	-1787	-1794	-1801	-1808	-1815	-1822	-1829	-1836	-1843	-1850	-1857	-1864	-1871	-1878	-1885	-1892	-1899	-1906	-1913	-1920	-1927	-1934	-1941	-1948	-1955	-1962	-1969	-1976	-1983	-1990	-1997	-2004	-2011	-2018	-2025	-2032	-2039	-2046	-2053	-2060	-2067	-2074	-2081	-2088	-2095	-2102	-2109	-2116	-2123	-2130	-2137	-2144	-2151	-2158	-2165	-2172	-2179	-2186	-2193	-2200	-2207	-2214	-2221	-2228	-2235	-2242	-2249	-2256	-2263	-2270	-2277	-2284	-2291	-2298	-2305	-2312	-2319	-2326	-2333	-2340	-2347	-2354	-2361	-2368	-2375	-2382	-2389	-2396	-2403	-2410	-2417	-2424	-2431	-2438	-2445	-2452	-2459	-2466	-2473	-2480	-2487	-2494	-2501	-2508	-2515	-2522	-2529	-2536	-2543	-2550	-2557	-2564	-2571	-2578	-2585	-2592	-2599	-2606	-2613	-2620	-2627	-2634	-2641	-2648	-2655	-2662	-2669	-2676	-2683	-2690	-2697	-2704	-2711	-2718	-2725	-2732	-2739	-2746	-2753	-2760	-2767	-2774	-2781	-2788	-2795	-2802	-2809	-2816	-2823	-2830	-2837	-2844	-2851	-2858	-2865	-2872	-2879	-2886	-2893	-2900	-2907	-2914	-2921	-2928	-2935	-2942	-2949	-2956	-2963	-2970	-2977	-2984	-2991	-2998	-3005	-3012	-3019	-3026	-3033	-3040	-3047	-3054	-3061	-3068	-3075	-3082	-3089	-3096	-3103	-3110	-3117	-3124	-3131	-3138	-3145	-3152	-3159	-3166	-3173	-3180	-3187	-3194	-3201	-3208	-3215	-3222	-3229	-3236	-3243	-3250	-3257	-3264	-3271	-3278	-3285	-3292	-3299	-3306	-3313	-3320	-3327	-3334	-3341	-3348	-3355	-3362	-3369	-3376	-3383	-3390	-3397	-3404	-3411	-3418	-3425	-3432	-3439	-3446	-3453	-3460	-3467	-3474	-3481	-3488	-3495	-3502	-3509	-3516	-3523	-3530	-3537	-3544	-3551	-3558	-3565	-3572	-3579	-3586	-3593	-3600	-3607	-3614	-3621	-3628	-3635	-3642	-3649	-3656	-3663	-3670	-3677	-3684	-3691	-3698	-3705	-3712	-3719	-3726	-3733	-3740	-3747	-3754	-3761	-3768	-3775	-3782	-3789	-3796	-3803	-3810	-3817	-3824	-3831	-3838	-3845	-3852	-3859	-3866	-3873	-3880	-3887	-3894	-3901	-3908	-3915	-3922	-3929	-3936	-3943	-3950	-3957	-3964	-3971	-3978	-3985	-3992	-3999	-4006	-4013	-4020	-4027	-4034	-4041	-4048	-4055	-4062	-4069	-4076	-4083	-4090	-4097	-4104	-4111	-4118	-4125	-4132	-4139	-4146	-4153	-4160	-4167	-4174	-4181	-4188	-4195	-4202	-4209	-4216	-4223	-4230	-4237

Ein und Ausgabe:
 Farbmetrisches Drucker-Reflektiv-System FRS09_92aM

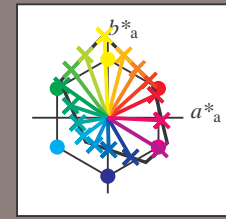
Daten für jede Farbe:
 u^*_e und Nummer $Nr. = 00 \dots 15$

Elementar-Bunttextext:
 $u^*_e = 16$ Bunttoene $r00j, r25j, \dots, b75r$

Kontrastreduzierungsfaktor:
 $c_R = 1.0$

FRS09_92aM; adaptierte CIELAB-Daten

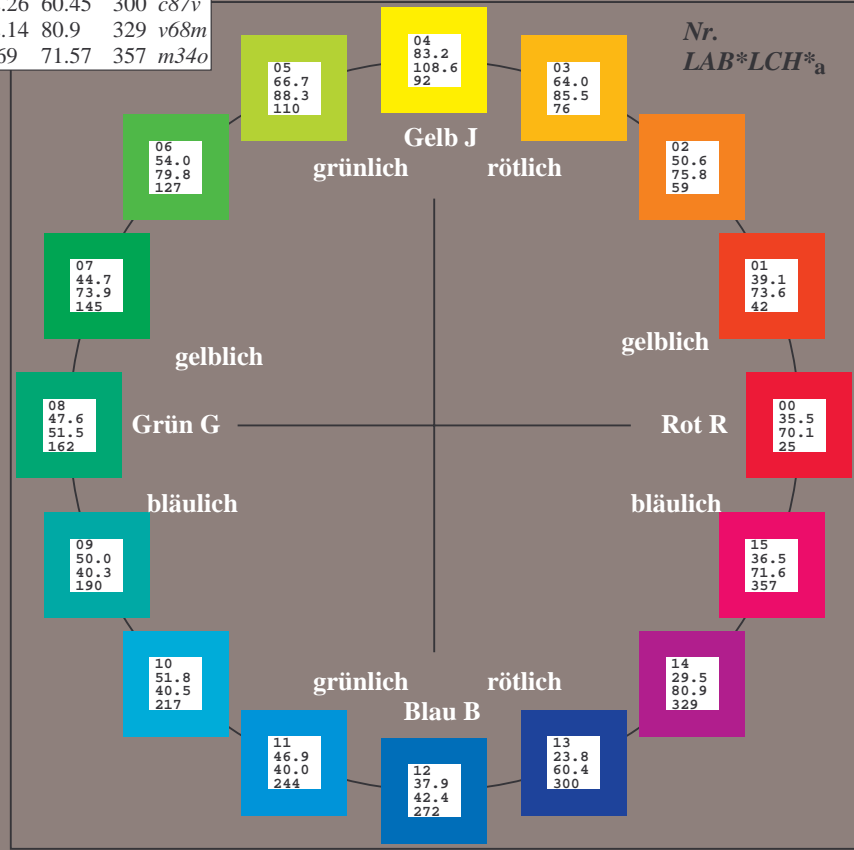
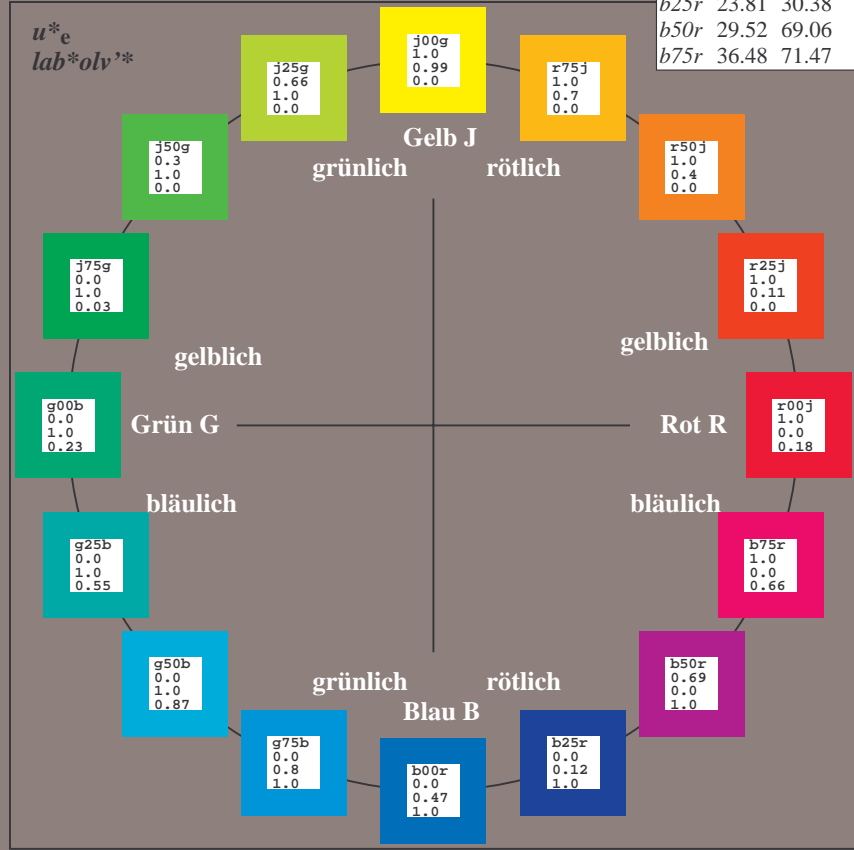
u^*_e	$L^*=L^*_a$	a^*_a	b^*_a	$C^*_{ab,a}$	$h^*_{ab,a}$	u^*_d
r00j	35.47	63.32	30.17	70.15	25	m81o
r25j	39.12	54.56	49.45	73.64	42	o10y
r50j	50.64	39.15	64.89	75.79	59	o40y
r75j	64.01	21.26	82.83	85.52	76	o69y
j00g	83.18	-4.38	108.53	108.62	92	o98y
j25g	66.73	-29.89	83.06	88.28	110	y34l
j50g	54.03	-48.31	63.49	79.78	127	y69l
j75g	44.73	-60.33	42.64	73.88	145	l03c
g00b	47.59	-49.08	15.74	51.54	162	l23c
g25b	49.97	-39.7	-6.72	40.27	190	l55c
g50b	51.85	-32.33	-24.35	40.48	217	l87c
g75b	46.92	-17.29	-36.02	39.96	244	c20v
b00r	37.91	1.28	-42.35	42.37	272	c53v
b25r	23.81	30.38	-52.26	60.45	300	c87v
b50r	29.52	69.06	-42.14	80.9	329	v68m
b75r	36.48	71.47	-3.69	71.57	357	m34o



%Umfang
 $u^*_{rel} = 109$
 %Regularität
 $g^*_{H,rel} = 31$
 $g^*_{C,rel} = 40$

FRS09_92aM; CIELAB-Daten

Name	$L^*=L^*$	a^*	b^*	C^*_{ab}	h^*_{ab}
O _M	35.06	60.53	39.66	72.37	33
Y _M	83.77	-4.5	103.15	103.25	92
L _M	44.13	-62.11	43.56	75.86	145
C _M	52.66	-28.56	-36.99	46.73	232
V _M	14.15	50.78	-62.6	80.61	309
M _M	37.37	79.18	-37.93	87.8	334
N _M	8.58	0.46	-3.35	3.38	278
W _M	92.02	0.69	-6.48	6.52	276
R _{CIE}	39.92	58.74	27.99	65.07	25
J _{CIE}	81.26	-2.89	71.56	71.62	92
G _{CIE}	52.23	-42.42	13.6	44.55	162
B _{CIE}	30.57	1.41	-46.47	46.49	272



Ein und Ausgabe: Farbmatisches Drucker-Reflektiv-System FRS09_92aM für relativen CIELAB-Bunton $h^* = lab^*h^* = h_{ab}/360 = 0.071$

$$u^*_e = r00j$$

$$lab^*olv^*$$

Daten für jede Farbe:

lab^*tch^* und lab^*icu^*

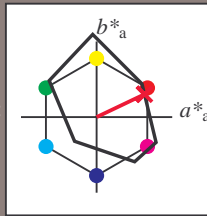
Buntontexte:

$u^*_e = r00j$ $u^*_d = m81o$

Kontrastreduzierungsfaktor:

$c_R = 1.0$

Dreiecks-Helligkeit t^*



FRS09_92aM; CIELAB-Daten

	u^*_e	$L^*=L^*$	a^*	b^*	C^*_{ab}	h^*_{ab}
O _M	35.06	60.53	39.66	72.37	33	
Y _M	83.77	-4.5	103.15	103.25	92	
L _M	44.13	-62.11	43.56	75.86	145	
C _M	52.66	-28.56	-36.99	46.73	232	
V _M	14.15	50.78	-62.6	80.61	309	
M _M	37.37	79.18	-37.93	87.8	334	
N _M	8.58	0.46	-3.35	3.38	278	
W _M	92.02	0.69	-6.48	6.52	276	
R _M	39.92	58.74	27.99	65.07	25	
J _M	81.26	-2.89	71.56	71.62	92	
G _M	52.23	-42.42	13.6	44.55	162	
B _M	30.57	1.41	-46.47	46.49	272	

Daten für Maximalfarbe (Ma):

$LAB^*LAB^*_{Ma}: 35\ 63\ 30$

$LAB^*LCH^*_{Ma}: 35\ 70\ 25$

$lab^*rgb^*_{Ma}: 1.0\ 0.0\ 0.0$

$lab^*olv^*_{Ma}: 1.0\ 0.0\ 0.18$

Dreiecks-Helligkeit t^*

%Umfang

$u^*_{rel} = 109$

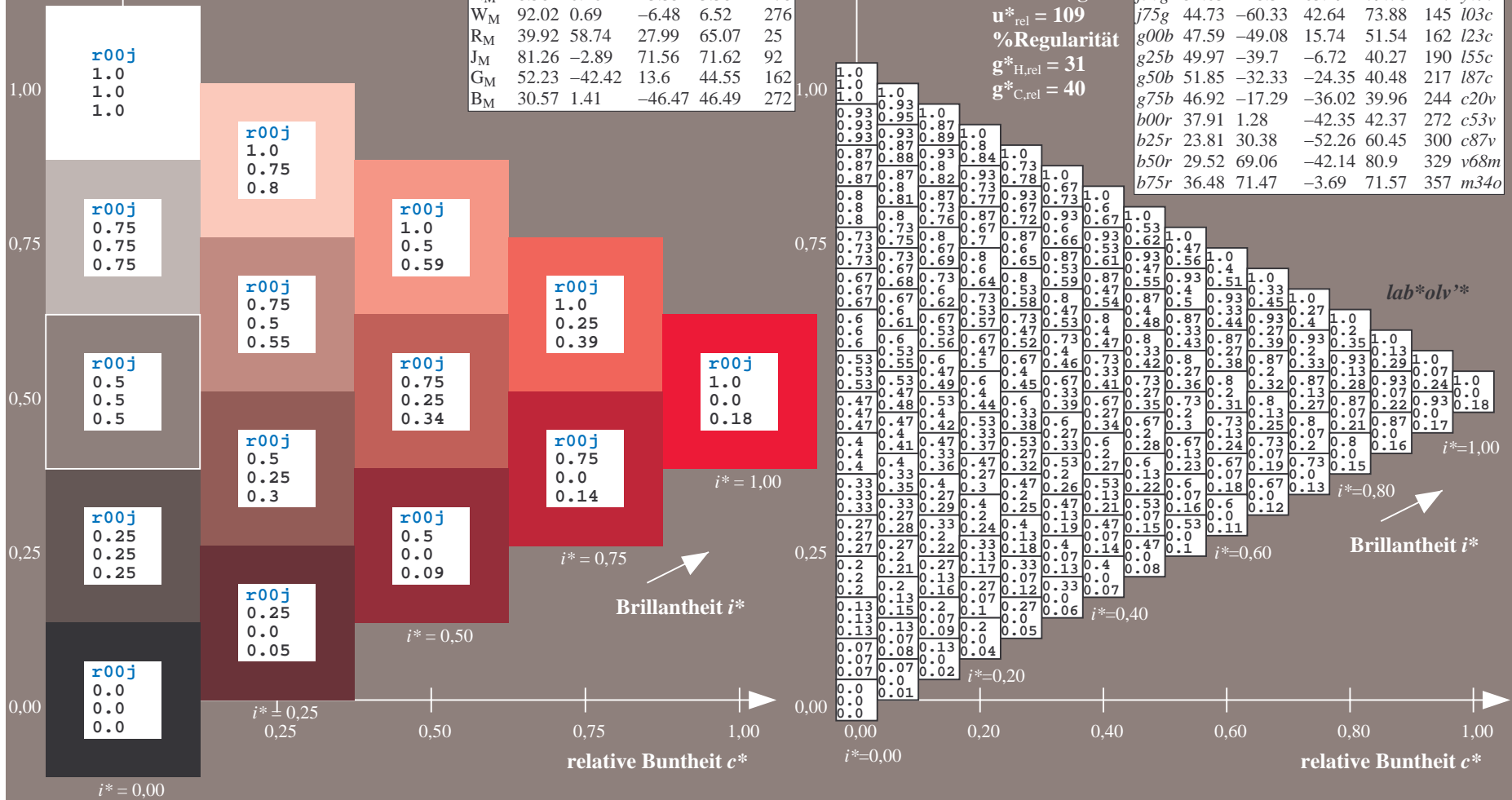
%Regularität

$g^*_{H,rel} = 31$

$g^*_{C,rel} = 40$

FRS09_92aM; adaptierte CIELAB-Daten

	u^*_e	$L^*=L^*_a$	a^*_a	b^*_a	$C^*_{ab,a}$	$h^*_{ab,a}$	u^*_d
r00j	35.47	63.32	30.17	70.15	25	m81o	
r25j	39.12	54.56	49.45	73.64	42	o10y	
r50j	50.64	39.15	64.89	75.79	59	o40y	
r75j	64.01	21.26	82.83	85.52	76	o69y	
j00g	83.18	-4.38	108.53	108.62	92	o98y	
j25g	66.73	-29.89	83.06	88.28	110	y34l	
j50g	54.03	-48.31	63.49	79.78	127	y69l	
j75g	44.73	-60.33	42.64	73.88	145	123c	
g00b	47.59	-49.08	15.74	51.54	162	l03c	
g25b	49.97	-39.7	-6.72	40.27	190	l55c	
g50b	51.85	-32.33	-24.35	40.48	217	l87c	
g75b	46.92	-17.29	-36.02	39.96	244	c20v	
b00r	37.91	1.28	-42.35	42.37	272	c53v	
b25r	23.81	30.38	-52.26	60.45	300	c87v	
b50r	29.52	69.06	-42.14	80.9	329	v68m	
b75r	36.48	71.47	-3.69	71.57	357	m34o	



Ein und Ausgabe: Farbmatisches Drucker-Reflektiv-System FRS09_92aM für relativen CIELAB-Bunton $h^* = lab^*h^* = h_{ab}/360 = 0.117$

$u^*_e = r25j$
 lab^*olv^*

Daten für jede Farbe:

lab^*tch^* und lab^*icu^*

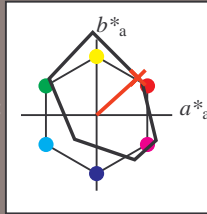
Buntontexte:

$u^*_e = r25j$ $u^*_d = o10y$

Kontrastreduzierungsfaktor:

$c_R = 1.0$

Dreiecks-Helligkeit t^*



FRS09_92aM; CIELAB-Daten						
u^*_e	$L^*=L^*$	a^*	b^*	C^*_{ab}	h^*_{ab}	
O _M	35.06	60.53	39.66	72.37	33	
Y _M	83.77	-4.5	103.15	103.25	92	
L _M	44.13	-62.11	43.56	75.86	145	
C _M	52.66	-28.56	-36.99	46.73	232	
V _M	14.15	50.78	-62.6	80.61	309	
M _M	37.37	79.18	-37.93	87.8	334	
N _M	8.58	0.46	-3.35	3.38	278	
W _M	92.02	0.69	-6.48	6.52	276	
R _M	39.92	58.74	27.99	65.07	25	
J _M	81.26	-2.89	71.56	71.62	92	
G _M	52.23	-42.42	13.6	44.55	162	
B _M	30.57	1.41	-46.47	46.49	272	

Daten für Maximalfarbe (Ma):

$LAB^*LAB^*_{Ma}$: 39 55 49

$LAB^*LCH^*_{Ma}$: 39 74 42

$lab^*rgb^*_{Ma}$: 1.0 0.25 0.0

$lab^*olv^*_{Ma}$: 1.0 0.11 0.0

Dreiecks-Helligkeit t^*

%Umfang

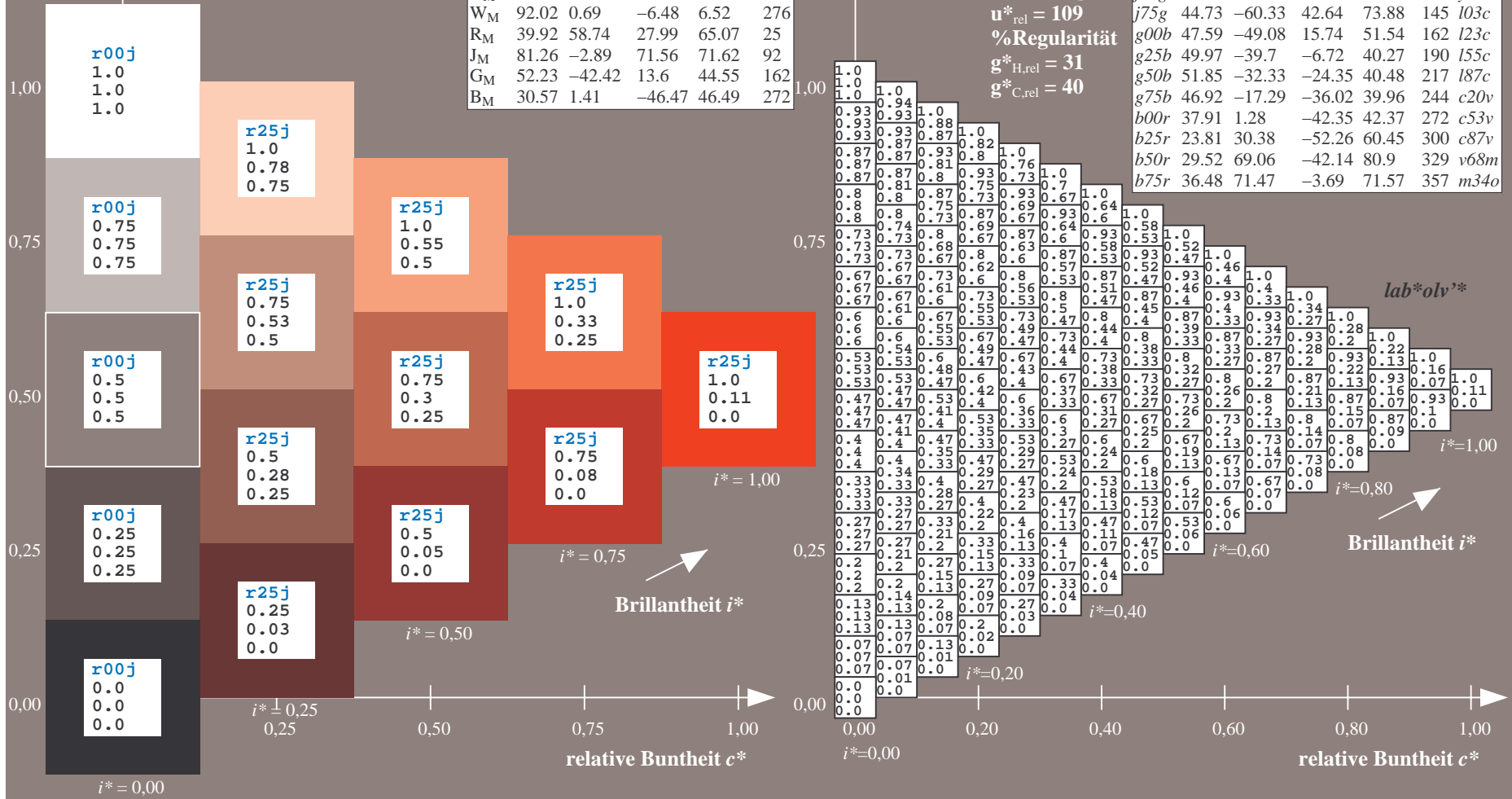
$u^*_{rel} = 109$

%Regularität

$g^*_{H,rel} = 31$

$g^*_{C,rel} = 40$

FRS09_92aM; adaptierte CIELAB-Daten							
u^*_e	$L^*=L^*_a$	a^*_a	b^*_a	$C^*_{ab,a}$	$h^*_{ab,a}$	u^*_d	
r00j	35.47	63.32	30.17	70.15	25	m81o	
r25j	39.12	54.56	49.45	73.64	42	o10y	
r50j	50.64	39.15	64.89	75.79	59	o40y	
r75j	64.01	21.26	82.83	85.52	76	o69y	
j00g	83.18	-4.38	108.53	108.62	92	o98y	
j25g	66.73	-29.89	83.06	88.28	110	y34l	
j50g	54.03	-48.31	63.49	79.78	127	y69l	
j75g	44.73	-60.33	42.64	73.88	145	i03c	
g00b	47.59	-49.08	15.74	51.54	162	l23c	
g25b	49.97	-39.7	-6.72	40.27	190	i55c	
g50b	51.85	-32.33	-24.35	40.48	217	i87c	
g75b	46.92	-17.29	-36.02	39.96	244	c20v	
b00r	37.91	1.28	-42.35	42.37	272	c53v	
b25r	23.81	30.38	-52.26	60.45	300	c87v	
b50r	29.52	69.06	-42.14	80.9	329	v68m	
b75r	36.48	71.47	-3.69	71.57	357	m34o	



Ein und Ausgabe: Farbmatisches Drucker-Reflektiv-System FRS09_92aM für relativen CIELAB-Bunton $h^* = lab^*h^* = h_{ab}/360 = 0.164$

$u^*_e = r50j$
 lab^*olv^*

Daten für jede Farbe:

lab^*tch^* und lab^*icu^*

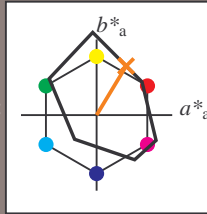
Buntontexte:

$u^*_e = r50j$ $u^*_d = o40y$

Kontrastreduzierungsfaktor:

$c_R = 1.0$

Dreiecks-Helligkeit t^*



FRS09_92aM; CIELAB-Daten						
u^*_e	$L^*=L^*_a$	a^*	b^*	C^*_{ab}	h^*_{ab}	
O_M	35.06	60.53	39.66	72.37	33	
Y_M	83.77	-4.5	103.15	103.25	92	
L_M	44.13	-62.11	43.56	75.86	145	
C_M	52.66	-28.56	-36.99	46.73	232	
V_M	14.15	50.78	-62.6	80.61	309	
M_M	37.37	79.18	-37.93	87.8	334	
N_M	8.58	0.46	-3.35	3.38	278	
W_M	92.02	0.69	-6.48	6.52	276	
R_M	39.92	58.74	27.99	65.07	25	
J_M	81.26	-2.89	71.56	71.62	92	
G_M	52.23	-42.42	13.6	44.55	162	
B_M	30.57	1.41	-46.47	46.49	272	

Daten für Maximalfarbe (Ma):

$LAB^*LAB^*_Ma: 51\ 39\ 65$

$LAB^*LCH^*_Ma: 51\ 76\ 58$

$lab^*rgb^*_Ma: 1.0\ 0.5\ 0.0$

$lab^*olv^*_Ma: 1.0\ 0.4\ 0.0$

Dreiecks-Helligkeit t^*

%Umfang

$u^*_{rel} = 109$

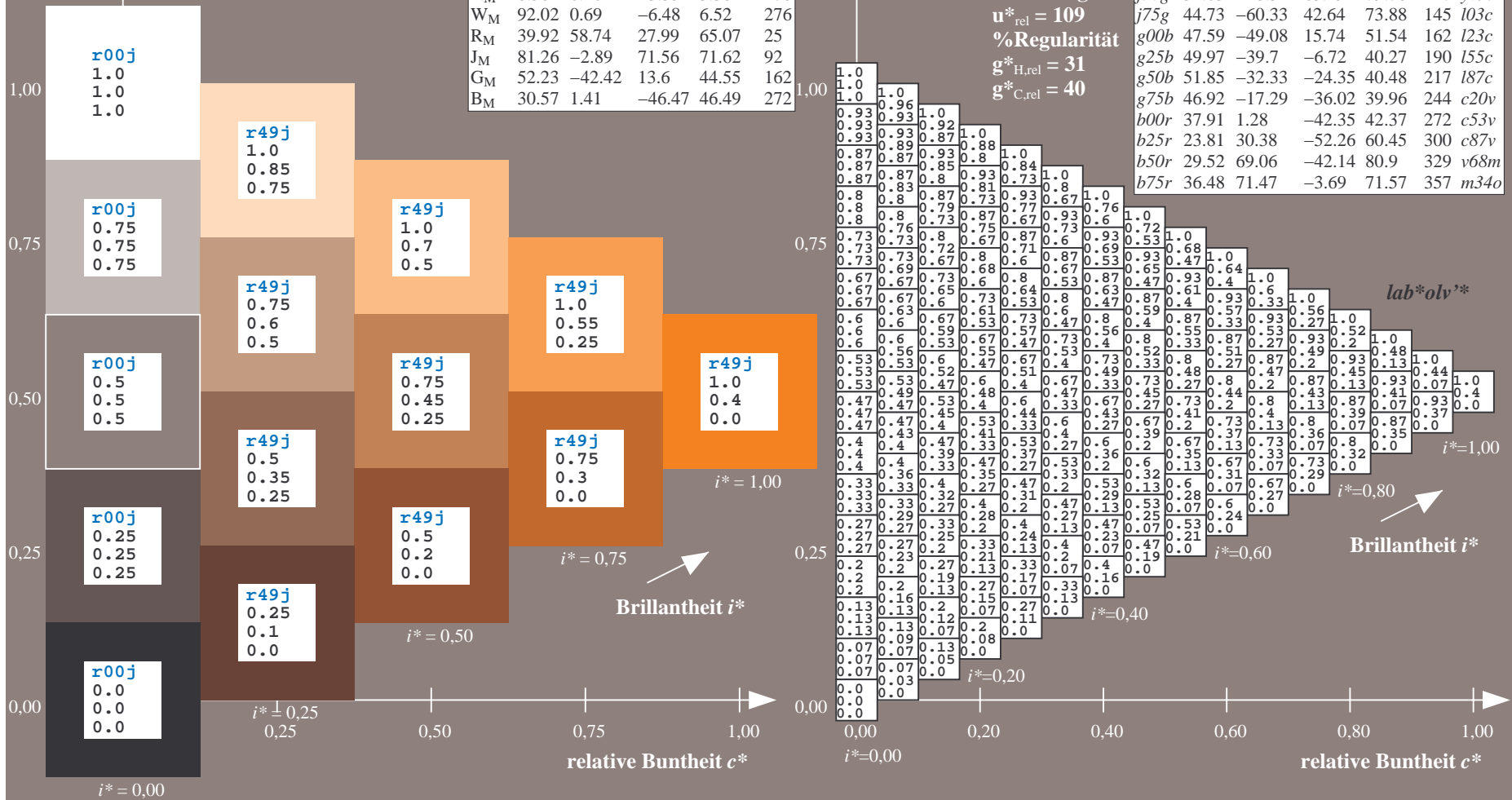
%Regularität

$g^*_{H,rel} = 31$

$g^*_{C,rel} = 40$

FRS09_92aM; adaptierte CIELAB-Daten

u^*_e	$L^*=L^*_a$	a^*_a	b^*_a	$C^*_{ab,a}$	$h^*_{ab,a}$	u^*_d
r00j	35.47	63.32	30.17	70.15	25	m81o
r25j	39.12	54.56	49.45	73.64	42	o10y
r50j	50.64	39.15	64.89	75.79	59	o40y
r75j	64.01	21.26	82.83	85.52	76	o69y
j00g	83.18	-4.38	108.53	108.62	92	o98y
j25g	66.73	-29.89	83.06	88.28	110	y34l
j50g	54.03	-48.31	63.49	79.78	127	y69l
j75g	44.73	-60.33	42.64	73.88	145	i03c
g00b	47.59	-49.08	15.74	51.54	162	l23c
g25b	49.97	-39.7	-6.72	40.27	190	i55c
g50b	51.85	-32.33	-24.35	40.48	217	i87c
g75b	46.92	-17.29	-36.02	39.96	244	c20v
b00r	37.91	1.28	-42.35	42.37	272	c53v
b25r	23.81	30.38	-52.26	60.45	300	c87v
b50r	29.52	69.06	-42.14	80.9	329	v68m
b75r	36.48	71.47	-3.69	71.57	357	m34o



Ein und Ausgabe: Farbmatisches Drucker-Reflektiv-System FRS09_92aM für relativen CIELAB-Bunton $h^* = lab^*h^* = h_{ab}/360 = 0.21$

$u^*_e = r75j$
 lab^*olv^*

Daten für jede Farbe:

lab^*tch^* und lab^*icu^*

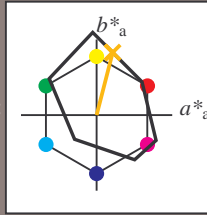
Buntontexte:

$u^*_e = r75j$ $u^*_d = o69y$

Kontrastreduzierungsfaktor:

$c_R = 1.0$

Dreiecks-Helligkeit t^*



FRS09_92aM; CIELAB-Daten						
u^*_e	$L^*=L^*$	a^*	b^*	C^*_{ab}	h^*_{ab}	
O _M	35.06	60.53	39.66	72.37	33	
Y _M	83.77	-4.5	103.15	103.25	92	
L _M	44.13	-62.11	43.56	75.86	145	
C _M	52.66	-28.56	-36.99	46.73	232	
V _M	14.15	50.78	-62.6	80.61	309	
M _M	37.37	79.18	-37.93	87.8	334	
N _M	8.58	0.46	-3.35	3.38	278	
W _M	92.02	0.69	-6.48	6.52	276	
R _M	39.92	58.74	27.99	65.07	25	
J _M	81.26	-2.89	71.56	71.62	92	
G _M	52.23	-42.42	13.6	44.55	162	
B _M	30.57	1.41	-46.47	46.49	272	

Daten für Maximalfarbe (Ma):

$LAB^*LAB^*_{Ma}$: 64 21 83

$LAB^*LCH^*_{Ma}$: 64 86 75

$lab^*rgb^*_{Ma}$: 1.0 0.75 0.0

$lab^*olv^*_{Ma}$: 1.0 0.7 0.0

Dreiecks-Helligkeit t^*

%Umfang

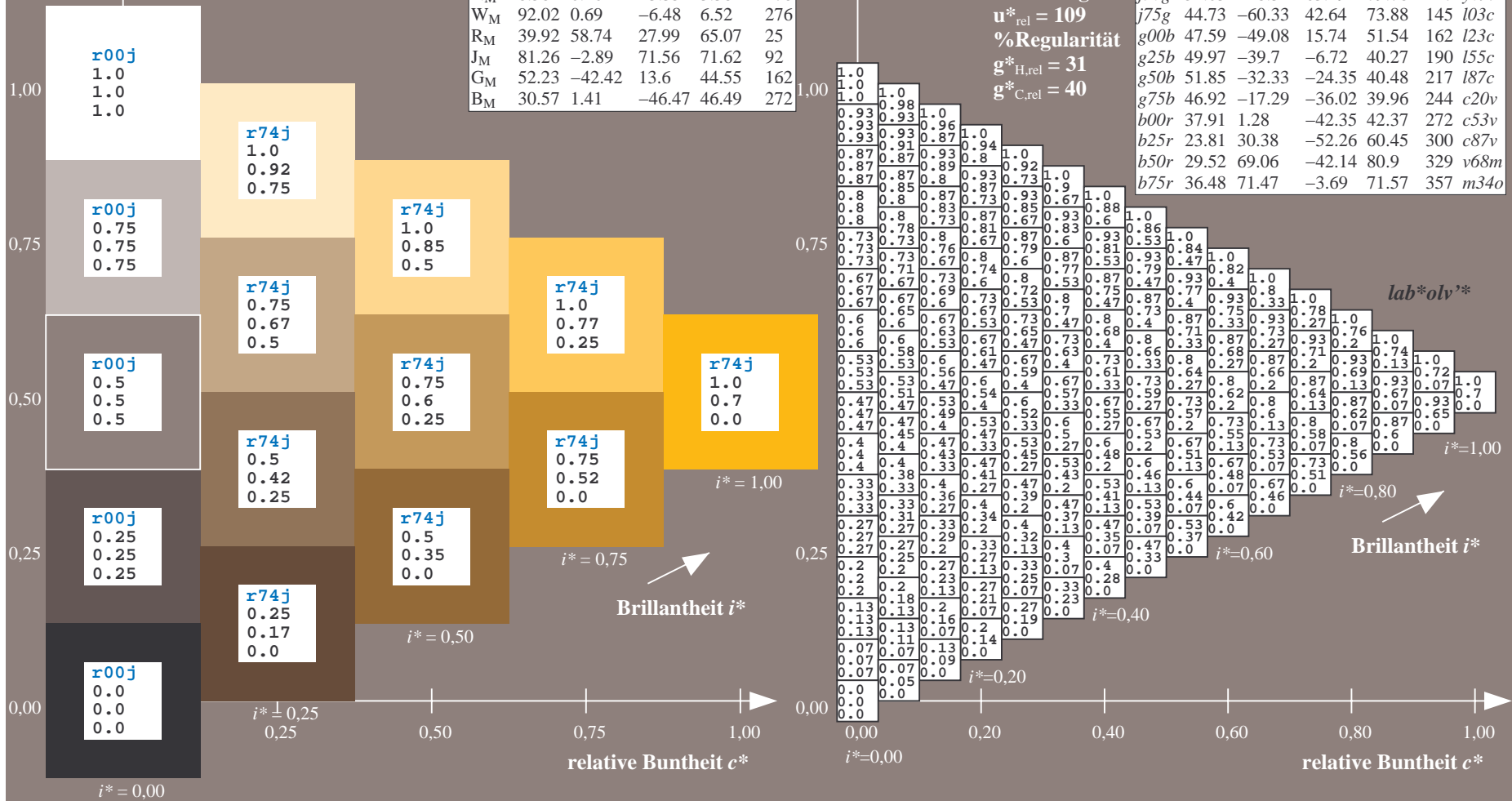
$u^*_{rel} = 109$

%Regularität

$g^*_{H,rel} = 31$

$g^*_{C,rel} = 40$

FRS09_92aM; adaptierte CIELAB-Daten							
u^*_e	$L^*=L^*_a$	a^*_a	b^*_a	$C^*_{ab,a}$	$h^*_{ab,a}$	u^*_d	
r00j	35.47	63.32	30.17	70.15	25	m81o	
r25j	39.12	54.56	49.45	73.64	42	o10y	
r50j	50.64	39.15	64.89	75.79	59	o40y	
r75j	64.01	21.26	82.83	85.52	76	o69y	
j00g	83.18	-4.38	108.53	108.62	92	o98y	
j25g	66.73	-29.89	83.06	88.28	110	y34l	
j50g	54.03	-48.31	63.49	79.78	127	y69l	
j75g	44.73	-60.33	42.64	73.88	145	123c	
g00b	47.59	-49.08	15.74	51.54	162	l03c	
g25b	49.97	-39.7	-6.72	40.27	190	l55c	
g50b	51.85	-32.33	-24.35	40.48	217	l87c	
g75b	46.92	-17.29	-36.02	39.96	244	c20v	
b00r	37.91	1.28	-42.35	42.37	272	c53v	
b25r	23.81	30.38	-52.26	60.45	300	c87v	
b50r	29.52	69.06	-42.14	80.9	329	v68m	
b75r	36.48	71.47	-3.69	71.57	357	m34o	



Ein und Ausgabe: Farbmetrisches Drucker-Reflektiv-System FRS09_92aM für relativen CIELAB-Bunton $h^* = lab^*h^* = h_{ab}/360 = 0.256$

$u^*_e = j00g$
 lab^*olv^*

Daten für jede Farbe:

lab^*tch^* und lab^*icu^*

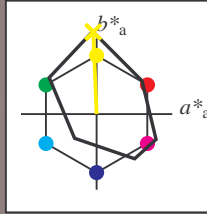
Buntontexte:

$u^*_e = j00g$ $u^*_d = o98y$

Kontrastreduzierungsfaktor:

$c_R = 1.0$

Dreiecks-Helligkeit t^*



FRS09_92aM; CIELAB-Daten

	u^*_e	$L^*=L^*_a$	a^*_a	b^*_a	C^*_{ab}	h^*_{ab}
O _M	35.06	60.53	39.66	72.37	33	
Y _M	83.77	-4.5	103.15	103.25	92	
L _M	44.13	-62.11	43.56	75.86	145	
C _M	52.66	-28.56	-36.99	46.73	232	
V _M	14.15	50.78	-62.6	80.61	309	
M _M	37.37	79.18	-37.93	87.8	334	
N _M	8.58	0.46	-3.35	3.38	278	
W _M	92.02	0.69	-6.48	6.52	276	
R _M	39.92	58.74	27.99	65.07	25	
J _M	81.26	-2.89	71.56	71.62	92	
G _M	52.23	-42.42	13.6	44.55	162	
B _M	30.57	1.41	-46.47	46.49	272	

Daten für Maximalfarbe (Ma):

$LAB^*LAB^*_{Ma}: 83 -4 109$

$LAB^*LCH^*_{Ma}: 83 109 92$

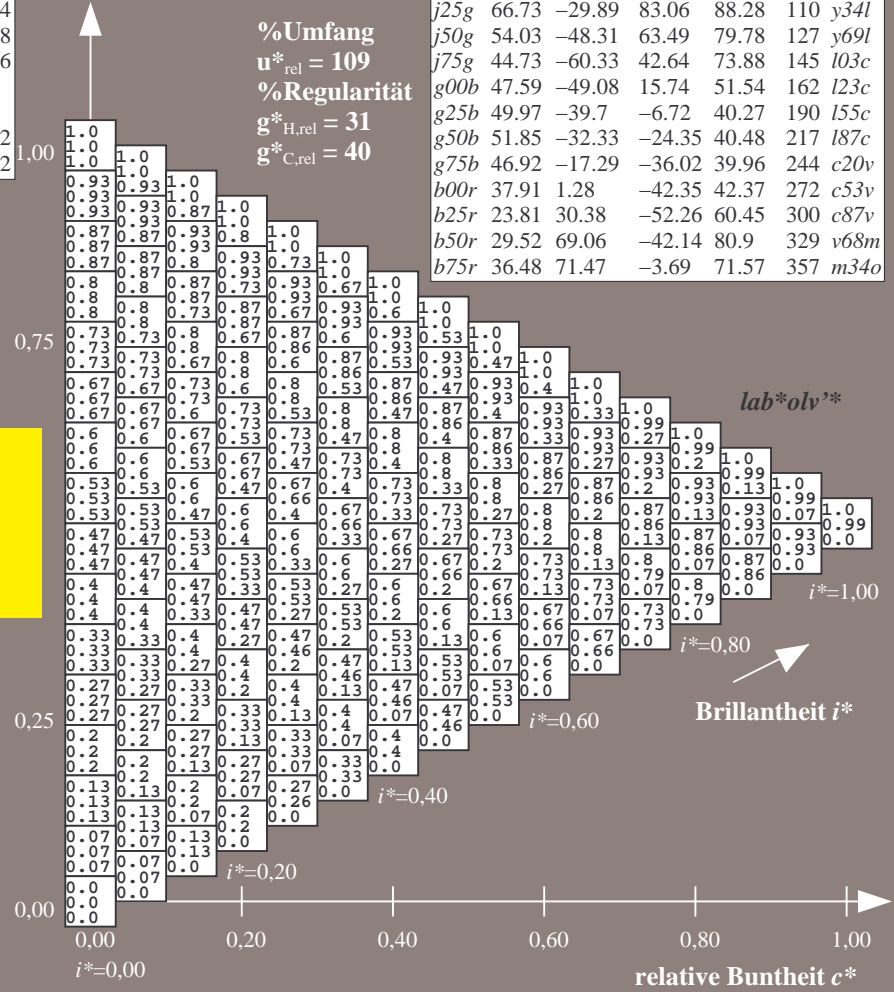
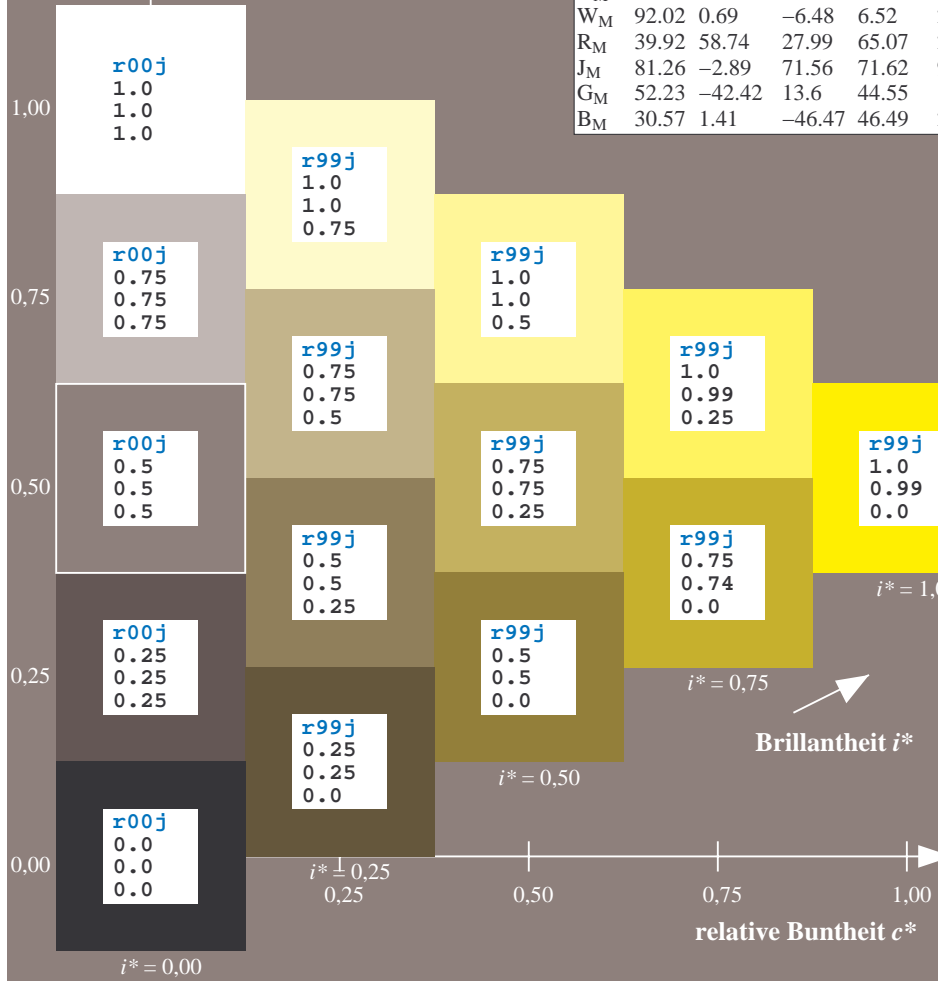
$lab^*rgb^*_{Ma}: 1.0 1.0 0.0$

$lab^*olv^*_{Ma}: 1.0 0.99 0.0$

Dreiecks-Helligkeit t^*

FRS09_92aM; adaptierte CIELAB-Daten

	u^*_e	$L^*=L^*_a$	a^*_a	b^*_a	$C^*_{ab,a}$	$h^*_{ab,a}$	u^*_d
r00j	35.47	63.32	30.17	70.15	25	m81o	
r25j	39.12	54.56	49.45	73.64	42	o10y	
r50j	50.64	39.15	64.89	75.79	59	o40y	
r75j	64.01	21.26	82.83	85.52	76	o69y	
j00g	83.18	-4.38	108.53	108.62	92	o98y	
j25g	66.73	-29.89	83.06	88.28	110	y34l	
j50g	54.03	-48.31	63.49	79.78	127	y69l	
j75g	44.73	-60.33	42.64	73.88	145	162 i03c	
g00b	47.59	-49.08	15.74	51.54	162	123c	
g25b	49.97	-39.7	-6.72	40.27	190	i55c	
g50b	51.85	-32.33	-24.35	40.48	217	i87c	
g75b	46.92	-17.29	-36.02	39.96	244	c20v	
b00r	37.91	1.28	-42.35	42.37	272	c53v	
b25r	23.81	30.38	-52.26	60.45	300	c87v	
b50r	29.52	69.06	-42.14	80.9	329	v68m	
b75r	36.48	71.47	-3.69	71.57	357	m34o	



%Umfang
 $u^*_{rel} = 109$
%Regularität
 $g^*_{H,rel} = 31$
 $g^*_{C,rel} = 40$

Brillantheit i^*

lab^*olv^*

$i^* = 1.00$

$i^* = 0.80$

$i^* = 0.60$

$i^* = 0.40$

$i^* = 0.20$

$i^* = 0.00$

Ein und Ausgabe: Farbmatisches Drucker-Reflektiv-System FRS09_92aM für relativen CIELAB-Bunton $h^* = lab^*h^* = h_{ab}/360 = 0.305$

$u^*_e = j25g$
 lab^*olv^*

Daten für jede Farbe:

lab^*tch^* und lab^*icu^*

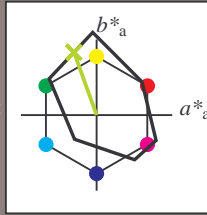
Buntontexte:

$u^*_e = j25g$ $u^*_d = y34l$

Kontrastreduzierungsfaktor:

$c_R = 1.0$

Dreiecks-Helligkeit t^*



FRS09_92aM; CIELAB-Daten						
u^*_e	$L^*=L^*_a$	a^*_a	b^*_a	C^*_{ab}	h^*_{ab}	
O _M	35.06	60.53	39.66	72.37	33	
Y _M	83.77	-4.5	103.15	103.25	92	
L _M	44.13	-62.11	43.56	75.86	145	
C _M	52.66	-28.56	-36.99	46.73	232	
V _M	14.15	50.78	-62.6	80.61	309	
M _M	37.37	79.18	-37.93	87.8	334	
N _M	8.58	0.46	-3.35	3.38	278	
W _M	92.02	0.69	-6.48	6.52	276	
R _M	39.92	58.74	27.99	65.07	25	
J _M	81.26	-2.89	71.56	71.62	92	
G _M	52.23	-42.42	13.6	44.55	162	
B _M	30.57	1.41	-46.47	46.49	272	

Daten für Maximalfarbe (Ma):

$LAB^*LAB^*_{Ma}: 67 -30 83$

$LAB^*LCH^*_{Ma}: 67 88 109$

$lab^*rgb^*_{Ma}: 0.75 1.0 0.0$

$lab^*olv^*_{Ma}: 0.66 1.0 0.0$

Dreiecks-Helligkeit t^*

%Umfang

$u^*_{rel} = 109$

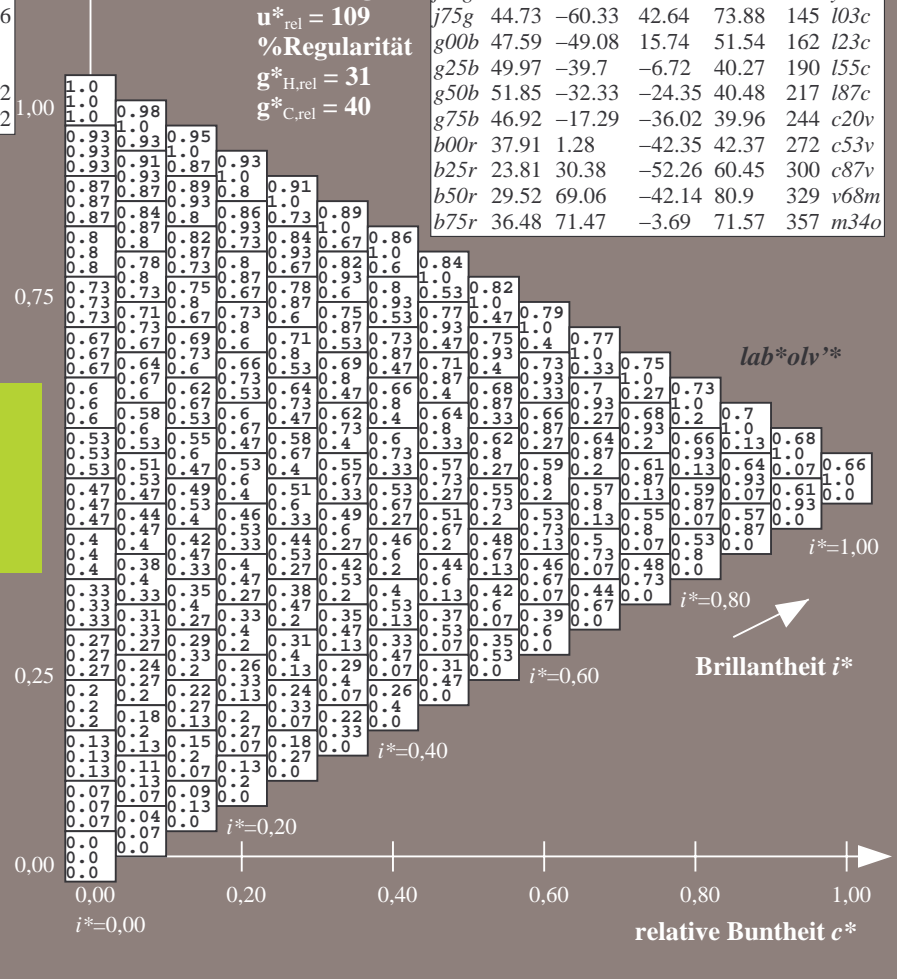
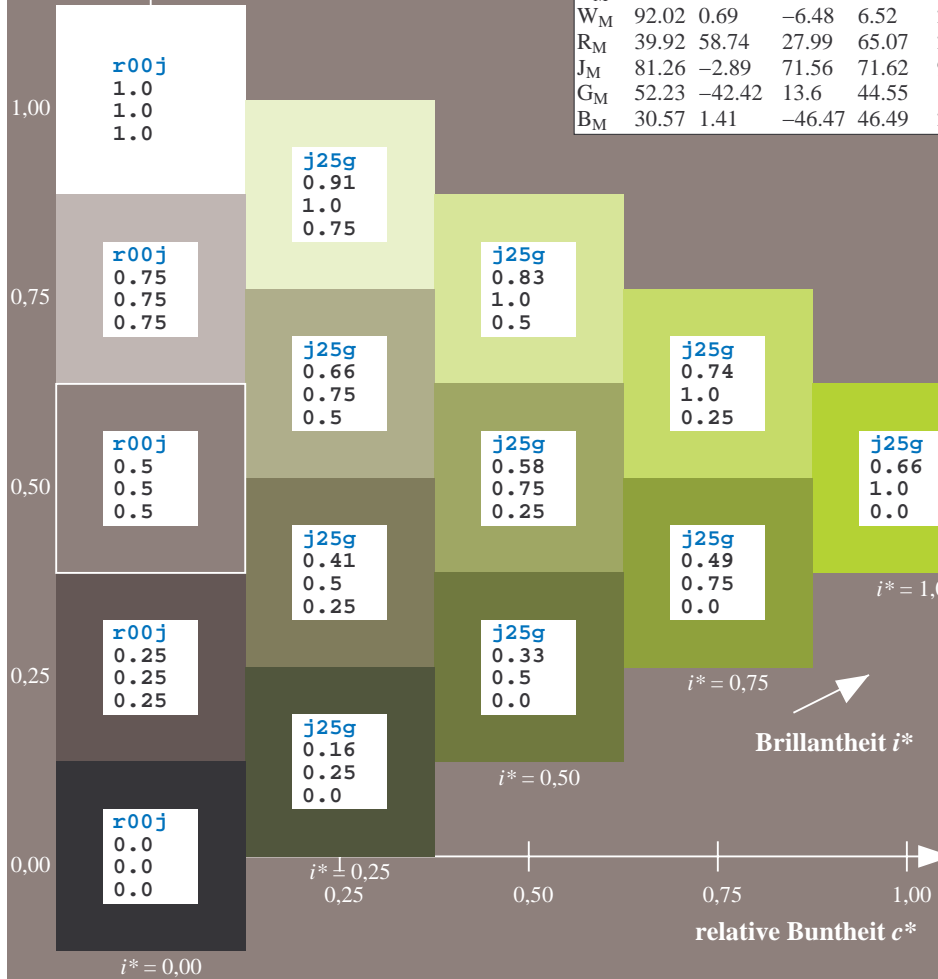
%Regularität

$g^*_{H,rel} = 31$

$g^*_{C,rel} = 40$

FRS09_92aM; adaptierte CIELAB-Daten

u^*_e	$L^*=L^*_a$	a^*_a	b^*_a	$C^*_{ab,a}$	$h^*_{ab,a}$	u^*_d
r00j	35.47	63.32	30.17	70.15	25	m81o
r25j	39.12	54.56	49.45	73.64	42	o10y
r50j	50.64	39.15	64.89	75.79	59	o40y
r75j	64.01	21.26	82.83	85.52	76	o69y
j00g	83.18	-4.38	108.53	108.62	92	o98y
j25g	66.73	-29.89	83.06	88.28	110	y34l
j50g	54.03	-48.31	63.49	79.78	127	y69l
j75g	44.73	-60.33	42.64	73.88	145	i03c
g00b	47.59	-49.08	15.74	51.54	162	l23c
g25b	49.97	-39.7	-6.72	40.27	190	i55c
g50b	51.85	-32.33	-24.35	40.48	217	i87c
g75b	46.92	-17.29	-36.02	39.96	244	c20v
b00r	37.91	1.28	-42.35	42.37	272	c53v
b25r	23.81	30.38	-52.26	60.45	300	c87v
b50r	29.52	69.06	-42.14	80.9	329	v68m
b75r	36.48	71.47	-3.69	71.57	357	m34o



Ein und Ausgabe: Farbmatisches Drucker-Reflektiv-System FRS09_92aM für relativen CIELAB-Bunton $h^* = lab^*h^* = h_{ab}/360 = 0.354$

$u^*_e = j50g$
 lab^*olv^*

Daten für jede Farbe:

lab^*tch^* und lab^*icu^*

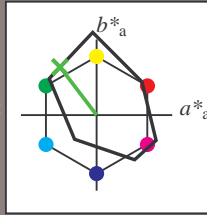
Buntontexte:

$u^*_e = j50g$ $u^*_d = y69l$

Kontrastreduzierungsfaktor:

$c_R = 1.0$

Dreiecks-Helligkeit t^*



FRS09_92aM; CIELAB-Daten						
u^*_e	$L^*=L^*_a$	a^*_a	b^*_a	C^*_{ab}	h^*_{ab}	
O _M	35.06	60.53	39.66	72.37	33	
Y _M	83.77	-4.5	103.15	103.25	92	
L _M	44.13	-62.11	43.56	75.86	145	
C _M	52.66	-28.56	-36.99	46.73	232	
V _M	14.15	50.78	-62.6	80.61	309	
M _M	37.37	79.18	-37.93	87.8	334	
N _M	8.58	0.46	-3.35	3.38	278	
W _M	92.02	0.69	-6.48	6.52	276	
R _M	39.92	58.74	27.99	65.07	25	
J _M	81.26	-2.89	71.56	71.62	92	
G _M	52.23	-42.42	13.6	44.55	162	
B _M	30.57	1.41	-46.47	46.49	272	

Daten für Maximalfarbe (Ma):

$LAB^*LAB^*_Ma: 54 -48 63$

$LAB^*LCH^*_Ma: 54 80 127$

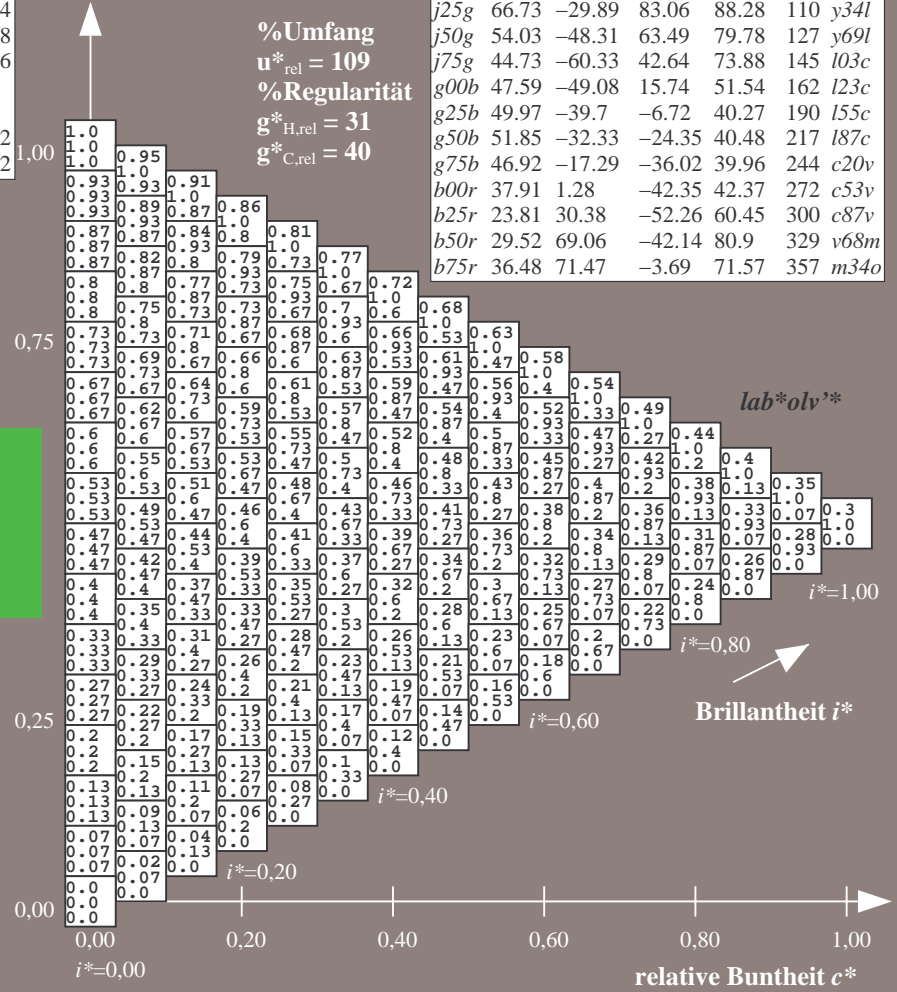
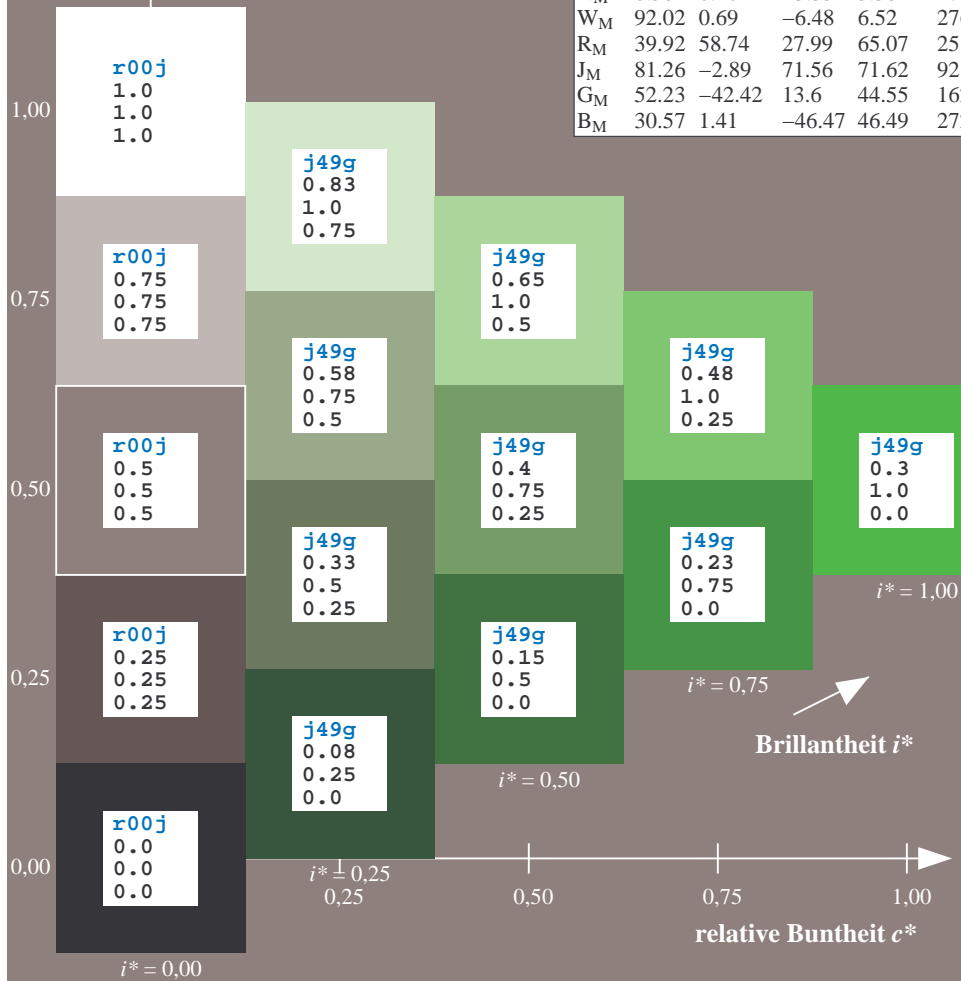
$lab^*rgb^*_Ma: 0.5 1.0 0.0$

$lab^*olv^*_Ma: 0.3 1.0 0.0$

Dreiecks-Helligkeit t^*

FRS09_92aM; adaptierte CIELAB-Daten

u^*_e	$L^*=L^*_a$	a^*_a	b^*_a	$C^*_{ab,a}$	$h^*_{ab,a}$	u^*_d
r00j	35.47	63.32	30.17	70.15	25	m81o
r25j	39.12	54.56	49.45	73.64	42	o10y
r50j	50.64	39.15	64.89	75.79	59	o40y
r75j	64.01	21.26	82.83	85.52	76	o69y
j00g	83.18	-4.38	108.53	108.62	92	o98y
j25g	66.73	-29.89	83.06	88.28	110	y34l
j50g	54.03	-48.31	63.49	79.78	127	y69l
j75g	44.73	-60.33	42.64	73.88	145	l23c
g00b	47.59	-49.08	15.74	51.54	162	i03c
g25b	49.97	-39.7	-6.72	40.27	190	i55c
g50b	51.85	-32.33	-24.35	40.48	217	i87c
g75b	46.92	-17.29	-36.02	39.96	244	c20v
b00r	37.91	1.28	-42.35	42.37	272	c53v
b25r	23.81	30.38	-52.26	60.45	300	c87v
b50r	29.52	69.06	-42.14	80.9	329	v68m
b75r	36.48	71.47	-3.69	71.57	357	m34o



Ein und Ausgabe: Farbmatisches Drucker-Reflektiv-System FRS09_92aM für relativen CIELAB-Bunton $h^* = lab^*h^* = h_{ab}/360 = 0.402$

$u^*_e = j75g$
 lab^*olv^*

Daten für jede Farbe:

lab^*tch^* und lab^*icu^*

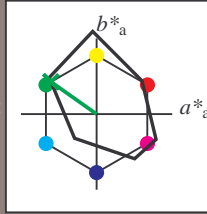
Buntontexte:

$u^*_e = j75g$ $u^*_d = l03c$

Kontrastreduzierungsfaktor:

$c_R = 1.0$

Dreiecks-Helligkeit t^*



FRS09_92aM; CIELAB-Daten						
u^*_e	$L^*=L^*_a$	a^*_a	b^*_a	C^*_{ab}	h^*_{ab}	
O _M	35.06	60.53	39.66	72.37	33	
Y _M	83.77	-4.5	103.15	103.25	92	
L _M	44.13	-62.11	43.56	75.86	145	
C _M	52.66	-28.56	-36.99	46.73	232	
V _M	14.15	50.78	-62.6	80.61	309	
M _M	37.37	79.18	-37.93	87.8	334	
N _M	8.58	0.46	-3.35	3.38	278	
W _M	92.02	0.69	-6.48	6.52	276	
R _M	39.92	58.74	27.99	65.07	25	
J _M	81.26	-2.89	71.56	71.62	92	
G _M	52.23	-42.42	13.6	44.55	162	
B _M	30.57	1.41	-46.47	46.49	272	

Daten für Maximalfarbe (Ma):

$LAB^*LAB^*_Ma: 45 -60 43$

$LAB^*LCH^*_Ma: 45 74 144$

$lab^*rgb^*_Ma: 0.25 1.0 0.0$

$lab^*olv^*_Ma: 0.0 1.0 0.03$

Dreiecks-Helligkeit t^*

%Umfang

$u^*_{rel} = 109$

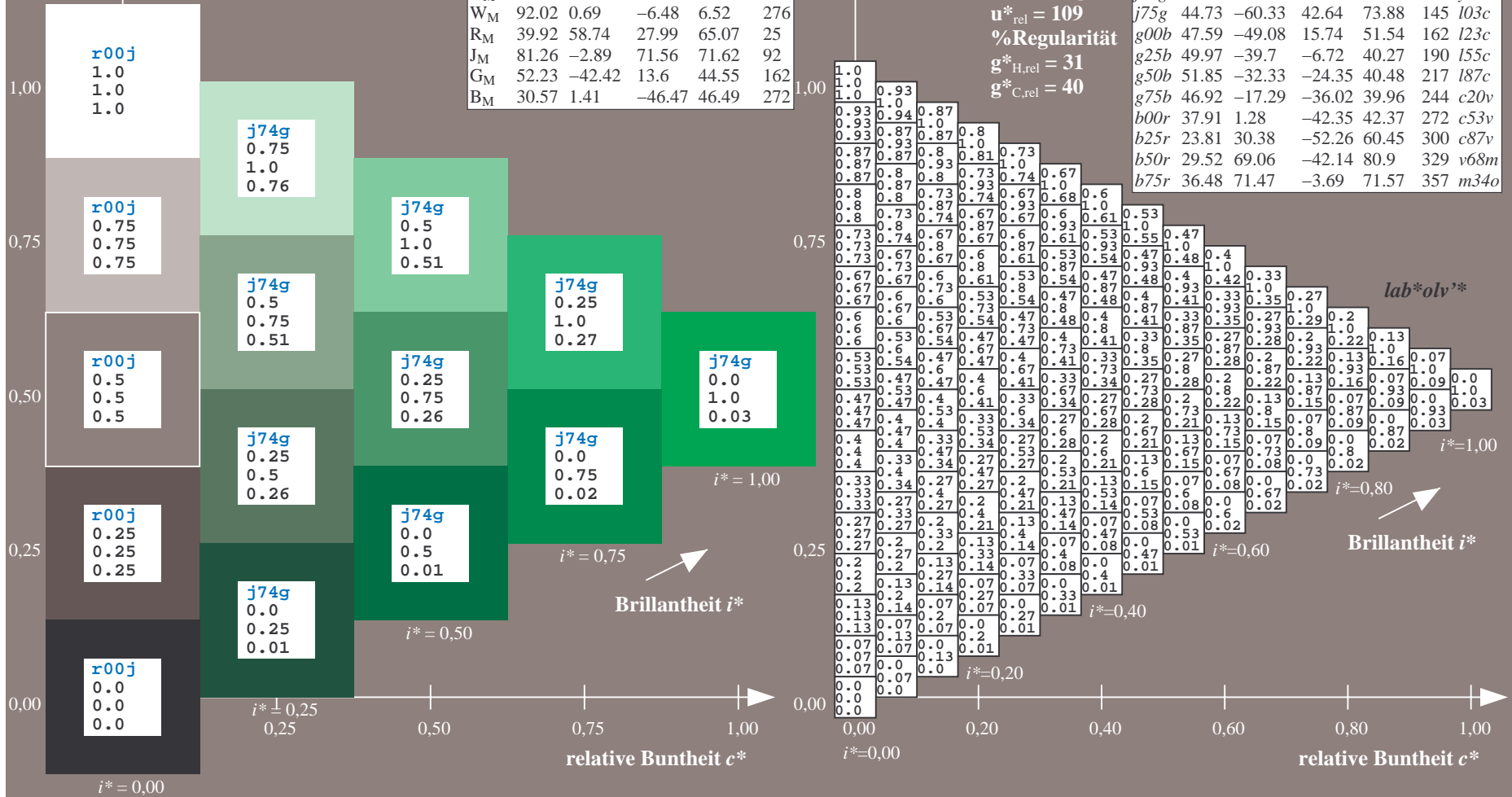
%Regularität

$g^*_{H,rel} = 31$

$g^*_{C,rel} = 40$

FRS09_92aM; adaptierte CIELAB-Daten

u^*_e	$L^*=L^*_a$	a^*_a	b^*_a	$C^*_{ab,a}$	$h^*_{ab,a}$	u^*_d
r00j	35.47	63.32	30.17	70.15	25	m81o
r25j	39.12	54.56	49.45	73.64	42	o10y
r50j	50.64	39.15	64.89	75.79	59	o40y
r75j	64.01	21.26	82.83	85.52	76	o69y
j00g	83.18	-4.38	108.53	108.62	92	o98y
j25g	66.73	-29.89	83.06	88.28	110	y34l
j50g	54.03	-48.31	63.49	79.78	127	y69l
j75g	44.73	-60.33	42.64	73.88	145	l03c
g00b	47.59	-49.08	15.74	51.54	162	i23c
g25b	49.97	-39.7	-6.72	40.27	190	i55c
g50b	51.85	-32.33	-24.35	40.48	217	i87c
g75b	46.92	-17.29	-36.02	39.96	244	c20v
b00r	37.91	1.28	-42.35	42.37	272	c53v
b25r	23.81	30.38	-52.26	60.45	300	c87v
b50r	29.52	69.06	-42.14	80.9	329	v68m
b75r	36.48	71.47	-3.69	71.57	357	m34o



Ein und Ausgabe: Farbmatisches Drucker-Reflektiv-System FRS09_92aM für relativen CIELAB-Bunton $h^* = lab^*h^* = h_{ab}/360 = 0.451$

$u^*_e = g00b$

Daten für jede Farbe:

lab^*ch^* und lab^*icu^*

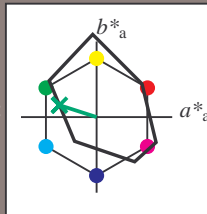
Buntontexte:

$u^*_e = g00b$ $u^*_d = l23c$

Kontrastreduzierungsfaktor:

$c_R = 1.0$

Dreiecks-Helligkeit t^*



FRS09_92aM; CIELAB-Daten

u^*_e	$L^*=L^*$	a^*	b^*	C^*_{ab}	h^*_{ab}
O _M	35.06	60.53	39.66	72.37	33
Y _M	83.77	-4.5	103.15	103.25	92
L _M	44.13	-62.11	43.56	75.86	145
C _M	52.66	-28.56	-36.99	46.73	232
V _M	14.15	50.78	-62.6	80.61	309
M _M	37.37	79.18	-37.93	87.8	334
N _M	8.58	0.46	-3.35	3.38	278
W _M	92.02	0.69	-6.48	6.52	276
R _M	39.92	58.74	27.99	65.07	25
J _M	81.26	-2.89	71.56	71.62	92
G _M	52.23	-42.42	13.6	44.55	162
B _M	30.57	1.41	-46.47	46.49	272

Daten für Maximalfarbe (Ma):

$LAB^*LAB^*_{Ma}: 48 -49 16$

$LAB^*LCH^*_{Ma}: 48 52 162$

$lab^*rgb^*_{Ma}: 0.0 1.0 0.0$

$lab^*olv^*_{Ma}: 0.0 1.0 0.23$

Dreiecks-Helligkeit t^*

%Umfang

$u^*_{rel} = 109$

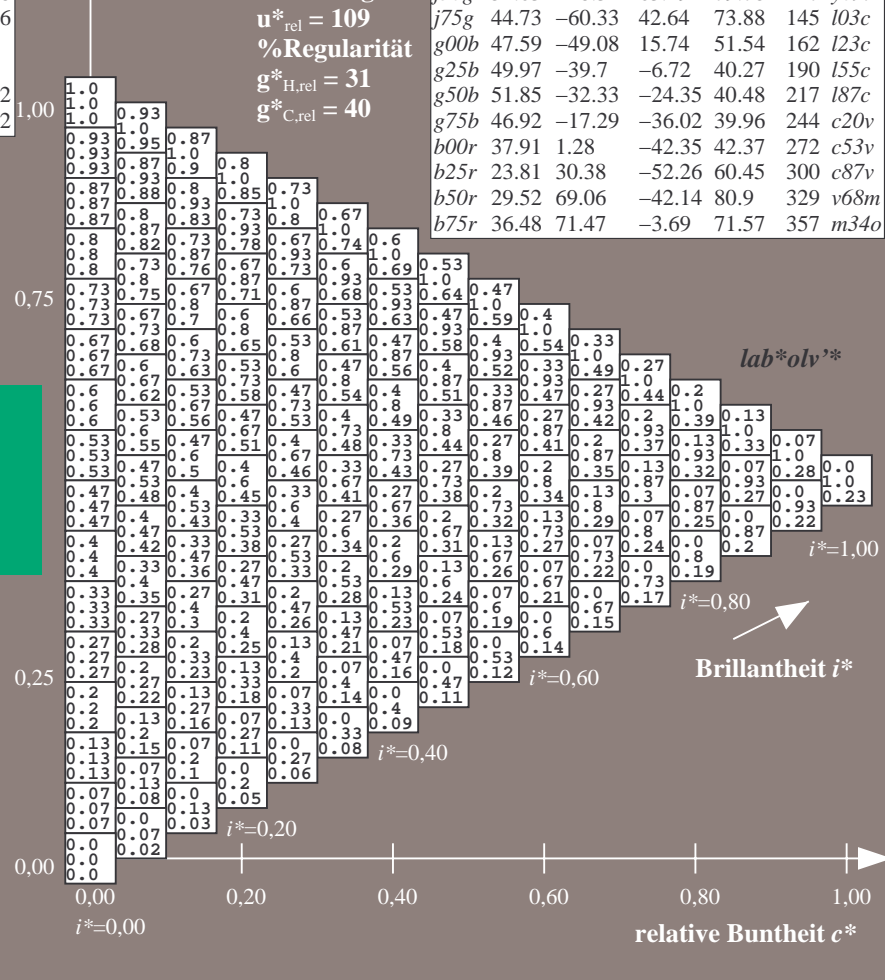
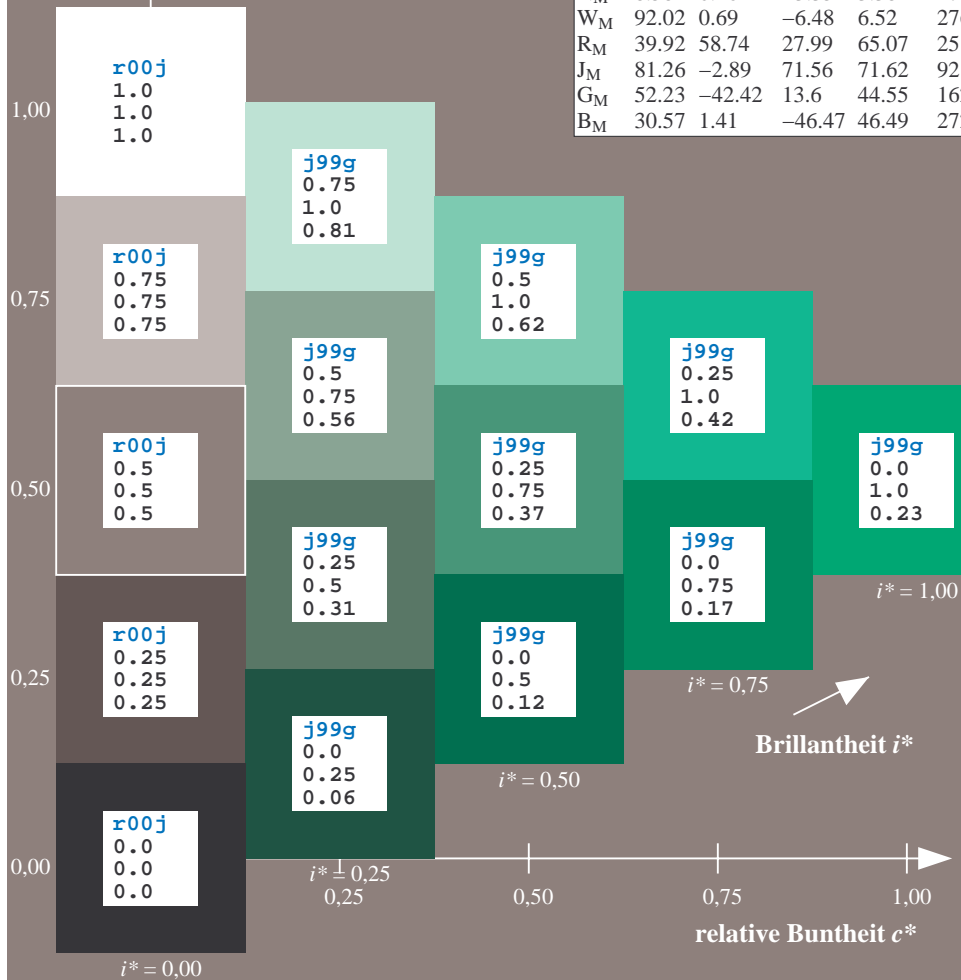
%Regularität

$g^*_{H,rel} = 31$

$g^*_{C,rel} = 40$

FRS09_92aM; adaptierte CIELAB-Daten

u^*_e	$L^*=L^*_a$	a^*_a	b^*_a	$C^*_{ab,a}$	$h^*_{ab,a}$	u^*_d
r00j	35.47	63.32	30.17	70.15	25	m81o
r25j	39.12	54.56	49.45	73.64	42	o10y
r50j	50.64	39.15	64.89	75.79	59	o40y
r75j	64.01	21.26	82.83	85.52	76	o69y
j00g	83.18	-4.38	108.53	108.62	92	o98y
j25g	66.73	-29.89	83.06	88.28	110	y34l
j50g	54.03	-48.31	63.49	79.78	127	y69l
j75g	44.73	-60.33	42.64	73.88	145	l03c
g00b	47.59	-49.08	15.74	51.54	162	l23c
g25b	49.97	-39.7	-6.72	40.27	190	l55c
g50b	51.85	-32.33	-24.35	40.48	217	l87c
g75b	46.92	-17.29	-36.02	39.96	244	c20v
b00r	37.91	1.28	-42.35	42.37	272	c53v
b25r	23.81	30.38	-52.26	60.45	300	c87v
b50r	29.52	69.06	-42.14	80.9	329	v68m
b75r	36.48	71.47	-3.69	71.57	357	m34o



Ein und Ausgabe: Farbmatisches Drucker-Reflektiv-System FRS09_92aM für relativen CIELAB-Bunton $h^* = lab^*h^* = h_{ab}/360 = 0.527$

$u^*_e = g25b$
 lab^*olv^*

Daten für jede Farbe:

lab^*tch^* und lab^*icu^*

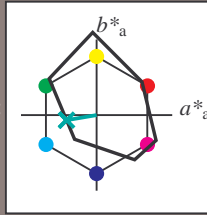
Buntontexte:

$u^*_e = g25b$ $u^*_d = l55c$

Kontrastreduzierungsfaktor:

$c_R = 1.0$

Dreiecks-Helligkeit t^*



FRS09_92aM; CIELAB-Daten						
u^*_e	$L^*=L^*_a$	a^*	b^*	C^*_{ab}	h^*_{ab}	
O _M	35.06	60.53	39.66	72.37	33	
Y _M	83.77	-4.5	103.15	103.25	92	
L _M	44.13	-62.11	43.56	75.86	145	
C _M	52.66	-28.56	-36.99	46.73	232	
V _M	14.15	50.78	-62.6	80.61	309	
M _M	37.37	79.18	-37.93	87.8	334	
N _M	8.58	0.46	-3.35	3.38	278	
W _M	92.02	0.69	-6.48	6.52	276	
R _M	39.92	58.74	27.99	65.07	25	
J _M	81.26	-2.89	71.56	71.62	92	
G _M	52.23	-42.42	13.6	44.55	162	
B _M	30.57	1.41	-46.47	46.49	272	

Daten für Maximalfarbe (Ma):

$LAB^*LAB^*_Ma: 50 -40 -7$

$LAB^*LCH^*_Ma: 50 40 189$

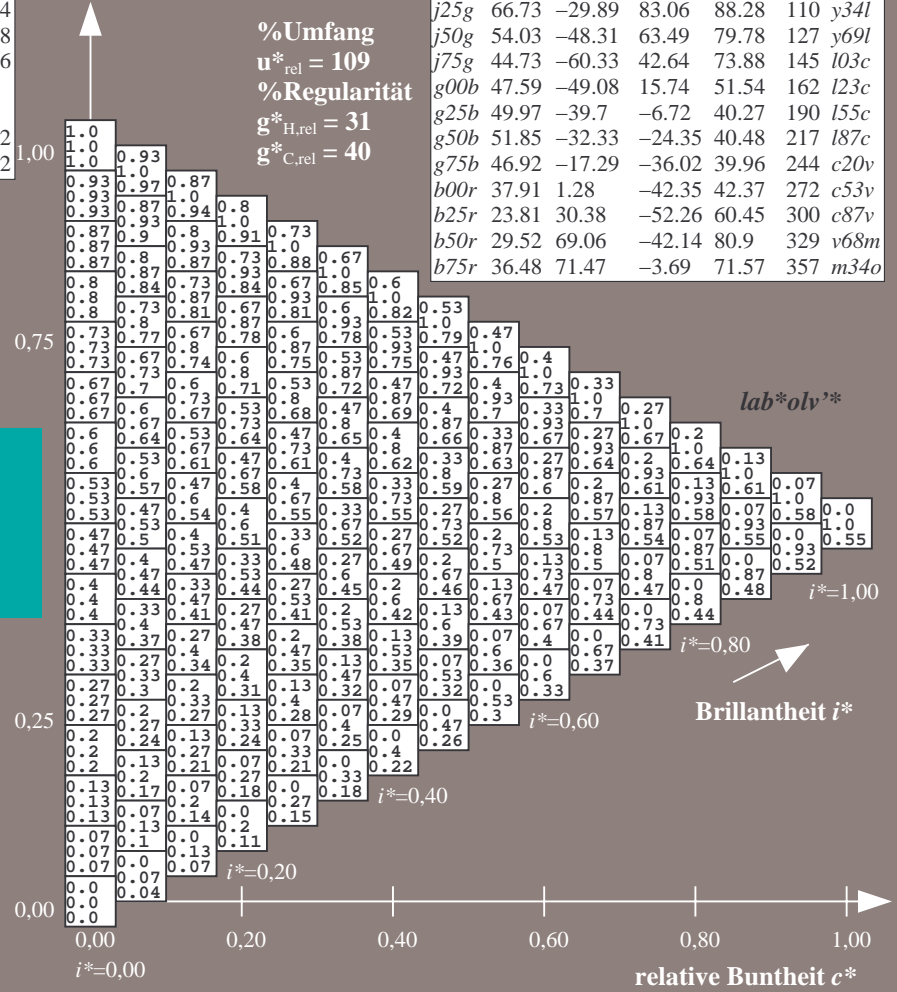
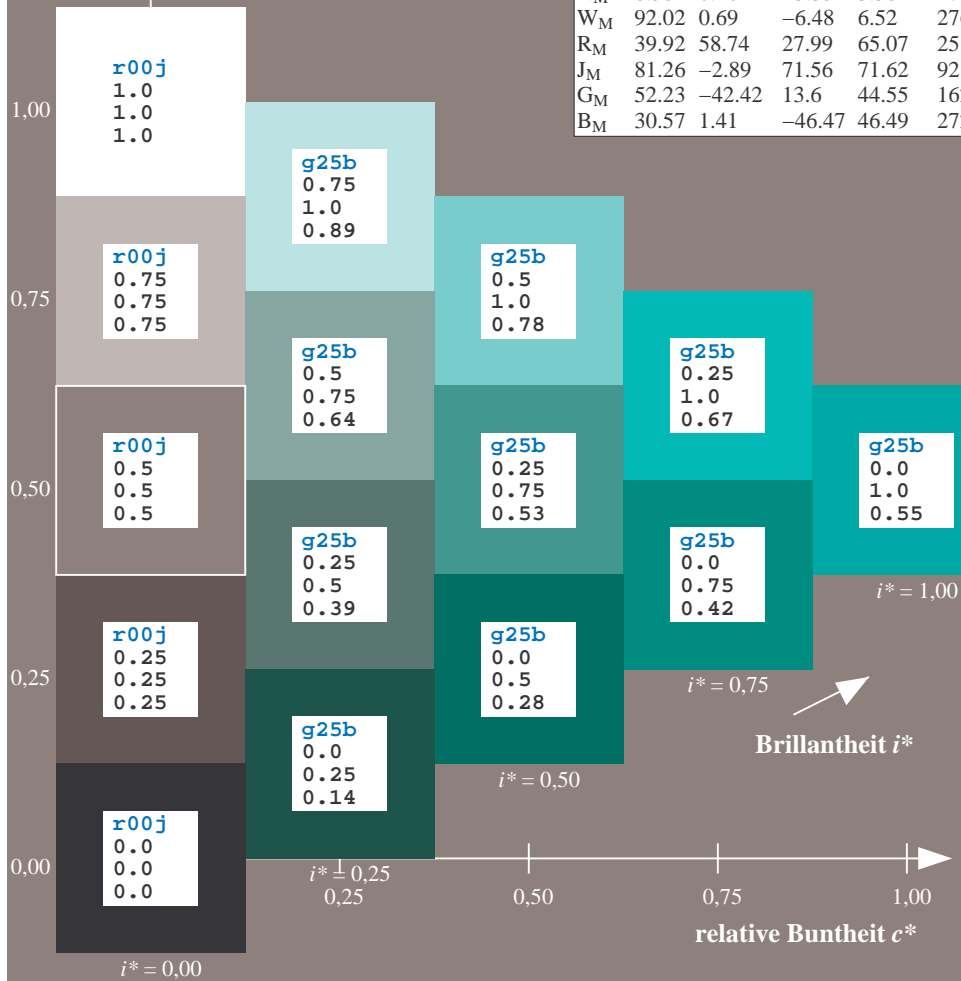
$lab^*rgb^*_Ma: 0.0 1.0 0.5$

$lab^*olv^*_Ma: 0.0 1.0 0.55$

Dreiecks-Helligkeit t^*

FRS09_92aM; adaptierte CIELAB-Daten

u^*_e	$L^*=L^*_a$	a^*_a	b^*_a	$C^*_{ab,a}$	$h^*_{ab,a}$	u^*_d
r00j	35.47	63.32	30.17	70.15	25	m81o
r25j	39.12	54.56	49.45	73.64	42	o10y
r50j	50.64	39.15	64.89	75.79	59	o40y
r75j	64.01	21.26	82.83	85.52	76	o69y
j00g	83.18	-4.38	108.53	108.62	92	o98y
j25g	66.73	-29.89	83.06	88.28	110	y34l
j50g	54.03	-48.31	63.49	79.78	127	y69l
j75g	44.73	-60.33	42.64	73.88	145	l03c
g00b	47.59	-49.08	15.74	51.54	162	l23c
g25b	49.97	-39.7	-6.72	40.27	190	l55c
g50b	51.85	-32.33	-24.35	40.48	217	l87c
g75b	46.92	-17.29	-36.02	39.96	244	c20v
b00r	37.91	1.28	-42.35	42.37	272	c53v
b25r	23.81	30.38	-52.26	60.45	300	c87v
b50r	29.52	69.06	-42.14	80.9	329	v68m
b75r	36.48	71.47	-3.69	71.57	357	m34o



Ein und Ausgabe: Farbmatisches Drucker-Reflektiv-System FRS09_92aM für relativen CIELAB-Bunton $h^* = lab^*h^* = h_{ab}/360 = 0.603$

$u^*_e = g50b$
 lab^*olv^*

Daten für jede Farbe:

lab^*tch^* und lab^*icu^*

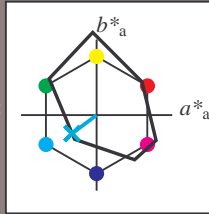
Buntontexte:

$u^*_e = g50b$ $u^*_d = l87c$

Kontrastreduzierungsfaktor:

$c_R = 1.0$

Dreiecks-Helligkeit t^*



FRS09_92aM; CIELAB-Daten						
u^*_e	$L^*=L^*$	a^*	b^*	C^*_{ab}	h^*_{ab}	
O _M	35.06	60.53	39.66	72.37	33	
Y _M	83.77	-4.5	103.15	103.25	92	
L _M	44.13	-62.11	43.56	75.86	145	
C _M	52.66	-28.56	-36.99	46.73	232	
V _M	14.15	50.78	-62.6	80.61	309	
M _M	37.37	79.18	-37.93	87.8	334	
N _M	8.58	0.46	-3.35	3.38	278	
W _M	92.02	0.69	-6.48	6.52	276	
R _M	39.92	58.74	27.99	65.07	25	
J _M	81.26	-2.89	71.56	71.62	92	
G _M	52.23	-42.42	13.6	44.55	162	
B _M	30.57	1.41	-46.47	46.49	272	

Daten für Maximalfarbe (Ma):

$LAB^*LAB^*_{Ma}: 52 -32 -24$

$LAB^*LCH^*_{Ma}: 52 40 216$

$lab^*rgb^*_{Ma}: 0.0 1.0 1.0$

$lab^*olv^*_{Ma}: 0.0 1.0 0.87$

Dreiecks-Helligkeit t^*

%Umfang

$u^*_{rel} = 109$

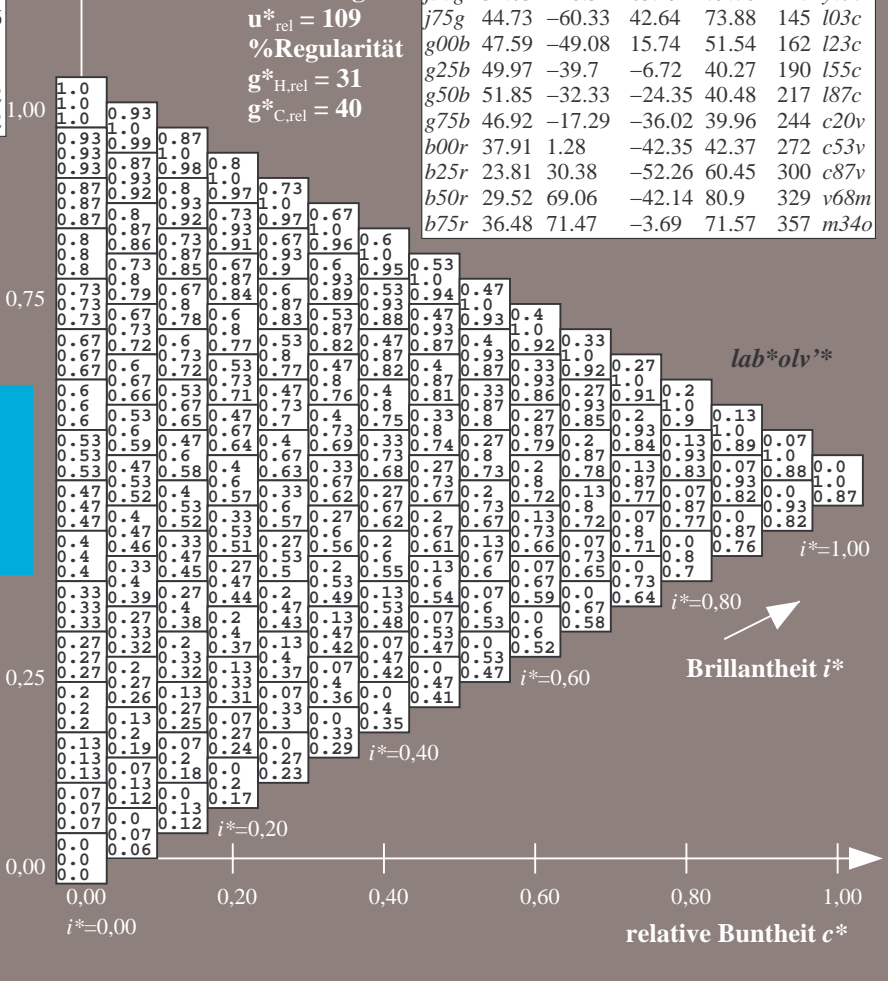
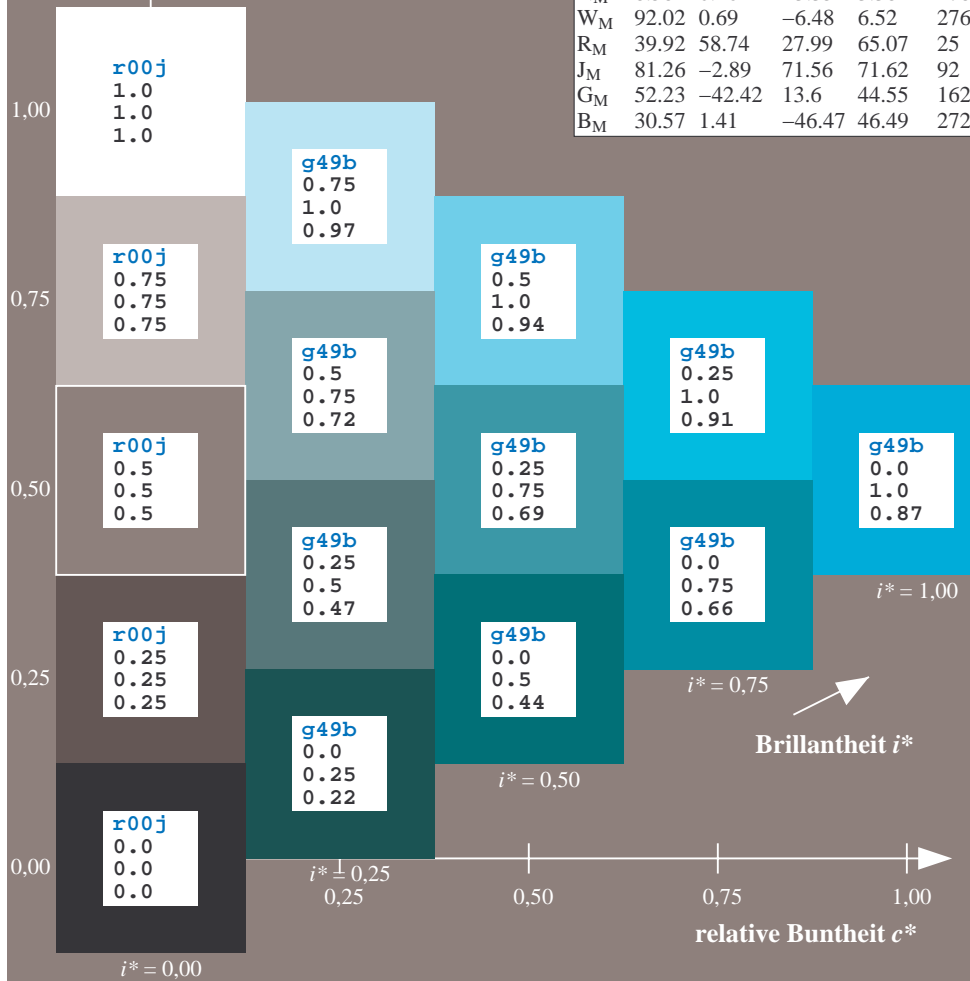
%Regularität

$g^*_{H,rel} = 31$

$g^*_{C,rel} = 40$

FRS09_92aM; adaptierte CIELAB-Daten

u^*_e	$L^*=L^*_a$	a^*_a	b^*_a	$C^*_{ab,a}$	$h^*_{ab,a}$	u^*_d
r00j	35.47	63.32	30.17	70.15	25	m81o
r25j	39.12	54.56	49.45	73.64	42	o10y
r50j	50.64	39.15	64.89	75.79	59	o40y
r75j	64.01	21.26	82.83	85.52	76	o69y
j00g	83.18	-4.38	108.53	108.62	92	o98y
j25g	66.73	-29.89	83.06	88.28	110	y34l
j50g	54.03	-48.31	63.49	79.78	127	y69l
j75g	44.73	-60.33	42.64	73.88	145	l03c
g00b	47.59	-49.08	15.74	51.54	162	l23c
g25b	49.97	-39.7	-6.72	40.27	190	l55c
g50b	51.85	-32.33	-24.35	40.48	217	l87c
g75b	46.92	-17.29	-36.02	39.96	244	c20v
b00r	37.91	1.28	-42.35	42.37	272	c53v
b25r	23.81	30.38	-52.26	60.45	300	c87v
b50r	29.52	69.06	-42.14	80.9	329	v68m
b75r	36.48	71.47	-3.69	71.57	357	m34o



Ein und Ausgabe: Farbmatisches Drucker-Reflektiv-System FRS09_92aM für relativen CIELAB-Bunton $h^* = lab \cdot h^* = h_{ab}/360 = 0.679$

$u^*_e = g75b$
 $lab \cdot olv^*$

Daten für jede Farbe:

$lab \cdot tch^*$ und $lab \cdot icu^*$

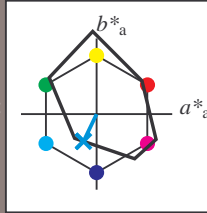
Buntontexte:

$u^*_e = g75b$ $u^*_d = c20v$

Kontrastreduzierungsfaktor:

$c_R = 1.0$

Dreiecks-Helligkeit t^*



FRS09_92aM; CIELAB-Daten

u^*_e	$L^*=L^*_a$	a^*_a	b^*_a	C^*_{ab}	h^*_{ab}
O _M	35.06	60.53	39.66	72.37	33
Y _M	83.77	-4.5	103.15	103.25	92
L _M	44.13	-62.11	43.56	75.86	145
C _M	52.66	-28.56	-36.99	46.73	232
V _M	14.15	50.78	-62.6	80.61	309
M _M	37.37	79.18	-37.93	87.8	334
N _M	8.58	0.46	-3.35	3.38	278
W _M	92.02	0.69	-6.48	6.52	276
R _M	39.92	58.74	27.99	65.07	25
J _M	81.26	-2.89	71.56	71.62	92
G _M	52.23	-42.42	13.6	44.55	162
B _M	30.57	1.41	-46.47	46.49	272

Daten für Maximalfarbe (Ma):

$LAB \cdot LAB^*_{Ma}$: 47 -17 -36

$LAB \cdot LCH^*_{Ma}$: 47 40 244

$lab \cdot rgb^*_{Ma}$: 0.0 0.5 1.0

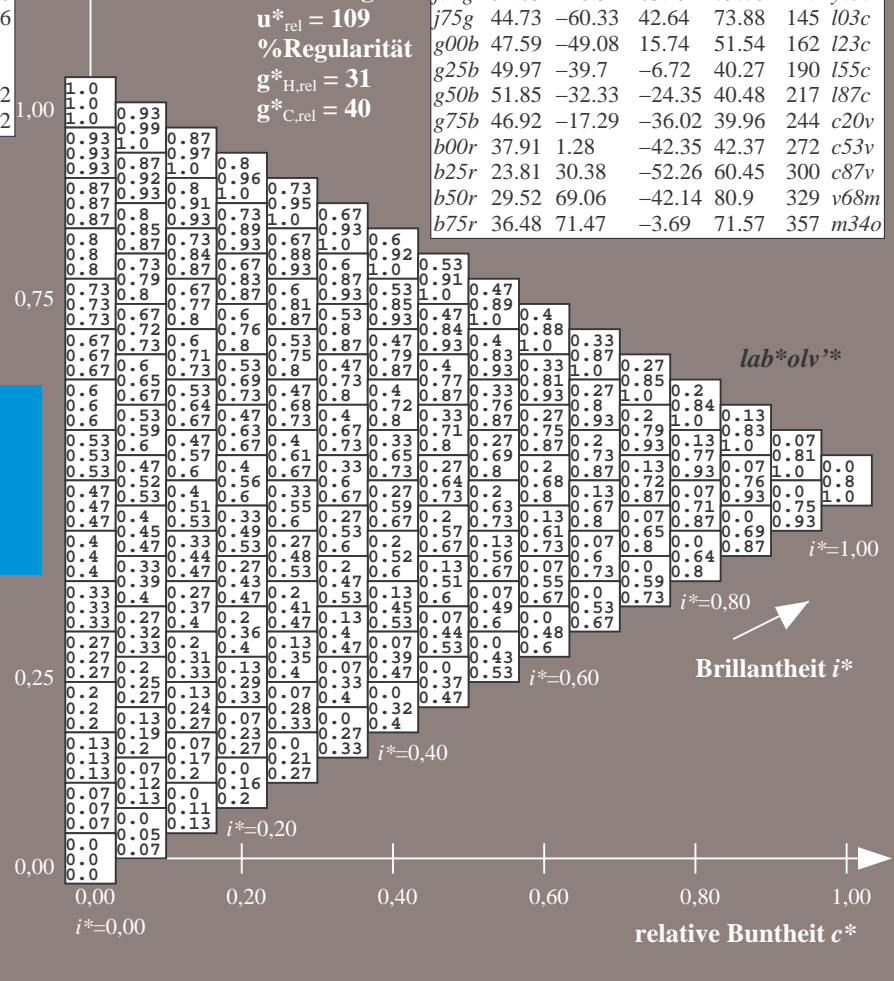
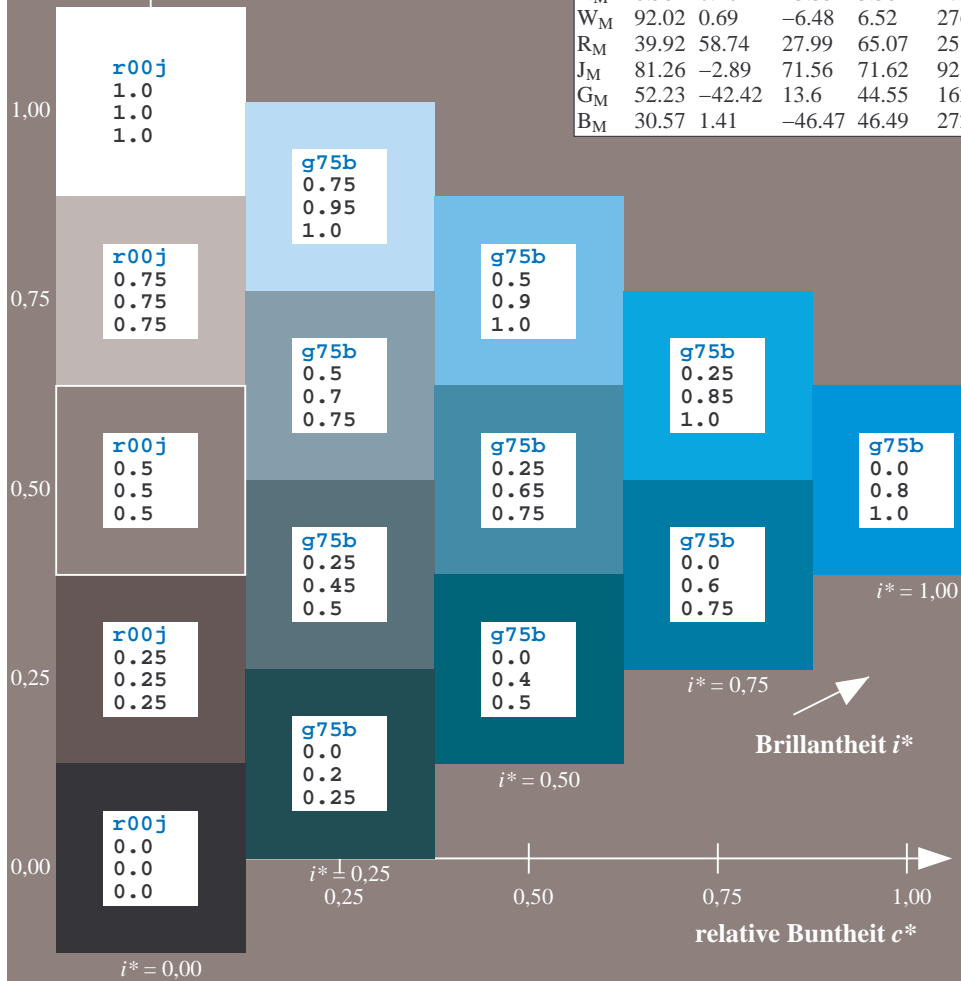
$lab \cdot olv^*_{Ma}$: 0.0 0.8 1.0

Dreiecks-Helligkeit t^*

%Umfang
 $u^*_{rel} = 109$
%Regularität
 $g^*_{H,rel} = 31$
 $g^*_{C,rel} = 40$

FRS09_92aM; adaptierte CIELAB-Daten

u^*_e	$L^*=L^*_a$	a^*_a	b^*_a	$C^*_{ab,a}$	$h^*_{ab,a}$	u^*_d
r00j	35.47	63.32	30.17	70.15	25	m81o
r25j	39.12	54.56	49.45	73.64	42	o10y
r50j	50.64	39.15	64.89	75.79	59	o40y
r75j	64.01	21.26	82.83	85.52	76	o69y
j00g	83.18	-4.38	108.53	108.62	92	o98y
j25g	66.73	-29.89	83.06	88.28	110	y34l
j50g	54.03	-48.31	63.49	79.78	127	y69l
j75g	44.73	-60.33	42.64	73.88	145	103c
g00b	47.59	-49.08	15.74	51.54	162	l23c
g25b	49.97	-39.7	-6.72	40.27	190	l55c
g50b	51.85	-32.33	-24.35	40.48	217	l87c
g75b	46.92	-17.29	-36.02	39.96	244	c20v
b00r	37.91	1.28	-42.35	42.37	272	c53v
b25r	23.81	30.38	-52.26	60.45	300	c87v
b50r	29.52	69.06	-42.14	80.9	329	v68m
b75r	36.48	71.47	-3.69	71.57	357	m34o



Ein und Ausgabe: Farbmatisches Drucker-Reflektiv-System FRS09_92aM für relativen CIELAB-Bunton $h^* = lab^*h^* = h_{ab}/360 = 0.755$

$u^*_e = b00r$
 lab^*olv^*

Daten für jede Farbe:

lab^*tch^* und lab^*icu^*

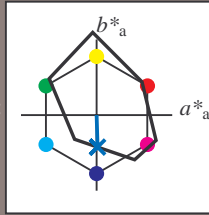
Buntontexte:

$u^*_e = b00r$ $u^*_d = c53v$

Kontrastreduzierungsfaktor:

$c_R = 1.0$

Dreiecks-Helligkeit t^*



FRS09_92aM; CIELAB-Daten

	u^*_e	$L^*=L^*_a$	a^*	b^*	C^*_{ab}	h^*_{ab}
O_M	35.06	60.53	39.66	72.37	33	
Y_M	83.77	-4.5	103.15	103.25	92	
L_M	44.13	-62.11	43.56	75.86	145	
C_M	52.66	-28.56	-36.99	46.73	232	
V_M	14.15	50.78	-62.6	80.61	309	
M_M	37.37	79.18	-37.93	87.8	334	
N_M	8.58	0.46	-3.35	3.38	278	
W_M	92.02	0.69	-6.48	6.52	276	
R_M	39.92	58.74	27.99	65.07	25	
J_M	81.26	-2.89	71.56	71.62	92	
G_M	52.23	-42.42	13.6	44.55	162	
B_M	30.57	1.41	-46.47	46.49	272	

Daten für Maximalfarbe (Ma):

$LAB^*LAB^*_Ma: 38 \ 1 \ -42$

$LAB^*LCH^*_Ma: 38 \ 42 \ 271$

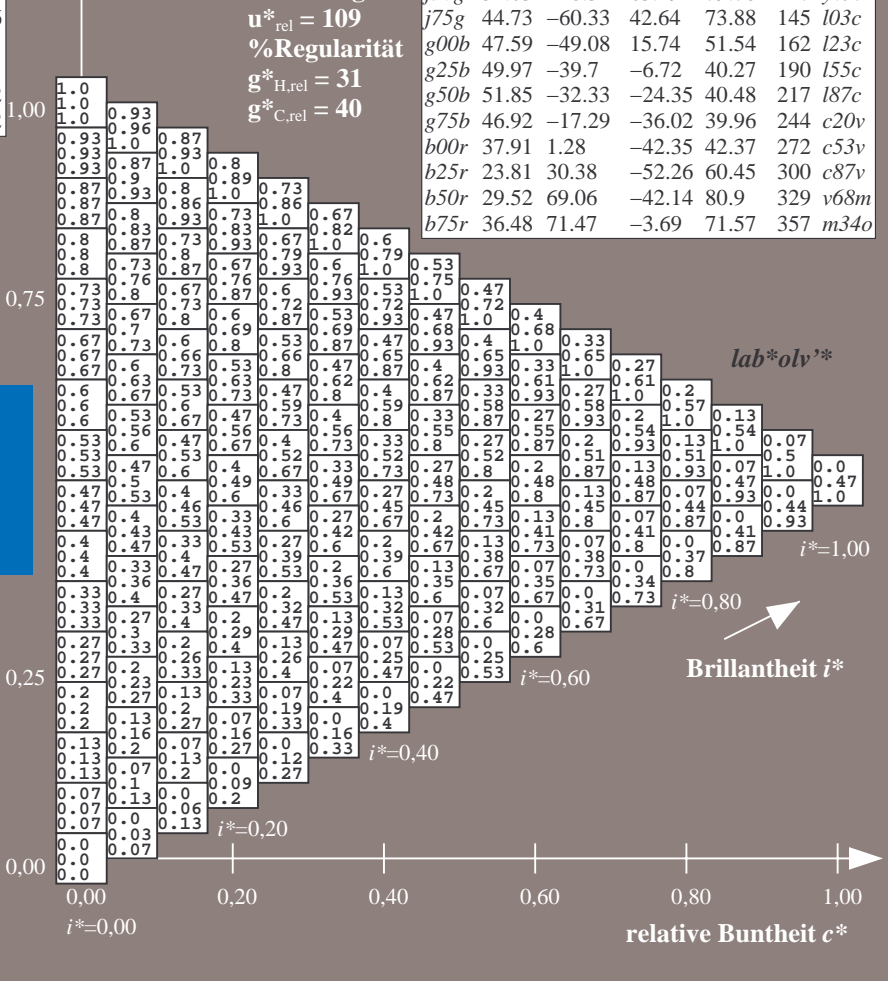
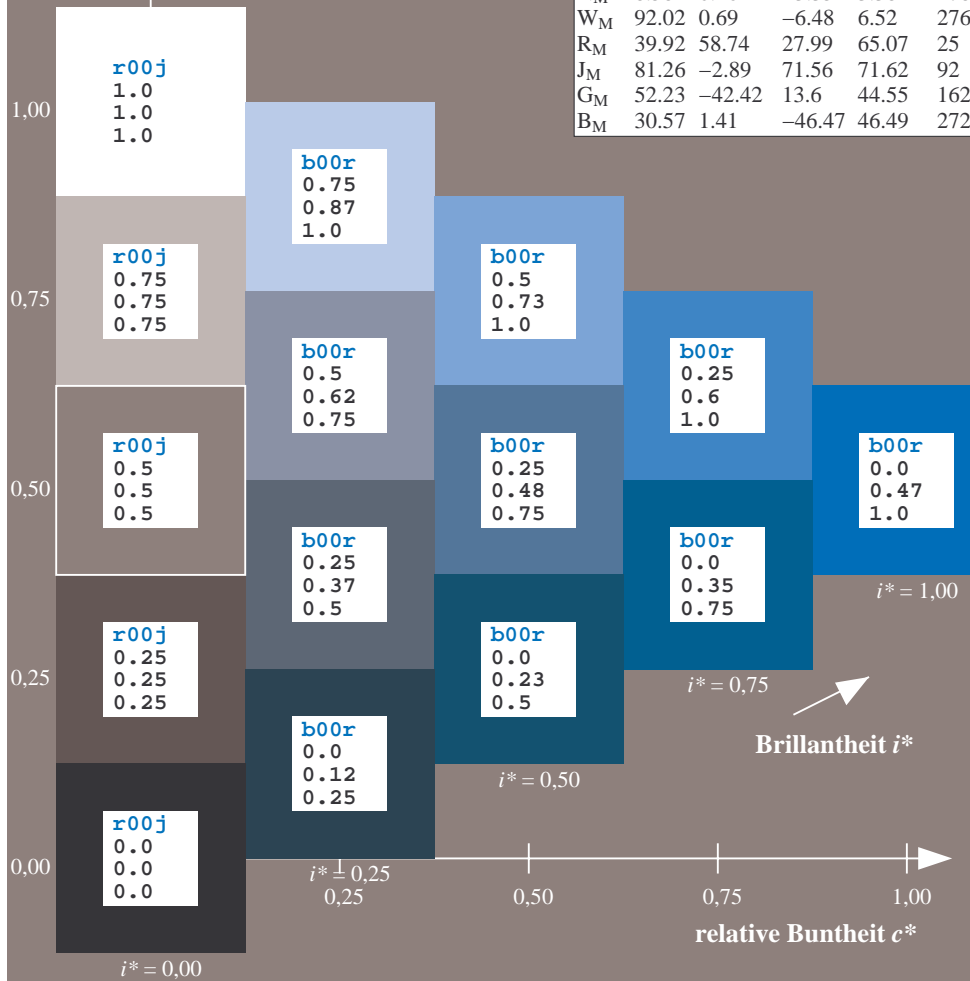
$lab^*rgb^*_Ma: 0.0 \ 0.0 \ 1.0$

$lab^*olv^*_Ma: 0.0 \ 0.47 \ 1.0$

Dreiecks-Helligkeit t^*

FRS09_92aM; adaptierte CIELAB-Daten

	u^*_e	$L^*=L^*_a$	a^*_a	b^*_a	$C^*_{ab,a}$	$h^*_{ab,a}$	u^*_d
$r00j$	35.47	63.32	30.17	70.15	25	$m81o$	
$r25j$	39.12	54.56	49.45	73.64	42	$o10y$	
$r50j$	50.64	39.15	64.89	75.79	59	$o40y$	
$r75j$	64.01	21.26	82.83	85.52	76	$o69y$	
$j00g$	83.18	-4.38	108.53	108.62	92	$o98y$	
$j25g$	66.73	-29.89	83.06	88.28	110	$y34l$	
$j50g$	54.03	-48.31	63.49	79.78	127	$y69l$	
$j75g$	44.73	-60.33	42.64	73.88	145	$i03c$	
$g00b$	47.59	-49.08	15.74	51.54	162	$l23c$	
$g25b$	49.97	-39.7	-6.72	40.27	190	$i55c$	
$g50b$	51.85	-32.33	-24.35	40.48	217	$i87c$	
$g75b$	46.92	-17.29	-36.02	39.96	244	$c20v$	
$b00r$	37.91	1.28	-42.35	42.37	272	$c53v$	
$b25r$	23.81	30.38	-52.26	60.45	300	$c87v$	
$b50r$	29.52	69.06	-42.14	80.9	329	$v68m$	
$b75r$	36.48	71.47	-3.69	71.57	357	$m34o$	



Ein und Ausgabe: Farbmatisches Drucker-Reflektiv-System FRS09_92aM für relativen CIELAB-Bunton $h^* = lab^*h^* = h_{ab}/360 = 0.834$

$u^*_e = b25r$
 lab^*olv^*

Daten für jede Farbe:

lab^*tch^* und lab^*icu^*

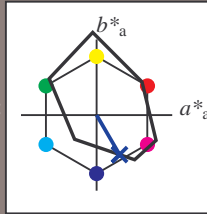
Buntontexte:

$u^*_e = b25r$ $u^*_d = c87v$

Kontrastreduzierungsfaktor:

$c_R = 1.0$

Dreiecks-Helligkeit t^*



FRS09_92aM; CIELAB-Daten

u^*_e	$L^*=L^*$	a^*	b^*	C^*_{ab}	h^*_{ab}
O _M	35.06	60.53	39.66	72.37	33
Y _M	83.77	-4.5	103.15	103.25	92
L _M	44.13	-62.11	43.56	75.86	145
C _M	52.66	-28.56	-36.99	46.73	232
V _M	14.15	50.78	-62.6	80.61	309
M _M	37.37	79.18	-37.93	87.8	334
N _M	8.58	0.46	-3.35	3.38	278
W _M	92.02	0.69	-6.48	6.52	276
R _M	39.92	58.74	27.99	65.07	25
J _M	81.26	-2.89	71.56	71.62	92
G _M	52.23	-42.42	13.6	44.55	162
B _M	30.57	1.41	-46.47	46.49	272

Daten für Maximalfarbe (Ma):

$LAB^*LAB^*_{Ma}: 24 \ 30 \ -52$

$LAB^*LCH^*_{Ma}: 24 \ 60 \ 300$

$lab^*rgb^*_{Ma}: 0.5 \ 0.0 \ 1.0$

$lab^*olv^*_{Ma}: 0.0 \ 0.12 \ 1.0$

Dreiecks-Helligkeit t^*

%Umfang

$u^*_{rel} = 109$

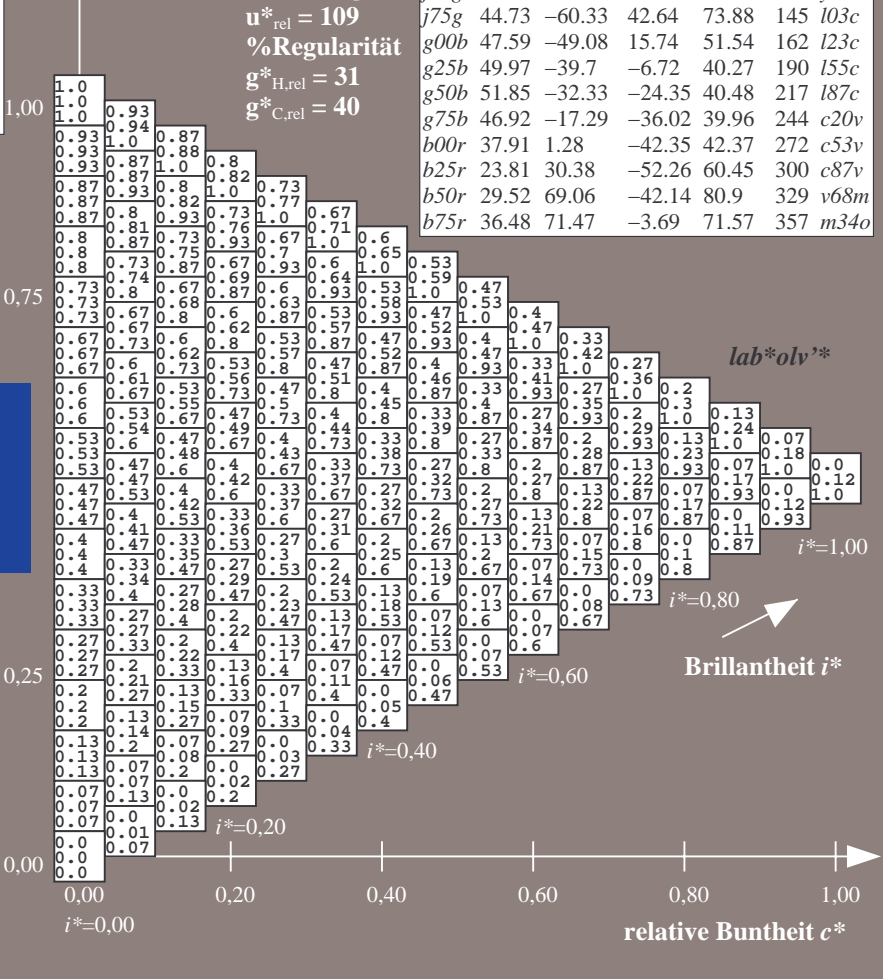
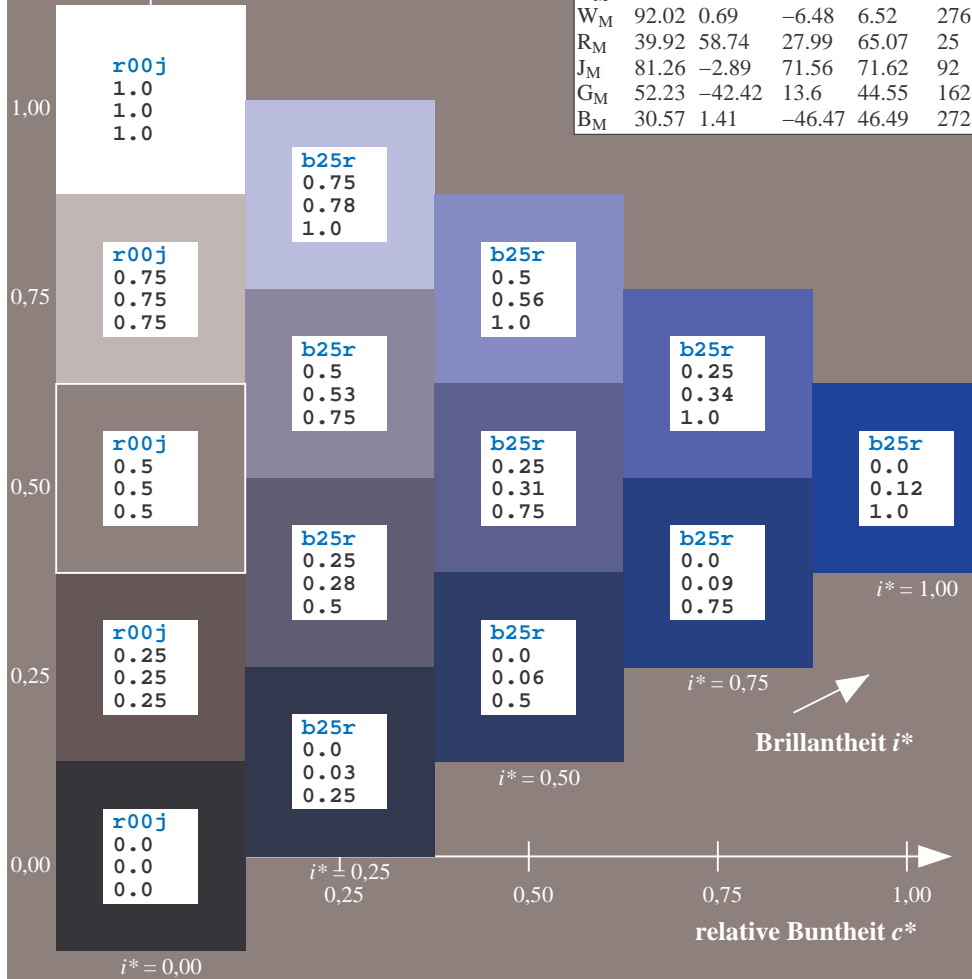
%Regularität

$g^*_{H,rel} = 31$

$g^*_{C,rel} = 40$

FRS09_92aM; adaptierte CIELAB-Daten

u^*_e	$L^*=L^*_a$	a^*_a	b^*_a	$C^*_{ab,a}$	$h^*_{ab,a}$	u^*_d
r00j	35.47	63.32	30.17	70.15	25	m81o
r25j	39.12	54.56	49.45	73.64	42	o10y
r50j	50.64	39.15	64.89	75.79	59	o40y
r75j	64.01	21.26	82.83	85.52	76	o69y
j00g	83.18	-4.38	108.53	108.62	92	o98y
j25g	66.73	-29.89	83.06	88.28	110	y34l
j50g	54.03	-48.31	63.49	79.78	127	y69l
j75g	44.73	-60.33	42.64	73.88	145	103c
g00b	47.59	-49.08	15.74	51.54	162	i23c
g25b	49.97	-39.7	-6.72	40.27	190	i55c
g50b	51.85	-32.33	-24.35	40.48	217	i87c
g75b	46.92	-17.29	-36.02	39.96	244	c20v
b00r	37.91	1.28	-42.35	42.37	272	c53v
b25r	23.81	30.38	-52.26	60.45	300	c87v
b50r	29.52	69.06	-42.14	80.9	329	v68m
b75r	36.48	71.47	-3.69	71.57	357	m34o



Ein und Ausgabe: Farbmatisches Drucker-Reflektiv-System FRS09_92aM für relativen CIELAB-Bunton $h^* = lab^*h^* = h_{ab}/360 = 0.913$

$u^*_e = b50r$

Daten für jede Farbe:

lab^*ch^* und lab^*icu^*

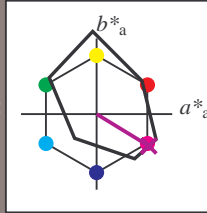
Buntontexte:

$u^*_e = b50r$ $u^*_d = v68m$

Kontrastreduzierungsfaktor:

$c_R = 1.0$

Dreiecks-Helligkeit t^*



FRS09_92aM; CIELAB-Daten

u^*_e	$L^*=L^*_a$	a^*	b^*	C^*_{ab}	h^*_{ab}
O _M	35.06	60.53	39.66	72.37	33
Y _M	83.77	-4.5	103.15	103.25	92
L _M	44.13	-62.11	43.56	75.86	145
C _M	52.66	-28.56	-36.99	46.73	232
V _M	14.15	50.78	-62.6	80.61	309
M _M	37.37	79.18	-37.93	87.8	334
N _M	8.58	0.46	-3.35	3.38	278
W _M	92.02	0.69	-6.48	6.52	276
R _M	39.92	58.74	27.99	65.07	25
J _M	81.26	-2.89	71.56	71.62	92
G _M	52.23	-42.42	13.6	44.55	162
B _M	30.57	1.41	-46.47	46.49	272

Daten für Maximalfarbe (Ma):

$LAB^*LAB^*_{Ma}: 30\ 69\ -42$

$LAB^*LCH^*_{Ma}: 30\ 81\ 328$

$lab^*rgb^*_{Ma}: 1.0\ 0.0\ 1.0$

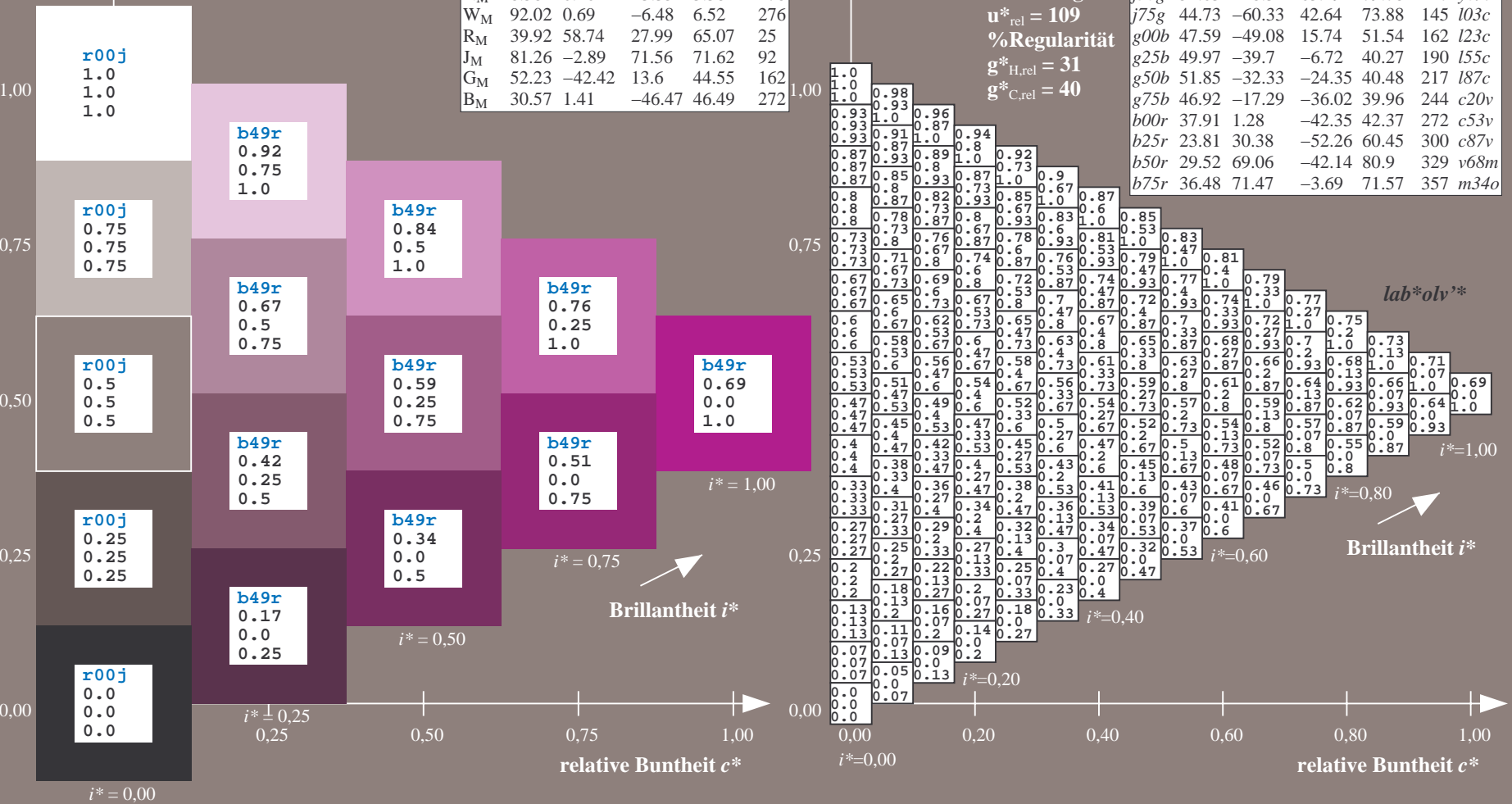
$lab^*olv^*_{Ma}: 0.69\ 0.0\ 1.0$

Dreiecks-Helligkeit t^*

FRS09_92aM; adaptierte CIELAB-Daten

u^*_e	$L^*=L^*_a$	a^*_a	b^*_a	$C^*_{ab,a}$	$h^*_{ab,a}$	u^*_d
r00j	35.47	63.32	30.17	70.15	25	m81o
r25j	39.12	54.56	49.45	73.64	42	o10y
r50j	50.64	39.15	64.89	75.79	59	o40y
r75j	64.01	21.26	82.83	85.52	76	o69y
j00g	83.18	-4.38	108.53	108.62	92	o98y
j25g	66.73	-29.89	83.06	88.28	110	y34l
j50g	54.03	-48.31	63.49	79.78	127	y69l
j75g	44.73	-60.33	42.64	73.88	145	103c
g00b	47.59	-49.08	15.74	51.54	162	l23c
g25b	49.97	-39.7	-6.72	40.27	190	l55c
g50b	51.85	-32.33	-24.35	40.48	217	l87c
g75b	46.92	-17.29	-36.02	39.96	244	c20v
b00r	37.91	1.28	-42.35	42.37	272	c53v
b25r	23.81	30.38	-52.26	60.45	300	c87v
b50r	29.52	69.06	-42.14	80.9	329	v68m
b75r	36.48	71.47	-3.69	71.57	357	m34o

lab^*olv^*



%Umfang
 $u^*_{rel} = 109$
%Regularität
 $g^*_{H,rel} = 31$
 $g^*_{C,rel} = 40$

Ein und Ausgabe: Farbmatisches Drucker-Reflektiv-System FRS09_92aM für relativen CIELAB-Bunton $h^* = lab^*h^* = h_{ab}/360 = 0.992$

$u^*_e = b75r$

Daten für jede Farbe:

lab^*tch^* und lab^*icu^*

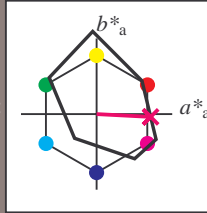
Buntontexte:

$u^*_e = b75r$ $u^*_d = m34o$

Kontrastreduzierungsfaktor:

$c_R = 1.0$

Dreiecks-Helligkeit t^*



FRS09_92aM; CIELAB-Daten

u^*_e	$L^*=L^*_a$	a^*	b^*	C^*_{ab}	h^*_{ab}
O _M	35.06	60.53	39.66	72.37	33
Y _M	83.77	-4.5	103.15	103.25	92
L _M	44.13	-62.11	43.56	75.86	145
C _M	52.66	-28.56	-36.99	46.73	232
V _M	14.15	50.78	-62.6	80.61	309
M _M	37.37	79.18	-37.93	87.8	334
N _M	8.58	0.46	-3.35	3.38	278
W _M	92.02	0.69	-6.48	6.52	276
R _M	39.92	58.74	27.99	65.07	25
J _M	81.26	-2.89	71.56	71.62	92
G _M	52.23	-42.42	13.6	44.55	162
B _M	30.57	1.41	-46.47	46.49	272

Daten für Maximalfarbe (Ma):

$LAB^*LAB^*_{Ma}: 36\ 71\ -4$

$LAB^*LCH^*_{Ma}: 36\ 72\ 357$

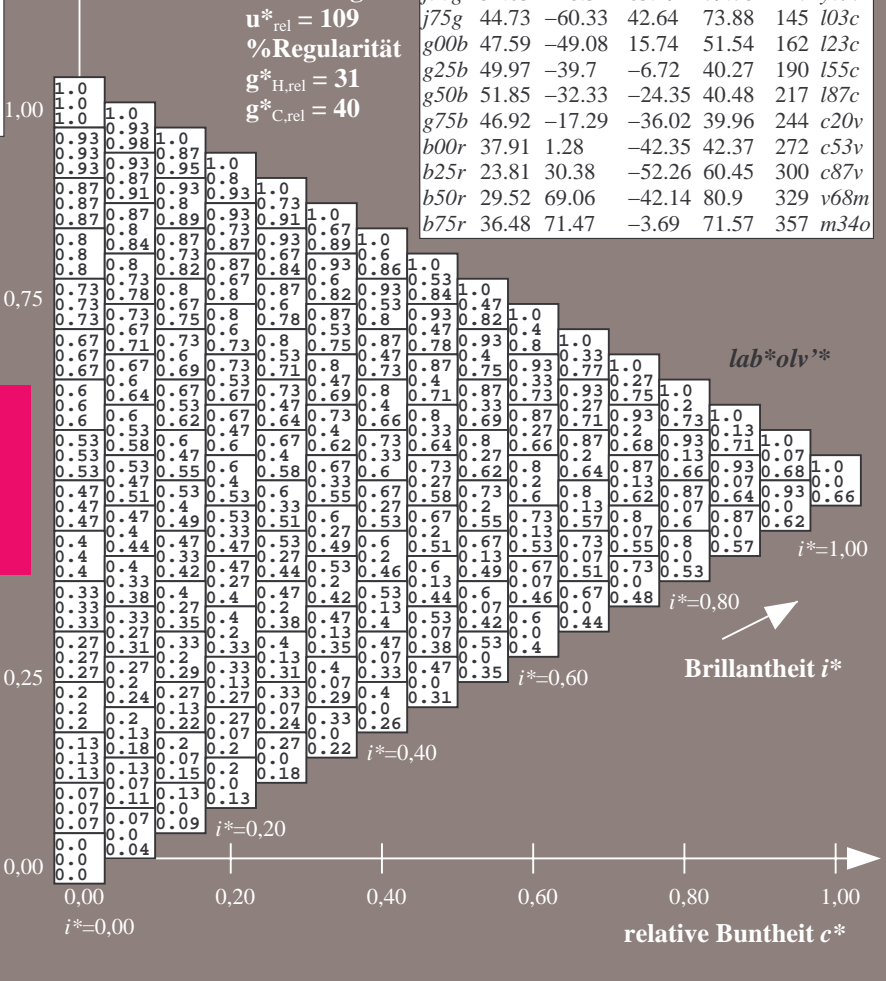
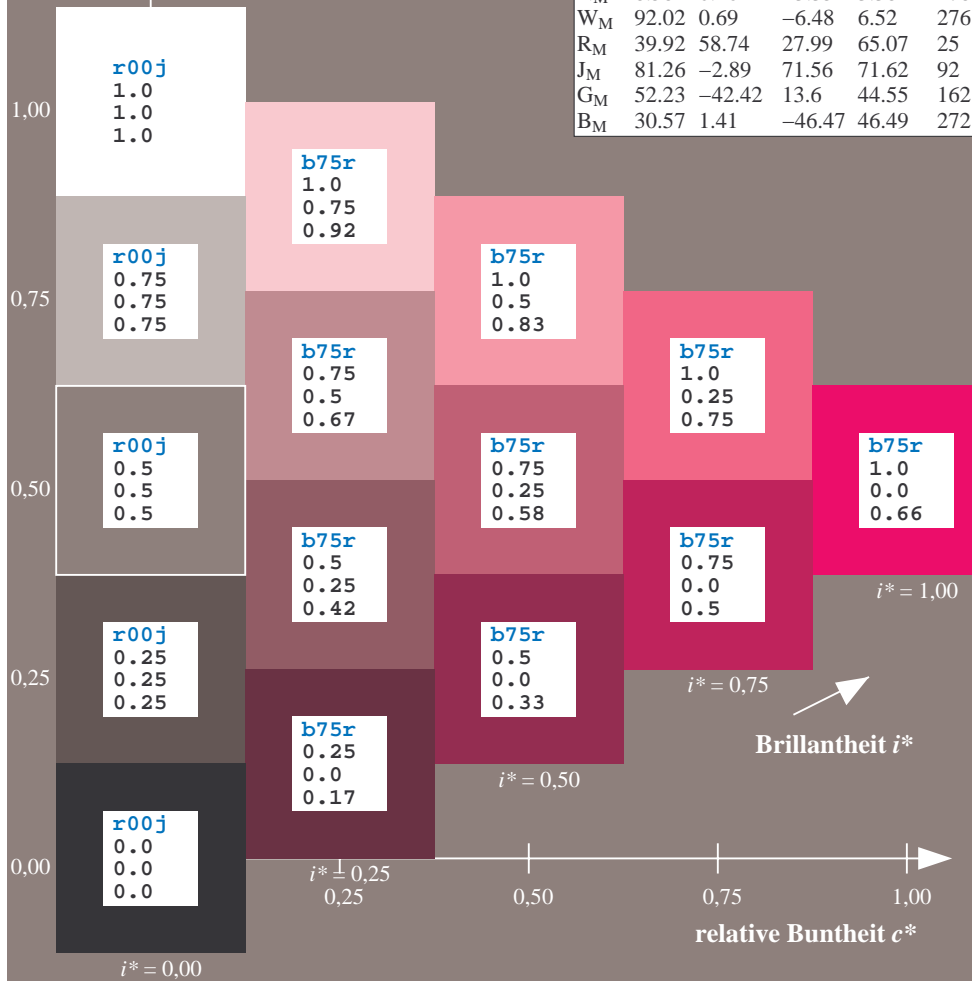
$lab^*rgb^*_{Ma}: 1.0\ 0.0\ 0.5$

$lab^*olv^*_{Ma}: 1.0\ 0.0\ 0.66$

Dreiecks-Helligkeit t^*

FRS09_92aM; adaptierte CIELAB-Daten

u^*_e	$L^*=L^*_a$	a^*_a	b^*_a	$C^*_{ab,a}$	$h^*_{ab,a}$	u^*_d
r00j	35.47	63.32	30.17	70.15	25	m81o
r25j	39.12	54.56	49.45	73.64	42	o10y
r50j	50.64	39.15	64.89	75.79	59	o40y
r75j	64.01	21.26	82.83	85.52	76	o69y
j00g	83.18	-4.38	108.53	108.62	92	o98y
j25g	66.73	-29.89	83.06	88.28	110	y34l
j50g	54.03	-48.31	63.49	79.78	127	y69l
j75g	44.73	-60.33	42.64	73.88	145	162 i03c
g00b	47.59	-49.08	15.74	51.54	162	123c
g25b	49.97	-39.7	-6.72	40.27	190	155c
g50b	51.85	-32.33	-24.35	40.48	217	187c
g75b	46.92	-17.29	-36.02	39.96	244	c20v
b00r	37.91	1.28	-42.35	42.37	272	c53v
b25r	23.81	30.38	-52.26	60.45	300	c87v
b50r	29.52	69.06	-42.14	80.9	329	v68m
b75r	36.48	71.47	-3.69	71.57	357	m34o



%Umfang
 $u^*_{rel} = 109$
%Regularität
 $g^*_{H,rel} = 31$
 $g^*_{C,rel} = 40$

lab^*olv^*

Brillantheit i^*

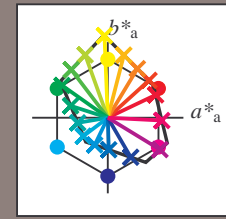
Ein und Ausgabe:
 Farbmetrisches Drucker-Reflektiv-System FRS09_92aM

Daten für jede Farbe:
 u^*_e und Nummer $Nr. = 00 \dots 15$

Elementar-Bunttextext:
 $u^*_e = 16$ Bunttoene $r00j, r25j, \dots, b75r$

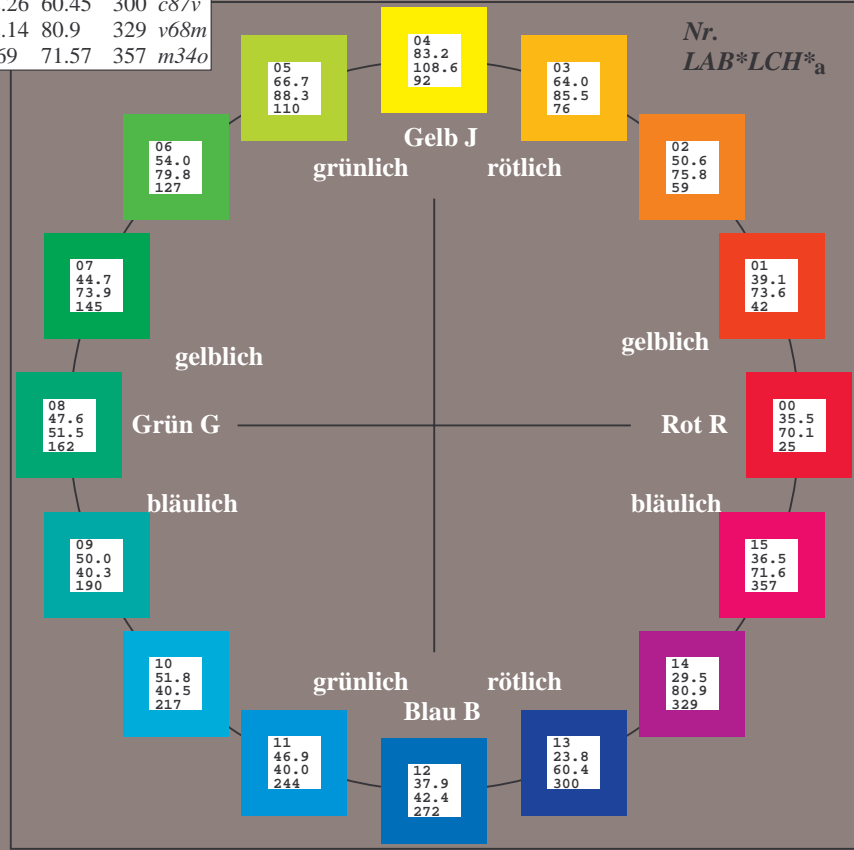
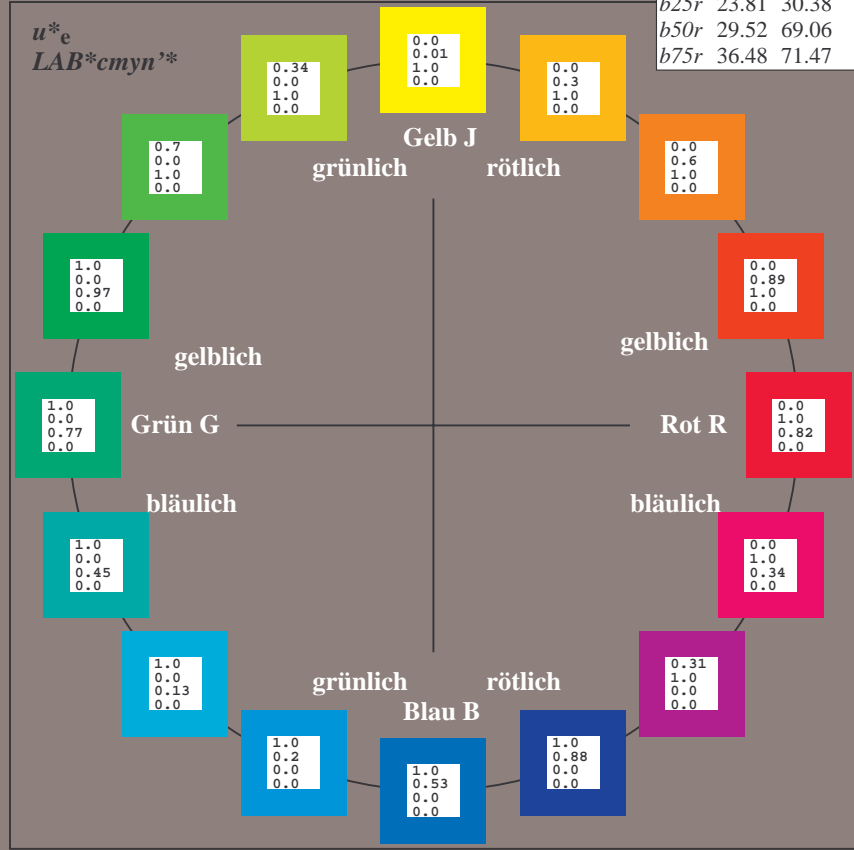
Kontrastreduzierungsfaktor:
 $c_R = 1.0$

FRS09_92aM; adaptierte CIELAB-Daten						
u^*_e	$L^*=L^*_a$	a^*_a	b^*_a	$C^*_{ab,a}$	$h^*_{ab,a}$	u^*_d
r00j	35.47	63.32	30.17	70.15	25	m81o
r25j	39.12	54.56	49.45	73.64	42	o10y
r50j	50.64	39.15	64.89	75.79	59	o40y
r75j	64.01	21.26	82.83	85.52	76	o69y
j00g	83.18	-4.38	108.53	108.62	92	o98y
j25g	66.73	-29.89	83.06	88.28	110	y34l
j50g	54.03	-48.31	63.49	79.78	127	y69l
j75g	44.73	-60.33	42.64	73.88	145	l03c
g00b	47.59	-49.08	15.74	51.54	162	l23c
g25b	49.97	-39.7	-6.72	40.27	190	l55c
g50b	51.85	-32.33	-24.35	40.48	217	l87c
g75b	46.92	-17.29	-36.02	39.96	244	c20v
b00r	37.91	1.28	-42.35	42.37	272	c53v
b25r	23.81	30.38	-52.26	60.45	300	c87v
b50r	29.52	69.06	-42.14	80.9	329	v68m
b75r	36.48	71.47	-3.69	71.57	357	m34o



%Umfang
 $u^*_{rel} = 109$
 %Regularität
 $g^*_{H,rel} = 31$
 $g^*_{C,rel} = 40$

FRS09_92aM; CIELAB-Daten					
Name	$L^*=L^*$	a^*	b^*	C^*_{ab}	h^*_{ab}
O _M	35.06	60.53	39.66	72.37	33
Y _M	83.77	-4.5	103.15	103.25	92
L _M	44.13	-62.11	43.56	75.86	145
C _M	52.66	-28.56	-36.99	46.73	232
V _M	14.15	50.78	-62.6	80.61	309
M _M	37.37	79.18	-37.93	87.8	334
N _M	8.58	0.46	-3.35	3.38	278
W _M	92.02	0.69	-6.48	6.52	276
R _{CIE}	39.92	58.74	27.99	65.07	25
J _{CIE}	81.26	-2.89	71.56	71.62	92
G _{CIE}	52.23	-42.42	13.6	44.55	162
B _{CIE}	30.57	1.41	-46.47	46.49	272



Ein und Ausgabe: Farbmatisches Drucker-Reflektiv-System FRS09_92aM für relativen CIELAB-Bunton $h^* = lab^*h^* = h_{ab}/360 = 0.071$

$u^*_e = r00j$
 $LAB^*cmy^n'^*$

Daten für jede Farbe:

lab^*tch^* und lab^*icu^*

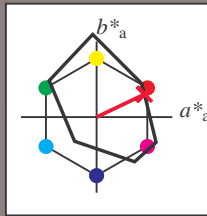
Buntontexte:

$u^*_e = r00j$ $u^*_d = m81o$

Kontrastreduzierungsfaktor:

$c_R = 1.0$

Dreiecks-Helligkeit t^*



FRS09_92aM; CIELAB-Daten						
	u^*_e	$L^*=L^*$	a^*	b^*	C^*_{ab}	h^*_{ab}
O _M	35.06	60.53	39.66	72.37	33	
Y _M	83.77	-4.5	103.15	103.25	92	
L _M	44.13	-62.11	43.56	75.86	145	
C _M	52.66	-28.56	-36.99	46.73	232	
V _M	14.15	50.78	-62.6	80.61	309	
M _M	37.37	79.18	-37.93	87.8	334	
N _M	8.58	0.46	-3.35	3.38	278	
W _M	92.02	0.69	-6.48	6.52	276	
R _M	39.92	58.74	27.99	65.07	25	
J _M	81.26	-2.89	71.56	71.62	92	
G _M	52.23	-42.42	13.6	44.55	162	
B _M	30.57	1.41	-46.47	46.49	272	

Daten für Maximalfarbe (Ma):

$LAB^*LAB^*_{Ma}: 35\ 63\ 30$

$LAB^*LCH^*_{Ma}: 35\ 70\ 25$

$lab^*rgb^*_{Ma}: 1.0\ 0.0\ 0.0$

$lab^*olv^*_{Ma}: 1.0\ 0.0\ 0.18$

Dreiecks-Helligkeit t^*

%Umfang

$u^*_{rel} = 109$

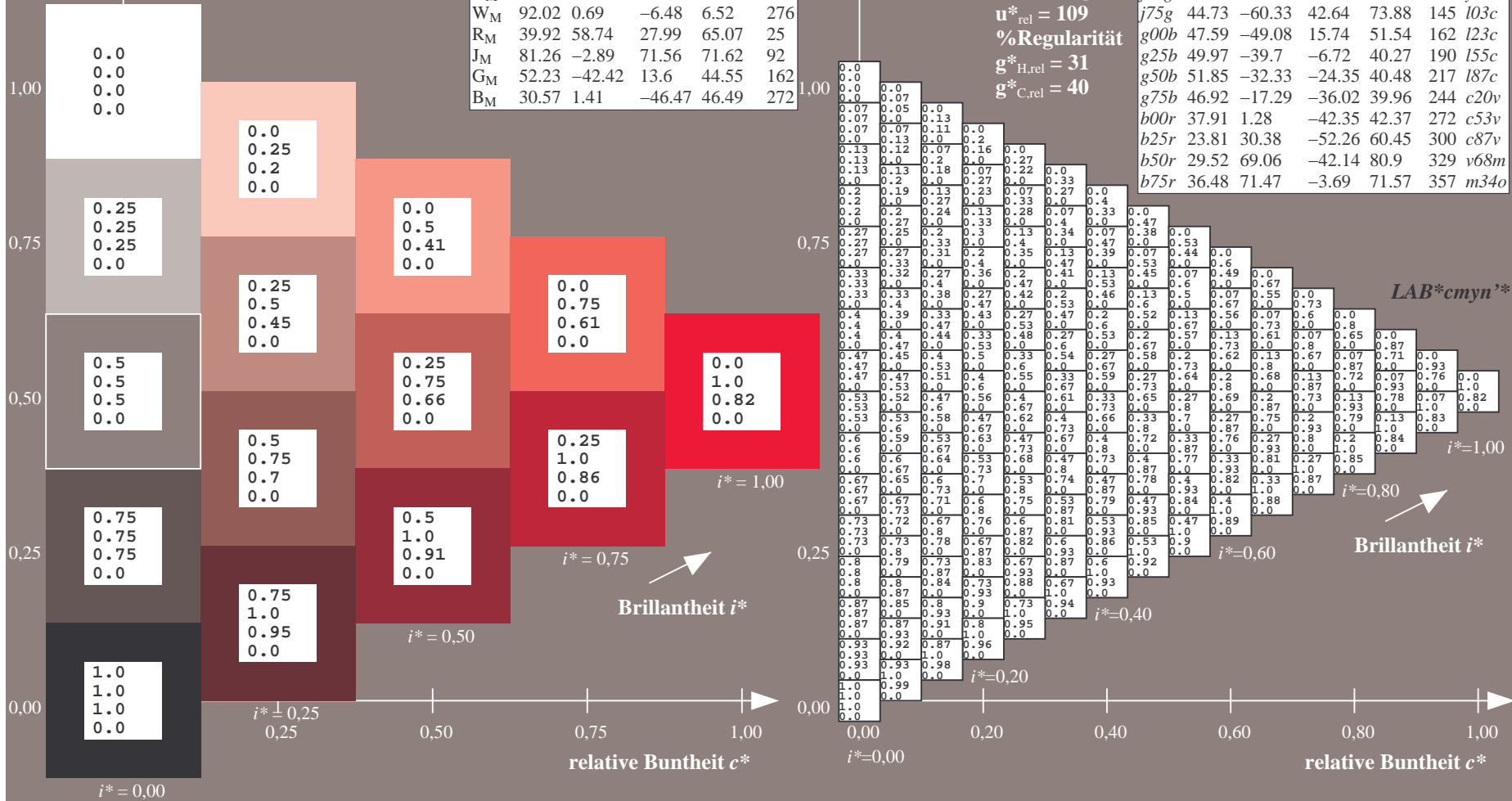
%Regularität

$g^*_{H,rel} = 31$

$g^*_{C,rel} = 40$

FRS09_92aM; adaptierte CIELAB-Daten							
	u^*_e	$L^*=L^*_a$	a^*_a	b^*_a	$C^*_{ab,a}$	$h^*_{ab,a}$	u^*_d
r00j	35.47	63.32	30.17	70.15	25	m81o	
r25j	39.12	54.56	49.45	73.64	42	o10y	
r50j	50.64	39.15	64.89	75.79	59	o40y	
r75j	64.01	21.26	82.83	85.52	76	o69y	
j00g	83.18	-4.38	108.53	108.62	92	o98y	
j25g	66.73	-29.89	83.06	88.28	110	y34l	
j50g	54.03	-48.31	63.49	79.78	127	y69l	
j75g	44.73	-60.33	42.64	73.88	145	l03c	
g00b	47.59	-49.08	15.74	51.54	162	l23c	
g25b	49.97	-39.7	-6.72	40.27	190	l55c	
g50b	51.85	-32.33	-24.35	40.48	217	l87c	
g75b	46.92	-17.29	-36.02	39.96	244	c20v	
b00r	37.91	1.28	-42.35	42.37	272	c53v	
b25r	23.81	30.38	-52.26	60.45	300	c87v	
b50r	29.52	69.06	-42.14	80.9	329	v68m	
b75r	36.48	71.47	-3.69	71.57	357	m34o	

$LAB^*cmy^n'^*$



Ein und Ausgabe: Farbmatisches Drucker-Reflektiv-System FRS09_92aM für relativen CIELAB-Bunton $h^* = lab^*h^* = h_{ab}/360 = 0.117$

$u^*_e = r25j$
 LAB^*cmy^n '*

Daten für jede Farbe:

lab^*tch^* und lab^*icu^*

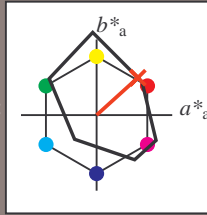
Buntontexte:

$u^*_e = r25j$ $u^*_d = o10y$

Kontrastreduzierungsfaktor:

$c_R = 1.0$

Dreiecks-Helligkeit t^*



FRS09_92aM; CIELAB-Daten						
	u^*_e	$L^*=L^*$	a^*	b^*	C^*_{ab}	h^*_{ab}
O _M	35.06	60.53	39.66	72.37	33	
Y _M	83.77	-4.5	103.15	103.25	92	
L _M	44.13	-62.11	43.56	75.86	145	
C _M	52.66	-28.56	-36.99	46.73	232	
V _M	14.15	50.78	-62.6	80.61	309	
M _M	37.37	79.18	-37.93	87.8	334	
N _M	8.58	0.46	-3.35	3.38	278	
W _M	92.02	0.69	-6.48	6.52	276	
R _M	39.92	58.74	27.99	65.07	25	
J _M	81.26	-2.89	71.56	71.62	92	
G _M	52.23	-42.42	13.6	44.55	162	
B _M	30.57	1.41	-46.47	46.49	272	

Daten für Maximalfarbe (Ma):

$LAB^*LAB^*_{Ma}$: 39 55 49

$LAB^*LCH^*_{Ma}$: 39 74 42

$lab^*rgb^*_{Ma}$: 1.0 0.25 0.0

$lab^*olv^*_{Ma}$: 1.0 0.11 0.0

Dreiecks-Helligkeit t^*

%Umfang

$u^*_{rel} = 109$

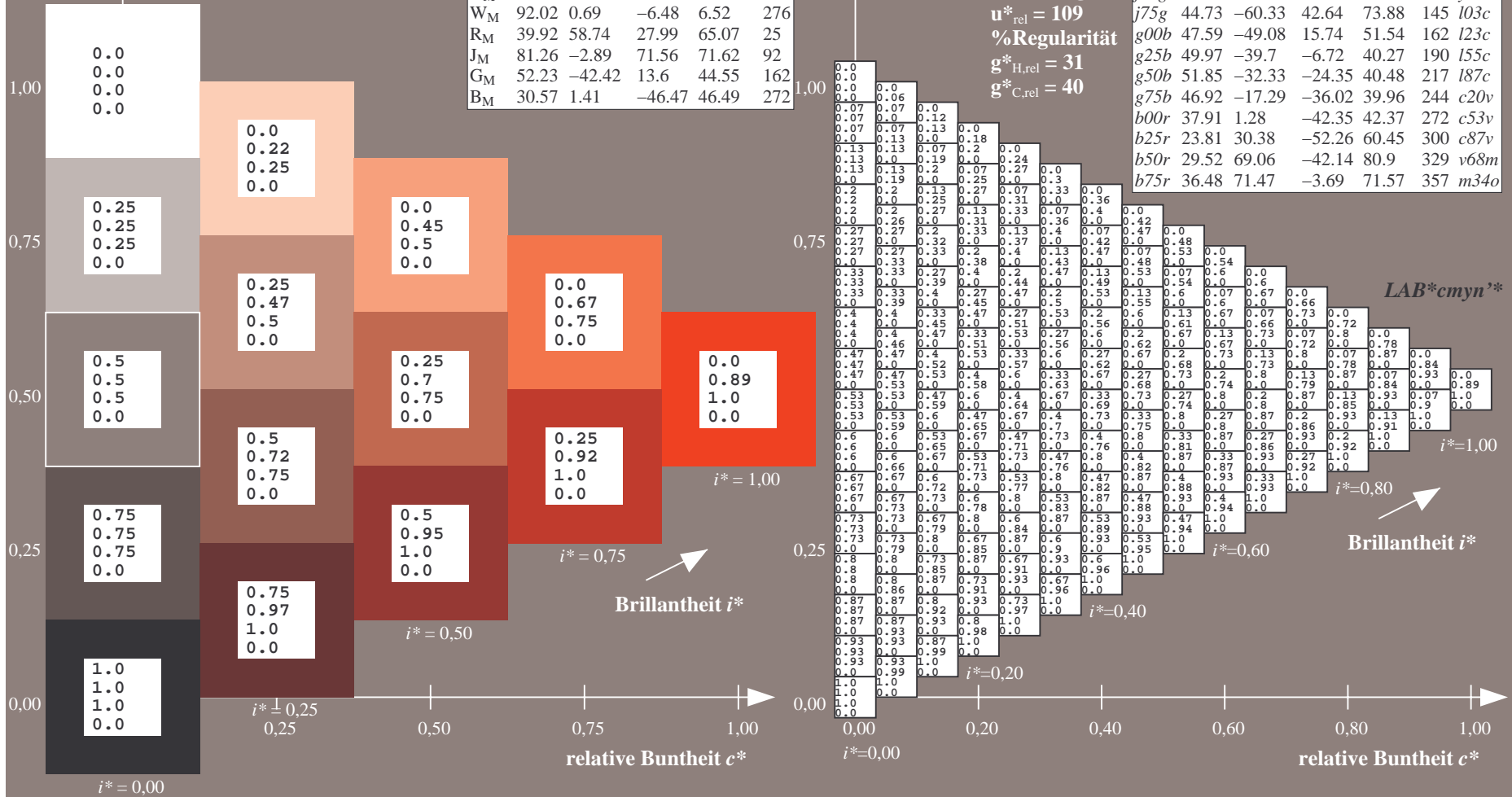
%Regularität

$g^*_{H,rel} = 31$

$g^*_{C,rel} = 40$

FRS09_92aM; adaptierte CIELAB-Daten							
	u^*_e	$L^*=L^*_a$	a^*_a	b^*_a	$C^*_{ab,a}$	$h^*_{ab,a}$	u^*_d
r00j	35.47	63.32	30.17	70.15	25	m81o	
r25j	39.12	54.56	49.45	73.64	42	o10y	
r50j	50.64	39.15	64.89	75.79	59	o40y	
r75j	64.01	21.26	82.83	85.52	76	o69y	
j00g	83.18	-4.38	108.53	108.62	92	o98y	
j25g	66.73	-29.89	83.06	88.28	110	y34l	
j50g	54.03	-48.31	63.49	79.78	127	y69l	
j75g	44.73	-60.33	42.64	73.88	145	l03c	
g00b	47.59	-49.08	15.74	51.54	162	i23c	
g25b	49.97	-39.7	-6.72	40.27	190	i55c	
g50b	51.85	-32.33	-24.35	40.48	217	i87c	
g75b	46.92	-17.29	-36.02	39.96	244	c20v	
b00r	37.91	1.28	-42.35	42.37	272	c53v	
b25r	23.81	30.38	-52.26	60.45	300	c87v	
b50r	29.52	69.06	-42.14	80.9	329	v68m	
b75r	36.48	71.47	-3.69	71.57	357	m34o	

LAB^*cmy^n '*



Ein und Ausgabe: Farbmatisches Drucker-Reflektiv-System FRS09_92aM für relativen CIELAB-Bunton $h^* = lab^*h^* = h_{ab}/360 = 0.164$

$u^*_e = r50j$
 $LAB^*cmy^n'^*$

Daten für jede Farbe:

lab^*tch^* und lab^*icu^*

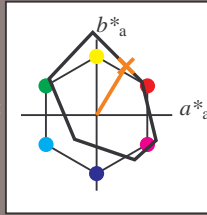
Buntontexte:

$u^*_e = r50j$ $u^*_d = o40y$

Kontrastreduzierungsfaktor:

$c_R = 1.0$

Dreiecks-Helligkeit t^*



FRS09_92aM; CIELAB-Daten

	u^*_e	$L^*=L^*$	a^*	b^*	C^*_{ab}	h^*_{ab}
O _M	35.06	60.53	39.66	72.37	33	
Y _M	83.77	-4.5	103.15	103.25	92	
L _M	44.13	-62.11	43.56	75.86	145	
C _M	52.66	-28.56	-36.99	46.73	232	
V _M	14.15	50.78	-62.6	80.61	309	
M _M	37.37	79.18	-37.93	87.8	334	
N _M	8.58	0.46	-3.35	3.38	278	
W _M	92.02	0.69	-6.48	6.52	276	
R _M	39.92	58.74	27.99	65.07	25	
J _M	81.26	-2.89	71.56	71.62	92	
G _M	52.23	-42.42	13.6	44.55	162	
B _M	30.57	1.41	-46.47	46.49	272	

Daten für Maximalfarbe (Ma):

$LAB^*LAB^*_{Ma}: 51\ 39\ 65$

$LAB^*LCH^*_{Ma}: 51\ 76\ 58$

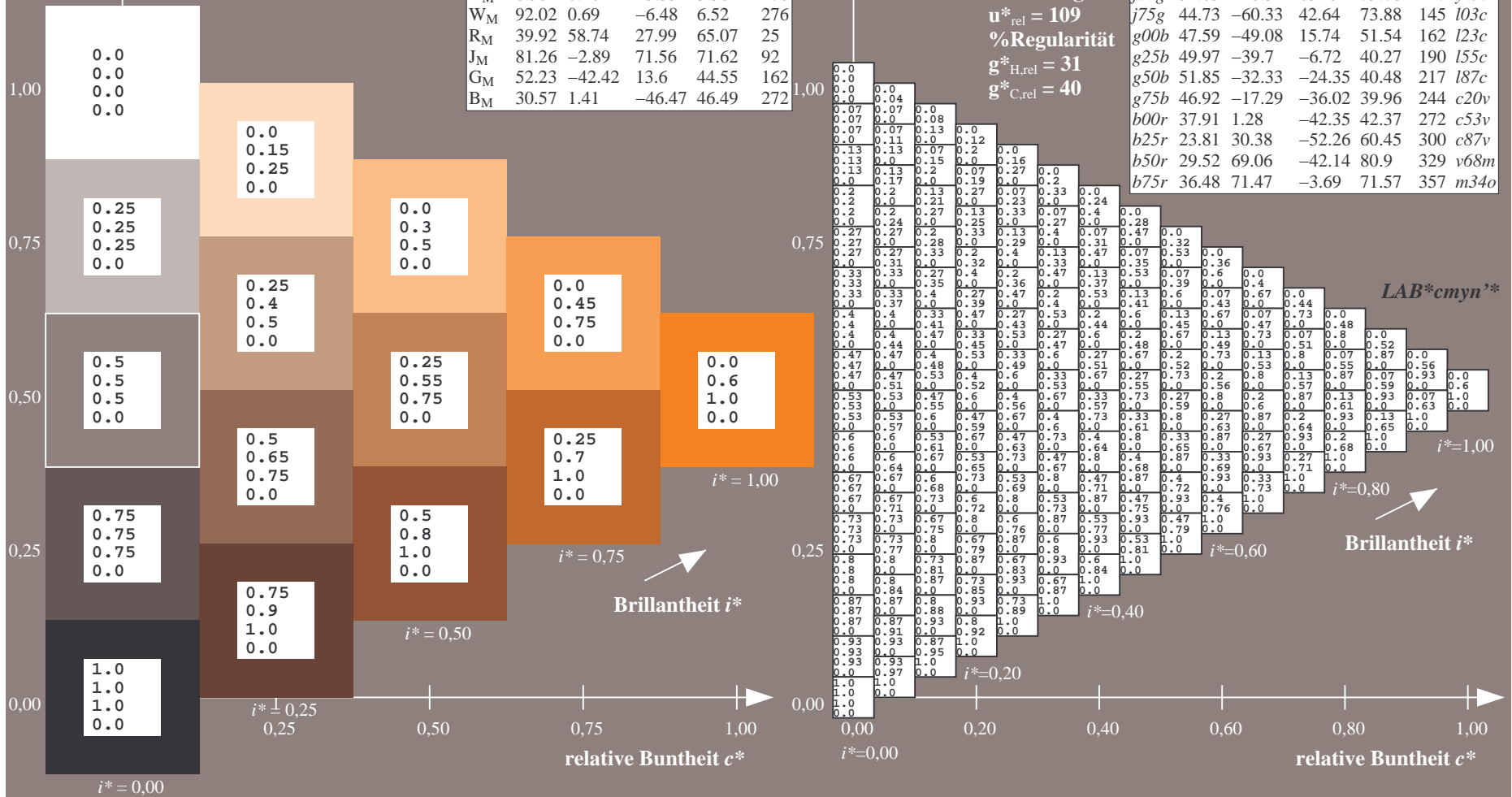
$lab^*rgb^*_{Ma}: 1.0\ 0.5\ 0.0$

$lab^*olv^*_{Ma}: 1.0\ 0.4\ 0.0$

Dreiecks-Helligkeit t^*

FRS09_92aM; adaptierte CIELAB-Daten

	u^*_e	$L^*=L^*_a$	a^*_a	b^*_a	$C^*_{ab,a}$	$h^*_{ab,a}$	u^*_d
r00j	35.47	63.32	30.17	70.15	25	m81o	
r25j	39.12	54.56	49.45	73.64	42	o10y	
r50j	50.64	39.15	64.89	75.79	59	o40y	
r75j	64.01	21.26	82.83	85.52	76	o69y	
j00g	83.18	-4.38	108.53	108.62	92	o98y	
j25g	66.73	-29.89	83.06	88.28	110	y34l	
j50g	54.03	-48.31	63.49	79.78	127	y69l	
j75g	44.73	-60.33	42.64	73.88	145	l03c	
g00b	47.59	-49.08	15.74	51.54	162	i23c	
g25b	49.97	-39.7	-6.72	40.27	190	i55c	
g50b	51.85	-32.33	-24.35	40.48	217	i87c	
g75b	46.92	-17.29	-36.02	39.96	244	c20v	
b00r	37.91	1.28	-42.35	42.37	272	c53v	
b25r	23.81	30.38	-52.26	60.45	300	c87v	
b50r	29.52	69.06	-42.14	80.9	329	v68m	
b75r	36.48	71.47	-3.69	71.57	357	m34o	



Ein und Ausgabe: Farbmatisches Drucker-Reflektiv-System FRS09_92aM für relativen CIELAB-Bunton $h^* = lab^*h^* = h_{ab}/360 = 0.21$

$u^*_e = r75j$
 LAB^*cmy^n '*

Daten für jede Farbe:

lab^*ch^* und lab^*icu^*

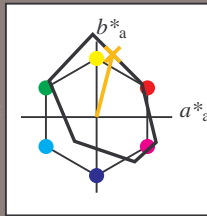
Buntontexte:

$u^*_e = r75j$ $u^*_d = o69y$

Kontrastreduzierungsfaktor:

$c_R = 1.0$

Dreiecks-Helligkeit t^*



FRS09_92aM; CIELAB-Daten						
	u^*_e	$L^*=L^*$	a^*	b^*	C^*_{ab}	h^*_{ab}
O _M	35.06	60.53	39.66	72.37	33	
Y _M	83.77	-4.5	103.15	103.25	92	
L _M	44.13	-62.11	43.56	75.86	145	
C _M	52.66	-28.56	-36.99	46.73	232	
V _M	14.15	50.78	-62.6	80.61	309	
M _M	37.37	79.18	-37.93	87.8	334	
N _M	8.58	0.46	-3.35	3.38	278	
W _M	92.02	0.69	-6.48	6.52	276	
R _M	39.92	58.74	27.99	65.07	25	
J _M	81.26	-2.89	71.56	71.62	92	
G _M	52.23	-42.42	13.6	44.55	162	
B _M	30.57	1.41	-46.47	46.49	272	

Daten für Maximalfarbe (Ma):

$LAB^*LAB^*_{Ma}$: 64 21 83

$LAB^*LCH^*_{Ma}$: 64 86 75

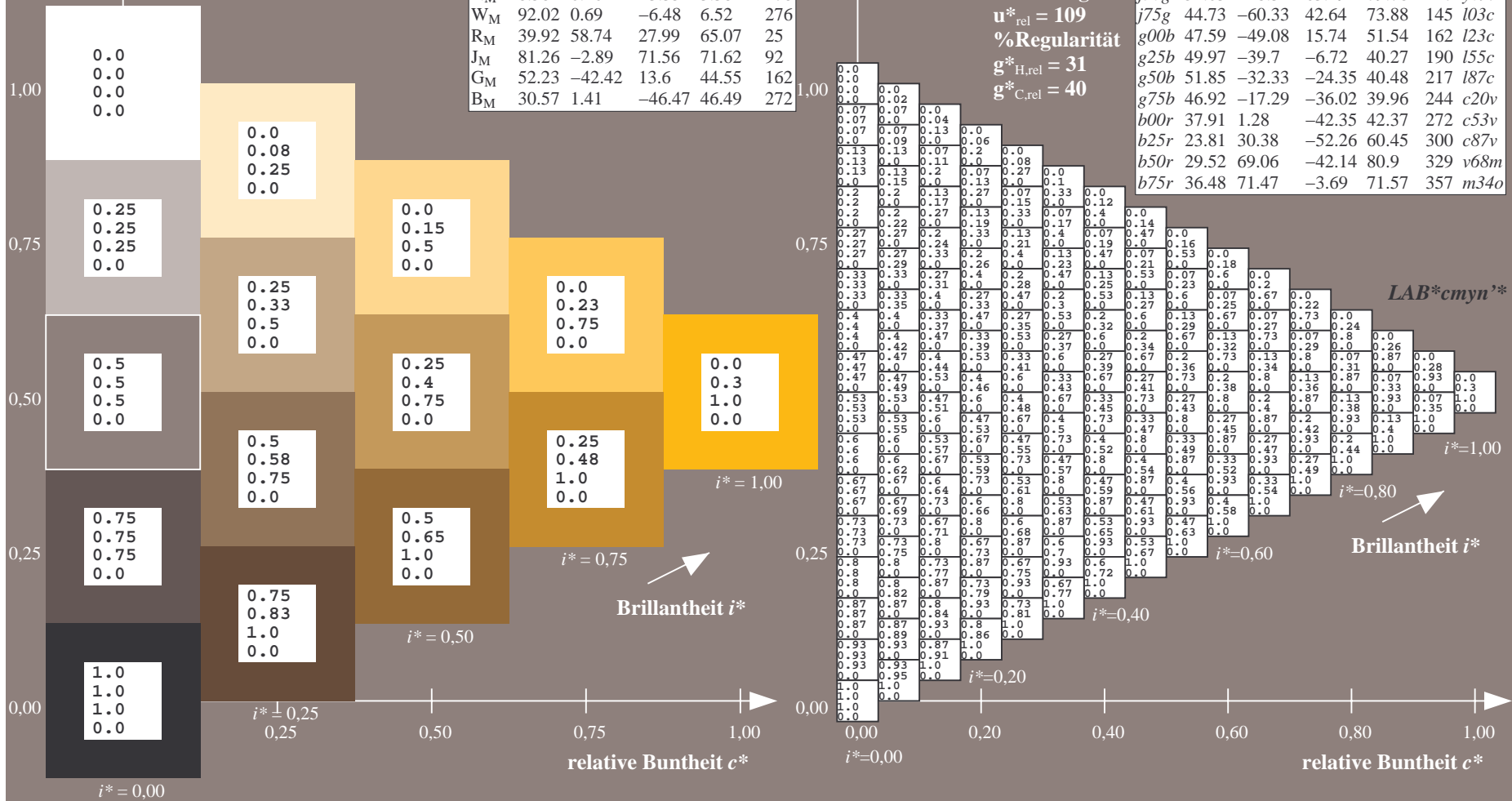
$lab^*rgb^*_{Ma}$: 1.0 0.75 0.0

$lab^*olv^*_{Ma}$: 1.0 0.7 0.0

Dreiecks-Helligkeit t^*

FRS09_92aM; adaptierte CIELAB-Daten

	u^*_e	$L^*=L^*_a$	a^*_a	b^*_a	$C^*_{ab,a}$	$h^*_{ab,a}$	u^*_d
r00j	35.47	63.32	30.17	70.15	25	m81o	
r25j	39.12	54.56	49.45	73.64	42	o10y	
r50j	50.64	39.15	64.89	75.79	59	o40y	
r75j	64.01	21.26	82.83	85.52	76	o69y	
j00g	83.18	-4.38	108.53	108.62	92	o98y	
j25g	66.73	-29.89	83.06	88.28	110	y34l	
j50g	54.03	-48.31	63.49	79.78	127	y69l	
j75g	44.73	-60.33	42.64	73.88	145	l03c	
g00b	47.59	-49.08	15.74	51.54	162	l23c	
g25b	49.97	-39.7	-6.72	40.27	190	l55c	
g50b	51.85	-32.33	-24.35	40.48	217	l87c	
g75b	46.92	-17.29	-36.02	39.96	244	c20v	
b00r	37.91	1.28	-42.35	42.37	272	c53v	
b25r	23.81	30.38	-52.26	60.45	300	c87v	
b50r	29.52	69.06	-42.14	80.9	329	v68m	
b75r	36.48	71.47	-3.69	71.57	357	m34o	



Ein und Ausgabe: Farbmatisches Drucker-Reflektiv-System FRS09_92aM für relativen CIELAB-Bunton $h^* = lab^*h^* = h_{ab}/360 = 0.256$

$u^*_e = j00g$
LAB**cmy*n**

Daten für jede Farbe:

lab^*tch^* und lab^*icu^*

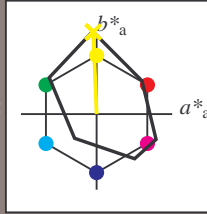
Buntontexte:

$u^*_e = j00g$ $u^*_d = o98y$

Kontrastreduzierungsfaktor:

$c_R = 1.0$

Dreiecks-Helligkeit t^*



FRS09_92aM; CIELAB-Daten						
	u^*_e	$L^*=L^*$	a^*	b^*	C^*_{ab}	h^*_{ab}
O _M	35.06	60.53	39.66	72.37	33	
Y _M	83.77	-4.5	103.15	103.25	92	
L _M	44.13	-62.11	43.56	75.86	145	
C _M	52.66	-28.56	-36.99	46.73	232	
V _M	14.15	50.78	-62.6	80.61	309	
M _M	37.37	79.18	-37.93	87.8	334	
N _M	8.58	0.46	-3.35	3.38	278	
W _M	92.02	0.69	-6.48	6.52	276	
R _M	39.92	58.74	27.99	65.07	25	
J _M	81.26	-2.89	71.56	71.62	92	
G _M	52.23	-42.42	13.6	44.55	162	
B _M	30.57	1.41	-46.47	46.49	272	

Daten für Maximalfarbe (Ma):

LAB*LAB*_{Ma}: 83 -4 109

LAB*LCH*_{Ma}: 83 109 92

lab*rgb*_{Ma}: 1.0 1.0 0.0

lab*olv*_{Ma}: 1.0 0.99 0.0

Dreiecks-Helligkeit t^*

%Umfang

$u^*_{rel} = 109$

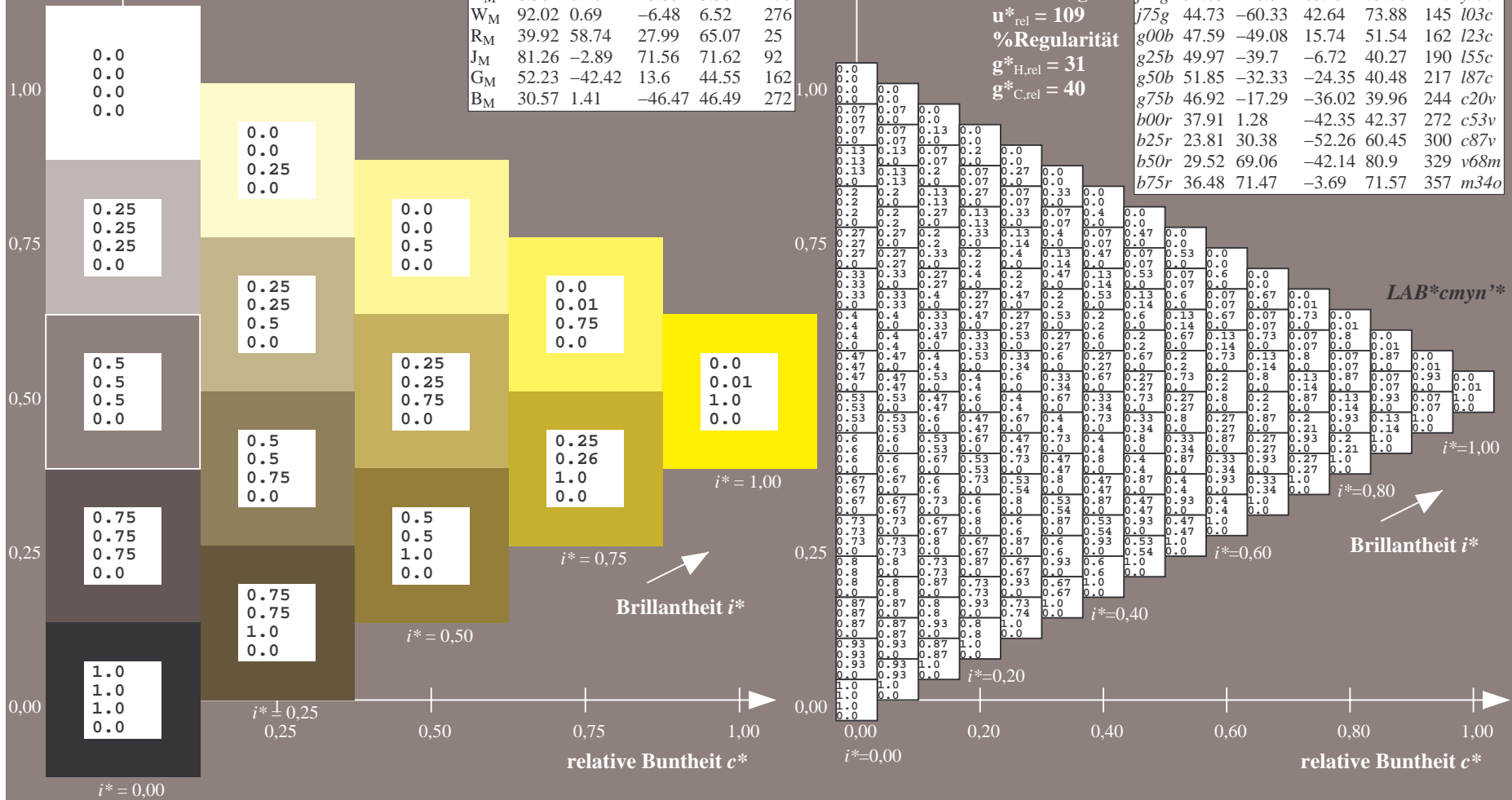
%Regularität

$g^*_{H,rel} = 31$

$g^*_{C,rel} = 40$

FRS09_92aM; adaptierte CIELAB-Daten							
	u^*_e	$L^*=L^*_a$	a^*_a	b^*_a	$C^*_{ab,a}$	$h^*_{ab,a}$	u^*_d
r00j	35.47	63.32	30.17	70.15	25	m81o	
r25j	39.12	54.56	49.45	73.64	42	o10y	
r50j	50.64	39.15	64.89	75.79	59	o40y	
r75j	64.01	21.26	82.83	85.52	76	o69y	
j00g	83.18	-4.38	108.53	108.62	92	o98y	
j25g	66.73	-29.89	83.06	88.28	110	y34l	
j50g	54.03	-48.31	63.49	79.78	127	y69l	
j75g	44.73	-60.33	42.64	73.88	145	i03c	
g00b	47.59	-49.08	15.74	51.54	162	i23c	
g25b	49.97	-39.7	-6.72	40.27	190	i55c	
g50b	51.85	-32.33	-24.35	40.48	217	i87c	
g75b	46.92	-17.29	-36.02	39.96	244	c20v	
b00r	37.91	1.28	-42.35	42.37	272	c53v	
b25r	23.81	30.38	-52.26	60.45	300	c87v	
b50r	29.52	69.06	-42.14	80.9	329	v68m	
b75r	36.48	71.47	-3.69	71.57	357	m34o	

LAB**cmy*n**



Ein und Ausgabe: Farbmatisches Drucker-Reflektiv-System FRS09_92aM für relativen CIELAB-Bunton $h^* = lab^*h^* = h_{ab}/360 = 0.305$

$u^*_e = j25g$
 LAB^*cmy^n '*

Daten für jede Farbe:

lab^*tch^* und lab^*icu^*

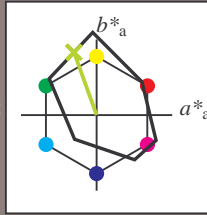
Buntontexte:

$u^*_e = j25g$ $u^*_d = y34l$

Kontrastreduzierungsfaktor:

$c_R = 1.0$

Dreiecks-Helligkeit t^*



FRS09_92aM; CIELAB-Daten						
u^*_e	$L^*=L^*$	a^*	b^*	C^*_{ab}	h^*_{ab}	
O _M	35.06	60.53	39.66	72.37	33	
Y _M	83.77	-4.5	103.15	103.25	92	
L _M	44.13	-62.11	43.56	75.86	145	
C _M	52.66	-28.56	-36.99	46.73	232	
V _M	14.15	50.78	-62.6	80.61	309	
M _M	37.37	79.18	-37.93	87.8	334	
N _M	8.58	0.46	-3.35	3.38	278	
W _M	92.02	0.69	-6.48	6.52	276	
R _M	39.92	58.74	27.99	65.07	25	
J _M	81.26	-2.89	71.56	71.62	92	
G _M	52.23	-42.42	13.6	44.55	162	
B _M	30.57	1.41	-46.47	46.49	272	

Daten für Maximalfarbe (Ma):

$LAB^*LAB^*_{Ma}: 67 -30 83$

$LAB^*LCH^*_{Ma}: 67 88 109$

$lab^*rgb^*_{Ma}: 0.75 1.0 0.0$

$lab^*olv^*_{Ma}: 0.66 1.0 0.0$

Dreiecks-Helligkeit t^*

%Umfang

$u^*_{rel} = 109$

%Regularität

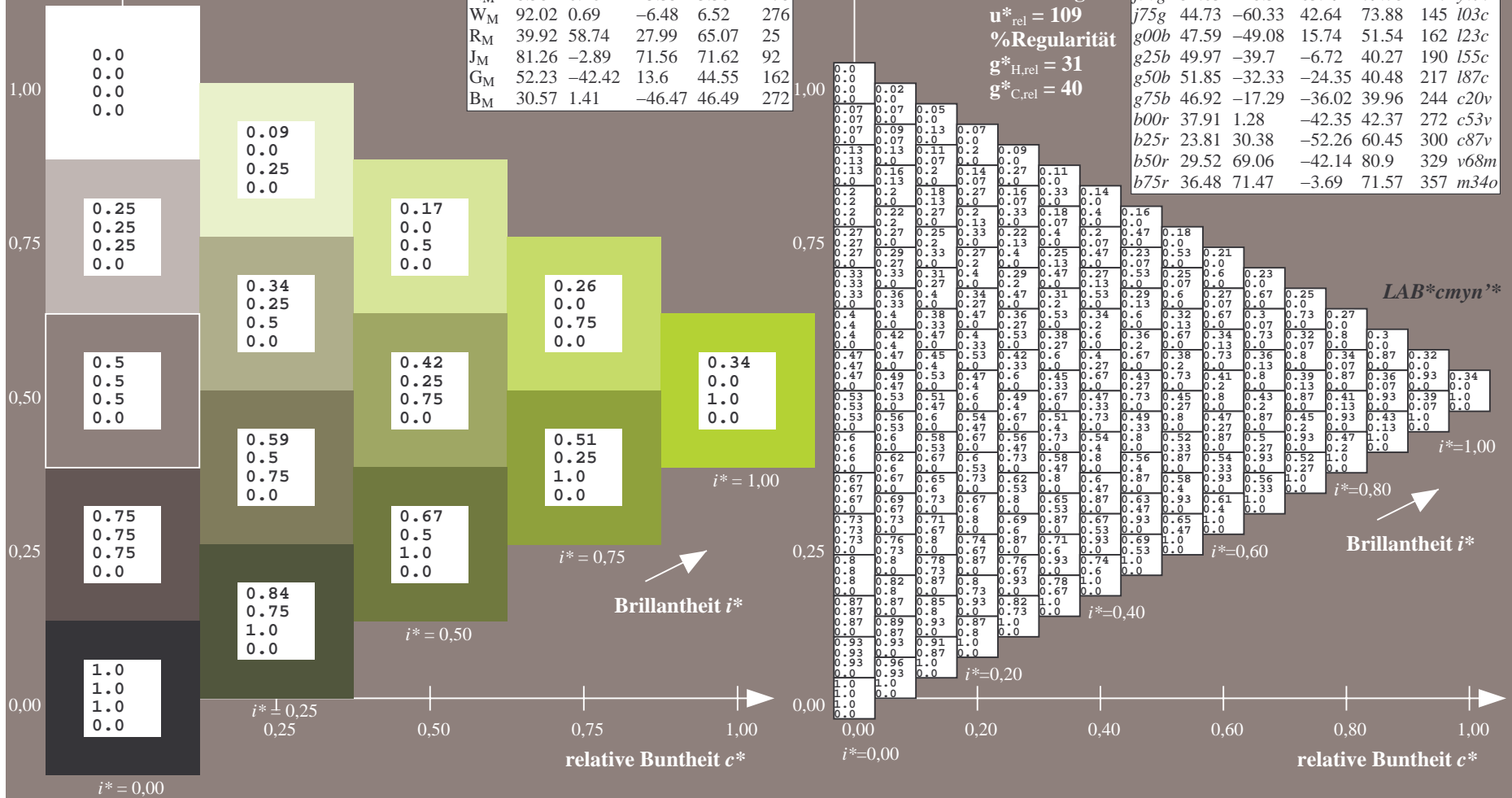
$g^*_{H,rel} = 31$

$g^*_{C,rel} = 40$

FRS09_92aM; adaptierte CIELAB-Daten

u^*_e	$L^*=L^*_a$	a^*_a	b^*_a	$C^*_{ab,a}$	$h^*_{ab,a}$	u^*_d
r00j	35.47	63.32	30.17	70.15	25	m81o
r25j	39.12	54.56	49.45	73.64	42	o10y
r50j	50.64	39.15	64.89	75.79	59	o40y
r75j	64.01	21.26	82.83	85.52	76	o69y
j00g	83.18	-4.38	108.53	108.62	92	o98y
j25g	66.73	-29.89	83.06	88.28	110	y34l
j50g	54.03	-48.31	63.49	79.78	127	y69l
j75g	44.73	-60.33	42.64	73.88	145	i03c
g00b	47.59	-49.08	15.74	51.54	162	i23c
g25b	49.97	-39.7	-6.72	40.27	190	i55c
g50b	51.85	-32.33	-24.35	40.48	217	i87c
g75b	46.92	-17.29	-36.02	39.96	244	c20v
b00r	37.91	1.28	-42.35	42.37	272	c53v
b25r	23.81	30.38	-52.26	60.45	300	c87v
b50r	29.52	69.06	-42.14	80.9	329	v68m
b75r	36.48	71.47	-3.69	71.57	357	m34o

LAB^*cmy^n '*



Ein und Ausgabe: Farbmatisches Drucker-Reflektiv-System FRS09_92aM für relativen CIELAB-Bunton $h^* = lab^*h^* = h_{ab}/360 = 0.354$

$u^*_e = j50g$
LAB**cmy*n**

Daten für jede Farbe:

lab^*tch^* und lab^*icu^*

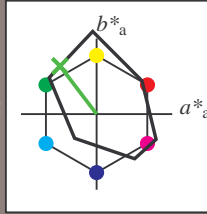
Buntontexte:

$u^*_e = j50g$ $u^*_d = y69l$

Kontrastreduzierungsfaktor:

$c_R = 1.0$

Dreiecks-Helligkeit t^*



FRS09_92aM; CIELAB-Daten						
u^*_e	$L^*=L^*$	a^*	b^*	C^*_{ab}	h^*_{ab}	
O _M	35.06	60.53	39.66	72.37	33	
Y _M	83.77	-4.5	103.15	103.25	92	
L _M	44.13	-62.11	43.56	75.86	145	
C _M	52.66	-28.56	-36.99	46.73	232	
V _M	14.15	50.78	-62.6	80.61	309	
M _M	37.37	79.18	-37.93	87.8	334	
N _M	8.58	0.46	-3.35	3.38	278	
W _M	92.02	0.69	-6.48	6.52	276	
R _M	39.92	58.74	27.99	65.07	25	
J _M	81.26	-2.89	71.56	71.62	92	
G _M	52.23	-42.42	13.6	44.55	162	
B _M	30.57	1.41	-46.47	46.49	272	

Daten für Maximalfarbe (Ma):

LAB*LAB*_{Ma}: 54 -48 63

LAB*LCH*_{Ma}: 54 80 127

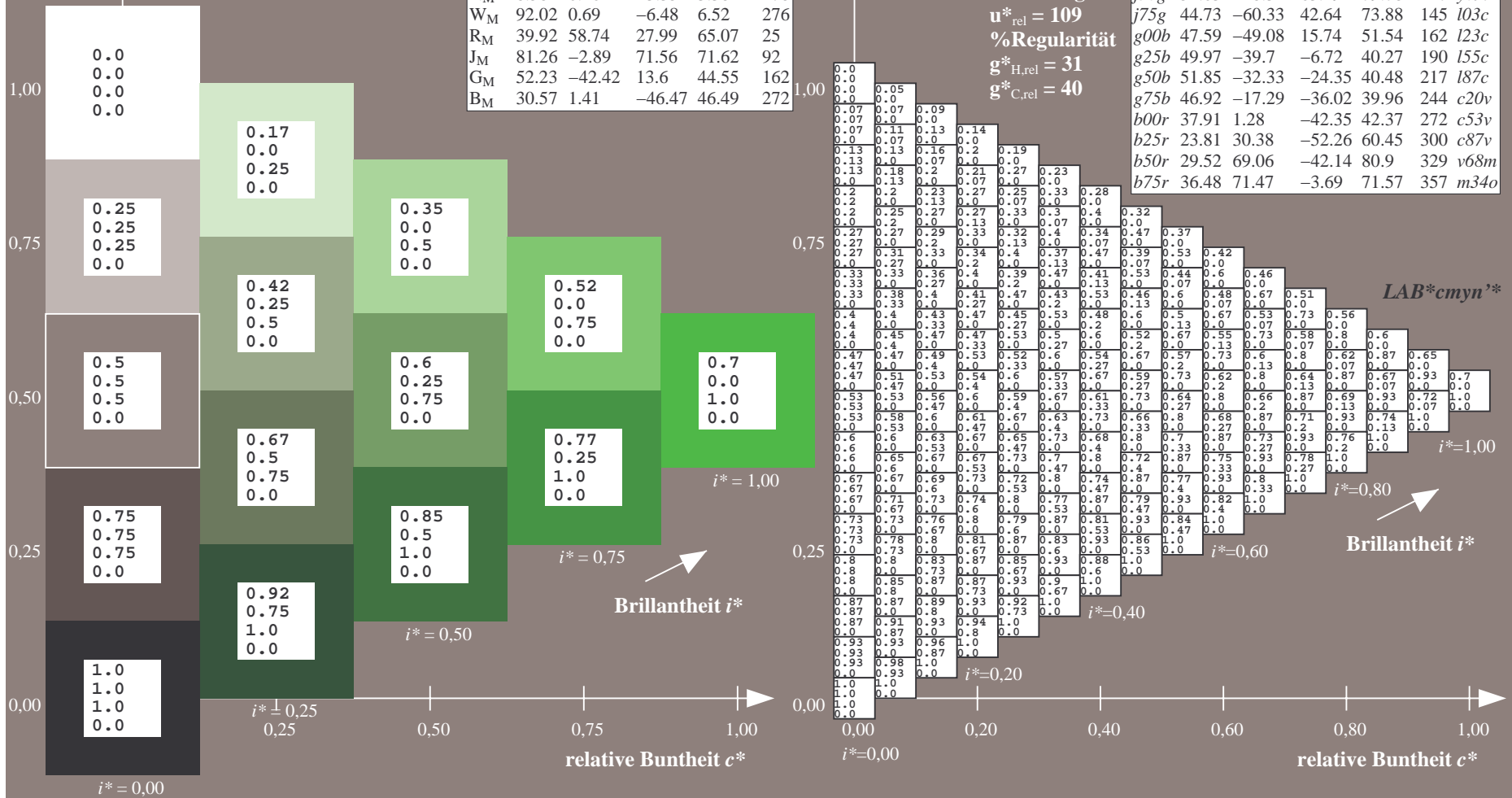
lab*rgb*_{Ma}: 0.5 1.0 0.0

lab*olv*_{Ma}: 0.3 1.0 0.0

Dreiecks-Helligkeit t^*

FRS09_92aM; adaptierte CIELAB-Daten

u^*_e	$L^*=L^*_a$	a^*_a	b^*_a	$C^*_{ab,a}$	$h^*_{ab,a}$	u^*_d
r00j	35.47	63.32	30.17	70.15	25	m81o
r25j	39.12	54.56	49.45	73.64	42	o10y
r50j	50.64	39.15	64.89	75.79	59	o40y
r75j	64.01	21.26	82.83	85.52	76	o69y
j00g	83.18	-4.38	108.53	108.62	92	o98y
j25g	66.73	-29.89	83.06	88.28	110	y34l
j50g	54.03	-48.31	63.49	79.78	127	y69l
j75g	44.73	-60.33	42.64	73.88	145	i03c
g00b	47.59	-49.08	15.74	51.54	162	l23c
g25b	49.97	-39.7	-6.72	40.27	190	i55c
g50b	51.85	-32.33	-24.35	40.48	217	i87c
g75b	46.92	-17.29	-36.02	39.96	244	c20v
b00r	37.91	1.28	-42.35	42.37	272	c53v
b25r	23.81	30.38	-52.26	60.45	300	c87v
b50r	29.52	69.06	-42.14	80.9	329	v68m
b75r	36.48	71.47	-3.69	71.57	357	m34o



Ein und Ausgabe: Farbmatisches Drucker-Reflektiv-System FRS09_92aM für relativen CIELAB-Bunton $h^* = lab^*h^* = h_{ab}/360 = 0.402$

$u^*_e = j75g$
LAB*cmyn**

Daten für jede Farbe:

lab^*ch^* und lab^*icu^*

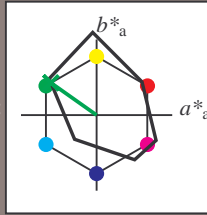
Buntontexte:

$u^*_e = j75g$ $u^*_d = l03c$

Kontrastreduzierungsfaktor:

$c_R = 1.0$

Dreiecks-Helligkeit t^*



FRS09_92aM; CIELAB-Daten						
	u^*_e	$L^*=L^*$	a^*	b^*	C^*_{ab}	h^*_{ab}
O _M	35.06	60.53	39.66	72.37	33	
Y _M	83.77	-4.5	103.15	103.25	92	
L _M	44.13	-62.11	43.56	75.86	145	
C _M	52.66	-28.56	-36.99	46.73	232	
V _M	14.15	50.78	-62.6	80.61	309	
M _M	37.37	79.18	-37.93	87.8	334	
N _M	8.58	0.46	-3.35	3.38	278	
W _M	92.02	0.69	-6.48	6.52	276	
R _M	39.92	58.74	27.99	65.07	25	
J _M	81.26	-2.89	71.56	71.62	92	
G _M	52.23	-42.42	13.6	44.55	162	
B _M	30.57	1.41	-46.47	46.49	272	

Daten für Maximalfarbe (Ma):

LAB*LAB*_{Ma}: 45 -60 43

LAB*LCH*_{Ma}: 45 74 144

lab*rgb*_{Ma}: 0.25 1.0 0.0

lab*olv*_{Ma}: 0.0 1.0 0.03

Dreiecks-Helligkeit t^*

%Umfang

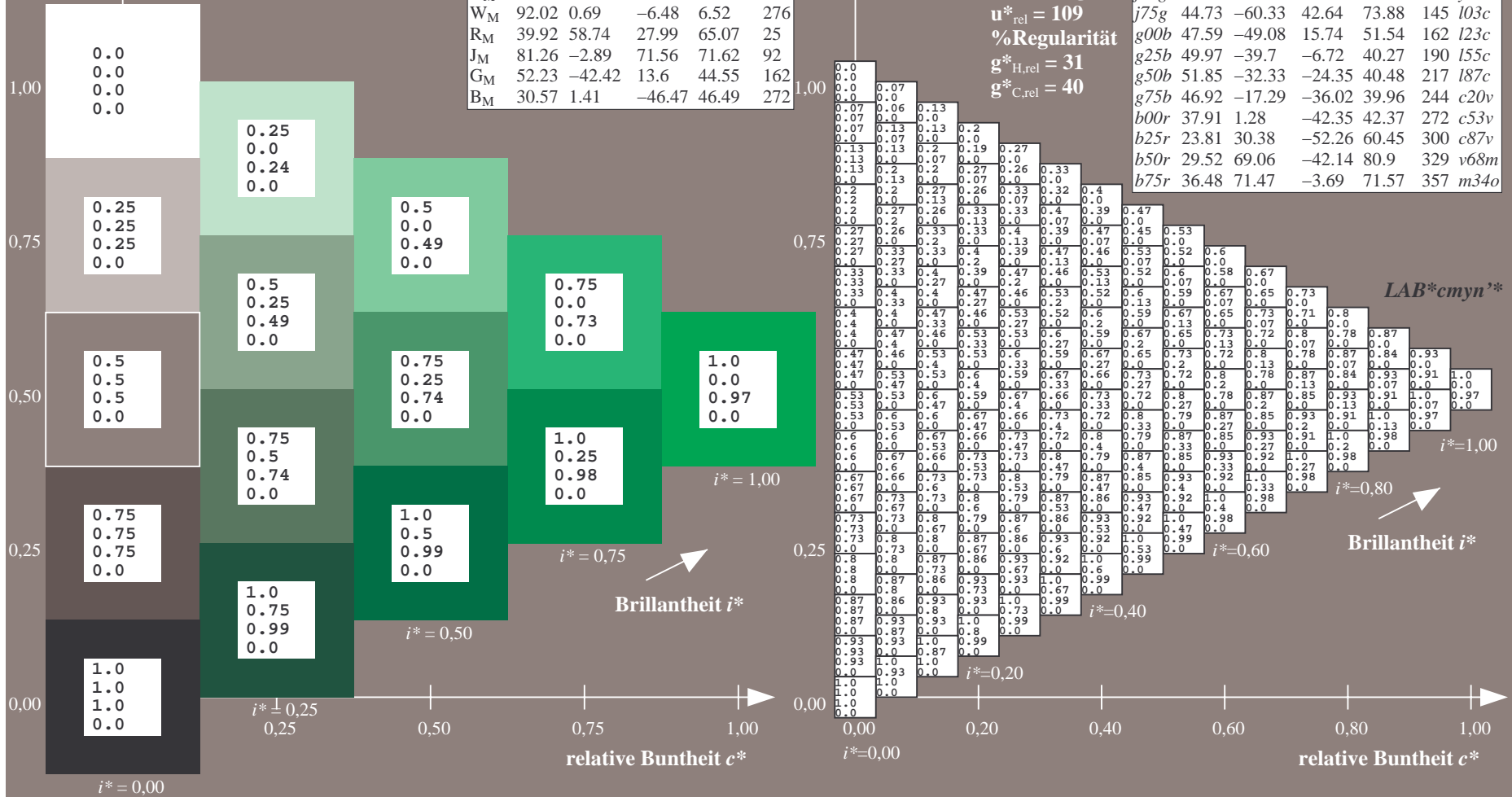
$u^*_{rel} = 109$

%Regularität

$g^*_{H,rel} = 31$

$g^*_{C,rel} = 40$

FRS09_92aM; adaptierte CIELAB-Daten							
	u^*_e	$L^*=L^*_a$	a^*_a	b^*_a	$C^*_{ab,a}$	$h^*_{ab,a}$	u^*_d
r00j	35.47	63.32	30.17	70.15	25	m81o	
r25j	39.12	54.56	49.45	73.64	42	o10y	
r50j	50.64	39.15	64.89	75.79	59	o40y	
r75j	64.01	21.26	82.83	85.52	76	o69y	
j00g	83.18	-4.38	108.53	108.62	92	o98y	
j25g	66.73	-29.89	83.06	88.28	110	y34l	
j50g	54.03	-48.31	63.49	79.78	127	y69l	
j75g	44.73	-60.33	42.64	73.88	145	l03c	
g00b	47.59	-49.08	15.74	51.54	162	i23c	
g25b	49.97	-39.7	-6.72	40.27	190	i55c	
g50b	51.85	-32.33	-24.35	40.48	217	i87c	
g75b	46.92	-17.29	-36.02	39.96	244	c20v	
b00r	37.91	1.28	-42.35	42.37	272	c53v	
b25r	23.81	30.38	-52.26	60.45	300	c87v	
b50r	29.52	69.06	-42.14	80.9	329	v68m	
b75r	36.48	71.47	-3.69	71.57	357	m34o	



Ein und Ausgabe: Farbmatisches Drucker-Reflektiv-System FRS09_92aM für relativen CIELAB-Bunton $h^* = lab^*h^* = h_{ab}/360 = 0.451$

$u^*_e = g00b$
 LAB^*cmy^n '*

Daten für jede Farbe:

lab^*tch^* und lab^*icu^*

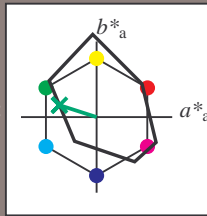
Buntontexte:

$u^*_e = g00b$ $u^*_d = l23c$

Kontrastreduzierungsfaktor:

$c_R = 1.0$

Dreiecks-Helligkeit t^*



FRS09_92aM; CIELAB-Daten						
	u^*_e	$L^*=L^*$	a^*	b^*	C^*_{ab}	h^*_{ab}
O _M	35.06	60.53	39.66	72.37	33	
Y _M	83.77	-4.5	103.15	103.25	92	
L _M	44.13	-62.11	43.56	75.86	145	
C _M	52.66	-28.56	-36.99	46.73	232	
V _M	14.15	50.78	-62.6	80.61	309	
M _M	37.37	79.18	-37.93	87.8	334	
N _M	8.58	0.46	-3.35	3.38	278	
W _M	92.02	0.69	-6.48	6.52	276	
R _M	39.92	58.74	27.99	65.07	25	
J _M	81.26	-2.89	71.56	71.62	92	
G _M	52.23	-42.42	13.6	44.55	162	
B _M	30.57	1.41	-46.47	46.49	272	

Daten für Maximalfarbe (Ma):

$LAB^*LAB^*_{Ma}: 48 -49 16$

$LAB^*LCH^*_{Ma}: 48 52 162$

$lab^*rgb^*_{Ma}: 0.0 1.0 0.0$

$lab^*olv^*_{Ma}: 0.0 1.0 0.23$

Dreiecks-Helligkeit t^*

%Umfang

$u^*_{rel} = 109$

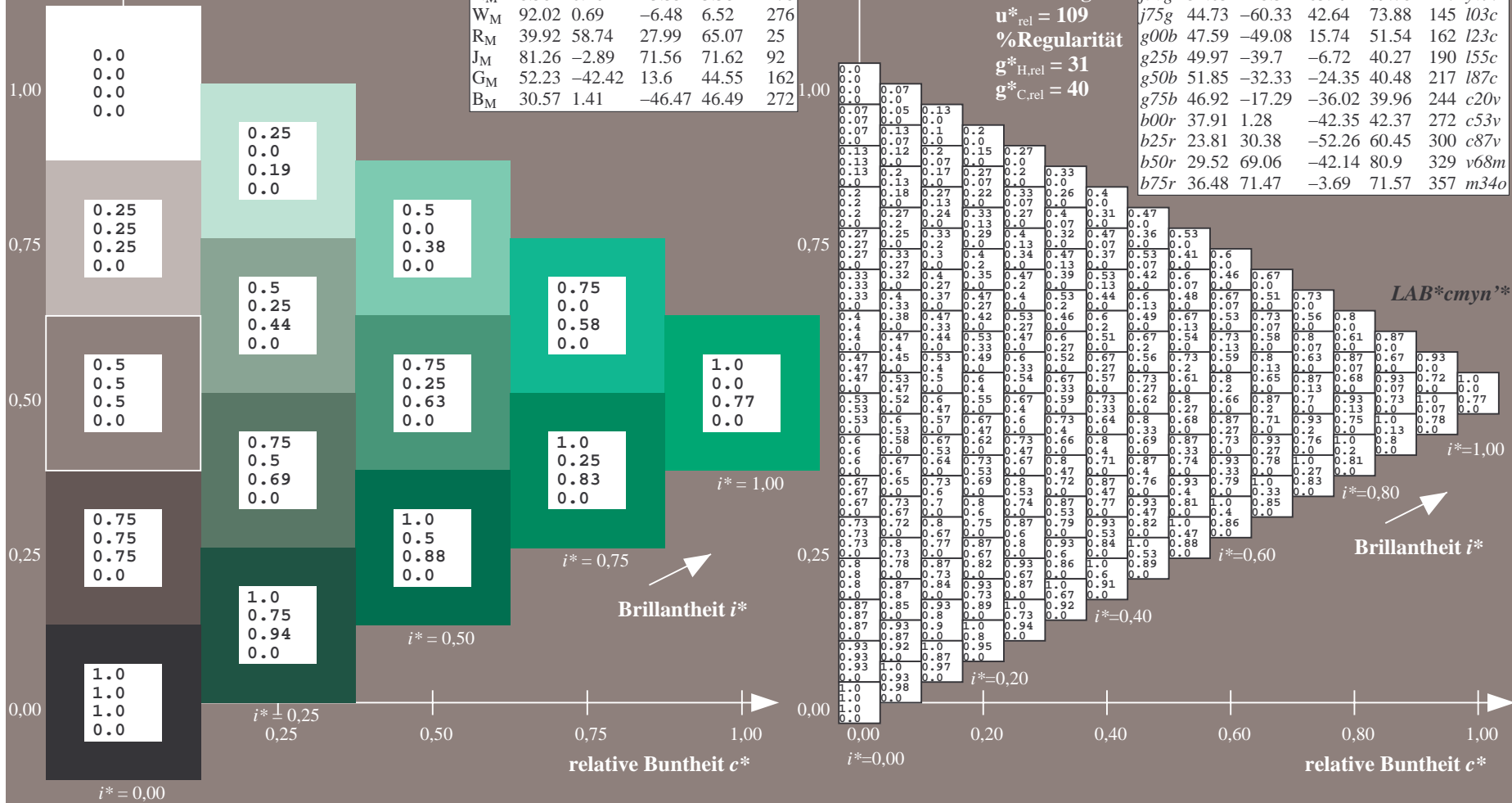
%Regularität

$g^*_{H,rel} = 31$

$g^*_{C,rel} = 40$

FRS09_92aM; adaptierte CIELAB-Daten							
	u^*_e	$L^*=L^*_a$	a^*_a	b^*_a	$C^*_{ab,a}$	$h^*_{ab,a}$	u^*_d
r00j	35.47	63.32	30.17	70.15	25	m81o	
r25j	39.12	54.56	49.45	73.64	42	o10y	
r50j	50.64	39.15	64.89	75.79	59	o40y	
r75j	64.01	21.26	82.83	85.52	76	o69y	
j00g	83.18	-4.38	108.53	108.62	92	o98y	
j25g	66.73	-29.89	83.06	88.28	110	y34l	
j50g	54.03	-48.31	63.49	79.78	127	y69l	
j75g	44.73	-60.33	42.64	73.88	145	l03c	
g00b	47.59	-49.08	15.74	51.54	162	l23c	
g25b	49.97	-39.7	-6.72	40.27	190	l55c	
g50b	51.85	-32.33	-24.35	40.48	217	l87c	
g75b	46.92	-17.29	-36.02	39.96	244	c20v	
b00r	37.91	1.28	-42.35	42.37	272	c53v	
b25r	23.81	30.38	-52.26	60.45	300	c87v	
b50r	29.52	69.06	-42.14	80.9	329	v68m	
b75r	36.48	71.47	-3.69	71.57	357	m34o	

LAB^*cmy^n '*



Ein und Ausgabe: Farbmatisches Drucker-Reflektiv-System FRS09_92aM für relativen CIELAB-Bunton $h^* = lab^*h^* = h_{ab}/360 = 0.527$

$u^*_e = g25b$
 $LAB^*cmy^n'^*$

Daten für jede Farbe:

lab^*tch^* und lab^*icu^*

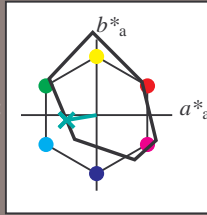
Buntontexte:

$u^*_e = g25b$ $u^*_d = l55c$

Kontrastreduzierungsfaktor:

$c_R = 1.0$

Dreiecks-Helligkeit t^*



FRS09_92aM; CIELAB-Daten						
	u^*_e	$L^*=L^*$	a^*	b^*	C^*_{ab}	h^*_{ab}
O _M	35.06	60.53	39.66	72.37	33	
Y _M	83.77	-4.5	103.15	103.25	92	
L _M	44.13	-62.11	43.56	75.86	145	
C _M	52.66	-28.56	-36.99	46.73	232	
V _M	14.15	50.78	-62.6	80.61	309	
M _M	37.37	79.18	-37.93	87.8	334	
N _M	8.58	0.46	-3.35	3.38	278	
W _M	92.02	0.69	-6.48	6.52	276	
R _M	39.92	58.74	27.99	65.07	25	
J _M	81.26	-2.89	71.56	71.62	92	
G _M	52.23	-42.42	13.6	44.55	162	
B _M	30.57	1.41	-46.47	46.49	272	

Daten für Maximalfarbe (Ma):

$LAB^*LAB^*_{Ma}: 50 -40 -7$

$LAB^*LCH^*_{Ma}: 50 40 189$

$lab^*rgb^*_{Ma}: 0.0 1.0 0.5$

$lab^*olv^*_{Ma}: 0.0 1.0 0.55$

Dreiecks-Helligkeit t^*

%Umfang

$u^*_{rel} = 109$

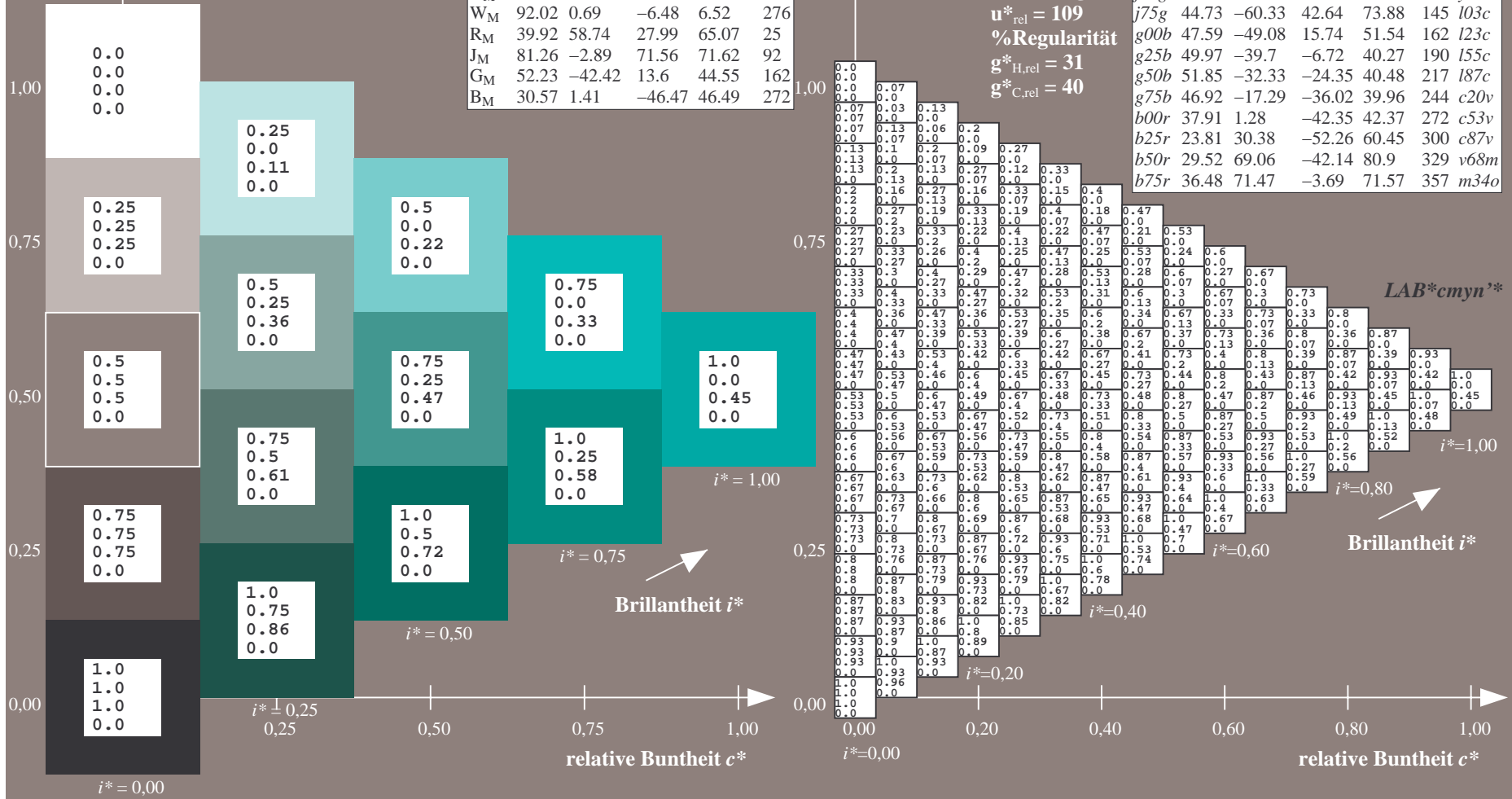
%Regularität

$g^*_{H,rel} = 31$

$g^*_{C,rel} = 40$

FRS09_92aM; adaptierte CIELAB-Daten							
	u^*_e	$L^*=L^*_a$	a^*_a	b^*_a	$C^*_{ab,a}$	$h^*_{ab,a}$	u^*_d
r00j	35.47	63.32	30.17	70.15	25	m81o	
r25j	39.12	54.56	49.45	73.64	42	o10y	
r50j	50.64	39.15	64.89	75.79	59	o40y	
r75j	64.01	21.26	82.83	85.52	76	o69y	
j00g	83.18	-4.38	108.53	108.62	92	o98y	
j25g	66.73	-29.89	83.06	88.28	110	y34l	
j50g	54.03	-48.31	63.49	79.78	127	y69l	
j75g	44.73	-60.33	42.64	73.88	145	l03c	
g00b	47.59	-49.08	15.74	51.54	162	l23c	
g25b	49.97	-39.7	-6.72	40.27	190	l55c	
g50b	51.85	-32.33	-24.35	40.48	217	l87c	
g75b	46.92	-17.29	-36.02	39.96	244	c20v	
b00r	37.91	1.28	-42.35	42.37	272	c53v	
b25r	23.81	30.38	-52.26	60.45	300	c87v	
b50r	29.52	69.06	-42.14	80.9	329	v68m	
b75r	36.48	71.47	-3.69	71.57	357	m34o	

$LAB^*cmy^n'^*$



Ein und Ausgabe: Farbmatisches Drucker-Reflektiv-System FRS09_92aM für relativen CIELAB-Bunton $h^* = lab^*h^* = h_{ab}/360 = 0.603$

$u^*_e = g50b$
 LAB^*cmy^n '*

Daten für jede Farbe:

lab^*tch^* und lab^*icu^*

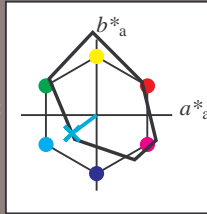
Buntontexte:

$u^*_e = g50b$ $u^*_d = l87c$

Kontrastreduzierungsfaktor:

$c_R = 1.0$

Dreiecks-Helligkeit t^*



FRS09_92aM; CIELAB-Daten						
	u^*_e	$L^*=L^*$	a^*	b^*	C^*_{ab}	h^*_{ab}
O _M	35.06	60.53	39.66	72.37	33	
Y _M	83.77	-4.5	103.15	103.25	92	
L _M	44.13	-62.11	43.56	75.86	145	
C _M	52.66	-28.56	-36.99	46.73	232	
V _M	14.15	50.78	-62.6	80.61	309	
M _M	37.37	79.18	-37.93	87.8	334	
N _M	8.58	0.46	-3.35	3.38	278	
W _M	92.02	0.69	-6.48	6.52	276	
R _M	39.92	58.74	27.99	65.07	25	
J _M	81.26	-2.89	71.56	71.62	92	
G _M	52.23	-42.42	13.6	44.55	162	
B _M	30.57	1.41	-46.47	46.49	272	

Daten für Maximalfarbe (Ma):

$LAB^*LAB^*_{Ma}: 52 -32 -24$

$LAB^*LCH^*_{Ma}: 52 40 216$

$lab^*rgb^*_{Ma}: 0.0 1.0 1.0$

$lab^*olv^*_{Ma}: 0.0 1.0 0.87$

Dreiecks-Helligkeit t^*

%Umfang

$u^*_{rel} = 109$

%Regularität

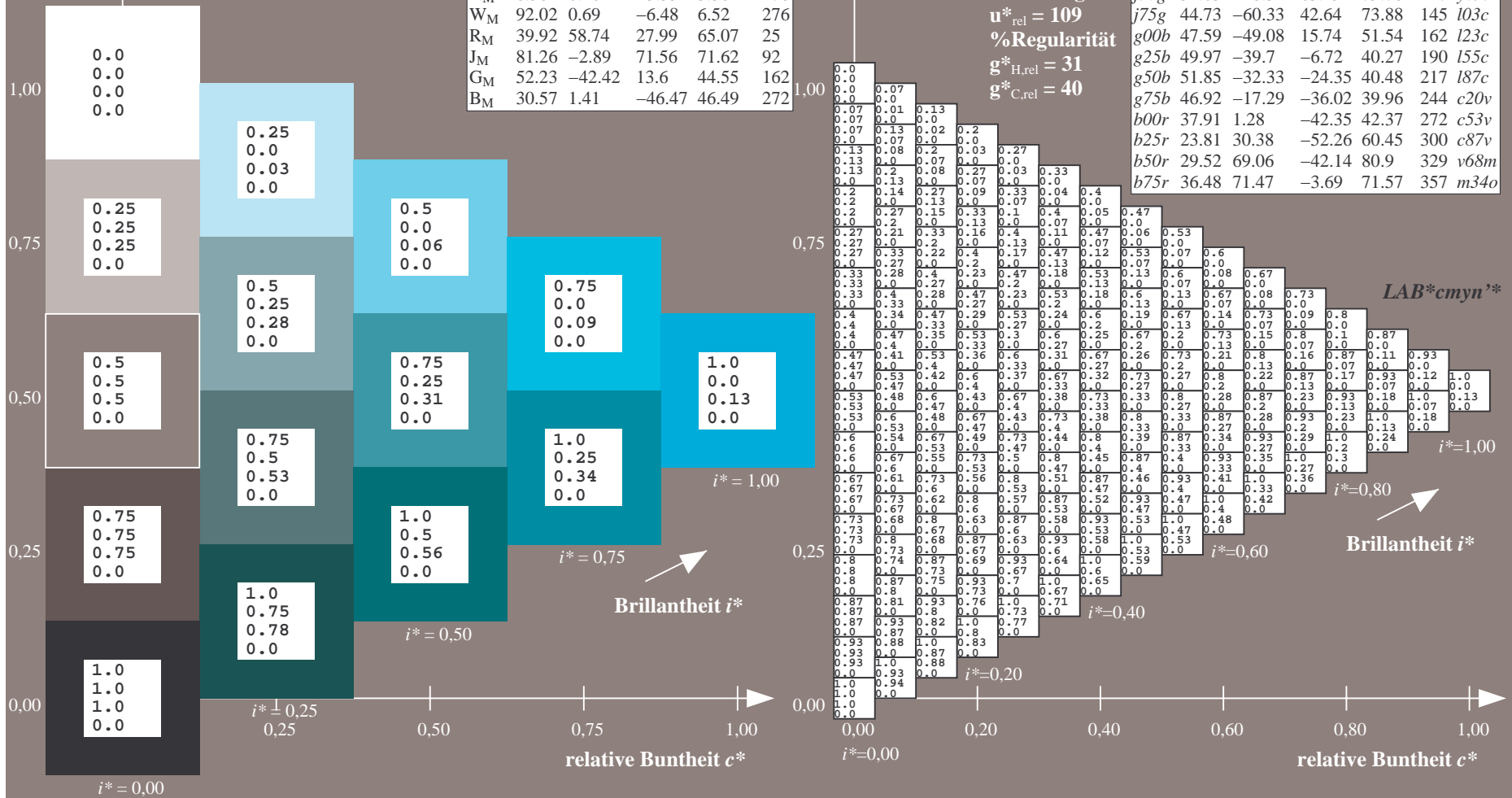
$g^*_{H,rel} = 31$

$g^*_{C,rel} = 40$

FRS09_92aM; adaptierte CIELAB-Daten

	u^*_e	$L^*=L^*_a$	a^*_a	b^*_a	$C^*_{ab,a}$	$h^*_{ab,a}$	u^*_d
r00j	35.47	63.32	30.17	70.15	25	m81o	
r25j	39.12	54.56	49.45	73.64	42	o10y	
r50j	50.64	39.15	64.89	75.79	59	o40y	
r75j	64.01	21.26	82.83	85.52	76	o69y	
j00g	83.18	-4.38	108.53	108.62	92	o98y	
j25g	66.73	-29.89	83.06	88.28	110	y34l	
j50g	54.03	-48.31	63.49	79.78	127	y69l	
j75g	44.73	-60.33	42.64	73.88	145	l03c	
g00b	47.59	-49.08	15.74	51.54	162	l23c	
g25b	49.97	-39.7	-6.72	40.27	190	l55c	
g50b	51.85	-32.33	-24.35	40.48	217	l87c	
g75b	46.92	-17.29	-36.02	39.96	244	c20v	
b00r	37.91	1.28	-42.35	42.37	272	c53v	
b25r	23.81	30.38	-52.26	60.45	300	c87v	
b50r	29.52	69.06	-42.14	80.9	329	v68m	
b75r	36.48	71.47	-3.69	71.57	357	m34o	

LAB^*cmy^n '*



Ein und Ausgabe: Farbmatisches Drucker-Reflektiv-System FRS09_92aM für relativen CIELAB-Bunton $h^* = lab^*h^* = h_{ab}/360 = 0.679$

$u^*_e = g75b$
 LAB^*cmy^n '*

Daten für jede Farbe:

lab^*tch^* und lab^*icu^*

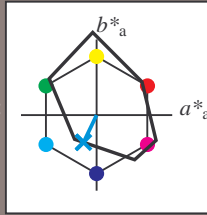
Buntontexte:

$u^*_e = g75b$ $u^*_d = c20v$

Kontrastreduzierungsfaktor:

$c_R = 1.0$

Dreiecks-Helligkeit t^*



FRS09_92aM; CIELAB-Daten						
	u^*_e	$L^*=L^*$	a^*	b^*	C^*_{ab}	h^*_{ab}
O _M	35.06	60.53	39.66	72.37	33	
Y _M	83.77	-4.5	103.15	103.25	92	
L _M	44.13	-62.11	43.56	75.86	145	
C _M	52.66	-28.56	-36.99	46.73	232	
V _M	14.15	50.78	-62.6	80.61	309	
M _M	37.37	79.18	-37.93	87.8	334	
N _M	8.58	0.46	-3.35	3.38	278	
W _M	92.02	0.69	-6.48	6.52	276	
R _M	39.92	58.74	27.99	65.07	25	
J _M	81.26	-2.89	71.56	71.62	92	
G _M	52.23	-42.42	13.6	44.55	162	
B _M	30.57	1.41	-46.47	46.49	272	

Daten für Maximalfarbe (Ma):

$LAB^*LAB^*_{Ma}$: 47 -17 -36

$LAB^*LCH^*_{Ma}$: 47 40 244

$lab^*rgb^*_{Ma}$: 0.0 0.5 1.0

$lab^*olv^*_{Ma}$: 0.0 0.8 1.0

Dreiecks-Helligkeit t^*

%Umfang

$u^*_{rel} = 109$

%Regularität

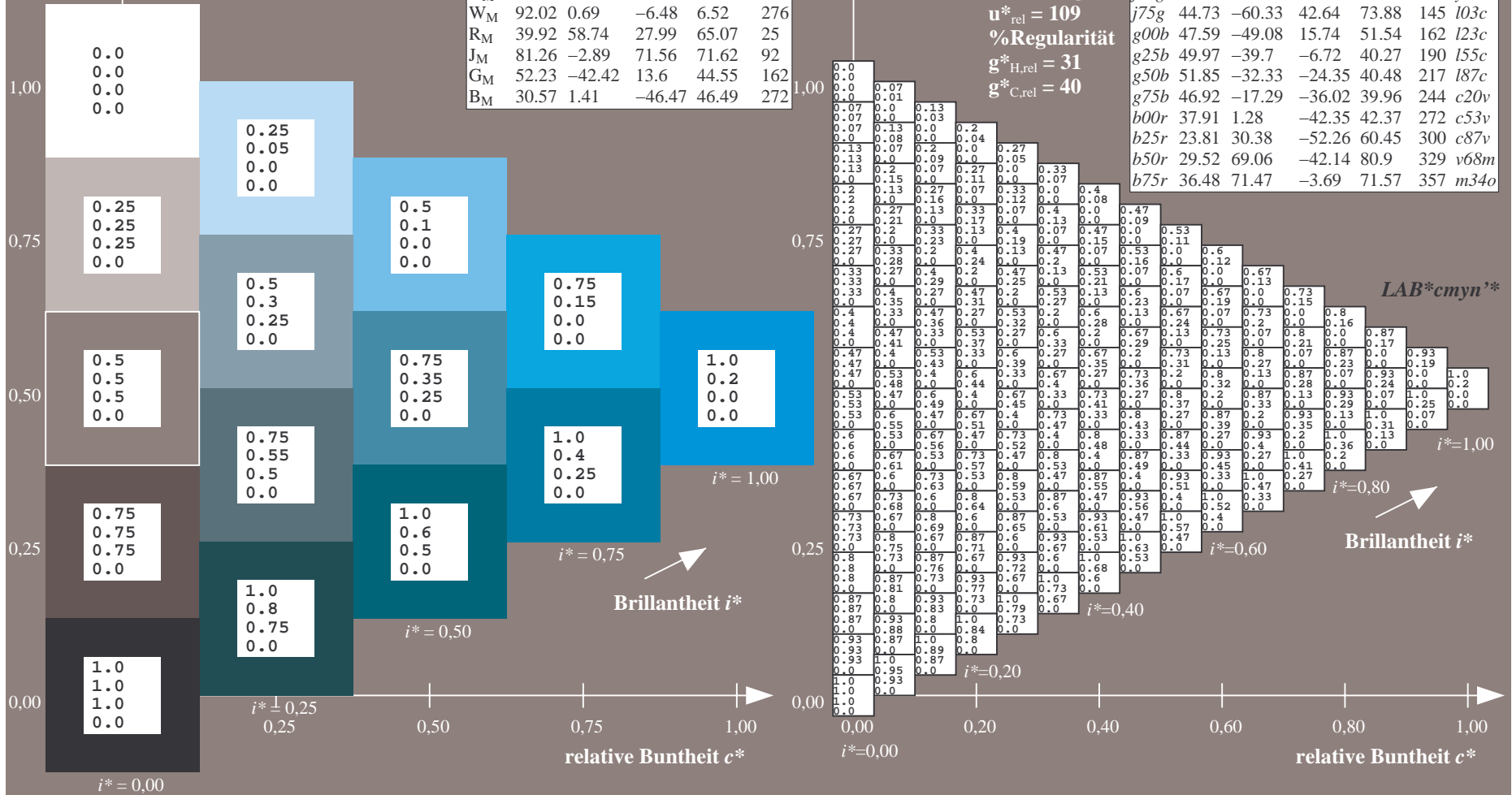
$g^*_{H,rel} = 31$

$g^*_{C,rel} = 40$

FRS09_92aM; adaptierte CIELAB-Daten

	u^*_e	$L^*=L^*_a$	a^*_a	b^*_a	$C^*_{ab,a}$	$h^*_{ab,a}$	u^*_d
r00j	35.47	63.32	30.17	70.15	25	m81o	
r25j	39.12	54.56	49.45	73.64	42	o10y	
r50j	50.64	39.15	64.89	75.79	59	o40y	
r75j	64.01	21.26	82.83	85.52	76	o69y	
j00g	83.18	-4.38	108.53	108.62	92	o98y	
j25g	66.73	-29.89	83.06	88.28	110	y34l	
j50g	54.03	-48.31	63.49	79.78	127	y69l	
j75g	44.73	-60.33	42.64	73.88	145	l03c	
g00b	47.59	-49.08	15.74	51.54	162	l23c	
g25b	49.97	-39.7	-6.72	40.27	190	l55c	
g50b	51.85	-32.33	-24.35	40.48	217	l87c	
g75b	46.92	-17.29	-36.02	39.96	244	c20v	
b00r	37.91	1.28	-42.35	42.37	272	c53v	
b25r	23.81	30.38	-52.26	60.45	300	c87v	
b50r	29.52	69.06	-42.14	80.9	329	v68m	
b75r	36.48	71.47	-3.69	71.57	357	m34o	

LAB^*cmy^n '*



Ein und Ausgabe: Farbmatisches Drucker-Reflektiv-System FRS09_92aM für relativen CIELAB-Bunton $h^* = lab^*h^* = h_{ab}/360 = 0.755$

$u^*_e = b00r$
 $LAB^*cmy^n'^*$

Daten für jede Farbe:

lab^*tch^* und lab^*icu^*

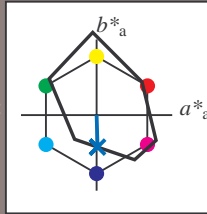
Buntontexte:

$u^*_e = b00r$ $u^*_d = c53v$

Kontrastreduzierungsfaktor:

$c_R = 1.0$

Dreiecks-Helligkeit t^*



FRS09_92aM; CIELAB-Daten						
	u^*_e	$L^*=L^*$	a^*	b^*	C^*_{ab}	h^*_{ab}
O _M	35.06	60.53	39.66	72.37	33	
Y _M	83.77	-4.5	103.15	103.25	92	
L _M	44.13	-62.11	43.56	75.86	145	
C _M	52.66	-28.56	-36.99	46.73	232	
V _M	14.15	50.78	-62.6	80.61	309	
M _M	37.37	79.18	-37.93	87.8	334	
N _M	8.58	0.46	-3.35	3.38	278	
W _M	92.02	0.69	-6.48	6.52	276	
R _M	39.92	58.74	27.99	65.07	25	
J _M	81.26	-2.89	71.56	71.62	92	
G _M	52.23	-42.42	13.6	44.55	162	
B _M	30.57	1.41	-46.47	46.49	272	

Daten für Maximalfarbe (Ma):

$LAB^*LAB^*_{Ma}: 38 \ 1 \ -42$

$LAB^*LCH^*_{Ma}: 38 \ 42 \ 271$

$lab^*rgb^*_{Ma}: 0.0 \ 0.0 \ 1.0$

$lab^*olv^*_{Ma}: 0.0 \ 0.47 \ 1.0$

Dreiecks-Helligkeit t^*

%Umfang

$u^*_{rel} = 109$

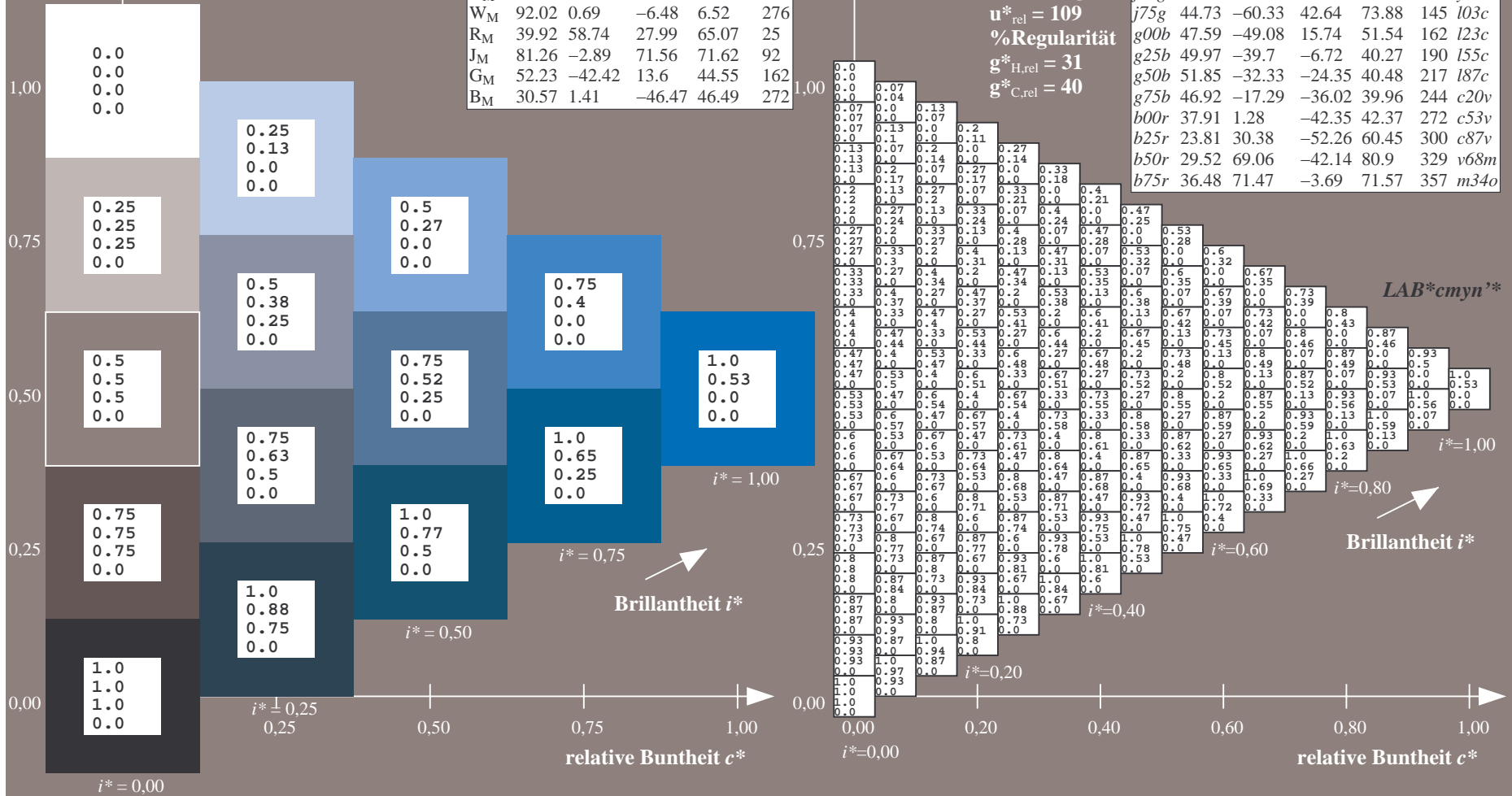
%Regulartät

$g^*_{H,rel} = 31$

$g^*_{C,rel} = 40$

FRS09_92aM; adaptierte CIELAB-Daten

	u^*_e	$L^*=L^*_a$	a^*_a	b^*_a	$C^*_{ab,a}$	$h^*_{ab,a}$	u^*_d
r00j	35.47	63.32	30.17	70.15	25	m81o	
r25j	39.12	54.56	49.45	73.64	42	o10y	
r50j	50.64	39.15	64.89	75.79	59	o40y	
r75j	64.01	21.26	82.83	85.52	76	o69y	
j00g	83.18	-4.38	108.53	108.62	92	o98y	
j25g	66.73	-29.89	83.06	88.28	110	y34l	
j50g	54.03	-48.31	63.49	79.78	127	y69l	
j75g	44.73	-60.33	42.64	73.88	145	l03c	
g00b	47.59	-49.08	15.74	51.54	162	l23c	
g25b	49.97	-39.7	-6.72	40.27	190	l55c	
g50b	51.85	-32.33	-24.35	40.48	217	l87c	
g75b	46.92	-17.29	-36.02	39.96	244	c20v	
b00r	37.91	1.28	-42.35	42.37	272	c53v	
b25r	23.81	30.38	-52.26	60.45	300	c87v	
b50r	29.52	69.06	-42.14	80.9	329	v68m	
b75r	36.48	71.47	-3.69	71.57	357	m34o	



Ein und Ausgabe: Farbmatisches Drucker-Reflektiv-System FRS09_92aM für relativen CIELAB-Bunton $h^* = lab^*h^* = h_{ab}/360 = 0.834$

$u^*_e = b25r$
 $LAB^*cmy^n'^*$

Daten für jede Farbe:

lab^*tch^* und lab^*icu^*

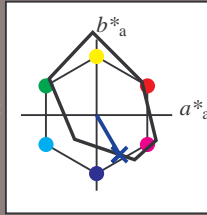
Buntontexte:

$u^*_e = b25r$ $u^*_d = c87v$

Kontrastreduzierungsfaktor:

$c_R = 1.0$

Dreiecks-Helligkeit t^*



FRS09_92aM; CIELAB-Daten

	u^*_e	$L^*=L^*$	a^*	b^*	C^*_{ab}	h^*_{ab}
O _M	35.06	60.53	39.66	72.37	33	
Y _M	83.77	-4.5	103.15	103.25	92	
L _M	44.13	-62.11	43.56	75.86	145	
C _M	52.66	-28.56	-36.99	46.73	232	
V _M	14.15	50.78	-62.6	80.61	309	
M _M	37.37	79.18	-37.93	87.8	334	
N _M	8.58	0.46	-3.35	3.38	278	
W _M	92.02	0.69	-6.48	6.52	276	
R _M	39.92	58.74	27.99	65.07	25	
J _M	81.26	-2.89	71.56	71.62	92	
G _M	52.23	-42.42	13.6	44.55	162	
B _M	30.57	1.41	-46.47	46.49	272	

Daten für Maximalfarbe (Ma):

$LAB^*LAB^*_{Ma}: 24\ 30\ -52$

$LAB^*LCH^*_{Ma}: 24\ 60\ 300$

$lab^*rgb^*_{Ma}: 0.5\ 0.0\ 1.0$

$lab^*olv^*_{Ma}: 0.0\ 0.12\ 1.0$

Dreiecks-Helligkeit t^*

%Umfang

$u^*_{rel} = 109$

%Regulartät

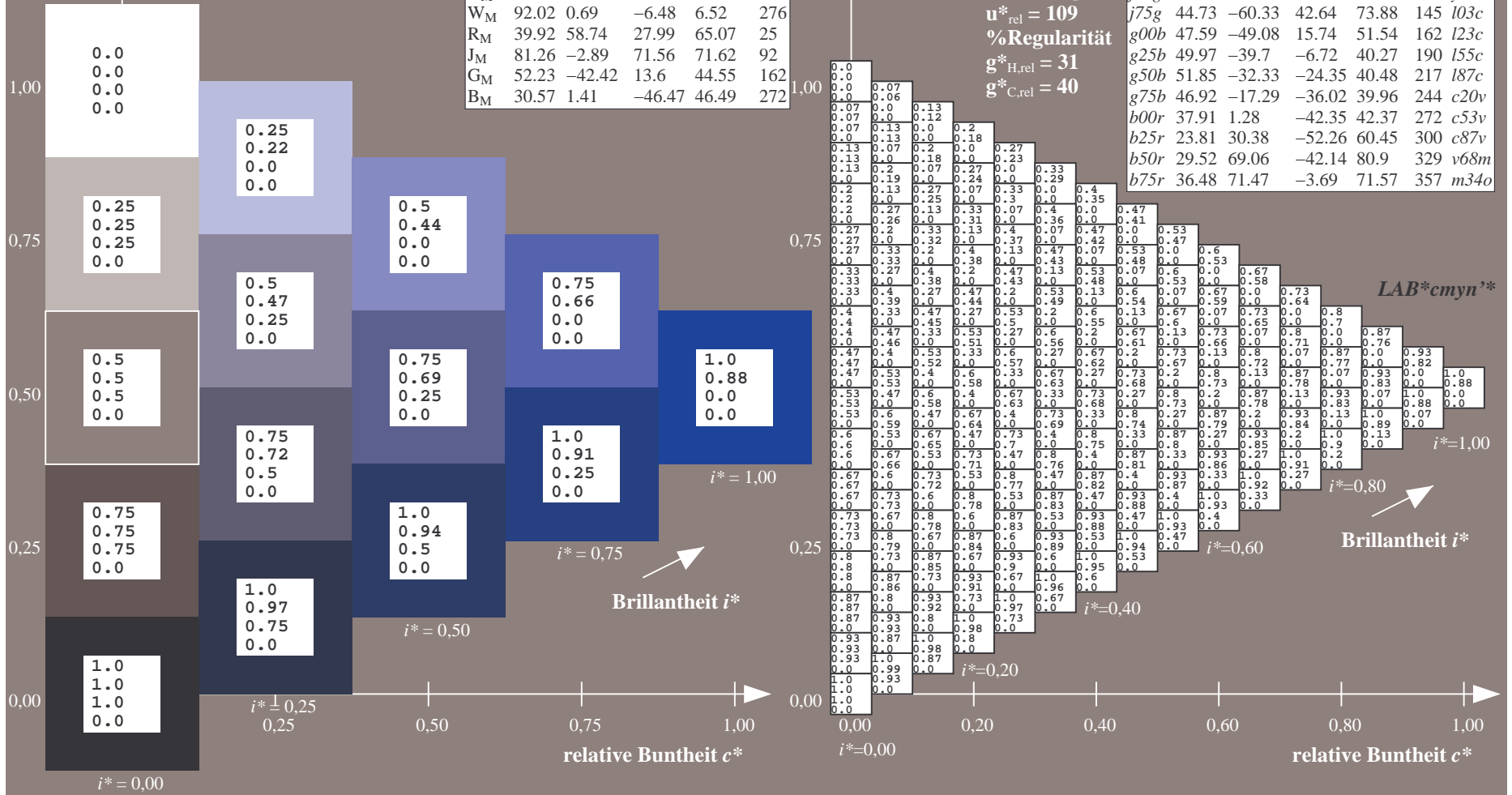
$g^*_{H,rel} = 31$

$g^*_{C,rel} = 40$

FRS09_92aM; adaptierte CIELAB-Daten

	u^*_e	$L^*=L^*_a$	a^*_a	b^*_a	$C^*_{ab,a}$	$h^*_{ab,a}$	u^*_d
r00j	35.47	63.32	30.17	70.15	25	m81o	
r25j	39.12	54.56	49.45	73.64	42	o10y	
r50j	50.64	39.15	64.89	75.79	59	o40y	
r75j	64.01	21.26	82.83	85.52	76	o69y	
j00g	83.18	-4.38	108.53	108.62	92	o98y	
j25g	66.73	-29.89	83.06	88.28	110	y34l	
j50g	54.03	-48.31	63.49	79.78	127	y69l	
j75g	44.73	-60.33	42.64	73.88	145	l03c	
g00b	47.59	-49.08	15.74	51.54	162	l23c	
g25b	49.97	-39.7	-6.72	40.27	190	l55c	
g50b	51.85	-32.33	-24.35	40.48	217	l87c	
g75b	46.92	-17.29	-36.02	39.96	244	c20v	
b00r	37.91	1.28	-42.35	42.37	272	c53v	
b25r	23.81	30.38	-52.26	60.45	300	c87v	
b50r	29.52	69.06	-42.14	80.9	329	v68m	
b75r	36.48	71.47	-3.69	71.57	357	m34o	

$LAB^*cmy^n'^*$



Ein und Ausgabe: Farbmatisches Drucker-Reflektiv-System FRS09_92aM für relativen CIELAB-Bunton $h^* = lab^*h^* = h_{ab}/360 = 0.913$

$u^*_e = b50r$
LAB*cmy'n**

Daten für jede Farbe:

lab^*tch^* und lab^*icu^*

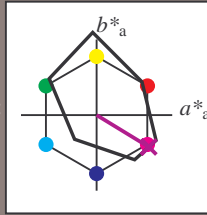
Buntontexte:

$u^*_e = b50r$ $u^*_d = v68m$

Kontrastreduzierungsfaktor:

$c_R = 1.0$

Dreiecks-Helligkeit t^*



FRS09_92aM; CIELAB-Daten						
	u^*_e	$L^*=L^*$	a^*	b^*	C^*_{ab}	h^*_{ab}
O _M	35.06	60.53	39.66	72.37	33	
Y _M	83.77	-4.5	103.15	103.25	92	
L _M	44.13	-62.11	43.56	75.86	145	
C _M	52.66	-28.56	-36.99	46.73	232	
V _M	14.15	50.78	-62.6	80.61	309	
M _M	37.37	79.18	-37.93	87.8	334	
N _M	8.58	0.46	-3.35	3.38	278	
W _M	92.02	0.69	-6.48	6.52	276	
R _M	39.92	58.74	27.99	65.07	25	
J _M	81.26	-2.89	71.56	71.62	92	
G _M	52.23	-42.42	13.6	44.55	162	
B _M	30.57	1.41	-46.47	46.49	272	

Daten für Maximalfarbe (Ma):

LAB*LAB*_{Ma}: 30 69 -42

LAB*LCH*_{Ma}: 30 81 328

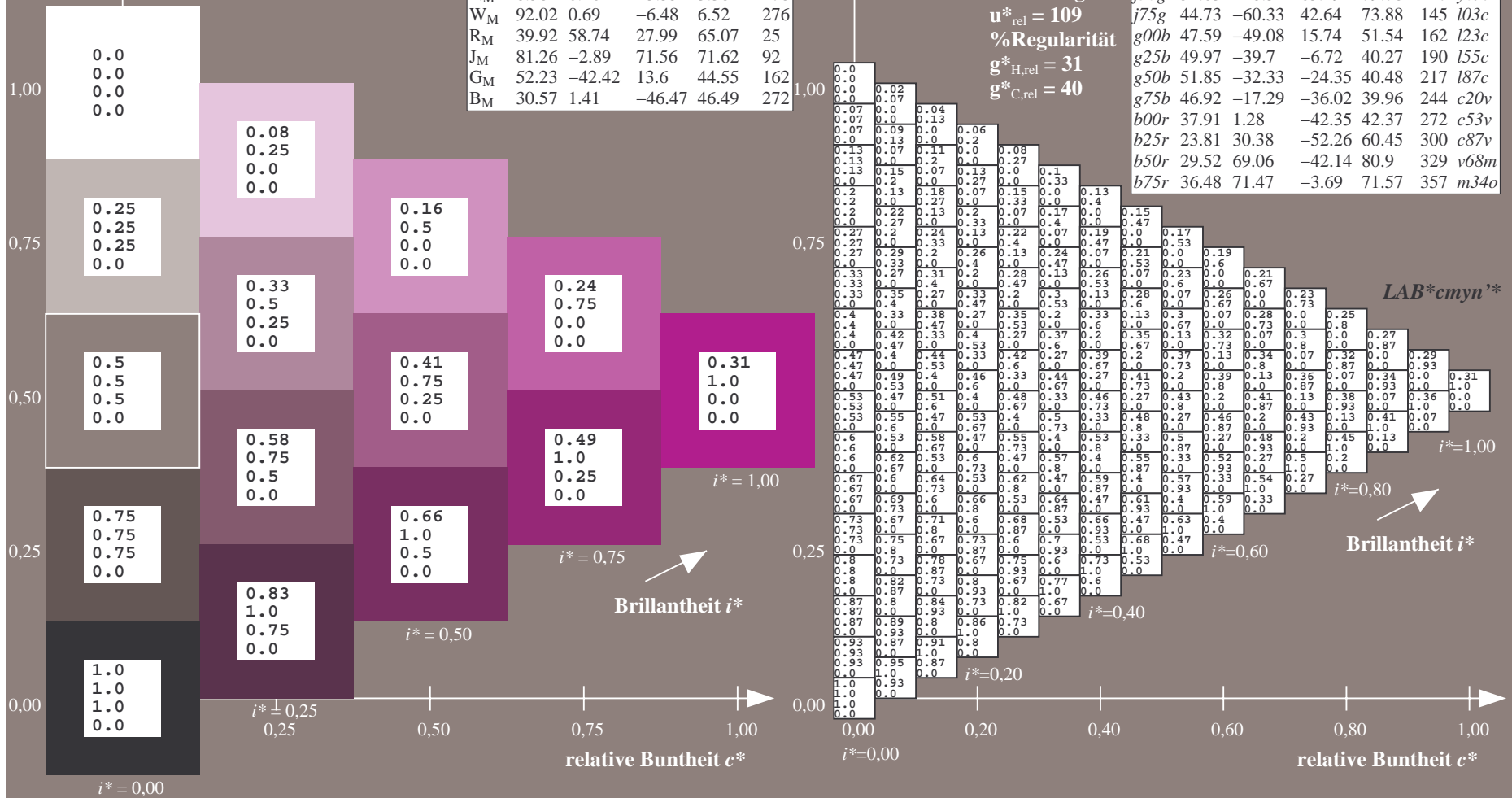
lab*rgb*_{Ma}: 1.0 0.0 1.0

lab*olv*_{Ma}: 0.69 0.0 1.0

Dreiecks-Helligkeit t^*

FRS09_92aM; adaptierte CIELAB-Daten

	u^*_e	$L^*=L^*_a$	a^*_a	b^*_a	$C^*_{ab,a}$	$h^*_{ab,a}$	u^*_d
r00j	35.47	63.32	30.17	70.15	25	m81o	
r25j	39.12	54.56	49.45	73.64	42	o10y	
r50j	50.64	39.15	64.89	75.79	59	o40y	
r75j	64.01	21.26	82.83	85.52	76	o69y	
j00g	83.18	-4.38	108.53	108.62	92	o98y	
j25g	66.73	-29.89	83.06	88.28	110	y34l	
j50g	54.03	-48.31	63.49	79.78	127	y69l	
j75g	44.73	-60.33	42.64	73.88	145	l03c	
g00b	47.59	-49.08	15.74	51.54	162	l23c	
g25b	49.97	-39.7	-6.72	40.27	190	l55c	
g50b	51.85	-32.33	-24.35	40.48	217	l87c	
g75b	46.92	-17.29	-36.02	39.96	244	c20v	
b00r	37.91	1.28	-42.35	42.37	272	c53v	
b25r	23.81	30.38	-52.26	60.45	300	c87v	
b50r	29.52	69.06	-42.14	80.9	329	v68m	
b75r	36.48	71.47	-3.69	71.57	357	m34o	



Ein und Ausgabe: Farbmatisches Drucker-Reflektiv-System FRS09_92aM für relativen CIELAB-Bunton $h^* = lab^*h^* = h_{ab}/360 = 0.992$

$u^*_e = b75r$
 $LAB^*cmy^n'^*$

Daten für jede Farbe:

lab^*tch^* und lab^*icu^*

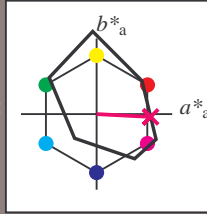
Buntontexte:

$u^*_e = b75r$ $u^*_d = m34o$

Kontrastreduzierungsfaktor:

$c_R = 1.0$

Dreiecks-Helligkeit t^*



FRS09_92aM; CIELAB-Daten						
	u^*_e	$L^*=L^*$	a^*	b^*	C^*_{ab}	h^*_{ab}
O _M	35.06	60.53	39.66	72.37	33	
Y _M	83.77	-4.5	103.15	103.25	92	
L _M	44.13	-62.11	43.56	75.86	145	
C _M	52.66	-28.56	-36.99	46.73	232	
V _M	14.15	50.78	-62.6	80.61	309	
M _M	37.37	79.18	-37.93	87.8	334	
N _M	8.58	0.46	-3.35	3.38	278	
W _M	92.02	0.69	-6.48	6.52	276	
R _M	39.92	58.74	27.99	65.07	25	
J _M	81.26	-2.89	71.56	71.62	92	
G _M	52.23	-42.42	13.6	44.55	162	
B _M	30.57	1.41	-46.47	46.49	272	

Daten für Maximalfarbe (Ma):

$LAB^*LAB^*_{Ma}: 36\ 71\ -4$

$LAB^*LCH^*_{Ma}: 36\ 72\ 357$

$lab^*rgb^*_{Ma}: 1.0\ 0.0\ 0.5$

$lab^*olv^*_{Ma}: 1.0\ 0.0\ 0.66$

Dreiecks-Helligkeit t^*

%Umfang

$u^*_{rel} = 109$

%Regularität

$g^*_{H,rel} = 31$

$g^*_{C,rel} = 40$

FRS09_92aM; adaptierte CIELAB-Daten

	u^*_e	$L^*=L^*_a$	a^*_a	b^*_a	$C^*_{ab,a}$	$h^*_{ab,a}$	u^*_d
r00j	35.47	63.32	30.17	70.15	25	m81o	
r25j	39.12	54.56	49.45	73.64	42	o10y	
r50j	50.64	39.15	64.89	75.79	59	o40y	
r75j	64.01	21.26	82.83	85.52	76	o69y	
j00g	83.18	-4.38	108.53	108.62	92	o98y	
j25g	66.73	-29.89	83.06	88.28	110	y34l	
j50g	54.03	-48.31	63.49	79.78	127	y69l	
j75g	44.73	-60.33	42.64	73.88	145	l03c	
g00b	47.59	-49.08	15.74	51.54	162	l23c	
g25b	49.97	-39.7	-6.72	40.27	190	l55c	
g50b	51.85	-32.33	-24.35	40.48	217	l87c	
g75b	46.92	-17.29	-36.02	39.96	244	c20v	
b00r	37.91	1.28	-42.35	42.37	272	c53v	
b25r	23.81	30.38	-52.26	60.45	300	c87v	
b50r	29.52	69.06	-42.14	80.9	329	v68m	
b75r	36.48	71.47	-3.69	71.57	357	m34o	

$LAB^*cmy^n'^*$

